

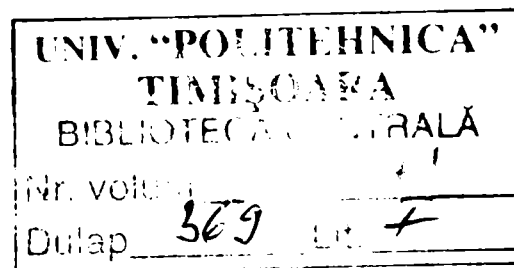
Ing. CONSTANTIN DUMACHE

**CONTRIBUȚII PRIVIND DETERMINAREA
POZIȚIEI UNEI SURSE DE RADIATIE ÎN
INFRAROȘU FOLOSIND MODULAȚIA
FLUXULUI RADIANT INCIDENT**

Conducător științific:

Profesor Universitar

Dr. Ing. IOAN NICOARĂ



2006

CUPRINS

	Cuprins	2
	Introducere	6
1	CONSIDERAȚII ASUPRA SISTEMELOR DE DESCOPERIRE ȘI LOCALIZARE A OBIECTELOR TERMORADIANTE AFLATE ÎN TEREN	
1.1	Schema de principiu și clasificarea sistemelor SCOD	11
1.2	Obiectele din teren – surse de radiație în infraroșu	14
1.2.1	Considerații generale	14
1.2.2	Descoperirea obiectelor termoradiante din teren	16
1.2.3	Scanarea spațiului obiect	16
1.2.4	Frecvența de scanare a spațiului obiect	18
1.2.5	Explorarea spațiului imagine	20
1.3	Localizarea obiectelor din teren cu sistemul SCOD	22
1.3.1	Considerații generale.....	22
1.3.2	Calculul unghiului de abatere	24
1.3.3	Regimurile de lucru ale sistemului SCOD	25
1.3.4	Calculul coordonatelor obiectelor termoradiante	29
1.4	Propagarea radiației infraroșii în atmosferă	31
1.5	Dispozitive optice utilizate în construcția sistemelor SCOD	33
1.5.1	Considerații generale	33
1.5.2	Disponerea optimă a discului modulator	36
1.5.3	Particularități constructive ale obiectivelor în infraroșu	37
1.6	Receptorul de radiație	38
1.6.1	Considerații generale	38
1.6.2	Particularitățile de lucru ale receptorului de radiație	40
1.7	Concluzii și contribuții originale	42
2	FENOMENUL DE RADIAȚIE TERMICĂ	
2.1	Considerații fundamentale privind radiația termică.	44
2.1.1	Teoria cuantică	45
2.1.2	Teoria electromagnetică	46
2.1.3	Modele de reprezentare a radiației termice	47
2.2	Radiația unei microsurse considerate dipol electric	48
2.2.1	Ecuatiile lui Maxwell	48
2.2.2	Modelul dipolului electric oscilant	50

2.2.3	Potențialele electrodinamice ale dipolului electric oscilant	51
2.2.4	Structura câmpului de radiație	53
2.2.5	Energia câmpului de radiație al dipolului electric oscilant	56
2.2.6	Fluxul radiant al dipolului electric oscilant	58
2.3	Particularități ale propagării undelor electromagnetice	59
2.3.1	Ecuția undelor electromagnetice	59
2.3.2	Transportul de energie radiantă cu unda electromagnetică	63
2.4	Radiația electromagnetică emisă de o structură macroscopică	68
2.4.1	Radiația emisă de o microsursă. Considerații general	68
2.4.2	Fluxul și intensitatea energetică a radiației emise de o structură macroscopică	71
2.5	Concluzii și contribuții originale	73
3	RADIAȚIA TERMICĂ EMISĂ DE SURSE MACROSCOPICE	
3.1	Radiația termică a surselor macroscopice	77
3.1.1	Considerații generale	77
3.1.2	Sursa punctiformă de radiație termică	79
3.1.3	Particularități ale fluxului radiant produs de sursa punctiformă	80
3.1.4	Fluxul radiant al sursei punctiforme printr-o suprafață receptoare	81
3.2	Mărimile radiometrice ale radiației termice	83
3.2.1	Considerații generale	83
3.2.2	Definirea mărimilor radiometrice	84
3.3	Legile radiației termice și consecințele lor	87
3.3.1	Legile de propagare a radiației termice	87
3.3.2	Legea lui Lambert	88
3.3.3	Legea iluminării energetice. Iluminarea energetică produsă de o sursă cu suprafață finită	90
3.4	Calculul mărimilor radiometrice ale radiației termice emise, transmise și recepționate	92
3.4.1	Calculul mărimilor energetice ale radiației emise de o suprafață finită.....	92
3.4.2	Iluminarea energetică produsă de o suprafață plană infinit de mare	92
3.4.3	Iluminarea energetică produsă de o suprafață plană de dimensiuni finite	95
3.4.4	Iluminarea energetică produsă de o suprafață circulară de rază r_0	97
3.4.5	Intensitatea energetică a radiației produse de o sursă filiformă	98
3.4.6	Intensitatea energetică a radiației produse de o sursă disc	98
3.5	Legile radiației termice de echilibru și aplicații.....	99
3.5.1	Legile radiației termice de echilibru	99
3.5.2	Calculul radianței energetice spectrale a corpului negru	101
3.5.3	Radianța energetică a corpului cenușiu	103
3.5.4	Radiația corpului selectiv	104
3.5.5	Recepția radiației emise de o sursă punctiformă	106
3.5.6	Recepția radiației emise de o sursă de suprafață finită	108
3.6	Caracteristica polară a intensității energetice a radiației emise de surse termice anizotrope	109
3.6.1	Considerații generale	109
3.6.2	Calculul analitic al factorului $\cos\alpha$	110
3.6.3	Determinarea caracteristicii $I_e(\varphi, \theta)$ pentru un cub.....	111
3.6.4	Determinarea caracteristicii $I_e(\varphi, \theta)$ pentru un tetraedru.....	113
3.6.5	Determinarea caracteristicii $I_e(\varphi, \theta)$ pentru o sferă.....	115
3.7	Concluzii și contribuții originale	118

4 STUDIUL SEMNALELOR OPTICE. TRANSMISIA ACESTORA PRIN DIAFRAGME MODULATOARE

4.1	Modelul sistemului de transmisie optică a informației	120
4.1.1	Considerații generale	120
4.1.2	Sistemul de coordonate utilizat la studiul semnalelor optice	122
4.1.3	Formarea semnalului optic. Caracteristicile purtătoarei optice	123
4.1.4	Clasificarea semnalelor optice	127
4.2	Reprezentarea frecvențială a semnalelor optice	129
4.2.1	Noțiuni generale	129
4.2.2	Spectrul succesiunii de impulsuri optice dreptunghiulare	131
4.2.3	Spectrul funcției de transmisie a discului modulator. Discul modulator cu fante de forma sectorului de cerc	135
4.2.4	Discuri modulatoroare cu raster combinat.	137
4.3	Reprezentarea semnalelor optice cu ajutorul integralelor Fourier și Hankel	140
4.3.1	Noțiuni generale	140
4.3.2	Spectrele semnalelor optice tipice	142
4.3.3	Spectrul semnalului optic linie	144
4.3.4	Spectrul semnalului optic treaptă unitară	146
4.3.5	Spectrul semnalului optic format de o apertură dreptunghiulară	147
4.3.6	Spectrul semnalului optic format de o apertură circulară	148
4.4	Semnalul optic aleator	148
4.4.1	Noțiuni generale	148
4.4.2	Semnale optice aleatoare tipice.....	150
4.4.3	Zgomotul optic spațial alb	151
4.5	Determinarea valorilor tipice ale unui proces optic staționar pe baza datelor obținute experimental	152
4.5.1	Considerații generale	152
4.5.2	Procedeele de formare a semnalului optic aleator	154
4.5.3	Valorile tipice estimate ale procesului $\epsilon_i(\varphi_k)$	156
4.5.4	Determinarea coeficienților de corelație	157
4.5.5	Densitatea spectrală a semnalului optic aleator	160
4.6	Concluzii și contribuții originale	161

5 FILTRAREA SEMNALELOR OPTICE

5.1	Tratarea operațională a sistemelor optice	163
5.1.1	Noțiuni generale	163
5.1.2	Caracteristica de transfer a sistemului optic	165
5.1.3	Caracteristica de frecvență a sistemului optic	166
5.1.4	Funcția de convoluție și funcția de transfer optic (FTO)	167
5.2	Elementul optic liniar invariant spațial	169
5.2.1	Considerații generale	169
5.2.2	Funcția indicială a elementului optic	171
5.2.3	Elementul optic amplificator	172
5.2.4	Elementul de deplasare	172
5.2.5	Elementul (diafragma) cu funcția pondere de formă circulară	173
5.2.6	Elementul (diafragma) cu funcția pondere de formă dreptunghiulară	173
5.3	Difracția în sistemele optice liniare și invariante spațial	174
5.3.1	Noțiuni generale	174

5.3.2	Efectul aperturii asupra funcției $F(u,v)$	175
5.3.3	Transmisia radiației printr-o apertură de o formă oarecare	177
5.3.4	Transmisia radiației printr-o deschidere dreptunghiulară	179
5.3.5	Transmisia radiației printr-o deschidere circulară	181
5.4	Caracteristica de frecvență sau funcția de transfer a sistemului (elementului) optic....	182
5.4.1	Considerații generale	182
5.4.2	FTO a unui sistem optic	185
5.4.3	Caracteristica de frecvență a diafragmei modulatoare	187
5.4.4	Evaluarea procesului de filtrare spațială	190
5.5	Filtrarea spectrală și electronică	193
5.5.1	Filtrarea spectrală	193
5.5.2	Filtrarea electronică	196
5.6	Concluzii și contribuții originale.....	201
6	STUDIUL MODULAȚIEI SEMNALELOR OPTICE	
6.1	Destinația și tipurile de modulație optică	204
6.1.1	Considerații generale	204
6.1.2	Modulația semnalelor optice	205
6.1.3	Modulația armonică de amplitudine	206
6.1.4	Modulația de fază sau de frecvență	208
6.1.5	Modulația în durată și în frecvență a impulsurilor	210
6.2	Modulația radiației optice necoerente	210
6.2.1	Considerații generale	210
6.2.2	Modulația în amplitudine a fluxului energetic	214
6.2.3	Determinarea grafică a armonicilor curbei de modulație	218
6.2.4	Modulația de amplitudine cu discuri sectoriale	220
6.2.5	Modulația combinată amplitudine – fază	222
6.2.6	Determinarea coordonatelor unghiulare ale sursei termice	223
6.3	Detecția și localizarea surselor termoradiante	225
6.3.1	Contrastul termic absolut și relativ	225
6.3.2	Distanța maximă de descoperire a sursei termoradiante	227
6.3.3	Ecuția distanței de descoperire	231
6.4	Rezolvarea ecuației distanței de descoperire.....	235
6.4.1	Considerații generale	235
6.4.2	Caracteristica de radiație a sursei termoradiante $R_\lambda = r_\lambda / r_{\lambda\max}$	236
6.4.3	Sensibilitatea spectrală a receptorului de radiație $S_\lambda = s_\lambda / s_{\lambda\max}$	237
6.4.4	Determinarea coeficientului de utilizare a receptorului de radiație	238
6.5	Transmisia radiației infraroșii în atmosferă	241
6.5.1	Considerații generale	241
6.5.2	Absorbția radiației infraroșii de către vaporii de apă	242
6.5.3	Absorbția radiației infraroșii de către dioxidul de carbon.....	244
6.5.4	Radianța energetică efectivă	247
6.5.5	Coeficientului de utilizare a radiației infraroșii	248
6.5.6	Particularități privind calculul distanței maxime de descoperire	250
6.6	Concluzii și contribuții originale	252
7	CONCLUZII FINALE	254
	Bibliografie	262

Introducere

Războiul modern implică existența unor sisteme complexe de conducere automatizată a focului pe timp de zi, pe timp de noapte sau în condiții de vizibilitate redusă. În cadrul acestor sisteme, un rol important revine echipamentelor optoelectronice în infraroșu destinate observării, descoperirii și localizării de la distanță a obiectelor (țintelor) de anumite dimensiuni și aflate în terenul inamic. Prin construcția lor, aceste sisteme asigură observarea, căutarea, descoperirea, identificarea și localizarea țintelor, determinând coordonatele poziției acestora în raport cu anumite repere cunoscute, în vederea pregătirii datelor necesare executării focului.

Datorită perfecționării continue a componentelor și dispozitivelor optoelectronice aceste sisteme sunt capabile să ofere în timp real informații despre viteze, distanțe și poziții unghiulare ale țintelor în raport cu sistemul de referință ales, să realizeze o mare viteză în prelucrarea și transmiterea datelor obținute, precum să asigure posibilități multiple de secretizare a activităților desfășurate în condițiile unei cercetări și bruiaj intens al inamicului.

Descoperirea și localizarea obiectelor din teren aflate la distanțe mari față de observator, se bazează pe proprietatea pe care o au corpurile cu temperatura mai mare de 0K, de a emite în mediu o parte din energia internă, sub forma radiației electromagnetice. Această energie este emisă de corp în toate direcțiile spațiului înconjurător și, întrucât depinde numai de temperatura absolută a corpului, poartă numele de *radiație termică*.

Spre deosebire de alte moduri de transport a energiei termice – conductibilitate sau convecție, radiația termică realizează acest transport la distanțe foarte mari, fără intermediul vreunei substanțe. Teoria electromagnetică a lui Maxwell [D8] demonstrează că, atât radiația termică cât și alte forme de radiație (radiația luminoasă, radiația X sau γ etc.) sunt de natură electromagnetică și se deosebesc între ele numai prin lungimea de undă. Dacă radiația vizibilă [D8] cuprinde zona (0,38 – 0,76) μm din spectrul electromagnetic, radiația termică se întinde pe o zonă mult mai mare, de la 0,76 μm până la aproape 1000 μm . Radiația termică cuprinsă în zona (0,76 – 15) μm se numește *radiație infraroșie* și este cea mai utilizată.

În natură, radiația termică, ca și alte forme de radiație, se propagă cu viteza luminii, este absorbită, reflectată, refractată sau difuzată de către obiectele din teren. Prin captarea și înregistrarea radiației emise de obiectele din teren se obțin informații ce privesc starea, forma și dimensiunile acestora, sau compoziția, temperatura, precum și alte proprietăți specifice lor. Găsirea mijlocului tehnic cel mai potrivit în captarea acestor radiații și conversia lor în semnale electrice reprezintă o problemă complexă și de mare actualitate. Tehnicile și tehnologiile actuale folosite în detectarea și localizarea obiectelor din teren utilizează o zonă relativ îngustă din spectrul radiației termice și anume infraroșu apropiat sau mediu. Această limitare este impusă de caracteristica spectrală a receptorului de radiație și de absorbția pronunțată a radiațiilor cu lungimea de undă $\lambda > 0,76\mu\text{m}$, la propagarea acestora prin atmosferă.

Cercetări privind măsurarea și prelucrarea radiației în domeniul optic (ultraviolet, vizibil și infraroșu), precum și conversia acesteia în semnal electric ce urmează a fi prelucrat prin procedee electronice, au fost întreprinse și la SC OPTICA SA Timișoara. În acest context trebuiesc evidențiate realizările obținute de specialiști în studiile teoretice și aplicative efectuate asupra laserului cu fibră optică (1991), studii finalizate cu proiectarea și execuția prototipului telemetrului cu laser în impuls, cu fibră optică (1992).

Activitățile de omologare ale telemetrului s-au concretizat într-un număr însemnat de experimente executate în laboratoarele SC OPTICA SA, s-au în teren, pe baza unui program de omologare aprobat. Rezultatele obținute în urma măsurărilor efectuate au scos în evidență un telemetru cu laser cu caracteristici performante. Astfel, domeniul de măsurare al telemetrului de (50...10.000)m, cu precizia de măsurare de ± 5 m a oricărei distanțe măsurate, impuse în tema de cercetare – proiectare, au fost verificate în teren de către specialiștii topogodezi militari.

Cercetarea în cadrul SC OPTICA SA în domeniul radiației infraroșii este continuată cu alte aparate optoelectronice: luneta și binoclul de vedere pe timp de noapte, aparate realizate la nivelul de prototip. Paralel cu activitatea de omologare a aparatelor de vedere pe timp de noapte, la SC OPTICA SA se începe un studiu pentru proiectarea și execuția unui sistem de conducere automată a focului. În cadrul acestui sistem s-a avut în vedere încorporarea telemetrului cu laser cu mediul activ YAG:Nd și a lunetei de vedere pe timp de noapte, echipamente optoelectronice deja realizate, precum și a unui cap optic capabil să asigure vizarea și urmărirea automat a țintelor termoradiante.

La cercetările care au cuprins atât studii teoretice fundamentale și aplicative, cât și experimente de anvergură efectuate pe sistemele optoelectronice menționate, o contribuție originală și substanțială și-a adus autorul tezei de doctorat, rezultatele fiind publicate în reviste de specialitate sau în proceedings-urile unor conferințe naționale sau internaționale.

Din motive financiare, în anul 1995, conducerea SC OPTICA SA întrerupe colaborarea cu specialiștii optoelectroniști proveniți de la Institutul de Cercetări al Armatei și sunt abandonate programele de cercetare și proiectare începute.

Teza *Contribuții privind determinarea poziției unei surse de radiație în infraroșu folosind modulația fluxului radiant incident* continuă efortul de cercetare început la SC OPTICA SA, și prezintă studiile teoretice întreprinse de autor în domeniul infraroșu și cercetările aplicative care au vizat sistemele optoelectronice de descoperire și localizare a surselor termoradiante din teren.

Pentru doctorand, elaborarea temei propuse a necesitat aprofundarea și dezvoltarea metodelor de cunoaștere a fenomenelor fizice asociate radiației termice, a particularităților transmisiei acesteia prin canale neghidate, precum și a procedeelelor de prelucrare optoelectronică a radiației captate și afișarea rezultatelor obținute.

Determinarea poziției sau a coordonatelor unei surse termoradiante din teren în raport cu un sistem de referință dat, folosind procedeul de modulație optică a radiației infraroșii este rezolvată de sisteme tehnice complexe. Aceste sisteme, numite prescurtat SCOD, au în compunere un ansamblu optic destinat captării și prelucrării optice a radiației infraroșii purtătoare de informații despre starea energetică a obiectelor din teren, și o aparatură electronică specializată care asigură conversia semnalului optic format în semnal electric ce urmează a fi prelucrat prin procedee electronice.

Un avantaj deosebit al sistemului SCOD este acela că, realizează procesul de măsurare a coordonatelor liniare sau unghiulare ale obiectului fără a intra în contact cu acesta. Acest gen de măsurare face posibilă măsurarea de la distanțe foarte mari, sau în medii corozive, cu temperaturi ridicate, vibrații mecanice etc.

Sistemele SCOD au și dezavantaje – măsurarea este influențată de gradul de omogenitate optică a atmosferei, de fluctuațiile statistice ale semnalului optic captat și de procedeul de modulație optică utilizat. De asemenea, existența zgomotelor externe și interne ale receptorului de radiație contribuie la creșterea erorilor de măsurare.

Pentru a asigura o precizie maximă în determinarea poziției obiectului, în teză parametrii optici ai sistemului SCOD sunt supuși unei optimizări. Principiul sintezei sistemului optimal SCOD, considerat ca un filtru optic liniar, constă în determinarea semnalului optic util din zgomot (semnalul perturbator), astfel încât eroarea medie pătratică să fie minimă (criteriul de optimalitate utilizat).

Elementul asupra căruia se acționează în vederea asigurării unei transmisii maxime a semnalului optic util și a unei transmisii minime a semnalului parazit este discul modulator care, în cadrul sistemului SCOD îndeplinește simultan două funcțiuni: modulează fluxul energetic incident la pupila de intrare a ansamblului optic și filtrează optic semnalul rezultat în urma modulației optice.

Tema tratată în teză, determinarea poziției sau a coordonatelor unei surse termoradiante din teren în raport cu un sistem de referință dat, folosind procedeul de modulație optică a radiației infraroșii emis de sursă și captată de ansamblul optic al sistemului SCOD, este de mare actualitate și pentru elaborarea ei doctorandul și-a propus mai multe obiective.

Obiectivele concrete ale tezei pot fi formulate prin următoarele probleme de rezolvat:

1. fenomenul de emisie și propagare a radiației termice:

- studiul proprietăților specifice și a mărimilor caracteristice radiației infraroșii;
- studiul tipurilor de surse naturale și artificiale care radiază în infraroșu;
- metode de calcul analitic și numeric a mărimilor energetice specifice radiației emise de o sursă termoradiantă și a radiației captate de un receptor de radiație.

2. semnalul optic necoerent:

- formarea semnalului optic și mărimi caracteristice;
- filtrarea spațială și spectrală a semnalului optic;
- procedee de modulație optică și necesitatea creerii subpurtătoarei optice;

3. optimizarea procesului de determinare a poziției unei surse termoradiante prin modulația combinată a subpurtătoarei optice;

4. determinarea parametrilor optimali ai sistemului SCOD – distanța maximă la care este posibilă descoperirea sursei termoradiante.

Pentru a răsunde problematicii enunțate, în teză sunt aprofundate și dezvoltate o serie de teme, dispuse pe capitole, după cum urmează:

Cap.1, **Considerații generale asupra sistemelor de descoperire și localizare a obiectelor termoradiante aflate în teren**, este detinut prezentării unor principii generale legate de descoperirea obiectelor termoradiante din teren, condițiile în care se realizează această descoperire, precum și procedeele de descoperire utilizate - scanarea spațiului obiect sau analiza spațiului imagine. De asemenea, sunt prezentate și analizate schema de principiu a sistemelor de descoperire și localizare a surselor termoradiante din teren, a principalelor elemente care intră în compunerea sistemului sau care influențează funcționarea acestuia. În continuare, este analizat drumul parcurs de radiație, de la sursa termoradiantă la sistemul optic receptor, modulația acesteia și transformarea ei în semnal electric cu anumiți parametri determinați. De asemenea, sunt prezentate principalele caracteristici ale sistemului optic utilizat la captarea radiației infraroșii și este analizată optimizarea acestora, printr-o dispunere adecvată a discului modulator în raport cu celelele elemente optice, pentru a asigura o transmisie maximă a fluxului energetic incident util.

În încheierea cap.1 este analizat un sistem optoelectronic de descoperire și localizare a surselor termoradiante, care scanează câmpul de vedere al sistemului în planul imagine a obiectivului, folosind o diafragmă modulatorie tip "spirala lui Arhimede".

Cap.2, **Fenomenul de radiație termică**, este destinat prezentării și tratării unui punct de vedere original asupra mecanismului de generare a radiației termice emise de o microsursă și propagarea acesteia în spațiu sub formă de undă electromagnetică sferică, folosindu-se modelul dipolului electric oscilant, legile electrodinamicii clasice și ecuațiile lui Maxwell. Cu ajutorul acestui model sunt stabilite principalele caracteristici ondulatorii ale radiației termice produsă de microsursă, precum și transmisia în spațiu a energiei radiante prin intermediul undei

electromagnetice. O caracteristică esențială a modelului folosit, o constituie faptul că, el redă doar aspecte ondulatorii ale microsurselor analizate, și anume, pune în evidență proprietățile și caracteristicile câmpului de radiație și ale undei electromagnetice asociate. De asemenea, sunt stabilite principalele mărimi energetice care definesc starea radiantă din spațiu produsă de o sursă macroscopică de dimensiuni mici și, pe baza teoriei fluxurilor radiante, este dedusă legea lui Lambert. În încheierea cap. II sunt stabilite principalele mărimi energetice care caracterizează radiația emisă de o structură macroscopică de o anumită suprafață și cu o anumită configurație geometrică.

În cap.3, **Radiația termică emisă de surse macroscopice**, sunt prezentate legile radiației termice de echilibru. Este analizat spectrul radiației termice, este definit câmpul de radiație termică produs de o sursă și reprezentarea intuitivă a acesteia prin suprafețe de undă și raze optice.

Este analizată sursa termică punctiformă și sunt prezentate mărimile care definesc radiația emisă de aceasta. În continuare, sunt prezentate sursele de suprafață mică, cu diferite forme geometrice și sunt stabilite relațiile matematice existente între mărimile energetice care definesc radiația emisă, dimensiunile sursei și distanța sursă – observator. În finalul capitoului este prezentată o metodă originală pentru determinarea caracteristicii de radiație a unei surse termice cu o formă geometrică complexă.

În cap.4, **Studiul semnalelor optice. Transmitia acestora prin diafragme modulatorie**, sunt tratate probleme referitoare la obținerea semnalelor optice necoerente cu ajutorul diaframelor modulatorie cu secțiune fixă sau variabilă, particularitățile acestor semnale și clasificarea lor. Este analizată posibilitatea reprezentării semnalelor optice periodice cu ajutorul seriilor Fourier și, ca aplicație, sunt determinate caracteristicile spațiale și frecvențiale ale semnalului optic de forma unei succesiuni de impulsuri dreptunghiulare. În continuare, cu ajutorul integralelor Fourier și Hankel sunt tratate semnalele optice neperiodice. Ca aplicație, sunt analizate semnalele optice neperiodice tip și semnalele optice obținute cu ajutorul discurilor modulatorie simple și combinate, sunt determinate principalele caracteristici spațiale și frecvențiale ale acestor semnale și este prezentată o metodă de calcul a caracteristicii spectrale. De asemenea, sunt tratate semnalele optice aleatoare, sunt evidențiate principalele caracteristici ale acestora și sunt studiate câteva semnale aleatoare tip. În final, sunt prezentate metoda de obținere a unui semnal optic aleator, procedeul de măsurare a mărimilor energetice specifice semnalului, schema de măsurare folosită, modul de calcul a caracteristicilor statistice ale semnalului și determinarea funcției de corelație.

În cap. 5, **Filtrarea semnalelor optice**, este tratată problema filtrării spațiale și spectrale a semnalelor optice și este analizată o metodă de filtrare electronică a semnalelor electrice rezultate la ieșirea receptorului de radiație, în vederea asigurării unui raport semnal util/zgomot optim (maxim).

Filtrarea spațială a semnalelor optice este studiată pe baza teoriei filtrelor liniare. În cadrul acestei teorii, răspunsul sau reacția unui sistem optic liniar și invariant spațial reprezintă o integrală de convoluție între semnalul optic aplicat la intrare și funcția pondere (funcția imaginea punctului) a sistemului optic considerat. În domeniul frecvențelor spațiale funcția pondere a sistemului optic trece în caracteristică de frecvență sau funcție de transfer optic. Aceasta pune în evidență modul în care sistemul optic filtrează frecvențele spațiale ale semnalului optic aplicat la intrare. Sunt analizate diferite elemente optice, efectul aperturii asupra funcției pondere și răspunsul acestor elemente pentru un semnal aplicat la intrare de tip treaptă (fasciculul de raze paralele). Este analizată transmitia semnalului treaptă printr-o apertură de o formă geometrică oarecare și rezultatele sunt particularizate pentru apertura dreptunghiulară și circulară.

Este prezentată o metodă de calcul a funcției de transfer optic a unui sistem optic cu o funcție pupilară de formă circulară și se determină spectrul energetic al semnalului de la ieșire.

Sunt analizate și diafragmele modulatorie cu structură periodică, se prezintă o metodă de calcul a funcției de transfer optic particularizată pentru diafragma cu benzi paralele și diafragma

tablă de șah și se face un studiu comparativ asupra eficacității diaframelor în transmisia semnalelor optice tip.

În final este analizată posibilitatea îmbunătățirii raportului semnalului util/zgomot folosind filtrarea spectrală și filtrarea electronică.

În cap. 6, **Studiul modulației semnalelor optice**, sunt tratate probleme referitoare la modulația fasciculelor optice necoerente, formarea semnalului optic modulat și localizarea surselor termoradiante după demodulația și prelucrarea electronică a semnalelor modulate optic. Sunt prezentate tipurile de modulație optică și sunt analizate modulația armonică de amplitudine, modulația de fază sau de frecvență, modulația în durată și în frecvență a impulsurilor optice.

Sunt studiate posibilitățile de modulație a radiației optice necoerente cu ajutorul discurilor modulator. Este stabilită ecuația semnalului optic rezultat la ieșirea discului modulator, se determină spectrul și caracteristicile esențiale ale semnalului optic modulat. Pentru un disc modulator prevăzut cu o apertură circulară se determină caracteristica de modulație și, pe baza ei, sunt calculate principalele caracteristici ale semnalului modulat. De asemenea, este studiată posibilitatea formării unei subpurtătoare optice și codificarea în parametrii acesteia a datelor referitoare la poziția unghiulară a imaginii sursei termoradiante.

În încheierea capitoului este tratată problema detecției și localizării surselor termoradiante. Este stabilită ecuația distanței și sunt determinați coeficienții de transmisie ai radiației infraroșii de către atmosferă pe distanțele de 1, 5, 10, 20 și 50Km. Cu ajutorul coeficienților calculați și pe baza datelor de catalog ale receptorului de radiație, folosind o metodă grafică, este determinată distanța maximă de acțiune a sistemului SCOD.

Cap. 7 al tezei, **Concluzii finale și contribuții originale**, face o sinteză a lucrării și sunt prezentate cele mai importante contribuții și concluzii rezultate în urma studiilor efectuate. Acestea se regăsesc în cele 15 referințe bibliografice și contractul de cercetare științifică *Cercetări privind detecția și localizarea surselor de radiații în infraroșu*, contract nr. 36/98, tema 27, cod CNCSU 301

*
* *

Autorul consideră o datorie să-și exprime recunoștința față de conducerea Universității "Politehnica" din Timișoara pentru încrederea acordată de a fi acceptat să-mi efectuez studiile de doctorat în cadrul acestei prestigioase instituții de învățământ superior și pentru condițiile create pe parcursul întregii activități desfășurate.

Adresez totodată, cu profundă recunoștință, respectoase mulțumiri Domnului prof. universitar dr.ing. Ioan Nicoară pentru îndrumarea științifică de înaltă ținută și sprijinul permanent acordat în definitivarea tezei de doctorat, pentru observațiile și indicațiile prețioase făcute asupra lucrării și pentru modul cum a condus doctoratul.

Timișoara 14.05.2006

Autorul

CAP.1

Considerații generale asupra sistemelor de descoperire și localizare a obiectelor termoradiante aflate în teren

1.1 Schema de principiu și clasificarea sistemelor SCOD

Modul de funcționare a sistemului de căutare, observare și descoperire, denumit în continuare SCOD, se bazează pe recepția radiației emise de obiect (țintă), în anumite domenii ale spectrului infraroșu și conversia acesteia în semnal electric, supus unei prelucrări electronice ulterioare.

Recepția radiației este posibilă datorită proprietăților undelor electromagnetice, din care se amintesc: - fenomenele de reflexie și refracție; - propagarea în vid cu viteza luminii; - propagarea în linie dreaptă a frontului undei dacă mediul este omogen și izotrop. Fenomenele menționate pot fi utilizate la localizarea obiectelor termoradiante numai în măsura în care între parametrii radiației emise de obiect și coordonatele geometrice ale acestuia există o dependență funcțională univocă și precis determinată.

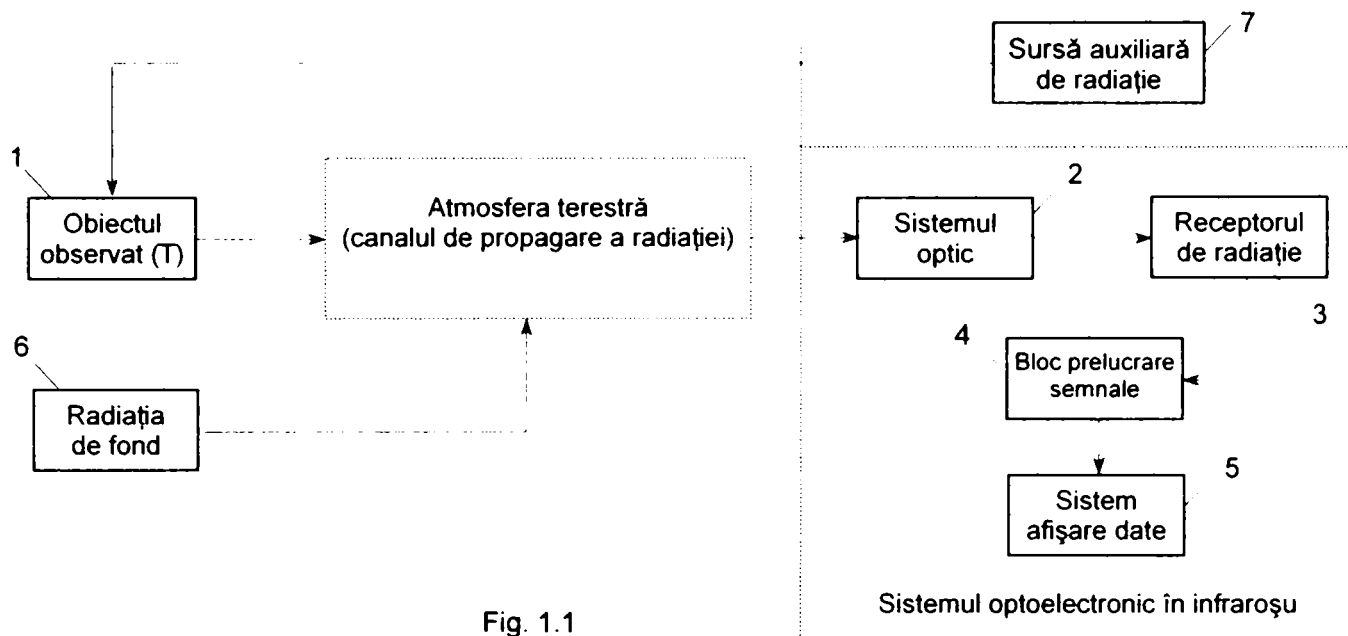
În fig.1.1 se prezintă schema de principiu a unui sistem SCOD, în care sunt evidențiate elementele esențiale ale sistemului și elementele care influențează funcționarea acestuia. Aceasta cuprinde: 1 - sursa de radiație sau obiectul observat aflat la temperatura T ; 2 - sistemul optic; 3,4,5 - blocul de recepție și prelucrare a semnalelor electronice; 6 – canalul neșhidat de propagare a radiației (atmosfera terestră).

Radiația emisă de obiectul căutat, în propagare este perturbată de radiația emisă de alte surse termice, cu dimensiuni foarte mari și care formează radiația fondului.

În unele cazuri, obiectul observat (1) este iluminat în infraroșu de către un sistem optic de generare și transmisie a unui flux energetic radiant auxiliar.

Sistemul optic (2) captează o parte din fluxul energetic emis sau reflectat de obiectul observat,

îl prelucrează optic și îl focalizează pe suprafața sensibilă a receptorului de radiație (3). Acesta convertește semnalul optic în semnal electric, pe care îl trimite în blocul de prelucrare a semnalelor electrice, în vederea obținerii informației utile.



Aceste informații pot fi vizualizate direct ca imagine televizată, utilizând un sistem de afișare (display) sau pot fi depozitate pe un suport magnetic pentru a fi prelucrate ulterior cu ajutorul unui sistem de calcul. Pentru a simplifica sistemul, informația utilă poate fi înregistrată direct pe peliculă fotografică. Înregistrarea se poate efectua în infraroșu dacă semnalul prelucrat de sistemul optic se aplică direct plăcii fotografice, sau în vizibil, dacă acest semnal este trecut printr-un tub convertor de imagine, care asigură translația spectrului semnalului optic din zona infraroșu în vizibil, cu păstrarea constantă a strălucirii pentru fiecare lungime de undă.

O clasificare a sistemelor SCOD în infraroșu este dificil de realizat deoarece, în prezent, există o multitudine de aparate având atât principii constructive, cât și destinații dintre cele mai diverse. O primă clasificare a acestor sisteme se poate face după metoda folosită la descoperirea și observarea obiectelor din teren: activă, pasivă sau combinată:

- *Sistemele active*, la care funcționarea se bazează pe iluminarea câmpului observat cu un fascicul de raze infraroșii cu λ cunoscut, folosindu-se o sursă generatoare de radiații și un sistem optic de transmisie a acestor radiații. Radiația transmisă reprezintă semnalul purtător, iar modulația în amplitudine a semnalului se realizează la obiect, funcție de capacitatea de reflexie a suprafeței sale. Folosirea metodei active simplifică foarte mult partea de recepție a sistemului optoelectronic, dar presupune în același timp și existența unei surse de radiație de mare putere. Întrucât spectrul radiației emise poate fi influențat de anumite condiții meteorologice, funcționarea și performanțele sistemului pot fi puternic afectate.

Un alt inconvenient al acestui sistem îl reprezintă și posibilitatea descoperirii și localizării sursei generatoare de radiații.

– *Sistemele pasive*, la care funcționarea se bazează numai pe utilizarea radiației termice emise de obiect. În acest caz, sistemul optic captează pe lângă semnalul util și alte semnale, parazite, provenite de la radiația de fond (radiația termică de echilibru existentă în atmosferă și radiația emisă de obiectele cu dimensiuni mari). Deoarece toate semnalele captate sunt comparabile ca mărime, este necesar ca prin procedee optice și electronice să se prelucreze semnalul amestec recepționat în vederea extragerii semnalului util. Aceste sisteme asigură secretul acțiunii de căutare, observare și localizare a obiectelor din teren.

– *Sistemele combinate*, la care funcționarea se bazează pe observația că un obiect care are o putere de absorbție mare are și o putere de emisie mare (legea lui Kirchhoff). În teren sunt dispuse obiecte cu suprafețe care au un coeficient de reflexie foarte bun, într-un domeniu spectral cunoscut. Aceste obiecte sunt iluminate de surse generatoare de radiație. Prin reflexia radiației se acoperă o anumită zonă observată din teren. La pătrunderea unui obiect străin în această zonă, care are un factor de absorbție maximă în domeniul spectral al radiației existente în zonă, atunci radiația emisă de acesta va fi cu mult mai mare față de radiația parazită existentă în mediu. În acest caz, partea de recepție a sistemului se simplifică foarte mult întrucât nu mai sunt necesare procedee speciale de filtrare. Aceste sisteme asigură și selecția obiectelor din teren observate.

O altă clasificare a sistemelor în infraroșu se face după destinație. Acestea se împart în:

- radiometre;
- sisteme de căutare;
- sisteme de urmărire;
- sisteme de formare/redare imagini;
- sisteme de legătură în infraroșu;
- sisteme pentru determinarea distanței.

– *Sistemele radiometrice*. Sunt destinate captării energiei radiante emise de obiectele din teren și determinarea distribuției spectrale a acestei energii. Pentru domenii spectrale înguste sunt folosite aparate numite *spectrometre*.

– *Sistemele de căutare*. Cuprinde aparatura destinată descoperirii și localizării în teren (determinarea coordonatelor obiectului descoperit în raport cu sistemul de referință ales) a obiectelor fixe și mobile aflate în câmpul de observare. Aceste sisteme prezintă o mare diversitate, atât constructivă, cât și ca principiu de lucru – de la cele mai simple aparate, care în momentul descoperirii sursei termice în teren emit semnale sonore, până la cele mai complexe, care prin scanare asigură descoperirea obiectelor termoradiante mobile și oferă, în timp real, date

despre poziția acestora.

Sistemele de formare a imaginilor în infraroșu. Sunt reprezentate de camerele de luat vederi în infraroșu, cu cele mai diverse construcții. Dacă la celelalte tipuri de aparate în infraroșu analizate, imaginea formată de sistemul optic este aproape un punct în care este concentrată întreaga energie a radiației captate, sistemele optice ale camerelor de luat vederi în infraroșu trebuie să formeze o imagine cât mai fidelă unei anumite zone a spațiului obiect analizat.

Sistemele de urmărire în infraroșu. Sunt destinate descoperirii obiectelor termoradiante mobile și urmărirea acestora în timp, cu o anumită eroare.

Un sistem SCOD care lucrează după metoda pasivă trebuie să asigure următoarele funcțiuni:

- să descopere și să identifice obiectul căutat;
- să semnalizeze prezența în spațiu a obiectului descoperit;
- să urmărească obiectul dacă acesta este în mișcare;
- să determine poziția obiectului în raport cu referențialul ales;
- să determine unele caracteristici ale obiectului: dimensiuni geometrice, temperatură, compoziție spectrală etc.

1.2 Obiectele din teren - surse de radiație în infraroșu

1.2.1 Consideratii generale

În general, termenul de sursă de radiație în infraroșu se atribuie oricărui obiect din teren care emite sau reflectă o radiație electromagnetică. Această radiație este o *radiație necoerentă* reprezentând o suprapunere de unde electromagnetice cu lungimi de unda foarte diferite și faze cu variații haotice. Din acest motiv, evaluarea cantitativă a radiației emise se face numai cu ajutorul marimilor energetice ca: energie radiantă, flux energetic radiant, intensitate energetică, și strălucire energetică, care de fapt reprezintă parametrii radiației.

Sursele din teren care fac obiectul căutării și decoperirii poartă numele de *ținta*, celelalte obiecte se constituie în *elemente de fond*.

Radiația care pleacă de la un obiect poate fi *proprie* sau *reflectată*.

Radiația proprie reprezintă radiația emisă de un obiect pe seama rezervei de energie internă, sau pe seama radiației absorbite din mediul exterior. Dacă în acest schimb de energie radiantă temperatura obiectului se păstrează constantă, radiația emisă de corp reprezintă o *radiație de echilibru*, care depinde de temperatura absolută a obiectului, de forma geometrică și de emisivitatea suprafeței sale. Radiația existentă în natură se poate considera o radiație de

echilibru, deoarece variațiile de temperatură ale obiectelor din teren se produc într-un timp mult mai mare decât timpul necesar măsurării parametrilor radiației.

Radiația reflectată reprezintă radiația provenită de la sursele naturale (Soarele, Luna, suprafața terestră, atmosfera etc.) sau artificiale (proiectoare, markere etc.) și reflectata de suprafața obiectului analizat. Radiația reflectată depinde de capacitatea de reflexie a suprafețelor obiectului.

Radiația emisă sau reflectată de un obiect pune în evidență mai multe caracteristici ale obiectului: temperatură, formă, dimensiuni, culoare, compoziție chimică etc., însă reprezentarea acestor caracteristici se face indirect, prin intermediul parametrilor radiației. Raportând spațiul la un sistem ortogonal de axe, mărimile energetice ale radiației vor reprezenta în fiecare punct din spațiu funcții de variabilele independente x, y, z . Aceste mărimi definesc un câmp de radiație nestaționar, care în domeniul analizat D este determinat atât de regimul energetic al obiectelor căutate și aflate în domeniul D , cât și de factorii externi acestora – radiația emisă și reflectată de elementele fondului.

Descoperirea obiectelor din teren se realizează pe baza unui singur parametru al radiației emise de acestea – *strălucirea energetică*, definită ca fluxul energetic emis de unitatea de suprafață, pe o direcție normală la aceasta, într-un unghi solid egal cu unitatea. Rezultă că, strălucirea unui punct din câmpul de radiație depinde de coordonatele punctului și de parametrii direcției de observație.

Pentru marea majoritate a obiectelor din teren (corpuri solide cu suprafață rugoasă) strălucirea energetică b_e se poate considera ca fiind o mărime constantă, pe orice direcție de observație apropiată de normala la suprafața radiantă, adică reprezintă o funcție de punct $b_e = f(x, y, z)$. Întrucât variația strălucirii după coordonata z (profundimea câmpului) este nesemnificativă, strălucirea câmpului de radiație se poate reprezenta printr-o funcție bidimensională $f(x, y)$ care descrie distribuția de strălucire într-un plan perpendicular pe direcția de observație. Strălucirea fondului prezintă o variație aleatoare în timp și spațiu, însă aceasta se produce într-un timp mult mai mare decât timpul necesar măsurărilor parametrilor câmpului de radiație. Din aceste motive strălucirea fondului se considera constantă.

Măsurarea și înregistrarea parametrilor câmpului de radiație se realizează cu echipamente care au în compunere *sisteme optice*, deoarece în procesul de măsurare acestea nu influențează regimul termic al obiectului observat și al câmpului de radiație analizat. Măsurările efectuate se bazează pe analiza imaginii câmpului de radiație și transformarea parametrilor acestuia în semnale electrice.

1.2.2 Descoperirea surselor termice (țintelor) din teren

Explicarea modului în care sistemele SCOD descoperă obiectele din teren și identifică țintele se bazează pe următoarele ipotezele simplificatoare:

- fiecare obiect din teren emite o radiație necoerentă, asemanatoare corpului cenusiu;
- în medii omogene și izotrope radiația emisă se propaga rectiliniu, cu viteza luminii și în toate direcțiile;
- propagarea radiației după o direcție se realizează sub forma unui fascicul de raze foarte îngust;
- intensitatea energetică a mai multor fascicule de radiație necoerentă, care se suprapun într-un punct din spațiu, este egală cu suma intensităților fiecărui fascicul în parte.

Pe baza acestor ipoteze simplificatoare, rezultă că într-un punct din spațiu, aflat pe direcția de observare, strălucirea energetică reprezintă suma între strălucirea obiectului observat și strălucirea fondului, care se presupune constantă. Strălucirea produsă de alte obiecte, ce nu se află pe direcția de observare, este neglijată (legea cosinusului). Radiația electromagnetică provenită de la obiectele observate (se presupune că obiectele sunt dispuse într-un plan perpendicular pe direcția de observare), este focalizată de către sistemul optic în planul focal unde este dispus și receptorul de radiație. Imaginea obținută în planul focal este caracterizată de strălucirea $b(x,y)$ asemănătoare cu distribuția de strălucire din câmpul de radiație ale obiectelor observate. În acest caz, pozițiile punctelor de maxim ale funcției $b(x,y)$ vor coincide cu pozițiile obiectelor din teren. Prin detectarea acestor maxime de către receptorul de radiație, se asigură transformarea variației spațiale a semnalului optic într-o variație temporală de tensiune sau curent, care prin prelucrare electronică pune în evidență poziția obiectelor căutate în raport cu un referențial dat. Dacă asupra receptorului de radiație s-ar focaliza întregul câmp de radiație observat, la ieșirea acestuia se obține o tensiune continuă, determinată de o strălucire medie a câmpului de radiație (receptorul de radiație realizează o mediere a radiației incidente pe suprafața sa). În acest caz, cu semnalul electric obținut nu se pune în evidență nici un detaliu (maxim local de strălucire) din câmpul obiect, ci numai o strălucire medie corespunzătoare unui obiect cu dimensiunile egale cu ale câmpului observat.

1.2.3 Scanarea spațiului obiect

Pentru a obține detaliile dorite, suprafața câmpului de radiație sau imaginea acestuia, trebuie împărțită în elemente de suprafață astfel încât, fiecare element de suprafață obținut să prezinte o strălucire aproximativ constantă. În acest caz, focalizând succesiv pe suprafața

receptorului radiația cuprinsă în limitele fiecărui element, la ieșirea acestuia se obține un semnal electric care după prelucrare pune în evidență informațiile dorite (fig.1.2). Din figură se observă că variațiile în timp ale semnalului electric $u(t)$ obținut sunt proporționale cu strălucirea elementelor de suprafață parcurse într-o anumită ordine. Prin această explorare s-a realizat o modulație în amplitudine a semnalului electric în funcție de strălucirea spațială a câmpului radiație. Cu cât numărul de elemente în care s-a descompus câmpul de radiație este mai mare, cu atât mai multe informații (detalii ale câmpului) vor fi conținute în parametrii semnalului electric.

Din exemplu prezentat rezultă că:

– informațiile (detaliile câmpului) sunt conținute numai în componenta variabilă a semnalului electric. Componenta continuă a tensiunii este proporțională cu o strălucire medie (strălucirea fondului);

– descoperirea și localizarea obiectelor din teren reprezintă un proces complex ce cuprinde mai multe operații desfășurate simultan sau succesiv: *căutarea, analiza imaginii, identificarea (selectarea) și localizarea* obiectelor, operații posibil de realizat numai dacă acestea au o strălucire (temperatură) diferită de aceea a fondului.

Căutarea reprezintă o explorare sistematică a câmpului de radiație (scanare) sau a imaginii acestuia (analiza imaginii). În fig. 1.3 se prezintă schema celui mai simplu dispozitiv de observare a câmpului termic din spațiul obiect (scanare în planul obiect). Acesta are în compunere un sistem optic, un receptor monoelement, un bloc de prelucrare a semnalelor electrice și două oglinzi plane care execută mișcări oscilatorii în raport cu două axe reciproc perpendiculare. Sistemul poate lucra numai cu o singură oglindă dacă se folosește pentru direcție o matrice de receptori punctiformi dispuși în linie. Câmpul vizual instantaneu al sistemului optic este determinat de mărimile unghiulare ale unui receptor punctiform de radiație, iar câmpul de observare de unghiurile de rotație ale oglinzilor plane. Pentru explorarea câmpului se folosește proprietatea oglinzii plane care, dacă este rotită cu unghiul α , raza incidentă trebuie rotită cu unghiul 2α pentru ca raza reflectată să-și păstreze direcția. În acest mod, la rotirea oglinzii orizontale, fasciculele de raze provenite de la toate punctele dispuse pe o linie orizontală în spațiul obiect, vor fi reflectate numai pe direcția receptorului de radiație. Întrucât raza reflectată nu-și schimbă direcția, analiza procesului de scanare se poate face considerind imaginea suprafeței receptorului proiectată în spațiul obiect (fig. 1.3).

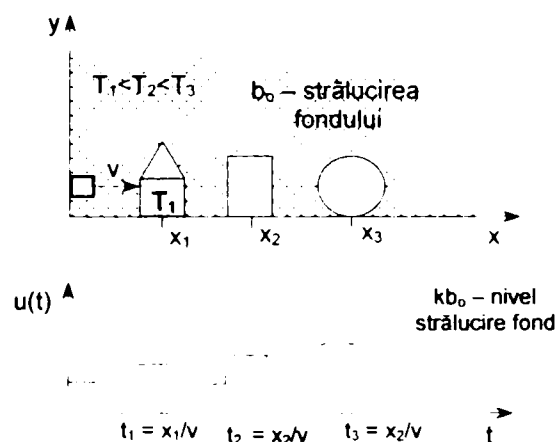
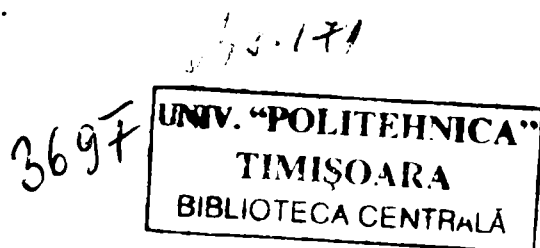
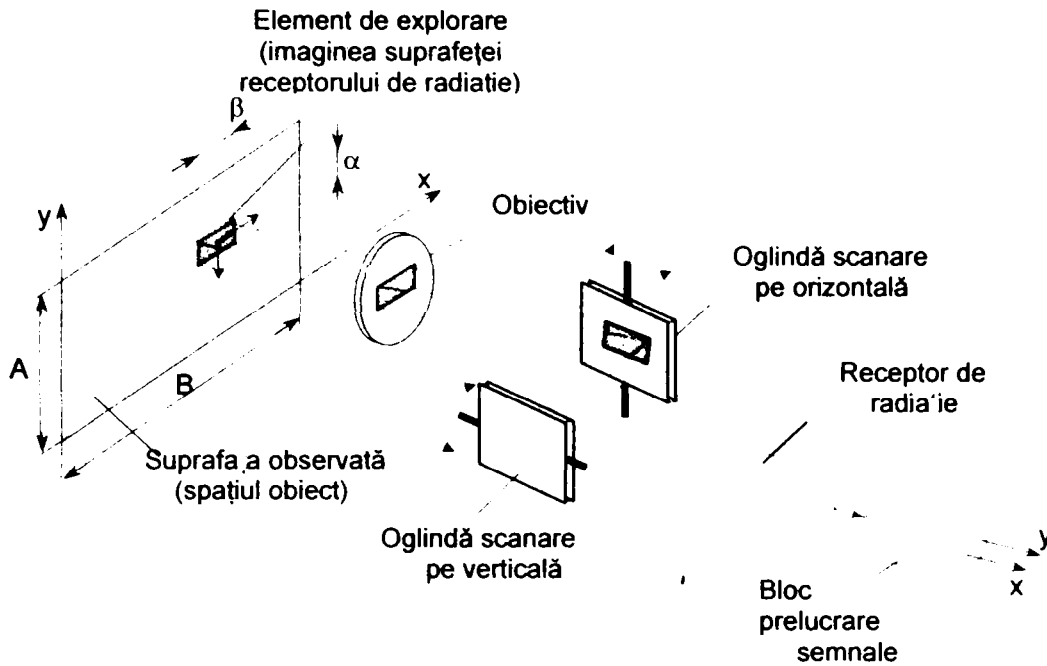


Fig. 1.2





1.2.4 Frecvența de scanare a spațiului obiect

Notînd cu $a \times b$ dimensiunile liniare ale suprafeței receptorului și cu f distanța focală a obiectivului, rezultă că dimensiunile unghiulare ale elementului de explorare (scanare) sunt: $\alpha = a/f$ și $\beta = b/f$, exprimate în mrad. De exemplu dacă, $a = b = 0,05\text{mm}$ și $f = 50\text{mm}$ rezulta $\alpha = \beta = 1\text{mrad}$. Dacă suprafața scanată se afla la distanța $D = 1000\text{m}$ de sistem, elementul de scanare este un pătrat cu latura de 1m . Pentru scanarea cîmpului, oglinda execută o mișcare oscilatorie cu frecvența F și viteza unghiulară Ω . În acest caz, fasciculul incident la suprafața oglinzii se rotește cu viteza unghiulară 2Ω și elementul de explorare, aflat la distanța D se deplasează cu viteză $v = 2\pi.FD$. Viteza de deplasare a elementului de scanare este limitată de constanta de timp a receptorului (inerția receptorului). În fig.1.4 este prezentat un caz limită în care obiectele observate, de aceeași dimensiune, (egală cu suprafața elementului de explorare) sunt dispuse la distanța $T_\alpha = 2\alpha D$. În acest caz, strălucirea cîmpului după direcția x este o funcție periodică, de perioadă spațială T_α și are expresia analitică

$$b(x) = \begin{cases} b_o & \text{pentru } 0 < x < T_\alpha/2, \\ 0 & \text{pentru } T_\alpha/2 < x < T_\alpha. \end{cases}$$

La deplasarea cu viteza v a elementului de explorare strălucirea $b(x)$ se transformă prin intermediul receptorului de

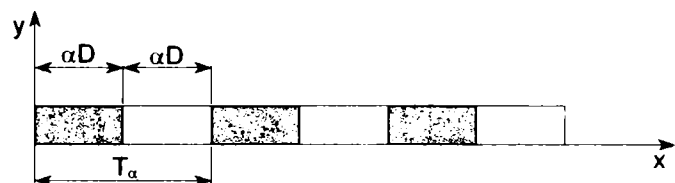


Fig. 1.4

radiație într-un semnal electric cu variație temporală $u(t)$. Variabila x este legată de variabila t prin relația $x = vt$. Frecvența spațială f_α se poate exprima în funcție de frecvența temporală f

$$f_\alpha = \frac{1}{T_x} = \frac{1}{vT} = \frac{f}{v}, \quad (1.1)$$

sau $f = vf_\alpha = \frac{v}{2\alpha}$, unde v este viteza de explorare a spațiului obiect și f – frecvența modulatorie a semnalului electric. Considerând suprafața explorată de dimensiuni $A \times B$ (fig. 1.5) rezultă că, numărul de elemente explorate pe un rând este $A/\alpha D$ și a celor explorate pe coloană – $B/\beta D$. Întrucât numărul total de elemente explorate este $A \cdot B / \alpha \beta D^2$ se obține frecvența maximă a semnalului electric modulat $f_{\max} = \frac{A \cdot B}{2\alpha\beta} \frac{N}{D^2}$, unde N reprezintă numărul de cadre explorate într-o secundă.

Deoarece informația despre poziția țintelor este conținută numai în partea variabilă a semnalului electric obținut, acesta este supus procesului de filtrare, suprimându-se componenta continuă proporțională cu strălucirea fondului. Amplitudinea componentei variabile a semnalului fiind foarte mică, de ordinul μV (diferența de temperatură dintre țintă și fond poate fi sub $1^\circ C$), semnalul rezultat este amplificat în vederea prelucrării electronice. Mișcarea elementului de explorare se face cu viteză constantă, după orice traiectorie cu condiția ca în timpul unui ciclu să fie cuprinse toate punctele câmpului o singură dată.

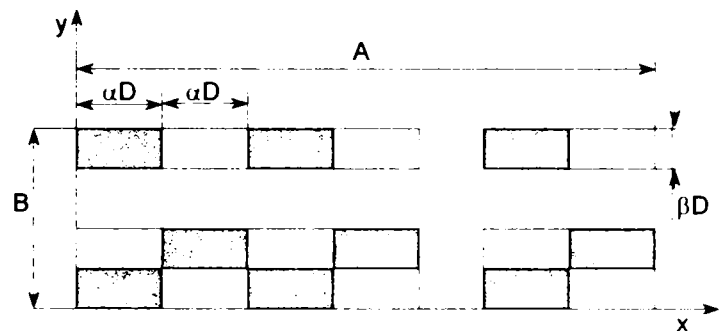


Fig. 1.5.

Viteza maximă de scanare este determinată de constanta de timp τ a receptorului de radiație. În fig. 1.6. se arată forma aproximativă, distorsionată a impulsului de curent obținut la ieșirea receptorului de radiație, când la intrarea acestuia se aplică o succesiune de impulsuri optice, de forma A, ptunghiulară, cu perioada de repetiție T_α și durata t_α .

Se observă că, la dispariția impulsului optic curentul generat de receptor începe să descrească după o exponențială, ocupînd o anumită zonă pe urt e p uză impulsului optic. Dacă viteza de explorare este mare, apare

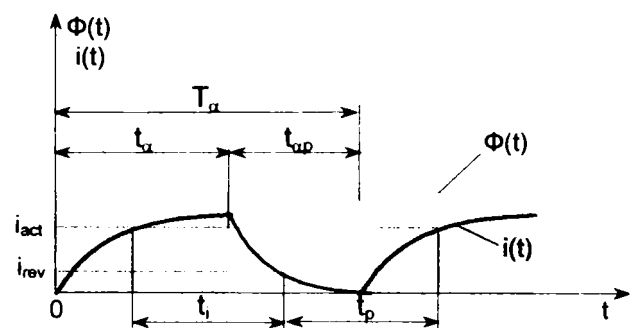


Fig. 1.6.

riscul ca descreșterea impulsului de curent să nu se termine în timpul t_{op} și să înceapă o nouă creștere de curent. În acest caz, mărimea componentei medii a semnalului electric crește și, în mod corespunzător se reduc amplitudinile componentelor variabile determinând pierderea de informații (detalii) transmise. Întrucât un proces tranzitoriu se consideră aproximativ încheiat după un timp egal cu cel puțin două constante ale receptorului, rezultă condiția pe care trebuie să o îndeplinească perioada de repetiție a impulsului optic: $T_\alpha \geq 2\tau$, sau $vT \geq 2v\tau$, de unde rezultă $v \leq T_\alpha/2\tau = \alpha/\tau$, cu T_α perioada de repetiție spațială a semnalului optic. În acest mod, eroarea cauzată de distorsiunea de formă a impulsului electric, se poate reduce considerabil prin limitarea frecvenței de succesiune a impulsurilor optice.

1.2.5 Explorarea spațiului imagine

Căutarea mai poate fi realizată și prin explorarea imaginii câmpului de radiație termică. În acest scop se folosește o *diafragmă analizoare* dispusă în planul focal și care execută o mișcare cu o viteză determinată. Mișcarea diafragmei pe suprafața imaginii se poate realiza după orice

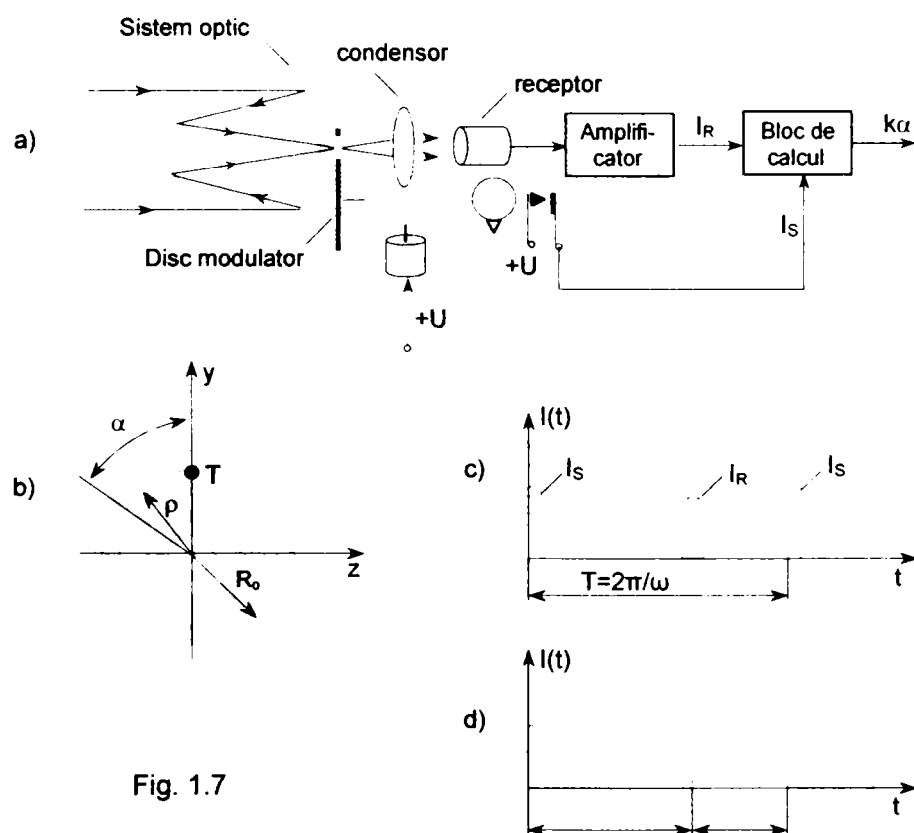


Fig. 1.7

traietorie, cu condiția ca deschiderea diafragmei să treacă prin toate punctele imaginii, o singură dată, în timpul unui ciclu. Și în acest caz, numărul de elemente în care se descompune imaginea este determinat de dimensiunile deschiderii diafragmei. Deplasarea diafragmei pe fiecare element de imagine se realizează cu dispozitive mecanice.

În fig. 1.7 a se prezintă un sistem de analiză a imaginii câmpului termic, în care se folosește o diafragmă modulatoră (fig.1.7 b) prevăzută cu o fantă de forma spiralei lui Arhimede ($\rho = a.\varphi$). Întrucât câmpul termic observat se află la o distanță mare de sistemul optic, imaginea acestuia se formează în planul focal și are forma unui cerc mic de rază r . Pentru ca întreaga energie conținută în cercul de dispersie să ajungă la receptor, lățimea fantei trebuie să fie egală cu cel puțin $2r$.

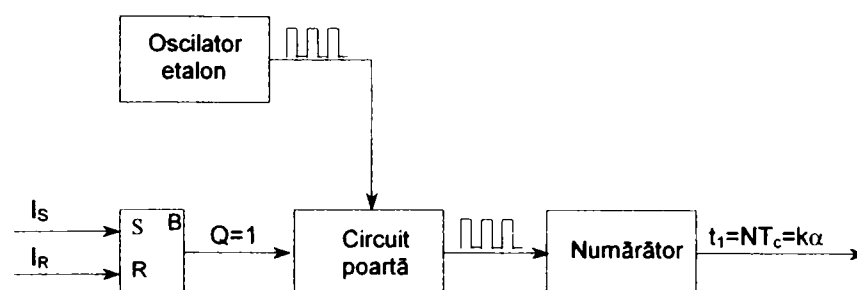
Sistemul mai cuprinde un condensator care, indiferent de mersul razelor prin obiectivul sistemului (înclinarea acestora față de axa optică), le concentrează pe suprafața unui cerc cu diametrul unui cerc egal cu diametrul suprafeței sensibile a receptorului de radiație. Condensatorul permite reducerea substanțială a suprafeței sensibile a receptorului și asigură o iluminare constantă a acesteia indiferent de poziția sursei de radiație față de axa optică a sistemului.

Operația de căutare a sursei se realizează prin rotirea diafragmei cu viteză unghiulară ω constantă, de un motor electric. Imaginea câmpului de radiație este descompusă în elemente de imagine de forma unei spirale. Fiecare element de imagine este analizat de către fantă dacă conține sau nu sursa căutată (ținta).

Pentru a simplifica procesul de descoperire a țintei, se consideră că aceasta se află pe axa oy , luată ca axă de referință. În acest caz, dependența între unghiul de rotație al diafragmei, $\alpha = \omega t$, și distanța ρ a țintei față de axa optică este una liniară $\rho = a\alpha$. Unghiul de rotație α al diafragmei pînă la interceptarea țintei este proporțional cu timpul t_1 . Cînd diafragma trece prin poziția de zero (raza maximă a spiralei R_0 coincide cu axa oy) cama (6) acționează comutatorul K_1 și spre blocul de calcul (5) se trimite un impuls electric de sincronizare I_S . Acest impuls (fig.1.8) se aplică pe intrarea S a bistabilului B, care basculează în starea $Q = 1$, deschizând circuitul de poartă și trecerea impulsurilor de tact spre numărător. Impulsurile de tact sunt generate de un oscilator etalon și au o perioadă T_c riguros constantă.

Cînd fanta intersectează imaginea sursei, la ieșirea receptorului de radiație apare un impuls I_R , care se aplică pe intrarea R a bistabilului. Acesta trece în starea $Q = 0$, închizând circuitul de poartă și oprind astfel procesul de numărare. În intervalul de timp t_1 numărătorul a înregistrat N impulsuri de tact, deci $t_1 = N.T_c = k\alpha$.

Fig. 1.8



1.3 Localizarea obiectelor din teren cu sistemul SCOD

1.3.1 Considerații generale

Localizarea obiectelor din teren este posibilă datorită radiației termice emise de acestea. În medii omogene și izotrope radiația termică se propagă în linie dreaptă, sub formă de undă electromagnetică, având viteze apropiate de viteza luminii în vid. În condiții reale, propagarea radiației este influențată de mai mulți factori: proprietățile solului, forma reliefului, neomogenitatea, turbulența și ionizarea atmosferei care, în anumite limite, influențează viteza și direcția de propagare a undelor electromagnetice. Cu toate aceste limitări, folosind mijloace optice adecvate în captarea unei fracțiuni din radiația emisă de o sursă termică, se pot obține informații importante privind poziția acesteia în raport cu un referențial dat.

Se precizează că fenomenul de radiație termică poate fi utilizat la determinarea cu precizie a coordonatelor unei surse termice numai în măsura în care sunt satisfăcute condițiile:

- sursa termică se află la o distanță apreciabilă față de observator, încât imaginea acesteia formată de un sistem optic să fie un punct;
- atmosfera prin care se propagă radiația termică este considerată omogenă și izotropă.

În aceste condiții, radiația se propagă în linie dreaptă și permite determinarea unghiului format de axa optică a sistemului optic utilizat și linia de vizare a sursei termice.

Poziția sursei termice T (fig.1.9), în raport cu sistemul de coordonate cartezian $Oxyz$ dat se determină prin coordonatele (x_T, y_T, z_T) . Acest sistem de coordonate are axa x orientată după verticala locului de observare (punctul de observare O), axa y conținută într-un plan tangent la suprafața terestră în punctul O și orientată după o direcție prestabilită, iar axa z în același plan orizontal și perpendicular pe axa y . Între coordonatele (x_T, y_T, z_T) ale sursei și unghiul φ format de axa z și linia care unește originea O cu sursa T (linia de vizare) există relațiile

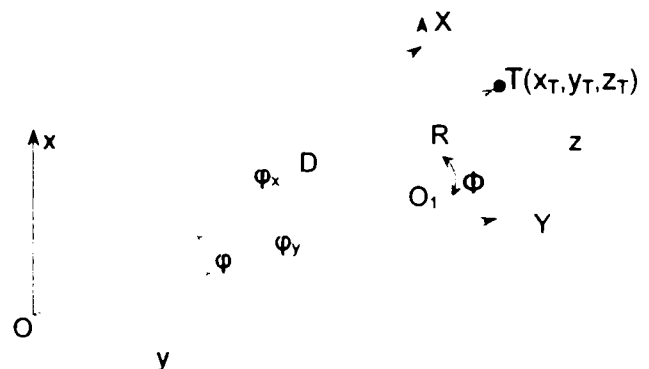


Fig. 1.9

$$OT = D = \sqrt{x_T^2 + y_T^2 + z_T^2}, \quad \text{cu } \operatorname{tg} \varphi_y = \frac{y_T}{z_T}, \quad \operatorname{tg} \varphi_x = \frac{x_T}{z_T} \quad \text{și } \operatorname{tg} \varphi = \sqrt{\operatorname{tg}^2 \varphi_y + \operatorname{tg}^2 \varphi_x}.$$

Există aplicații în care interesează poziția sursei termice în raport cu axa z . Această poziție este determinată de unghiurile φ_x și φ_y , numite în literatura de specialitate *unghiuri de abatere*. Componentele unghiului φ în planul orizontal $x = 0$, respectiv planul vertical $y = 0$

formează unghiurile de înălțare φ_x , respectiv de azimut φ_y . Componentele unghiulare (φ_x, φ_y) formează coordonatele unghiulare ale sursei T în raport cu axa z și pot fi determinate după poziția imaginii sursei termice formată în planul focal imagine a unui sistem optic (obiectiv) în raport cu axa optica, când aceasta coincide cu axa z.

Modul în care sistemul optic formează imaginea unei surse termice și elementele care definesc această imagine sunt prezentat în fig. 1.10, unde:

- *planul obiect* (2) conține obiectul termic T observat și este perpendicular pe axa optică a sistemului;
- *planul imagine* (5) este perpendicular pe axa optică în care se formează imaginea obiectului termic;
- *unghiul optic de vedere* reprezintă unghiul 2θ la vârful unui con a cărui axă coincide

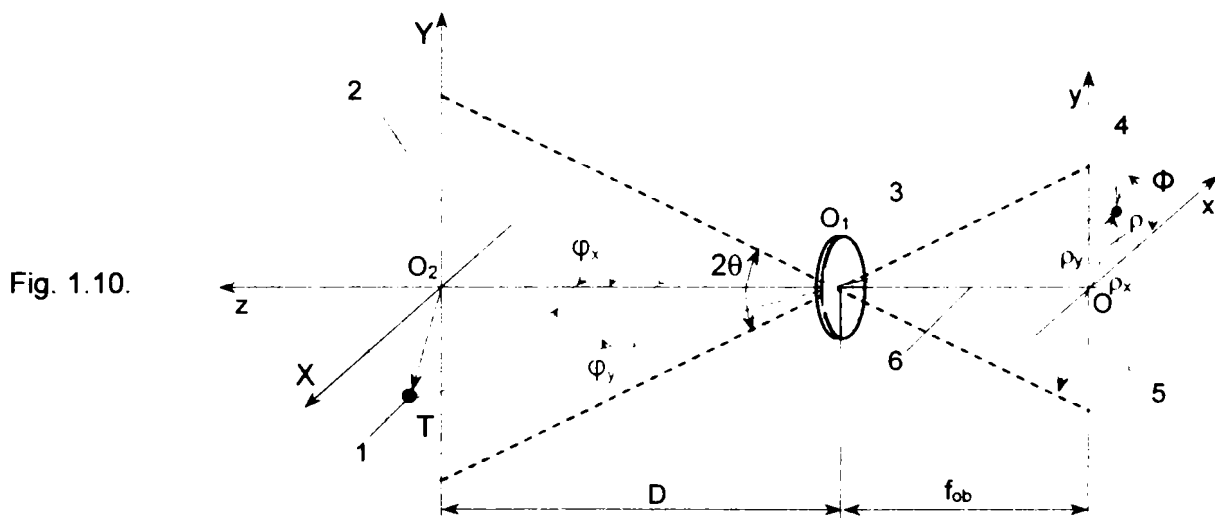


Fig. 1.10.

- 1 – obiectul termic observat; 2 – planul de dispunere a obiectului;
3 – obiectiv; 4 – imaginea obiectului; 5 – planul focal imagine;
6 – axa optică.

cu axa sistemului optic și cu vârful dispus în centrul sistemului optic. Baza conului este în spațiul obiect la o distanță egală cu distanța maximă de acțiune a sistemului SCOD. Obiectul observat se poate afla în oricare punct din interiorul conului, iar imaginea lui se proiectează pe suprafața sensibilă a receptorului de radiație (coincide cu planul focal imagine), care formează un semnal electric;

- *axa sistemului optic* este o linie cuprinsă în limitele câmpului optic cu proprietatea că, dacă obiectul observat se află în oricare punct al acestei linii tensiunea la ieșirea receptorului de radiație este nulă. De obicei axa sistemului SCOD coincide cu axa optică a obiectivului;

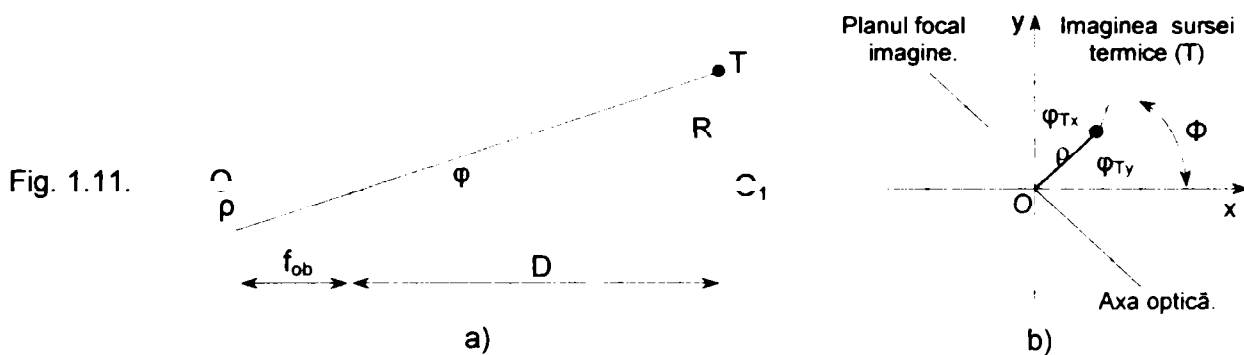
- *planul de abatere a obiectului observat* este planul care conține axa sistemului optoelectronic și linia care unește centrul pupilei de intrare a obiectivului cu centrul obiectului termic observat (linia sau direcția de vizare, sau de observare);

- *unghiul de fază* – unghiul Φ care determină poziția planului de abatere în raport cu planul orizontal $y = 0$, considerat plan de referință.

1.3.2 Calculul unghiului de abatere

În sistemul SCOD unghiul de abatere φ , respectiv componentele sale φ_x și φ_y se determină după poziția imaginii sursei termice T în planul imagine al sistemului optic (fig.1.11).

Poziția imaginii sursei T în planul focal Oxy este caracterizată de mărimea ρ (distanța OT) și unghiul de fază Φ (fig.1.11,b). Dacă sursa termică T se află pe axa z, unghiul de abatere este nul ($\varphi = 0$) și imaginea acesteia coincide cu punctul O (centrul planului focal) al planului focal prin care trece și axa optică a sistemului. Dacă sursa termică T este deplasată față de centrul O_1 (fig. 1.11, a), apare unghiul de abatere φ și imaginea acesteia se deplasează față de



centrul planului focal cu o distanță oarecare ρ , proporțională cu unghiul de abatere φ . Notînd cu f_{ob} distanța focală a obiectivului și avîndu-se în vedere că în aplicații practice unghiul de abatere φ prezintă valori mici (sub 3°), rezultă ecuațiile care caracterizează abaterea liniară a imaginii sursei T față de punctul O

$$\rho = f_{ob} \operatorname{tg} \varphi \approx f_{ob} \varphi ,$$

cu f_{ob} – distanța focală a sistemului optic,

$$\rho_y = f_{ob} \operatorname{tg} \varphi_y \approx f_{ob} \varphi_y, \quad \rho_x = f_{ob} \operatorname{tg} \varphi_x \approx f_{ob} \varphi_x, \quad (1.2)$$

și

$$\rho = \sqrt{\rho_y^2 + \rho_x^2} = f_{ob} \sqrt{\operatorname{tg}^2 \varphi_y + \operatorname{tg}^2 \varphi_x} \approx f_{ob} \sqrt{\varphi_y^2 + \varphi_x^2} . \quad (1.3)$$

Mărimea ρ se determină cu ajutorul analizorului de imagine dispus în planul focal imagine.

Schema de principiu a sistemului optoelectronic care asigură determinarea semnalelor φ_x și φ_y este prezentată în fig. 1.12. Aceasta se compune din ansamblul optic de vizare a sursei termice (1), format din două oglinzi (sistem Cassegrin), din care oglinda concavă 2 – oglindă principală, iar oglinda concavă 3 – oglindă secundară, care focalizează fluxul energetic captat în planul analizorului de imagine (discul modulator) 4. Acesta modifică sau modulează unul sau mai mulți parametri ai fluxului energetic incident funcție de poziția imaginii sursei termice în raport cu punctul O (parametrii ρ și Φ). Receptorul de radiație 6 transformă fluxul energetic modulat într-un semnal electric variabil $i_f(t)$ care este trimis în preamplificatorul 7. Semnalul obținut la ieșirea preamplificatorului conține două informații: distanța de la imaginea sursei termice la axa optică a sistemului și unghiul de fază Φ (fig. 1.11,b). Cu ajutorul discriminatorului de fază 8 tensiunea $U(\rho, \Phi)$ este convertită în două tensiuni proporționale cu φ_x și φ_y , componentele unghiului de abatere. Blocul de sincronizare (10), prin tensiunea de alimentare U_-

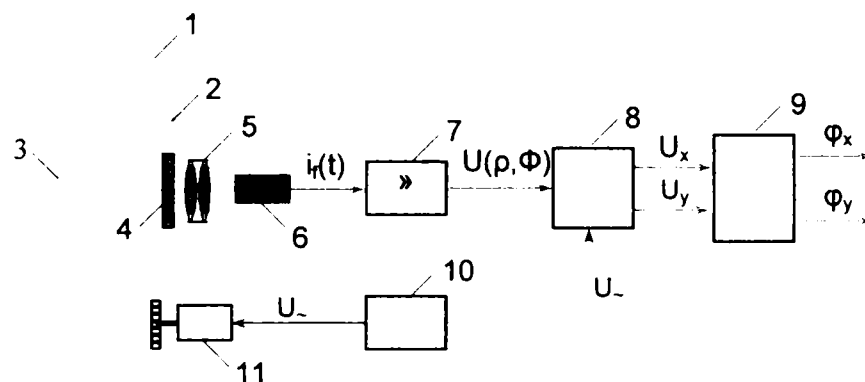


Fig. 1.12 Schema optoelectronică de calcul a unghiurilor φ_x și φ_y .
 1 – ansamblu optic tip Cassegrin; 2 – oglindă concavă principală; 3 – oglindă concavă secundară; 4 – discul modulator; 5 – condensator; 6 – receptor de radiație; 7 – preamplificator; 8 – demodulator; 9 – bloc amplificator; 10 – bloc de sincronizare; 11 – motor antrenare girorotor.

asigură funcționarea sincronă a demodulatorului și a motorului 11 de antrenare a discului modulator. La ieșirea blocului de amplificare 10 se obțin tensiunile $U_x = k \varphi_x$ și $U_y = k \varphi_y$. Dacă, de exemplu, cu ajutorul unui telemetru cu laser se determină distanța de la sursa termică la sistemul optic, atunci pe baza tensiunilor furnizate de blocul de amplificare se pot determina coordonatele sursei termice în sistemul de coordonate ales.

1.3.3 Regimurile de lucru ale sistemului SCOD

Pentru descoperirea și localizarea surselor termoradiante din teren sistemul SCOD trebuie să aibă două regimuri de lucru: regimul de *căutare* și regimul de *localizare* a surselor termice (determinarea coordonatelor sursei în sistemul de coordonate ales).

Sistemul execută *căutarea* obiectelor termice explorând spațiul obiect. Pentru a cuprinde o suprafață de căutare cât mai mare, în procesul de explorare a spațiului obiect, ansamblul optic este fixat într-o suspensie giroscopică și execută, după o anumită traiectorie, o mișcare rapidă în două planuri reciproc perpendiculare - în azimut și în înălțare. Ca rezultat al acestei mișcării axa optică a sistemului parcurge toate punctele spațiului obiect. În momentul în care sursa termoradiantă intră în câmpul de vedere al sistemului optic, la ieșirea receptorului de radiație apare un impuls de curent care trece sistemul în regim de localizare (se dă comanda pentru determinarea poziției sursei în raport cu originea sistemului de coordonate).

În fig.1.13 se prezintă schema cinematică a unui sistem giroscopic care lucrează în cele două regimuri. În regimul de căutare sistemul realizează explorarea spațiului obiect pe rânduri. Ansamblul optic 1 este dispus într-o suspensie giroscopică cu două grade de libertate, care asigură o urmărire continuă a sursei termice vizate după unghiului φ_x și φ_y . Ansamblul optic este de tip Cassegrain, sau variante modificate, cu oglinda (concavă) principală fixată pe rotorul giroscopului și cu suprafața reflectoare a oglinzii secundare orientată spre orificiul oglinzii principale. Prin orificiul oglinzii principale trece axului rotorului giroscopului. Acesta are forma unui tub având la partea dinspre oglindă fixat discul modulator, iar în partea opusă sunt dispuse condensorul și receptorul de radiație (fig.1.12). Ecranarea produsă de oglinda secundară reprezintă cca 25% din suprafața oglinzii principale, care este compensată prin creșterea

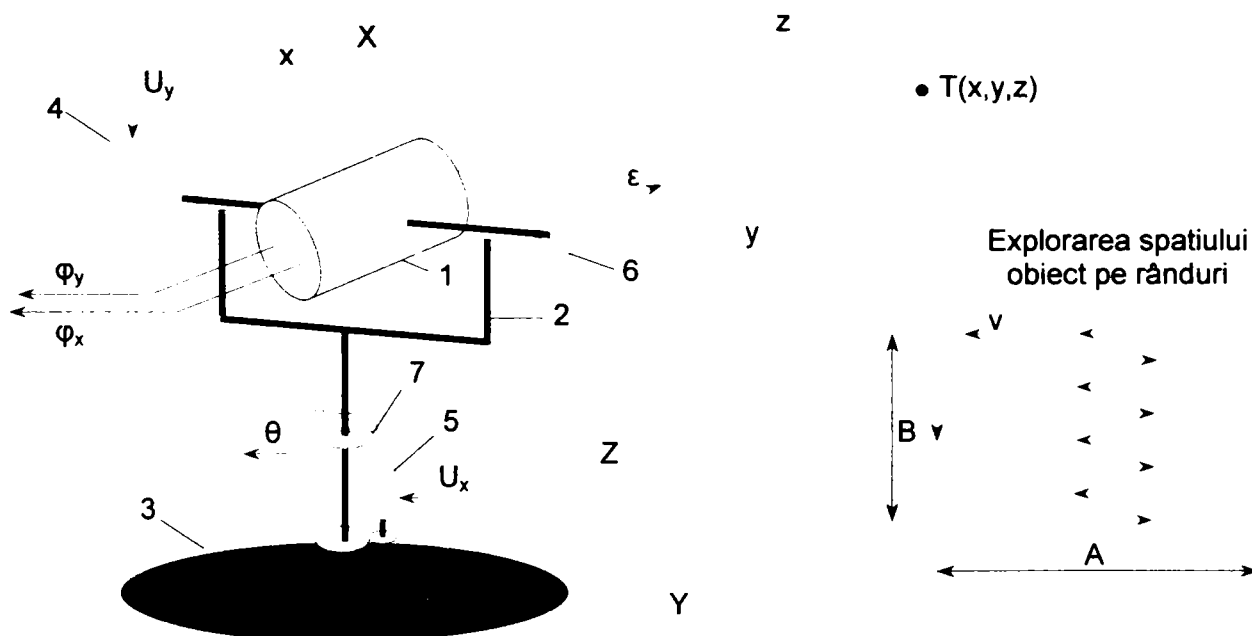


Fig.1.13. Schema cinematică a sistemului SCOD. 1 – sistemul optic; 2 – suspensie giroscopică; 3 – baza sistemului SCOD; 4 – motor electric pentru mișcare în jurul axei y (mișcare după unghiul de tangaj θ); 5 – motor electric pentru mișcare în jurul axei x (mișcare după unghiul de înălțare ε); 6 – traductor de unghi ε ; 7 – traductor de unghi θ .

diametrului oglinzii principale. Dacă oglinzile folosite în sistem sunt sferice, sistemul optic este însoțit de toate aberațiile de ord. 3. Pentru a înlătura aceste aberații se folosesc oglinzi cu suprafețe asferice.

Pentru a asigura un optim al raportului semnal util/zgomot, necesar pentru obținerea unei distanțe maxime de acțiune a sistemului SCOD, sistemele optice utilizate la căutarea surselor termice au un câmp de vedere mic. Prin utilizarea sistemelor optice cu câmp de vedere mic se asigură și o micșorare substanțială a aberațiilor de comă, astigmatism și curbura a câmpului etc.

Radiația provenită de la sursa termoradiantă este direcționată de oglinda principală a sistemului optic pe suprafața reflectoare a oglinzii secundare. Aceasta focalizează radiația captată în planul analizorului de imagine, dispus la un capăt al axului rotorului giroscopului.

Analizorul de imagine reprezintă cel mai important element al sistemului SCOD și îndeplinește următoarele funcțiuni:

- explorează succesiv elementele planului imagine;
- analizează imaginea obiectelor termoradiante ;
- modulează fluxul energetic captat.

Analizorul de imagine este confecționat dintr-un material cu o transmisie optică foarte bună pentru radiația infraroșie. Reprezintă o lamelă de formă circulară, cu fețe plan – paralele. Pe una din fețe sunt dispuse zone transparente și zone opace, cu o anumită configurație geometrică și care se succed periodic. Datorită mișcării de rotație, analizorul de imagine întrerupere periodic fasciculului de raze care trece din planul imagine spre receptorul de radiație. Odată cu analiza elementelor din planul imagine, analizorul de imagine transformă distribuția spațială a iluminării energetice într-o funcție periodică de timp, introducând în succesiunea de impulsuri optice informații despre poziția imaginii sursei termice în planul focal (parametrii ρ și Φ). Întreruperea periodică a fasciculului de raze este echivalentă cu o modulație în amplitudine și fază a fluxului incident, motiv pentru care analizorul de imagine de formă circulară este numit și *disc modulator*. Pentru diminuarea influenței fondului parazit (radiația provenită de la surse termice cu dimensiuni mari) elementele transparente ale discului modulator au dimensiunile comparabile cu dimensiunile imaginii sursei termice căutate. În acest caz discul modulator modulează numai fluxul energetic provenit de la imaginea sursei termoradiante. Fluxul energetic provenit de la obiectele care au o suprafață mare cuprinde câteva elemente transparente ale discului modulator și nu se mai modulează.

Giroscopul cu două grade de libertate este dispus pe un suport de referință sau o bază 3, care coincide cu planul XOY a sistemului fix de coordonate carteziane. Solidar cu ansamblul optic al sistemului SCOD este sistemul cartezian Oxyz, cu axa Oz axă a sistemului optic.

În regimul de căutare a sursei termoradiante axa optică a sistemului SCOD explorează spațiul obiect pe rânduri (fig.1.13). Distanța între două rânduri este determinată de câmpul de vedere al ansamblului optic (unghiul 2θ din fig.1.10).

Mișcarea pe un rând a axei optice este determinată de mișcarea de precesie a giroscopului. Această mișcare se manifestă numai dacă viteza unghiulară de rotație a rotorului giroscopului este foarte mare (aprox. 20.000 – 25.000 rot/min) și constă în aceea că, dacă asupra unei axe a giroscopului acționează o forță, aceasta duce la rotirea rotorului giroscopului într-un plan perpendicular pe această forță. Viteza unghilară de precesie a axului rotorului este $\omega_{prec} = M/J\Omega = const.$, unde M este momentul activ produs de motorul electric de corecție 4 sau 5, J – momentul de inerție a rotorului giroscopului și Ω - viteza unghiulară de rotație a rotorului giroscopului.

Dacă tensiunea de alimentare U_y a motorului de corecție 4 (sau curentul I_y care trece prin motor) este constantă în timp $U_y = U_0$, axa optică a sistemului execută o mișcare de precesie în planul yOz , cu viteză unghiulară constantă. După parcurgerea unui rând, tensiunea U_y se anulează și la motorul de corecție 5 se aplică tensiunea $U_x = const.$, care determină o precesie a axei optice în planul xOz , deci trecerea la un nou rând. În continuare, se anulează tensiunea U_x și motorului de corecție 4 i se va aplica o tensiune cu polaritate schimbată $U_y = -U_0$, determinând o precesie în sens invers, în planul yOz . Mișcarea axei optice cu viteză foarte mare, în două planuri reciproc perpendiculare, este posibilă întrucât mișcarea de precesie a rotorului giroscopului este lipsită de inerție. Poziția unghiulară instantanee a axei optice, în sistemul de coordonate fix XYZO, este determinată de traductoarele de unghi 6 și 7 montate pe cadrul interior și exterior al sistemului giroscopic.

În momentul în care obiectul termic pătrunde în câmpul de vedere al ansamblului optic, sistemul SCOD trece în regim de localizare. În acest regim, sistemul SCOD realizează suprapunerea axa optice a sistemului cu linia de vizare a sursei termice. În acest scop sunt folosite componente unghiului de dezacord φ_x și φ_y . Tensiunile $U_x = k \varphi_x$ și $U_y = k \varphi_y$ după amplificare în blocul 9 se aplică motoarelor de corecție 4 și 5 (fig.1.13), dispuse pe axele cadrelor interior și exterior ale giroscopului. Dacă $\varphi \neq 0$ atunci $\Delta U \neq 0$ și motoarele de corecție produc două momente $M_x \neq 0$ și $M_y \neq 0$ care determină precesia axei optice spre linia care uneste originea O cu sursa termică T. Precesia încetează când cele două linii se suprapun, adică când $\Delta U = 0$. De la transmitoarele de unghi 6 și 7 se culeg semnale proportionale cu unghiurile ε și θ (unghiurile de azimut și înălțare). Tensiunile proporționale cu unghiurile φ_x și φ_y sunt aplicate motoarelor de corecție 4 și 5, care pe drumul cel mai scurt rotește ansamblul optic pentru a suprapune axa optică cu linia de vizare.

1.3.4 Calculul coordonatelor obiectului termic

Conform opticii geometrice obiectivul sistemului SCOD realizează o transformare liniară a coordonatelor din spațiul obiect (x_T, y_T), în coordonatele din spațiul imagine (x, y), conform relațiilor

$$\rho_y = \frac{f}{D} y \quad \text{și} \quad \rho_x = \frac{f}{D} x,$$

unde f este distanța focală a obiectivului și D – distanța de la sistemul optic până la planul obiect.

Considerând că imaginea obiectelor se formează în limitele opticii gaussiene, coordonatele punctului obiect sunt

$$z = \frac{D}{f} \sqrt{f^2 - (\rho_x^2 + \rho_y^2)}, \quad y = \frac{D}{f} \rho_y \quad \text{și} \quad x = \frac{D}{f} \rho_x, \quad (1.4)$$

exprimate în triedrul Oxyz legat de sistemul optic, cu Ox – axa optică a sistemului.

Sarcina sistemului SCOD este de a determina coordonatele x și y cu o precizie maximă folosind modulația fasciculului de raze incident. Poziția obiectului termoradiant poate fi precizată și în raport cu un sistem cartezian convenabil ales. Astfel, pentru a putea defini exact acest sistem de axe, se alege drept referință verticala locului în punctul de observare (originea sistemului de axe coincide cu punctul de observație). Planul perpendicular pe verticala locului este un plan orizontal materializat prin “baza” sistemului SCOD. Planul orientat spre direcția nord (sau oricare reper ales) și perpendicular pe baza sistemului reprezintă planul de referință. Intersecția dintre planul de referință și planul orizontal formează axa de referință (axa z). Unghiul format de axa optică a sistemului cu baza ($x = 0$) reprezintă unghiul de înălțare ϵ , iar unghiul format de proiecția axei x pe planul $y = 0$ reprezintă unghiul de azimut θ . Întrucât distanța de la punctul de observație la punctul T nu poate fi determinată exact prin procedee optice, măsurarea acesteia se face cu ajutorul unui telemetru cu laser, a cărui axe coincide cu axele ansamblului optic și execută mișcări identice cu acesta.

Pentru a determina coordonatele (XYZ) ale sursei termice în raport cu sistemul de coordonate XYZO se au în vedere relațiile de transformare

$$\begin{vmatrix} x \\ y \\ z \end{vmatrix} = \begin{vmatrix} a_{11} & a_{12} & a_{13} \\ a_{21} & a_{22} & a_{23} \\ a_{31} & a_{32} & a_{33} \end{vmatrix} \begin{vmatrix} X \\ Y \\ Z \end{vmatrix},$$

unde a_{ij} sunt elementele matricii de transformare $A_{\epsilon\theta\phi}$ a coordonatelor X, Y, Z în coordonatele x, y, z ale sistemului mobil. Dacă orientarea axelor Ox, Oy și Oz ale sistemului mobil este definită prin intermediul unghiurilor lui Euler (ϵ, θ, ϕ) elementele matricii de transformare au următoarele expresii

$$\begin{aligned}
a_{11} &= \cos \varepsilon \cos \varphi - \sin \varepsilon \cos \theta \sin \varphi; \\
a_{12} &= \sin \varepsilon \cos \varphi + \cos \varepsilon \cos \theta \sin \varphi; \\
a_{13} &= \sin \theta \sin \varphi; \\
a_{21} &= -\cos \varepsilon \sin \varphi - \sin \varepsilon \cos \theta \cos \varphi; \\
a_{22} &= -\sin \varepsilon \sin \varphi + \cos \varepsilon \cos \theta \cos \varphi; \\
a_{23} &= \sin \theta \cos \varphi; \\
a_{31} &= -\sin \varepsilon \sin \theta; \\
a_{32} &= \cos \varepsilon \sin \theta; \\
a_{33} &= \cos \theta.
\end{aligned}$$

Între coordonatele punctului T(X,Y,Z) după triedrul fix OXYZ și coordonatele aceluiași punct (x,y,z) după triedrul mobil Ox,y,z există următoarea relație matricială

$$\begin{bmatrix} X \\ Y \\ Z \end{bmatrix} = A_{\varepsilon\theta\varphi}^{-1} \begin{bmatrix} x \\ y \\ z \end{bmatrix}, \quad \text{cu} \quad A_{\theta\varepsilon\varphi}^{-1} = \frac{1}{\det(A_{\theta\varepsilon\varphi})} A_{\theta\varepsilon\varphi}^T$$

unde $A_{\varepsilon\theta\varphi}$ este matricea de transformare a coordonatelor, $A_{\varepsilon\theta\varphi}^{-1}$ – matricea inversa, $A_{\varepsilon\theta\varphi}^T$ – matricea transpusă, ε – unghiul de înălțare, θ – unghiul de azimut și φ – unghiul de rulu (rotația în jurul axei optice).

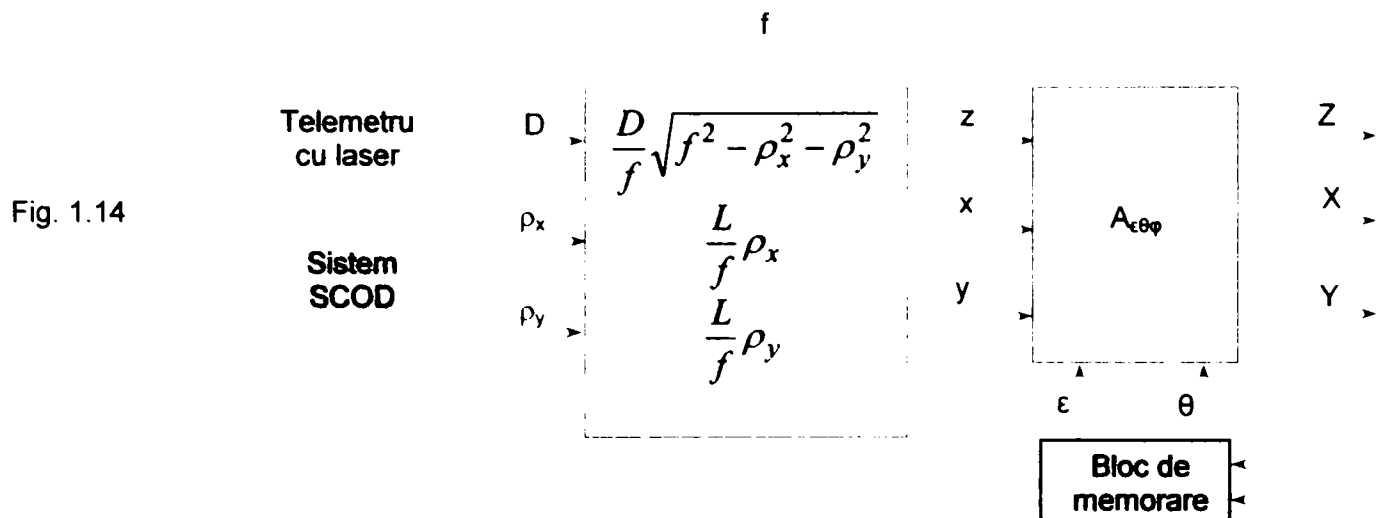
Sistemul de localizare prezentat în fig.1.13, care permite determinarea coordonatelor unghiulare ale sursei termice în raport cu sistemul xyzO legat de ansamblul optic, lipsește rotația în jurul axei z, deci $\varphi = 0$ și rezulta

$$\begin{bmatrix} X \\ Y \\ Z \end{bmatrix} = A_{\varepsilon\theta} \begin{bmatrix} x \\ y \\ z \end{bmatrix} = \begin{bmatrix} \cos \varepsilon & \sin \varepsilon & 0 \\ -\sin \varepsilon \cos \theta & \cos \varepsilon \cos \theta & \sin \theta \\ -\sin \varepsilon \sin \theta & \cos \varepsilon \sin \theta & \cos \theta \end{bmatrix} \begin{bmatrix} \frac{D}{f} \rho_x \\ \frac{D}{f} \rho_y \\ \frac{D}{f} \sqrt{f^2 - (\rho_x^2 + \rho_y^2)} \end{bmatrix}, \quad (1.5)$$

unde, după cum s-a mai arătat, coordonatele ρ_x și ρ_y sunt determinate de sistemul SCOD, iar distanța D se determină cu ajutorul telemetrului cu laser.

Funcționarea sistemului SCOD se bazează pe faptul că imaginile cuprinse în interiorul unghiului 2θ sunt proiectate în planul focal al obiectivului și, întrucât strălucirea obiectelor este puțin diferită de strălucirea fondului, la ieșirea receptorului de radiație se obțin două semnale suprapuse. Prin modulația fluxului radiant incident, semnalul provenit de la fond se atenuază, iar semnalele provenite de la obiectele din teren se accentuează. La ieșirea receptorului de radiație, sub acțiunea fluxului radiant modulat se obține un semnal electric care după filtrare va conține cele două componente ale unghiului de abatere φ .

În fig.1.14 se prezintă schema bloc a unui sistem SCOD. Se observă că din compunerea sistemului mai face parte și un telemetru cu laser, un dispozitiv de memorare care furnizează valorile unghiurilor ε și θ , precum și un dispozitiv de calcul pentru efectuarea calculelor



menționate în schema. Pentru efectuarea calculelor trebuie să se cunoască funcțiile $\varepsilon = \varepsilon(t)$ și $\theta = \theta(t)$ care definesc mișcarea triedrului mobil față de triedrul fix.

1.4 Propagarea radiației infraroșii în atmosferă

Ca fenomene de bază care au loc la propagarea radiației infraroșii în atmosferă se menționează:

- absorbția selectivă produsă de vaporii de apă, dioxidul de carbon și ozonul din atmosferă (moleculele de azot și oxigen ne având moment de dipol nu posedă benzi de absorbție în spectrul vizibil și infraroșu);
- difuzia produsă de particulele fine aflate în suspensie în atmosferă.

Pentru radiația infraroșie cu $\lambda > 1\mu\text{m}$ și în gama înălțimilor $H < 12\text{km}$ absorbția radiației este produsă numai de vaporii de apă și dioxidul de carbon. Absorbția celorlalte gaze este nesemnificativă și se neglijează.

Apa este o componentă atmosferică care apare sub diferite stări de agregare: solidă (zăpadă sau cristale de gheață), lichidă (picături de ceață sau ploaie) și gazoasă (vaporii de apă din atmosferă). Spectrul de absorbție al vaporilor de apă este foarte complex și este dispus atât în domeniul vizibil cât și în cel infraroșu, centrat pe următoarele lungimi de undă 0,71; 0,83; 0,93; 1,13; 1,38; 1,86; 2,01; 2,63 și $5\mu\text{m}$. Deoarece masa vaporilor de apă este mult mai mare în comparație cu a altor gaze, vaporii de apă absorb cea mai mare parte a radiației infraroșii, mai ales în zonele spectrale de $(5,5 \dots 7)\mu\text{m}$ și mai mare de $13\mu\text{m}$.

Concentrația vaporilor de apă în atmosferă este variabilă, cuprinsă între $(0,001 \dots 0,4)\%$ în unitatea de volum și depinde de poziție geografică, înălțime și condiții meteorologice locale.

Cea mai mare cantitate de vapori de apă se întâlnește pînă la altitudinea de 5000m.

Dioxidul de carbon este conținut în atmosferă în cantități reduse. Concentrația dioxidului de carbon se menține în limitele (0,03...0,05)%, pînă la altitudinea de 12km, după care începe să scadă. La sol, în zona centrelor industriale concentrația de dioxid de carbon este mai mare față de medie, în schimb în zonele cu vegetație densă această concentrație scade. Spectrul de absorbție a dioxidului de carbon este dispus în zona infraroșu a spectrului și cuprinde benzi de absorbție centrate pe următoarele lungimi de undă 4,4μm și 14,7μm. Pierderile de energie radiantă la propagarea unei radiații monocromatice printr-un mediu oarecare sunt evaluate cu ajutorul *coeficientului spectral de absorbție* $\alpha(\lambda)$, numeric egal cu fluxul energetic monocromatic absorbit de mediu din fluxul energetic inițial considerat egal cu unitatea, pentru fiecare unitate de lungime parcursă de radiație.

Legea după care se produce absorbția de energie radiantă în mediu poartă numele de *legea lui Bugera* și are forma

$$\Phi_{\lambda}(x) = \Phi_{0\lambda} \cdot e^{-\alpha(\lambda)x}, \quad (1.6)$$

unde x reprezintă distanța parcursă de radiație în mediu.

Pentru gaze, coeficientul spectral de absorbție $\alpha(\lambda)$ este proporțional cu concentrația C a particulelor din mediu $\alpha(\lambda) = C\gamma$, unde γ reprezintă un coeficient ce depinde numai de proprietățile de absorbție ale particulelor considerate. Relația (1.10) devine

$$\Phi_{\lambda}(x) = \Phi_{0\lambda} \cdot e^{-\gamma \cdot Cx},$$

numită *legea lui Beer*.

Valorile coeficientului $\alpha(\lambda)$ sunt prezentate sub forma de tabele într-o serie de lucrări de specialitate [D1,H1,H5,K5,L1,L3] pentru condiții meteorologice normale și diferite lungimi de undă, distanță parcursă de radiație fiind de $x = 1$ km.

Coeficientul de transmisie a atmosferei [K5], în intervalul spectral $\Delta\lambda = \lambda_2 - \lambda_1$, se calculează cu integrala

$$\tau_{\lambda_2 - \lambda_1} = \frac{1}{\Delta\lambda} \int_{\lambda_1}^{\lambda_2} \tau(\lambda) d\lambda, \quad (1.7)$$

unde $\tau(\lambda)$ reprezintă variația coeficientului spectral de transmisie a atmosferei. Analizînd variația coeficientului $\tau(\lambda)$ rezultă că benzile de absorbție ale vaporilor de apă, dioxidului de carbon și ozon nu acoperă în totalitate spectrul infraroșu și rămîn unele zone din spectru în care atmosfera prezintă transparență mare față de radiația infraroșie. Aceste zone sunt numite *ferestrele optice ale atmosferei* și acoperă următoarele lungimi de undă: 0,95-1,05μm; 1,2-1,3μm; 1,5-1,8μm;

2,1-2,4 μm ; 3,3-4,2 μm ; 4,5-5,1 μm ; 8-13 μm . Odată cu creșterea altitudinii scade concentrația de elemente absorbante din unitatea de volum, ceea ce determină lărgirea ferestrelor optice de transmisie în infraroșu. Întrucât atenuarea fluxului energetic în zonele spectrului $\tau(\lambda)$ acoperite de benzile de absorbție poate atinge 80%, caracteristica de sensibilitate spectrală a receptorului de radiație folosit în sistemul SCOD trebuie să corespundă zonei spectrale în care există o fereastră optică.

1.5 Dispozitive optice utilizate în sistemele SCOD

1.5.1 Considerații generale

Dispozitivele optice utilizate în sistemele SCOD sunt destinate pentru amplificarea iluminării energetice a radiației captate și focalizarea acesteia pe suprafața sensibilă a receptorului de radiație.

Elementele dispozitivelor optice folosite în domeniul infraroșu al spectrului electromagnetic, în principiu nu diferă de elementele dispozitivului optic folosit în vizibil. Singura diferență care apare, o reprezintă materialele optice utilizate. Acestea trebuie să prezinte un coeficient de transmisie sau de reflexie foarte bun pentru razele infraroșii.

Față de dispozitivele optice care lucrează în vizibil, sistemele SCOD nu trebuie să prezinte o putere de rezoluție la fel de bună, ceea ce determină o simplificare considerabilă a schemei constructive a părții optice a sistemului SCOD.

Întrucât radiația emisă de obiectele din teren se propagă în toate direcțiile, sistemul optic va capta numai o anumită fracțiune din această radiație, pe care o focalizează pe suprafața sensibilă a receptorului.

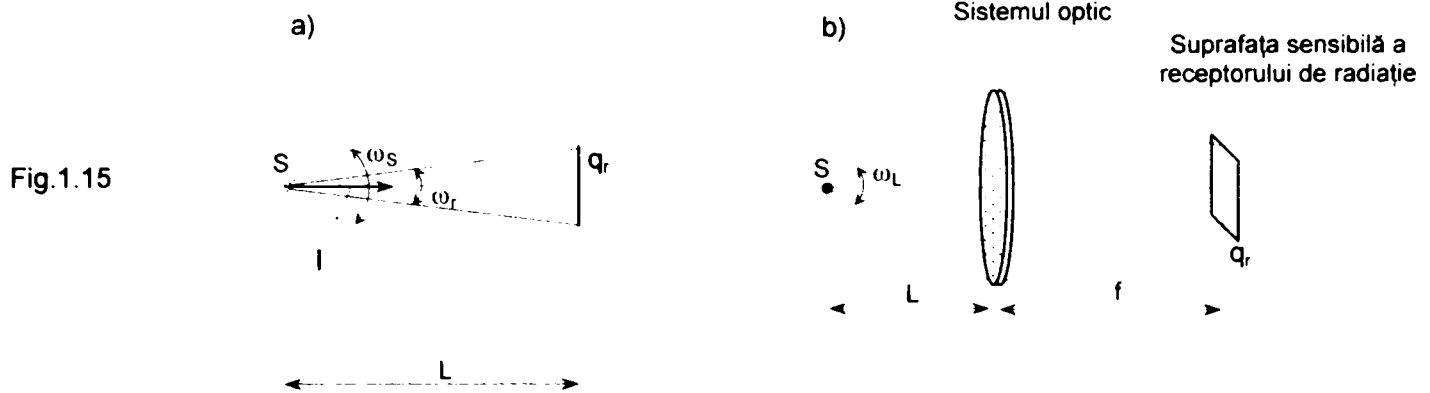
Pentru a evalua calitățile sistemului optic care lucrează cu un receptor de radiație se folosește mărimea numită *coeficient de amplificare optică*. Acest coeficient caracterizează eficacitatea cu care este utilizată radiația optică captată de sistemul optic de către receptorul de radiație.

Se consideră o sursă radiantă de intensitate I , care se află la distanța L de suprafața sensibilă q_r a receptorului de radiație. Fluxul energetic incident pe suprafața receptorului este

$$\Phi_r = I\omega_r = I \frac{q_r}{L^2},$$

iar fluxul emis de sursă în unghiul solid ω_s este $\Phi_s = I\omega_s$. Dacă sursa de radiație se află la o distanță mare față de receptor, rezultă că raportul ω_r/ω_s este mic, ceea ce semnifică un flux incident la suprafața receptorului mic.

Pentru a mări raportul Φ_r/Φ_s se folosește un sistem optic (fig.1.15).



În acest caz, fluxul incident asupra sistemului optic este $\Phi_L = I\omega_L$ și neglijând pierderile în sistemul optic, se poate considera că întreaga cantitate de flux ajunge la receptor, deci $\Phi_L = \omega_L/\omega_r \Phi_r = k\Phi_r$. Marimea k caracterizează eficacitatea sistemului optic la iluminarea energetică a receptorului de radiație.

Coeficientul de amplificare optică se poate scrie sub forma

$$k = \frac{\omega_L}{\omega_r} = \frac{S_L}{q_r},$$

unde S_L este aria suprafeței pupilei de intrare a sistemului optic. Dacă se consideră că sistemul optic are coeficientul de transmisie τ , se obține coeficientul de amplificare optică

$$k = \tau \frac{S_L}{q_r}.$$

Coeficientul k poate avea valori cuprinse între 25...50.000. Pentru un sistem optic cu diametrul pupilei de intrare $D = 10\text{cm}$, și $k = 25$, rezultă suprafața receptoare $q_r = 3,14\text{cm}^2$, iar dacă $k = 50.000$, rezultă $q_r = 0,157\text{cm}^2$.

Dispozitivele optice folosite în sistemele SCOD se împart în trei grupe:

- *dispozitive optice cu lentile*, format numai cu lentile. În acest caz, fluxul incident traversează medii cu indici de refracție diferiți;
- *dispozitive optice cu oglinzi*, formate numai cu oglinzi. Fluxul incident traversează dispozitivul optic numai datorită reflexiilor produse pe una sau mai multe oglinzi;
- *dispozitivele optice mixte*, formate din lentile și oglinzi.

Dispozitivele optice cu lentile se compun din una sau mai multe lentile (sau combinații de lentile). Dacă focarele a două sisteme de lentile coincid, se obține un *sistem telescopic*, folosit pentru observarea obiectelor termoradiante îndepărtate. Pentru sistemele optice care lucrează cu

un receptor de radiație este necesar să se cunoască iluminarea energetică a imaginii produsă de fluxul energetic incident. Fluxul emis de suprafața S a sursei termoradiante (fig.1.16) este $\Phi = BS\omega \cos \alpha$, unde B este strălucirea energetică a suprafeței sursei și α – unghiul format de direcția de propagare a razelor infraroșii și normala la suprafața S . Dacă distanța L este mare, se poate considera $\cos \alpha \approx 1$. (sistemul optic captează fascicule care se propagă în vecinătatea axei optice).

La propagarea razelor infraroșii prin sistemul optic, datorită pierderilor prin reflexie și absorbție, fluxul energetic incident se micșorează, astfel că la suprafața sensibilă a receptorului ajunge

$\Phi_r = BS\omega_L \tau$, unde ω_L este unghiul solid sub care se vede pupila de intrare a sistemului optic din centrul sursei de radiație. Notînd cu ω_r unghiul solid sub care se vede pupila de intrare a sistemului optic și cu B_r – strălucirea energetică din planul imagine, rezultă $\Phi_r = B_r \omega_r q_r$, sau după efectuarea calculelor, se obține

$$B_r = \tau B \frac{S}{q_r} \frac{\omega_r}{\omega_L} = \tau B,$$

relație ce evidențiază faptul că strălucirea din planul imagine este determinată numai de strălucirea obiectului și de coeficientul de transmisie al sistemului optic și nu depinde de nici un alt parametru al sistemului optic, sau de distanța obiect – imagine. Pentru a obține o strălucire bună a imaginii termice a obiectului trebuie ca transmisia sistemului optic τ să fie cât mai apropiată de unu în domeniul spectral infraroșu. De asemenea, sistemul optic în infraroșu trebuie să fie format dintr-un număr mic de componente optice, pentru ca pierderile prin reflexie și absorbție să fie minime.

Iluminarea energetică a imaginii termice este

$$E_r = \frac{\Phi}{q_r} = \frac{BS\omega_L \tau}{q_r} = B\tau \frac{S_L}{f^2}$$

de unde rezultă că iluminarea energetică în planul imagine este proporțională cu strălucirea B a obiectului și unghiul solid ω_L sub care se vede pupila de intrare a sistemului optic din centrul suprafeței S . Relația de mai sus se poate scrie sub forma

$$E_r = \frac{\pi}{4} B\tau \left(\frac{D_L}{f} \right)^2. \quad (1.8)$$

Raportul D/f reprezintă deschiderea relativă a sistemului optic, iar $(D/f)^2$ – puterea luminoasă a sistemului optic. Pentru a obține o iluminare energetică cât mai bună a imaginii termice este

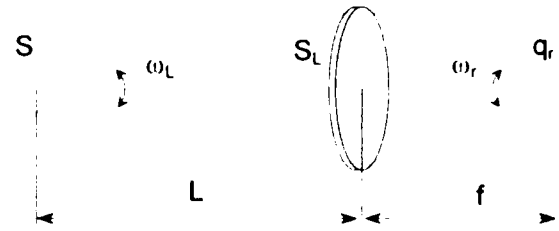


Fig. 1.16

necesar ca raportul $D/f > 1$ (să fie supraunitar), dar pentru a obține detalii cât mai multe în imagine, sistemul optic trebuie corectat, adică trebuie folosite mai multe lentile, ceea ce în final duce la micșorarea coeficientului τ . Rezultă că o iluminare bună nu se poate obține folosind obiective cu deschidere relativă mare, ci numai în cazurile în care $D/f < 1$.

1.5.2 Dispunerea optimă a discului modulator

Majoritatea obiectivelor folosite în sistemele SCOD au în planul focal dispus un disc modulator care modulează fluxul incident la suprafața receptorului. În acest caz receptorul se dispune la o anumită distanță față de planul focal al obiectivului (fig. 1.17).

Dacă sursa de radiație este deplasată în raport cu axa optică a sistemului, fasciculul de raze incidente la pupila de intrare va fi înclinat cu unghiul α față de această axă și o parte din razele

fasciculului vor trece pe lângă montura receptorului, determinând pierderi considerabile de energie radiantă. Pentru a capta și aceste raze este necesar să se mărească suprafața sensibilă a receptorului, însă această mărire de suprafață va înrăutăți caracteristica de sensibilitate a sistemului. Acest inconvenient este înlăturat prin introducerea unei lentile suplimentare, numită condensor. Condensatorul poate fi format dintr-o singură lentilă sau dintr-un ansamblu de lentile. Dacă centrul focal al condensatorului coincide cu centrul focal al obiectivului, ansamblul optic format se comportă ca un sistem optic telescopic.

Studiind mersul razelor prin sistem (fig.1.18) se observă că după trecerea de condensator acestea sunt focalizate în limitele suprafeței unui cerc indiferent de înclinare lor față de axa optică. În acest mod, condensatorul permite micșorarea suprafeței sensibile a receptorului de radiație și, în același timp, asigură o

iluminare energetică constantă pe această suprafață, indiferent de poziția sursei de radiație față de axa optică a sistemului (în limitele unghiului de câmp al sistemului optic).

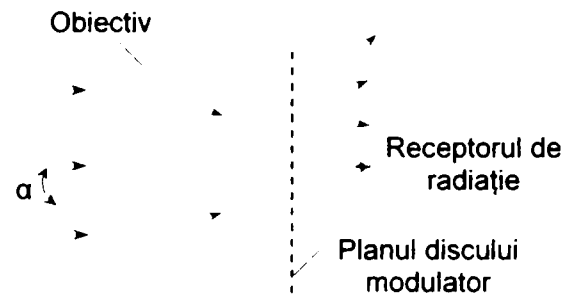


Fig. 1.17

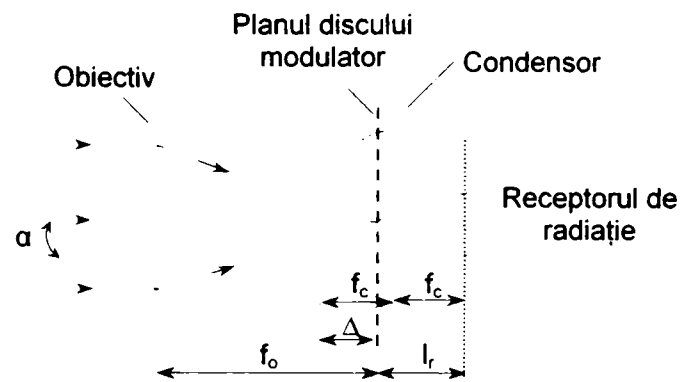


Fig.1.18

Funcționarea optimă a receptorului de radiație este asigurată dacă fasciculul de raze incident la pupila de intrare acoperă permanent circa 90% din suprafața sensibilă a acestuia.

Sistemul optic din fig.1.18 prezintă un gabarit minim pentru $f_c = \Delta$, adică condensorul este dispune în planul focal al obiectivului.

Dacă sunt cunoscute: - distanța focală f_o și diametrul d_o ale obiectivului; - distanța focală f_c a condensoului, din [K5] rezultă următoarele mărimi

- diametrul condensoului

$$d_c = 2f_o \operatorname{tg} \alpha;$$

- diametrul suprafeței receptorului

$$d_r = d_c \frac{f_c}{f_o - f_c};$$

- distanța la care se dispune receptorul față de condensor

$$l_r = \frac{f_c f_o}{f_o - f_c}.$$

Aceste formule sunt folosite la dimensionarea preliminară a sistemului optic deoarece în planul focal al obiectivului se dispune elementul modulator.

1.5.3 Particularități constructive ale obiectivelor în infraroșu

Suprafața sensibilă a receptorului poate fi micșorată considerabil dacă este folosit un *condensator cu imersie* (fig.1.19). În acest caz, strălucirea în planul imagine se calculează cu $B' = (n'/n)^2 \tau.B = n'^2 \tau.B$, deci crește de n'^2 față de cazul în care între suprafața receptorului și lentila condensoului ar fi existat un strat de aer.

Întrucât obiectele din teren se află la o distanță apreciabilă față de sistemul optic, fasciculele de raze infraroșii provenite de la acestea au un rai paralele. În acest caz, obiectivul sistemului formează în planul său focal numai o imagine de difracție, sub forma unei pete circulare (difracția Fraunhofer). Circa 85% din cantitatea totală de energie radiantă care traversează obiectivul se concentrează în zona centrală a petei formînd un cerc cu raza

unghiulară $\vartheta = 1,22 \frac{\lambda}{d_o}$ și raza liniară $r = 1,22 \lambda \frac{f_o}{d_o}$, unde d_o este diametrul monturii

obiectivului, f_o – distanța focală și λ – lungimea de undă a unei unde monocromatice ce compune fasciculul incident. Deoarece mărimile f_o și d_o sînt constante pentru un sistem dat, toate obiectele din teren vor fi redată în planul imagine prin cercuri de difracție de același diametru $2r$, dar de străluciri diferite funcție de mărimea fluxului energetic primit de la fiecare obiect, proporțional cu strălucirea și mărimea suprafeței obiectului.

aer ($n=1$) Ge ($n=4$)

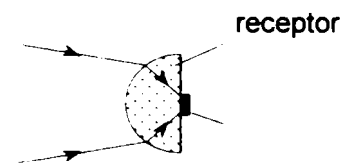


Fig. 1.19

Schemele optice cu oglinzi concave sau convexe (de formă sferică, parabolică, eliptică sau hiperbolică) asigură realizarea unei construcții optice simple, compacte cu un coeficient de transmisie foarte bun și cu absența aberațiilor cromatice. Toate sistemele optice cu oglinzi pot fi reduse la patru scheme tipice, în care oglinda cu diametrul cel mai mare este o oglindă concavă, numită *oglină principală*, iar celelalte oglinzi, numite *secundare*, se dispun în fața oglinzii principale formând sistemele *antefocale*, sau după focarul principal, formând sistemele *postfocale*. Rolul oglinzilor secundare este de a lungi sau de a scurta distanța focală a sistemului și de a forma un fascicul de raze convergent sau paralel dincolo de oglinda principală.

Sistemele optice oglindă – lentilă îmbină toate avantajele pe care le prezintă lentilele, cât și oglinzile în formarea unor imagini lipsite de aberații. Asemenea sisteme se mai numesc și *catodiotrice*. În sistemele optice mixte lentila corectoare este folosită pentru micșorarea aberațiilor de sfericitate. Lentila corectoare înclină diferit razele incidente la oglinda principală, astfel încât acestea converg într-un singur punct de pe axa optică. La un asemenea sistem, pentru o deschidere relativă de 1:1 și un unghi de câmp de 25° , aberația de sfericitate nu depășește 1mrad, iar aberațiile de comă și astigmatism sunt neglijabile. Cu toate acestea aberațiile condiționate de curbura câmpului nu se reduc și o imagine clară se obține numai pe o suprafață sferică, numită suprafață focală. Din aceste motive, suprafața sensibilă a receptorului tip matrice linie sau dreptunghi folosit în sistemele cu oglinzi sferice prezintă o formă sferică identică cu suprafața focală a sistemului.

1.6 Receptorul de radiație

1.6.1 Consideratii generale

Receptorul de radiație este destinat conversiei energiei radiante captate de sistemul optic în semnal electric. Receptorul de radiație reprezintă cel mai important element al sistemului SCOD, deoarece el face legătura între partea optică și cea electronică a sistemului și prin caracteristicile sale, în principal, impune performanțele sistemului în ansamblu.

Deoarece receptorul de radiație este un transformator de energie, el poate fi analizat ca un element prevăzut cu o intrare caracterizată prin suprafața captatoare de arie q_r , numită suprafață sensibilă a receptorului, asupra căreia se aplică

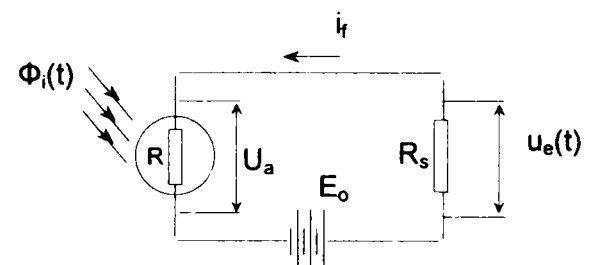


Fig. 1.20

fluxul radiant incident Φ_i și un circuit de ieșire în care se obține o mărime de natură electrică sub forma unei tensiuni, curent sau impedanță electrică.

Detecția sau conversia semnalului optic $\Phi_i(t)$ (fluxul incident la suprafața receptorului modulat prin scanare sau cu o diafragmă modulatorie) în semnal electric $u_s(t)$ se realizează cu o schemă (fig. 1.20.) care conține receptorul de radiație R , o sursă de tensiune constantă E_o , necesară fixării punctului de funcționare și o rezistență de sarcină R_s la bornele căreia se culege semnalul de ieșire $u_s(t)$.

Principala caracteristică a receptorului de radiație este *caracteristica fotoelectrică* $i_f = f(\Phi_i)$ și exprimă dependența curentului fotoelectric al receptorului funcție de fluxul incident $\Phi_i(t)$.

În regim de funcționare dinamică curentul fotoelectric este o funcție de fluxul incident $\Phi_i(t)$ și de tensiunea variabilă U_a aplicată la bornele receptorului $i_f = f(\Phi_i, U_a)$. Componenta variabilă a acestui curent este

$$di_f = \frac{\partial i_f}{\partial \Phi_i} \cdot d\Phi_i + \frac{\partial i_f}{\partial U_a} \cdot dU_a = S \cdot d\Phi_i + g \cdot dU_a,$$

unde S reprezintă sensibilitatea integrală (statică) a receptorului și $g = 1/r_i$ – conductanța receptorului (r_i – rezistența internă a receptorului). Deoarece $dU_a = -R_s di_f$, rezultă

$$di_f = S \cdot d\Phi_i - gR_s di_f,$$

sau

$$di_f = \frac{S}{1 + gR_s} \cdot d\Phi_i = S_d \cdot d\Phi_i, \quad (1.9)$$

unde S_d reprezintă sensibilitatea receptorului în regim dinamic. Este evident că $S_d < S$, adică sub acțiunea fluxurilor variabile sensibilitatea receptorului se micșorează. Tensiunea la ieșirea schemei de detecție este

$$u_e(t) = R_s di_f = R_s S_d = m \Phi_o,$$

unde $m = \Delta\Phi/\Phi_o = (\Phi_M - \Phi_m)/\Phi_o$ este *gradul de modulație* ($0 < m < 1$).

Din relația obținută rezultă că tensiunea de ieșire a schemei de detecție a fluxului incident depinde de gradul de modulație m , de rezistența de sarcină R_s și este independentă de tensiunea de alimentare E_o .

Pentru variații mici ale fluxului incident $\Phi_i(t)$ caracteristica fotoelectrică reprezintă o dreaptă (fig.1.21) cu panta S_d (sensibilitate dinamică integrală). Punctul de funcționare a schemei

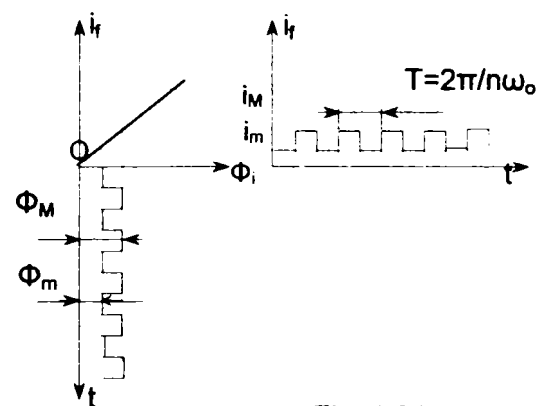


Fig. 1.21

de detecție se alege la mijlocul domeniului de variație a fluxului incident (Φ_M , Φ_m)/2 (variația fluxului modulat $\Delta\Phi = \Phi_M - \Phi_m$ trebuie să se afle pe porțiunea liniară a caracteristicii).

Fluxul modulat $\Phi_i(t)$ produce la ieșirea receptorului un curent pulsatoriu. Spectrul curentului $i_i(t)$ conține o componentă continuă și armonici impare, rezultate din descompunerea în serie Fourier

$$\Phi_i(t) = \frac{\Phi_o}{2} + \frac{2\Phi_o}{\pi} \sum_{k=1}^{\infty} \frac{1}{2k+1} \sin[(2k+1)n\omega_o t], \quad (1.10)$$

unde Φ_o este fluxul incident pe suprafața discului modulator, n – numărul de elemente transparente (sau opace) ale discului și ω – viteza unghiulară de rotație a discului modulator.

Transformarea fluxului în curent fiind liniară (detecție liniară), curentul fonic obținut are același spectru ca și fluxul $\Phi_i(t)$. Pentru a înlătura armonicile cu frecvențe $\omega > n\omega_o$, curentul $i_i(t)$ este filtrat cu ajutorul unui filtru simplu format din condensatorul C și rezistența R (fig.1.22).

La ieșirea filtrului se obține tensiunea sinusoidală

$$u_m(t) = k \left(\frac{\Phi_o}{2} + \frac{2\Phi_o}{\pi} \sin n\omega_o t \right),$$

care, în funcție de tipul de modulație folosit va conține informația dorită în amplitudinea, frecvența sau faza semnalului.

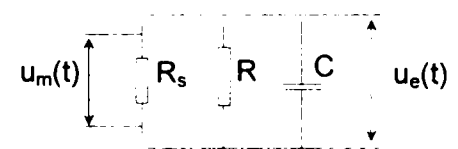


Fig. 1.22.

1.6.2 Particularitățile de lucru ale receptorului de radiație

Elementele receptoare utilizate în sistemele SCOD trebuie să îndeplinească, în general, următoarele condiții:

- să prezinte o caracteristică de sensibilitate spectrală apropiată ca formă și spectru cu caracteristica de radiație spectrală a țintei;
- să posede o sensibilitate integrală mare;
- să aibă un nivel redus al zgomotelor proprii;
- fotocurentul să prezinte o variație liniară funcție de fluxul incident, într-un domeniu spectral cât mai mare;
- amplitudinea semnalului de ieșire să depindă puțin de frecvența de modulație a fluxului incident (receptorul trebuie să prezinte o constantă de timp cât mai mică).

Cele mai folosite elemente receptoare pentru descoperirea și localizarea surselor termoradiante sunt dispozitivele semiconductoare ca: fotorezistența, fotodiada și fototranzistorul.

În unele cazuri speciale sunt folosite diodele $p-i-n$, fototranzistorii cu efect de câmp sau alte structuri fotoreceptoare de tipul $p-n-p-n$.

Fotorezistența reprezintă cel mai simplu dispozitiv fotoreceptor, a cărui funcționare se bazează pe variația conductivității electrice a unui strat subțire semiconductor sub acțiunea radiației optice. Rezistența electrică a stratului semiconductor se modifică sub acțiunea fotonilor conținuți în fluxul incident, sau cu temperatura ca urmare a generării purtătorilor liberi (electroni-goluri). În absența fluxului incident fotorezistența este parcursă de un curent mic, numit *curent de întuneric*.

Fotodiada reprezintă o joncțiune $p-n$ polarizată invers, în care curentul invers este modulat de fluxul radiant incident. Construcția diodei asigură ca partea cea mai mare din radiația incidentă să pătrundă pînă la regiunea $p-n$, unde fiind absorbită, sunt generate perechi de purtători de sarcină. Numai fotonii cu energia $h\nu$ mai mare sau egală cu lărgimea ΔE a benzii interzise vor fi capabili să producă tranziția electronilor din banda de valență în banda de conducție, adică să formeze perechi electroni-goluri. Deoarece radiațiile infraroșii au lungimi de undă mari ($\lambda > 0,76\mu\text{m}$), fotonii conținuți în aceste fluxuri posedă energii relativ mici. Din aceste motive, semiconductoarele folosite în infraroșu trebuie să prezinte o energie ΔE de formare a perechilor electroni-goluri mică. Cele mai folosite materiale sunt sulfurile, telurile și selenurile diferitelor elemente. Pentru domeniul infraroșu cele mai utilizate materiale sunt sulfura de plumb (PbS), telura de plumb (PbTe), selenura de plumb (PbSe), precum și siliciul, germaniul, etc.

Creșterea sensibilității elementului fotoreceptor presupune micșorarea curentului de întuneric. Întrucît acesta depinde de temperatura și aria joncțiunii $p-n$, în sistemele SCOD sunt folosiți fotoreceptori cu aria suprafeței sensibile de ordinul $100\mu\text{m}\times 100\mu\text{m}$ și cu temperatura de lucru pînă la -220°C obținută cu ajutorul unor instalații speciale de răcire. În sistemele de scanare sunt folosite dispozitive fotoreceptoare cu transfer de sarcină (CCD) executate sub formă microminiaturizată și integrate în diferite ansambluri numite *matrici de receptori* dispuși în linie, în dreptunghi sau pătrat.

Dispozitivele CCD se realizează sub forma unor structuri integrate MOS cu mai mulți electrozi poartă (pînă la 1024×1024). Această structură permite transformarea semnalelor optice în semnal electric. Fluxul radiant incident la suprafața matricii de microreceptori pătrunde printre electrozii poartă și provoacă în interiorul materialului semiconductor generarea intensă de perechi electroni-goluri, care se vor acumula în gropile de potențial din dreptul porților polarizate corespunzător. Mărimea sarcinii acumulate în groapa de potențial este proporțională cu intensitatea locală a fluxului radiant incident. În acest mod, în interiorul semiconductorului se obține o distribuție de sarcină electrică identică cu distribuția de strălucire din planul imagine.

După un timp oarecare (cel puțin două constante de timp ale microreceptorului) sarcina spațială este deplasată sub acțiunea impulsurilor de tact spre dispozitivul de citire. La ieșirea acestuia se obține o anumită succesiune de impulsuri cu diferite amplitudini, a căror înfășurătoare formează un semnal video supus prelucrării electronice pentru a obține informațiile dorite. Viteza de citire a matrici este determinată de viteza de explorare a spațiului obiect.

1.7 Concluzii și contribuții originale

Primul capitol este destinat unei succinte prezentări a tuturor sistemelor de localizare a surselor termoradiante, cu evaluarea avantajelor și neajunsurilor acestora. Se definește sistemului SCOD ca un sistem optoelectronic capabil să asigure căutarea, descoperirea, identificarea și localizarea automată a surselor (obiectelor sau tintelor) termoradiante din teren, care au anumite caracteristici geometrice și de radiație, pe baza radiației captate.

Este prezentată schema de principiu a sistemului SCOD și se explica, într-o manieră simplificată, transmisia semnalului optic de la sursa termoradiantă la receptorul de radiație, conversia acestuia în semnal electric și prelucrarea electronică în vederea obținerii informației dorite – localizarea sau determinarea poziției sursei termoradiante.

Sunt prezentate principalele elemente componente ale sistemului SCOD și elementele care influențează funcționarea acestuia, precum și interacțiunea care apare între aceste elemente pentru a asigura transmisia optimă a semnalului purtător de informații. Urmind sensul acestei transmisii sunt analizate probleme referitoare la:

- sursele de radiație în infraroșu;
- descoperirea surselor termice prin procedee optice;
- localizarea surselor termice;
- propagarea radiației infraroșii în atmosferă;
- dispozitive optice utilizate în sistemele SCOD;
- dispozitivele de recepție și conversie a radiației infraroșii, precum și performanțele și particularitățile constructiv – funcționale ale acestora.

În lucrare sunt prezentate și analizate sisteme care rezolvă problema localizării unei surse termoradiante prin procedee optice. Aceste procedee constau în descompunerea spațiului obiect folosind metoda de scanare, sau a spațiului imagine format de sistemul optic, folosind metoda analizei spațiului imagine și transformarea distribuției spațiale de strălucire energetică, cu ajutorul receptorului de radiație, într-un semnal electric cu variație temporală. În acest caz localizarea sursei termoradiante este posibilă întrucât între distribuția spațială de strălucire $b(x,y)$ și mărimea temporală $u(t)$ formată există o legătură funcțională univocă.

Contributii: În cap.1 se trateaza o temă de mare actualitate, si anume, determinarea coordonatelor unei surse termoradiante din teren in raport cu un sistem de referinta dat, folosind procedee de modulație optică a fluxului energetic radiant captat de un sistem optic.

Tema abordată reprezintă o aplicație a fenomenului de radiație termică a corpurilor. Pe baza particularităților acestui fenomen și a proprietăților sistemului optic în transmisia radiației captate, sunt elaborate: un model matematic care rezolvă problema poziției surse termice și un sistem tehnic SCOD care asigură determinarea automată a coordonatelor sursei termice. O particularitate esențială a metodei prezentate, o reprezintă faptul că, ea asigură localizarea surselor termice numai pe baza radiației emise de aceasta, independent de alte surse de informații.

De si studiul teoretic si relațiile matematice care stau la baza fenomenului de radiație termică au fost stabilite la inceputul anului 1900, cunoștințele din domeniul infrarosu nu s-au cristalizat decit in ultimile decenii, și anume, odată cu dezvoltarea componentelor electronice, optoelectronice, și in mod deosebit a tehnicii de calcul. Din aceste motive, tratarea problematicii din cap.1 și a celorlalte capitole ale lucrării au necesitat studiul unui amplu material bibliografic, analizat critic și competent, sistematizarea cunoștințelor dobândite și prezentarea lor într-o formă unitară și originală.

De asemenea, problematica tratată în cap.1 sintetizeaza atât contribuțiile autorului ca rezultat al studiilor și experienței proprii în exploatarea echipamentelor în infrarosu, precum și cele mai recente realizari in domeniul optoelectronicii. Preocuparile autorului au vizat, in primul rand, folosirea unei metode unitare în prezentarea și evaluarea sistemelor SCOD, amintindu-se problematica terminologiei specifice domeniului, a caracteristicilor și parametrilor sistemului. Complexitatea sistemelor SCOD, cu multe regimuri de functionare, au conditionat necesitatea tratării teoretice generale a problemelor privind descoperirea surselor, independent de constructia si functionarea lor.

Bibliografie: [A1], [A3], [C2], [C5], [C6], [C7], [C9], [C12], [D2], [D8], [D9], [D10], [D14], [D15], [D16], [D17], [D21], [D24], [G3], [G6], [G18], [H1], [H4], [H5], [I1], [I3], [K3], [K5], [L1], [L2], [L3],[M2], [M4], [N2], [N4], [N7], [N10], [P8], [R1], [S1], [S2], [S3], [S5], [S11], [S13], [V1], [Z3], [Z4].

CAP. 2

FENOMENUL DE RADIAȚIE TERMICĂ

2.1 Considerații fundamentale privind radiația termică

Radiația termică reprezintă o emisie continuă de energie a suprafeței oricărui corp aflat la o temperatură mai mare de 0K. Energia emisă, numită *energie radiantă*, este datorată agitației termice a microsystemelor atomice (atomi, molecule, ioni etc.) sau microsurselor care alcatuiesc suprafața corpului. Într-o sursă macroscopică există un număr foarte mare de microsurse (de ordinul 10^{15}cm^{-2}), fiecare emițând într-un timp de aproximativ 10^{-8} sec. o undă elementară, caracterizată de amplitudine, frecvență, stare de polarizare și direcție de propagare riguros determinate. Unda emisă de sursa macroscopică va fi o undă electromagnetică nepolarizată (naturală), rezultată din suprapunerea undelor elementare emise de fiecare microsură în parte. Din aceste motive, analizată macroscopic, radiația termică este de natură electromagnetică, se propagă în mediul înconjurător sub formă de undă electromagnetică, cu viteza luminii în vid, producând fenomene de reflexie, refracție, difracție și absorbție atunci când întâlnește alte corpuri.

Radiația termică se deosebește de alte tipuri de radiație prin mecanismul de excitație al "sistemului emițător de radiație". În cazul fenomenelor de radiație termică, sistemul emițător este reprezentat de microsystemele atomice (microsurse) care transformă energia termică a corpului în energie radiantă. Procesul prin care se realizează această transformare este asigurat de oscilația termică a microsystemelor ce constituie suprafața corpului.

Pentru a descrie și explica fenomenul de radiație termică la nivelul structurii materiale,

în decursul timpului s-au impus doua moduri de reprezentare a microsystemelor atomice aflate în oscilație termică și s-au dezvoltat două teorii: *teoria cuantică* și *teoria electromagnetică*.

2.1.1 Teoria cuantică

Procesele elementare care condiționează radiația termică se pot explica numai dacă se admite că microsystemele ce constituie suprafața corpurilor se comportă ca oscilatori armonici elementari. Fiecare oscilator elementar emite sau absoarbe în unitatea de timp o cantitate de energie radiantă ce este un multiplu întreg al cantității de energie elementară $h\nu$. De fapt, aceasta a fost ipoteza formulată de Planck (1900) la stabilirea legii de radiație a corpului negru. Astfel, Planck a presupus ca energia fiecărui oscilator elementar nu poate avea orice valoare, ci numai anumite valori date de relația

$$\varepsilon_n = nh\nu \quad (2.1)$$

unde ν este frecvența de oscilație a oscilatorului elementar, dependentă de temperatura absolută a corpului, $h = 6,62 \cdot 10^{-34} \text{ Js}$ – constanta lui Planck, iar n – număr cuantic.

Din relația (2.1) rezulta că energia oscilatorului este *cuantificată*, adică oscilatorul nu emite și nu absoarbe radiație în mod continuu, ci doar în mod discret, luând valori care reprezintă multipli întregi ai cantității elementare $h\nu$, numită *cuantă de energie*.

Întrucât energia unei cuante este foarte mică, la scara macroscopică fenomenele de emisie sau absorbție de energie radiantă prin cuante de energie sunt neperceptibile pentru orice receptor de radiație.

Pentru a descrie formal mecanismul de emisie a unui microsystem atomic se poate utiliza modelul atomic a lui Bohr. Potrivit acestui model electronii se mișcă în jurul nucleului pe orbite circulare sau eliptice, formând invelișul electronic, cu o sarcină electrică negativă egală cu sarcina pozitivă a nucleului.

Dacă nu primește și nu cedează energie, electronul se menține pe o orbită distinctă și bine determinată, careia îi corespunde energia ε_n . Pentru ca electronul să treacă pe o orbită mai îndepărtată de nucleu, corespunzător energiei ε_m , el trebuie să primească o energie egală cu $\Delta = \varepsilon_m - \varepsilon_n$. Atomii la care unul sau mai mulți electroni au trecut pe orbite superioare, devin *atomi excitați*. Atomii excitați *spontan* datorită agitației termice sau *stimulați* de prezența unei radiații exterioare revin în stare inițială și emit o radiație de frecvență

$$\nu = \frac{1}{nh} (\varepsilon_m - \varepsilon_n), \quad (2.2)$$

în care ε_m este energia stării excitate, iar ε_n - energia uneia dintre stările stabile.

Radiația emisă ($\varepsilon_m \geq \varepsilon_n$) sau radiația absorbită ($\varepsilon_m \leq \varepsilon_n$) este o radiație *monocromatică*, de frecvență ν conform relației (2.2) și de energie

$$\Delta\varepsilon = |\varepsilon_m - \varepsilon_n| = nh\nu. \quad (2.3)$$

Radiația emisă de suprafața corpului, pe o anumită direcție, este o radiație *policromatică* rezultată din suprapunerea radiațiilor monocromatice emise de fiecare microsistem pe direcția considerată.

Trebuie subliniat ca Planck a cuantificat energia radiantă la emisie, dar a continuat să presupună că propagarea acesteia se face sub formă de undă electromagnetică.

Einstein (1905) pentru a explica fenomenul fotoelectric formulează o ipoteză remarcabilă: energia emisă de un oscilator armonic elementar se propagă în mediu în cantități precise de energie, numite *fotoni*. Energia unui foton este dată de relația $\varepsilon = h\nu$.

Astfel, Einstein consideră că radiația emisă de sursa pe o anumită direcție este constituită din fotoni care se propagă în spațiu sub forma unui flux de fotoni și nu ca o undă electromagnetică, deci radiația emisă de o structură materială are o natură *corpulară*.

2.1.2 Teoria electromagnetica

Natura electromagnetica a radiației și propagarea acesteia sub formă de undă electromagnetică au fost stabilite cu ajutorul teoriei clasice a fenomenelor electromagnetice (teoria electromagnetica a luminii – Maxwell 1865 și teoria microscopică a fenomenelor electromagnetice sau teoria electronilor – Lorentz 1895). În conformitate cu teoria electronilor microsursă sunt neutre electric, însă datorită vibrației termice acestea se transformă în dipoli electrici oscilanți.

Astfel, într-un punct îndepărtat, comportarea electrică a microsursă poate fi descrisă simplu și intuitiv pe baza *modelului dipolului electric oscilant*. Acest model este un sistem abstract, format din două sarcini electrice $-q$ și $+q$ dipuse la o distanță r foarte mică între ele și care prezintă un moment electric de dipol \vec{p} egal cu momentul de dipol al microsistemului considerat

$$\vec{p} = q\vec{r}, \quad (2.4)$$

cu \vec{r} un vector de modul $|\vec{r}| = r$ orientat de la sarcina $-q$ spre sarcina $+q$.

Conform teoriei clasice dipolul va emite unde electromagnetice numai dacă momentul sau de dipol electric este variabil în timp.

Din relația (2.4) rezultă două posibilități de radiație a dipolului:

- sarcina electrică este variabilă în timp și $r = \text{const.}$ Acest mod de radiație este specific sistemelor radiotehnice;

- sarcina electrică se păstrează constantă, în schimb vectorul \vec{r} își modifică în timp atât mărimea, cât și direcția. Acest mod de radiație reprezintă unul din modurile posibile de emisie a microsurselor care alcătuiesc o structură materială. Considerând modelul lui Bohr pentru atomul de hidrogen (fig.2.1), se observă că electronul care se rotește în jurul nucleului formează un dipol electric de moment $\vec{p} = q\vec{r}$, variabil în timp. Mișcarea pe o traiectorie circulară sau eliptică a electronului poate fi descompusă în două mișcări oscilatorii, de-a lungul a două direcții perpendiculare și defazate între ele cu $\pi/2$.

Așadar, din punct de vedere electric, modelul analizat este echivalent cu doi dipoli electrici orientați după două direcții perpendiculare și ale căror oscilații sunt defazate. În regim variabil ($d\vec{p}/dt \neq 0$), câmpul electric din exteriorul fiecărui dipol va fi tot variabil și conform ecuațiilor lui Maxwell, determină un câmp magnetic variabil. Ansamblul de câmpuri variabile (electric și magnetic), care coexistă simultan, în orice punct din spațiu, și se generează reciproc în timp, formează un *câmp electromagnetic*. Întrucât în procesul de generare a celor două câmpuri sunt cuprinse și puncte vecine punctului considerat, câmpul electromagnetic “înaintează” în spațiu sub formă de *undă electromagnetică*. Unda electromagnetică emisă de un dipol este o undă *liniar polarizată*. Unda emisă de modelul analizat este o undă eliptic polarizată, deoarece cele două unde componente sunt defazate cu $\pi/2$.

Trebuie subliniat că un dipol electric oscilant (sau orice sarcină electrică aflată în mișcare neuniformă) este însoțit întotdeauna de un câmp electromagnetic, însă un câmp electromagnetic poate exista independent de dipol (sursa), și anume sub formă de undă electromagnetică. Aceasta se desprinde de dipol și prin mecanismul de generare reciprocă a celor două câmpuri, se propagă în spațiu, din aproape în aproape, cu viteza luminii și pe distanțe foarte mari.

2.1.3 Modele de reprezentare a radiației termice

În evoluția sa istorică natura și proprietățile radiației au fost explicate în diferite moduri, dar în final s-au impus trei modele sau teorii:

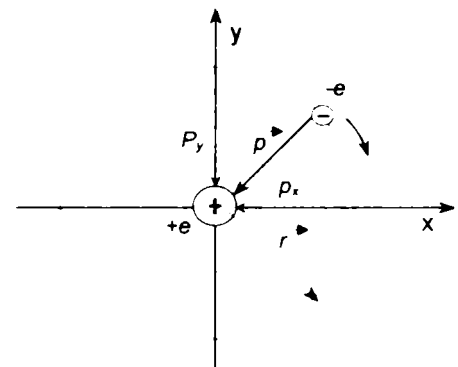


Fig.2.1

– *Modelul cuantic* (Newton, Planck, Einstein ș.a) în care radiația este considerată un flux de fotoni, fiecare având o cantitate de energie $h\nu$ dependentă de frecvență. Acest model este utilizat în studiul fenomenelor de emisie și de absorbție a radiației la scara microscopică;

– *Modelul ondulatoriu* sau optica ondulatorie (Huygens, Fresnel, Maxwell ș.a) care explică fenomenele optice considerând radiația o undă.

Natura electromagnetică a radiației și propagarea acesteia sub formă de undă electromagnetică au fost stabilite de Maxwell pe baza ecuațiilor câmpului electromagnetic. El a intuit și a demonstrat teoretic că orice perturbație electromagnetică constând din câmpuri variabile în timp, se desprinde de corpul care o produce și se propagă în spațiu sub formă de undă electromagnetică, cu o viteză ce rezultă din constantele dielectrice ale mediului.

Astfel, conform teoriei lui Maxwell atât radiația termică, cât și alte forme de radiație reprezintă manifestări electromagnetice unitare care se deosebesc între ele numai prin lungimea de undă. Modelul ondulatoriu se utilizează în studiul, la scară macroscopică, a fenomenelor de emisie și a celor care apar în propagarea radiației în diferite medii.

– *Modelul geometric* sau optica geometrică, în care propagarea radiației prin diferite medii omogene, izotrope, separate de suprafețe plane sau curbe este descrisă cu ajutorul *razelor*. Conceptul de rază este o reprezentare intuitivă a fasciculului îngust în care se propagă radiația, făcându-se abstracție de natura fizică a acesteia.

- Modelul geometric se bazează pe patru legi care privesc:
- propagarea rectilinie a radiației;
- independența fasciculelor radiante;
- reflexia și refracția fasciculelor radiante la suprafața de separație a două medii.

Acest model se utilizează în studiul sistemelor optice.

2.2 Radiația unei microsurse considerate dipol electric

2.2.1 Ecuațiile lui Maxwell

De la început trebuie subliniat faptul că, un studiu corect și complet al radiației emise de o microsursă se face numai pe baza modelelor cuantice și semicuantice. Totuși, tratarea clasică a acestei probleme, folosind modelul dipolului electric oscilant, permite stabilirea unor relații importante între caracteristicile microsursei și structura câmpului de radiație. În concepție clasică “micosursa” reprezintă o distribuție nestaționară de sarcină electrică care produce într-un punct

îndeprtat un câmp electromagnetic de radiație. Acest câmp, într-o primă aproximație, poate fi considerat ca fiind datorat variației în timp a unui moment de dipol electric. Această echivalare a capacității de radiație a microsursei cu un dipol electric oscilant formează modelul dipolului electric oscilant.

O trasatură esențială a modelului dipolului electric oscilant o constituie faptul că, acesta evidențiază numai acele caracteristici și proprietăți ale microsursei care permit determinarea componentelor câmpului de radiație și studiul transmisiei energiei radiante în mediu sub formă de undă electromagnetică.

Mai mult, considerând sursele de radiație cu suprafață finită ca reprezentând un ansamblu de microsurse, se pot explica la scară macroscopică, atât cantitativ, cât și calitativ cele mai importante caracteristici și proprietăți ale radiației. În esență, studiul radiației emise de o microsursă, pe baza modelului dipolului electric oscilant, se reduce la determinarea marimilor \vec{E} și \vec{H} - componentele electrica și magnetica ale câmpului de radiație, ca funcții de spațiu și timp.

Componentele câmpului de radiație ale unei microsurse se determină cu ajutorul ecuațiilor lui Maxwell scrise sub forma diferențială

$$\nabla \times \vec{E} = -\frac{\partial \vec{B}}{\partial t}, \quad (2.5)$$

$$\nabla \times \vec{H} = \vec{j} + \frac{\partial \vec{D}}{\partial t}, \quad (2.6)$$

$$\nabla \cdot \vec{D} = \rho, \quad (2.7)$$

$$\nabla \cdot \vec{B} = 0, \quad (2.8)$$

unde \vec{E} este intensitatea câmpului electric; \vec{D} - inducția electrică; \vec{B} - inducția magnetică; ρ - densitatea de sarcină electrică și \vec{j} - densitatea curentului de conducție.

Vectorii \vec{E} și \vec{D} , respectiv \vec{B} și \vec{H} caracterizează local aspectul electric, respectiv magnetic al câmpului electromagnetic.

În medii liniare, omogene și izotrope, fără polarizație și magnetizație permanentă, între vectorii \vec{E} și \vec{D} , respectiv \vec{B} și \vec{H} există relațiile

$$\vec{D} = \epsilon \vec{E}, \quad (2.9)$$

$$\vec{B} = \mu \vec{H}, \quad (2.10)$$

unde $\epsilon = \epsilon_0 \epsilon_r$, cu $\epsilon_0 = 10^{-9}/36\pi \text{ F/m}$, permitivitatea vidului și ϵ_r - permitivitatea relativă a mediului. Pentru vid și aer $\epsilon_r = 1$;

$\mu = \mu_0 \mu_r$, cu $\mu_0 = 4\pi 10^{-7} \text{ H/m}$, permeabilitatea magnetică a vidului și μ_r – permeabilitatea relativă a mediului. Pentru vid și aer $\mu_r = 1$.

În medii cu sarcini electrice în mișcare mărimile ρ și \vec{j} nu sunt independente, ci sunt legate prin forma locală a legii conservării sarcinii electrice

$$\nabla \vec{j} + \frac{\partial \rho}{\partial t} = 0. \quad (2.11)$$

În teoria sistemelor de ecuații cu derivate parțiale se arată că soluțiile \vec{E} și \vec{H} sunt univoc determinate dacă se cunosc constantele ε și μ , sursele ρ și \vec{j} , condițiile la limită ale domeniului în care se calculează componentele câmpului și condițiile inițiale.

Condițiile la limită reprezintă valorile \vec{E} și \vec{H} ca funcții de timp în punctele de pe frontiera domeniului considerat. Acestea pot fi formulate exact numai pentru cazuri concrete. În cazul radiației unei microsurse domeniul de integrare este spațiul infinit (o sferă a carei rază $R \rightarrow \infty$), deci câmpul electromagnetic este nelimitat în toate direcțiile și, se admite că marimile vectorilor \vec{E} și \vec{H} tind la zero ca și $1/R^2$, când $R \rightarrow \infty$.

Condițiile inițiale sunt date de valorile \vec{E} și \vec{H} pentru un anumit moment de timp t_0 , de obicei $t_0 = 0$.

2.2.2 Modelul dipolului electric oscilant

Pentru determinarea câmpului de radiație produs de o microsursă se utilizează un model simplu (fig. 2.3), construit pe baza următoarelor ipoteze:

– microsursa este formată dintr-un număr finit de sarcini electrice elementare, distribuite în volumul foarte mic (V), închis de suprafața (Σ). Întrucât sarcinile pozitive (pozitronii) și negative (electronii) sunt în cantități egale, microsursa este neutră electric;

– sarcinile electrice negative și pozitive sunt în mișcare, deci este caracterizată de o distribuție de sarcină de volum $\rho(\vec{r}, t)$ și de o densitate de curent $\vec{j}(\vec{r}, t)$ ca funcții de punct și de timp;

– mărimea $\rho(\vec{r}, t) dv$ reprezintă sarcina conținută în volumul infinitesimal dv , a cărui poziție în raport cu sistemul de axe $Oxyz$ este definită prin vectorul de poziție \vec{r} .

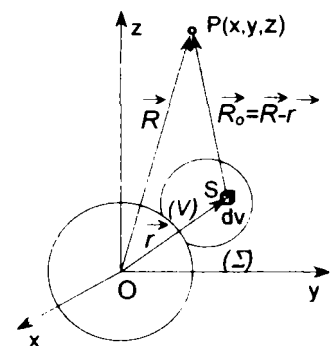


Fig. 2.3

Trebuie subliniat că la scara microscopică densitatea de sarcină prezintă variații în salt, de la un punct la altul, însă dimensiunile volumului dv sunt suficient de mari ca să cuprindă un număr semnificativ de sarcini și suficient de mic în raport cu punctul îndepărtat P (punct de observație).

– sarcina electrică totală închisă de suprafața Σ este

$$Q = \int_V \rho(\vec{r}, t) dv. \quad (2.12)$$

Pentru o microsursă neutră electric integrala (2.12) este nulă.

2.2.3 Potențialele electrodinamice ale dipolului electric oscilant

Câmpul de radiație produs de microsursă în punctul îndepărtat P este determinat dacă sunt cunoscute componentele câmpului \vec{E} și \vec{H} ca funcții de punct și de timp.

Vectorii \vec{E} și \vec{H} se obțin cu ajutorul sistemului de ecuații (2.5) – (2.8).

Pentru simplificarea rezolvării acestui sistem de ecuații se exprimă vectorii \vec{E} și \vec{H} prin intermediul a două funcții V (potențialul scalar) și \vec{A} (potențialul vector), numite potențiale electrodinamice ale câmpului.

Din ecuația $\nabla \cdot \vec{B} = 0$, rezultă că există un vector \vec{A} , astfel că

$$\vec{H} = \frac{1}{\mu} (\nabla \times \vec{A}), \quad (2.13)$$

De asemenea, din ecuația (2.5) mai rezulta $\nabla \left(\vec{E} + \frac{\partial \vec{A}}{\partial t} \right) = 0$, ceea ce semnifică faptul că

expresia $\vec{E} + \frac{\partial \vec{A}}{\partial t}$ este echivalentă cu un potențial scalar

$$\vec{E} + \frac{\partial \vec{A}}{\partial t} = -\nabla V. \quad (2.14)$$

Pentru a determina univoc componentele câmpului, potențialele V și \vec{A} trebuie să satisfacă condiția de etalonare Lorentz

$$\nabla \cdot \vec{A} + \varepsilon \mu \frac{\partial V}{\partial t} = 0. \quad (2.15)$$

Expresiile potențialelor electrodinamice în punctul P se determină cu integralele

$$V(\vec{R}, t) = \frac{1}{4\pi\varepsilon} \int_{\Omega} \frac{\rho(\vec{r}, t)}{R_o} dv, \quad (2.16)$$

$$\vec{A}(\vec{R}, t) = \frac{\mu}{4\pi} \int_{\Omega} \frac{\vec{j}(\vec{r}, t)}{R_o} dv, \quad (2.17)$$

unde \vec{R} este vectorul de poziție al punctului P în raport cu punctul O ; \vec{r} - vectorul de poziție al elementului de volum dv din interiorul distribuției de sarcină considerată, iar $\tau = t - \frac{R_o}{c}$, timpul de retardare, adică timpul necesar perturbației electromagnetice produse în interiorul volumului elementar dv , să parcurgă distanța R_o până la punctul P , cu viteza finită c .

Întrucât $R > r$, se poate scrie

$$|\vec{R}_o| = |\vec{R} - \vec{r}| \approx R \left(1 - \frac{\vec{r} \cdot \vec{R}}{R^2} \right) = R - \vec{n} \cdot \vec{r}, \text{ cu } \vec{n} = \frac{\vec{R}}{R}.$$

Se dezvoltă funcția $\frac{\rho(\vec{r}, \tau)}{R_o}$ în serie Taylor în jurul punctului $R_o = R$

$$\frac{\rho(\vec{r}, \tau)}{R_o} = \frac{\rho(\vec{r}, \tau)}{R} - \vec{n} \cdot \vec{r} \frac{\partial}{\partial R} \left[\frac{\rho(\vec{r}, \tau)}{R} \right] + \dots$$

și se înlocuiește în (2.16).

După integrare, și având în vedere (2.12) rezultă potențialul scalar V într-o primă aproximație (aproximația de dipol)

$$4\pi\epsilon V(\vec{R}, t) = -\vec{n} \frac{\partial}{\partial R} \left[\frac{1}{R} \int_{\Omega} \vec{r} \rho(\vec{r}, \tau) dv \right] = -\vec{n} \frac{\partial}{\partial R} \left[\frac{\vec{p}(\vec{r}, \tau)}{R} \right], \quad (2.18)$$

unde $\vec{p}(\vec{r}, \tau) = \int_{\Omega} \vec{r} \rho(\vec{r}, \tau) dv$ este momentul de dipol electric al distribuției de sarcină considerată.

Astfel, orice distribuție nestaționară de sarcină electrică din interiorul unei microsurse este echivalentă cu un dipol electric al cărui moment de dipol $\vec{p}(\vec{r}, \tau)$ este independent de alegerea punctului de referință O .

Din relația (2.18), după derivare rezultă

$$V(\vec{R}, t) = \frac{1}{4\pi\epsilon} \left(\frac{[\dot{p}]}{cR} + \frac{[p]}{R^2} \right) \cos \theta, \quad (2.19)$$

unde $[p] = p(\vec{r}, \tau)$ este valoarea retardată a momentului de dipol; θ - unghiul format de vectorii

$$\vec{R} \text{ și } \frac{\partial \vec{p}(\vec{r}, \tau)}{\partial R} = -\frac{1}{c} \dot{\vec{p}}(\vec{r}, \tau).$$

Avându-se în vedere distribuția nestaționară de sarcina $\rho(\vec{r}, t)$ în interiorul volumului Ω , din relația (2.11) rezultă și o variație în timp a momentului de dipol

$$\frac{\partial \vec{p}(\vec{r}, \tau)}{\partial t} = \frac{\partial}{\partial t} \int_{\Omega} \vec{r} \rho(\vec{r}, t) dv = \int_{\Omega} \vec{j}(\vec{r}, \tau) dv. \quad (2.20)$$

Relația (2.20) s-a obținut pe baza identității $\nabla(r\vec{j}) = r\nabla\vec{j} + \vec{j} \cdot \frac{\vec{r}}{r}$, după ce s-a integrat în limitele volumului Ω și s-a avut în vedere ca fluxul densității de curent prin suprafața închisă Σ este nul:

$$\vec{u} \int_{\Omega} \nabla(r\vec{j}) dv = \vec{r} \int_{\Omega} \vec{j} \cdot d\vec{s} = 0.$$

Din relațiile (2.17) și (2.20) rezultă expresia potențialului vector \vec{A} produs de microsursă în punctul P

$$\vec{A}(\vec{R}, t) = \frac{\mu}{4\pi R} \vec{p}(\vec{r}, \tau). \quad (2.21)$$

2.2.4 Structura câmpului de radiație

Cu relațiile (2.19) și (2.21) se pot determina componentele câmpului \vec{E} și \vec{H} , în fiecare punct din spațiu.

Componenta electrică \vec{E} a câmpului de radiație se obține din relația (2.14)

$$\vec{E}(\vec{R}, t) = -\nabla V(\vec{R}, t) - \frac{\partial \vec{A}(\vec{R}, t)}{\partial t}.$$

Datorită simetriei câmpului în raport cu axa dipolului, în coordonate sferice, gradientul funcției V se calculează cu

$$\nabla V = \frac{\partial V}{\partial R} \vec{u}_R + \frac{1}{R} \frac{\partial V}{\partial \theta} \vec{u}_\theta + \frac{1}{R \sin \theta} \frac{\partial V}{\partial \varphi} \vec{u}_\varphi, \quad (2.22)$$

unde $\vec{u}_R, \vec{u}_\theta, \vec{u}_\varphi$ sunt versorii triedrului local format în punctul P .

După efectuarea calculelor termenii din (2.22) care conțin factori de forma R^{-2} sau R^{-3} sunt neglijați, obținându-se

$$\nabla V = \frac{\partial V}{\partial R} \vec{u}_R = -\frac{1}{4\pi\epsilon c^2 R} [\ddot{p}] (\cos \theta) \vec{u}_R. \quad (2.23)$$

Se derivează (2.19) în raport cu timpul

$$\frac{\partial \vec{A}}{\partial t} = \frac{\mu}{4\pi\epsilon} [\dot{p}] \vec{u}_p, \quad (2.24)$$

unde \vec{u}_p reprezintă versorul axei dipolului. Între \vec{u}_p și versorii triedrului local din P există relația $\vec{u}_p = \vec{u}_R \cos \theta - \vec{u}_\theta \sin \theta$.

Înlocuind (2.23) și (2.24) în (2.14), rezultă componenta electrică a câmpului

$$\vec{E}(\vec{R}, t) = \frac{1}{4\pi\epsilon c^2 R} [\ddot{p}] \sin \theta \vec{u}_\theta. \quad (2.25)$$

Cu relația (2.13) se calculează componenta magnetică a câmpului

$$\vec{H}(\vec{R}, t) = \frac{1}{\mu} (\nabla \times \vec{A}) = \frac{1}{4\pi} \nabla \times \left(\frac{[\dot{p}]\cos\theta}{R} \vec{u}_R - \frac{[\dot{p}]\sin\theta}{R} \vec{u}_\theta \right).$$

După efectuarea calculelor, se obține

$$\vec{H}(\vec{R}, t) = \frac{1}{4\pi \cdot c} \frac{[\ddot{p}]}{R} \sin\theta \vec{u}_\varphi. \quad (2.26)$$

Expresiile (2.25) și (2.26) reprezintă expresiile vectorilor \vec{E} și \vec{H} ale câmpului electromagnetic produse de un dipol electric oscilant armonic în punctul de coordonate (R, ϑ, φ) aflat la distanță mare de dipol ($R > r$), pentru care factorii de forma R^{-2} și R^{-3} sunt neglijabili.

Punctele din spațiu care satisfac această condiție formează *zona de radiație* sau *zona de undă* a dipolului.

În regiuni apropiate de dipol, adică în punctele pentru care $R \approx r$, expresiile vectorilor \vec{E} și \vec{H} au forme identice regimului staționar (aici sunt neglijate termenii care conțin factori de forma R^{-1}). Asadar, dipolul electric de moment \vec{p} , variabil în timp, produce în zona $R \approx r$ un câmp electromagnetic (perturbație electromagnetică) legat de dipol, care datorită variației în timp a componentelor \vec{E} și \vec{H} se desprinde de acesta și se propagă din aproape în aproape ($R > r$) sub formă de undă electromagnetică.

În zona de radiație câmpul electromagnetic prezintă următoarele caracteristici:

– în orice moment de timp t , în punctele (R, ϑ, φ) mărimile de stare ale câmpului de radiație (vectorii \vec{E} și \vec{H}) sunt determinate de valorile \ddot{p} la momentul anterior $t - R/c$. Timpul $\tau = R/c$ reprezintă timpul necesar perturbației produse de dipol să parcurgă distanța R cu viteza finită c . Această proprietate a radiației confirmă ipoteza acțiunii din aproape în aproape a câmpului electromagnetic;

– exprimând vectorii \vec{E} și \vec{H} funcție de vectorul \vec{u}_R , se obține

$$\vec{E}(\vec{R}, t) = \sqrt{\frac{\mu}{\epsilon}} (\vec{H} \times \vec{u}_R), \quad (2.27)$$

$$\vec{H}(\vec{R}, t) = \sqrt{\frac{\epsilon}{\mu}} (\vec{u}_R \times \vec{E}). \quad (2.28)$$

Din (2.27) și (2.28) rezultă că vectorii \vec{E} și \vec{H} sunt perpendiculari pe vectorul de poziție $\vec{R} = R\vec{u}_R$, iar cuplul de vectorii $(\vec{R}, \vec{E}, \vec{H})$ formează

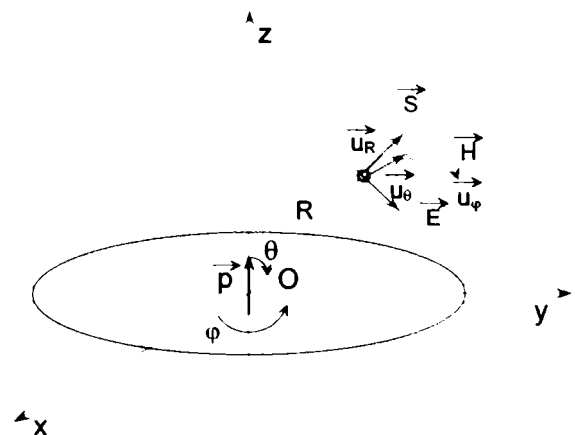


Fig. 2.4

un triedru drept (fig. 2.4). În coordonate sferice vectorii \vec{E} și \vec{H} sunt definiți astfel: $\vec{E}(0, E_\theta, 0)$, cu $E_R = E_\varphi = 0$ și E_θ exprimat cu (2.25); $\vec{H}(0, 0, H_\varphi)$, cu $H_R = H_\theta = 0$ și H_φ exprimat cu (2.26). Liniile câmpului electric sunt situate în plane meridiene, iar liniile câmpului magnetic sunt cercuri concentrice în planuri perpendiculare pe axa dipolului. Calculul exact al marimilor vectorilor \vec{E} și \vec{H} presupune să fie cunoscută legea de oscilație a momentului de dipol $p = p(t)$.

Întrucât funcția $\bar{p}(\vec{r}, \tau)$ este periodică în raport cu timpul, admite o reprezentare sub forma unei serii trigonometrice

$$p(\vec{r}, \tau) = \bar{p}_0 + \sum_{k=1}^{\infty} p_{mk} \sin(\omega k t + \varphi_k), \quad (2.29)$$

unde p_{mk} este amplitudinea de oscilație a armoniciei de ordinul k a momentului de dipol.

Din (2.29) rezultă că dipolul electric format de microsursa analizată este echivalent cu un număr infinit de dipoli armonici elementari, fiecare oscilând cu frecvențele $\omega, 2\omega, 3\omega, \dots, k\omega, \dots$. În acest caz potențialul scalar V produs de microsursă în punctul P va reprezenta o sumă de potențiale scalare produse de fiecare dipol armonic elementar.

Pentru simplificarea calculelor, în continuare se va analiza cazul dipolului armonic fundamental, care oscilează după legea $\bar{p}(t) = p_m \sin \omega t \cdot \vec{u}_z$, unde p_m este amplitudinea de oscilație a dipolului; $\omega = 2\pi\nu$ - pulsația oscilației cu ν - frecvența fundamentală de oscilație și \vec{u}_z versorul axei z (fig.2.3).

În acest caz, $[p] = p_o \sin \omega(t - R/c)$ este valoarea retardată a momentului de dipol și $[\dot{p}]$ - derivata a doua a momentului de dipol. Înlocuind $[\dot{p}]$ în expresiile (2.25) și (2.26) rezultă componentele câmpului în punctul P de coordonate (R, θ, φ)

$$\vec{E}(\vec{R}, t) = -\frac{\omega^2 p_o}{4\pi\epsilon \cdot c^2 R} \sin \omega \left(t - \frac{R}{c} \right) \sin \theta \cdot \vec{u}_\theta, \quad (2.30)$$

$$\vec{H}(\vec{R}, t) = -\frac{\omega^2 p_o}{4\pi\epsilon \cdot c R} \sin \omega \left(t - \frac{R}{c} \right) \sin \theta \cdot \vec{u}_\varphi,$$

care prezintă de asemenea, o variație armonică în timp, cu amplitudinile

$$E_\theta = \frac{\omega^2 p_o}{4\pi\epsilon \cdot c^2 R} \sin \theta = \frac{E_o}{R} \sin \theta, \quad (2.31)$$

$$H_\varphi = \frac{\omega^2 p_o}{4\pi \cdot c R} \sin \theta = \frac{H_o}{R} \sin \theta,$$

unde prin E_o , respectiv H_o s-au notat amplitudinile componentelor câmpului în punctul $R = 1$.

Funcțiile E_θ și H_φ pot fi reprezentate grafic sub forma unei diagrame polare (fig. 2.5). Se observă că E_θ sau H_φ au valori maxime pentru $\theta = \pi/2$, adică pe o direcție perpendiculară pe axa dipolului. Dacă în plan diagrama polară a funcției E_θ sau H_φ reprezintă un cerc, în spațiu ea va reprezenta un tor.

De asemenea, din relațiile (2.30) și (2.31) mai rezultă

$$z = \frac{E_\theta}{H_\varphi} = \frac{E_o}{H_o} = \frac{1}{c\epsilon\mu} = \sqrt{\frac{\mu}{\epsilon}}, \quad (2.32)$$

sau

$$\sqrt{\epsilon}E_\theta = \sqrt{\mu}H_\varphi. \quad (2.33)$$

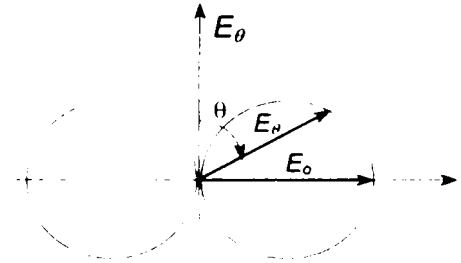


Fig.2.5

Mărimea $\sqrt{\mu/\epsilon}$ reprezintă *impedanța de undă* a mediului, iar pentru vid are valoarea de

$$z_o = \sqrt{\mu_o/\epsilon_o} = 120\pi[\Omega]. \quad (2.34)$$

Întrucât mărimile de stare \vec{E}_θ și \vec{H}_φ ale câmpului electromagnetic execută oscilații armonice în timp, în orice punct al spațiului (R, θ, φ) unde există câmp, ele se reprezintă și sub forma complexă.

2.2.5 Energia câmpului de radiație a dipolului electric oscilant

În electrodinamica clasică proprietățile mediului sunt caracterizate de parametrii ϵ , μ și γ (conductivitatea mediului). Dacă valorile acestor parametri sunt aceleași în orice punct al mediului, precum și în orice direcție, mediul considerat este *omogen* și *izotrop*, iar dacă $\gamma = 0$, mediul este *dielectric*. La frontiera care separă două medii omogene și izotrope parametrii ϵ , μ prezintă o variație tip treaptă. În procesul de radiație microsursa pierde o parte din energia internă, energie ce se regăsește în mediu sub forma unei densități de energie. În mediul respectiv pot exista receptori de radiație – substanțe care absorb radiație.

Pentru a vedea cum se realizează schimbul de energie între sursă, receptori și câmp, se consideră un domeniu de volum Ω închis de suprafața Σ în interiorul căruia există microsurse de radiație și receptori de radiație,

Din ecuațiile (2.5) și (2.6) rezultă

$$-\int_{\Omega} \nabla \cdot (\vec{E} \times \vec{H}) dv = \int_{\Omega} \gamma \cdot E^2 dv + \frac{\partial}{\partial t} \int_{\Omega} \left(\epsilon \frac{E^2}{2} + \mu \frac{H^2}{2} \right) dv. \quad (2.35)$$

Relația obținută exprimă bilanțul de putere în domeniul Ω analizat:

– Integrala $\int_{\Omega} \gamma \cdot E^2 dv$ reprezintă consumul de putere absorbit de receptori și transformat de

aceștia în caldură sau alte forme de energie. Această putere este întotdeauna pozitivă;

– Integrala $\frac{dW}{dt} = \frac{\partial}{\partial t} \int_{\Omega} \left(\epsilon \frac{E^2}{2} + \mu \frac{H^2}{2} \right) dv$ reprezintă puterea radiată de sursă și

care se regăsește în interiorul domeniului Ω sub forma densității de energie radiantă

$w = w_E + w_H = \epsilon \frac{E^2}{2} + \mu \frac{H^2}{2}$. Dacă $dW/dt > 0$, puterea radiantă este emisă de sursă, iar dacă

$dW/dt < 0$, puterea radiantă este absorbită de aceasta;

– Integrala $-\int_{\Omega} \nabla(\vec{E} \times \vec{H}) dv = -\int_{\Sigma} (\vec{E} \times \vec{H}) d\vec{A}$, cu $d\vec{A}$ – elementul de arie orientat,

semnifică excedentul de putere din domeniul Ω și care părăsește suprafața închisă Σ , sau fluxul

vectorului $\vec{S} = \vec{E} \times \vec{H}$ prin suprafața închisă Σ

Vectorul \vec{S} , sau vectorul Poynting, este orientat spre exteriorul suprafeței Σ dacă în interior există un excedent de putere radiantă și spre interiorul suprafeței dacă consumul de putere al receptorilor depășește puterea existentă în volumul Ω . Rezultă că excedentul de putere radiantă emisă sau absorbită în interiorul volumului Ω părăsește sau pătrunde în acest volum sub forma fluxului vectorului \vec{S} prin suprafața închisă Σ .

Semnificația fizică a fluxului \vec{S} printr-o suprafață închisă este aceea a unui vector care caracterizează mărimea și direcția transportului de energie radiantă în unitatea de timp, prin unitatea de suprafață dispusă perpendicular pe acest vector.

Vectorul \vec{S} este perpendicular pe planul care conține vectorii \vec{E} și \vec{H} (fig. 2.4) și formează împreună un triedru drept, în ordinea $\vec{E}, \vec{H}, \vec{S}$. Are dimensiunea W/m^2 , deci reprezintă densitatea fluxului de putere sau *puterea radiantă* care părăsește unitatea de arie. Dacă cuplul de vectori \vec{E} și \vec{H} ar fi independenți unul față de altul, adică ar proveni din suprapunerea unui câmp electric și a unui câmp magnetic, ambele condiționate de existența unor sarcini imobile și curenți constanți, atunci vectorul \vec{S} este nul

$$\nabla \vec{S} = \nabla(\vec{E} \times \vec{H}) = \vec{H}(\nabla \times \vec{E}) - \vec{E}(\nabla \times \vec{H}) = 0.$$

De aici rezultă o proprietate importantă a câmpurilor electromagnetice, și anume, aceea de a transporta energie în spațiu ($\vec{S} \neq 0$), prin intermediul undelor electromagnetice.

2.2.6 Fluxul radiant al dipolului electric oscilant

Considerând microsursa într-un mediu dielectric, omogen și izotrop, înconjurat de suprafața imaginară Σ , din (2.35) rezultă

$$\frac{dW}{dt} = - \int_{\Sigma} (\vec{E}_{\theta} \times \vec{H}_{\theta}) d\vec{A}, \quad (2.36)$$

sau, întreaga energie radiantă emisă de sursă în unitatea de timp părăsește suprafața închisă Σ sub forma unui flux de putere radiantă, numit pe scurt – flux radiant. Expresia vectorului \vec{S} pentru un dipol electric oscilant armonic, în punctul de coordonate (R, θ, φ) este

$$\vec{S}_{\theta} = \vec{E}_{\theta} \times \vec{H}_{\theta} = \frac{E_o H_o}{R^2} (\sin \theta)^2 \sin^2 \omega \left(t - \frac{R}{c} \right) \vec{u}_R. \quad (2.37)$$

În fig.2.6 se prezintă variația în timp a mărimii S_{θ} . Aceasta oscilează între valorile 0 și $S_{\theta \max} = \frac{E_o H_o}{2} (\sin \theta)^2$, deci fluxul de putere oscilează cu o frecvență dublă față de frecvența de oscilație a vectorului E_{θ} .

Fluxul radiant al dipolului prin suprafața închisă Σ sau într-un unghi solid egal cu 4π , este

$$\Phi_{\Sigma} = \int_{\Sigma} E_o H_o \sin^2 \theta \sin^2 \omega \left(t - \frac{R}{c} \right) dA = \frac{4\pi}{3} E_o H_o \sin^2 \omega \left(t - \frac{R}{c} \right),$$

unde $dA = \cos \theta \cdot d\theta \cdot d\varphi$ este elementul de arie a sferei de raza $R = 1$. Se notează $S_o = E_o H_o$. Cu aceasta Φ_{Σ} se poate scrie sub forma

$$\Phi_{\Sigma} = \frac{2\pi}{3} S_o - \frac{2\pi}{3} S_o \cos 2\omega \left(t - \frac{R}{c} \right). \quad (2.38)$$

Din (2.38) rezultă că fluxul radiant al dipolului prin suprafața oricărei sfere cu centrul în dipol prezintă două componente:

- componenta constantă, de valoare $(2\pi/3)S_o$;
- componenta armonică care oscilează cu frecvența 2ω , cu o anumită întârziere, este determinată de distanța R . Valoarea medie a fluxului Φ_{Σ} pe o perioadă de oscilație $T = 2\pi / \omega$ (sau multipli întregi nT), este

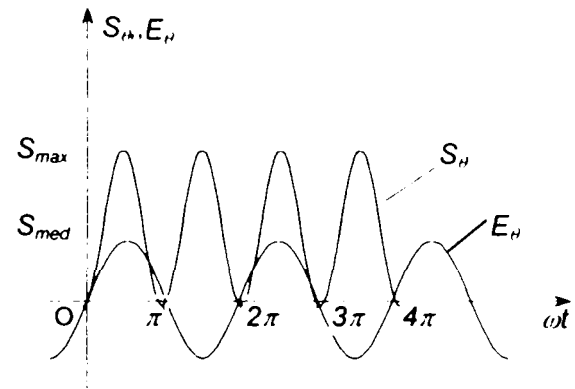


Fig.2.6

$$\langle \Phi_{\Sigma} \rangle = \frac{1}{T} \int_0^T \Phi_{\Sigma} dt = \frac{2\pi}{3} S_o. \quad (2.39)$$

Din relația (2.39) rezultă o proprietate importantă a câmpului electromagnetic produs de un dipol electric oscilant: media în timp a fluxului radiant Φ_{Σ} prin suprafața oricărei sfere care cuprinde și dipolul este aceeași, egală cu $(2\pi/3)S_o$, indiferent de raza sferei. Pe baza acestei proprietăți a câmpului electromagnetic, în medii omogene, izotrope și dielectrice este posibilă captarea la distanțe foarte mari a unei fracțiuni din energia radiantă a unei surse termice.

2.3 Particularități ale propagării undelor electromagnetice

2.3.1 Ecuația undelor electromagnetice

Câmpurile electric \vec{E} , respectiv magnetic \vec{H} care sunt legate direct de variația în timp a momentului de dipol formează câmpul electromagnetic primar sau perturbația electromagnetică. Câmpurile \vec{E}_{θ} și \vec{H}_{ϕ} , în puncte departate de dipol, nu mai sunt generate de acesta, ci se generează reciproc (ec. 2.5 și 2.6) neintermedate de mediu sau alte corpuri. Această dubla legătură între câmpurile variabile în timp \vec{E} , respectiv \vec{H} asigură desprinderea perturbației electromagnetice de sursă și propagarea ei, din aproape în aproape în toate punctele spațiului. Dacă perturbația electromagnetică primară încetează, dispar câmpurile primare \vec{E} și \vec{H} , însă câmpurile desprinse de sursa \vec{E}_{θ} și \vec{H}_{ϕ} , se vor genera în continuare reciproc și vor înainta în spațiu sub formă de undă electromagnetică.

Această observație importantă rezultă din ecuațiile lui Maxwell, considerând zona de radiație a dipolului ca un mediu omogen, izotrop, dielectric și lipsit de sarcini electrice ($\rho_v = 0$) sau densități de curent ($\vec{j} = 0$)

$$\begin{aligned} \nabla \times \vec{E} &= -\mu \frac{\partial \vec{H}}{\partial t}, \\ \nabla \times \vec{H} &= \varepsilon \frac{\partial \vec{E}}{\partial t}. \end{aligned}$$

Eliminând vectorul \vec{E} sau \vec{H} din ecuațiile lui Maxwell, se obține ecuația diferențială de propagare a undelor electromagnetice

$$\Delta \bar{\Psi} - \varepsilon \mu \frac{\partial^2 \bar{\Psi}}{\partial t^2} = 0, \quad (2.40)$$

unde $\bar{\Psi} = \bar{\Psi}(x, y, z, t) = \bar{\Psi}(\vec{R}, t)$ este funcția de undă care reprezintă elongațiile mărimilor \vec{E} sau

\vec{H} , în punctul considerat. Întrucât câmpurile \vec{E} și \vec{H} sunt funcții armonice de timp, de forma $\vec{\Psi}(\vec{R}, t) = \vec{\Psi}_0 e^{-j\omega t}$, cu $\vec{\Psi}_0$ - amplitudinea complexă a intensității câmpului electric, respectiv magnetic, ecuația (2.40) se poate scrie sub forma

$$\Delta \vec{\Psi}_0 + k^2 \vec{\Psi}_0 = 0, \quad (2.41)$$

unde $c^2 = \frac{1}{\epsilon\mu}$ și $k = \frac{\omega}{c}$.

Expresia (2.41) reprezintă ecuația vectorială a undelor scrisă în complex simplificat. Dacă se studiază propagarea undei electromagnetice după o anumită direcție, definită prin unghiurile $\theta = \text{const.}$ și $\varphi = \text{const.}$ (direcția de observație), ecuația (2.41) devine o ecuație scalară (cu Ψ_0 - marime complexa)

$$\Delta \Psi_0 + k^2 \Psi_0 = 0. \quad (2.42)$$

În coordonate sferice operatorul $\Delta(\dots)$ are forma: $\Delta(\dots) = \frac{1}{R} \frac{d^2}{dR^2} (R\dots)$ și ecuația (2.42)

devine

$$\frac{d^2}{dR^2} (R\Psi_0) + k^2 (R\Psi_0) = 0,$$

cu soluția generală $R\Psi_0 = C_1 e^{jkR} + C_2 e^{-jkR}$, unde C și C_1 sunt două constante complexe, de forma $C = C e^{j\Psi}$ și $C_1 = C_1 e^{j\Psi_1}$, deci

$$\Psi_0 = \frac{C}{R} e^{j(kR - \Psi)} + \frac{C_1}{R} e^{-j(kR + \Psi_1)}. \quad (2.43)$$

Pentru a trece în domeniul real, ecuația (2.43) se înmulțește cu $e^{-j\omega t}$ și se reține numai partea imaginară (forma în sin). Se obține

$$E_\theta(R, t) = \frac{C}{R} \cos(\omega t - kR + \Psi) + \frac{C_1}{R} \cos(\omega t + kR + \Psi_1). \quad (2.44)$$

Primul termen din expresia (2.44) reprezintă ecuația undei *directe* sau *libere*, care se propagă pe direcția (θ, φ) , de la dipol în spațiul liber, la infinit. Argumentul $\omega t - kR + \varphi$ reprezintă *faza* undei, iar ecuația

$$\omega t - kR + \varphi = \text{const.} \quad (2.45)$$

descrie suprafețe pe care faza undei (sau mărimea vectorului de unda $\vec{\Psi}$) este aceeași. Aceste fronturi formează *suprafețele de undă*. Prima suprafață de undă, considerată în sensul de înaintare a undei, reprezintă *frontul de undă*. După forma geometrică a frontului de undă, undele se clasifică în *unde sferice, plane, cilindrice* etc.

Pentru $t = t_0$, ecuația $\omega t_0 - kR + \Psi = \text{const.}$ devine $R = \text{const.}$, deci suprafețele de undă ale undei emise de un dipol electric oscilant sunt sfere concentrice cu centrul în sursa. Prin diferențierea ecuație (2.45), se obține

$$v_f = \frac{dR}{dt} = \frac{\omega}{k} = c = \frac{1}{\sqrt{\epsilon\mu}}, \quad (2.46)$$

unde $v_f = c$ este viteza de propagare a fazei undei electromagnetice într-un mediu dielectric.

$$\text{Pentru vid, relația (2.46) devine: } c_0 = \frac{1}{\sqrt{\epsilon_0\mu_0}} = \frac{1}{\sqrt{(4\pi \cdot 10^{-7})(8.85 \cdot 10^{-12})}} = 3 \cdot 10^8 \text{ m/s},$$

ceea ce arată că în vid, viteza de propagare a undelor electromagnetice este egală cu viteza luminii. Raportul $n = \frac{c}{c_0} = \sqrt{\epsilon_r\mu_r} \approx \sqrt{\epsilon_r}$ (pentru medii dielectrice $\mu_r \approx 1$) reprezintă *indicele de refracție al mediului*. El stabilește legătura între proprietățile optice și electrice ale mediului, caracterizat prin constanta dielectrică ϵ_r . Această relație a reprezentat o bază în stabilirea naturii electromagnetice a radiației optice.

Termenul al doilea din ecuația (2.44) semnifică o undă inversă sau regresivă $\left(-\frac{dR}{dt} = c\right)$,

care se propagă de la infinit spre dipol.

Pentru problema analizată nu interesează soluția generală a ecuației undelor, ci una particulară care satisface anumite condiții specifice radiației dipolului.

Astfel, condiția la limita impusă radiației dipolului este ca E , respectiv $H \rightarrow 0$ când $R \rightarrow \infty$, deci $C_1 = 0$.

Rezultă că ecuația undei care se propagă de la dipol în spațiul liber are forma

$$E_\theta = \frac{C}{R} \sin(\omega t - kR + \varphi), \quad (2.47)$$

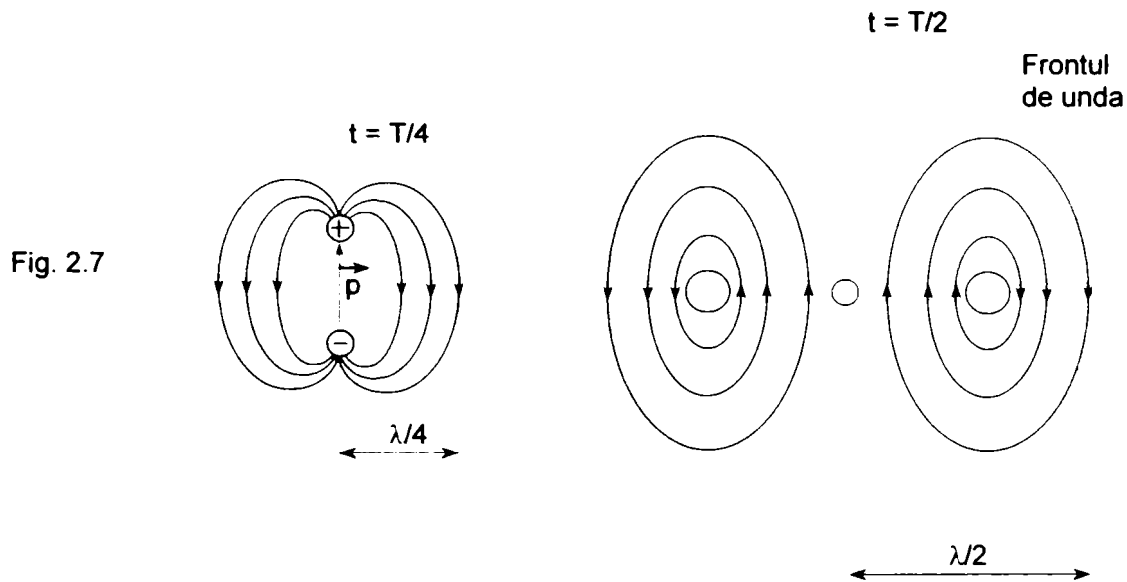
Constantele C și φ se determină din relația (2.30), pe baza următoarelor observații:

– calculul mărimilor componentelor câmpului de radiație în punctul P, având raza vectorială \vec{R} față de dipolul armonic oscilant, s-a făcut în funcție de valorile pe care le-a avut momentul de dipol \vec{p} anterior momentului de timp $t' = t - R/c$;

– retardarea $\tau = t - t' = R/c$ reprezintă timpul necesar perturbației electromagnetice produse de dipol să se propage pe distanța R , cu viteza c . Suprafețele $R = c \cdot \tau$ reprezintă locul geometric al punctului P pentru care distanța la dipol este egală cu distanța pe care o poate strabate perturbația dipolului în timpul τ . Această suprafață se numește *front de undă*, deoarece

separă regiunea din spațiu unde a ajuns perturbația dipolului, caracterizată de un câmp electromagnetic, de regiunea lipsită de câmp electromagnetic;

– câmpul electric produs de dipol atinge valorile maxime pentru momentele de timp $t = (2n+1)T/4$, cu $T = 2\pi/\omega$ - perioada de oscilație a dipolului electric, iar pentru momentele $t = nT/2$ - câmpul electric devine nul - momentele în care acesta se desprinde de dipol și se propagă în spațiu sub formă de undă electromagnetică (fig. 2.7).



Pe baza observațiilor facute, pentru $\varphi = 0$ (absenta defazajului initial) rezulta constanta $C = E_o = (\omega^2 p_o \sin \theta) / 4\pi\epsilon c^2$, obtinuta din ecuatia (2.30) pentru momentul $t - R/c = T/4$.

Ecuatia (2.30) devine

$$E_\theta(R, t) = \frac{E_o}{R} \sin \omega \left(t - \frac{R}{c} \right) = \frac{E_o}{R} \sin(\omega t - kR), \quad (2.49)$$

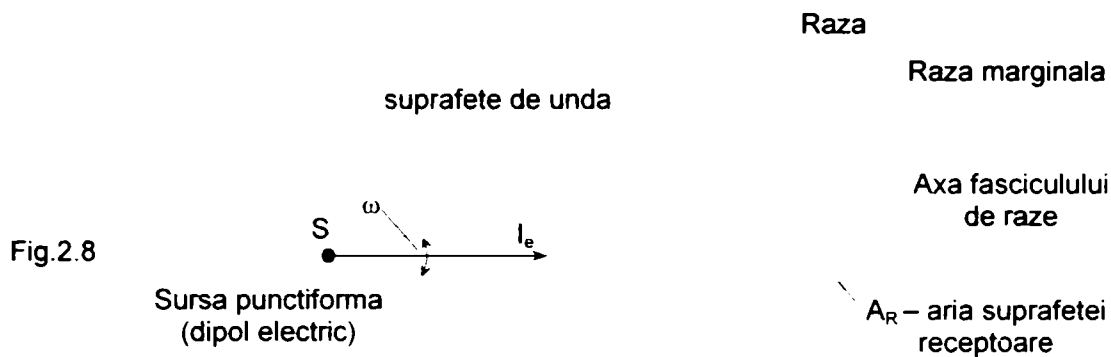
sau sub forma complexa

$$E_\theta = \frac{E_o}{R} e^{-j(\omega t - kR)}. \quad (2.50)$$

Din ecuatia (2.49) rezulta ca in toate punctele situate pe directia de propagare a undei, marimea E_θ executa oscilatii armonice, de aceeasi perioada $T = 2\pi/\omega$ si amplitudine E_o/R , dar de faze diferite $\omega(t - R/c)$. Distanța dintre doua puncte consecutive, in care vectorul \vec{E} oscileaza cu aceeasi faza, se numeste *lungime de unda* λ si reprezinta drumul parcurs de unda in timp de o perioada T , deci $\lambda = c.T$. Marimea $k = \omega/c = 2\pi/\lambda$ este *numarul de unda* si indica pulsatiile vectorului \vec{E} in lungul directiei de propagare a undei. Semnificatia fizica a marimii k este asemanatoare cu a marimii ω . Daca marimea ω indica pulsatiile in timp a vectorului \vec{E} , in punctul $R = R_o$, marimea k indica pulsatiile in spatiu a vectorului \vec{E} , pentru $t = t_o$.

Vectorul $\vec{k} = k\vec{u}_R$ este *vectorul de unda* și indică direcția și sensul de propagare a frontului undei electromagnetice.

La reprezentarea undei electromagnetice în propagare nu se indică mărimea și direcția vectorului \vec{E} , ci doar se arată forma frontului de unda sau intersecția acestuia cu un plan de referință. Liniile perpendiculare pe frontul de unda reprezintă *razele*. Acestea pun în evidență sensul și direcția după care se propaga unda. În medii omogene și izotrope direcția de propagare a undei este o linie dreaptă. Un con îngust de raze care pleacă dintr-o sursă punctiformă formează un *fascicul de raze*.



Unda electromagnetică descrisă de ecuația (2.49) se reprezintă prin suprafețele unor sfere concentrice, cu centrul în dipolul oscilant, iar razele sunt linii radiale care pleacă din dipol în toate direcțiile, fiind perpendiculare pe suprafețele de unda (fig. 2.8). La distanțe mari de dipol, o mică porțiune din suprafața sferei poate fi aproximată cu un plan (unda plană). În acest caz, razele sunt linii paralele cu direcția de propagare a undei.

În concluzie, unda emisă de un dipol electric oscilant are o formă sferică, este monocromatică, iar în zona îndepărtată, pe un domeniu limitat al frontului de unda, aceasta poate fi considerată ca fiind o undă plană.

2.3.2 Transportul de energie radiantă cu unda electromagnetică

Câmpul de radiație considerat ca un sistem fizic este capabil să acumuleze, să schimbe și să transmită energie. Astfel, în orice domeniu Ω , închis de suprafața Σ , în care se află un dipol electric oscilant, este localizată o anumită energie radiantă W care îi corespunde în fiecare punct o densitate totală de energie w , conform relației

$$W = \int_{\Omega} w dv.$$

Din relatia (2.33), prin ridicare la patrat, rezulta

$$\frac{\varepsilon}{2} E_{\theta}^2 = \frac{\mu}{2} H_{\varphi}^2, \quad (2.50)$$

ceea ce indica faptul ca, in fiecare punct al domeniului Ω , densitatea de energie electrica $w_e = \frac{\varepsilon}{2} E_{\theta}^2$ este egala cu densitatea de energie magnetica $w_m = \frac{\mu}{2} H_{\varphi}^2$.

Densitatea totala de energie w in domeniul Ω este

$$w = w_e + w_m = \frac{1}{2} (\varepsilon E_{\theta}^2 + \mu H_{\varphi}^2) = \varepsilon E_{\theta}^2 = \mu H_{\varphi}^2. \quad (2.51)$$

Daca domeniul Ω este lipsit de corpuri care sa acumuleze energie, din principiul conservarii energiei electromagnetice (2.36), rezulta $-\frac{dW}{dt} = \Phi_{\Sigma}$, adica viteza de scadere a energiei radiante

in domeniul Ω este egala cu puterea radianta transmisa in campul exterior prin suprafata Σ .

Marimea Φ_{Σ} reprezinta *fluxul de energie radianta* care paraseste suprafata Σ si este egala cu

$$\Phi_{\Sigma} = \iint_{\Sigma} \vec{S} \cdot d\vec{A} = \iint_{\Sigma} (\vec{E} \times \vec{H}) \cdot d\vec{A}, \quad (2.52)$$

unde $\vec{S} = \vec{E} \times \vec{H}$ este vectorul densitatii fluxului de energie radianta sau vectorul Poynting.

Din relatia (2.52) rezulta ca energia W nu ramane localizata in domeniul Ω , ci paraseste acest domeniu prin suprafata inchisa Σ . Purtatoarea de energie radianta dintr-o regiune a spatului in alta este unda electromagnetica, iar transportul de energie realizat de aceasta este descris de vectorul \vec{S} . Intrucat pentru un dipol oscilant vectorii \vec{E}_{θ} si \vec{H}_{φ} sunt perpendiculari unul pe altul, in orice punct al campului de radiatie, se obtine

$$\vec{S} = \vec{E}_{\theta} \times \vec{H}_{\varphi} = E_{\theta} H_{\varphi} \vec{u}_R,$$

cu \vec{u}_R - vector unitar indicând directia si sensul de propagare a undei. Din relatia (2.51) se obtin

urmatoarele expresii pentru E_{θ} si H_{φ} : $E_{\theta} = \sqrt{\frac{w}{\varepsilon}}$; $H_{\varphi} = \sqrt{\frac{w}{\mu}}$, care permit scrierea vectorul

\vec{S} se scrie sub forma

$$\vec{S} = \frac{w}{\sqrt{\varepsilon\mu}} \vec{u}_R = w\vec{c}, \quad (2.53)$$

ceea ce indica faptul ca densitatea de energie w a campului de radiatie "inainteaza" in spatiu cu viteza c in sensul de propagare a undei (sensul vectorului \vec{c}).

De asemenea, din (2.53) rezulta ca propagarea energiei radiante se face dupa linii perpendiculare pe suprafetele de unda, numite *raze* (modelul geometric al luminii). Razele admit

vectorul \vec{S} ca tangenta in fiecare din punctele sale. Pentru un dipol oscilant razele sunt linii drepte care pornesc din dipol si sunt orientate radial, spre infinit. In acest caz, energia radianta emisa de dipol se distribuie uniform pe fiecare raza. Rezulta ca la suprafata receptoare A_R va ajunge numai o fractiune din energia care se propaga in spatiu. Aceasta energie se propaga sub forma unui fascicul de raze divergente, continute in interiorul unui con cu varful in dipolul P si avand ca baza suprafata A_R (fig. 2.9).

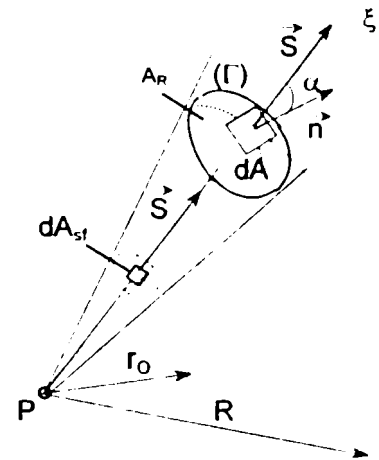


Fig. 2.9

Fluxul de energie radianta care strabate suprafata inchisa a conului, format din razele care pleaca din P si se sprijina pe conturul Γ , este

$$\Phi = \iint_{A_{lat\ con}} \vec{S} \cdot d\vec{A} + \iint_{A_R} \vec{S} \cdot d\vec{A} = \iint_{A_R} E_\theta H_\varphi \cos \alpha dA, \tag{2.54}$$

unde α este unghiul format de normala \vec{n} la elementul de suprafata dA cu directia de propagare a fascicului radiant care trece prin dA . Fluxul radiant prin suprafata laterala a conului este nul, intrucat vectorul \vec{S} este perpendicular pe $d\vec{A}$. Asadar, din (2.54) rezulta ca energia emisa de dipol se scurge in exteriorul suprafetei conului numai prin suprafata A_R , dispusa pe directia de propagare a undei.

Cantitatea de energie radianta care strabate suprafata A_R a receptorului de radiatie, in intervalul de timp dt , este $dW = \Phi(t) \cdot dt$, unde $\Phi(t) = \iint_{A_R} \vec{S} \cdot d\vec{A}$ este fluxul vectorului \vec{S} prin suprafata receptoare A_R .

Pentru o unda sferica descrisa cu ecuatiile (2.49) acest flux este

$$\Phi = E_o H_o \sin^2(\omega t - kR) \iint_{A_R} \frac{dA \cos \alpha}{R^2} = E_o H_o \sin^2(\omega t - kR) \Omega, \tag{2.55}$$

$$\Omega = \iint_{A_R} \frac{dA \cdot \cos \alpha}{R^2},$$

reprezinta unghiul solid sub care se vede conturul suprafetei A_R din punctul P. Din relatia (2.55) se observa ca in orice punct al campului de radiatie, fluxul radiant pulseaza cu o frecventa dubla (fig. 2.10) fata de

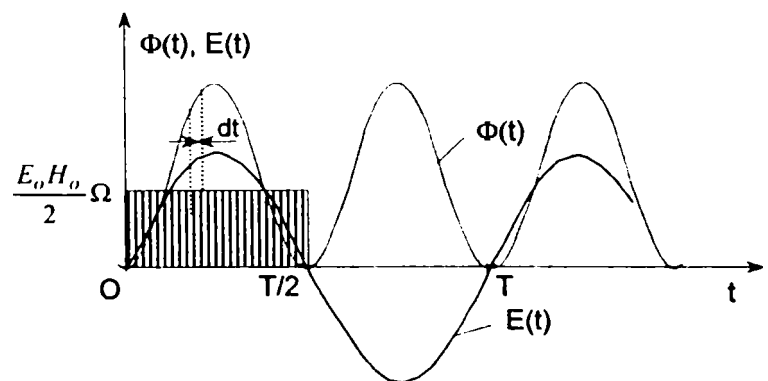


Fig. 2.10

componenta campului $E(R,t)$ sau $H(R,t)$, avand intotdeauna valori pozitive.

Energia radianta inregistrata de receptorul de radiatie pe o perioada de pulsatie a fluxului $\Phi(t)$ este

$$W\left(\frac{T}{2}\right) = \int_0^T E_o H_o \Omega \sin^2(\omega t - kR) dt = \frac{E_o H_o}{2} \frac{T}{2} \Omega \quad (2.56)$$

si reprezinta o marime constanta, egala cu aria suprafetei unui dreptunghi de inaltime $\Phi_e = \frac{E_o H_o}{2} \Omega$ si baza $T/2$. Receptorul va furniza la iesirea sa o marime proportionala cu energia primita numai dupa un timp $t > \tau$, cu $\tau = (10^2 \dots 10^4)(2\pi/\omega)$ – constanta de timp a receptorului de radiatie. Rezulta

$$\Phi_e = \frac{W(\tau)}{\tau} = \frac{1}{\tau} \int_0^\tau \Phi(t) dt. \quad (2.57)$$

Prin urmare, orice receptor de radiatie realizeaza o mediere in timp a fluxului radiant incident $\Phi(t)$ la suprafata sa. Aceasta marime masurata de receptor poarta numele de *flux energetic radiant* si reprezinta un dreptunghi cu baza egala cu $\tau = nT/2$ si cu inaltimea $\Phi_e = \frac{E_o H_o}{2} \Omega$,

unde $\Omega = \iint_{\sigma} \frac{dA \cos \alpha}{R^2}$ este unghiul solid sub care se vede suprafata A_R din punctul in care este

dispus dipolul radiant. Suprafata unui dreptunghi cu inaltimea Φ_e si cu baza $T/2$ este egala cu suprafata delimitata de curba $\Phi(t)$ si axa absciselor pentru $t \in [0, T/2]$.

Din (2.55) rezulta ca energia radianta transmisa in spatiu in unitatea de timp, nu este constanta, ci pulseaza cu frecventa de oscilatie a momentului de dipol \vec{p} . Acest lucru este firesc, deoarece in fiecare punct din spatiu in care exista un camp electromagnetic, exista o densitate de energie electrica si una magnetica care oscileaza intre o valoare maxima si una minima, egala cu zero, astfel incat in timp suma lor ramane constanta (2.51). Intrucat aceasta oscilatie se produce cu o frecventa foarte mare, orice receptor de radiatie va inregistra o valoare medie a energiei transmise prin suprafata A_R a receptorului, definita de media vectorului \vec{S} pe o perioada de oscilatie

$$\bar{I}_e = \langle \vec{S}(t) \rangle = \frac{1}{T} \int_t^{t+T} \vec{S}(t) dt$$

Media in timp a vectorului \vec{S} poarta numele de *vectorul intensitate energetica a undei*. Pentru unda sferica emisa de dipolul electric oscilant, vectorul intensitate energetica a undei este

$$\vec{I}_e = \langle \vec{S}(t) \rangle = \frac{E_o H_o}{2R^2} \vec{u}_R \quad (2.58)$$

și indică energia radiantă transmisă de unda sferică în unitatea de timp, prin unitatea de suprafață dispusă la distanța R de dipol, în direcția \vec{u}_R . Din relația obținută (2.58) rezultă că intensitatea energetică a undei este independentă de pulsația ω și depinde numai de amplitudinea componentelor câmpului de radiație.

Pe baza relațiilor

$$E_o H_o = \sqrt{\frac{\mu}{\epsilon}} H_o^2 = \sqrt{\frac{\epsilon}{\mu}} E_o^2,$$

vectorul \vec{I}_e se mai poate scrie și sub forma

$$\vec{I}_e = \frac{1}{2} \sqrt{\frac{\epsilon}{\mu}} E_o^2 \vec{u}_R = \frac{1}{2} \sqrt{\frac{\mu}{\epsilon}} H_o^2 \vec{u}_R.$$

Intrucât $\vec{u}_R = \vec{k}/k$, unde $k = 2\pi/\lambda$, rezultă

$$\vec{I}_e = \frac{1}{2} \sqrt{\frac{\epsilon}{\mu}} E_o^2 \frac{\vec{k}}{k} = \frac{1}{2} \frac{E_o^2}{c\mu} \vec{u}_R. \quad (2.59)$$

Modulul vectorului \vec{I}_e reprezintă *intensitatea energetică a undei*

$$I_e = |\vec{I}_e| = \frac{1}{2} \frac{E_o^2}{c\mu}, \quad (2.60)$$

deci intensitatea energetică a undei este proporțională cu patratul amplitudinii componente electrice a câmpului electromagnetic. Explicarea intensității energetice a undei prin intermediul intensității câmpului electric \vec{E} are în vedere faptul că toate fenomenele optice sunt determinate numai de componenta electrică a câmpului electromagnetic.

Marimea obținută prin medierea fluxului Φ (2.55) pe o perioadă T poartă numele de flux energetic Φ_e

$$\Phi_e = \frac{E_o H_o}{2} \Omega = I_e \Omega. \quad (2.61)$$

Fluxul energetic emis în unitatea de unghi solid reprezintă *intensitatea energetică a undei sferice*, sau

$$I_e = \frac{\Phi_e}{\Omega}.$$

Din (2.61) se observă că în cazul undei sferice, fluxul energetic care se propaga în unghiul solid Ω rămâne constant în orice secțiune.

2.4 Radiația electromagnetică emisă de o structura microscopică

2.4.1 Radiația emisă de o microsursă. Considerații generale

Din expresia (2.20) rezulta ca microsursa este din punct de vedere electric echivalenta cu o suma de dipoli electrici oscilanti. Fiecare dipol produce in spatiu un camp de radiatie armonic, de componente $E_{n\theta}$ si $H_{n\varphi}$, cu $n = 1, 2, 3, \dots$, care satisfac ecuatiile (2.32). In acest caz, campul de radiatie care inconjoara microsursa va reprezenta in fiecare punct din spatiu o suprapunere de campuri armonice.

Aplicand principiul suprapunerii efectelor, in toate punctele spatiului in care exista camp de radiatie, componentele rezultante ale acestuia sunt

$$\begin{aligned}\vec{E}_\theta &= \vec{E}_{1\theta} + \vec{E}_{2\theta} + \vec{E}_{3\theta} + \dots = \sum_{n=1}^{\infty} \vec{E}_{n\theta}, \\ \vec{H}_\varphi &= \vec{H}_{1\varphi} + \vec{H}_{2\varphi} + \vec{H}_{3\varphi} + \dots = \sum_{n=1}^{\infty} \vec{H}_{n\varphi}\end{aligned}\quad (2.62)$$

Vectorii $\vec{E}_{n\theta}$, respective $\vec{H}_{n\varphi}$ formeaza componentele spectrale ale campului de radiatie rezultat. Proprietatile si caracteristicile energetice ale campului de radiatie, precum si propagarea acestuia sub forma de unda electromagnetica au fost studiate anterior pentru componenta fundamentala a campului (componenta de pulsatie ω). Toate relatiile stabilite sunt valabile pentru oricare componenta spectrala a campului de radiatie. Intrucat ecuatiile (2.33) sunt ecuatii diferentiale liniare care admit ca solutii particulare marimile $\vec{E}_{n\theta}$ si $\vec{H}_{n\varphi}$, rezulta ca si sumele (2.62) vor reprezenta solutii ale ecuatiilor (2.33). In acest caz, unda care se propaga de la microsursa in spatial inconjurator, reprezentand o suprapunere de unde monocromatice sferice cu acelasi centru, este o unda sferica policromatica, caracterizata de vectorii \vec{E}_θ si \vec{H}_φ definiti cu relatiile (2.62), cu o orientare fixa in spatiu.

Campul de radiatie emis de microsursa are urmatoarele proprietati generale:

- Vectorii \vec{E}_θ si \vec{H}_φ sunt perpendiculari unul pe altul si ambii perpendiculari pe directia de propagare \vec{u}_R , deci vectorii $(\vec{E}_\theta, \vec{H}_\varphi, \vec{u}_R)$ formeaza un triedru drept;
- Vectorii \vec{E}_θ si \vec{H}_φ oscileaza in faza in toate punctele campului de radiatie si prezinta aceleasi valori de maxim si minim in aceleasi momente de timp;
- In fiecare punct al campului de radiatie sunt satisfacute urmatoarele relatii

$$\sqrt{\epsilon} E_\theta = \sqrt{\mu} H_\varphi \quad \text{si} \quad E_\theta H_\varphi = \sqrt{\frac{\epsilon}{\mu}} E_\theta^2. \quad (2.63)$$

- Transportul de energie radianta de la microsursa in spatiu se realizeaza cu unda electromagnetica si este descris de vectorul \vec{S}

$$\vec{S} = \vec{E}_\theta \times \vec{H}_\varphi = E_\theta H_\varphi \vec{u}_R. \quad (2.64)$$

Acest transport se realizeaza cu viteza $c = \frac{1}{\sqrt{\epsilon\mu}}$, in directia \vec{u}_R de propagare a frontului de unda, adica dupa directia razei.

Energia radianta W emisa de sursa in unitatea de timp si care trece printr-o suprafata receptoare A_R , conform principiului de conservare a energiei este egala cu

$$\Phi = \frac{dW}{dt} = \sum_n \frac{dW_{\lambda n}}{dt} = \sum_n \Phi_{\lambda n}, \quad (2.65)$$

unde $\Phi_{\lambda n}$ este fluxul produs de dipolul de ordin n prin suprafata A_R .

Rezulta ca fluxul produs de microsursa prin suprafata A_R este egal cu suma algebrica a fluxurilor armonice spectrale produse de fiecare diopl oscilant, prin aceeasi suprafata A_R .

Pe baza expresiei (2.65) se determina fluxul energetic radiant Φ_e produs de microsursa. Cu relatia (2.64) se calculeaza media $\langle \vec{S} \rangle$ pentru ansamblul de dipoli electrici oscilanti care compun microsursa. Se obtine

$$\langle \vec{S} \rangle = \langle \vec{E}_\theta \times \vec{H}_\varphi \rangle = \sum_{n,m} \langle \vec{E}_{n\theta} \times \vec{H}_{m\varphi} \rangle = \sum_n \langle \vec{E}_{n\theta} \times \vec{H}_{n\varphi} \rangle + \sum_{n \neq m} \langle \vec{E}_{n\theta} \times \vec{H}_{m\varphi} \rangle.$$

Suma de produse vectoriale s-a scris sub forma a doi termeni suma. Primul termen cuprinde produsele vectoriale formate cu componentele campului $\vec{E}_{n\theta}$ si $\vec{H}_{n\varphi}$ produse de dipolul de ordinul n , cu $n = 1, 2, 3, \dots$. Al doilea termen cuprinde produsele vectoriale formate cu componenta electrica $\vec{E}_{n\theta}$ a campului produs de dipolul de ordin n si componenta magnetica $\vec{H}_{m\varphi}$, produsa de dipolul de ordin m , cu $m = 1, 2, 3, \dots$ si $n \neq m$. Intrucat dipolul de ordinul n al microsursei emite o unda monocromatica de ecuatie

$$\vec{E}_{n\theta} = \frac{\vec{E}_{on}}{R} \sin(n\omega t - k_n R + \gamma_n),$$

rezultă

$$\langle \vec{E}_{n\theta} \times \vec{H}_{m\varphi} \rangle = \frac{\vec{E}_{on} \vec{H}_{om}}{\tau R^2} \int_0^\tau \sin(n\omega t - k_n R + \gamma_n) \cdot \sin(m\omega t - k_m R + \gamma_m) dt = \begin{cases} \frac{E_{on} H_{om}}{2R^2} \vec{u}_R, \text{ pt. } n = m, \\ 0, \text{ pt. } n \neq m. \end{cases} \quad (2.66)$$

Daca se presupune ca directia de propagare a undei \vec{u}_R formeaza unghiul α cu normala la suprafata A_R , din (2.65) si (2.66) se obtine

$$\Phi_e = \frac{E_o H_o}{2} \iint_{A_k} \frac{dA \cdot \cos \alpha}{R^2} = \sum_n \frac{E_{on} H_{on}}{2} \iint_{A_k} \frac{dA \cdot \cos \alpha}{R^2}, \quad (2.67)$$

unde E_o , respective H_o sunt amplitudinile componentelor campului de radiație rezultant, în $R=1$. Marimea $I_e = E_o H_o / 2$ este intensitatea energetică a unei sferice.

Din relația (2.67) se obține $\Phi_e = I_e \Omega = (\sum_n I_{\lambda n}) \Omega$, unde Ω este unghiul solid sub care se vede suprafața A_R din centrul microsursei, sau

$$I_e = \sum_n I_{\lambda n}, \quad (2.68)$$

ceea ce arată că intensitatea energetică a fasciculului radiant plecat din microsursa și care străbate suprafața A_R este egală cu suma intensităților energetice spectrale ale fasciculelor emise de fiecare dipol oscilant care străbat aceeași suprafața A_R .

Trebuie subliniat că relația (2.68) s-a obținut pe baza ipotezei că între fazele componentelor campului de radiație produse de dipolii de ordinul n , respective m , nu există nici o legătură, acestea evoluând independent între ele și întâmplător în timp. Formulând o asemenea ipoteză s-a presupus în mod tacit că undele emise de dipoli sunt necoerente și nu produc fenomene de interferență în propagare.

În acest caz relația (2.68) se poate scrie și sub forma

$$I_e = \frac{1}{2} \sqrt{\frac{\epsilon}{\mu}} E_o^2 = \frac{1}{2} \sqrt{\frac{\epsilon}{\mu}} (\sum_n E_{on}^2),$$

Pentru a caracteriza punctual emisia de radiație a unei suprafețe ΔA_S este util să se introducă o nouă mărime care să descrie modul în care distribuția de microsurse din unitatea de suprafață radiază în unitatea de timp, pe o direcție dată.

În acest scop se folosește mărimea numită *stralucire energetică*, definită cu raportul

$$B = \frac{\Delta I_e}{\Delta A_S}, \quad (2.69)$$

care reprezintă densitatea de intensitate energetică radiantă a suprafeței ΔA_S sau intensitatea energetică unitară a acesteia. Stralucirea energetică depinde de proprietățile suprafeței emitatoare și de direcția după care se studiază emisia. De obicei, această direcție se raportează la normala la suprafața analizată. Rezultă că stralucirea energetică este o funcție de punct și de direcția de observație. Pentru a determina emisia de radiație a unei suprafețe finite A , aceasta se împarte într-o multitudine de suprafețe elementare $\Delta A_{1S}, \Delta A_{2S}, \dots, \Delta A_{iS}, \dots$

Intensitatea energetică a radiației emise de suprafața ΔA_{iS} , într-o direcție normală pe această suprafață, este $\Delta I_e(M) = B(M) \Delta A_{iS}$, unde M este un punct al suprafeței ΔA_{iS} .

Insumand intensitatile energetice ale tuturor suprafetelor elementare in directie normala, rezulta

$$I_e = \iint_{A_s} B(M) dA,$$

2.4.2 Fluxul și intensitatea energetică a radiației emise de o structură macroscopica

Se considera un sistem de N microsurse distribuite uniform pe o mica suprafata ΔA_S si o suprafata receptoare A_R dispusa la distanta R fata de punctul C (fig.2.11).

Fluxul energetic Φ_i produs de microsursa S_i , cu $i = 1, 2, 3, \dots, N$, prin suprafata A_R este

$$\Phi_i = I_{ei} \Omega_i = I_{ei} \iint_{A_R} \frac{dA \cdot \cos \alpha_i}{R_i^2},$$

unde I_{ei} este intensitatea energetica a radiatiei microsursei S_i , $R_i = S_iO$ - distanta microsursa - receptor si α - unghiul format de normala la suprafata A_R cu directia OS_i . Fluxului energetic produs de cele N microsurse dispuse pe suprafata ΔA_S prin suprafata receptoare A_R este

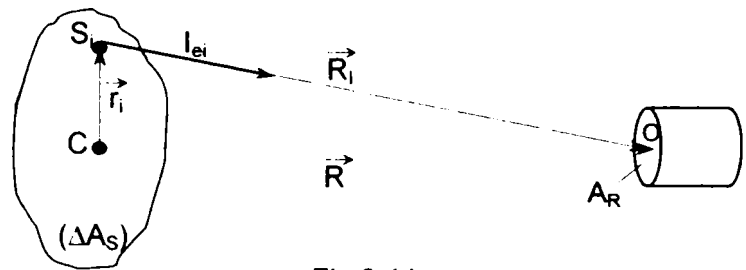


Fig.2.11

$$\Phi_e = \sum_{i=1}^N I_{ei} \iint_{A_R} \frac{dA \cdot \cos \alpha_i}{R_i^2}. \tag{2.71}$$

Din fig.2.11 rezulta $\vec{R}_i = \vec{R} - \vec{r}_i$, sau

$$\frac{1}{R_i^2} = \frac{1}{R^2 + r_i^2 - 2\vec{R} \cdot \vec{r}_i} = \frac{1}{R^2 \left[1 + \left(\frac{r_i}{R} \right)^2 - 2 \frac{\vec{R} \cdot \vec{r}_i}{R^2} \right]} \cong \frac{1}{R^2}, \tag{2.72}$$

relatie adevarata pentru $R \gg r_i$ si unghiul $\angle (\vec{R}, \vec{r}_i) \approx 90^\circ$, adica suprafata receptoare A_R se afla la o distanta suficient de mare fata de punctul C, considerat ca centrul suprafetei ΔA_S . Dupa inlocuirea relatiei (2.72) in (2.73), se obtine

$$\Phi_e = \Omega \sum_{i=1}^N I_{ei} = \Omega I_e, \tag{2.73}$$

unde $\Omega = \iint_{A_R} \frac{dA \cos \alpha}{R^2}$ este unghiul solid sub care se vede suprafata receptoare A_R din punctul C.

Din relatia (2.73) rezulta ca fluxul energetic Φ_e produs de o suprafata macroscopica de dimensiuni reduse este identic cu fluxul energetic pe care l-ar produce o sursa punctiforma dispusa in C si in care ar fi concentrate toate microsursurile suprafetei ΔA_S . In acest caz, rezulta ca unda electromagnetica care se propaga de la suprafata ΔA_S poate fi considerata ca o unda sferica, cu centrul in punctul C, insa caracteristicile acesteia vor depinde de directia dupa care se face observatia.

Ca reprezentare geometrica, radiatia produsa de suprafata ΔA_S se propaga in spatiu, in interiorul unui con, sub forma unui fascicul de raze cu varful in punctul C, cu unghiul solid la varf, Ω . Axa fascicului formeaza unghiul θ cu normala \vec{n} la suprafata ΔA_S (fig. 2.12). Rezulta ca energia radianta emisa de suprafata ΔA_S se propaga in spatiu sub forma de fascicule de raze.

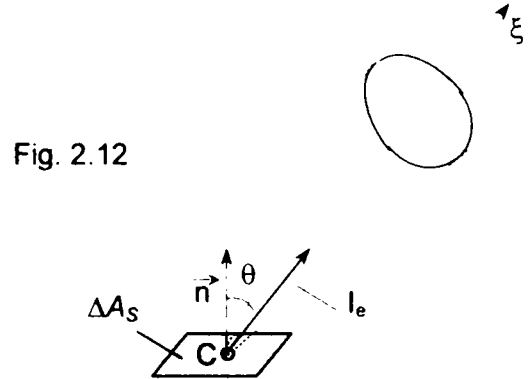


Fig. 2.12

Relatiile au fost obtinute pe baza modelului geometric al luminii, conform caruia radiatia reprezinta un flux de energie care se propaga dupa raza optica si se supune legilor de conservare a energiei. Aceasta insemna ca energia radianta se propaga in spatiu in toate directiile sub forma de raze divergente. Daca se considera un fascicul de raze continute intr-un con, se constata ca energia radianta care paraseste in unitatea de timp, unitatea de suprafata dispusa normal pe directia de propagare este constanta.

Se va studia energia radianta emisa de o suprafata elementara dA (fig.2.13). Aceasta poate fi o suprafata reala sau fictiva. Daca este o suprafata reala ea coincide cu suprafata sursei radiante, care emite o radiatie proprie, sau reflecta (transmite) radiatia primita de la o alta sursa. Fie $P(x,y,z)$ un punct oarecare al suprafetei radiante dA , raportata la un sistem de axe carteziene x,y,z . Cantitatea de energie (mediata in timp), care strabate in unitatea de timp, elementul de suprafata dA , in unghiul solid $d\Omega$ avand ca axa directa este unghiurile (α,β) este

$$d\Phi = B \cdot \cos\theta \cdot dA d\Omega, \quad (2.74)$$

unde θ este unghiul format de directia (α,β) cu normala \vec{n} a elementului de suprafata dA , B - un coeficient care depinde, in cazul general, de coordonatele punctului (x,y) si de directia (α,β) .

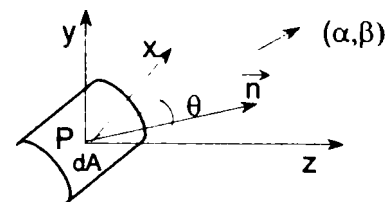


Fig. 2.13

In expresia (2.74) apare factorul $\cos\theta$ care pune in evidenta suprafata care radiaza in directia (α,β) , numita suprafata aparenta $dA \cdot \cos\theta$.

Marimea B reprezintă strălucirea energetică a suprafeței dA sau densitatea de intensitate energetică radiantă a suprafeței dA în punctul (x,y) și după direcția (α,β) . În (2.4.1) s-a arătat că emisia de radiație a unității de suprafață, pe o anumită direcție este caracterizată de vectorul strălucire radiantă \vec{B} . În acest caz, cantitatea de energie radiantă care paraseste în unitatea de timp, unitatea de suprafață este numeric egală cu fluxul vectorului \vec{B} prin suprafața ΔS .

Se observă că fluxul vectorului \vec{B} după direcția normală la suprafața ΔS (fig. 2.14) este $\Phi = \vec{B} \cdot \vec{\Delta S} = B_n \Delta S = I_n$ și reprezintă intensitatea radiației după direcția \vec{n} la suprafața ΔS . Fluxul vectorului

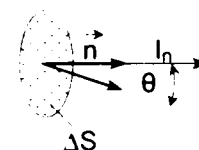


Fig. 2.14

\vec{B} după direcția θ (unghiul format de direcția de observație cu normala \vec{n} la suprafața ΔS) reprezintă intensitatea energetică

$$I_\theta = \vec{B} \cdot \vec{\Delta S} = B_n \Delta S \cos \theta.$$

Dacă $B_n = B_\theta = B_o$, adică este aceeași după orice direcție, rezultă că

$$I_\theta = B_n \Delta S \cos \theta = I_n \cos \theta.$$

Relația $I_\theta = I_n \cos \theta$ reprezintă legea lui Lambert dedusă pe baza teoriei fluxurilor energetice radiante. Relația obținută indică faptul că radiația este aceeași, indiferent din care direcție se privește sursa radiantă. Sursa care satisface relația $I_\theta = I_n \cos \theta$ este numită sursă lambertiană. Numai radiația emisă de un corpul negru satisface relația lui Lambert. Corpurile cenușii satisfac cu o anumită aproximație relația lui Lambert.

2.5 Concluzii și contribuții originale

În acest capitol sunt tratate într-o manieră originală unele particularități ale procesului de emisie a radiației termice de către o structură materială, particularități studiate cu ajutorul teoriei clasice a fenomenelor electromagnetice, pe baza modelului dipolului electric oscilant. Se menționează că, un studiu complet și riguros al procesului de emisie a radiației termice se face numai cu ajutorul modelelor cuantice și semicuantice.

În tratare clasică radiația termică emisă de o structură materială este considerată de natură electromagnetică și este generată de vibrațiile termice ale microsurselor emițătoare care constituie suprafața structurii. În concepție clasică „microsursa” reprezintă o distribuție nestaționară de curenți și sarcini electrice care produc în spațiu un câmp de radiație. Într-o primă aproximație, acest câmp poate fi considerat ca fiind produs de un dipol electric, cu un moment de dipol variabil în timp. Admițând că variația în timp a momentului de dipol este periodică, el

poate fi reprezentat sub forma unei sume de dipoli armonici elementari care oscilează pe frecvențele $\omega_0, 2\omega_0, 3\omega_0, \dots$. În acest caz, din punct de vedere electric microsursa este echivalentă cu o sumă infinită de dipoli electrici armonici elementari, fiecare dipol producând un câmp de radiație propriu (modelul dipolului electric oscilant).

În termenii teoriei clasice, un câmp de radiație este cunoscut dacă pot fi determinate componentele \vec{E} și \vec{H} ca funcții de punct și de timp. În acest scop sunt folosite ecuațiile lui Maxwell. Rezolvarea sistemului de ecuații Maxwell implică cunoașterea surselor care produc câmpul. Studiul se continuă considerând ca sursă dipolul armonic elementar care oscilează pe frecvența ω_0 . Se determină ecuațiile vectorilor \vec{E} și \vec{H} ca funcții de punct și timp și pe baza lor sunt puse în evidență proprietățile câmpului de radiație produs de dipolul armonic, sunt studiate energia radiantă emisă de dipol, propagarea energiei radiante în spațiu și semnificația fizică a fluxului vectorului \vec{S} (vectorul Poynting) printr-o suprafață închisă.

Cu ajutorul ecuațiilor lui Maxwell este studiată generarea reciprocă a componentelor \vec{E} și \vec{H} ale câmpului de radiație primar (perturbația electromagnetică) și propagarea acestora în spațiu sub formă de undă electromagnetică. Se rezolvă în mod original ecuația undelor electromagnetice și pe baza relațiilor obținute sunt evidențiate proprietățile undei asociate câmpului de radiație produs de un dipol armonic oscilant, respectiv transportul de energie radiantă prin intermediul undei. Este studiată unda electromagnetică plană, sunt evidențiate caracteristicile energetice și reprezentarea spațială a undei.

Pentru a studia radiația emisă de o microsursă, se are în vedere că aceasta este echivalentă cu o sumă infinită de dipoli armonici oscilanți iar câmpul de radiație produs reprezintă o suprapunere de câmpuri armonice elementare. Se însumează geometric componentele electrică și magnetică ale câmpurilor armonice de radiație produse de fiecare dipol și se obțin componentele \vec{E}_θ și \vec{H}_ϕ ale câmpului rezultat. Pe baza expresiilor \vec{E}_θ și \vec{H}_ϕ se obțin principale proprietățile ale câmpului de radiație policromatic produs de microsursă și se determină fluxul energetic, respectiv intensitatea energetică a fasciculelor de raze plecate din microsursă spre o suprafață receptoare. Se remarcă faptul că aceste mărimi reprezintă sume de fluxuri, respectiv de intensități energetice monocromatice ale fasciculelor de raze emise de fiecare dipol armonic oscilant. Aceste relații se obțin pe baza ipotezei că între fazele componentelor monocromatice ale câmpurilor de radiație produse de dipoli oscilanți nu există nici o legătură, acestea evoluând independent între ele și aleator în timp.

Trebuie menționat că microsursa este echivalentă și cu un dipol magnetic, cu un moment de dipol variabil în timp, care radiază în spațiu. Întrucât radiația de dipol magnetic este de cca 10^{-6} ori mai mică față de radiația de dipol electric, acest tip de radiație s-a neglijat.

Câmpul de radiație produs de o structură macroscopică de suprafață foarte finită ΔA_S și caracteristicile undei electromagnetice asociate acestui câmp, s-au determinat considerând un sistem de N microsurse distribuite uniform pe suprafața ΔA_S și o suprafață receptoare A_R dispusă la distanța R față de un punct $C \in \Delta A_S$. De asemenea, s-au calculat fluxul energetic și intensitatea energetică a radiației prin suprafața receptoare A_R și se ajunge la următorul rezultat: fluxul energetic produs de o suprafață finită este echivalent cu fluxul energetic pe care l-ar produce o sursă punctiformă dispusă în centrul suprafeței finite și în care ar fi concentrate toate microsursele suprafeței considerate.

Cu ajutorul teoriei clasice a electromagnetismului s-au stabilit relații importante între caracteristicile sursei de suprafață ΔA_S și structura câmpului de radiație. În această tratare clasică s-a păstrat aspectul ondulatoriu al radiației și, mai mult, sunt explicate atât calitativ cât și cantitativ cele mai importante proprietăți ale câmpului de radiație și ale undei electromagnetice asociate. Mai mult, considerând sursele termice de suprafață mică ca reprezentând un ansamblu de microsurse, s-a descris la scară macroscopică proprietățile radiației termice și s-au determinat cele mai importante caracteristici ale acesteia.

Contribuții: Pentru tratarea clasică a problemei radiației s-a plecat de la observația că momentul de dipol $\vec{p} = q\vec{r}$, produce un câmp electromagnetic. Se observă că a genera un câmp electromagnetic înseamnă $d\vec{p}/dt \neq 0$, lucru care se realizează pentru $dq/dt \neq 0$, specific sistemelor radiotehnice și $d\vec{r}/dt \neq 0$, specific sistemelor atomice.

Se definește microsursa și se demonstrează cu ajutorul ecuațiilor lui Maxwell că aceasta este echivalentă, într-o primă aproximație, cu un dipol electric oscilant. Se consideră că momentul de dipol al microsurselor prezintă o variație periodică în timp, deci poate fi reprezentat sub forma unei sume de dipoli electrici armonici oscilanți pe frecvențele $\omega_0, 2\omega_0, 3\omega_0, \dots$

Sunt stabilite principalele proprietăți ale radiației monocromatice emise de un dipol oscilant și sunt definite mărimile: flux radiant și intensitate radiantă caracteristice acestei radiații.

Este remarcată o proprietate a câmpului radiant produs de un dipol armonic, și anume, media în timp a fluxului radiant prin suprafața oricărei sfere care cuprinde și dipolul este o mărime constantă, indiferent de raza sferei. Pe această proprietate a câmpurilor armonice, în medii omogene și izotrope este posibilă captarea de către receptorul de radiație de la distanțe foarte mari a unei fracțiuni din energia radiantă emisă de o sursă termică.

Se rezolvă într-o manieră originală ecuația undelor, se evidențiază transportul de energie radiantă prin intermediul undelor electromagnetice și se definesc mărimile radiante flux energetic și intensitate energetică. De asemenea, se remarcă faptul că fluxul și intensitatea energetică, mărimi specifice undei armonice sferice, nu depind de pulsația ω , ci numai de amplitudinea componentelor câmpului de radiație.

Studiul este extins asupra radiației produse de o microsursă. Se evidențiază câmpul de radiație care înconjoară microsursoarea ca o suprapunere de câmpuri armonice elementare. Pe baza acestei observații este stabilit caracterul policromat al câmpului de radiație, sunt examinate principalele proprietăți ale câmpului de radiație și ale undei sferice asociate acestui câmp.

Se mai evidențiază faptul că, în puncte îndepărtate de microsursă, componentele câmpului de radiație \vec{E}_θ și \vec{H}_φ sunt independente de perturbația electromagnetică primară, se generează reciproc și se propagă în spațiu sub formă de undă electromagnetică. În acest caz, vibrația termică a microsursoarelor emițătoare generează o perturbație electromagnetică care „se rupe” de microsursă și se propagă în spațiu prin mecanismul descris.

Transformarea energiei termice în energie radiantă este rezultatul vibrației termice a surselor emițătoare care formează suprafața sursei. Într-o sursă macroscopică există un număr enorm de microsurse, de ordinul 10^{15}cm^{-2} , fiecare emițând o undă electromagnetică monocromatică, considerată elementară. Analizată macroscopic, radiația emisă de sursa termică este de natură electromagnetică și se propagă în mediu sub formă de undă electromagnetică, rezultată din suprapunerea undelor electromagnetice elementare.

Bibliografie: [C2],[C4],[C6],[C12],[D2],[D7],[D8],[G3],[G6],[H1],[H2],[H5],[I3],[I4],[J1],[K1],[K4],[N10],[L4],[P1],[P7],[S2],[S3],[S4],[S7],[S9],[S10],[T3],[T5],[T6],[V2].

CAP.3

RADIAȚIA TERMICĂ EMISĂ DE SURSE MACROSCOPICE

3.1 Radiatia termica a surselor macroscopice

3.1.1 Consideratii generale

Dupa cum s-a aratat in cap.2, procesul de radiatie termica a corpului este insotit de o pierdere de energie interna. Aceasta energie, numita *energie radianta*, nu ramane localizata in vecinatatea corpului, ci se propaga cu viteza luminii (in vid) in toate directiile, sub forma de unda electromagnetica, producand fenomene de reflexie, refractie, difractie si absorbtie cand intalneste alte corpuri. Pentru a asigura o radiatie termica de durata, pierderea de energie interna a corpului este compensata prin incalzire. Aceasta particularitate a radiatiei termice permite un studiu calitativ si cantitativ al ei numai pe baza unor considerente energetice (termodinamice), facandu-se abstractie de mecanismele de emisie si absorbtie al radiatiei.

Radiatia termica prezinta doua caracteristici fundamentale, evidentiata de Kirchhoff:

- provine din rezerva termica a corpului. Acesta insemna ca radiatia termica poate avea loc fie pe seama pierderii de energie interna a corpului, fie pe seama energiei pe care corpul o primeste din exterior;
- se transforma in caldura cand este absorbita de un corp.

Aceste caracteristici sunt specifice numai radiatiei termice si nu se mai intalnesc la alte forme de radiatie.

De asemenea, radiatia termica respecta principiul lui Carnot, adica energia radianta trece de pe corpul mai cald pe corpul mai rece. Daca se considera doua corpuri cu temperaturi diferite se constata ca dupa un timp cele doua corpuri ajung la aceeasi temperatura. Echilibrul termic o data stabilit se mentine la nesfarsit. Nu se va ajunge niciodata ca unul din corpuri sa se raceasca, iar al doilea sa se incalzeasca pe seama radiatiei emise de primul. Considerand corpurile inchise

intr-o incinta vidata (sistem adiabatic), dupa un timp si spatiul din incinta va avea aceeasi temperatura ca si corpurile. Sistemul analizat a ajuns la “*echilibru termic*”, iar radiatia termica care umple spatiul incintei este o *radiatie termica de echilibru*. Aceasta inseamna ca toate corpurile din incinta emit si absorb aceiasi cantitate de energie radianta incat temperatura intregului sistem sa ramana constanta. La echilibru termic schimbul de radiatie nu inceteaza. Spatiul care inconjoara corpurile este permanent strabatut de o radiatie termica. La echilibru, aceasta este omogena, izotropa si independenta de natura si forma geometrica a corpurilor sau a incintei. Intrucat echilibrul termic s-a stabilit numai datorita emisiei si absorbtiei de radiatie, rezulta ca fiecare unitate de suprafata a unui corp emite in unitatea de timp o cantitate de energie radianta egala cu cantitatea de energie radianta pe care o absoarbe in acelasi interval de timp, prin aceeasi suprafata.

Radiatia de echilibru este caracterizata prin *densitatea de volum* a energiei radiante si *distributia spectrala* a acestei energii. Aceste caracteristici ale radiatiei termice nu depind de forma incintei sau a corpurilor, ci sunt univoc determinate numai de temperatura absoluta a acestora.

Radiatia termica de echilibru din incinta este *omogena*, adica prezinta aceeasi densitate de energie in oricare punct al incintei; este *izotropa* – radiatia se propaga echiprobabil in orice directie; este *nepolarizata* sau naturala – vectorul optic \vec{E} oscileaza echiprobabil in planul de oscilatie dupa toate directiile.

Un interes deosebit il reprezinta radiatia termica emisa de corpurile solide aflate la o anumita temperatura, la care pierderea de energie prin radiatie este compensata printr-un aport de energie din exterior. In acest caz, pentru fiecare temperatura absoluta pe care o are a corpul, radiatia emisa este un amestec de unde electromagnetice monocromatice cu frecventele cuprinse in intervalul $[0, +\infty)$. La temperaturi obisnuite $T \cong 300\text{K}$, aproape intreaga energie radianta este transportata de undele electromagnetice cu lungimea de unda $\lambda > 0,76\mu\text{m}$ (lumina rosie). Astfel de unde sunt numite *raze* sau *unde infrarosii*, iar radiatia corespunzatoare emisa de corp – *radiatie infrarosie*.

Pentru sistemele SCOD prezinta interes numai radiatia infrarosie emisa in intervalul spectral cu lungimile de unda $\lambda = (1 \dots 14)\mu\text{m}$, din urmatoarele motive:

- in acest interval spectral este cuprinsa cea mai mare parte a energiei radiante emisa de obiectele din teren;
- in acest interval spectral sunt dispuse *ferestrele optice* ale atmosferei, care permit propagarea radiatiei pe distante foarte mari, fara absorbtie.

3.1.2 Sursa punctiformă de radiație termică

Sursa punctiformă, în sens geometric, este un punct caruia i se atribuie o anumită putere radiantă P_0 . În timp, puterea P_0 se distribuie uniform pe suprafețele unor sfere concentrice (suprafețe de undă) cu centrul în sursă, care înaintează în spațiu cu o viteză finită (în vid cu viteza luminii). Reprezentarea direcției și sensului de propagare a energiei radiante emise de sursa punctiformă se face cu ajutorul razelor.

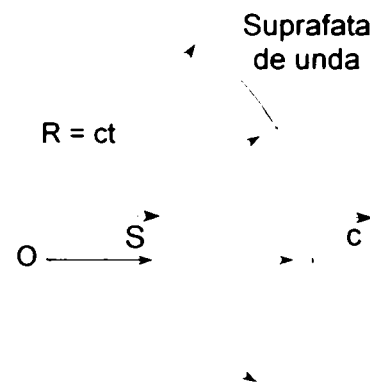


Fig. 3.1

Acestea sunt linii radiale care pornesc din sursa punctiformă și se distribuie uniform în spațiu (fig. 3.1). Razele sunt perpendiculare pe suprafețele de undă.

Sursa punctiformă reprezintă o abstractizare, întrucât în realitate o asemenea sursă nu există. Totuși, abstractizarea făcută permite reprezentarea surselor reale ca sume finite sau infinite de surse punctiforme.

Dacă se operează cu conceptul de sursă punctiformă în sens matematic, este evident că distribuția de intensitate poate fi scrisă numai cu ajutorul impulsului Dirac. Astfel, dacă în punctul \vec{r}_0 al unei suprafețe este dispusă o sursă punctiformă de intensitate energetică I_0 , atunci distribuția de intensitate a suprafeței considerate este $I(\vec{r}_0) = I_0 \delta(\vec{r} - \vec{r}_0)$. Conform legii conservării energiei electromagnetice (relația 2.34), puterea radiantă P_0 a sursei din interiorul suprafeței Σ (o suprafață de undă cu raza R), părăsește această suprafață sub forma unui flux de energie radiantă.

... o si ... o s s p O isp s i
 originea unui sistem de axe carteziene (fig. 3.2), o rază optică $O\xi$ care părăsește o suprafață închisă Σ în punctul M și mediul închis de această suprafață ca fiind dielectric, omogen și izotrop, lipsit de sarcini și curenți
 l ri i. Pu erea radiantă Φ_Σ , care str b up f t
 închisă Σ spre exterior este

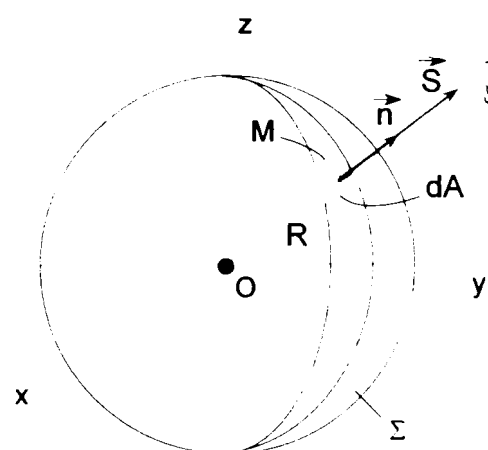


Fig.3.2

$$\Phi_\Sigma = P_0 = \iint_\Sigma \vec{S} \cdot d\vec{A} = 4\pi R^2 I, \quad (3.1)$$

unde $|\vec{S}| = I$ este intensitatea radiației sau densitatea de putere radiantă corespunzătoare fiecărei direcții de propagare; $A = 4\pi R^2$ – suprafața sferei de rază R .

Din relația (3.1) rezulta o caracteristică esențială a câmpului de radiație produs de o sursă punctiformă:

- este omogen, în fiecare punct al sferei de rază R , densitatea de putere radiantă este aceeași, egală cu $P_0/4\pi R^2$;
- este izotrop, pe fiecare direcție se transportă aceeași cantitate de energie, egală cu $P_0/4\pi$. Marimea

$$\Phi_\Sigma = \iint_\Sigma \vec{S} \cdot d\vec{A}, \text{ cu } d\vec{A} = \vec{n}dA,$$

reprezintă *puterea de radiație* a sursei punctiforme sau *fluxul de energie* transmis în unitatea de timp de sursa punctiformă prin suprafața închisă Σ . Direcția și sensul de transmisie în spațiu a puterii de radiație a sursei punctiforme sunt descrise de vectorul $\vec{S} = \vec{E} \times \vec{H}$. Modulul vectorului $|\vec{S}| = d\Phi_\Sigma/dA$ reprezintă *intensitatea de radiație* a sursei punctiforme și este egal cu cantitatea de energie radiantă care paraseste, în unitatea de timp, unitatea de suprafață dispusă perpendicular pe direcția de transmisie a energiei radiante.

3.1.3 Particularități ale fluxului radiant produs de sursa punctiformă

Pentru determinarea fluxului radiant al sursei punctiforme prin suprafața deschisă A , marginită de curba Γ , parte din suprafața închisă Σ , trebuie avut în vedere unghiul solid Ω_Γ sub care se vede această suprafață din punctul O , unde este dispusă sursa (fig.3.3). Unghiul Ω_Γ reprezintă deschiderea unui con format din raze optice plecate din O și care se sprijină pe conturul Γ . Marimea acestui unghi este egală cu raportul dintre aria suprafeței A_{sf} , a conului cu vârf în O , și patratul acestei raze. Se poate scrie

$$\Omega_\Gamma = \frac{A_{sf}}{r_o^2} = \iint_{A_\Gamma} \frac{dA \cdot \cos \alpha}{R^2} = \iint_{A_\Gamma} \frac{\vec{R} \cdot d\vec{A}}{R^3}. \quad (3.6)$$

Marimea Ω_Γ caracterizează efectiv deschiderea conului, deoarece nu depinde de raza sferei r_o și nici de mărimea sau forma suprafeței A_Γ , ci numai de forma conturului Γ . Fluxul vectorului \vec{S} prin suprafața închisă a unui con elementar, de baza dA – baza conului, este

$$d\Phi = \vec{S} \cdot d\vec{A} = S dA \cos \alpha. \quad (3.7)$$

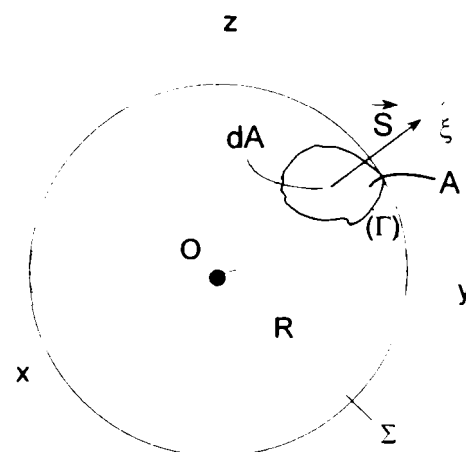


Fig. 3.3

Fluxul prin suprafața laterală a conului este nul deoarece $\vec{S} \perp \vec{n}$ și $\vec{S} \cdot d\vec{A} = 0$, deci propagarea energiei radiante emise de sursa O, în interiorul conului, se face numai în linie dreaptă, după direcția razei optice. Dacă fasciculul de raze optice se delimitează prin secțiunile A_1 și A_2 (fig.3.4) se obține un tub de raze optice. Fluxul prin interiorul suprafeței închise Σ , este

$$\iint_{\Sigma} \vec{S} \cdot d\vec{A} = \Phi_{A_2} - \Phi_{A_1}, \quad (3.8)$$

dacă în interiorul tubului nu există elemente care să acumuleze sau să radieze energie radiantă.

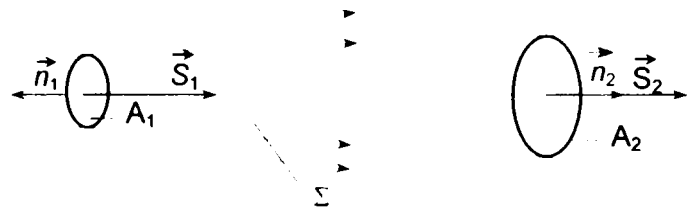


Fig. 3.4

În relația (3.8) s-a notat cu

$$\Phi_{A_1} = - \iint_{A_1} \vec{S}_1 \cdot d\vec{A} - \text{fluxul în secțiunea } A_1$$

prin care razele optice intră în porțiunea de tub considerată (normala \vec{n}_1 este orientată spre exteriorul suprafeței A_1) și cu $\Phi_{A_2} = \iint_{A_2} \vec{S} \cdot d\vec{A}$ fluxul în secțiunea A_2 prin care razele optice părăsesc porțiunea de tub.

Fluxul prin suprafața laterală a tubului este nul, deoarece această suprafață nu este străbatută de raze optice ($\vec{S} \perp \vec{n}$ și $\vec{S} \cdot d\vec{A} = 0$). Prin urmare, în regiunile din spațiu în care nu există elemente absorbante sau radiante de energie, fluxul radiant prin diferite secțiuni transversale ale unui tub are aceeași valoare, adică se conservă în lungul razei optice. Această proprietate a fluxului radiant poate fi scrisă sub forma: $d\Phi = \vec{S}_1 \cdot d\vec{A}_1 = \vec{S}_2 \cdot d\vec{A}_2 = \dots = \vec{S}_i \cdot d\vec{A}_i$.

3.1.4 Fluxul radiant al sursei punctiforme printr-o suprafață receptoare

Pe baza relației (3.7) se poate calcula fluxul radiant care străbate suprafața sensibilă A_R a unui receptor de radiație. Se consideră centrul suprafeței receptoare A_R dispus la distanța D față de o sursă punctiformă O (fig. 3.5). Sursa punctiformă se află lateral față de axa receptorului, astfel ca normala la suprafața A_R formează unghiul α cu direcția sursă – receptor (OC).

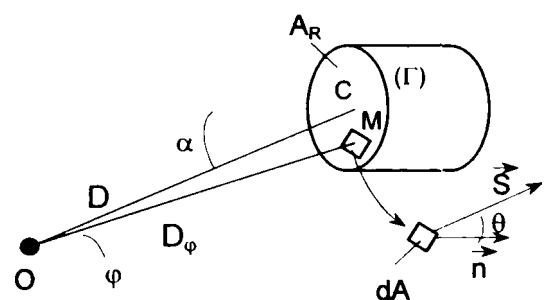


Fig.3.5

Fluxul radiant elementar emis de sursa pe direcția PM și care străbate suprafața dA , este

$$d\Phi = \vec{S}_\varphi \cdot d\vec{A} = S_\varphi dA \cos\theta. \quad (3.8)$$

unde θ este unghiul format de direcția vectorului \vec{S} cu normala la elementul de suprafață dA .

Considerând fluxul radiant după direcțiile D și D_φ , se poate scrie

$$D^2 S = D_\varphi^2 S_\varphi, \quad (3.9)$$

unde S , respectiv S_φ reprezintă modulul (mărimea) vectorului \vec{S} în centrul, respectiv în punctul M al suprafeței A_R .

Fluxul radiant care străbate suprafața receptoare se obține prin integrare, din relațiile (3.8) și (3.9)

$$\Phi = SD^2 \iint_{A_R} \frac{dA \cos \theta}{D_\varphi^2} = SD^2 \Omega_\Gamma, \quad (3.10)$$

unde Ω_Γ este unghiul solid sub care se vede conturul Γ al suprafeței A_R din punctul O . Din relația (3.10) rezultă că mărimea fluxului incident la suprafața receptorului este determinată de:

- caracteristica energetică a sursei punctiforme, exprimată cu mărimea S ;

- aria suprafeței aparente (suprafața A_R văzută din punctul O) a receptorului, exprimată cu produsul $D^2 \Omega_\Gamma$.

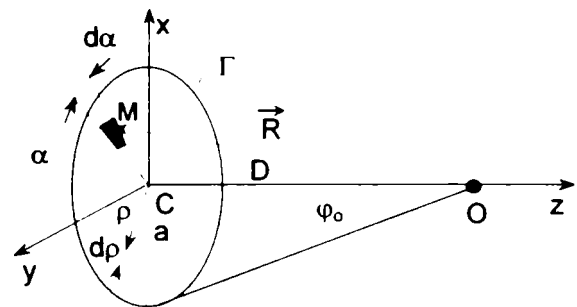


Fig. 3.6

Se consideră sursa punctiformă O dispusă pe axa receptorului (fig. 3.6) la distanța D față de suprafața sensibilă A_R a acestuia. Din motive de simetrie una din razele optice plecate din sursa O coincide cu axa receptorului (axa z).

Fluxul elementar care străbate suprafața dA , exprimat în coordonate polare, este

$$d\Phi = \vec{S}_R \cdot d\vec{A} = S_R \frac{\vec{R}}{R} \vec{n} \rho d\rho d\alpha. \quad (3.11)$$

Intrucât coordonatele punctului M sunt $(\rho \cos \alpha, 0, \rho \sin \alpha)$, se obține

$$R = \sqrt{\rho^2 \cos^2 \alpha + D^2 + \rho^2 \sin^2 \alpha} = \sqrt{\rho^2 + D^2},$$

$$\vec{R} = \rho \cos \alpha \vec{i} - D \vec{j} + \rho \sin \alpha \vec{k} \text{ și } \vec{n} = -\vec{j}.$$

Inlocuind expresiile obținute în (3.11) și integrând în limitele $\alpha \in [0, 2\pi]$ și $\rho \in [0, a]$, se obține

$$\Phi = SD^3 \int_0^{2\pi} d\alpha \int_0^a \frac{\rho d\rho}{(\rho^2 + D^2)^{3/2}} = 2\pi SD^3 \left(\frac{1}{D} - \frac{1}{\sqrt{a^2 + D^2}} \right).$$

Se observă că

$$\cos \varphi_o = \frac{D}{\sqrt{a^2 + D^2}}, \text{ deci } \Phi = 2\pi SD^2 (1 - \cos \varphi_o) = SD^2 \Omega_\Gamma,$$

unde $\Omega_\Gamma = 2\pi(1 - \cos\varphi_o)$ este unghiul solid sub care se vede suprafața A_R din punctul O .

3.2 Mărimile radiometrice ale radiației termice

3.2.1 Consideratii generale

Marimile fizice referitoare la energia radiației din spectrul optic se impart in marimi radiometrice (energetice), legate direct de energia radiației electromagnetice si marimi fotometrice, care se refera la masurarea senzatiei vizuale produsa de radiatia electromagnetica din spectrul vizibil.

Tabelul 3.1

Nr. crt.	Marimi radiometrice integrale	Simbol	Unitatea de masura	Definitie
1	Energia radianta	Q_e	$[J]$	Energia transportata de unda electromagnetica
2	Flux energetic radiant	Φ_e	$[W]$	Energia radianta emisa in unitatea de timp
3	Emitanta sau radianta energetica	$M_e \text{ sau } R_e$	$[W/m^2]$	Fluxul radiant emis de unitatea de suprafata
4	Luminanta sau stralucirea energetica	$L_e \text{ sau } B_e$	$[W/m^2 \text{ str}]$	Fluxul radiant emis de unitatea de suprafata in unitatea de unghi solid
5	Intensitatea energetica	I_e	$[W/str]$	Fluxul radiant emis in unitatea de unghi solid
6	Iluminarea energetica	E_e	$[W/m^2]$	Fluxul radiant incident pe unitatea de suprafata

In functie de caracterul spectral al radiației marimile radiometrice (fotometrice) se impart in:

- marimi energetice (fotometrice) integrale sau globale si se refera la energia continuta in tot domeniul spectral;
- marimi energetice (fotometrice) spectrale, care se refera la energia corespunzatoare fiecărei unde monocromatice componente.

Avandu-se in vedere criteriile de clasificare mentionate, pentru caracterizarea radiatiei termice sunt utilizate marimile din tabelul 3.1.

Daca la denumirile marimilor din tabelul 3.1 se adauga adjectivul *spectral*, referirea se face la densitatea de radiatie, adica la radiatia ce revine unitatii de lungime de unda. In acest caz, toate unitatile de masura se impart la [μm].

Daca adjectivul radiant este inlocuit cu adjectivul *luminos*, se trece de la masurile energetice integrale sau spectrale, la cele fotometrice integrale sau spectrale.

In lucrare marimile energetice integrale vor fi notate cu litera mare purtand indicele "e". Marimile spectrale vor fi notate cu litera mica purtind indicele " λ ".

In continuare, succint, sunt definite marimile prezentate în tabelul 3.1.

3.2.2 Definirea marimilor radiometrice

- **Fluxul energetic radiant Φ_λ** reprezinta cantitatea de energie radianta emisa, absorbita sau transmisa, in unitatea de timp, de o suprafata reala sau fictiva. Fluxul energetic radiant corespunzator unei singure lungimi de unda formeaza un *flux monocromatic*. Fluxul de radiatie corespunzator intervalului de lungime de unda $d\lambda$ reprezinta densitatea spectrala a fluxului de radiatie Φ_λ .

$$\Phi_\lambda = \frac{d\Phi(\lambda)}{d\lambda} [\text{W} \cdot \mu\text{m}^{-1}].$$

Produsul $\Phi_\lambda d\lambda = d\Phi_\lambda$ determina puterea fluxului energetic radiant in intervalul spectral $[\lambda, \lambda + d\lambda]$. Energia radianta emisa de o sursa termica in intervalul de timp $[0, t]$ este egala cu

$$Q_e = \int_0^t \Phi(t) dt,$$

unde $\Phi(t)$ este o functie care indica schimbarea in timp a fluxului energetic radiant. Unitatea de masura a energiei radiante este $[\text{Ws}] = [\text{J}]$.

- **Radianța energetică R_e** este marimea care caracterizeaza distributia in spatiu, in limitele unei emisfere, a fluxului energetic radiant emis de unitatea de suprafata a corpului. Radianța energetică este numeric egala cu fluxul energetic radiant emis de unitatea de suprafata a sursei in toate directiile unei emisfere si aria suprafetetei radiante

$$R_e = \frac{d\Phi_e}{dA}, [\text{W}/\text{m}^2]$$

unde $d\Phi_e$ este fluxul integral de energie radianta, adica fluxul energetic corespunzator tuturor lungimilor de unda radiate de suprafata elementara dA a sursei.

• **Iluminarea energetică E_e** , reprezintă raportul dintre fluxul energetic radiant $d\Phi_e$ care cade pe elementul de suprafață dA și aria elementului de suprafață

$$E_e = \frac{d\Phi_e}{dA}, [\text{W}/\text{m}^2]$$

• **Intensitatea energetică I_e** , reprezintă raportul dintre fluxul energetic $d\Phi$ emis de sursă în direcția dată și mărimea unghiului solid $d\Omega$, în limitele cărora se propaga radiația

$$I_e = \frac{d\Phi}{d\Omega}, [\text{W} \cdot \text{str}^{-1}].$$

Trebuie subliniat că în această definiție s-au avut în vedere sursele punctiforme de radiație, adică acele surse care au dimensiuni neglijabile în comparație cu distanțele la care sunt analizate acțiunile lor. Fluxul energetic în limitele unghiului solid Ω este

$$\Phi_\Omega = \int_\Omega I d\Omega.$$

Dacă sursa este *izotropă*, adică intensitatea radiației emise este aceeași în toate direcțiile, iar în limitele unghiului solid Ω este $I = \frac{\Phi_\Omega}{\Omega}$. Fluxul energetic Φ radiat de o sursă izotropă de intensitate I , în toate direcțiile, este $\Phi = 4\pi I$.

Pentru o sursă *anizotropă*, intensitatea energetică a radiației depinde de direcția de emisie $I = I(\varphi, \theta)$, unde φ și θ sunt unghiuri polare. În acest caz, sursele anizotrope sunt caracterizate prin intensitatea medie a radiației, emisă în limitele unghiului solid Ω

$$I = \frac{\Phi}{\Omega} = \frac{1}{\Omega} \int_\Omega I(\Omega) d\Omega$$

Intensitatea energetică spectrală a radiației este $I_\lambda = \frac{I(\lambda)}{d\lambda} [\text{W} \cdot \text{str}^{-1} \cdot \mu\text{m}^{-1}]$.

• **Stralucirea energetică B_e** . Pentru o sursă anizotropă fluxul energetic emis depinde atât de aria A a suprafeței sursei, cât și de unghiul solid Ω în care se propaga acest flux, adică este o funcție de forma $\Phi_e = \Phi(A, \Omega)$. Fluxul emis de suprafața elementară dA ce mărginește punctul M , într-un unghi solid $\Omega = 2\pi$ este

$$d\Phi_e = \frac{\partial \Phi_e}{\partial A} dA$$

Din fluxul energetic $d\Phi_e$, în direcție normală la suprafața dA , în unghiul solid $d\omega$ se propaga fracțiunea de flux $d^2\Phi_e = \frac{\partial}{\partial \omega} (d\Phi_e) d\omega = \frac{\partial^2 \Phi_e}{\partial \omega \partial A} dA d\omega$. Mărimea $B = \frac{\partial^2 \Phi_e}{\partial \omega \partial A}$

reprezintă *luminanța energetică* sau *stralucirea energetică* a sursei și exprimă cantitatea de flux

energetic emisa de suprafata elementara dA , in unitatea de unghi solid, pe o directie normala la aceasta.

Daca se calculeaza fluxul emis dupa o directie \vec{L} care formeaza unghiul α cu normala \vec{n} la suprafata dA , atunci trebuie avuta in vedere suprafata aparenta $dA \cos \alpha$.

Sub o forma mai generala, stralucirea energetica B reprezinta fluxul energetic emis, transmis sau receptionat de suprafata dA , intr-un unghi solid $d\omega$ orientat dupa directia \vec{L} care formeaza cu normala \vec{n} la suprafata dA unghiul α . Se masoara in $[Wm^{-2}str^{-1}]$. La determinarea stralucirii B trebuiesc avute in vedere 3 cazuri:

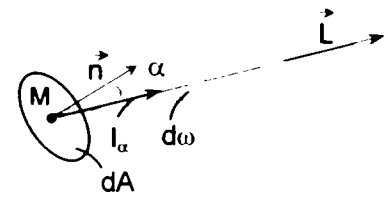


Fig. 3.7

- a) suprafata dA apartine sursei termice;
- b) suprafata dA reprezinta o suprafata receptoare;
- c) suprafata dA reprezinta o sectiune a tubului de flux prin care se propaga razele.

a) **Stralucirea unui punct** oarecare M de pe suprafata sursei de radiatie, in directia \vec{L} , reprezinta raportul dintre intensitatea energetica a radiatiei emise de suprafata dA in directia \vec{L} si suprafata aparenta a sursei (fig.3.7)

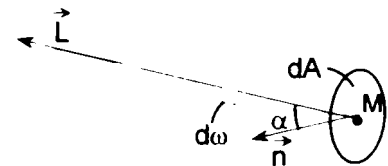


Fig. 3.8

$$B = \frac{dI}{dA \cos \alpha}$$

b) **Stralucirea energetica dupa directia \vec{L}** , intr-un punct M de pe suprafata receptoare dA , reprezinta raportul dintre iluminarea energetica dE produsa de fluxul incident in punctul M si unghiul solid $d\omega$ in care se propaga acest flux: $B = dE/d\omega$ (fig. 3.8).

c) **Intr-un punct M din spatiu** prin care trece un fascicul elementar, avand directia \vec{L} . In aceasta situatie, stralucirea B este raportul dintre fluxul energetic elementar $d\Phi$ care trece prin punctul M si factorul geometric al elementului de flux $dG = dA \cos \alpha$, unde dA este suprafata sectiunii fluxului elementar, $d\omega$ - unghiul solid elementar in care este cuprins fluxul $d\Phi$ si unghiul α - unghiul format de normala \vec{n} la suprafata dA cu directia \vec{L} de propagare a fasciculului radiant (fig. 3.9)

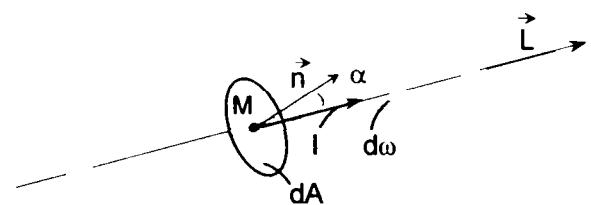


Fig. 3.9

$$B = \frac{d\Phi}{dG} = \frac{d^2\Phi}{dA d\omega \cos \alpha}$$

Din optica geometrica este cunoscut ca, pentru medii omogene, izotrope si dielectrice fluxul optic egal cu produsul dintre factorul geometric dG si patratul indicelui de refractie n al mediului, in punctul M , este un invariant spatial, adica $dG_1 n_1^2 = dG_2 n_2^2 = \dots = const.$ Prin urmare, raportul dintre stralucirea energetica B si patratul indicelui de refractie este de asemenea un invariant spatial $B/n^2 = const.$, in conditiile in care nu exista pierderi de flux prin reflexie si absorbtie.

3.3 Legile radiației termice și consecințe

3.3.1 Legile de propagare a radiației termice

Cunoasterea caracteristicilor energetice ale surselor de radiatie termica permite determinarea energiei pe care o radiaza sursa pe o anumita directie, a compozitiei spectrale a acesteia si a fluxului radiant incident la suprafata fotoreceptorului. Cantitatea de energie radianta receptionata de fotoreceptor este determinata de dispunerea geometrica a acestuia fata de sursa, precum si de transmisia radiatiei prin atmosfera. In acest caz, pentru determinarea energiei radiante receptionate se aplica legile de propagare ale radiatiei, legea lui Lambert si se fac urmatoarele ipoteze simplificatoare:

- radiatia emisa de sursa se propaga in atmosfera in linie dreapta;
- spatiul cuprins intre sursa si receptor nu contine alti consumatori de radiatie;
- radiatia emisa de o mica suprafata dS a sursei se propaga in interiorul unui con, sub forma unui fascicul de raze.

Radiatia incidenta pe suprafata unui corp poate fi absorbita, reflectata sau transmisa prin corp. Cantitatea de energie radianta absorbita, reflectata sau transmisa de suprafata corpului depinde de calitatea suprafetei corpului, de natura si dimensiunile acesteia.

Suprafata unui corp poate fi *lucie* (oglanda) sau *mata* (rugoasa). In primul caz reflexia radiatiei se face directionat, cu respectarea legii reflexiei. In cazul suprafetelor rugoase reflexia se face difuz. Indiferent de modul in care radiatia este absorbita, transmisa sau reflectata de suprafata corpului, din legea de conservare a energiei rezulta (fig.3.10)

$$\Phi_1 = \Phi_p + \Phi_a + \Phi_t \quad \text{sau} \quad \rho + a + t = 1,$$

unde:

- Φ_1 este fluxul energetic incident pe suprafata corpului;

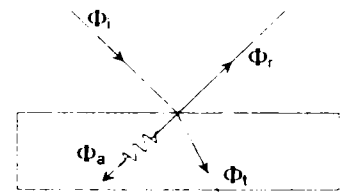


Fig. 3.10

- Φ_p - fluxul energetic reflectat de suprafața corpului;
- Φ_a - fluxul energetic absorbit de suprafața corpului;
- Φ_t - fluxul energetic transmis de suprafața corpului, și
- $\rho = \Phi_p/\Phi_t$ – coeficientul de reflexie a suprafeței corpului;
- $a = \Phi_a/\Phi_t$ – coeficientul de absorbție a suprafeței corpului;
- $t = \Phi_t/\Phi_t$ – coeficientul de transmisie a suprafeței corpului;

Pe baza relației (3.25) se definesc câteva tipuri de corpuri perfecte:

- $t = 0$ și $a = 1$ - corpul negru;
- $a = t = 0$ și $\rho = 1$ - corpul alb;
- $t = 0$, ρ și $a < 1$ - corpul cenușiu;
- $\rho = 0$, a și $t < 1$ - corpul mat.

Corpurile definite prin culorile alb, negru, cenușiu au numai un sens termic și nu au nici o legătură cu corespondențele lor colorimetrice. De exemplu, zăpada proaspăt căzută are culoare albă (colorimetric), dar din punct de vedere termic se comportă ca un corp negru.

Reflexia radiației termice se face cu respectarea a două legi:

- raza incidentă, raza reflectată și normala la suprafața corpului, în punctul de incidență, se găsesc în același plan;
- unghiul de incidență este egal cu unghiul de reflexie.

Aceste legi sunt respectate atât la reflexia difuză cât și la reflexia direcționată.

Refracția radiației termice la trecerea dintr-un mediu în altul se face pe baza a două legi:

- raza incidentă, raza refractată și normala la suprafața corpului, în punctul de incidență, se găsesc în același plan;
- între unghiul de incidență i și unghiul de refracție r există relația

$$n_1 \sin i = n_2 \sin r.$$

Relațiile stabilite anterior sunt valabile atât pentru radiația integrală cât și pentru radiația spectrală.

3.3.2 Legea lui Lambert

Suprafața corpului care prezintă o strălucire energetică constantă după toate direcțiile se numește suprafața *difuzantă* sau *cosinusoidală*. Pentru o suprafață difuzantă intensitatea energetică a radiației emise de aceasta pe o direcție dată, pentru orice lungime de undă, este proporțională cu cosinusul unghiului α format între normala la suprafață și direcția de radiație considerată. Această proprietate a suprafețelor radiante reprezintă *legea lui Lambert* și se scrie

sub forma $dI_\alpha = BdA \cos\alpha$, unde B este luminanța energetică a suprafeței, aceeași pentru orice direcție (independentă de unghiul α), dA – aria suprafeței radiante și $dI_o = BdA$ – intensitatea energetică a suprafeței radiante în direcție normală. Graficul funcției $I_\alpha = I(\alpha)$ se reprezintă într-un plan sub forma unui cerc tangent la suprafața dA , iar în spațiu, sub forma unei sfere obținute prin rotirea cercului în jurul normalei \vec{n} (fig.3.11).

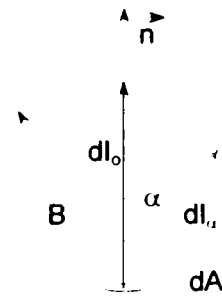


Fig. 3.11

Legea lui Lambert este respectată de o clasă restrânsă de surse radiante, din care se amintesc: corpul negru, corpul cenușiu cu suprafața difuzantă, etc. În practică, legea lui Lambert se poate aplica unei clase mai largi de surse radiante, cu unele restricții. Cu ajutorul legii lui Lambert, se poate determina mărimea radiantei energetice R_e a unei suprafețe.

Se consideră suprafața radiantă dA în centrul unei sfere de rază R (originea sistemului de axe $Oxyz$). Fluxul energetic radiat de un element de suprafață dA , într-un unghi solid $d\omega$ este $d\Phi = Id\omega$. Direcția pe care se emite radiația se definește prin unghiurile $\varphi \in [0, 2\pi]$ și $\theta \in [-\pi/2, \pi/2]$. Această direcție reprezintă axa unui unghi solid elementar $d\omega$ care cuprinde fluxul elementar $d\Phi$ (fig.3.12) emis de suprafața dA pe direcția considerată (φ, θ) . Pe suprafața sferei de rază R , unghiul solid $d\omega$ delimitează o zonă de arie egală cu $dA_1 = R^2 \sin\theta d\theta d\varphi$. Mărimea unghiului solid este $d\omega = \sin\theta d\theta d\varphi$. Intensitatea energetică a suprafeței dA , de strălucire energetică B , este $dI = B \cos\theta dA$. Integrând în limitele unei emisfere $\varphi \in [0, 2\pi]$ și $\theta \in [0, \pi/2]$, rezultă fluxul radiant al suprafeței dA în toate direcțiile ($\Omega = 2\pi$)

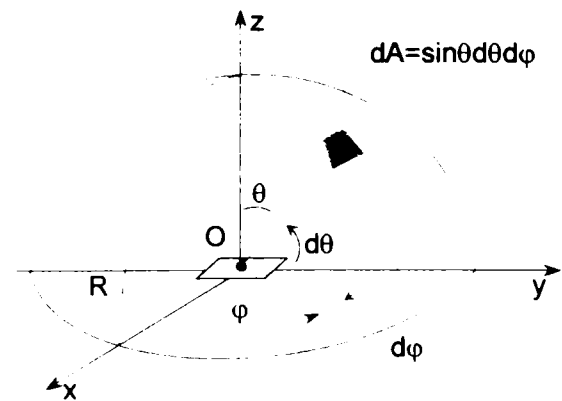


Fig. 3.12

$$\Phi_{2\pi} = 2\pi B dA \int_0^{\pi/2} \sin\theta \cdot d(\sin\theta) = \pi B dA,$$

Radianța suprafeței dA este

$$R = \frac{\Phi_{2\pi}}{dA} = \pi \cdot B. \quad (3.12)$$

Din relația (3.12) rezultă că radianța unei suprafețe perfect difuzante este de π ori mai mare decât strălucirea suprafeței.

Locul geometric al punctelor din plan pentru care distanța la un punct fix este egală cu I_α reprezintă *caracteristica de radiație* a sursei.

Pentru obiectele din teren aflate la o distanță mare față de observator este dificil să se ridice caracteristica de radiație deoarece:

- au suprafețe cu forme și orientări variate;
- nu sunt cunoscute temperatura, coeficientul de radiație și influența reciprocă a acestor suprafețe.

În acest caz, pentru determinarea caracteristicilor radiante ale obiectelor din teren se folosește un *model simplificat*. Modelul este format din suprafețele cele mai semnificative ale obiectului, pentru care se admite că au o temperatură constantă, un coeficient de emisie și o orientare cunoscute și radiația emisă respectă legea lui Lambert.

Calculul se desfășoară astfel:

- pentru fiecare suprafață se calculează radiantă energetică R_e , după care se determină intensitatea energetică a suprafeței pe direcția α , cu formula $I_\alpha = BA \cos \alpha$;
- se adună intensitățile I_α ale fiecărei suprafețe radiante, pentru fiecare direcție.

Intrucât, în cazul general caracteristica de radiație are o formă spațială, se construiește o familie de caracteristici $I(\varphi, \theta)|_{\varphi = \text{const.}}$ sau $I(\varphi, \theta)|_{\theta = \text{const.}}$. Dacă obiectul prezintă o radiație simetrică în raport cu o axă sau cu un plan, atunci determinarea caracteristicii de radiație se reduce la construcția unei caracteristici plane, care prin rotație în jurul axei, generează caracteristica spațială.

3.3.3 Legea iluminării energetice. Iluminarea energetică produsă de o sursă cu suprafață finită

Sursa punctiformă este o sursă de radiație cu dimensiuni mult mai mici în comparație cu distanța la care este dispus receptorul de radiație. Pentru o asemenea sursă se admite că fluxul energetic emis se distribuie uniform după toate direcțiile, deci pe orice direcție de radiație intensitatea energetică a radiației va fi aceeași, egală cu I . Radiația emisă de sursa punctiformă este caracterizată numai de intensitate energetică I după direcția sursă-receptor.

Fluxul radiant elementar emis de sursa punctiformă, în limitele unghiului solid $d\omega$ (fig. 3.13), și captat de receptor este

$$d\Phi = Id\omega = I \frac{dA \cos \alpha}{R^2}.$$

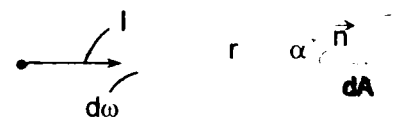


Fig. 3.13

Fluxul pe care receptorul îl captează este cuprins în limitele suprafeței aparente $dA \cos \alpha$, cu α unghiul format de normala \vec{n} a suprafeței dA și direcția sursă punctiformă – receptor.

Iluminarea produsa de sursa punctiforma pe suprafata dA , la care normala \vec{n} face unghiul α cu directia de observatie este

$$E = \frac{d\Phi}{dA} = \frac{Id\omega}{dA} \quad \text{cu} \quad d\omega = \frac{dA \cos \alpha}{r^2}, \text{ sau}$$

$$E = \frac{I}{r^2} \frac{dA}{dA} \cos \alpha = \frac{I}{r^2} \cos \alpha. \quad (3.13)$$

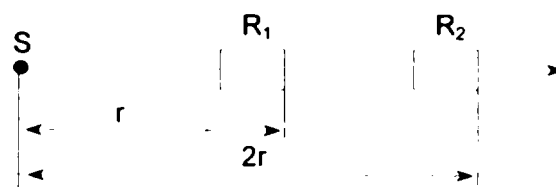


Fig.3.14

Din relatia (3.13) rezulta;

– iluminarea produsa de o sursa punctiforma asupra unei suprafete este direct proportionala cu intensitatea radiatiei emise de sursa si invers proportionala cu patratul distantei sursa – receptor (legea patratelor inverse). Trebuie observat ca iluminarea produsa de o sursa punctiforma S pe suprafata sensibila a unui receptor aflat la distanta r de sursa este $E_1 = I/r^2$ si, daca se dubleaza distanta, rezulta $E_2 = I/4r^2 = E_1/4$, deci iluminarea scade de 4 ori, cu toate ca distanta a crescut de 2 ori (fig.3.14);

– iluminarea este proportionala cu cosinusul unghiului de incidenta a fasciculului radiant la suprafata sensibila a receptorului. Din aceasta lege rezulta ca o receptie optima a surselor se obtine pentru unghiuri de camp reduse.

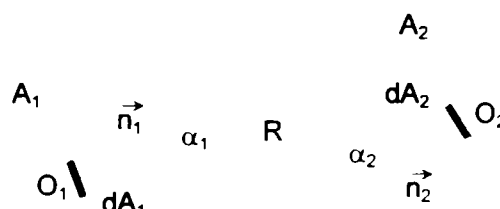


Fig. 3.15

Sursele cu suprafata finita, cu dimensiunile comparabile cu distanta sursa – receptor, sunt caracterizate de o stralucire energetica B , functie de unghiurile dupa care se realizeaza observarea sursei. Fie A_2 o suprafata receptoare iluminata de o sursa cu suprafata A_1 (fig.3.15). Iluminarea in punctual O_2 a suprafetei elementare dA_2 reprezinta o suma de iluminari elementare produse de fiecare suprafata elementara $dA_1 \in A_1$. Iluminarea elementara produsa in punctual O_2 de sursa cu suprafata dA_1 , aflata in O_1 , este: $dE = dI_{\alpha_1} \frac{\cos \alpha_2}{R^2}$, cu $dI_{\alpha_1} = B \cos \alpha_1 dA_1$, intensitatea energetica a radiatiei emise de sursa cu suprafata dA_1 , pe directia $O_1O_2 = R$ si B - stralucirea energetica a suprafetei dA_1 in directie normala. Se obtine

$$dE = B \frac{\cos \alpha_1 \cos \alpha_2}{R^2} dA_1.$$

Se observa ca $d\omega_2 = \frac{dA_1 \cos \alpha_1}{R^2}$, deci $dE = B \cos \alpha_2 d\omega_2$. Integrand dupa unghiul solid ω_2 ,

unghiul sub care se vede suprafata A_1 din punctual O_2 , se obtine iluminarea energetica in O_2

$$E = \int_{\omega_2} B \cos \alpha_2 d\omega_2.$$

Daca radiatia emisa de sursa A_1 respecta legea lui Lambert (cazul surselor termice), se poate scrie

$$E = B \int_{\omega_2} \cos \alpha_2 d\omega_2 = B.G, \quad (3.14)$$

unde G este un factor geometric.

3.4 Calculul marimilor radiometrice specifice radiației termice emise, transmise și recepționate

3.4.1 Calculul mărimilor energetice ale radiației emise de o suprafață termoradiantă finită

In cazul surselor termice cu suprafata finita exista doua tipuri de probleme care trebuiesc rezolvate:

- calculul marimilor radiometrice ale unei surse de radiatie;
- calculul iluminarii energetice a unei suprafete receptoare.

Intrucat fluxul energetic emis de o asemenea sursa nu se repartizeaza uniform pe toate directiile, pentru rezolvarea acestor probleme se fac cateva ipoteze simplificatoare, rezultate din legile de propagare ale radiatiei si legea independentei fasciculelor de raze:

- fluxul energetic emis de o mica suprafata dS a sursei se propaga in interiorul unui con, sub forma unui fascicul de raze. In medii omogene si izotrope razele sunt linii drepte;

- fasciculele de raze pot fi impartite in fascicule elementare. In fiecare sectiune transversala a unui fascicul elementar energia radianta se conserva;

- fiecare fascicul elementar actioneaza independent. In acest caz, intensitatea energetica a mai multor fascicule de raze care se suprapun intr-un punct din spatiu va fi egala cu suma intensitatilor energetice ale fasciculelor de raze componente;

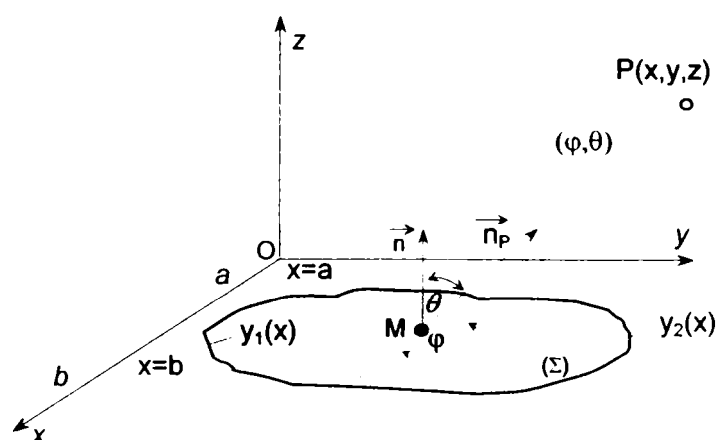


Fig. 3.16

- strălucirea energetică b , în fiecare punct al suprafeței sursei și pe orice direcție, în limitele unei emisfere, este aceeași. Aceasta înseamnă că suprafața elementară dS radiază difuz, adică intensitatea energetică a radiației pe fiecare direcție respectă legea lui Lambert $dI_\alpha = b_o dA \cos \alpha$, unde b_o este luminanța energetică a suprafeței, aceeași pentru orice direcție (independentă de unghiul α), dA – aria suprafeței radiante și $dI_o = B dA$ – intensitatea energetică a suprafeței radiante în direcție normală.

Fie (Σ) o suprafață în planul (x,y) al unui sistem de axe carteziene $Oxyz$ (fig.3.16). Domeniul (Σ) este limitat prin curbele $y = y_1(x)$ și $y = y_2(x)$; dreptele $x = a$ și $x = b$, cu $y_1(x) < y_2(x)$ și $a < b$. Expresia normalei \vec{n} în punct $M \in (\Sigma)$ este $\vec{n} = \vec{k}$, iar a versorului \vec{n}_p , după direcția de observare: $\vec{n}_p = \sin \theta \cos \varphi \vec{i} + \sin \varphi \sin \theta \vec{j} + \cos \theta \vec{k}$.

Intensitatea energetică a radiației emise de elementul de suprafață, în direcție normală la suprafața de strălucire b_o este

$$dI_o = b_o dx \cdot dy$$

Intensitatea radiației energetice emisa de suprafața

(Σ) în direcția normalei, este

$$I_\theta = b_o \int_a^b \int_{y_1}^{y_2} dx \cdot dy = b_o \int_a^b [y_2(x) - y_1(x)] dx.$$

Dacă $y_2(x) = d$ și $y_1(x) = c$, se obține

$$I_o = b_o \int_a^b (d - c) dx = b_o (a - b)(d - c)$$

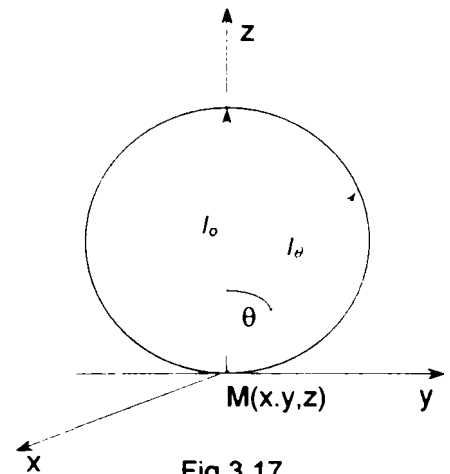


Fig.3.17

Intensitatea energetică după direcția de observare este $dI_e = dI_o (\vec{n} \cdot \vec{n}_p) = b_o dx dy \cdot \cos \theta$, sau

$$I(x, y) = b_o \int_a^b \int_{y_1}^{y_2} \cos \theta \cdot dx dy = b_o \cos \theta \int_a^b [y_2(x) - y_1(x)] dx = b_o (a - b)(c - d) \cdot \cos \theta$$

Ecuția $I(\theta) = b_o \cdot (a - b) \cdot (c - d) \cos \theta$ reprezintă un cerc (o sferă), în coordonatele $[I(\theta), \theta]$.

Centrul cercului (sferei) este în punctul $(x_o, y_o, \frac{I_o}{2})$ sau $[x_o, y_o, \frac{b_o}{2} (a - b)(c - d)]$ (fig.3.17).

Fluxul emis de suprafața elementară dS în direcția MP este $d\Phi = I(\theta) d\omega$, unde $d\omega = \sin \theta \cdot d\theta \cdot d\varphi$. Unghiul solid elementar $d\omega$ este astfel ales încât intensitatea energetică a radiației care se propagă în limitele acestui unghi solid este aproximativ aceeași, după orice

directie. Fluxul in emisfera $\theta = [0, \frac{\pi}{2}]$ si $\varphi = [0, 2\pi]$ se obtine cu integrala

$$\Phi_e = \int_0^{2\pi} \int_0^{\pi/2} b_o(a-b)(c-d) \cos \theta \cdot \sin \theta \cdot d\theta \cdot d\varphi = 2\pi b_o(a-b)(c-d).$$

Radianța suprafeței considerate este

$$R_e = \frac{\Phi_e}{(a-b)(c-d)} = \pi \cdot b_o.$$

Pentru sursele termice la care radiația emisă nu se mai distribuie uniform pe fiecare direcție, marimile energetice vor depinde și de direcția pe care se face observația. În acest caz, suprafața sursei se împarte în suprafețe elementare dS (fig. 3.18). Fiecare suprafață elementară dS se comportă ca o sursă punctiformă, o sursă care emite un flux uniform pe toate direcțiile unei emisfere (radiație difuză). Fluxul elementar $d\Phi_e$ [in W], radiat de elementul de arie dS , cu strălucirea energetică B , pe direcția θ , în unghiul solid $d\omega = \sin \theta \cdot d\theta d\varphi$, este

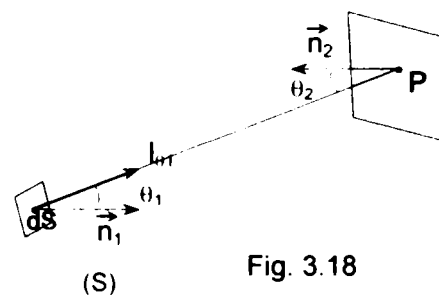


Fig. 3.18

$$d\Phi_e = I_e d\omega = B dS \cos \theta \sin \theta \cdot d\theta d\varphi.$$

Fluxul total emis într-un unghi solid $\omega = 2\pi$ este

$$\Phi_e = B \cdot dS \int_0^{2\pi} d\varphi \int_0^{\pi/2} \sin \theta \cdot d(\sin \theta) = \pi \cdot B dS.$$

3.4.2 Iluminarea energetică produsă de o suprafață plană infinit de mare

Se considera o suprafață termoradiantă plană infinit de mare cu strălucirea energetică b_o după orice direcție (fig. 3.119). Elementul de suprafață $dS = dx \cdot dy$ produce în punctul $P(0,0,R)$ iluminarea energetică elementară dE_p este

$$E_p = \frac{dI_\theta}{r^2} \cos \theta,$$

unde $r^2 = x^2 + y^2 + R^2$, $\cos \theta = \frac{R}{r}$ și

$$dI_\theta = dI_o \cos \theta = b_o dx dy \cos \theta.$$

După înlocuire în relația (3.19), se obține iluminarea energetică elementară din punctul P

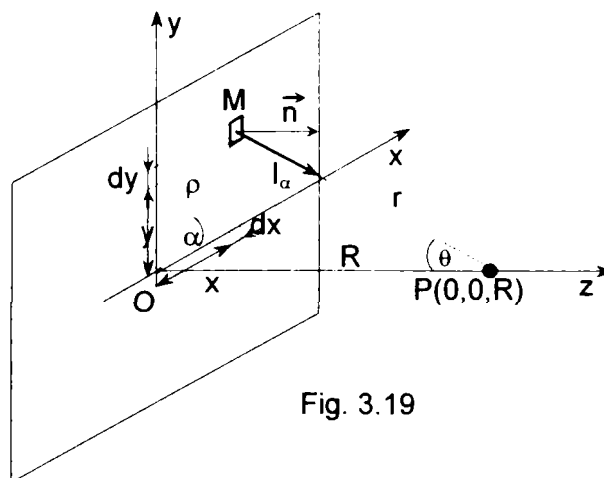


Fig. 3.19

$$dE_P = \frac{b_o dx dy}{r^2} \cdot \frac{R^2}{r^2} = b_o \frac{R^2}{(x^2 + y^2 + z^2)^2} dx dy.$$

Iluminarea produsa de intreaga suprafata in punctul P este

$$E_P = b_o R^2 \int_{-\infty}^{+\infty} \int \frac{dx dy}{(x^2 + y^2 + R^2)^2}.$$

Se introduc coordonatele polare $x = \rho \cos \alpha$, $y = \rho \sin \alpha$, $dx dy = \rho d\rho d\alpha$ si se obtine

$$E_P = b_o R^2 \int_0^{2\pi} \int_0^{\infty} \frac{\rho d\rho d\alpha}{(\rho^2 + R^2)^2} = \pi b_o R^2 \left(\frac{-1}{\rho^2 + R^2} \right)_0^{\infty} = \pi b_o. \tag{3.16}$$

Din relatia (3.16) rezulta ca iluminarea produsa de o suprafata infinit de mare, intr-un punct din spatiu este independenta de distanta R si depinde numai de stralucirea energetica a suprafetei considerate. O suprafata infinita poate fi fondul de radiatie (cerul senin) cu stralucirea energetica b_o . Acesta produce o iluminare parazita constanta πb_o .

3.4.3 Iluminarea energetica produsă de o suprafata plana de dimensiuni finite

Se considera o suprafata plana termoradianta de dimensiuni a si b, cu stralucirea energetica b_o . Pentru calculul iluminării energetice in punctul P se dispun axele sistemului cartezian ca in fig. 3.20 Iluminarea energetica elementara dE_P produsa de elementul de suprafata dS este

$$dE_P = \frac{dI_\theta}{r^2} \cos \theta, \tag{3.17}$$

unde $r^2 = x^2 + y^2 + R^2$ si $\cos \theta = \frac{R}{r}$

si $dI_\theta = dI_o \cos \theta = b_o dx dy \cos \theta$.

Dupa inlocuirea expresiilor obtinute in relatia (3.17), rezulta

$$dE_P = \frac{b_o dx dy}{r^2} \cdot \frac{R^2}{r^2} = b_o \frac{R^2}{(x^2 + y^2 + z^2)^2} dx dy \tag{3.18}$$

Iluminarea energetica produsa in punctul P se obtine integrand expresia (3.32) in limitele suprafetei cu dimensiuni finite

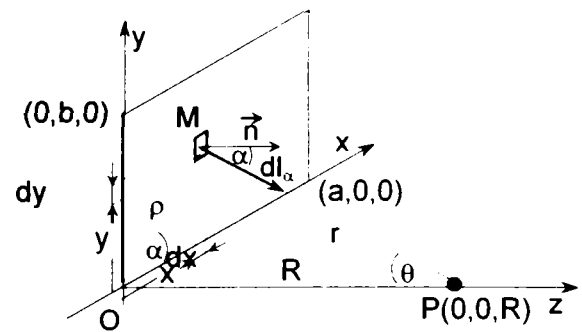


Fig. 3.20

$$E_P = b_o R^2 \int_0^a \int_0^b \frac{dx dy}{(x^2 + y^2 + R^2)^2}. \quad (3.19)$$

Pentru început se calculează integrala

$$I_1 = \int_0^a \frac{dx}{(x^2 + y^2 + R^2)^2}, \text{ folosind substitutia } x = \sqrt{R^2 + y^2} \operatorname{tg} \varphi.$$

Dupa efectuarea calculelor, se obtine

$$I_1 = \frac{a}{2(y^2 + R^2)(y^2 + a^2 + R^2)} + \frac{1}{2(y^2 + R^2)^{3/2}} \operatorname{arctg} \frac{a}{\sqrt{y^2 + R^2}}.$$

Inlocuind expresia I_1 in integrala (3.33) rezulta

$$E_P = \frac{b_o R^2}{2} \int_0^b \left[\frac{a}{(y^2 + R^2)(y^2 + a^2 + R^2)} + \frac{1}{(y^2 + R^2)^{3/2}} \operatorname{arctg} \frac{a}{\sqrt{y^2 + R^2}} \right] dy.$$

Se face substitutia $u = \frac{y}{\sqrt{y^2 + R^2}} \operatorname{arctg} \frac{a}{\sqrt{y^2 + R^2}}$ si dupa efectuarea calculelor se obtine

$$E_P = \frac{b_o R^2}{2} \left\{ \frac{1}{R^2} \int_0^b du + \frac{a}{R^2} \int_0^b \frac{R^2 + y^2}{(R^2 + y^2)(R^2 + y^2 + a^2)} dy \right\},$$

sau dupa integrare

$$E_P = \frac{b_o}{2} \left[\frac{b}{\sqrt{b^2 + R^2}} \operatorname{arctg} \frac{a}{\sqrt{b^2 + R^2}} + \frac{a}{\sqrt{a^2 + R^2}} \operatorname{arctg} \frac{b}{\sqrt{a^2 + R^2}} \right]. \quad (3.20)$$

Iluminarea produsa in punctul P de un plan dispus simetric fata de axe are expresia

$$E_P = 2b_o \left[\frac{b}{\sqrt{b^2 + 4R^2}} \operatorname{arctg} \frac{a}{\sqrt{b^2 + 4R^2}} + \frac{a}{\sqrt{a^2 + 4R^2}} \operatorname{arctg} \frac{b}{\sqrt{a^2 + 4R^2}} \right]. \quad (3.21)$$

Daca $a, b \ll R$, atunci $\sqrt{a^2 + R^2} = R \sqrt{\left(\frac{a}{R}\right)^2 + 1} \cong R$ si se obtin urmatoarele expresii

aproximative:

– suprafata dreptunghiulara dispusa lateral: $E_P = \frac{b_o}{2R} \left[b \operatorname{arctg} \frac{a}{R} + a \operatorname{arctg} \frac{b}{R} \right];$

– suprafata dreptunghiulara dispusa simetric: $E_P = \frac{b_o}{R} \left[b \operatorname{arctg} \frac{a}{2R} + a \operatorname{arctg} \frac{b}{2R} \right].$

Daca $a = b$, expresia iluminării pentru suprafața patrata dispusa lateral : $E_p = b_o \frac{a}{R} \operatorname{arctg} \frac{a}{R}$, iar

pentru cazul dispunerii simetrice aceasta este: $E_p = 2b_o \operatorname{arctg} \frac{a}{2R}$.

3.4.4 Iluminarea energetica produsa de o suprafața circulara de raza r_o

Iluminarea produsa de elementul de arie $dS = \rho d\rho d\varphi$ al suprafeței circulare (fig.3.21) in punctul $P(0,0,R)$, este

$$dE_p = dI_\theta \frac{\cos\theta}{r^2} = \frac{b_o \rho d\rho d\varphi}{r^2} \cos^2 \theta, \quad (3.22)$$

cu $r^2 = \rho^2 + R^2$ și $\cos\theta = \frac{R}{r}$.

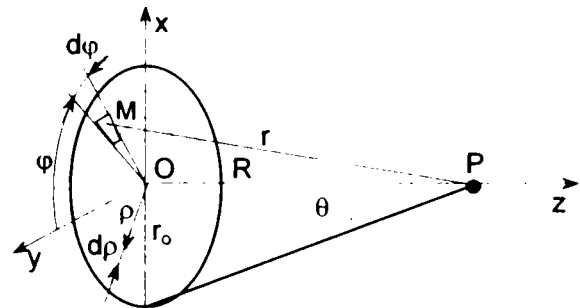


Fig. 3.21

Integrând expresia (3.22) in limitele suprafeței circulare, rezulta

$$E_p = b_o R^2 \int_0^{2\pi} d\varphi \int_0^{r_o} \frac{\rho d\rho}{(\rho^2 + R^2)^2} = \pi b_o R^2 \left[\frac{-1}{\rho^2 + R^2} \right]_0^{r_o} = \frac{\pi b_o r_o^2}{r^2 + R^2}.$$

Se noteaza $I_o = \pi r_o^2 b_o$ - intensitatea energetica a suprafeței circulare in directie normala. Se poate scrie

$$E_p = \frac{I_o}{r_o^2 + R^2} = \frac{I_o}{R^2 \left(1 + \frac{r_o^2}{R^2} \right)} = \frac{I_o}{R^2} k = E_o k, \quad (3.23)$$

unde $k = \frac{1}{1 + \left(\frac{r_o}{R} \right)^2} = \frac{R^2}{r_o^2 + R^2}$.

Din relatia (3.23) rezulta ca iluminarea produsa de o sursa cu suprafața circulara este egala cu produsul dintre iluminarea energetica pe care o produce o sursa punctiforma de intensitate energetica $I_o = \pi r_o^2 b_o$, asezata in centrul suprafeței circulare și coeficientul k .

Daca $R \gg 10r_o$, rezulta

$$k \geq \frac{1}{1 + \left(\frac{r_o}{R} \right)^2} = \frac{1}{1 + \frac{1}{100}} = 0,99.$$

Intrucat iluminarea produsa de o sursa punctiforma care are caracteristicile sursei circulare este mai mare, eroarea relativa comisa la echivalarea sursei circulare cu o sursa punctiforma este

$$\Delta E \leq E_o - E_p \text{ sau } \varepsilon = \frac{\Delta E}{E_o} = 1 - \frac{E_p}{E_o} = 1 - k = 0,01.$$

In concluzie, daca $R \gg 10r_o$, eroarea relativa comisa in calculul iluminarii energetice produsa de o sursa cu dimensiunea de cinci ori mai mica fata de distanta sursa – receptor este sub 1%, daca sursa este considerata punctiforma.

3.4.5 Intensitatea energetică a radiației produse de o sursă filiformă

Se considera o sursa filiforma si rectilinie, de lungime finita l , cu stralucirea energetica b_o , situata intr-un mediu omogen si izotrop. Se alege un sistem de axe carteziene, astfel ca axa x sa coincida cu sursa filiforma, iar axa z sa fie orientata in sensul de propagare a radiatiei (fig. 3.22).

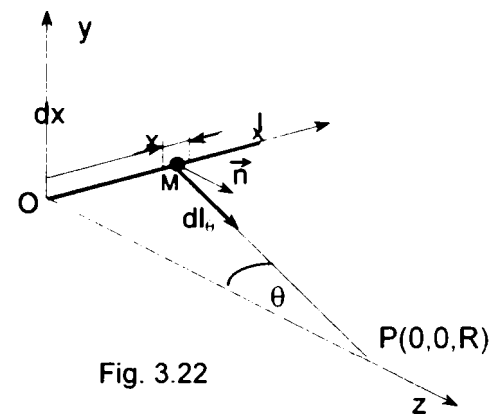


Fig. 3.22

Elementul de lungime dx produce in punctul $P(0,0,R)$ intensitatea energetica elementara

$$dI_\theta = b_o dx \cdot \cos \theta = \frac{b_o R dx}{\sqrt{x^2 + R^2}}.$$

Intensitatea energetica produsa de intreaga sursa filiforma in punctul P, este

$$I_p = b_o R \int_0^l \frac{dx}{\sqrt{x^2 + R^2}} = b_o R \ln \frac{l + \sqrt{l^2 + R^2}}{R}.$$

Pentru $R \gg l$, rezulta $l^2 + R^2 \approx R^2$ si $\ln\left(1 + \frac{l}{R}\right) = \frac{l}{R} - \frac{1}{2}\left(\frac{l}{R}\right)^2 + \dots \cong \frac{l}{R}$.

In final, rezulta $I_p = b_o l$, pentru $l \ll R$.

3.4.6 Intensitatea energetica a radiației produse de o sursa disc

Se considera o sursa tip disc de raza r_o dispusa in planul (x,y) al unui sistem de axe carteziene (fig.3.23). Intensitatea energetica produsa de elementul de suprafata dS in punctul P aflat pe axa z este

$$dI_{\theta} = b_o dS \cos \theta, \quad (3.24)$$

unde $\cos \theta = \vec{n} \cdot \vec{u}_r$, $\vec{n} = \vec{k}$ și

$$\vec{u}_r = \frac{\vec{r}}{|\vec{r}|} = \frac{-x\vec{i} - y\vec{j} + R\vec{k}}{\sqrt{x^2 + y^2 + R^2}}$$

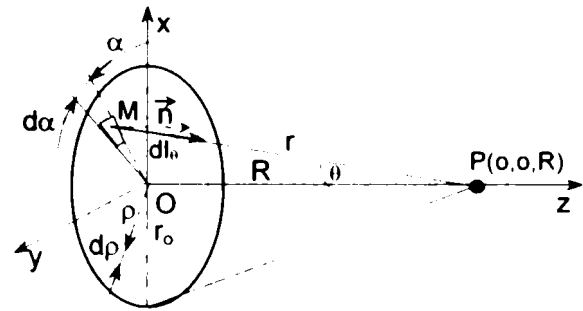


Fig. 3.23

Dupa inlocuirea relatiilor obtinute in (3.24),

rezulta

$$dI_{\theta} = \frac{b_o dS \cdot R}{\sqrt{x^2 + y^2 + R^2}}.$$

Se trece la coordonate polare $x = \rho \cos \alpha$, $y = \rho \sin \alpha$, $dS = \rho \cdot d\rho \cdot d\theta$ și se obtine

$$dI_{\theta} = \frac{b_o R}{2} \int_0^{2\pi} d\alpha \int_0^{r_o} \frac{\rho d(\rho^2 + R^2)}{\sqrt{\rho^2 + R^2}} = 2\pi b_o R (\sqrt{r_o^2 + R^2} - R). \quad (3.25)$$

Trebuie observat ca unghiul solid Ω sub care se vede discul din punctul P este

$$\Omega = \iint_S \frac{dS \cos \theta}{r^2} = R \int_0^{2\pi} \int_0^{r_o} \frac{\rho d\rho \cdot d\theta}{(\rho^2 + R^2)^{3/2}} = 2\pi \left(1 - \frac{R}{\sqrt{r_o^2 + R^2}} \right). \quad (3.26)$$

Inlocuind Ω in (3.26), se obtine

$$I_P = b_o R \sqrt{r_o^2 + R^2} \cdot \Omega.$$

3.5 Legile radiației termice de echilibru și aplicații

3.5.1 Legile radiației termice de echilibru

• **Legea Stefan-Boltzman.** In anul 1879 fizicianul austriac J. Stefan, plecand de la date experimentale, a stabilit urmatoarea lege: *radiatia integrala a unui corp negru este egala cu puterea a 4-a a temperaturii absolute a corpului*

$$R_e = \sigma T^4, \quad (3.27)$$

unde $\sigma = 5,67 \cdot 10^{-18} \text{ W/m}^2 \text{K}^4 = 5,67 \cdot 10^{-12} \text{ W/cm}^2 \text{K}^4$ este constanta Stefan-Boltzman, determinate experimental. In anul 1884, Boltzman a demonstrat teoretic aceasta lege folosind legile termodinamicii.

• **Legea Wien.** Studiind modul de variatie a radiantei spectrale a unui corp negru cu temperatura absoluta a constatat ca la cresterea temperaturii maximul radiantei spectrale se

deplaseaza spre lungimile de unda mai mici. Daca se noteaza cu λ_{max} lungimea de unda din spectru careia ii corespunde o radianta spectrala maxima r_{max} , legea lui Wien se scrie sub forma

$$\lambda_{max} \cdot T = const. \quad (3.28)$$

si se enunta astfel: *lungimea de unda corespunzatoare radiantei spectrale maxime este invers proportionala cu temperatura absoluta a corpului negru.*

• **Legea lui Planck.** Max Planck a demonstrat teoretic ca radianta spectrala emisa de un corp se supune urmatoarei legi

$$r_{\lambda} = \frac{C_1}{\lambda^5 (e^{\frac{C_2}{\lambda T}} - 1)}, \quad (3.29)$$

unde $C_1 = 2\pi hc^2 = 3.74 \cdot 10^{-16} \text{Wm}^2$ si $C_2 = 1,438 \cdot 10^{-2} \text{mK}$.

a) Daca $\lambda T < C_2$, adica $e^{\frac{C_2}{\lambda T}} > 1$, atunci relatia (3.29) devine $r_{\lambda} = \frac{C_1}{\lambda^5 e^{\frac{C_2}{\lambda T}}}$, formula

cunoscuta sub numele de *formula lui Wien*. Pentru $\lambda T < 3000 \mu\text{mK}$, aceasta formula da o eroare mai mica de 1% fata de (3.29).

b) Daca $\lambda T > C_2$, atunci $e^{\frac{C_2}{\lambda T}}$ se poate dezvolta in serie de puteri si retinand numai primul termen, se obtine

$$r_{\lambda} = \frac{C_1}{C_2} \frac{\lambda T}{\lambda^5} = \frac{2\pi c}{\lambda^4} kT. \quad (3.30)$$

c) Relatia (3.30) se numeste formula lui Rayleigh-Jeans. Pentru $\lambda > 7,8 \cdot 10^5 \mu\text{mK}$, aceasta formula da o eroare sub 1% fata de (3.29).

Din formula lui Planck se poate obtine lungimea de unda λ_{max} corespunzatoare maximului de energie spectrala, daca se pune conditia $\partial r_{\lambda} / \partial \lambda = 0$. Se obtine ecuatia

transcendentă $5(e^x - 1) = xe^x$, care este verificata de solutia $x = 4,9651$, unde $x = \frac{hc}{k\lambda T} = \frac{C_2}{\lambda T}$.

Cu aceasta valoare se obtine relatia

$$\lambda_{max} = \frac{2898}{T} [\mu\text{m}], \quad (3.31)$$

numita si legea lui Wien. Inlocuind λ_{max} in relatia (3.29) rezulta radianta spectrala maxima a corpului negru, pentru temperatura T

$$r_{\lambda_{\max}} = \frac{C_1}{\left(\frac{2898}{T}\right)^5 (e^{4.9651} - 1)} = 1,2864 \cdot 10^{-15} T^5 \left[\frac{W}{\mu m \cdot cm^2} \right]. \quad (3.32)$$

d) Radianta integrala a corpului negru se poate obtine integrand formula lui Planck in limitele $\lambda = 0$ si $\lambda = \infty$,

$$R_{0-\infty} = \int_0^{\infty} \frac{C_1}{\lambda^5 (e^{\frac{C_2}{\lambda T}} - 1)} d\lambda.$$

Se noteaza $x = \frac{C_2}{\lambda T}$ si dupa inlocuire, se obtine

$$R_{0-\infty} = \frac{C_1 T^4}{C_2^4} \int_0^{\infty} \frac{x^3}{e^x - 1} dx. \quad (3.33)$$

Pentru calculul integralei (3.46) se pleaca de la relatia

$$I_n = \int_0^{\infty} \frac{x^n dx}{e^x - 1} = \int_0^{\infty} x^n \frac{e^{-x}}{1 - e^{-x}} dx = \int_0^{\infty} x^n e^{-x} \sum_{t=1}^{\infty} e^{-tx} = n! \sum_{t=1}^{\infty} \frac{1}{t^{n+1}}.$$

Pentru $n = 3$, se obtine

$$I_3 = \int_0^{\infty} \frac{x^3}{e^x - 1} dx = 3! \sum_{t=1}^{\infty} \frac{1}{t^4} = \frac{\pi^4}{15},$$

sau

$$R_{0-\infty} = \frac{\pi^4 C_1}{15 C_2^4} T^4 = 5,67 \cdot 10^{-12} T^4 \left[\frac{W}{cm^2 K^4} \right].$$

3.5.2 Calculul radiantei energetice spectrale a corpului negru

Utilizarea formulei lui Planck pentru calculul radiantei energetice a unui corp negru, in intervalul spectral $\lambda_1 - \lambda_2$, necesita efectuarea unor calcule complicate. In practica aceste calcule complicate sunt evitate prin folosirea formulelor rezultate din legea lui Stefan-Boltzman si Planck. care asigura un calcul simplu si rapid.

- **Metoda functiei $z_\lambda(x_\lambda)$.**

Funcția $z_\lambda(x_\lambda)$ este definite de raportul

$$z_\lambda(x_\lambda) = \frac{R_{0-\lambda}}{R_{0-\infty}}, \quad (3.34)$$

unde $x_\lambda = \frac{\lambda}{\lambda_{\max}}$ este o coordonata adimensională.

Se observa ca

$$R_{\lambda_1-\lambda_2} = \int_{\lambda_1}^{\lambda_2} r_\lambda d\lambda = \int_0^{\lambda_2} r_\lambda d\lambda - \int_0^{\lambda_1} r_\lambda d\lambda = R_{0-\lambda_2} - R_{0-\lambda_1},$$

si

$$R_{0-\lambda} = R_{0-\infty} z_\lambda(x_\lambda) = \sigma T^4 [z_\lambda(x_{\lambda_2}) - z_\lambda(x_{\lambda_1})]. \quad (3.35)$$

Valorile functiei $z_\lambda(x_\lambda)$ sunt calculate si tabelate pentru $\lambda = 0 \dots \infty$, in lucrarile [30,31].

Relatia (3.35) permite calculul radianta energetice, in intervalul spectral $\lambda_1 - \lambda_2$, emisa de un corp negru aflat la temperatura absoluta T . Cunoscand temperatura T a corpului negru, cu relatia (3.31) se determina lungimea de unda λ_{\max} corespunzatoare radiantei spectrale maxime. Coordonata relativa x_λ se calculeaza cu relatia $x_\lambda = \lambda_l / \lambda_{\max}$, cu $l=1,2$: λ_l este lungimea de unda a radiatiei in extremitatile intervalului spectral considerat. Din relatia (3.48) rezulta ca pentru $0 < x < \infty$, functia $z_\lambda(x_\lambda)$ ia valorile $0 < z_\lambda(x_\lambda) < 1$. Fractiunea de flux energetic emis de unitatea de suprafata, in intervalul spectral $\lambda - \infty$, se calculeaza cu relatia

$$R_{\lambda-\infty} = \sigma T^4 [1 - z_\lambda(x_\lambda)]. \quad (3.36)$$

Intrucat caracteristicile receptoarelor de radiatie sunt prezentate in cataloage cu ajutorul coordonatelor relative $\zeta = \frac{\lambda}{\lambda_{\max}}$ si $\eta = \frac{r_\lambda}{r_{\lambda_{\max}}}$, cu $(\lambda_{\max}, r_{\lambda_{\max}})$ coordonatele maximului radiantei corpului negru, este necesar ca si formula lui Planck sa fie exprimata prin aceste coordonate.

Din relatiile $\lambda_{\max} = 2898/T = C'/T$ si $r_{\lambda_{\max}} = 1,2864 \cdot 10^{-15} T^5$, se obtine

$$\lambda = \lambda_{\max} \zeta = \frac{C'}{T} \zeta \quad \text{si} \quad r_\lambda = r_{\lambda_{\max}} \eta = C'' T^2 \eta. \quad (3.37)$$

Inlocuind pe λ si r_λ in formula (3.35) rezulta

$$\eta = 142,32 \frac{\zeta^{-5}}{e^{\frac{4,965}{\zeta}} - 1}. \quad (3.38)$$

Expresia obtinuta reprezinta formula lui Planck in coordonate relative. Se observa ca in aceasta formula apare numai o singura coordonata, ζ .

3.5.3 Radianta energetica a corpului cenusiu

Legile radiației termice prezentate anterior sunt valabile numai pentru corp negru, un corp care absoarbe integral radiația incidentă la suprafața sa, indiferent de lungimea de undă, de gradul de polarizare sau de unghiul de incidență a acesteia. În natură nu există corpuri capabile să absoarbă integral radiația incidentă, deci absorbanta acestor corpuri este $a_\lambda < 1$ și, conform legii lui Kirchhoff, radianta energetică spectrală r_λ va fi totdeauna mai mică decât radianta energetică spectrală a corpului negru aflat la aceeași temperatură absolută $r_\lambda < r_\lambda^{CN}$. Asemenea corpuri se numesc *radiatoare neintegrale*.

Radianta energetică a radiatorului neintegral depinde de proprietățile fizice și chimice ale suprafeței acestuia, proprietăți înglobate și exprimate prin *coeficientul de absorbție*.

Radiatoarele neintegrale se clasifică după distribuția spectrală a fluxului energetic emis în:

□ **corpul cenusiu**, (radiatorul neselectiv) caracterizat printr-o distribuție continuă a energiei radiante în spectru (fig.3.24). Curba radiantei spectrale r_λ^{CC} a corpului cenusiu este o funcție continuă de λ . Radianta energetică integrală a corpului cenusiu se exprimă prin integrala

$$R_{CC} = \int_0^{\infty} r_\lambda^{CC} d\lambda.$$

□ **corpul selective**, este caracterizat de o distribuție discontinuă de energie radiantă în spectru (energia este emisă în benzi) Radianta energetică integrală se exprimă cu suma

$$R_{CS} = \sum_{i=1}^n R_{ei} \Delta\lambda_i, \quad (3.39)$$

unde R_{ei} este radianta energetică corespunzătoare domeniului de lungime de undă $\Delta\lambda_i = \lambda_{i+1} - \lambda_i$

Corpul cenusiu este un corp a cărei radiație spectrală, pentru orice lungime de undă diferă printr-un factor constant față de radiația spectrală a corpului negru aflat la aceeași temperatură. Aceasta înseamnă că distribuția spectrală a radiației emise de corpul cenusiu, pentru fiecare lungime de undă, la oricare temperatură, este întotdeauna mai mică decât cea corespunzătoare corpului negru. Radianta spectrală a corpului cenusiu este determinată de capacitatea sa de absorbție $a_\lambda < 1$. Pentru corpul cenusiu sunt valabile toate legile radiației corpului negru, deoarece aceste radiații diferă numai ca intensitate printr-un factor constant, ce caracterizează absorbția de radiație și care nu depinde de lungimea de undă. De fapt, radiația corpului negru există în interiorul oricărui corp, însă datorită unor imperfecțiuni de transmitanță a suprafeței corpului, numai o parte din radiație trece în mediul exterior. Raportul

$$\varepsilon = \frac{R_e^{CC}}{R_e^{CN}},$$

se reprezintă *coeficient de emisie* (de radiație sau *emisivitate*) a corpului cenușiu.

Marimea R_e^{CN} este radianta integrală a corpului negru, R_e^{CC} - radianta integrală a corpului cenușiu, ambele corpuri fiind la aceeași temperatură absolută.

Scriind legea lui Kirchhoff pentru corpul cenușiu și pentru corpul negru, rezultă

$$\frac{R_e^{CC}}{A} = R_e^{CN} \quad \text{sau} \quad A = \varepsilon = \frac{R_e^{CC}}{R_e^{CN}},$$

adică coeficientul de emisie ε a corpului cenușiu este egal cu puterea sa de absorbție A .

Coeficientul de emisie ε depinde de tipul materialului din care este confecționat corpul, de modul de prelucrare și finisare a suprafețelor sale, de lungimea de undă a radiației emise și de temperatură. Valorile coeficientului ε pentru diferite tipuri de materiale, funcție de temperatură sunt prezentate într-o serie de lucrări [1,34,39].

Cunoscând valoarea coeficientului de emisie ε , se poate calcula radianta energetică integrală a unui corp cenușiu, utilizându-se formula

$$R_e^{CC} = \varepsilon \sigma T^4. \quad (3.40)$$

3.5.4 Radiația corpului selectiv

Corpul selectiv este acel corp a cărei radiație este emisă în anumite intervale sau benzi înguste ale spectrului. Radiația corpurilor selective, din a căror categorie fac parte aproape toate metalele, diferă de radiația corpului negru prin modul în care se distribuie energia radiantă în spectrul de emisie. Radianta corpului selectiv se poate determina aproximativ, într-un anumit domeniu spectral de emisie, cu ajutorul relației (3.39). Pentru un calcul exact al radiantei trebuie avut în vedere că factorul de absorbție $\alpha_{\lambda,T}$ a corpului selectiv depinde de lungimea de undă a radiației emise și de temperatura absolută a corpului.

În fig. 3.24 sunt reprezentate distribuțiile spectrale ale energiei radiate de un corp negru (1), un corp cenușiu (2) și un corp selectiv (3), toate aflate la aceeași temperatură. Se observă că radianta energetică spectrală a corpului cenușiu r_{λ}^{CC} , pentru

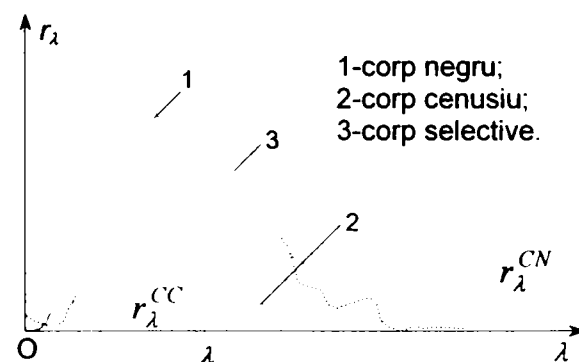


Fig. 3.24

orice lungime de unda λ , este mai mică decât radianta energetică spectrală a corpului negru r_{λ}^{CN} . De asemenea, curbele (1) și (2) sunt asemenea, raportul ordonatelor lor pentru un λ dat este constant și egal cu ε

$$\alpha = \frac{r_{\lambda}^{CC}}{r_{\lambda}^{CN}} = \frac{\mathcal{E}_{\lambda}^{CN}}{r_{\lambda}^{CN}} = \varepsilon.$$

Curba distribuției spectrale a energiei emise de corpul selectiv (curba 3) prezintă o serie de maxime și minime. Pentru caracterizarea emisiei corpului selectiv, se utilizează coeficientul spectral de emisie, cu T parametru

$$\varepsilon_{\lambda,T} = r_{\lambda,T}^{CS} / r_{\lambda,T}^{CN}, \quad (3.41)$$

unde $r_{\lambda,T}^{CS} = r_{\lambda,T}^{CC}$ este radianta spectrală a corpului selectiv, corespunzătoare lungimii de unda λ și egală cu radianta energetică spectrală a corpului cenușiu aflat la aceeași temperatură T . Cu ajutorul relației (3.40), coeficientul de emisie al unui corp real se poate exprima sub forma cea mai generală

$$\varepsilon = \frac{\int_0^{\infty} \varepsilon_{\lambda,T} r_{\lambda,T} d\lambda}{\int_0^{\infty} r_{\lambda,T} d\lambda} = \frac{1}{\sigma T^4} \int_0^{\infty} \varepsilon_{\lambda,T} r_{\lambda,T} d\lambda, \quad (3.42)$$

unde $\varepsilon_{\lambda,T}$ este coeficientul de emisie a suprafeței unui corp real cu temperatura T , $r_{\lambda,T}$ - radianta energetică spectrală a unui corp negru aflat la aceeași temperatură T . După valorile pe care le poate lua coeficientul de emisie $\varepsilon_{\lambda,T}$ în întregul domeniu spectral, pe baza relației (3.42) se poate face o clasificare a surselor de radiație:

- corpul negru (radiatorul integral), cu $\varepsilon_{\lambda,T} = 1$, pentru orice λ și T ;
- corpul cenușiu (radiatorul neintegral), cu $\varepsilon_{\lambda,T} < 1$ și constant pentru orice λ și T ;
- corpul selectiv (radiatorul selectiv), cu $\varepsilon_{\lambda,T}$ funcție de λ și T .

Dacă pentru un corp selectiv, coeficientul de emisie $\varepsilon_{\lambda,T}$ este constant într-un anumit domeniu spectral $\lambda_1 - \lambda_2$, și egal cu $\varepsilon < 1$, atunci acel corp poate fi analizat ca un corp cenușiu în intervalul spectral considerat. În fig.3.25 este prezentată curba $\varepsilon_{\lambda,T}$ pentru wolfram, la

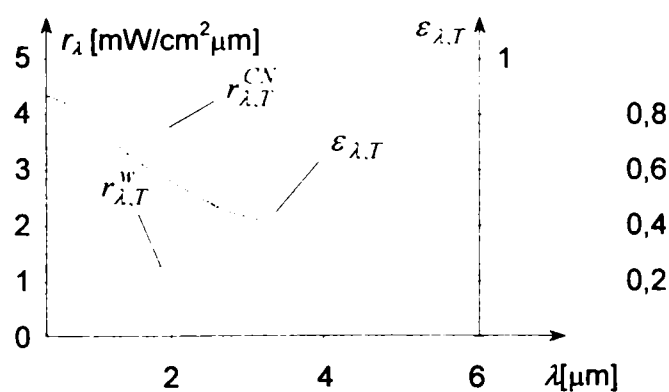


Fig. 3.25

temperatura de $T = 3100\text{K}$. Valorile lui $\varepsilon_{\lambda,T}$ se obtin impartind ordonatele curbei radiantei spectrale a wolframului la ordonatele corespunzatoare ale curbei radiantei energetice spectrale a corpului negru. Micsorarea continua a coeficientului de emisie $\varepsilon_{\lambda,T}$ la cresterea lungimii de unda este caracteristica majoritatii metalelor. Cu ajutorul curbelor din fig. 3.25 se poate determina grafic coeficientul de emisie integral al wolframului, raportand aria marginita de curba $r_{\lambda,T}^W$ a wolframului la aria marginita de curba $r_{\lambda,T}^{CN}$ a corpului negru.

3.5.5 Receptia radiatiei termice emisa de o sursa punctiforma

Se considera o sursa punctiforma S dispusa in originea unui sistem de axe carteziene si A_r o suprafata receptoare aflata la distanta r fata de sursa (fig.3.26).

Daca Φ_e este fluxul energetic emis de sursa punctiforma, atunci intensitatea energetica a radiatiei pe oricare directie este $I_e = \Phi_e / 4\pi$.

Se presupune ca sursa punctiforma S este un obiect cu dimensiunile neglijabile in raport cu distanta r, inasa are o suprafata A_S finita. In acest caz, fluxul energetic Φ_e emis de sursa considerata este $\Phi_e = \varepsilon \cdot \sigma \cdot T^4 \cdot A_S$, unde ε este coeficientul de emisie a suprafetei obiectului, $\sigma = 5,76 \cdot 10^{-12} [\text{w/m}^2]$ – constanta Stefan-Boltzman si T temperatura absoluta a obiectului.

Intensitatea energetica produsa de obiect pe directia SM

$$I_e = \frac{\Phi_e}{4\pi} = \frac{1}{4\pi} \varepsilon \cdot \sigma \cdot T^4 \cdot A_S.$$

Fluxul energetic elementar incident la suprafata A_r este

$$d\Phi_e = I_e d\Omega = I_e \frac{dA_r \cos \theta}{r^2},$$

unde θ este unghiul format de vectorii \vec{I}_e si

\vec{n} - normala la suprafata A_r in punctul M.

Integrand fluxul energetic elementar in limitele suprafetei A_r , se obtine fluxul energetic incident la suprafata receptoare

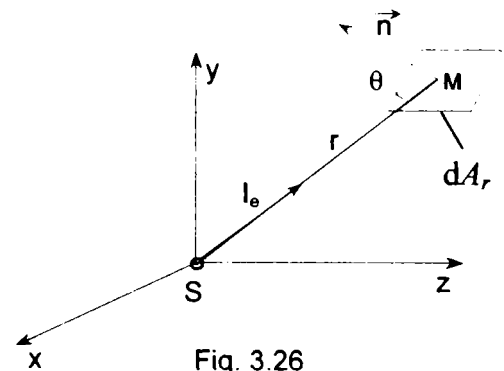


Fig. 3.26

$$\Phi_e = \iint_{A_r} I_e \frac{dA \cdot \cos \theta}{r^2} = \frac{\varepsilon \cdot \sigma \cdot T^4 \cdot A_S}{4\pi} \iint_{A_r} \frac{\cos \theta}{r^2} dA. \tag{3.43}$$

Pentru o suprafața receptoare de dimensiuni mici, în limitele careia unghiul θ și distanța r se pastrează aproximativ constante, din (3.43) rezulta

$$\Phi_e = \frac{\epsilon \cdot \sigma \cdot T^4 A_S \cos \theta}{4\pi r^2} A_r$$

Dacă suprafața A_r are dimensiuni pentru care aproximația făcută nu mai este adevărată, expresia (3.43) trebuie integrată în limitele suprafeței A_r .

Se consideră că suprafața A_r are forma unui disc de rază R_o (fig.3.27). Fluxul energetic elementar incident la suprafața A_r este

$$d\Phi_e = I_e \frac{dA \cos \theta}{r^2},$$

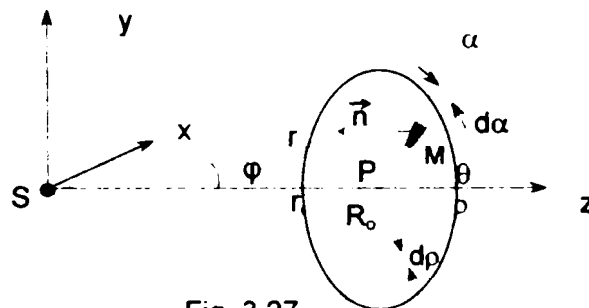


Fig. 3.27

$$\vec{r} = \rho \cdot \cos \alpha \vec{i} + \rho \cdot \sin \alpha \vec{j} + r_o \vec{k} \quad \text{și} \quad \vec{n} = \vec{k}$$

Expresia analitică a versorului vectorului \vec{r} este

$$\vec{u}_r = (\rho \cos \alpha \vec{i} + \rho \sin \alpha \vec{j} + r_o \vec{k})(\rho^2 + r_o^2)^{-1/2}, \text{ cu } |\vec{r}| = \sqrt{\rho^2 + r_o^2}.$$

Efectuând produsul scalar, se obține

$$\cos \theta = \vec{n} \cdot \vec{u}_r = \frac{r_o}{\sqrt{\rho^2 + r_o^2}}.$$

Fluxul energetic elementar incident la suprafața dA este

$$d\Phi_e = \frac{r_o I_e}{(\rho^2 + r_o^2)^{3/2}} \rho \cdot d\rho \cdot d\alpha.$$

Efectuând integrarea în limitele suprafeței A_r , se obține

$$\Phi_e = r_o I_e \int_0^{2\pi} d\alpha \int_0^{R_o} \frac{\rho \cdot d\rho}{(\rho^2 + r_o^2)^{3/2}} = \pi r_o I_e \left(\frac{1}{r_o} - \frac{1}{\sqrt{r_o^2 + R_o^2}} \right),$$

sau cu (3.436), rezulta

$$\Phi_e = \frac{\epsilon \cdot \sigma \cdot T^4 A_S}{2} \left(1 - \frac{r_o}{\sqrt{r_o^2 + R_o^2}} \right).$$

Dacă $r_o \gg R_o$, atunci se poate folosi aproximația

$$\frac{r_o}{\sqrt{r_o^2 + R_o^2}} = \frac{1}{\sqrt{1 + \left(\frac{R_o}{r_o}\right)^2}} \cong 1 - \frac{1}{2} \left(\frac{R_o}{r_o}\right)^2 + \dots,$$

sau

$$\Phi_e = \frac{\epsilon \cdot \sigma \cdot T^4 A_S}{4} \left(\frac{R_o}{r_o} \right)^2 = \frac{\epsilon \cdot \sigma \cdot T^4 A_S A_r}{4\pi}$$

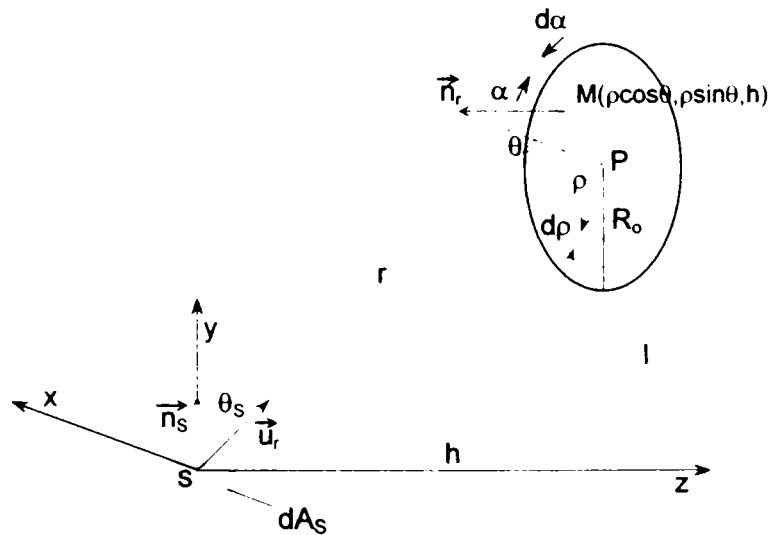
3.5.6 Receptia radiatiei termice emise de o sursă de suprafață finită

Se considera ca sursa termică are o mica suprafata plana de arie A_S , cu temperatura absoluta T (fig.3.28). Radianta energetica a suprafetei este: $R_e = \epsilon \cdot \sigma \cdot T^4$.

Straluncirea energetica a suprafetei A_S este: $B_e = \frac{\epsilon \cdot \sigma \cdot T^4}{\pi}$.

Intensitatea energetică a sursei dupa directia θ_S este: $I_{\theta_S} = B_e A_S \cos \theta_S$

Fig. 3.28



De asemenea, din fig. 3.28 mai rezulta

$$\vec{r} = \rho \cos \alpha \vec{i} + (\rho \sin \alpha + l) \vec{j} + h \vec{k} \text{ si } \vec{n}_r = \vec{k}$$

Versorul directiei sursa-receptor are expresia

$$\vec{u}_R = \frac{\rho \cos \alpha \vec{i} + (\rho \sin \alpha + l) \vec{j} + h \vec{k}}{\sqrt{\rho^2 + 2\rho l \sin \alpha + l^2 + h^2}}$$

deci, rezulta

$$\cos \theta_r = \frac{h}{\sqrt{\rho^2 + 2\rho l \sin \alpha + l^2 + h^2}}$$

Se observa ca odata cu deplasarea punctului M pe suprafata A_R si unghiul θ_S se modifica dupa relatia

$$\cos\theta_S = \vec{n}_S \cdot \vec{u}_R = \frac{\rho \sin\alpha + l}{\sqrt{\rho^2 + 2\rho l \sin\alpha + l^2 + h^2}}$$

Intensitatea energetica a sursei dupa directia \vec{u}_R este

$$I_{\theta_S} = \frac{\varepsilon \cdot \sigma \cdot T^4 \cdot A_S}{\pi} \cos\theta_S = \frac{\varepsilon \cdot \sigma \cdot T^4 \cdot A_S}{\pi} \frac{\rho \cdot \sin\alpha + l}{\sqrt{\rho^2 + 2\rho l \sin\alpha + l^2 + h^2}},$$

sau

$$d\Phi_e = \frac{\varepsilon \cdot \sigma \cdot T^4 \cdot A_S}{\pi} \cdot \frac{\rho \cdot \sin\alpha + l}{\sqrt{\rho^2 + 2\rho l \cdot \sin\alpha + l^2 + h^2}} \frac{\rho d\rho \cdot d\alpha}{(\rho^2 + 2\rho l \sin\alpha + l^2 + h^2)^{3/2}}$$

Efectand integrarea in limitele suprafetei A_R , rezulta

$$\Phi_e = \frac{\varepsilon \cdot \sigma \cdot T^4 \cdot A_S}{\pi} \int_0^{R_o} \rho d\rho \int_0^{2\pi} \frac{(\rho \sin\alpha + l) d\alpha}{(\rho^2 + l^2 + h^2 + 2\rho l \sin\alpha)^2} = \frac{\varepsilon \cdot \sigma \cdot T^4 \cdot A_S}{\pi} \left[\frac{h^2 + R_o^2 + l^2}{\sqrt{h^2 - 3R_o^2 + l^2}} - 1 \right]$$

3.6 Caracteristica polara a intensitatii energetice a radiatiei sursei anizotrope

3.6.1 Consideratii generale

Calculul oricarui sistem de localizare a obiectelor din teren se incepe cu evaluarea intensitatii energetice I_e a unui flux emis de aceste obiecte in directia receptorului de radiatie.

In general, calculul acestei intensitati reprezinta o problema dificila deoarece marimea si directivitatea radiatiei emise de un corp depinde de natura suprafetei corpului, de starea suprafetei acestuia (grad de prelucrare si oxidare), de temperatura absoluta a corpului, precum si de orientarea acestuia in raport cu receptorul de radiatie.

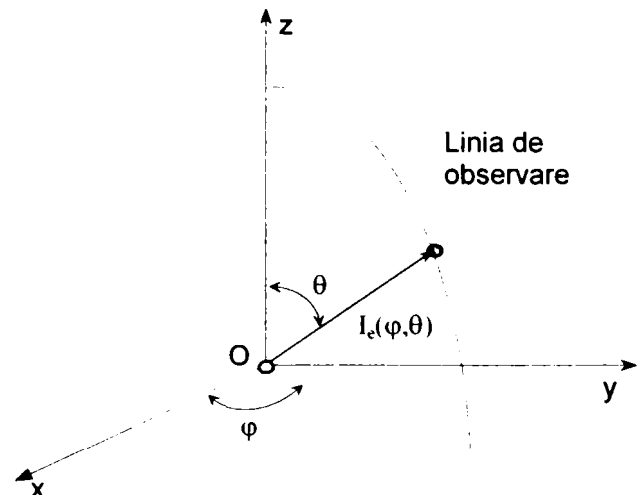


Fig.3.29

Raportand obiectul la un sistem de coordonate polare spatiale (fig.3.29), intensitatea energetica va fi o functie de coordonatele polare (φ, θ) , adica are forma $I_e = I(\varphi, \theta)$ si se numeste *caracteristica spatiala a intensitatii de radiatie*. Intrucat este dificila reprezentarea grafica a

funcției $I_e = I(\varphi, \theta)$, în practică sunt folosite familiile de curbe plane obținute din $I(\varphi, \theta)$ pentru $\varphi = \text{const.}$ și θ variabil, sau invers. Aceste curbe reprezintă *caracteristica polara a intensității energetice* a obiectului (sursa anizotropă).

Determinarea caracteristicii $I(\varphi, \theta)$ a unui obiect din teren se face pe baza următoarelor ipoteze simplificatoare:

- Obiectul este considerat un corp cenușiu cu o radianță integrală egală cu

$$R_e = \varepsilon \sigma T^4, \quad (3.44)$$

unde ε reprezintă coeficientul de emisie a suprafeței obiectului; $\sigma = 5,76 \cdot 10^{-12} [\text{Wcm}^2\mu\text{m}^{-4}]$ constanta Stefan-Boltzman și T – temperatura absolută a obiectului;

- Luminanța (stralucirea) energetică a suprafeței obiectului este o mărime constantă, ce depinde numai de temperatura absolută T și este independentă de unghiurile φ și θ . Întrucât majoritatea obiectelor din teren respectă aceste condiții în anumite limite ale domeniului spectral, radiația emisă de ele se supune legii lui Lambert și prezintă o intensitate energetică I a suprafeței, în direcția de observare, egală cu

$$I = I_o \cos \alpha, \quad (3.45)$$

unde I_o este intensitatea energetică a radiației emise în direcția normală la suprafață, α - unghiul format de normala la suprafață cu linia de observare. Întrucât luminanța B a suprafeței este constantă, intensitatea energetică a radiației emise de suprafață, în direcția normalei este

$$I_o = BS. \quad (3.46)$$

Combinând relațiile (3.45) și (3.46), rezultă

$$I = BS \cos \alpha = BS_a, \quad (3.47)$$

unde $S_a = S \cos \alpha$ este *suprafața aparentă*, adică suprafața “văzută” în direcția *liniei de observare* (proiecția suprafeței S pe un plan normal pe linia de observare).

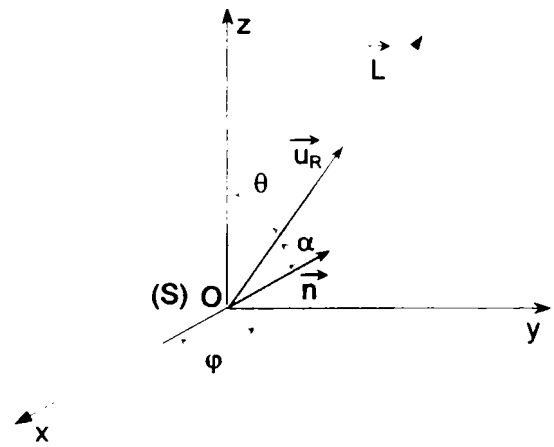


Fig. 3.30

3.6.2 Calculul analitic al factorului $\cos \alpha$

Marimea $\cos \alpha$ din relația (3.47) se poate obține din produsul scalar a doi vectori:

- \vec{u}_R , versorul (vector unitate) liniei de observare $\{\vec{L}\}$, orientat spre receptorul de radiație (fig.3.30) și care, într-un sistem cartezian de axe, are expresia

$$\vec{u}_R = \cos \varphi \cdot \sin \theta \vec{u}_x + \sin \varphi \cdot \sin \theta \vec{u}_y + \cos \theta \vec{u}_z,$$

unde \vec{u}_x, \vec{u}_y si \vec{u}_z sunt versorii triedrului la care s-a raportat suprafata (S);

- \vec{n} este versorul normalei la suprafata (S) si orientat in sensul de propagare a radiatiei emise de aceasta suprafata. Are expresia

$$\vec{n} = n_x \vec{u}_x + n_y \vec{u}_y + n_z \vec{u}_z,$$

unde n_x, n_y si n_z sunt componentele versorului \vec{n} in referentialul ales si depind de orientarea suprafetei (S) in raport cu acesta.

Efectuand produsul scalar intre versorii \vec{n} si \vec{u}_R , rezulta

$$\vec{u}_R \vec{n} = \cos \alpha = n_x \cos \varphi \cdot \cos \theta + n_y \sin \varphi \cdot \sin \theta + n_z \cos \theta.$$

Inlocuind expresia marimii $\cos \alpha$ in expresia (3.47), se obtine

$$I(\varphi, \theta) = BS(n_x \cos \varphi \cdot \cos \theta + n_y \sin \varphi \cdot \sin \theta + n_z \cos \theta),$$

unde B este luminanta energetica (stralucirea) suprafetei S, aceeasi in toate directiile si (φ, θ) parametrii directori ai liniei de observatie.

Pentru diferite valori ale parametrilor (φ, θ) se obtin caracteristicile polare $I_e(\varphi, \theta)$, in diferite planuri, ale suprafetei analizate. Daca din punctul de observatie se vad k suprafete aparente ale obiectului, atunci caracteristica polara $I_e(\varphi, \theta)$ a obiectului analizat are expresia

$$I_e(\varphi, \theta) = \sum_{i=1}^k B_i S_i (n_{xi} \cos \varphi \cdot \sin \theta + n_{yi} \sin \varphi \cdot \sin \theta + n_{zi} \cos \theta), \quad (3.48)$$

unde S_i reprezinta suprafata de ordinul "i" a obiectului, iar B_i – stralucirea corespunzatoare.

Relatia (3.48) este adevarata pentru cazul in care distanta obiect-punct de observatie este suficient de mare, astfel incat, la trecerea de la o suprafata la alta, variatia unghiurilor (φ, θ) este neglijabila.

3.6.3 Determinarea caracteristicii $I_e(\varphi, \theta)$ pentru un cub

Se considera un cub (fig.3.31) cu latura a si cu temperatura T si care radiaza prin toate fetele, mai puțin fetele afișate în planul xOy. Stralucirea energetică a tuturor fetelor a cubului este B , aceeasi in orice directie, si

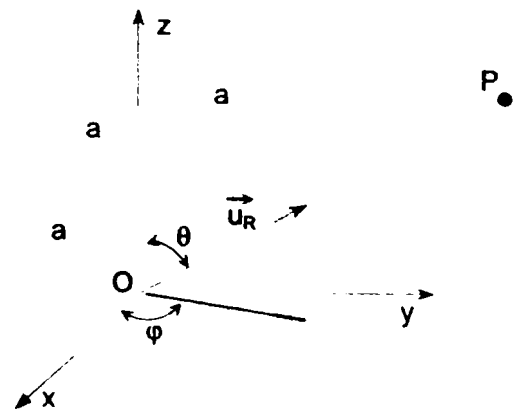


Fig. 3.31

conform relației (3.59) este egală cu $B = \varepsilon\sigma T^4$, unde ε este coeficientul de emisie al materialului din care este confecționat cubul și $\sigma = 5,87 \text{ [W/cm}^2\text{K}^4\text{]}$ – constanta lui Stefan-Boltzman.

Pentru $0 < \varphi < \pi/2$ și $0 < \theta < \pi/2$, $n_x = n_y = n_z = 1$, iar din (3.65), rezulta

$$I_e(\varphi, \theta) = a^2 B(\cos \varphi \cdot \cos \theta + \sin \varphi \cdot \sin \theta + \cos \varphi). \quad (3.49)$$

Relatia (3.49) se poate scrie și sub forma

$$I_e(\varphi, \theta) = I_{ox} \cos \varphi \cdot \sin \theta + I_{oy} \sin \varphi \sin \theta + I_{oz} \cos \theta, \quad (3.50)$$

unde $I_{ox} = I_{oy} = I_{oz} = a^2 B$ – intensitatea energetică a radiației emise de suprafețele cubului, pe direcțiile x, y și z.

Pentru $\theta = \pi/2$, se obține caracteristica $I_e(\varphi, \theta)$ în planul xOy

$$I_e(\varphi) = I_{ox} \cos \varphi + I_{oy} \sin \varphi. \quad (3.51)$$

Dupa câteva transformări trigonometrice, relația (3.51) devine

$$I_e(\varphi) = \sqrt{I_{ox}^2 + I_{oy}^2} \cos(\varphi - \alpha), \quad (3.52)$$

unde $\alpha = \arctg \frac{I_{oy}}{I_{ox}} = \frac{\pi}{4}$. Relația (3.52) reprezintă

ecuația unui cerc, care trece prin punctul O, de rază

$$r = \frac{1}{2} \sqrt{I_{ox}^2 + I_{oy}^2} = \frac{\sqrt{2}}{2} a^2 B, \text{ cu centrul dispus pe}$$

dreapta $\varphi = \pi/4$.

Ecuația caracteristicii polare $I_e(\varphi, \theta)$ a cubului, în sistemul de coordonate ales, este

$$I_x^2 + I_y^2 - I_{xo}I_x - I_{yo}I_y = 0 \quad (3.53)$$

și este reprezentată în fig. 3.32.

În mod identic, se reprezintă caracteristicile $I_e(\varphi, \theta)$ în planurile yOz și xOz. Aceste caracteristici sunt cercuri, cu următoarele ecuații

$$I_y^2 + I_z^2 - I_{yo}I_y - I_{zo}I_z = 0,$$

$$I_x^2 + I_y^2 - I_{xo}I_x - I_{yo}I_y = 0,$$

asemănătoare cu ecuația (3.71).

De aici rezulta că cele trei cercuri aparțin sferei ce trece prin punctul O, de ecuație

$$I_x^2 + I_y^2 + I_z^2 - I_{xo}I_x - I_{yo}I_y - I_{zo}I_z = 0,$$

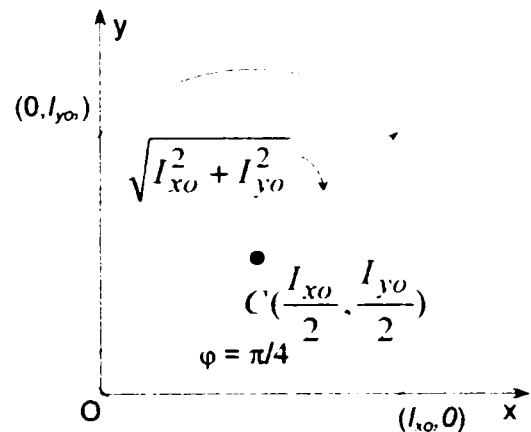
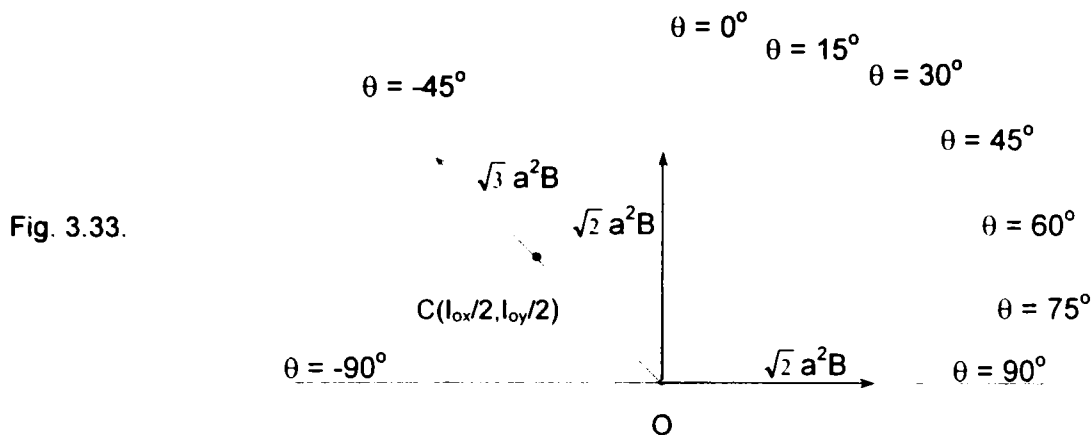


Fig.3.32



cu raza $R = \frac{1}{2} \sqrt{I_{x0}^2 + I_{y0}^2 + I_{z0}^2} = \frac{\sqrt{3}}{2} a^2 B$ și cu centrul dispus pe diagonala principala a cubului, în punctul $C(\frac{I_{x0}}{2}, \frac{I_{y0}}{2}, \frac{I_{z0}}{2})$, care reprezintă de fapt, direcția după care radiația este maximă și are mărimea $I_{\max} = \sqrt{3} a^2 B$.

Pentru a demonstra această afirmație, se determină unghiurile φ și θ după care $I_e(\varphi, \theta)$ prezintă un maxim. Rezultă, $\frac{\partial I(\varphi, \theta)}{\partial \varphi} = 0$ pentru $\varphi = \frac{\pi}{4}$ și $\frac{\partial I(\varphi, \theta)}{\partial \theta} \Big|_{\varphi = \frac{\pi}{4}} = 0$, pentru

$\theta = \arctg \sqrt{2}$, adică diagonala principală a cubului.

Pentru a ridica caracteristica polară $I_e(\varphi, \theta)$ a cubului, din punctul O (fig. 3.31) se duc raze vectoriale cu lungimi proporționale cu mărimea I_e calculată cu relația (3.50), pentru diferite valori φ și θ). Înșurătorarea extremităților acestor raze va reprezenta caracteristica polară a intensității energetice a cubului, în planurile θ_0 și φ_0 constante. În fig. 3.33 s-a ridicat caracteristica polară a cubului, într-un plan vertical pentru $\varphi_0 = 45^\circ$ și $\theta = 0^\circ, 15^\circ, 30^\circ, 45^\circ, 60^\circ, 75^\circ, 90^\circ$.

3.6.4 Determinarea caracteristicii

polare $I(\varphi, \theta)$ a unui tetraedru

Se consideră ca trei fețe ale tetraedrului coincid cu planurile coordonate ale sistemului ortogonal $xyzo$. A patra față este un plan oarecare, cu orientarea determinată de versorul normalei \vec{n} . Orientarea acestei normale este în sensul în care suprafața ABC emite radiația (fig. 3.34).

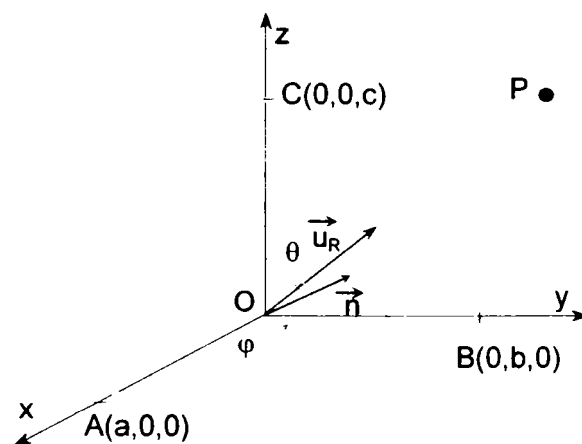


Fig. 3.34.

Ecuatia planului ABC prin taieturi este: $\frac{x}{a} + \frac{y}{b} + \frac{z}{c} = 1$.

Normala \vec{N} a planului ABC se obtine din produsul vectorial $\vec{N} = \vec{AB} \times \vec{AC}$, sau

$$\vec{N} = \begin{vmatrix} \vec{u}_x & \vec{u}_y & \vec{u}_z \\ -a & b & 0 \\ -a & 0 & c \end{vmatrix} = bc\vec{u}_x + ac\vec{u}_y + ab\vec{u}_z,$$

cu versorul

$$\vec{n} = \frac{\vec{N}}{N} = \frac{bc\vec{u}_x + ac\vec{u}_y + ab\vec{u}_z}{\sqrt{a^2b^2 + a^2c^2 + b^2c^2}},$$

Vectorul unitate al directiei de observatie este

$$\vec{u}_R = \cos \varphi \cdot \sin \theta \vec{u}_x + \sin \varphi \cdot \sin \theta \vec{u}_y + \cos \theta \vec{u}_z.$$

Efectuand produsul scalar intre versorii \vec{n} si \vec{u}_R , se obtine

$$\cos \alpha = \vec{n} \cdot \vec{u}_R = \frac{bc \cdot \sin \theta \cdot \cos \varphi + ac \cdot \sin \theta \cdot \sin \varphi + ab \cdot \cos \theta}{\sqrt{b^2c^2 + a^2c^2 + a^2b^2}}.$$

Se noteaza cu $S_x = \frac{bc}{2}$, $S_y = \frac{ac}{2}$, $S_z = \frac{ab}{2}$, proiectiile ariei S_{ABC} pe planurile de coordonare. Conform relatiei $S_{ABC}^2 = S_x^2 + S_y^2 + S_z^2$, rezulta

$$\cos \alpha = \frac{1}{S_{ABC}} [S_x \cdot \sin \theta \cdot \cos \varphi + S_y \cdot \sin \theta \cdot \sin \varphi + S_z \cdot \cos \theta]$$

si dupa inlocuire in relatia (3.48), se obtine

$$I_e(\varphi, \theta) = BS \cos \alpha = B[S_x \cdot \sin \theta \cdot \cos \varphi + S_y \cdot \sin \theta \cdot \sin \varphi + S_z \cdot \cos \theta]. \quad (3.54)$$

Se noteaza $I_{ox} = BS_x$, $I_{oy} = BS_y$, $I_{oz} = BS_z$ si dupa

inlocuire in relatia (3.54), rezulta,

$$I_e(\varphi, \theta) = I_{ox} \sin \theta \cdot \cos \varphi + I_{oy} \sin \theta \cdot \sin \varphi + I_{oz} \cos \theta, \quad (3.55)$$

expresie care reprezinta ecuatia unei sfere (fig. 3.35)

cu centrul in $C(I_{ox}/2, I_{oy}/2, I_{oz}/2)$ si care trece

prin punctul $O(0,0,0)$.

Pentru $\theta = \pi/2$, se obtine

$$I_e(\varphi) \Big|_{\theta=\pi/2} = I_{ox} \cos \varphi + I_{oy} \sin \varphi = \sqrt{I_{ox}^2 + I_{oy}^2} \cos(\varphi - \beta),$$

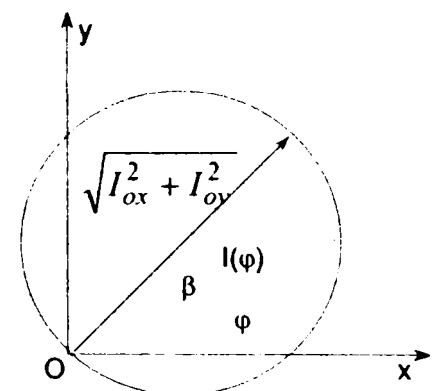


Fig. 3.35.

unde $\beta = \operatorname{arctg} \frac{I_{oy}}{I_{ox}}$.

Directia pentru care intensitatea energetica a suprafetei ABC are valoare maxima se obtine anuland derivatele partiale in raport cu variabilele θ si φ ale functiei $I_e(\varphi, \theta)$.

Calculand derivata partiala a functiei $I_e(\varphi, \theta)$ in raport cu variabila θ si dupa anularea ei, rezulta

$$\frac{\partial I(\varphi, \theta)}{\partial \theta} = I_{ox} \cos \varphi \cdot \cos \theta + I_{oy} \sin \varphi \cdot \cos \theta - I_{oz} \sin \theta = 0,$$

sau

$$\operatorname{tg} \theta = \frac{I_{ox}}{I_{oz}} \cos \varphi + \frac{I_{oy}}{I_{oz}} \sin \varphi = \frac{\sqrt{I_{ox}^2 + I_{oy}^2}}{I_{oz}} \cos(\varphi - \gamma), \quad (3.56)$$

unde $\gamma = \arccos \frac{I_{ox}}{\sqrt{I_{ox}^2 + I_{oy}^2}}$. Repetand calculele si pentru derivata partiala a functiei $I_e(\varphi, \theta)$ in

raport cu variabila φ , se obtine: $\frac{\partial I(\varphi, \theta)}{\partial \varphi} = -I_{ox} \sin \varphi \cdot \sin \theta + I_{oy} \cos \varphi \cdot \sin \theta = 0$, sau

$$\operatorname{tg} \varphi_m = \frac{I_{oy}}{I_{ox}}. \quad (3.57)$$

Dupa inlocuirea expresiilor (3.56) si (3.57) in (3.55) si efectuarea unor transformari trigonometrice, se obtine

$$I_{em} = \cos \theta_m \left[\operatorname{tg} \theta_m \cdot \cos \varphi_m (I_{ox} + I_{oy} \operatorname{tg} \varphi_m) + I_{oz} \right] = \sqrt{I_{ox}^2 + I_{oy}^2 + I_{oz}^2}. \quad (3.58)$$

Din relatia (3.58) rezulta ca intensitatea energetica maxima I_{em} a suprafetei ABC se obtine dupa directia diagonalei principale a paralelipipedului cu laturile I_{ox} , I_{oy} , I_{oz} si are marimea egala cu lungimea acestei diagonale.

3.6.5 Determinarea caracteristicii polare $I(\varphi, \theta)$ pentru o semisfera

Se numeste *fus sferic* (fig. 3.36) portiunea din suprafata sferei cuprinsa intre doua semicercuri mari care au diametrul comun AA' . Unghiul diedru al fusului sferic este unghiul format de planurile celor doua semicercuri.

Se imparte suprafata fusului sferic in elemente de suprafata dA . Marimea ariei unui element de suprafata este $dA = R^2 \cos \varphi \cdot d\varphi \cdot d\theta$, unde $d\theta$ este marimea unghiului fusului sferic.

Intensitatea energetica a radiatiei emise de elementul de suprafata pe o directie normala la aceasta este $dI_n = b_o dA = b_o R^2 \cos \varphi . d\varphi . d\theta$.

Intensitatea energetica a elementului de suprafata dupa directia Ox (directia de observatie)

$$dI_\varphi = dI_n \cos \varphi = b_o R^2 \cos^2 \varphi . d\varphi . d\theta .$$

Intensitatea energetica emisa de suprafata fusului sferic, in directia axei Ox, este

$$I_o = b_o R^2 d\theta \int_{-\frac{\pi}{2}}^{\frac{\pi}{2}} \cos^2 \varphi . d\varphi = \frac{\pi}{2} b_o R^2 d\theta .$$

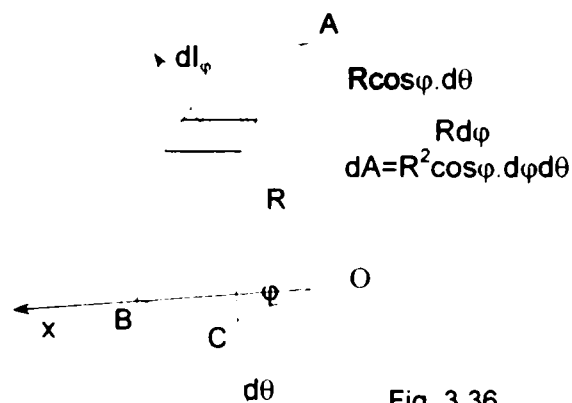


Fig. 3.36

Datorita simetriei, se poate alege sistemul de coordonate astfel incat linia de observare Oξ sa fie cuprinsa in planul xOz. Fie θ₀ (fig. 3.37) unghiul facut de linia Oξ cu axa Oz.

Un element de arie dA aflat pe suprafata unui fus sferic are marimea

$$dA = R^2 \cos \varphi . d\varphi . d\theta .$$

Intensitatea energetica in directia normala a elementului de arie considerat este

$$dI_n = b_o dA = b_o R^2 \cos \varphi . d\varphi . d\theta .$$

Intensitatea energetica a unui element de arie in directia definita prin unghiurile φ si θ este

$$dI_{\varphi,\theta} = dI_n \cos \varphi . \cos(\theta - \theta_o) = b_o R^2 \cos^2 \varphi . \cos(\theta - \theta_o) d\theta .$$

Fig. 3.37

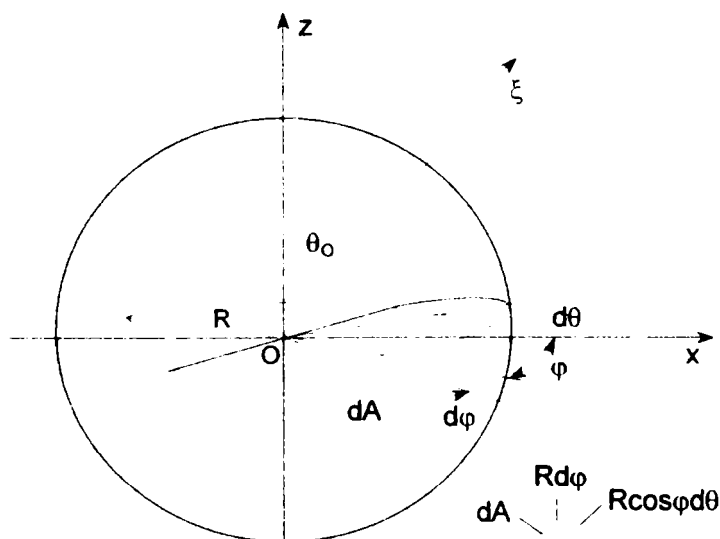
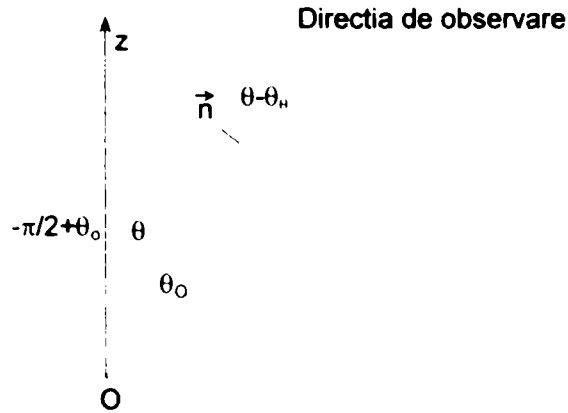


Fig.3.38.



Ultimile elemente de arie care radiaza in directia Oξ sunt dispuse pe circumferinta unui cerc mare al carui plan face unghiul $-\pi/2 + \theta_0$ cu axa Oz (fig.3.38)

Intensitatea energetica emisa de suprafata emisferei in directia Oξ este

$$I(\theta) = b_o R^2 \int_{-\frac{\pi}{2}}^{\frac{\pi}{2}} \cos^2 \varphi .d\varphi \int_{-\frac{\pi}{2}+\theta}^{\frac{\pi}{2}} \cos(\theta - \theta_o) d\theta = b_o R^2 \frac{\pi}{2} (\cos \theta_o + 1). \quad (3.78)$$

Relatia (3.78) reprezinta caracteristica polara de radiatie a unei emisfere. Se observa ca $I(\theta)$ nu depinde de unghiul φ . Daca se considera o sfera, atunci intensitatea energetica a radiatiei emise in directia Oξ este

$$I(\theta_o) = b_o R^2 \int_{-\frac{\pi}{2}}^{\frac{\pi}{2}} \cos^2 \varphi .d\varphi \int_{-\frac{\pi}{2}+\theta}^{\frac{\pi}{2}+\theta} \cos(\theta - \theta_o) d\theta = \pi b_o R^2. \quad (3.79)$$

Din relatia (3.79) rezulta ca intensitatea energetica a radiatiei emise de o sfera in directia Oξ este independenta de unghiurile φ_o si θ_o .

Intensitatea energetica a radiatiei emise de un sfert de sfera este

$$I(\theta) = \frac{\pi}{2} b_o R^2 \int_0^{\frac{\pi}{2}} \cos(\theta - \theta_o) d\theta ,$$

sau dupa efectuarea integralei, se obtine

$$I(\theta) = \frac{\pi}{2} R^2 b_o [\cos \theta_o + \sin \theta_o].$$

3.7 Concluzii și contribuții originale

În acest capitol sunt abordate și rezolvate o parte din problemele specifice pe care le ridică studiul procesului de emisie a radiației termice de către o structură macroscopică, de propagare în spațiu și de interacțiunea a acesteia cu o suprafață receptoare. Au fost stabilite principalele mărimi energetice specifice stării radiante din spațiu la emisia, la propagarea și la recepția radiației termice. La definirea acestor mărimi radiante s-a utilizat un model al câmpului de radiație în care se face abstracție de natura radiației și de purtătoarea ei – unda electromagnetică. Construcția modelului se bazează pe noțiunile de sursă punctiformă și de rază optică. În continuare sunt stabilite și evidențiate principalele proprietăți ale radiației emise de o sursă punctiformă și, pe baza lor se construiește modelul sursei termice de suprafață elementară, model care permite stabilirea unei metode generale de calcul a mărimilor radiometrice caracteristice radiației emise de orice suprafață termoradiantă:

- flux energetic, radianță energetică, la emisie;
- intensitate energetică, în propagare;
- iluminare energetică la recepție.

În continuare sunt prezentate și analizate într-o formă unitară legile de propagare ale radiației termice și legile radiației termice de echilibru. Pe baza consecințelor rezultate din aceste legi sunt rezolvate o serie de probleme care privesc radiația termică emisă de o sursă termoradiantă. De asemenea, sunt analizate cazurile surselor radiante de tipul corpului negru, corpului cenușiu și a corpului selectiv, toate materializate prin suprafețe radiante de forme geometrice diferite și sunt abordate o serie de probleme, din care se amintesc: - radianța și strălucirea energetică a surselor termice cu temperatura absolută T ; - fluxul și intensitatea energetică a radiației termice de echilibru; - iluminarea energetică a unei suprafețe receptoare, toate analizate pentru cazul când sursa termoradiantă este punctiformă sau de suprafață finită.

În încheierea capitolului este tratată problematica caracteristicii polare a surselor termice anizotrope și este prezentată o metodă de calcul analitic a acestei caracteristici. Sunt analizate surse termoradiante cu diferite forme geometrice spațiale și sunt determinate cele mai importante caracteristici energetice ale radiației emise acestea.

Contribuții: În cadrul capitolului 3 sunt abordate și tratate într-o formă unitară și riguroasă probleme legate de unele aspecte ale procesului de emisie, de transmisie neghidată și de interacțiune cu o suprafață receptoare a radiației emise de o sursă termoradiantă de dimensiuni finite. Pentru a răspunde problemelor enunțate, în lucrare sunt aprofundate și dezvoltate într-o manieră originală o serie de teme, din care se amintesc:

- Se definește conceptul de sursă termică punctiformă și sunt stabilite principalele proprietăți ale radiației emise de o asemenea sursă, spectrul radiației termice emise, precum și fluxul radiant al sursei punctiforme printr-o suprafață receptoare. Studiul este făcut pentru cazul general, când sursa punctiformă este dispusă lateral față de axa receptorului și un caz particular - sursa punctiformă se găsește pe axa receptorului;

- Pe baza modelului sursei termice de suprafață elementară sunt evidențiate semnificația și particularitățile mărimilor energetice ale radiației termice: - flux energetic și radianță energetică, la emisie; - intensitate și strălucire energetică în propagarea neșhidată a radiației și iluminare energetică produsă de radiație la recepție. Prin calcul au fost determinate mărimile energetice specifice radiației termice emise de surse termoradiante de o anumită formă geometrică, mărimile energetice specifice radiației termice în propagare neșhidată și la recepția acesteia de către o suprafață receptoare. Pentru efectuarea calculului s-a considerat că suprafața fiecărei surse termice reprezintă un ansamblu de surse termice elementare;

- Pe baza consecințelor rezultate din legile de propagare ale radiației termice și din legile radiației termice de echilibru sunt prezentate metode originale de calcul a marimilor radiometrice specifice radiației termice emise de surse termoradiante cu o anumită configurație geometrică. De asemenea este analizat și cazul când sursa emite într-un anumit domeniu spectral, sau când aceasta este un corp negru, un corp cenușiu sau un corp selectiv.

În încheiere este studiată problema caracteristicii polare a unei surse termoradiante (radiației emise de sursă pe o anumită direcție) și se prezintă o metodă originală care permite determinarea acestei caracteristici pentru surse termoradiante cu o anumită configurație geometrică.

Bibliografie:

[A2],[A3],[B1],[B2],[B6],[B7],[C2],[C3],[C4],[C5],[C6],[C7],[C9],[C12],[C15],[D5],[D6],[D7],[D9],[D10],[D11],[D12],[D14],[D15],[D16],[D17],[D18],[D19],[D20],[G2],[G3],[G5],[G8],[G9],[G10],[G14],[G16],[H1],[H2],[H3],[H4],[H5],[I1],[J1],[J3],[K5],[K6],[K7],[K8],[L1],[L3],[L4],[N2],[P1],[P2],[P2],[P3],[S2],[S3],[S4],[T1],[R2],[T3],[T4],[Z2],[Z3],[Z4].

CAP. 4

SEMNALE OPTICE ȘI
TRANSMISIA ACESTORA
PRIN DIAFRAGME
MODULATORIE

4.1 Modelul sistemului de transmisie optica a informatiei

4.1.1 Consideratii generale

Principala destinatie a sistemelor optoelectronice de observare si descoperire este obtinerea unor informatii cat mai complete despre obiectele din teren. Aceste informatii se refera la existenta, pozitia, dimensiunile geometrice, temperatura sau eventuale deplasari ale obiectelor si sunt transmise la utilizator cu ajutorul semnalelor optice.

In general, procesul de formare, transmisie, receptie si prelucrare a semnalelor optice in vederea obtinerii informatiei utile se desfasoara conform schemei din fig. 4.1.

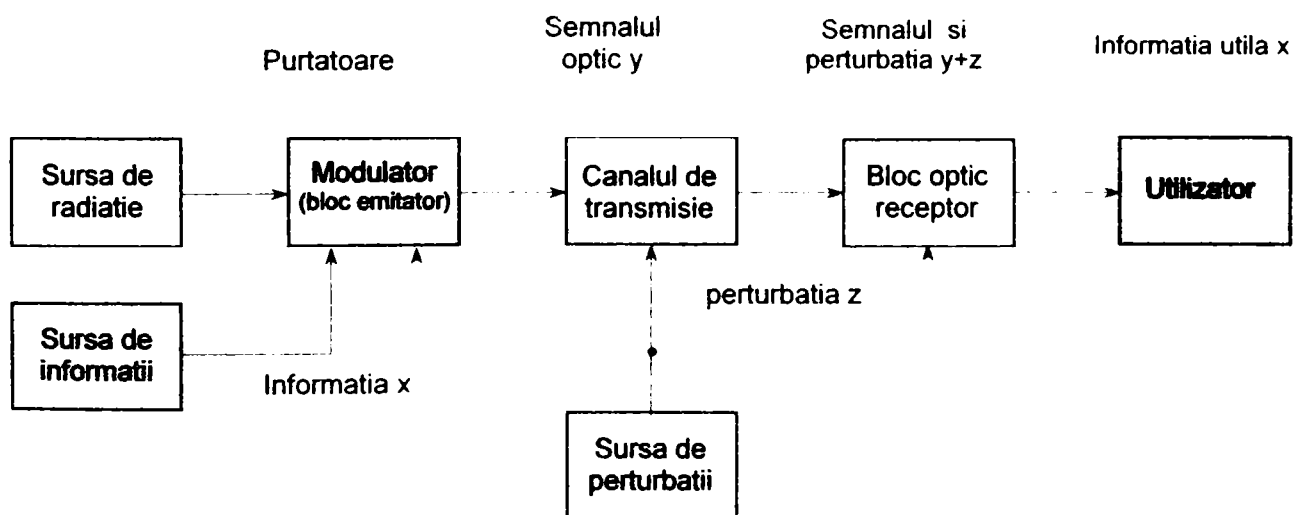


Fig. 4.1

Pentru a ajunge la utilizator, informatia x produsa de sursa de informatii, este transpusa pe o purtatoare de informatie – o marime fizica capabila sa se propage prin canalul de transmisie, sa fie receptionata si prelucrata de receptor.

Transpunerea informației pe purtătoare se realizează cu ajutorul dispozitivului *modulator* care modifică unul sau mai mulți parametri caracteristici ai purtătoarei în ritmul de variație a *semnalului de transmisie*. La ieșirea modulatorului (blocului emitor) se obține mărimea fizică y - *semnal optic modulat*. Întrucât orice obiect sau fenomen din natură pune în evidență o mărime fizică, rezultă că, informația despre valoarea x a acestei mărimi poate fi asociată cu valoarea y a semnalului optic transmis, cu condiția ca între cele două mărimi să existe o corespondență biunivocă, adică $y = f(x)$. Această relație poate avea loc atât pentru valori continue cât și pentru valori discrete, obținute pe baza unui proces ce cuprinde trei operații: *transformarea (conversia)*, *codificarea* și *modularea*, efectuate succesiv sau simultan cu dispozitive optoelectronice adecvate.

Canalul de transmisie al semnalului optic reprezintă calea de legătură între blocul emitor (sursa de radiație) și blocul optic receptor. Transmisia (propagarea) ne ghidată a semnalelor optice prin atmosferă este influențată de existența parazitilor interni și externi canalului de transmisie care limitează cantitatea de informație transmisă. Parazitii formează semnalul perturbator $n(r,t)$ care, în timpul propagării semnalului optic se însumează cu acesta. Funcționarea sistemului de recepție este asigurată dacă raportul semnal util/zgomot are o valoare supraunitară.

În cazul sistemelor optoelectronice de observare și descoperire variațiile stării energetice în timp și spațiu ale sursei de radiație sunt transmise din aproape în aproape, prin intermediul undelor electromagnetice unui bloc optic receptor de radiație. În acest mod se realizează o legătură între sursa de radiație și receptor, în care unda electromagnetică joacă rolul de purtător al *mesajului energetic* (informația utilă) produs de sursă.

În cazul surselor de radiație termică “modulatorul și blocul de emisie” se identifică cu suprafața sursei. Aici sunt transformate oscilațiile termice ale microsurselor constituente în unde electromagnetice monocromatice, cu o amplitudine dependentă de temperatura absolută a sursei, de o frecvență și fază aleatoare și care se transmit în spațiul liber.

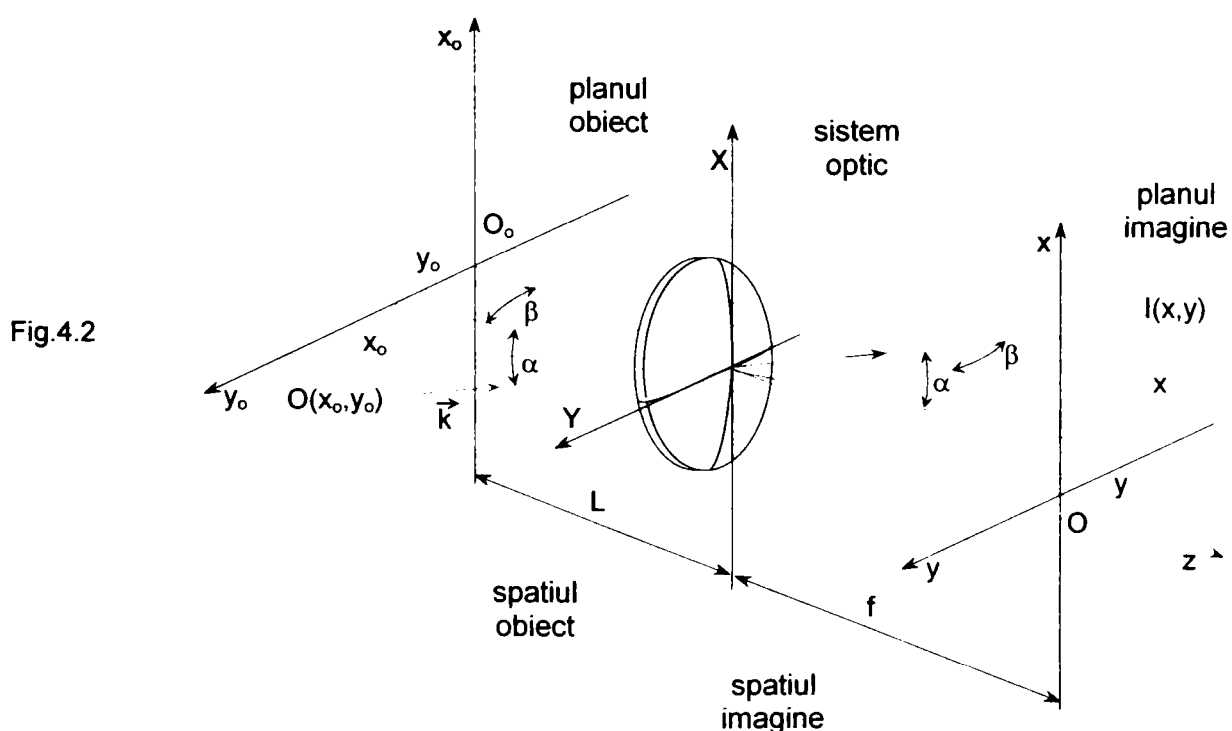
În propagarea lor pe o anumită direcție, undele monocromatice se compun formând o undă policromatică complexă – purtătoarea optică, în parametrii căreia este codificat mesajul energetic produs de sursa de informații. Blocul optic receptor este un sistem optic cu aria pupilei de intrare A_o și distanța focală f . Acesta focalizează fluxul energetic incident în limitele suprafeței pupilei de intrare A_o pe suprafața sensibilă a unui fotodetector de arie A_R .

La recepție, în sistemul optoelectronic al blocului de recepție, informația utilă este reconstituită, adică este separată de purtătoare pe baza relației $x = f^{-1}(y)$ și poate fi pusă în evidență prin diferite procedee tehnice. O prelucrare primară a semnalului optic captat în limitele

pupilei de intrare consta in: filtrare spectrala, focalizare, filtrare spatiala etc. dupa care acesta este supus operatiei de *fotodetectie*. Prin aceasta operatie se realizeaza transformarea semnalului optic intr-un semnal electric, care este prelucrat in continuare electronic pentru a extrage informatia dorita – prezenta sursei termice in spatiul observat. Utilizarea campurilor de radiatie termica in calitate de purtatori de informatie permite realizarea unor sisteme tehnice rapide care asigura descoperirea obiectelor din teren si determinarea pozitiei acestora in raport cu un referential ales. In acest caz, sursa de informatie este reprezentata de obiectul din teren. Acesta produce *semnalul optic* care se propaga in spatiu sub forma de unda electromagnetica. In propagare, caracteristica esentiala a semnalului optic este stralucirea sau radianta energetica a sursei, care conform legii lui Planck (3.42) este dependenta de temperatura absoluta a obiectului. Pe baza acestei caracteristici a semnalului sunt *descoperite* obiectele din teren pe fondul perturbator al atmosferei (fondul parazit). Informatiile referitoare *la pozitia obiectului* in raport cu referentialul ales, respectiv forma sau dimensiunile acestuia sunt transpuse pe o *subpurtatoare* la receptia semnalului optic. Si in acest caz operatia de transpunere se realizeaza cu ajutorul modulatorului care echipeaza blocul optic de receptie si modifica parametrii purtatoarei in ritmul informatiei de transmis (pozitia imaginii sursei termice).

4.1.2 Sistemul de coordonate utilizat in studiul semnalelor optice

Sistemul de coordonate si notatiile folosite in studiul semnalelor optice este prezentat in fig. 4.2. Pozitia punctului O din spatiul obiect se determina prin coordonatele liniare x_o, y_o, z_o , iar



cele ale punctului imagine I, prin coordonatele x, y . În aproximatia gaussiană, sistemul optic realizează o transformare liniară a coordonatelor $x = Mx_0$ și $y = My_0$, unde M este mărimea unghiulară a sistemului optic.

Dacă punctul obiect se află la infinit ($L \rightarrow \infty$), poziția imaginii sale în raport cu axa z (axa optică) se poate exprima cu ajutorul coordonatelor unghiulare α, β . Între coordonatele liniare și unghiulare ale punctului I există relațiile $\alpha = x/f$ și $\beta = y/f$, valabile pentru sisteme optice cu unghi de vedere mic, unde f este distanța focală a sistemului optic. Folosirea coordonatelor unghiulare este avantajoasă întrucât nu implică cunoașterea distanței până la punctul obiect.

4.1.3 Formarea semnalului optic. Caracteristicile purtătoarei optice

În general, elementele optice care compun un sistem optic prelucrează numai partea spațială a semnalului optic. Din aceste motive, formarea și tratarea semnalelor optice prezintă o serie de particularități față de tratarea temporală a semnalelor folosite în telecomunicații.

În optica, partea spațială a purtătoarei $A(x, y)$ reprezintă o distribuție bidimensională de amplitudine, notată 2D. Propagarea semnalului se face după axa z (axa optică). O caracteristică esențială a semnalului 2D este faptul că el rezultă în urma unui proces de modulație realizat cu ajutorul diaframelor cu transmisie variabilă, plasate în spațiul coordonatelor spațiale (x, y, z) .

În lucrare, pentru analiza și stabilirea principalelor caracteristici ale semnalelor 2D sunt folosite terminologia și principiile generale ale teoriei sistemelor automate.

În general, unui element sau sistem i se asociază un model structural (fig.4.3), asupra căruia se aplică un set de mărimi ce constituie *cauza*, numite *mărimi de intrare* x_i , cu $i = 1, 2, 3, \dots$ și se obțin

mărimile y_i ce reprezintă *efectul*, numite *mărimi de ieșire*. Între mărimile de intrare și mărimile de ieșire există o relație funcțională bine stabilită, iar circulația semnalului în sistem este unidirecțională, de la intrare spre ieșire.

Întrucât în optica se lucrează cu semnale 2D *intrarea* unui element optic va fi numită *plan de intrare* și reprezintă suprafața prin care semnalul (radiția) patrunde în element, iar *ieșirea* – *planul de ieșire*, suprafața prin care semnalul (radiția) părăsește elementul.

Fie o undă plană monocromatică normală la suprafața unui ecran opac prevăzut cu o deschidere dreptunghiulară XY . O undă plană există la o distanță mare de orice sursă de radiație și este caracterizată printr-un fascicul de raze paralele cu axa optică (direcția de propagare).



Fig.4.3.

Se alege un sistem cartezian de axe astfel ca axa z sa coincida cu directia de propagare a undei, iar axa x paralela cu vectorul camp electric \vec{E} al undei electromagnetice. In planul de intrare, in limitele domeniului XY (fig.4.4), dispus simetric in raport cu axele x si y, exista un camp descris de ecuatie

$$\vec{E}(x, y) = E_o e^{-j\omega t} \vec{u}_x. \quad (4.1)$$

Ecuatia (4.1) arata ca in orice punct (x,y) al planului de intrare vectorul \vec{E} este orientat dupa axa x si oscileaza armonic cu pulsatia ω . Deschiderea XY prezinta coeficientul de transmisie $t(x,y)$. De fapt, functia $t(x,y)$ "inregistrata" sub forma coeficientului de transmisie reprezinta informatia ce trebuie transpusa pe purtatoare (unda incidenta) pentru a forma semnalul optic $s(x,y)$. Amplitudinea semnalului in planului de iesire, in punctul (x,y) este data de produsul $E_o t(x,y)$. Intrucat punctul (x,y) este variabil semnalul optic $s(x,y)$ are urmatoarea expresie analitica

$$s(x, y) = \begin{cases} E_o t(x, y) & \text{pentru } |x| \leq \frac{X}{2}, |y| \leq \frac{Y}{2}, \\ 0 & \text{pentru } |x| > \frac{X}{2}, |y| > \frac{Y}{2}. \end{cases}$$

si reprezinta distributia de amplitudine in planul de iesire, in limitele domeniului de existenta a functiei $t(x,y)$. Daca $E_o = 1$, rezulta $s(x,y) = t(x,y)$, adica distributia amplitudinii semnalului optic este identica cu informatia inregistrata sub forma functiei $t(x,y)$.

Procesul de formare a semnalului optic $s(x,y)$ poarta numele de *modulatie* (in amplitudine) si este rezultatul unui produs de doua functii: E_o – purtatoarea creata de sursa de radiatie, si care, sub forma de unda electromagnetica, se propaga prin deschiderea XY si $t(x,y)$ – coeficientul de transmisie a deschiderii in parametrii careia este codificata informatia. Schematic, acest proces este redat in fig. 4.5.

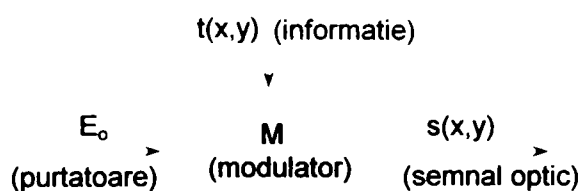


Fig. 4.5

Prin *semnal de intrare* (informatia de transmis) se intelege functia de transmisie optica a deschiderii XY (fig. 4.4) dispusa in planul (x,y), sau pupila de intrare a sistemului optic.

La intrarea planului (x,y), in limitele deschiderii XY, exista un camp de radiatie monocromatic – purtatoarea de informatie, de ecuatie

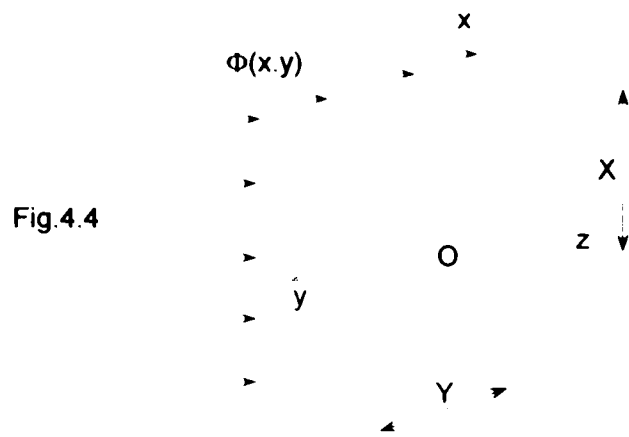


Fig.4.4

$$E(x,y,t) = E_o(x,y,t) \cdot \sin[\omega t + \varphi(x,y,t)],$$

sau in scriere sub forma complexa

$$E(x,y,t) = E_o(x,y,t) e^{-j\omega t} e^{-j\varphi(x,y,t)}.$$

Intrucat marimea ω reprezinta pulsatiia purtatoarei semnalului, iar informatia utila este continuta in parametrii ca amplitudine si faza, in scrierea semnalului se omite factorul $e^{-j\omega t}$. In acest caz, purtatoarea optica reprezinta amplitudinea complexa a componentei electrice a campului de radiatie

$$E(x,y,t) = E_o(x,y,t) e^{-j\varphi(x,y,t)}, \quad (4.2)$$

care se modifica functie de coordonatele spatiale x,y si temporala t . Semnalul optic reprezinta produsul dintre amplitudinea complexa definita cu (4.2) si informatia $s(x,y)$ – semnalul spatial - in scris in limitele deschiderii XY sub forma unei transmisii optice. Daca purtatoarea reprezinta o unda plana de amplitudine E_o , atunci semnalul optic devine $E(x,y) = E_o s(x,y)$. Intrucat semnalul spatial este adimensional, semnalul optic format va avea dimensiunea purtatoarei.

In tabelul 4.1 sunt prezentate unele caracteristici ale semnalului spatial $s(x,y)$ si ale semnalului optic $E(x,y)$.

Tabelul 4.1

Semnalul spatial $s(x,y)$	Semnalul optic $E(x,y)$ (media in timp)
Amplitudinea semnalului spatial $s(x,y)$	Amplitudinea semnalului optic $E(x,y) = E_o s(x,y)$
Puterea semnalului spatial $ s(x,y) ^2$	Intensitatea semnalului optic $ E_o s(x,y) ^2$
Energia semnalului cu dimensiunile XY $\int \int_{XY} s(x,y) ^2 dx dy$	energia semnalului optic $E_o^2 \int \int_{XY} s(x,y) ^2 dx dy$
Puterea medie a semnalului spatial $\int \int_{XY} s(x,y) ^2 dx dy$	Media dupa suprafata a intensitatii $\frac{E_o^2}{XY} \int \int_{XY} s(x,y) ^2 dx dy$

Distributia spatiala a amplitudinii semnalului optic (4.2) este valabila numai in planul de iesire al planului modulator. In vecinatatea acestui plan distributia de amplitudine se modifica datorita fenomenului de difractie. Se considera schema optica din fig. 4.6.a, in care elementul modulator este reprezentat de o retea sinusoidala unidimensionala, cu coeficientul de transmisie

in amplitudine (fig.4.6.b), exprimat prin ecuatiya $t(y) = A + a \cdot \cos \omega_{oy} y$.

Coeficientul $t(y)$ mai poate fi scris sub forma

$$t(y) = A + \frac{a}{2} \left[e^{j\omega_{oy}y} + e^{-j\omega_{oy}y} \right]. \tag{4.3}$$

Fluxul divergent emis de sursa de radiatie monocromatica este transformat cu ajutorul unui sistem optic (condensator) intr-un fascicul de raze paralele, de o anumita apertura, descris de ecuatiya

$$E(z,t) = E_o e^{-j(\omega t - kz)}. \tag{4.4}$$

Considerand sistemul de axe dispus in planul de intrare al elementului modulator, pentru $z = 0$ rezulta ecuatiya intensitatii campului electric $E(0,t) = E_o e^{-j\omega t}$.

Pentru $E_o = 1$ si $a = 1$ se obtine urmatoarea distributie de amplitudine in planul de iesire:

$$E(y) = E_o t(y) = A e^{-j\omega t} + \frac{1}{2} \left[e^{-j(\omega t - \omega_{oy}y)} + e^{-j(\omega t + \omega_{oy}y)} \right]$$

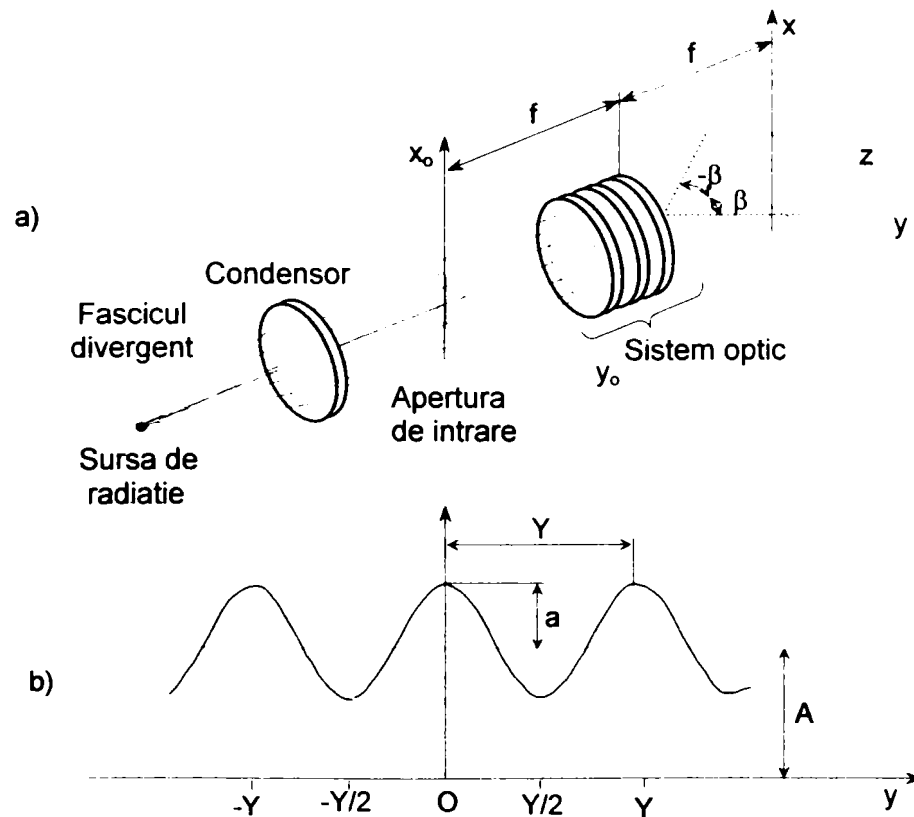
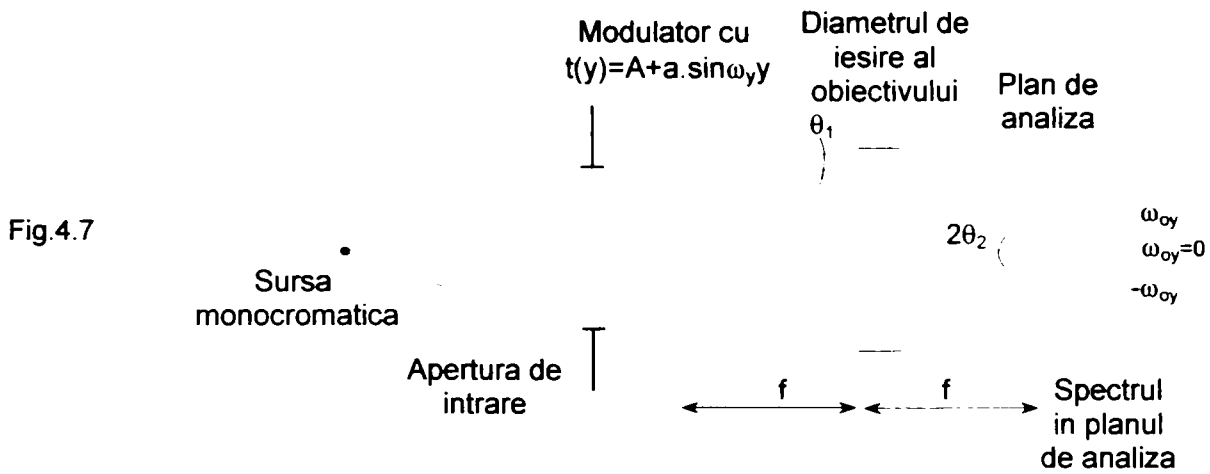


Fig.4.6

Termenul $\frac{1}{2} e^{-j(\omega t - \omega_{oy}y)}$ reprezinta ecuatiya unei unde plane care se propaga fata de axa z

sub unghiul $\sin \beta = \frac{\omega_{oy}}{k} = \frac{\lambda}{2\pi} \omega_{oy} = \frac{\lambda}{Y}$. Deci, o parte din razele care parasesc transparenta se propaga sub forma unui fascicul de raze paralele (unda plana), pe o directie care formeaza cu axa

z unghiul $\beta = \arcsin\left(\frac{\lambda}{2\pi} \omega_{oy}\right)$. De asemenea, termenul $\frac{1}{2} e^{-j(\omega t + \omega_{oy} y)}$ descrie ecuația unei unde plane, cu amplitudinea $1/2$ și care se propaga față de axa optică, sub unghiul $-\beta = \arcsin\left(-\frac{\lambda}{2\pi} \omega_{oy}\right)$. Termenul constant $Ae^{-j\omega t}$ reprezintă ecuația unei unde care se propaga în lungul axei z. În acest mod rețeaua sinusoidală descompune unda plană incidentă în trei unde plane emergente care se propaga după direcțiile β , $-\beta$ și 0. Pentru a pune în evidență cele trei unde emergente se dispune elementul modulator în planul focal anterior al unui obiectiv, iar imaginile lor sunt observate pe un ecran dispus în planul focal posterior (fig.4.7). Coordonata y unde se formează imaginea se determină cu relația $tg\beta = y/f$ și pentru unghiuri β mici rezultă $y = \omega_{oy} f (\lambda/2\pi)$.



Semnalul din planul de ieșire este recepționat de către un receptor de radiație care reacționează numai la intensitatea radiației $I(y) = E(y) \cdot E^*(y)$.

Coordonatele spectrului de putere al semnalului sunt frecvențele spațiale ω_{oy} . Pata centrală ($\omega_{oy} = 0$) se propaga paralel cu axa optică (Oz). De asemenea, mai apar două pete dispuse în $\pm\omega_{oy}$.

4.1.4 Clasificarea semnalelor optice

În general *semnalul* se poate defini ca o succesiune continuă sau discretă de valori ale unei mărimi fizice, numită *purtătoare*, capabilă să se propage într-un mediu dat și în parametrii căreia este codificată informația de transmis. În cazul *semnalelor optice*, ca purtătoare de informații este folosită radiația electromagnetică monocromatică sau policromatică emisă de surse artificiale (lămpere, lămpi speciale, lămpi cu incandescență, etc), sau de surse naturale

(obiectele din teren, solul, formațiunile noroase, corpurile cerești, etc.) care, sub forma de unde electromagnetice se propaga în spațiu pe distanțe mari. Purtatoarea monocromatică reprezintă o radiație formată din unde de aceeași lungime de undă λ . Purtatoarea policromatică reprezintă o suprapunere de unde monocromatice, cu lungimi de undă diferite.

În funcție de compoziția spectrală a purtatoarei semnalele optice se pot clasifica în:

semnale optice monocromatice și semnale optice policromatice.

O altă clasificare a semnalelor optice se poate face după gradul de previzibilitate al acestora. Cantitatea de informație conținută în semnalul optic va fi cu atât mai mare cu cât evoluția viitoare a semnalului este mai puțin previzibilă. Un semnal optic care se poate exprima printr-o funcție de spațiu și timp este complet previzibil și, prin urmare, nu este purtător de informație. Semnalele optice previzibile, adică exprimabile prin funcții de coordonate spațiale și temporale formează clasa *semnalelor optice deterministe*. Celelalte semnale, neprevizibile în spațiu și timp decât cu anumite probabilități formează clasa *semnalelor optice aleatoare (intamplatoare)*. Cunoașterea semnalelor deterministe și a caracteristicilor acestora permit, prin procedee matematice adecvate, determinarea comportării sistemelor optoelectronice față de semnalele optice aleatoare (semnalele purtătoare de informații).

La rândul lor, semnalele deterministe se clasifică după forma funcției de coordonate spațial-temporale. O primă caracteristică a formei semnalului este *durata* în spațiu și timp, adică lățimea intervalului de spațiu și timp în care semnalul este nenul. În raport cu această caracteristică semnalele optice pot fi de durată spațială (temporală) finită sau infinită. Semnalele optice de durată finită formează *impulsurile optice* (fig.4.8).

O altă caracteristică importantă a semnalului optic este forma sau configurația pe care acesta o are în intervalul spațial sau temporal în care este definit. Matematic, forma semnalului se exprimă prin funcția spațială și temporală $f(x,y,t)$, numită *amplitudinea* semnalului. În funcție de variația în spațiu sau timp a funcției $f(x,y,t)$ semnalele se împart în: *periodice* și *neperiodice*.

Se consideră *semnale periodice* semnalele care satisfac relația

$$f(x,y,t) = f(x+mX, y+nY, t+kT), \text{ cu } m,n,k = \pm 1, \pm 2, \dots$$

în care X, Y , reprezintă perioadele spațiale ale semnalului (fig. 4.9), iar T – perioada temporală.

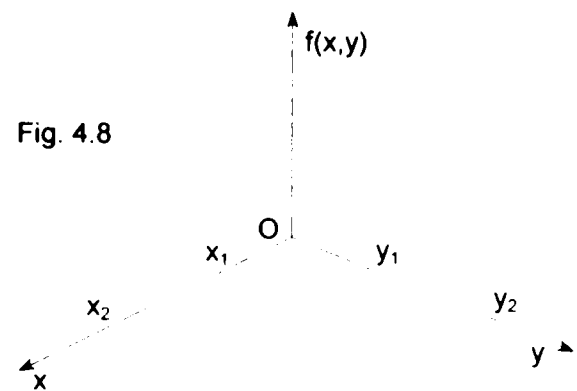


Fig. 4.8

Impulsul optic este un semnalul optic care nu este periodic. Pentru un impuls domeniul de existență $(x_2 - x_1, y_2 - y_1)$ este foarte mic.

La randul lor, semnalele optice determinate pot fi: *monocromatice* sau *policromatice*,

funcție de compoziția spectrală a purtătoare. Amplitudinea acestor

semnale reprezintă o distribuție bidimensională a intensității câmpului electric în planul $z = 0$, notată 2D și care, în general, este o funcție complexă. Trecerea unde (4.3) prin sistemul optic de recepție este însoțită de o serie de fenomene optice ca: interferența, difracție, absorbție, etc. Din aceste motive tratarea semnalelor optice și în mod deosebit prelucrarea părții spațiale a acestora în elementele optice ale sistemului optic prezintă o serie de particularități față de tratarea temporală a semnalelor întâlnite în sistemele de telecomunicații

Analizat matematic, semnalul optic este exprimabil printr-o funcție de coordonate spațiale și de timp însă, studiul acestor semnale, dependente de mai multe coordonate întâmpină serioase dificultăți matematice. Din aceste motive, în cele ce urmează, vor fi analizate semnalele optice dependente numai de coordonatele spațiale (partea spațială a semnalului optic), timpul considerându-se un parametru. Variabilele independente în raport cu care vor fi exprimate mărimea (amplitudinea) semnalului optic sunt coordonatele unghiulare α și β sau coordonatele liniare x și y . Excepțiile de la această regulă vor fi menționate.

4.2 Reprezentarea frecvențială a semnalelor optice

4.2.1 Notiuni generale

Semnalul optic este o funcție de coordonatele unghiulare α, β sau coordonatele liniare x, y și de coordonata temporală t .

Pentru descrierea semnalului optic sunt folosite două moduri de reprezentare, care pun în evidență:

- forma spațial-temporală a semnalului;
- distribuția spectrală (spațial – frecvențială) a semnalului.

Dacă semnalul optic prezintă o perioadă spațială și temporală, el poate fi scris ca o sumă

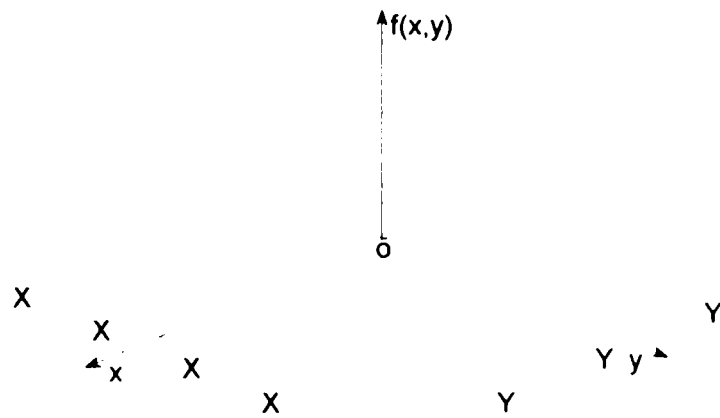


Fig. 4.9

de semnale armonice elementare. Condiția de periodicitate a semnalului optic este

$$f(x, y, t) = f(x + nX, y + mY, t + kT),$$

unde X, Y și T sunt perioadele spațiale și temporale de repetiție a semnalului.

Dacă semnalul optic este exprimat ca o funcție periodică care îndeplinește condițiile lui Dirichlet, el poate fi dezvoltat în serie Fourier, adică poate fi descompus în sume de componente pur sinusoidale și pur cosinusoidale, cu pulsații discrete bine determinate.

Reprezentarea semnalului optic periodic sub forma unei serii Fourier este

$$f(x, y, t) = \sum_{n, m, k = -\infty}^{+\infty} C_{nmk} e^{j(n\omega_x x + m\omega_y y + k\omega_t t)},$$

unde $\omega_x = \frac{2\pi}{X}$, $\omega_y = \frac{2\pi}{Y}$ și $\omega_t = \frac{2\pi}{T}$ sunt frecvențele armonice fundamentale ale semnalului, iar C_{nmk} – coeficientul complex al seriei Fourier, care se determină cu integrala

$$C_{nmk} = \frac{1}{XYT} \int_{-\frac{X}{2}}^{\frac{X}{2}} \int_{-\frac{Y}{2}}^{\frac{Y}{2}} \int_{-\frac{T}{2}}^{\frac{T}{2}} f(x, y, t) e^{-j(n\omega_x x + m\omega_y y + k\omega_t t)} dx dy dt.$$

În continuare, pentru simplificarea scrierii, vor fi analizate semnalele optice 1D, adică semnalele exprimate prin funcții periodice unidimensionale. Condiția de periodicitate a semnalului 1D, exprimat prin funcția $u(x)$ este $u(x) = u(x + mX)$, cu $m = \pm 1, \pm 2, \pm 3, \dots$, în care $X = 1/f_x$ este perioada de repetiție a semnalului, $\omega_x = 2\pi/X = 2\pi f_x$ – pulsația și f_x – frecvența de repetiție.

Se consideră funcția $u(x)$ definită în intervalul $[x_1, x_2]$, cu $X = x_2 - x_1$ și care se repetă cu frecvența $f_x = 1/X$, sau $\omega_x = 2\pi/X$. Dacă funcția îndeplinește condițiile lui Dirichlet, ea poate fi reprezentată printr-o serie Fourier scrisă sub forma unei sume de funcții trigonometrice

$$u(x) = \frac{a_0}{2} + \sum_{k=1}^{\infty} (a_k \cos k\omega_x x + b_k \sin k\omega_x x), \quad (4.4)$$

unde termenii de pulsație $k\omega_x$ se numesc *armonici de ordinul k* în cos, respectiv sin, cu coeficienții exprimați de relațiile

$$\begin{aligned} a_k &= \frac{2}{X} \int_0^X u(x) \cos k\omega_x x dx, \\ b_k &= \frac{2}{X} \int_0^X u(x) \sin k\omega_x x dx, \end{aligned} \quad (4.5)$$

unde $k = 1, 2, 3, \dots$. Pentru $k = 0$, se obține

$$a_0 = \frac{2}{X} \int_0^X u(x) dx,$$

care reprezintă valoarea medie sau componenta continuă a funcției periodice $u(x)$. Marimile a_k , respectiv b_k sunt amplitudinile armonicilor de ordinul k în cos, respectiv în sin.

Seria Fourier (4.4) poate fi scrisă și în alta formă dacă se fac notațiile

$$a_k = A_k \cos \varphi_k \text{ și } b_k = A_k \sin \varphi_k, \text{ unde } A_k = \sqrt{a_k^2 + b_k^2} \text{ și } \varphi_k = \arctg \frac{b_k}{a_k}.$$

$$u(x) = \frac{A_0}{2} + \sum_{k=1}^{\infty} A_k \cos(k\omega_x x - \varphi_k), \quad (4.6)$$

cu $A_0 = a_0$. Prin urmare, orice semnal optic periodic poate fi reprezentat sub forma unei sume de componente armonice, fiecare din ele fiind complet determinată de marimile A_k și φ_k .

Multimea amplitudinilor A_k a armonicilor unui semnal formează *spectrul de amplitudine* al semnalului, iar multimea marimilor φ_k - *spectrul de fază* al semnalului. În mod obișnuit, prin spectrul semnalului se înțelege spectrul de amplitudine al semnalului.

Grafic spectrul se reprezintă prin segmente, fiecare segment având lungimea egală cu mărimea armonicii considerate. Spectrul funcțiilor periodice este un spectru discret, corespunzător pulsațiilor discrete $\omega_{1x}, 2\omega_{1x}, \dots, k\omega_{1x}, \dots$

O funcție periodică reală $u(x)$, care admite o dezvoltare în serie trigonometrică sub forma (4.6) poate fi scrisă și ca sumă a unei serii de termeni complecși, sub forma exponențială. Pentru aceasta se observă că $A_k = \sqrt{a_k^2 + b_k^2}$ este o funcție pară de indice k , adică $A_k = A_{-k}$ și $\varphi_k = \arctg(b_k/a_k)$ este o funcție impară, adică $\varphi_k = -\varphi_{-k}$. Se poate scrie

$$u(x) = \frac{1}{2} \sum_{k=-\infty}^{k=\infty} \bar{A}_k e^{jk\omega_x x}, \quad (4.7)$$

unde \bar{A}_k este amplitudinea complexă a componentei armonice de ordinul k

$$\bar{A}_k = \frac{2}{X} \int_0^X u(x) e^{-jk\omega_x x} dx. \quad (4.8)$$

4.2.2 Spectrul succesiunii de impulsuri optice dreptunghiulare

Semnalul constituit din impulsuri dreptunghiulare de amplitudine U_0 , cu lățimea impulsului x_0 și cu perioada de repetiție X (fig.4.10) are următoarea expresie analitică în intervalul $[0, X]$

$$u(x) = \begin{cases} U_o, & \text{pentru } 0 \leq x \leq x_o, \\ 0, & \text{pentru } x_o \leq x \leq X, \end{cases}$$

cu $\omega_1 = \frac{2\pi}{X}$.

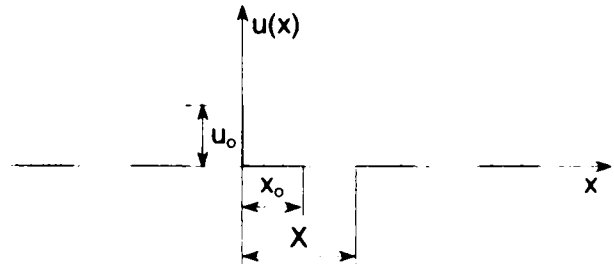


Fig. 4.10

Componentele armonice ale semnalului

sunt

$$\frac{a_o}{2} = \frac{1}{X} \int_0^{x_o} u(x) dx = \frac{x_o}{X} U_o,$$

$$a_k = \frac{2}{X} \int_0^{x_o} u(x) \cos k\omega_1 x dx = 2U_o \frac{x_o}{X} \frac{\sin k\omega_1 x_o}{k\omega_1 x_o},$$

$$b_k = \frac{2}{X} \int_0^{x_o} u(x) \sin k\omega_1 x dx = 2U_o \frac{x_o}{X} \frac{1 - \cos k\omega_1 x_o}{k\omega_1 x_o}$$

Rezulta $A_k = \sqrt{a_k^2 + b_k^2} = 2U_o \frac{x_o}{X} \frac{\sin k\omega_1 \frac{x_o}{2}}{k\omega_1 \frac{x_o}{2}}$ si $\varphi_k = \arctg(\text{tg} k\omega_1 \frac{x_o}{2}) = k\omega_1 \frac{x_o}{2}$.

In final se obtine

$$u(x) = U_o \frac{x_o}{X} \left[1 + 2 \sum_{k=1}^{\infty} \frac{\sin k\omega_1 \frac{x_o}{2}}{k\omega_1 \frac{x_o}{2}} \cos k\omega_1 \left(x - \frac{x_o}{2} \right) \right]. \tag{4.9}$$

Intrucat $\bar{A}_k = A_k \cdot e^{-j\varphi_k} = 2U_o \frac{x_o}{X} \sin ck\omega_1 \frac{x_o}{2} e^{-jk\omega_1 \frac{x_o}{2}}$, forma complexa a expresiei (4.13) este

$$u(x) = U_o \frac{x_o}{X} \sum_{-\infty}^{\infty} \sin ck\omega_1 \frac{x_o}{2} e^{-jk\omega_1 (x - \frac{x_o}{2})}. \tag{4.10}$$

Sucesiunea periodica de impulsuri dreptunghiulare este formata dintr-un numar infinit de componente armonice, fiecare componenta avand frecventa $k\omega_1$, $k = 1, 2, 3, \dots$. Pentru a obtine infasuratoarea componentelor spectrale se considera $k\omega_1 = \omega$ (fig.4.11). Rezulta

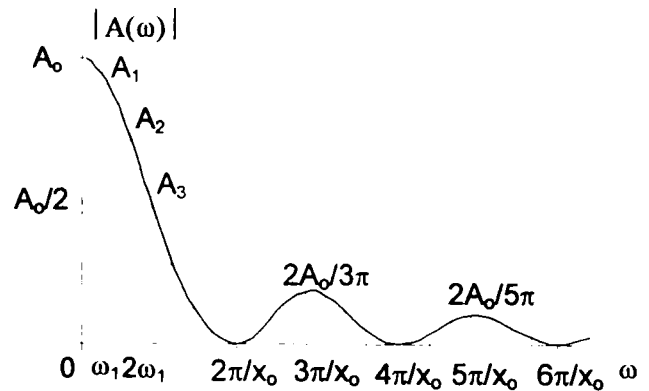


Fig.4.11

$$A(\omega) = 2U_o \frac{x_o}{X} \frac{\sin \omega \frac{x_o}{2}}{\omega \frac{x_o}{2}} \quad (4.11)$$

Funcția $A(\omega)$ se anulează în punctele $\sin \omega \frac{x_o}{2} = 0$, sau $\omega = \frac{2n\pi}{x_o}$, cu $n = 1, 2, 3, \dots$

Pentru $n = 0$, se obține

$$A(0) = \lim_{\omega \rightarrow 0} A(\omega) = 2U_o \frac{x_o}{X},$$

adică componenta spectrală $A(0) = 2 \frac{A_o}{2}$ este de

două ori mai mare față de componenta continuă $A_o/2$ rezultată din dezvoltarea în serie a funcției

considerate. Infășurătoarea funcției $A(\omega)$ prezintă maxime în punctele în care funcția

$\left(\frac{\sin \omega \frac{x_o}{2}}{\omega \frac{x_o}{2}} \right)_{\max}$ ia valori maxime. Se notează $\omega \frac{x_o}{2} = z$ și se calculează

$$\frac{\partial}{\partial z} \left(\frac{\sin z}{z} \right) = \frac{z \cos z - \sin z}{z^2} = 0, \text{ sau } z = \text{tg } z.$$

Radacinile acestei ecuații (fig.4.12) pot fi approximate cu valorile $z = \pm(2n+1) \frac{\pi}{2}$.

Se obține $\omega_{\max} \cong (2n+1) \frac{\pi}{x_o}$, cu $n = 1, 2, 3, \dots$

Spectrul de amplitudine al succesiunii de impulsuri dreptunghiulare este prezentat în fig.

4.11, în care s-a considerat $\frac{2\pi}{x_o} \gg \omega_1 = \frac{2\pi}{X}$, sau $x_o \ll X$.

Dacă lungimea impulsului este $x_o = X/2$ și impulsul este dispus simetric față de axa ox (fig. 4.13), cu expresia analitică

$$u_1(x) = \begin{cases} \frac{U_o}{2}, & \text{pentru } 0 \leq x < \frac{X}{2}, \\ -\frac{U_o}{2}, & \text{pentru } \frac{X}{2} < x < X. \end{cases}$$

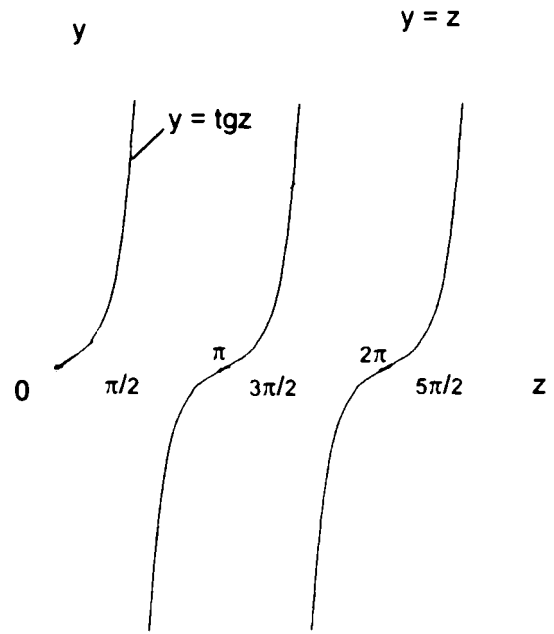


Fig.4.12

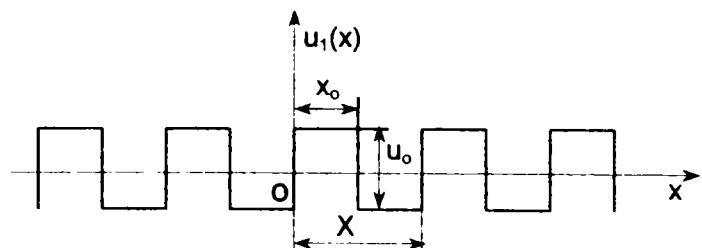


Fig. 4.13

Se observa ca $u_1(x) = u(x) - \frac{U_o}{2}$, unde $u(x)$ se exprima cu relatia (4.13).

Pentru $x_o = X/2$, rezulta

$$u(x) = \frac{U_o}{2} \left[1 + 2 \sum_{k=1}^{\infty} \frac{\sin k \frac{\pi}{2}}{k \frac{\pi}{2}} \cos k(\omega x - \frac{\pi}{2}) \right]. \tag{4.12}$$

Daca $k = 2n, n = 1,2,3,\dots$, $\sin k \frac{\pi}{2} = 0$, iar pentru

$$k = 2n + 1, \cos(2n + 1)(\omega x - \frac{\pi}{2}) = \sin(2n + 1) \frac{\pi}{2} \sin(2n + 1)\omega x.$$

In final, se obtine

$$u(x) = \frac{U_o}{2} \left[1 + \frac{4}{\pi} \sum_{n=0}^{\infty} \frac{\sin(2n + 1)\omega x}{2n + 1} \right]$$

si

$$u_1(x) = u(x) - \frac{U_o}{2} = \frac{2U_o}{\pi} \sum_{n=0}^{\infty} \frac{\sin(2n + 1)\omega x}{2n + 1} = \frac{2U_o}{\pi} [\sin \omega x + \frac{1}{3} \sin 3\omega x + \frac{1}{5} \sin 5\omega x + \dots]. \tag{4.13}$$

Spectrul succesiunii de impulsuri considerate contine numai armonici impare, dispuse la pulsatiile $\omega_1, 3\omega_1, 5\omega_1, \dots$ (fig.4.14).

Daca impulsul dreptunghiular este dispus simetric fara de originea sistemului de axe (fig. 4.15,a)

atunci $x' = x + \frac{X_o}{4}$, unde x' este coordonata impulsului

din fig. 4.13. Inlocuind in (4.9), se obtine

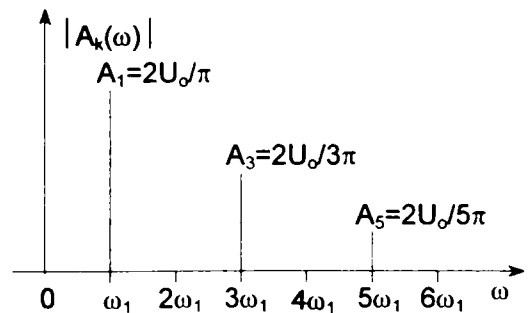


Fig. 4.14

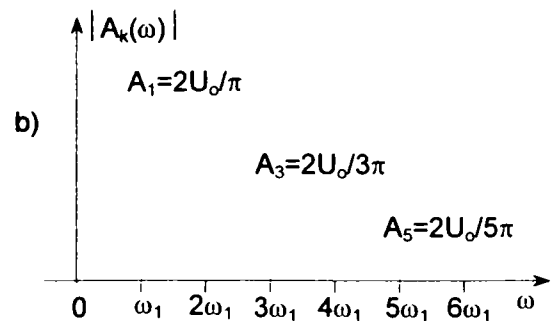
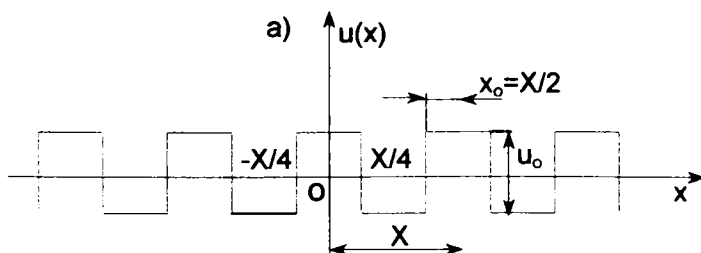


Fig. 4.15

$$u(x) = \frac{2U_o}{\pi} \left(\cos \omega_1 x - \frac{1}{3} \cos 3\omega_1 x + \frac{1}{5} \cos 5\omega_1 x + \dots \right), \quad (4.14)$$

cu spectrul din fig. 4.15.b.

4.2.3 Spectrul funcției de transmisie a discului modulator.

Discul modulator cu fante de forma sectorului de cerc

Discul modulator este un dispozitiv optic format dintr-o placă subțire de sticlă, material plastic, sau metal pe suprafața careia sunt realizate combinații de zone transparente și opace. Alternanța zonelor transparente, respectiv opace ale discului modulator formează o structură periodică numită *raster*. Zonele transparente și opace constituie elementele rasterului. În zonele transparente transmisia optică a discului este $\tau \approx 1$, în rest aceasta este nulă ($\tau \approx 0$).

O fracțiune din fluxul energetic radiat de sursă este captat de obiectivul sistemului și este focalizat în planul focal imagine unde este dispus discul modulator (analizorul de imagine) și receptorul de radiație. Discul modulator este antrenat într-o mișcare de rotație cu $\omega = \text{const.}$ La trecerea fluxului radiant $\Phi(x,y)$ prin discul modulator se realizează întreruperea periodică a acestuia (modulația), transformându-se într-o funcție de timp $\Phi(t)$. În acest caz, receptorul de radiație convertește fluxul $\Phi(t)$ în impulsuri de tensiune.

Comportarea discului modulator față de radiația incidentă este descrisă cu funcția de transmisie a rasterului. Această funcție va depinde de coordonatele punctului de incidență a fasciculului de raze paralele, iar periodicitatea funcției apare ca urmare a mișcării relative dintre fasciculul de raze și suprafața discului modulator. În acest mod, rasterul transformă parametrii spațiali sau spectrali ai radiației incidente într-un semnal optic cu parametrii dependenți de timp, ceea ce asigură obținerea unui semnal electric variabil în timp.

Cel mai simplu disc modulator este format dintr-un element transparent, având forma unui sector circular, cu unghiul la varf $\Psi = \Psi_2 - \Psi_1$. Discul se rotește cu viteza unghiulară ω . Imaginea sursei termice se rotește în sens invers lui ω (fig.4.16a).

Funcția de transmisie $\tau(t)$ a discului modulator este o funcție periodică de timp, cu expresia analitică în intervalul $0 \leq t \leq T = 2\pi / \omega$,

$$\tau(t) = \begin{cases} \tau_o, & \text{pentru } \frac{\Psi_1}{\omega} \leq t \leq \frac{\Psi_2}{\omega}, \\ 0, & \text{pentru } 0 < t < \frac{\Psi_1}{\omega} \text{ și } \frac{\Psi_2}{\omega} < t < \frac{2\pi}{\omega}, \end{cases} \quad (4.15)$$

și cu reprezentarea grafică din fig.4.16 b.

Intrucat $\tau(t)$ este o funcție periodică, cu perioada 2π , adică $\tau(\omega t) = \tau(\omega t + 2\pi)$, admite o dezvoltare în serie Fourier sub forma trigonometrică (4.4)

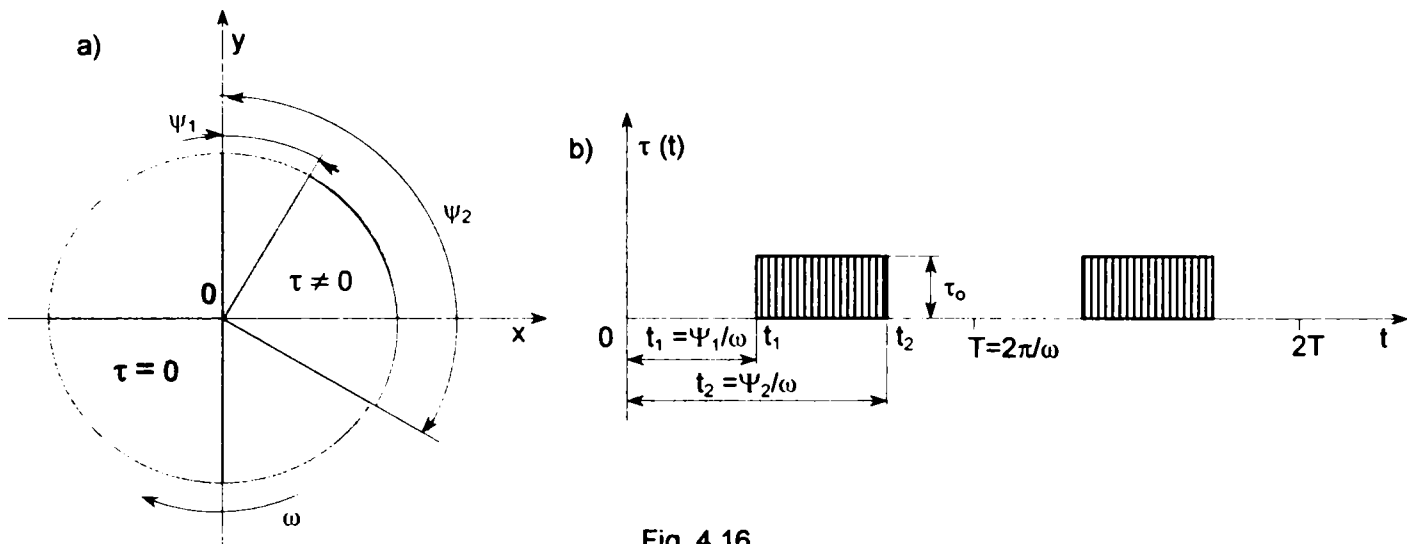


Fig. 4.16

$$a_0 = \frac{2}{T} \int_{t_1}^{t_2} \tau(t) dt = \frac{\tau_0}{\pi} (\Psi_2 - \Psi_1),$$

$$a_k = \frac{2}{T} \int_{t_1}^{t_2} \tau(t) \cdot \cos k\omega t dt = \frac{2\tau_0}{k\pi} \sin k \frac{\Psi_2 - \Psi_1}{2} \sin k \frac{\Psi_2 + \Psi_1}{2},$$

$$b_k = \frac{2}{T} \int_{t_1}^{t_2} \tau(t) \sin k\omega t dt = \frac{2\tau_0}{k\pi} \sin k \frac{\Psi_2 - \Psi_1}{2} \cos k \frac{\Psi_2 + \Psi_1}{2}.$$

Se calculează

$$A_k = \sqrt{a_k^2 + b_k^2} = \frac{2\tau_0}{k\pi} \sin k \frac{\Psi_2 - \Psi_1}{2}$$

și

$$\Psi_k = \arctg \left(\operatorname{tg} k \frac{\Psi_2 + \Psi_1}{2} \right) = k \frac{\Psi_2 + \Psi_1}{2}.$$

În final, se obține

$$\tau(t) = \frac{\tau_o}{\pi} \left[\frac{\Psi_2 - \Psi_1}{2} + 2 \sum_{k=1}^{\infty} \frac{\sin k \frac{\Psi_2 - \Psi_1}{2}}{k} \cos k \left(\omega t - \frac{\Psi_2 - \Psi_1}{2} \right) \right]. \quad (4.16)$$

Se considera trei cazuri:

a) $\Psi_1 = 0$,

$$\tau(t) = \frac{\tau_o}{\pi} \left[\frac{\Psi_2}{2} + 2 \sum_{k=1}^{\infty} \frac{\sin k \frac{\Psi_2}{2}}{k} \cos k \left(\omega t - \frac{\Psi_2}{2} \right) \right]$$

b) $\Psi_1 = 0$ si $\Psi_2 = \pi/2$,

$$\tau(t) = \frac{\tau_o}{2} \left[\frac{\pi}{4} + 2 \sum_{k=1}^{\infty} \frac{\sin k \frac{\pi}{4}}{k} \cos k \left(\omega t - \frac{\pi}{4} \right) \right].$$

c) $\Psi_1 = 0$ si $\Psi_2 = \pi$

$$\tau(t) = \frac{\tau_o}{\pi} \left[\frac{\pi}{2} + 2 \sum_{k=1}^{\infty} \frac{\sin k \frac{\pi}{2}}{k} \cos k \left(\omega t - \frac{\pi}{2} \right) \right].$$

4.2.4 Discuri modulatorie cu raster combinat.

In cazul rotirii discului modulator cu sectoare transparente si opace (fig.4.17 a), cu o viteza unghiulara constanta ω , functia de transmisie $\tau(t)$ a acesteia este o functie periodica de timp (fig. 4.17 b). Analitic, forma functiei de transmisie este

$$\tau(t) = \begin{cases} \tau_o & \text{pentru } 0 \leq t \leq \frac{\pi}{n\omega}, \\ 0 & \text{pentru } \frac{\pi}{n\omega} < t < \frac{2\pi}{n\omega}, \end{cases}$$

unde τ este coeficientul de transmisie al sectorului transparent, ω - viteza unghiulara de rotatie a discului si, cu $T = 2\pi/\omega$ - perioada de rotatie, Ω - viteza unghiulara (pulsatia) de repetitie a impulsurilor optice, cu $n\omega = \Omega$.

Se decompune functia $\tau(t)$ in serie Fourier

$$\tau(t) = \frac{C_o}{2} + \sum_{k=1}^{\infty} C_k \cos(k\Omega_o t + \varphi_k).$$

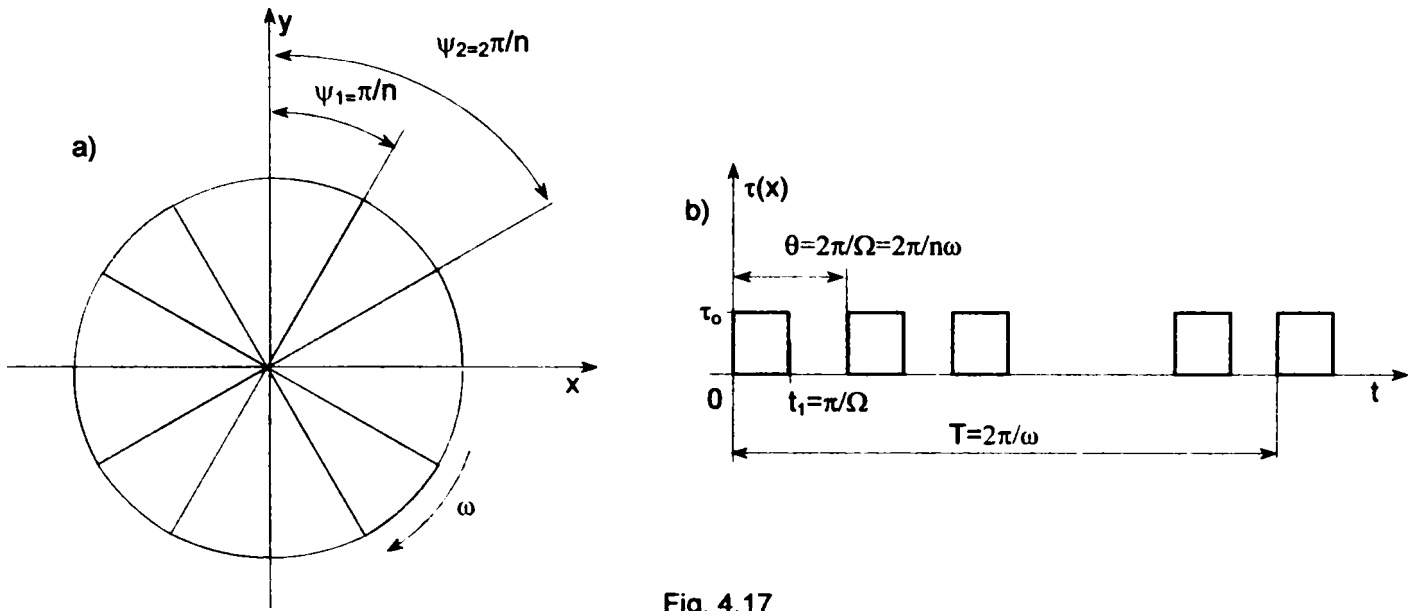


Fig. 4.17

Se calculeaza coeficientii seriei Fourier:

$$C_0 = \frac{2}{T} \int_0^{\pi} \tau dt = \tau; \quad A_k = \frac{2}{T} \int_0^T \tau \sin k\Omega t dt = \frac{\tau}{k\pi} (1 - \cos k\pi) \text{ si}$$

$$B_k = \frac{2}{T} \int_0^T \tau \cos k\Omega t dt = \frac{2\tau}{k\pi} \sin k \frac{\pi}{2} \cos k \frac{\pi}{2},$$

sau

$$C_k = \sqrt{A_k^2 + B_k^2} = \frac{2\tau}{k\pi} \sin k \frac{\pi}{2} \text{ si } \operatorname{tg} \varphi_k = -\operatorname{tg} k \frac{\pi}{2} \text{ sau } \varphi_k = -k \frac{\pi}{2}.$$

In final, rezulta

$$\tau(t) = \frac{\tau_0}{2} + \sum_{k=1}^{\infty} \frac{2\tau_0}{k\pi} \cos k(n\omega t - \frac{\pi}{2}),$$

Relatia obtinuta are sens numai pentru k numar impar, k = 2q + 1, cu q = 1,2,3,...deci

$$\tau(t) = \frac{\tau_0}{2} + \frac{2\tau_0}{\pi} \sum_{q=1}^{\infty} \frac{(-1)^q}{2q+1} \sin(2q+1)n\omega t$$

Funcția de transmisie τ(t) a diafragmei modulatoroare cu raster combinat poate fi reprezentata sub forma unei combinatii liniare de functii de transmisie elementare.

Rasterul prezentat in fig.4.18 are o constructie speciala si este destinat filtrarii radiatiei de fond produsa de radiatia solara. In

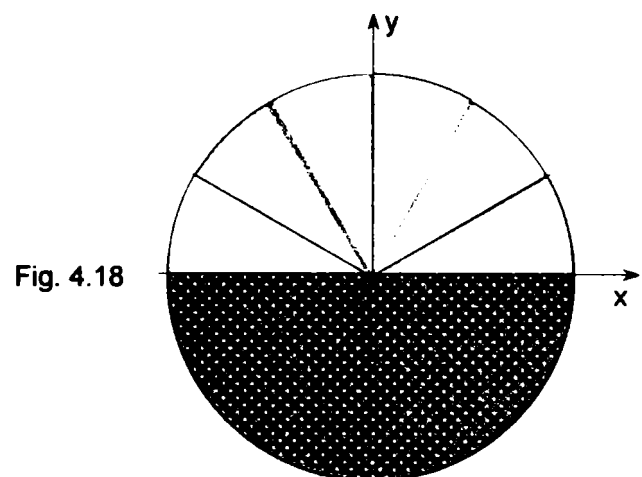


Fig. 4.18

domeniul unghiular $0 < \varphi < \pi$ funcția de transmisie a rasterului analizat se poate scrie sub forma

$$\tau(t) = \begin{cases} \tau_o & \text{pentru } 0 \leq t \leq \frac{\pi}{n\omega}, \\ 0 & \text{pentru } \frac{\pi}{n\omega} < t < \frac{2\pi}{n\omega}, \end{cases}$$

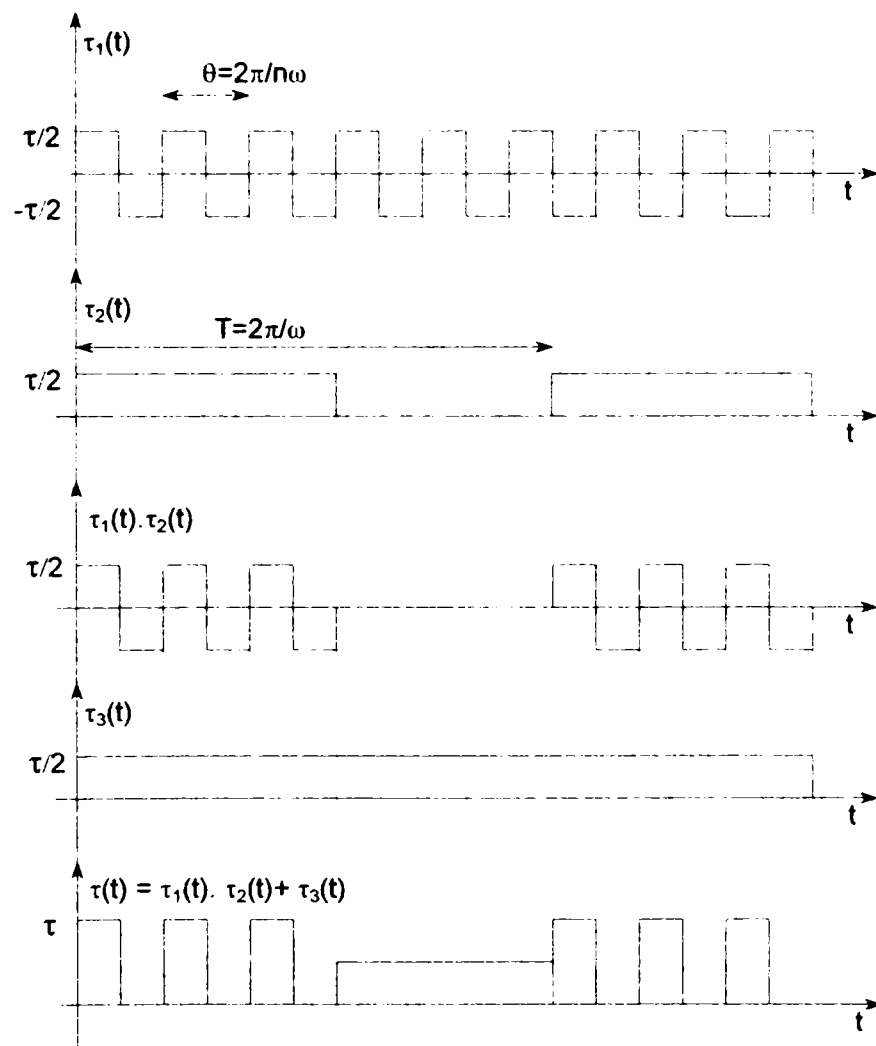
iar, în domeniul $\pi < \varphi < 2\pi$ funcția de transmisie are o valoare constantă $\tau(t) = \frac{\tau_o}{2}$.

Pentru domeniul unghiular $0 < \varphi < 2\pi$ funcția de transmisie poate fi scrisă sub forma

$$\tau(t) = \tau_1(t)\tau_2(t) + \tau_3(t).$$

Funcțiile elementare $\tau_1(t)$, $\tau_2(t)$ și $\tau_3(t)$ sunt reprezentate în graficul din fig. 4.19.

Fig. 4.19



Funcția de transmisie $\tau_1(t)$ reprezintă o succesiune de impulsuri cu alternanțe pozitive și negative, cu următoarea dezvoltare în serie Fourier

$$\tau_1(t) = \frac{2\tau_o}{\pi} \sum_{q=0}^{\infty} \frac{\sin(2q+1)n\omega t}{2q+1}.$$

Pentru funcția de transmisie $\tau_2(t)$ se obține următoarea descompunere

$$\tau_2(t) = \frac{\tau_o}{2} + \frac{2\tau_o}{\pi} \sum_{q=0}^{\infty} \frac{\sin(2q+1)\omega t}{2q+1}.$$

Intrucat $\tau_3(t) = \tau_o/2$, se obtine urmatoarea expresie pentru functia de transmisie $\tau(t)$ a diafragmei modulatorie

$$\pi(t) = \frac{\tau_o}{2} + \frac{\tau_o^2}{\pi} \left(1 + \frac{4}{\pi} \sum_{q=0}^{\infty} \frac{\sin(2q+1)\omega t}{2q+1} \right) \left(\sum_{q=0}^{\infty} \frac{\sin(2q+1)n\omega t}{2q+1} \right). \quad (4.18)$$

In fig. 4.19 sunt reprezentate functiile de transmisie auxiliare $\tau_1(t)$, $\tau_2(t)$ si $\tau_3(t)$, compunerea grafica a acestora pentru a obtine functia finala $\tau(t) = \tau_1(t) \cdot \tau_2(t) + \tau_3(t)$.

4.3 Reprezentarea semnalelor optice cu ajutorul integralelor Fourier si Hankel

4.3.1 Noțiuni generale

Pentru analiza armonica a semnalelor optice neperiodice sunt folosite integralele Fourier:

- transformata Fourier directa a semnalului $f(x,y,t)$

$$F(j\omega_x, j\omega_y, j\omega_t) = \int_{-\infty}^{+\infty} \int_{-\infty}^{+\infty} \int_{-\infty}^{+\infty} f(x, y, t) e^{-j(\omega_x x + \omega_y y + \omega_t t)} dx dy dt; \quad (4.19)$$

- transformata Fourier inversa a semnalului

$$f(x, y, t) = \frac{1}{(2\pi)^3} \int_{-\infty}^{+\infty} \int_{-\infty}^{+\infty} \int_{-\infty}^{+\infty} F(j\omega_x, j\omega_y, j\omega_t) e^{j(\omega_x x + \omega_y y + \omega_t t)} d\omega_x d\omega_y d\omega_t. \quad (4.20)$$

Functia $F(j\omega_x, j\omega_y, j\omega_t)$ reprezinta *spectrul complex* al semnalului $f(x,y,t)$. Acest spectru reprezinta o functie complexa de variabilele ω_x , ω_y si ω_t . In continuare variabila t se considera parametru si se va analiza numai partea spatiala a semnalului optic $f(x,y)$.

Spectrul semnalului este o functie complexa $F(j\omega_x, j\omega_y)$ care se poate scrie sub forma

$$F(j\omega_x, j\omega_y) = A(\omega_x, \omega_y) + jB(\omega_x, \omega_y),$$

unde $A(\omega_x, \omega_y)$ este partea reala si $B(\omega_x, \omega_y)$ partea imaginara a spectrului semnalului.

De asemenea spectrul semnalului mai poate fi scris si sub forma

$$F(j\omega_x, j\omega_y) = F(\omega_x, \omega_y) e^{-j\varphi(\omega_x, \omega_y)}, \quad (4.21)$$

unde $F(\omega_x, \omega_y)$ este *caracteristica de amplitudine* a spectrului si $\varphi(\omega_x, \omega_y)$ – *caracteristica de faza* a spectrului semnalului optic $f(x,y)$. Intre cele doua tipuri de caracteristici exista urmatoarea

$$\text{legatura } F(\omega_x, \omega_y) = \sqrt{A^2(\omega_x, \omega_y) + B^2(\omega_x, \omega_y)}$$

și

$$\varphi(\omega_x, \omega_y) = \operatorname{arctg} \frac{B(\omega_x, \omega_y)}{A(\omega_x, \omega_y)}.$$

Intr-o serie de cazuri prezintă interes spectrul funcției $f(x,y)$ numai după o variabilă, de exemplu x , y considerându-se parametru $y = y_0$. În acest caz spectrul funcției $f(x,y)$ este

$$F(j\omega_x, y_0) = \int_{-\infty}^{+\infty} f(x, y_0) e^{-j\omega_x x} dx \quad (4.22)$$

și se numește *spectrul secțiunii* în $f(x,y)$ pentru $y = y_0$ (fig. 4.20) pentru $y = y_0$

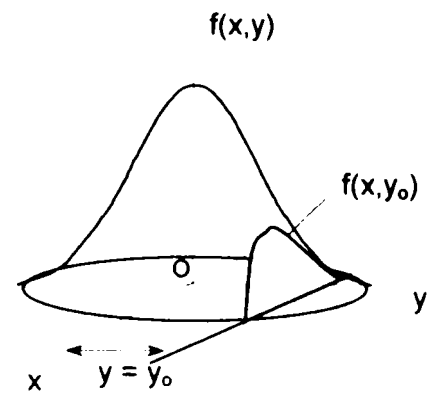


Fig. 4.20

Dacă se calculează spectrul și după variabilă y , atunci se scrie

$$F(j\omega_x, j\omega_y) = \int_{-\infty}^{+\infty} F(j\omega_x, y) e^{-j\omega_y y} dy. \quad (4.23)$$

În cazul în care semnalul optic $f(x,y)$ prezintă o simetrie axială, se poate scrie $x = \rho \cos \gamma$ și $y = \rho \sin \gamma$, deci $\rho = \sqrt{x^2 + y^2}$ și $f(x,y)$ trece în $f(\rho)$.

De asemenea, pentru variabilele spațiale frecvențelor $\omega_x = \omega \cos \varphi$ și $\omega_y = \omega \sin \varphi$ se poate scrie $\omega = \sqrt{\omega_x^2 + \omega_y^2}$ și $\varphi = \operatorname{arctg}(\omega_x / \omega_y)$. Înlocuind relațiile obținute în expresia (4.20), se obține

$$F(j\omega, \varphi) = \int_0^{+\infty} \int_0^{2\pi} f(\rho) e^{-j\rho\omega \cos(\gamma-\varphi)} \rho d\rho d\gamma = 2\pi \int_0^{\infty} \rho f(\rho) d\rho \frac{1}{2\pi} \int_0^{2\pi} e^{-j\rho\omega \cos(\gamma-\varphi)} d\gamma. \quad (4.24)$$

Integrala interioară din expresia (4.24) reprezintă o funcție Bessel de ordinul I și de index 0, notată cu

$$J_0(\rho\omega) = \frac{1}{2\pi} \int_0^{2\pi} e^{-j\rho\omega \cos(\gamma-\delta)} d\gamma.$$

Cu această integrală (4.24) devine

$$F(j\omega) = 2\pi \int_0^{\infty} \rho f(\rho) J_0(\omega\rho) d\rho, \quad (4.25)$$

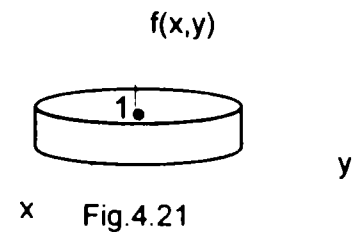
care reprezintă spectrul unei funcții cu simetrie circulară.

Transformarea Hankel inversă este

$$f(\rho) = \frac{1}{2\pi} \int_0^{\infty} F(\omega) J_0(\omega\rho) \omega d\omega. \quad (4.26)$$

Expresia (4.25) permite să se determine spectrul unei funcții cu simetrie circulară (fig.4.21), cu următoarea expresie analitică

$$f(\rho) = \begin{cases} 1 & \text{pentru } x^2 + y^2 \leq R_o^2; \\ 0 & \text{pentru } x^2 + y^2 > R_o^2. \end{cases}$$



Spectrul funcției se calculează cu (4.26)

$$F(\omega) = 2\pi \int_0^{\infty} \rho f(\rho) J_0(\rho\omega) d\rho$$

$$F(\omega) = 2\pi \int_0^{R_o} \frac{1}{\omega^2} d[(\omega\rho)j_1(\omega\rho)] = \frac{2\pi\rho}{\omega} J_1(\omega\rho) = 2\pi\rho^2 \frac{J_1(\omega\rho)}{\omega\rho}.$$

Se observă că utilizarea transformatei Hankel simplifică mult problema calculului spectrului funcțiilor cu simetrie circulară (de rotație), deoarece în acest caz funcția de două variabile trece într-o funcție de o singură variabilă.

Transformata Hankel posedă următoarea proprietate

$$2\pi \int_0^{\infty} \rho J_0(\rho\omega) f(a\rho) d\rho = \frac{1}{a^2} F\left(\frac{\omega}{a}\right). \quad (4.27)$$

4.3.2 Spectrele semnalelor optice tipice

Spectrul semnalului optic $u(x,y)$ reprezintă transformata Fourier directă

$$U(j\omega_x, j\omega_y) = \int_{-\infty}^{+\infty} \int_{-\infty}^{+\infty} u(x,y) e^{-j(x\omega_x + y\omega_y)} dx dy.$$

Dacă este cunoscut spectrul $U(j\omega_x, j\omega_y)$, cu ajutorul transformatei Fourier inverse se determină semnalul $u(x,y)$

$$u(x,y) = \frac{1}{(2\pi)^2} \int_{-\infty}^{+\infty} \int_{-\infty}^{+\infty} U(j\omega_x, j\omega_y) e^{j(\omega_x x + \omega_y y)} d\omega_x d\omega_y, \quad (4.28)$$

unde ω_x și ω_y sunt pulsațiile spațiale ale semnalului optic.

Relația (4.28) poate fi interpretată ca fiind reprezentarea semnalului $u(x,y)$ sub forma unei sume infinite de componente armonice elementare

$$\left[\frac{1}{(2\pi)^2} U(j\omega_x, j\omega_y) d\omega_x d\omega_y \right] e^{j(\omega_x x + \omega_y y)}$$

cu amplitudinea $\left[\frac{1}{(2\pi)^2} U(j\omega_x, j\omega_y) d\omega_x d\omega_y \right]$ foarte mica.

$U(j\omega_x, j\omega_y)$ este o funcție complexă și se poate scrie sub forma

$$U(j\omega_x, j\omega_y) = U(\omega_x, \omega_y) e^{-j\Phi(\omega_x, \omega_y)},$$

unde $U(\omega_x, \omega_y) = |U(j\omega_x, j\omega_y)|$ este caracteristica de amplitudine a densității spectrale a semnalului, sau spectrul de amplitudine, iar $\Phi(\omega_x, \omega_y)$ - caracteristica de fază a semnalului.

Dacă sunt cunoscute spectrele semnalelor optice tip, cu ajutorul analizei spectrale (armonice) pot fi studiate comportarea și performanțele (răspunsul) sistemelor optice.

- **Semnalul optic punctiform**, cu reprezentarea grafică în fig. 4.22 a, poate fi scris sub forma unei funcții delta spațiale

$$f(x, y) = \delta(x - x_0, y - y_0) = \begin{cases} \infty & \text{pentru } x = x_0, y = y_0, \\ 0 & \text{pentru } x \neq x_0, y \neq y_0. \end{cases}$$

Proprietățile funcției $\delta(x, y)$:

$$\int_{-\infty}^{+\infty} \int_{-\infty}^{+\infty} \delta(x - x_0, y - y_0) dx dy = 1;$$

$$\int_{-\infty}^{+\infty} \int_{-\infty}^{+\infty} f(x, y) \delta(x - x_0, y - y_0) dx dy = f(x_0, y_0), \quad (4.29)$$

unde $f(x, y)$ este o funcție continuă. Relația (4.29) reprezintă proprietatea de *esantionare* a funcției δ , adică se pune în evidență valoarea funcției $f(x, y)$ în punctul (x_0, y_0) , atunci când apare impulsul $\delta(x - x_0, y - y_0)$.

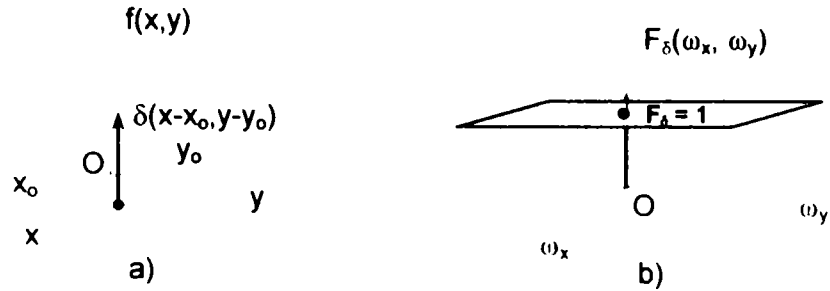
Dacă în relația (4.29) se face înlocuirea $x \rightarrow \omega_x, y \rightarrow \omega_y$, rezultă proprietatea de *filtrare* a impulsului spațial $\delta(x - x_0, y - y_0)$. În acest caz impulsul spațial $\delta(x - x_0, y - y_0)$ realizează operația de extragere a componentei $F(j\omega_{x_0}, j\omega_{y_0})$ din spectrul semnalului $F_\delta(j\omega_x, j\omega_y)$. Spectrul semnalului punctiform este

$$F_\delta(j\omega_x, j\omega_y) = \int_{-\infty}^{+\infty} \int_{-\infty}^{+\infty} \delta(x - x_0, y - y_0) e^{-j(\omega_x x + \omega_y y)} dx dy = e^{-j(\omega_x x_0 + \omega_y y_0)}. \quad (4.30)$$

Din relația (4.30) se obține caracteristica de amplitudine (fig. 4.22 b) a semnalului punctiform $F_\delta(j\omega_x, j\omega_y) = 1$. De aici rezultă că densitatea de amplitudine este constantă și în spațiul frecvențelor reprezintă un plan paralel cu planul (ω_x, ω_y) .

Caracteristica de fază a semnalului este $\varphi(\omega_x, \omega_y) = \omega_x x_0 + \omega_y y_0$.

Fig. 4.22



In optica, semnalul punctiform sau impulsul optic unitar este rezultatul unei abstractizari a surselor de radiatie, intrucat orice sursa reala prezinta o anumita suprafata. Daca aceasta suprafata este neglijabila in raport cu distanta sursa – observator, se poate considera ca sursa este punctiforma. Semnalului punctiform este o functie de coordonatele spatiale x si y, cu o suprafata ΔS foarte mica si o amplitudine H foarte mare, astfel ca ΔS.H→1 pentru ca actiunea impulsului sa se faca simtita. Radiatia emisa de sursa punctiforma se propaga in spatiu sub forma undelor sferice. Daca sursa se afla la infinit, atunci o anumita portiune din suprafata frontului de unda se poate aproxima cu o suprafata plana. In acest caz frontul de unda incident la pupila de intrare a sistemului optic reprezinta un fascicul de raze paralele, cu o distributie constanta a stralucirii.

4.3.3 Spectrul semnalului optic linie

Semnalul optic δ(x) reprezinta o linie luminoasa, paralela cu axa y (fig.4.23.a) si are urmatoarea reprezentare analitica

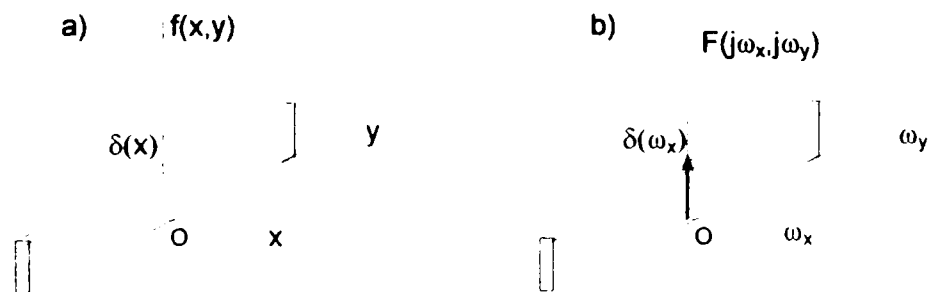
$$\delta(x) = \begin{cases} \infty & \text{pentru } x = 0 \text{ si orice } y; \\ 0 & \text{pentru } x \neq 0 \text{ si orice } y. \end{cases}$$

Spectrul semnalului linie este

$$F(j\omega_x, j\omega_y) = \int_{-\infty}^{+\infty} \int \delta(x) e^{-j(\omega_x x + \omega_y y)} dx dy = \delta(\omega_y). \tag{4.36}$$

Caracteristica de amplitudine a semnalului este $F(\omega_x, \omega_y) = \delta(\omega_y)$ si reprezinta o linie care

Fig. 4.23



coincide cu axa ω_y (fig. 4.23b)

Semnalul linie decalat fata de origine cu x_o are urmatoarea expresie analitica

$$f(x, y) = \delta(x - x_o) = \begin{cases} \infty & \text{pentru } x = x_o, \text{ pentru orice } y; \\ 0, & \text{pentru } x \neq x_o, \text{ pentru orice } y. \end{cases}$$

Spectrul semnalului linie

$$F_{\delta}(j\omega_x, j\omega_y) = \int_{-\infty}^{+\infty} \int \delta(x - x_o) e^{-j(\omega_x x + \omega_y y)} dx dy = e^{-j\omega_x x_o} \delta(\omega_y) \quad (4.32)$$

Caracteristica de amplitudine $F_{\delta}(\omega_x, \omega_y) = \delta(\omega_y)$, deci spectrul este o functie δ dispusa in planul $\omega_y = 0$;

Caracteristica de faza $\varphi(\omega_x, \omega_y) = \omega_x x_o$.

Daca se roteste fanta cu unghiul γ , spectrul semnalului rotit este

$$F_{\delta\gamma}(j\omega) = F(jM_{\gamma}\omega),$$

unde matricea de transformare este $M_{\gamma} = \begin{bmatrix} \cos \gamma & -\sin \gamma \\ \sin \gamma & \cos \gamma \end{bmatrix}$.

In final rezulta, $[\omega'] = [M_{\gamma} \cdot \omega]$, sau

$$\begin{bmatrix} \omega'_x \\ \omega'_y \end{bmatrix} = \begin{bmatrix} \cos \gamma & -\sin \gamma \\ \sin \gamma & \cos \gamma \end{bmatrix} \begin{bmatrix} \omega_x \\ \omega_y \end{bmatrix},$$

deci

$$F_{\delta\gamma}(j\omega) = e^{-j\omega'_x x_o} \delta(\omega'_y) = e^{-j(\cos \gamma \omega_x - \sin \gamma \omega_y) x_o} \delta(\sin \gamma \omega_x + \cos \gamma \omega_y),$$

Caracteristica de amplitudine: $F_{\delta} = \delta(\sin \gamma \omega_x + \cos \gamma \omega_y)$;

Caracteristica de faza: $\varphi(\omega_x, \omega_y) = \cos \gamma \omega_x - \sin \gamma \omega_y$.

Semnalul linie se obtine cu ajutorul unei deschideri iluminata cu un fascicul de raze paralele. Aceasta deschidere este practicata intr-un ecran subtire. Daca deschiderea are o latime foarte mica si o lungime infinit de mare ea poarta numele de fanta. In practica lungimea infinita inseamna ca $L \gg 1$ (lungimea fantei este mult mai mare fata de latime). Daca este indeplinita aceasta conditie imaginea sursei punctiforme se va intinde in lungul axei x , prezentand maxime si minime de intensitate. Daca sursa de radiatie este un filament dispus in lungul fantei, aceasta va emite o radiatie necoerenta si intreaga figura de difractie va fi o suprapunere a figurilor produse de surse punctiforme (coerente).

4.3.4 Spectrul semnalului optic treapta unitara

Semnalul treapta (fig. 4.24, a) se obtine obturand un fascicul de raze paralele cu un semiplan. Muchia semiplanului este paralela cu axa y si trece prin $x = x_0$.

Expresia analitica a semnalului treapta unitara este

$$\sigma(x - x_0) = \begin{cases} 1 & \text{pentru } x > x_0; \\ 1/2 & \text{pentru } x = x_0; \\ 0 & \text{pentru } x < x_0. \end{cases}$$

Sunt evidente relatiile $\delta(x) = \frac{d\sigma(x)}{dx}$ sau $d\sigma(x) = \delta(x)dx$

Spectrul semnalului treapta unidimensional este

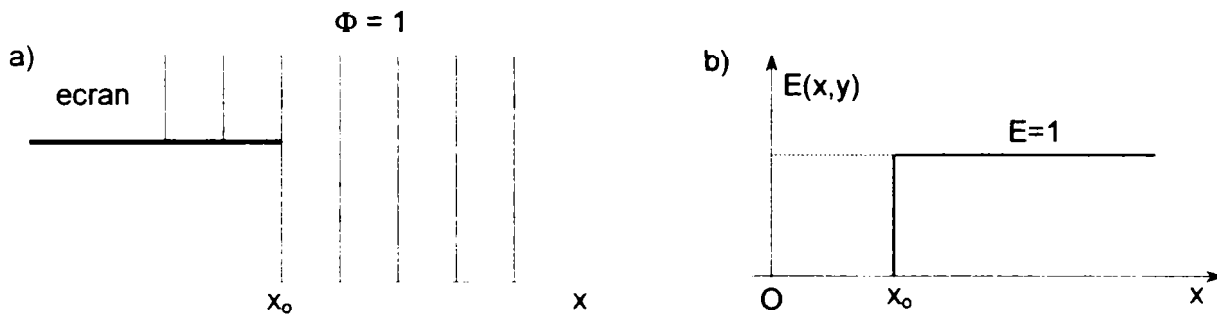


Fig. 4.24

$$F_{\delta}(j\omega_x, j\omega_y) = \int_{-\infty}^{+\infty} \int \sigma(x - x_0) e^{-j(x\omega_x + y\omega_y)} dx dy = \frac{e^{-j\omega_x x_0}}{j\omega_x} \delta(\omega_y). \quad (4.38)$$

Caracteristica de amplitudine a spectrului semnalului: $F_{\delta}(\omega_x, \omega_y) = \frac{1}{\omega_x} \delta(\omega_y)$,

Se observa ca $F_{\delta}(\omega_x, \omega_y)$ exista numai in planul

$\omega_y = 0$ (fig.4.25).

Caracteristica de faza a spectrului:

$$\varphi(\omega_x, \omega_y) = \frac{\pi}{2} + \omega_x x_0.$$

Semnalul treapta poate exista si numai intr-un sfert de cadru (semnalul treapta bidimensional)

$$\sigma(x, y) = \begin{cases} 1 & \text{pentru } x \geq 0, y \geq 0; \\ 0 & \text{pentru } x < 0, y < 0. \end{cases}$$

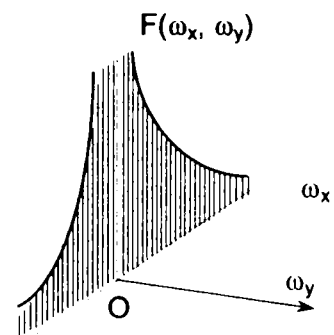


Fig.4.25

Spectrul semnalului descris de functia $\sigma(x,y)$ este

$$F(j\omega_x, j\omega_y) = \int_{-\infty}^{+\infty} \int \sigma(x, y) e^{-j(\omega_x x + \omega_y y)} dx dy = -\frac{1}{\omega_x \omega_y} \tag{4.34}$$

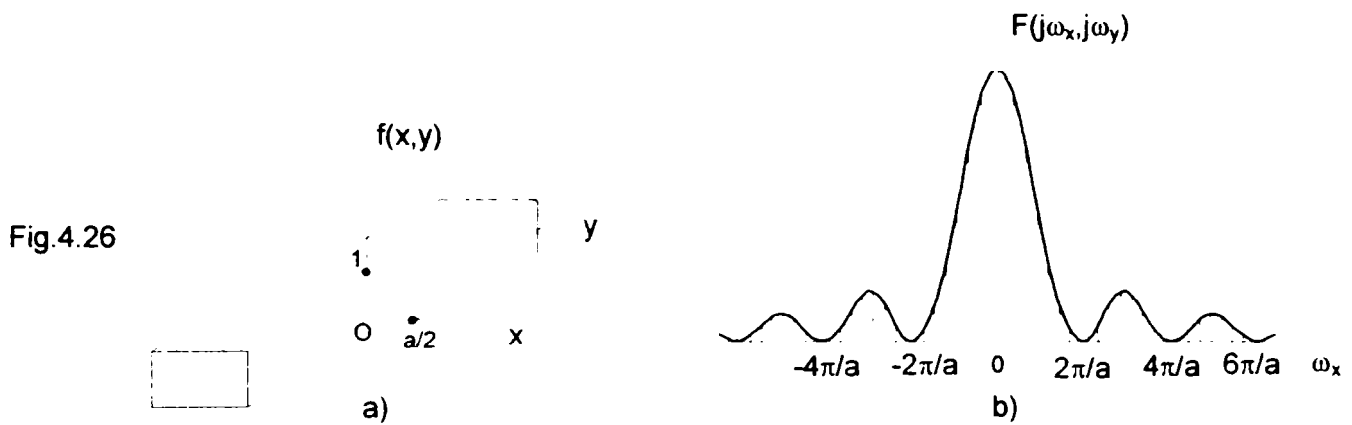
si este reprezentat in fig. 4.25, in planul $\omega_y = 0$.

4.3.5 Spectrul semnalului optic format de o apertură dreptunghiulară

Semnalul optic dreptunghiular (fig.4.26a) are expresia analitica

$$f(x, y) = \begin{cases} 1 & \text{pentru } |x| \leq a/2, \text{ orice } y; \\ 0 & \text{pentru } |x| > a/2, \text{ orice } y \end{cases}$$

si se obtine cu ajutorul unei deschideri iluminata cu un fascicul de raze paralele. Aceasta deschidere este practicata intr-un ecran subtire. Amplitudinea semnalului optic (campului de



radiatie in deschidere) are forma din fig. 4.26,a.

Spectrul semnalului (fig.4.26,b) este

$$F(j\omega_x, j\omega_y) = \int_{-\infty}^{+\infty} \int f(x, y) e^{-j(\omega_x x + \omega_y y)} dx dy = \frac{\sin \omega_x \frac{a}{2}}{\omega_x \frac{a}{2}} \delta(\omega_y) \tag{4.35}$$

Caracteristica de amplitudine a semnalului

$$F(\omega_x, \omega_y) = \frac{\sin \omega_x \frac{a}{2}}{\omega_x \frac{a}{2}} \delta(\omega_y) \tag{4.36}$$

si reprezinta distributia amplitudinii semnalului in lungul axei ω_x .

4.3.6 Spectrul semnalului optic format de o apertură circulară

Semnalul optic format de o deschidere circulară (fig.4.27,a) are următoarea expresie analitică

$$f(\rho) = \begin{cases} 1 & \text{pentru } x^2 + y^2 \leq R^2, \\ 0 & \text{pentru } x^2 + y^2 > R^2. \end{cases}$$

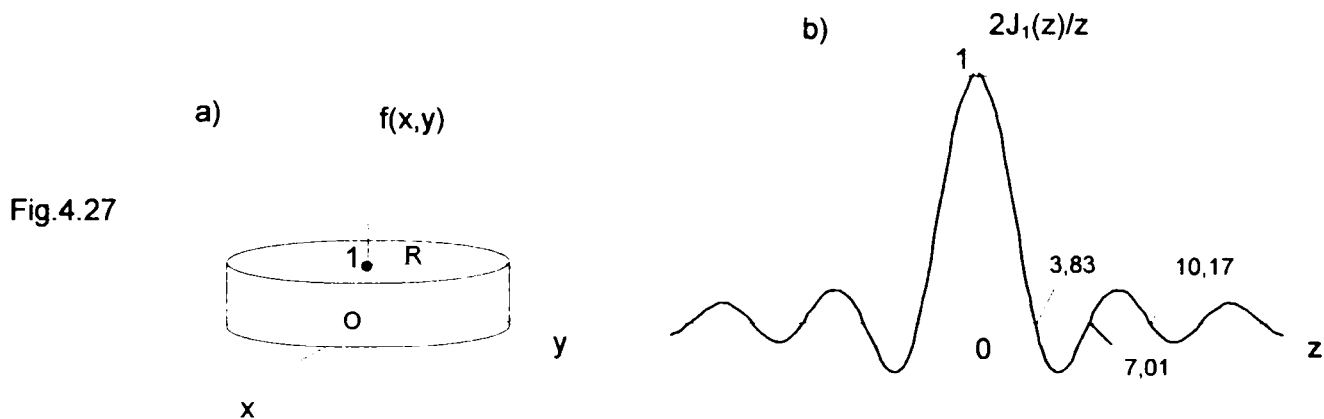
Pentru determinarea spectrului semnalului se aplica transformata Hankel (4.25)

$$F(\omega) = 2\pi \int_0^{\infty} \rho f(\rho) J_0(\rho\omega) d\rho.$$

Folosind identitatea $d[(\omega\rho)J_1(\omega\rho)] = \omega^2 \rho J_0(\omega\rho) d\rho$, se obține

$$F(\omega) = 2\pi\rho^2 \frac{J_1(\omega\rho)}{\omega\rho}. \quad (4.44)$$

Graficul funcției $F(\omega) = 2J_1(z)/z$ este prezentată în fig. 4.27b.



Se observă că utilizarea transformatei Hankel simplifică mult problema determinării prin calcul a spectrului funcțiilor cu simetrie axială (de rotație), deoarece în acest caz funcția de două variabile trece într-o funcție de o singură variabilă.

4.4 Semnalul optic aleator

4.4.1 Noțiuni generale

În cazul general, în sistemul optic alături de semnalele optice deterministe există și semnale optice aleatoare, care se exprimă analitic sub forma

$$\hat{n}(x, y) = n(x, y)e^{j\varphi(x, y)}, \quad (4.38)$$

unde $n(x, y)$ și $\varphi(x, y)$ sunt funcții aleatoare bidimensionale. Pentru descrierea câmpului de radiație monocromatic real din planul (x, y) s-a utilizat forma complexă de scriere a amplitudinii

$$\hat{E}(x, y) = E_0 \hat{n}(x, y) = E(x, y) \cos[\omega t + \varphi(x, y)]. \quad (4.39)$$

Daca amplitudinea si faza radiatiei monocromatice se modifica aleator in spatiu si timp functia $\hat{E}(x, y)$ se poate considera ca o functie cu variatie spatio-temporala aleatoare complexa. Insa, considerand ca semnalul de la iesirea sistemului optic este mediat pe o durata mare de timp, se poate considera ca variatia temporală a functiei este aproximativ constanta in timp.

In analiza procesului $\hat{n}(x, y)$ este suficient sa fie cunoscuta functia de corelatie a procesului. Aceasta reprezinta o mediere pe ansamblu a realizărilor functiei $\hat{n}(x, y)$, in doua puncte, adica

$$K(x, y, \Delta x, \Delta y) = \overline{\hat{n}(x, y) \hat{n}^*(x + \Delta x, y + \Delta y)}$$

Procesul aleator $\hat{n}(x, y)$ este stationar daca este un proces omogen si izotrop. Procesul $\hat{n}(x, y)$ este omogen daca valoarea medie $\overline{\hat{n}(x, y)} = const$. In acest caz, functia de corelatie nu depinde de locul unde este fixata originea sistemului de axe. Daca procesul este omogen numai dupa coordonata x, se poate scrie

$$K(\Delta x, y) = \overline{\hat{n}(x, y) \hat{n}^*(x + \Delta x, y)}. \quad (4.40)$$

Daca campul de radiatie este omogen dupa toate directiile (coordonatele) atunci este izotrop si se scrie sub forma: $\overline{\hat{n}(x, y) \hat{n}^*(x + \Delta x, y + \Delta y)} = K[(\Delta x)^2 + (\Delta y)^2] = K(\Delta \rho)$, adica depinde de valoarea absoluta a diferentei de coordonate sau de distanta $\Delta \rho$ intre punctele campului. Campul izotrop se poate caracteriza foarte bine cu functia de coordonate. Adesea procesul aleator $\hat{n}(x, y)$ se poate considera ca un proces ergodic, ceea ce permite inlocuirea mediei pe ansamblu cu media dupa coordonate

$$\overline{\hat{n}(x, y)} = \lim_{\substack{X \rightarrow \infty \\ Y \rightarrow \infty}} \frac{1}{XY} \int \int_{XY} \hat{n}(x, y) dx dy. \quad (4.41)$$

Valoarea functiei de corelatie in punctele $\Delta x = 0$, $\Delta y = 0$ este egala cu dispersia procesului aleator σ_n^2 daca valoarea medie a procesului aleator este egala cu zero.

Spectrul energetic al procesului aleator se determina cu ajutorul transformatei Fourier aplicata direct asupra functiei de corelatie si are forma

$$S(\omega_x, \omega_y) = \int \int_{-\infty}^{+\infty} K(\Delta x, \Delta y) e^{-j(\omega_x \Delta x + \omega_y \Delta y)} d(\Delta x) d(\Delta y)$$

Acest spectru energetic determina puterea medie pe fiecare componenta spectrala a procesului aleator, adica

$$S(\omega_x, \omega_y) = \lim_{\substack{X \rightarrow \infty \\ Y \rightarrow \infty}} \frac{1}{XY} [\hat{N}(\omega_x, \omega_y) \hat{N}^*(\omega_x, \omega_y)]$$

unde $\hat{N}(\omega_x, \omega_y)$ este transformata Fourier a funcției $\hat{n}(x, y)$. Cu ajutorul transformatei Fourier inverse aplicata spectrului energetic se poate obtine functia de corelatie a procesului, deoarece spectrul reprezinta o functie reala, iar functia de corelatie este egala cu complex conjugata ei pentru valori pozitive si negative ale argumentului $K(\Delta x, \Delta y) = K^*(-\Delta x, -\Delta y)$. Se poate scrie

$$K(\Delta x, \Delta y) = \frac{1}{4\pi^2} \int_{-\infty}^{+\infty} \int_{-\infty}^{+\infty} S(\omega_x, \omega_y) e^{j(\omega_x \Delta x + \omega_y \Delta y)} d\omega_x d\omega_y.$$

Dispersia procesului aleatoriu analizat se obtine pentru $\Delta x = \Delta y = 0$

$$\sigma_n^2 = \frac{1}{4\pi^2} \int_{-\infty}^{+\infty} \int_{-\infty}^{+\infty} S(\omega_x, \omega_y) d\omega_x d\omega_y. \quad (4.42)$$

Daca procesul aleatoriu analizat este un zgomot atunci spectrul energetic al acesteia se numeste densitatea spectrala a puterii zgomotului. Pentru un zgomot izotrop functia de corelatie si spectrul energetic depind numai de o singura variabila $\Delta\rho$ si sunt legate intre ele prin transformata Fourier-Bessel (Hankel)

$$K(\Delta\rho) = \frac{1}{2\pi} \int_0^{\infty} S(\omega_\rho) J_0(\Delta\rho\omega_\rho) \omega_\rho d\omega_\rho. \quad (4.43)$$

si

$$S(\omega_\rho) = 2\pi \int_0^{\infty} K(\Delta\rho) J_0(\Delta\rho\omega_\rho) \Delta\rho d(\Delta\rho). \quad (4.43)$$

unde $\omega_\rho = \sqrt{\omega_x^2 + \omega_y^2}$ si J_0 – este functia Bessel de ord.zero.

4.4.2 Semnale optice aleatoare tipice

Se analizeaza un semnal aleator format prin suprapunerea unor semnale deterministe elementare, de forma $\alpha = \alpha(x - x_i, y - y_j)$ care apar intamplator, in diferite puncte din spatiu.

Aparitia unui semnal elementar poate fi privita ca un eveniment intamplator independent. Daca se noteaza cu n_{ij} numarul semnalelor elementare aparute intr-o anumita zona a spatiului egala cu unitatea, atunci semnalul aleator in spatiu este

$$z(x, y) = \sum_{i=-\infty}^{+\infty} \sum_{j=-\infty}^{+\infty} n_{ij} \alpha(x - x_i, y - y_j).$$

Se introduce notatia $n_{ij} = \bar{n} \Delta x_i \Delta y_j$ unde \bar{n} reprezinta numarul mediu de semnale elementare aparute pe unitatea de suprafata.

Valoarea medie a intensitatii semnalului aleator este

$$\bar{z}(x, y) = \bar{n} \sum_{\substack{i=-\infty \\ j=-\infty}}^{+\infty} \alpha(x - x_i, y - y_j) \Delta x_i \Delta y_j . \quad (4.45)$$

Daca numarul surselor elementare este foarte mare, se poate considera ca acestea prezinta o distributie continua si expresia (4.45) se poate scrie sub forma unei integrale

$$\bar{z}(x, y) = \bar{n} \int_{-\infty}^{+\infty} \int_{-\infty}^{+\infty} \alpha(x, y) dx dy .$$

Functia de autocorelatie a semnalului se determina cu relatia

$$K(\Delta x, \Delta y) = \bar{n} \int_{-\infty}^{+\infty} \int_{-\infty}^{+\infty} \alpha(x, y) \alpha(x + \Delta x, y + \Delta y) dx dy , \quad (4.46)$$

unde Δx si Δy sunt distantele intre doua puncte.

4.4.3 Zgomotul spatial alb

Daca semnalul optic reprezinta o functie de forma δ spatiala: $\alpha(x, y) = c \cdot \delta(x, y)$, atunci valoarea medie a semnalului aleator este

$$\bar{z}(x, y) = \bar{n} c \int_{-\infty}^{+\infty} \int_{-\infty}^{+\infty} \delta(x, y) dx dy = \bar{n} c .$$

Functia de autocorelatie a semnalului aleator este

$$K(\Delta x, \Delta y) = \bar{n} c \int_{-\infty}^{+\infty} \int_{-\infty}^{+\infty} \delta(x, y) \delta(x + \Delta x, y + \Delta y) dx dy = \bar{n} c \delta(\Delta x, \Delta y) .$$

Daca in expresia obtinuta se pune $\Delta x = \Delta y = 0$, se obtine dispersia semnalului pentru $\delta(0,0) = \infty$, deci $\sigma^2 = \infty$.

Densitatea spectrala a zgomotului alb este

$$S(\omega_x, \omega_y) = \bar{n} c \int_{-\infty}^{+\infty} \int_{-\infty}^{+\infty} \delta(\Delta x, \Delta y) e^{-j(\omega_x \Delta x + \omega_y \Delta y)} d(\Delta x) d(\Delta y) = \bar{n} c . \quad (4.7)$$

Rezulta ca spectrul semnalului optic spatial alb este constant.

4.5 Determinarea valorilor tipice ale unui proces optic staționar pe baza datelor obținute experimental

4.5.1 Consideratii generale

Experimentul constă în formarea unui semnal optic aleator și măsurarea în diferite puncte ale unui ecran a distribuției de iluminare energetică pentru obținerea marimilor caracteristice ale semnalului. În acest scop este studiată partea spațială a semnalului optic.

Semnalul optic se formează ca urmare a procesului de modulație a fascicului de raze care trece printr-o mască cu o transmisie optică complexă. Dacă propagarea semnalului se face după axa z , partea spațială a semnalului $f(x,y)$ se exprimă prin distribuție de intensitate energetică bidimensională (2D).

Se consideră că mască este dispusă în planul (x,y) și are funcția de transmisie optică $t(x,y)$. Dacă semnalul purtător (fasciculul de raze) aplicat la intrarea planului (x,y) are distribuția de intensitate $f_i(x,y)$, atunci semnalul optic rezultat la ieșirea masei va fi

$$f_e(x,y) = f_i(x,y)t(x,y)$$

Semnalul purtător 2D cel mai simplu este reprezentat de un fascicul de raze paralele, cu expresia analitică

$$f_i(x,y) = \begin{cases} E_o & \text{pentru } (x,y) \in A, \\ 0 & \text{pentru } (x,y) \notin A, \end{cases}$$

unde A este suprafața transparentă a masei și E_o – amplitudinea semnalului $f_i(x,y)$.

Semnalul optic rezultat la ieșirea transparente va fi

$$f_e(x,y) = \begin{cases} E_o t(x,y) & \text{pentru } (x,y) \in A, \\ 0 & \text{pentru } (x,y) \notin A. \end{cases}$$

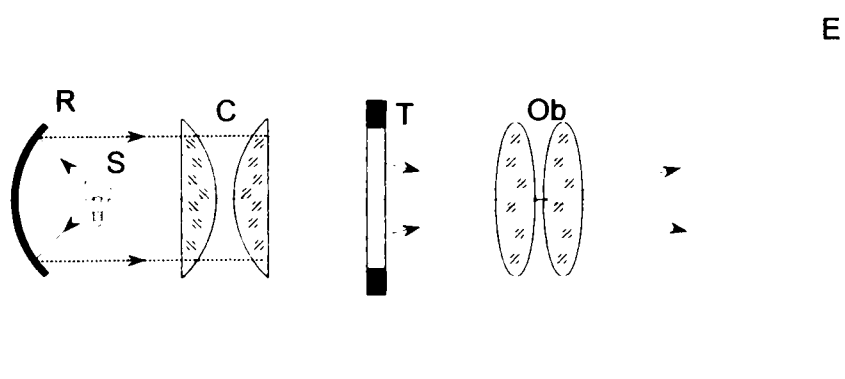


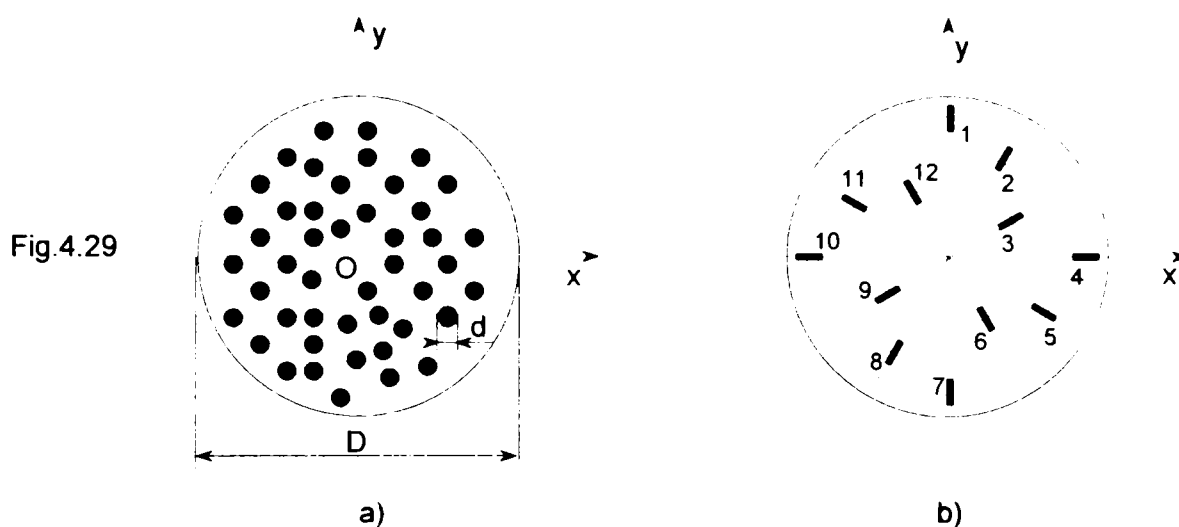
Fig. 4.28 Schema de principiu a montajului utilizat la obținerea semnalului optic aleator
S – sursa de lumină; C – condensor; T – transparentă; Ob – obiectiv; E – ecran; R – reflector.

În fig. 4.28 este prezentată schema optică de principiu a unui montaj care asigură formarea semnal optic aleator și determinarea caracteristicilor acestuia.

Funcționarea montajului este următoarea: lumina care pleacă de la sursa de lumină S, trece prin condensorul C și sub formă unui fascicul de raze trece prin masca T. Aceasta reprezintă un ecran subțire și opac, de formă circulară cu diametrul D, în care sunt prevăzute orificii circulare, cu diametrul $d \ll D$, cu o dispunere aleatoare (fig. 4.29 a).

Fasciculul de raze care părăsește masca ia forma conturilor transparente ale acesteia și, după ce trece prin obiectivul Ob, este proiectat pe ecranul E.

Pe ecran, imaginea inversată a conturului mastii cu diametrul D' , se suprapune peste un contur circular desenat pe o foaie de calc la o anumită scară (fig. 4.29 b). Pentru ca cele două



contururi să coincidă se apropie sau se depărtează masca de obiectiv.

Măsurarea variației iluminării energetice în planul ecranului se face cu ajutorul unei fotorezistente. Funcționarea fotorezistentei se bazează pe proprietatea unor materiale semiconductoare de a-și schimba conductanța (rezistența) sub acțiunea luminii (fenomenul fotoelectric intern). Cu ajutorul lor se pot realiza dispozitive de măsurare a intensității luminoase de mare sensibilitate. În fig. 4.30 a este reprezentată schema de conectare a fotorezistentei. Tensiunea de alimentare a circuitului de măsurare este asigurată de o baterie cu $U = 1,5V$.

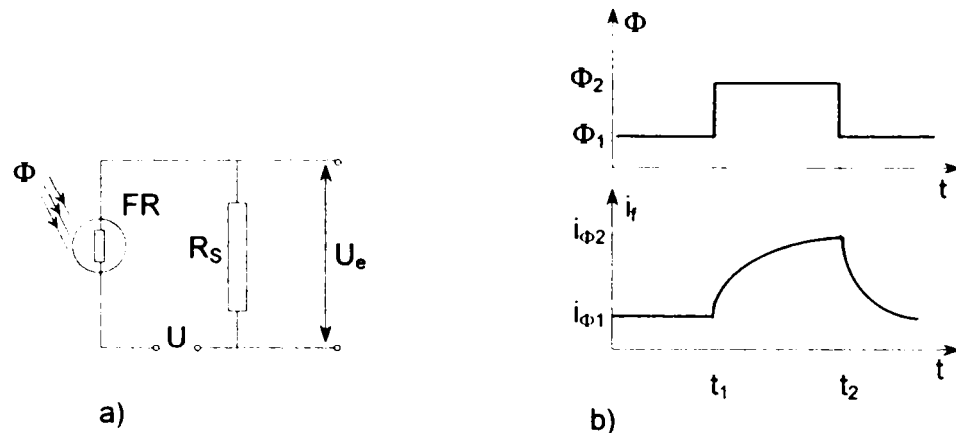
Curentul fotoelectric i_f , care trece prin rezistența de sarcină R_s depinde de fluxul luminos Φ și de tensiunea de alimentare U , adică $i_f = \varphi(\Phi, U)$. Un parametru important al fotorezistentei este sensibilitatea integrală $K = \frac{i_f}{\Phi} [\mu A/lm]$. Tensiunea de la ieșirea circuitului de măsurare este proporțională cu variația nivelului de iluminare a fotorezistentei, adică $U_e = k(\Phi_2 - \Phi_1)$. Tensiunea U_e se aplică unui milivoltmetru și indicațiile acestuia vor fi proporționale cu variațiile de flux energetic incident la suprafața de lucru a fotorezistentei.

Coeficientul de modulație optică care se obține cu schema prezentată se exprimă cu

$$\text{raportul } m = \frac{\Phi_2 - \Phi_1}{\Phi_2} < 1.$$

Variația de tensiune la ieșirea schemei de măsurare pentru cele două mărimi ale fluxului

Fig. 4.30



luminos (fig. 4.30 b) este $\Delta U_e = U_{e2} - U_{e1} = m\Phi_2KR_s$.

4.5.2 Procedeeul de formare a semnalului optic aleator

Pentru a forma semnalul optic aleator masca din fig. 4.29 se rotește în 8 poziții decalate cu 45° una de alta. Pentru o poziție a mastii se efectuează 12 măsurări ale iluminării în planul ecranului (fig. 4.38 b), în punctele rezultate din intersecția cercurilor de raze R , $2/3R$ și $1/3R$ cu direcțiile $\varphi = 0^\circ, 30^\circ, 60^\circ, 90^\circ, 120^\circ, 150^\circ, 180^\circ, 210^\circ, 240^\circ, 270^\circ, 300^\circ, 330^\circ$.

Pe fiecare cerc se efectuează câte 4 măsurări, în punctele: $(R,0)$, $(R,90)$, $(R,180)$, $(R,270)$; $(2/3R,30)$, $(2/3R,120)$, $(2/3R,210)$, $(2/3R,300)$; $(1/3R,60)$, $(1/3R,150)$, $(1/3R,240)$, $(1/3R,330)$.

Valorile obținute la măsurarea iluminării energetice în planul ecranului sunt trecute în tabelul 4.1.

Pozițiile pe care le ocupă masca sunt definite de unghiul φ_k , unde $k = 1, 2, \dots, 7$.

Fiecarei poziții a mastii φ_k îi corespunde un număr de 12 realizări, notate $e_i(\varphi_k)$, reprezentând valoarea iluminării corespunzătoare realizării i , pentru poziția φ_k . Informația cuprinsă în tabelul 4.1 pune în evidență rezultatele a 12 experimente efectuate asupra unui sistem de 7 variabile aleatoare $E(\varphi_1)$, $E(\varphi_2)$, $E(\varphi_3)$, $E(\varphi_4)$, $E(\varphi_5)$, $E(\varphi_6)$, $E(\varphi_7)$, sistem pentru care s-au estimat valorile statistice ale procesului.

Tabelul nr. 4.1

Nr. măsurări	Pozitie masca						
	φ_1 [mV]	φ_2 [mV]	φ_3 [mV]	φ_4 [mV]	φ_5 [mV]	φ_6 [mV]	φ_7 [mV]
1	0.78	0.65	1.28	1.40	1.44	0.70	0.60
2	0.40	0.66	0.74	1.16	1.18	0.74	0.70
3	1.44	1.24	1.34	1.20	0.60	0.68	0.40
4	1.21	1.36	1.24	0.45	0.76	1.43	1.25
5	1.20	1.18	0.85	0.84	0.70	1.42	1.30
6	0.82	0.82	0.80	1.10	1.16	1.40	1.10
7	0.76	0.86	0.70	1.20	1.36	1.32	0.80
8	0.70	0.50	0.70	0.80	1.10	0.88	0.85
9	0.64	0.56	1.15	0.60	0.60	0.74	0.70
10	0.72	1.16	1.36	0.58	0.76	0.66	0.70
11	0.60	0.66	0.70	1.60	1.16	1.40	0.50
12	1.16	0.56	1.22	0.68	1.24	1.24	0.80

Datele din tabelul 4.1 sunt comparate cu o iluminare medie masurata pa axa mastii. Abaterile in plus sau in minus fata de iluminarea medie sunt prezentate in tabelul 4.2.

Tabel nr. 4.2

Numarul măsurării	Pozitie masca						
	φ_1 [mV]	φ_2 [mV]	φ_3 [mV]	φ_4 [mV]	φ_5 [mV]	φ_6 [mV]	φ_7 [mV]
1	-0.22	-0.35	0.28	0.40	0.44	-0.30	-0.40
2	-0.60	-0.34	-0.26	0.16	0.18	-0.26	-0.30
3	0.44	0.24	0.34	0.20	-0.40	-0.32	-0.60
4	0.21	0.36	0.24	-0.55	-0.24	0.43	0.25
5	0.20	0.18	-0.15	-0.16	-0.30	0.42	0.30
6	-0.18	-0.18	-0.20	0.10	0.16	0.40	0.10
7	-0.24	-0.14	-0.30	0.20	0.36	0.32	-0.20
8	-0.30	-0.50	-0.30	-0.20	0.10	-0.12	-0.15
9	-0.36	-0.44	0.15	-0.40	-0.40	-0.26	-0.30
10	-0.28	0.16	0.36	-0.42	-0.24	-0.34	-0.30
11	-0.40	-0.34	-0.30	0.60	0.16	0.40	-0.50
12	0.16	-0.44	0.22	-0.32	0.24	0.24	-0.20

Pe baza acestor date se vor determina:

- valorile tipice ale procesului aleator $e_i(\varphi_k)$;
- valorile tipice ale procesului considerand ca acesta este aproximativ stationar.

4.5.3 Valorile tipice estimate ale procesului $e_i(\varphi_k)$

Valorile tipice estimate ale procesului sunt media, dispersia, abaterea medie patratice și funcția de corelație. Aceste valori sunt calculate cu ajutorul formulelor prezentate mai jos:

- valoarea medie
$$m(\varphi_k) = \frac{1}{n} \sum_{i=1}^n E_i(\varphi_k);$$

- dispersia
$$D^2(\varphi_k) = \frac{1}{n-1} \sum_{i=1}^n [E_i(\varphi_k) - m(\varphi_k)]^2;$$

- funcția de corelație
$$R(\varphi_k, \varphi_l) = \frac{1}{n-1} \sum \{ [E_i(\varphi_k) - m(\varphi_k)] [E_i(\varphi_l) - m(\varphi_l)] \}.$$

Pentru calculul dispersiei în lucrare este folosită o formulă bazată pe momentele inițiale și centrate [69]

$$D^2(\varphi_k) = \left\{ \frac{\sum_{i=1}^n [E_i(\varphi_k)]^2}{n} - [m(\varphi_k)]^2 \right\} \frac{n}{n-1}$$

Pe baza datelor din tabelul 4.2 s-au determinat următoarele valori tipice: media procesului $m(\varphi_k)$, dispersia procesului $D^2(\varphi_k)$ și abaterea medie patratice $D(\varphi_k)$, iar rezultatele sunt trecute în tabelul 4.3

Tabelul nr. 4.3

φ_k	$m(\varphi_k)$	$D^2(\varphi_k)$	$D(\varphi_k)$
1	-0.13083	0.09584	0.30958
2	-0.14917	0.09282	0.30467
3	0.01833	0.08448	0.29066
4	-0.03250	0.12998	0.36053
5	0.00500	0.09084	0.30140
6	0.05083	0.11526	0.33950
7	-0.19167	0.07856	0.28028

Pe baza valorilor trecute in tabelul 4.3 in fig. 4.31 s-au reprezentat graficele $m(\varphi_k)$, $D^2(\varphi_k)$ și $D(\varphi_k)$.

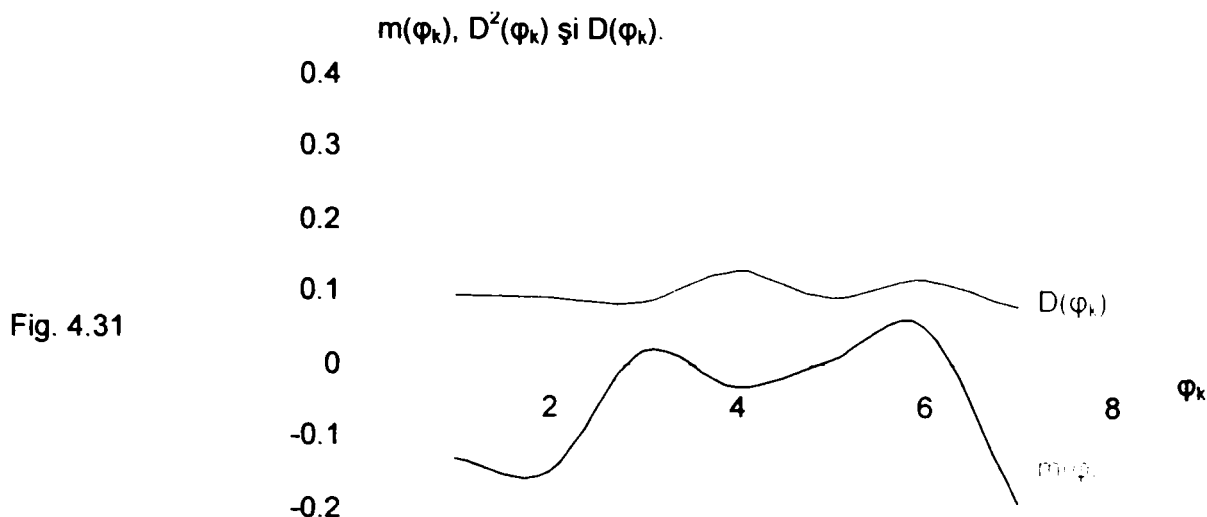


Fig. 4.31

4.5.4 Determinarea coeficientilor de corelatie

Pentru determinare functiei de corelatia a procesului analizat, se utilizeaza formula

$$R(\varphi_k, \varphi_l) = \left\{ \frac{\sum_{i=1}^n [E_i(\varphi_k) E_i(\varphi_l)]}{n} - m(\varphi_k) m(\varphi_l) \right\} \frac{n}{n-1},$$

unde $R(\varphi_k, \varphi_l)$ reprezinta coeficientii de corelatie pentru intervalele de corelatie $\Delta\varphi = 0,1, 2, 3, 4, 5, 6$. Valorile obtinute dupa efectuarea calculelor sunt trecute in tabelul 4.4.

Tabelul 4.4

$\varphi_l \backslash \varphi_k$	1	2	3	4	5	6	7
1	0.095845	0.059928	0.03958	-0.03001	-0.04027	0.026337	0.02278
2		0.092827	0.058929	-0.03016	-0.009	0.018145	0.029629
3			0.084488	0.023596	-0.2505	0.011838	-0.00353
4				0.129984	0.059523	0.002593	-0.05257
5					0.090845	0.017395	-0.01232
6						0.115263	0.060583
7							0.078561

Se observa ca pe diagonala principala a tabelului 4.4 sunt trecute dispersiile, adica cazurile particulare ale functiei de corelatie $R(\varphi_k, \varphi_l)$ pentru $\varphi_k = \varphi_l$.

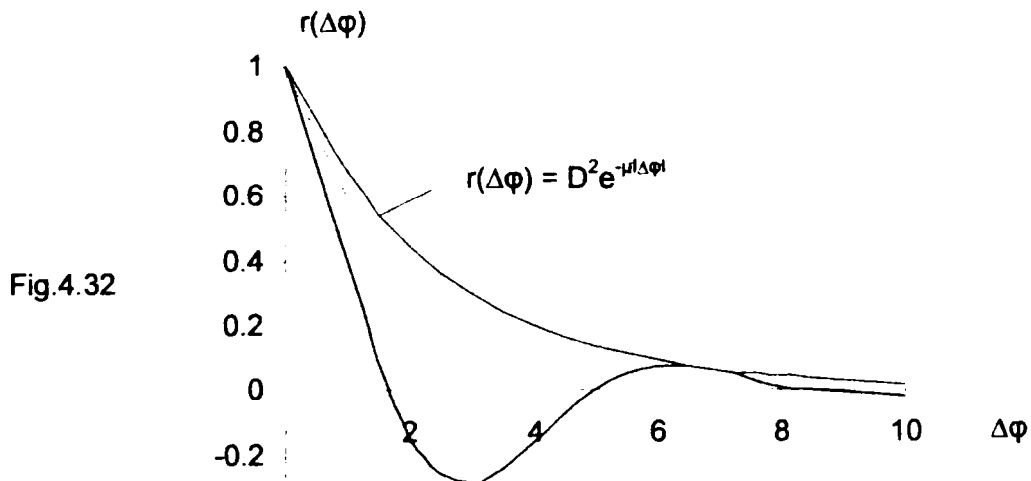
Valorile estimate ale functiei de corelatie normate $r(\varphi_k, \varphi_l)$ au fost calculate impartind valorile din tabelul 4.4 la produsul abaterilor medii patratice respective. Rezultatele obtinute sunt trecute in tabelul 4.5.

Tabelul nr. 4.5

$\varphi_k \backslash \varphi_l$	1	2	3	4	5	6	7
1	1	0.625262	0.412963	-0.31312	-0.42014	0.27479	0.237679
2		1	0.634827	-0.32492	-0.097	0.195469	0.319185
3			1	0.279281	-0.29644	0.140113	-0.04178
4				1	0.457923	0.01995	-0.40442
5					1	0.191484	-0.13559
6						1	0.52561
7							1

Pe diagonala principala a matricii sunt dispusi coeficientii de corelatie normati, corespunzatori sectiunilor $\varphi_k = \varphi_l$, adica $r(\varphi_1, \varphi_1), r(\varphi_2, \varphi_2), \dots, r(\varphi_7, \varphi_7)$. Acesti coeficienti sunt egali cu 1, corespunzand decalajului $\Delta\varphi = \varphi_k - \varphi_l = 0$. Pe directii paralele cu diagonala principala sunt trecuti coeficientii de corelatie normati, corespunzand decalajelor $\Delta\varphi = 1, 2, 3, 4, 5, 6$. De exemplu, pentru $\Delta\varphi = 1$, se obtin urmasorii coeficienti de corelatie $r(1,2) = 0,625, r(2,3) = 0,412, \dots, r(6,7) = 0,237$.

Se observa ca pentru aceeasi valoare $\Delta\varphi = 1$, valorile coeficientilor de corelatie normati difera semnificativ. Pentru calculul functiei de corelatie normate se determina media pe fiecare diagonala din tabelul 4.5. Datele obtinute sunt trecute in tabelul 4.6



Tabel nr. 4.6

$\Delta\varphi$	0	1	2	3	4	5	6
$r(\Delta\varphi)$	1	0,452398	-0,06481	-0,16861	-0,08882	0,096987	0,237679

Cele șapte valori obținute aproximează funcția de corelație a procesului analizat $E(\varphi)$, presupus a fi staționar. În fig. 4.32 este reprezentată funcția de corelație normată $r(\Delta\varphi)$.

După cum se observă din tabelul 4.6, funcția de corelație are și valori negative. Acest lucru indică faptul că în structura funcției de corelație există o anumită periodicitate.

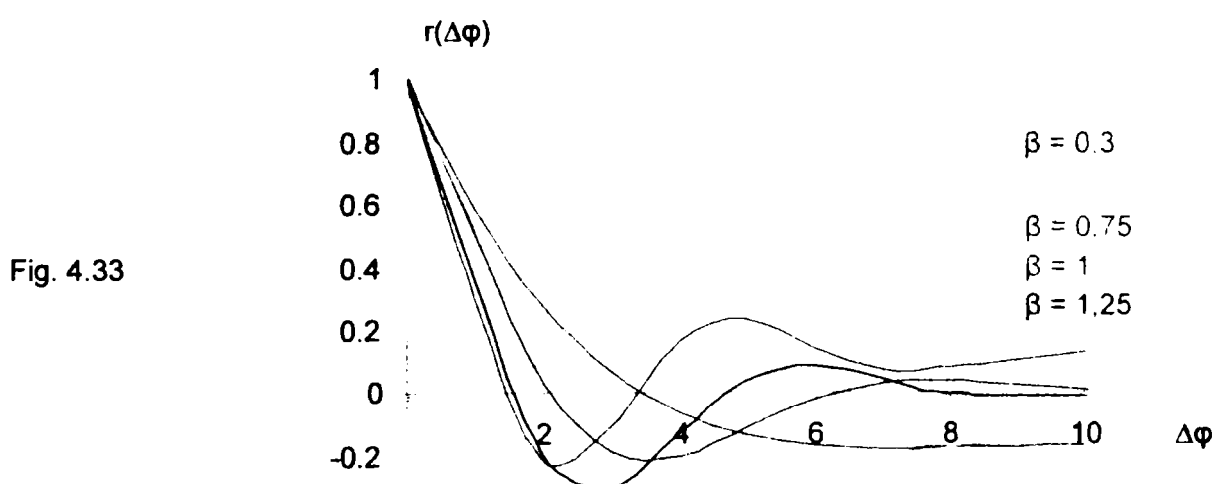
Alura funcției de corelație obținută este adesea întâlnită în practică. De obicei, această funcție se aproximează cu ajutorul unor funcții analitice simple:

- funcția exponențială $r(\Delta\varphi) = D^2 e^{-\mu|\Delta\varphi|}$, unde $D = 1$ este dispersia normată a procesului și μ – parametrul de amortizare al procesului.

Pe același grafic sunt reprezentate (fig. 4.32) curbele funcției de corelație normale construite pe baza datelor din tabelul 4.6 și a funcției exponențiale care aproximează acest proces. Din figura rezultă parametrul de amortizare $\mu = 1/2.5 = 0,4[1/\text{grad}]$.

- funcția $r(\Delta\varphi) = D^2 e^{-\mu|\Delta\varphi|} \cos\beta\Delta\varphi$, unde $D = 1$ este dispersia normată a procesului, μ – parametrul de amortizare al procesului și β – parametrul oscilației.

În fig. 4.33 sunt reprezentate mai multe curbe, calculate pentru diferite valori ale parametrului β . Prin comparația alurii curbei obținute experimental cu alura curbelor trasate la calculator se determină valoarea parametrului β pentru care curba teoretică aproximează cât mai bine procesul analizat.



4.5.5 Densitatea spectrală a semnalului optic aleator

Pentru determinarea densității spectrale (distributia de iluminare energetică după frecvența spațială) a semnalului optic aleator format, se aproximează funcția de corelație din fig. 4.32 cu expresia analitică

$$r(\Delta\varphi) = D^2 e^{-\mu|\Delta\varphi|},$$

unde dispersia $D^2 = 1$ și parametrul de amortizare $\mu = 0.4[1/\text{grad}]$.

Densitatea spectrală a semnalului optic se determină cu integrala Fourier

$$S(\omega_\varphi) = \int_{-\infty}^{+\infty} r(\Delta\varphi) e^{-j\omega_\varphi \Delta\varphi} d(\Delta\varphi).$$

După efectuarea calculelor, rezulta

$$S(\omega_\varphi) = \int_{-\infty}^{+\infty} e^{-0.4|\Delta\varphi| - j\omega_\varphi \Delta\varphi} d(\Delta\varphi) = \frac{0.8}{0.4^2 + \omega_\varphi^2}.$$

Cu notația $X = 1/\mu = 2.5\text{grad}$, se obține

$$S(\omega_\varphi) = \frac{5}{1 + 6.25\omega_\varphi^2},$$

cu reprezentarea grafică în fig. 4.34

Aplicând proprietatea de liniaritate a funcției de autocorelație, adică funcția de autocorelație a unui semnal cu mai multe componente independente este egală cu suma funcțiilor de autocorelație a componentelor. Dacă în semnalul analizat există și o

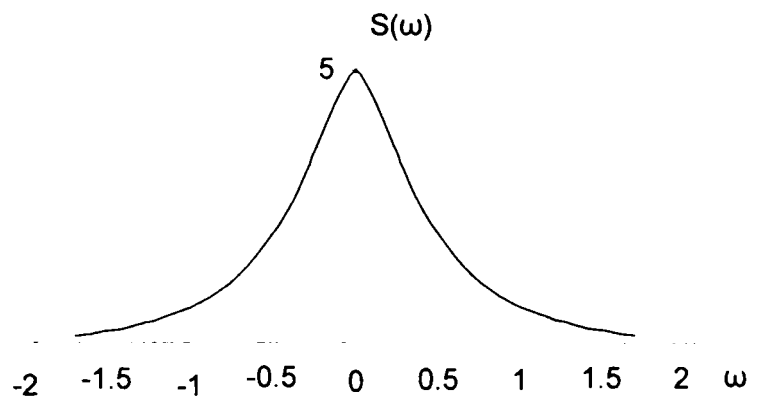


Fig. 4.34

componentă continuă, de forma $E(\varphi) = m$, atunci $r(\Delta\varphi) = E(\varphi) \cdot E(\varphi + \Delta\varphi) = m^2$ și semnalul compus va avea funcție de corelație $r(\Delta\varphi) = e^{-\mu|\Delta\varphi|} + m^2$, cu reprezentarea grafică din fig. 4.35 a.

Pentru cazul analizat, dacă $m = 0.5$, densitatea spectrală a semnalului va fi

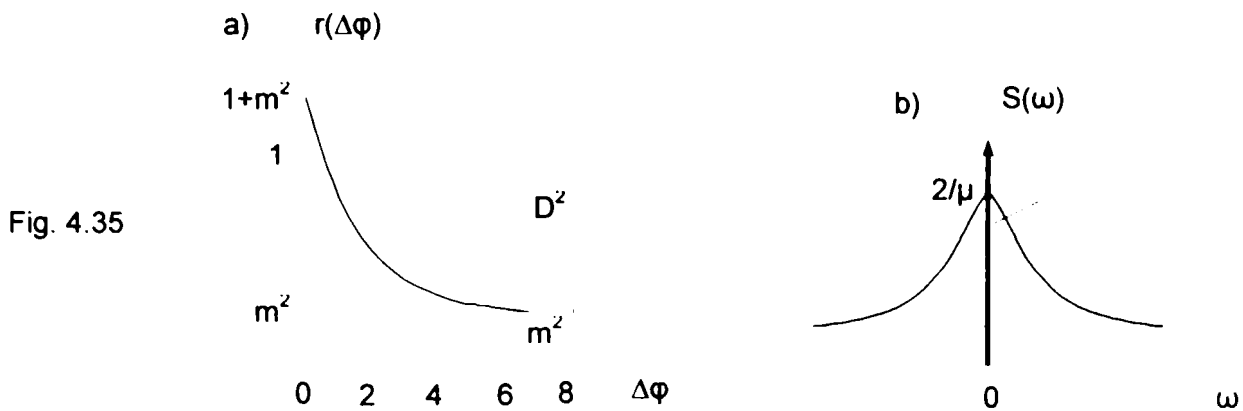
$$S(\omega_\varphi) = \int_{-\infty}^{+\infty} [e^{-\mu|\Delta\varphi|} + 0.25] e^{-j\omega_\varphi \Delta\varphi} d(\Delta\varphi) = 1.57\delta(\omega_\varphi) + \frac{5}{1 + 6.25\omega_\varphi^2},$$

cu reprezentarea grafică din fig. 4.35 b.

Dacă funcția de corelație a semnalului optic format se aproximează cu expresia analitică

$$r(\Delta\varphi) = D^2 e^{-\mu|\Delta\varphi|} \cos \beta\Delta\varphi,$$

unde $D = 1$, parametrul de amortizare $\mu = 0.4[1/\text{grad}]$ și $\beta = 0.72\text{rad}$.



Densitatea spectrala a semnalului este

$$S(\omega_\varphi) = \int_{-\infty}^{+\infty} e^{-0.4|\Delta\varphi| - j\omega_\varphi\Delta\varphi} \cos \beta\Delta\varphi d(\Delta\varphi) = 0,4 \left[\frac{1}{0,4^2 + (\omega_\varphi - 0,75)^2} + \frac{1}{0,4^2 + (\omega_\varphi + 0,75)^2} \right].$$

4.6 Concluzii si contributi originale

In acest capitol sunt tratate probleme specifice formarii semnalelor optice necoerente prin procedeul de modulare a fasciculelor de raze optice cu ajutorul mastilor cu transmisie optica complexa (a diaframelor cu sectiune fixa si variabila), probleme mai putin abordate in lucrari similare de specialitate. Sunt analizate particularitatile acestor semnale, este evidentiata importanta partii spatiale (distributia 2D a intensitatii energetice) a semnalului ca purtator de informatii, sunt prezentate principalele caracteristici ale semnalelor optice si se face o clasificare a lor. Este analizat modul de reprezentare a semnalelor optice periodice cu ajutorul seriilor Fourier si, ca aplicatie, sunt tratate diferite succesiuni periodice de semnale optice. De asemenea, sunt evidentiata caracteristicile spatiale si frecventiale ale semnalului optic de forma unei succesiuni de impulsuri optice dreptunghiulare (fasciculele de raze paralele) si este analizat spectrul de transmisie al discului modulator, cu elementele transparente si opace dispuse in diferite configuratii geometrice.

In continuare este tratata si reprezentarea semnalelor optice neperiodice cu ajutorul integralelor Fourier si Hankel. Ca aplicatie, este analizat modul de formare a semnalelor optice tipice: - semnalul optic punctiform; - semnalul optic linie; - semnalul trapta unitara; - semnalul optic dreptunghiular; - semnalul optic circular, sunt determinate principalele caracteristici spatiale si frecventiale ale semnalelor, precum si spectrele acestora. O atentie deosebita s-a acordat semnalelor optice formate cu ajutorul deschiderilor de forma dreptunghiulara si circulara. In acest caz, rezultatele obtinute coincid cu cele cunoscute din teoria difractiei luminii

printr-un orificiu dreptunghiular, sau circular. De fapt, folosind unele consecințe rezultate din teoria difracției s-a putut da o interpretare fizică notiunilor de spectru și frecvență spațială a semnalului optic. Problematika semnalelor optice determinate se încheie cu prezentarea unor metode originale de calcul a caracteristicilor spectrale ale semnalelor optice obținute cu deschideri care au forma de romb, de elipsă, sau succesiuni periodice de linii, impulsuri δ etc.

În încheiere este prezentat un procedeu original de formare a unui semnal optic aleator, metoda de măsurare în diferite puncte ale unui ecran a iluminării energetice produse de semnal, modul de prelucrare a datelor obținute în vederea estimării caracteristicilor statistice ale semnalului și, în final, determinarea funcției de corelație. Sunt propuse două funcții analitice care aproximează curba funcției de corelație obținută experimental și, cu ajutorul lor, se determină densitatea spectrală a semnalului optic aleator format în condiții de laborator.

Contribuții: Sunt tratate în mod unitar probleme referitoare la modul de formare a semnalelor optice necoerente. Sunt analizate caracteristicile purtătoare optice și ale semnalului optic format. Cu ajutorul transformărilor Fourier se face analiză și sinteză celor mai importante semnale optice determinate utilizate frecvent în studiul sistemelor și elementelor optice.

Sunt studiate și semnalele optice aleatoare caracterizate de o putere medie definită și măsurabilă. Aceste semnale sunt considerate ca fiind rezultatul suprapunerii unui număr mare de impulsuri elementare de radiație, produse în mod neregulat și intamplator de constituenții care compun atmosfera terestră – canalul neghidat în care se propaga semnalul optic necoerent.

Sunt determinate valorile tipice ale unui proces optic staționar pe baza datelor obținute experimental. Sunt prezentate schema de principiu a montajului optic folosit la obținerea semnalului optic aleator și schema de măsurare a iluminării la nivelul ecranului. Datele obținute sunt prelucrate cu ajutorul calculatorului pentru determinarea valorilor tipice estimate: valoarea medie, dispersia și funcția de corelație. Sunt calculați coeficienții de corelație și se reprezintă grafic funcția de corelație. Sunt propuse două funcții analitice, dependente de un parametru, cu ajutorul cărora se aproximează funcția de corelație obținută experimental. Pe baza funcțiilor analitice se determină spectrul de putere al procesului optic studiat.

Bibliografie: [A1],[A2],[A3],[B1],[B2],[B3],[B4],[B6],[B7],[C2],[C3],[C4],[C5],[C6],[C7],[C8],[C9],[C10],[C11],[C15],[D1],[D2],[D5],[D10],[D11],[D12],[D13],[D14],[D15],[D16],[D17],[D18],[D19],[D20],[D21],[D22],[D23],[G1],[G2],[G3],[G4],[G5],[G6],[G10],[G12],[G13],[G15],[G16],[G17],[H1],[H2],[H3],[H4],[H5],[I1],[I4],[J1],[J3],[G8],[G9],[K3],[K4],[K5],[K6],[K7],[K8],[L1],[L3],[L3],[M2],[M4],[N2],[P1],[P2],[P2],[P3],[S2],[S3],[S4],[V1],[V2],[V3],[Z2],[Z3],[Z4].

CAP.5

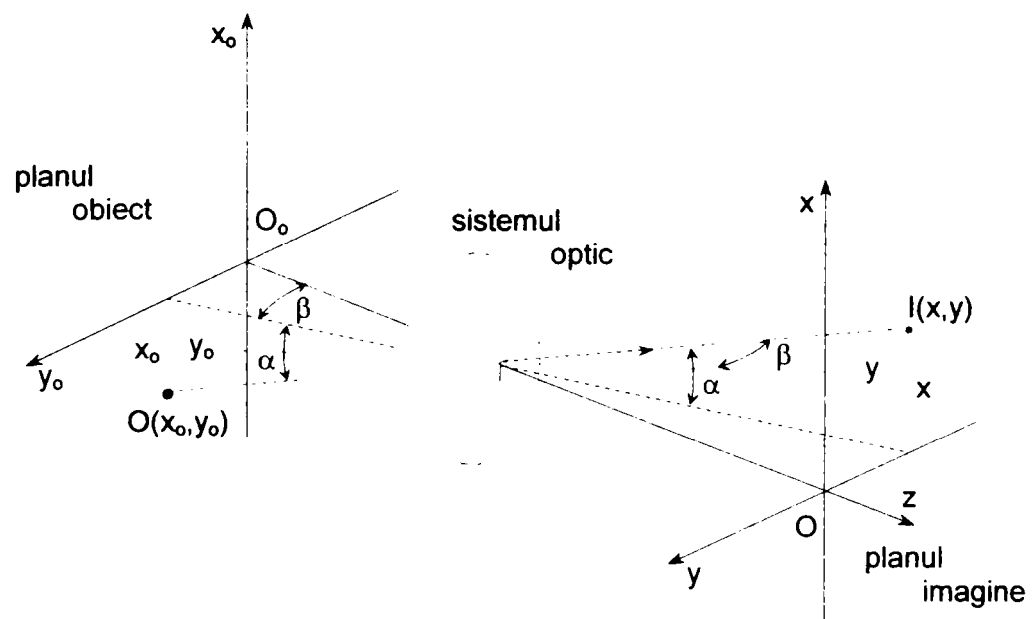
FILTRAREA SEMNALELOR
OPTICE

5.1 Tratare operationala a sistemelor optice

5.1.1 Noțiuni generale

Teoria filtrării liniare se aplica numai sistemelor optice ideale (lipsite de aberatii) care transforma distributia de stralucire din spatiul obiect $O(x_0, y_0)$ intr-o noua distributie de iluminare in planul imagine. O caracteristica esentiala a sistemului optic liniar, evidentiata de Gudman, este aceea de a transforma semnalul aplicat la intrare (distributia de stralucire din planul obiect), intr-un alt semnal (distributia de iluminare din planul imagine) – semnalul de iesire care, de fapt, reprezinta imaginea reala a sursei termice. Trebuie subliniat ca formarea imaginii in infrarosu se discuta, de asemenea, in cadrul aproximatiei gaussiene, in care razele

Fig.5.1



sunt considerate paraxiale, iar unghiurile formate de orice raza cu axa optica se considera suficient de mici. In acest caz este valabila aproximatia $\sin \alpha \approx \tan \alpha \approx \alpha$. Pentru descrierea procesului de formare a imaginii termice se foloseste sistemul de coordonate prezentat in fig. 5.1. Punctul din spatiul obiect este determinat de coordonatele unghiulare (α, β) sau coordonatele liniare (x_0, y_0) , considerate fata de axa z - axa optica a sistemului. Coordonatele (x, y) din planul imagine al obiectivului lipsit de aberatii se determina cu relatiile $x = Mx_0$ si $y = My_0$, unde M este marirea unghiulara a sistemului optic. In general, descrierea unui sistem se face prin stabilirea unor relatii matematice intre marimile de iesire, de intrare si de stare ale sistemului.

In cazul sistemelor optice care formeaza imagini reale, intrarile si iesirile sunt fluxul energetic, iluminarea energetica sau intensitatea energetica etc. care sunt descrise cu functii reale, sau amplitudinea undelor electromagnetice de la intrare sau iesire care sunt functii complexe de doua variabile independente x si y .

$$f_i(x,y) \xrightarrow{S[*]} f_e(x,y)$$

Reprezentarea matematica a sistemului optic se poate

Fig.5.2

face cu ajutorul unui operator matematic $S[*]$, care poate fi imaginat ca actioneaza asupra marimii de intrare pentru a produce marimea de iesire. Se noteaza cu $f_i(x,y)$ marimea de intrare - distributia de stralucire in spatiul obiect a sursei termice bidimensionala. Prin definitie, marimea de iesire $f_e(x,y)$ reprezenta distributia de iluminare in planul imagine, si este $f_e(x,y) = S[f_i(x,y)]$, cu reprezentarea grafica din fig. 5.2.

Un sistem optic este liniar daca indeplineste principiile superpozitiei si transpozitiei:

- daca la intrarea sistemului optic se aplica un semnal optic care poate fi scris ca o suma de actiuni elementare $f_{i1} + f_{i2} + \dots + f_{in}$, atunci si semnalul de la iesire trebuie sa reprezinte o suma de raspunsuri elementare $f_{e1} + f_{e2} + \dots + f_{en}$, astfel ca fiecare termen f_{en} este rezultatul actiunii f_{in} , care actioneaza independent de celelalte actiuni (principiul superpozitiei);
- forma spatiala a semnalului de la iesire f_e nu depinde punctul (x,y) in care actioneaza semnalul de intrare f_i . Semnalul f_e se deplaseaza in planul imagine, fara a-si modifica forma spatiala, cu aceeasi cantitate cu care s-a deplasat fata de origine semnalul f_i (conditia de invarianta spatiala).

Proprietatea de liniaritate se poate extinde si asupra integralelor

$$S \left[\int_{-\infty}^{+\infty} f(\xi) g(x, \xi) d\xi \right] = \int_{-\infty}^{+\infty} f(\xi) S[g(x, \xi)] d\xi ,$$

unde operatorul $S[*]$ actioneaza numai asupra functiei care contine variabila x.

5.1.2 Caracteristica de transfer a sistemului optic

Se considera un sistem optic liniar (liniar in amplitudine sau in intensitate) caruia i se ataseaza operatorul matematic $S[*]$. Daca la intrarea sistemului se aplica un semnal $f_i(x,y) = \delta(x,y)$ - impulsul Dirac (intensitatea radiatiei produsa de o sursa punctiforma asezata la infinit fata de sistemul optic), raspunsul sistemului optic (imaginea sursei punctiforme in planul imagine) este

$$w(x, \xi; y, \eta) = L[\delta(x - \xi, y - \eta)], \quad (5.1)$$

unde $w(x, \xi; y, \eta)$ este *functia pondere* sau *functia imaginea punctului* a sistemului optic.

Daca la intrarea sistemului optic se aplica un semnal de o forma oarecare, raspunsul sistemului se obtine sub forma unei sume de raspunsuri elementare la cateva functii elementare, in care a fost descompus semnalul de la intrare.

O astfel de descompunere este oferita de proprietatea de filtrare a functiei Dirac. Daca sistemul optic poseda proprietatii de liniaritate atunci marimea de intrare – distributia de stralucire $O(x_o, y_o)$ se poate reprezenta sub forma unei sume (sau integrale) de functii elementare.

In cazul cel mai general, functia de distributie a stralucirii din planul obiect este o functie de patru variabile – 3 variabile spatiale si o variabila temporala. De obicei, in analizele obisnuite, coordonata z - profunzimea spatiului, se poate neglija si functia de stralucire din spatiul obiect poate fi reprezentata de doua variabile spatiale si una temporala.

Functia de distributie a stralucirii obiectului se poate scrie sub forma unei combinatii de functii δ ponderate

$$O(x_o, y_o) = \int_{-\infty}^{+\infty} \int_{-\infty}^{+\infty} O(\xi, \eta) \cdot \delta(x - \xi, y - \eta) d\xi \cdot d\eta. \quad (5.2)$$

Distributia de iluminare in planul imagine este

$$E(x, y) = S\{O(x_o, y_o)\} = S\left\{ \int_{-\infty}^{+\infty} \int_{-\infty}^{+\infty} O(\xi, \eta) \cdot \delta(x - \xi, y - \eta) d\xi \cdot d\eta \right\}. \quad (5.3)$$

Daca este indeplinita conditia de liniaritate a sistemului optic (5.1), se poate scrie

$$E(x, y) = \int_{-\infty}^{+\infty} \int_{-\infty}^{+\infty} O(\xi, \eta) \cdot S\{\delta(x - \xi, y - \eta)\} d\xi \cdot d\eta. \quad (5.4)$$

cu $S\{\delta(x - \xi, y - \eta)\} = w(x, \xi; y, \eta)$ *reactia* sistemului la un impuls δ (functia pondere a sistemului).

Integrala de superpozitie (5.4) se simplifica daca se considera sistemul optic ca fiind *invariant spatial*, adica reactia sistemului optic la un impuls spatial nu depinde de punctul (locul)

in care se aplica. Daca se presupune ca $M = 1$, rezulta

$$S\{\delta(x - \xi, y - \eta)\} = w(x - \xi, y - \eta).$$

Pentru simplificarea scrierii se considera cazul unidimensional ($x \neq 0$) si integrala (5.4) devine

$$E(x) = \int_{-\infty}^{+\infty} O(\xi)w(x - \xi)d\xi. \quad (5.5)$$

Aceasta integrala de convolutie apare numai in cazul in care sistemul optic este invariant spatial, adica raspunsul sistemului optic la impuls nu se modifica, indiferent in ce punct se aplica impulsul la intrare.

Din (5.5) rezulta ca valoarea functiei $E(x)$, in punctul x din planul imagine, reprezinta o suma de produse de forma $O(\xi).w(x-\xi)d\xi$, adica produsul intre stralucirea obiectului in punctul $x_0 = \xi$ si reactia sistemului optic in punctul x , aflat la distanta $|x-\xi|$ fata de punctul ξ din planul imagine.

5.1.3 Caracteristica de frecventa a sistemului optic

In mod curent sunt folosite doua tipuri de actiuni de intrare, pe baza carora se determina raspunsul sistemului optic liniar. Functiile care descriu actiunile de intrare sunt: $e^{j\vec{\omega} \cdot \vec{r}}$ si $\delta(\vec{r})$, unde vectorii \vec{r} si $\vec{\omega}$ sunt vectori de componente (x, y) , respectiv (ω_x, ω_y) .

Raspunsul sistemului optic la actiunea semnalului $e^{j\vec{\omega} \cdot \vec{r}}$ este *caracteristica de frecventa* sau *functia de transfer optic* a elementului/sistemului optic, notata $W(j\vec{\omega})$.

Raspunsul sistemului optic la functia $\delta(\vec{r})$ reprezinta *caracteristica de transfer* sau *functia pondere* a sistemului optic.

Cu ajutorul acestor caracteristici raspunsul sistemului optic liniar, la actiunea oricarui semnal aplicat la intrare, este

$$f_e(\vec{r}) = \frac{1}{(2\pi)^2} \int_{-\infty}^{+\infty} \int_{-\infty}^{+\infty} F_i(j\vec{\omega})W(j\vec{\omega})e^{j\vec{\omega} \cdot \vec{r}} d\vec{\omega}$$

si

$$f_e(\vec{r}) = \int_{-\infty}^{+\infty} \int_{-\infty}^{+\infty} f_i(\vec{r}_0)w(\vec{r} - \vec{r}_0)d\vec{r}, \quad (5.6)$$

unde $F_i(j\vec{\omega})$ este spectrul semnalului $f_i(\vec{r})$ aplicat la intrarea sistemului optic.

In acest caz, $f_i(\vec{r})$ va reprezenta transformata Fourier inversa a functiei $F_i(j\vec{\omega})$

$$f_i(\vec{r}) = \frac{1}{(2\pi)^2} \int_{-\infty}^{+\infty} \int_{-\infty}^{+\infty} F_i(j\vec{\omega})e^{j\vec{\omega} \cdot \vec{r}} d\vec{\omega}. \quad (5.7)$$

Relatia (5.7) arata ca semnalul $f_i(\vec{r})$ reprezinta o suma de semnale elementare de forma $e^{j\vec{\omega}\cdot\vec{r}}$, cu amplitudinea si faza determinate de factorul $1/(2\pi)^2 \cdot F_i(j\vec{\omega})d\vec{\omega}$. Daca la intrarea sistemului se aplica semnalul $e^{j\vec{\omega}\cdot\vec{r}}$ (cu amplitudinea 1), la iesire apare semnalul (raspunsul) $W(j\vec{\omega}) e^{j\vec{\omega}\cdot\vec{r}}$. Daca amplitudinea semnalului de la intrare este $1/(2\pi)^2 \cdot F_i(j\vec{\omega})d\vec{\omega}$, atunci semnalul de la iesire va fi $1/(2\pi)^2 \cdot F_i(j\vec{\omega})d\vec{\omega} W(j\vec{\omega}) e^{j\vec{\omega}\cdot\vec{r}}$. Insumand toate raspunsurile elementare, se obtine

$$f_e(\vec{r}) = \frac{1}{(2\pi)^2} \int_{-\infty}^{+\infty} \int F_i(j\vec{\omega})W(j\vec{\omega})e^{j\vec{\omega}\cdot\vec{r}} d\vec{\omega}. \quad (5.8)$$

Se considera ca la intrare se aplica semnalul $\delta(\vec{r})$ cu spectrul

$$F_\delta(j\vec{\omega}) = \int_{-\infty}^{+\infty} \int \delta(\vec{r})e^{-j\vec{\omega}\cdot\vec{r}} d\vec{r} = 1$$

In acest caz, semnalului de la iesire va fi chiar functia pondere

$$w(\vec{r}) = \frac{1}{(2\pi)^2} \int_{-\infty}^{+\infty} \int W(j\vec{\omega})e^{j\vec{\omega}\cdot\vec{r}} d\vec{\omega}, \quad (5.9)$$

sau

$$W(j\vec{\omega}) = \int_{-\infty}^{+\infty} \int w(\vec{r})e^{-j\vec{\omega}\cdot\vec{r}} d\vec{r}.$$

Din relatiile (5.8) si (5.9) rezulta $F_e(j\vec{\omega}) = F_i(j\vec{\omega})W(j\vec{\omega})$. Raportul intre transformata Fourier a semnalului de iesire $F_e(j\vec{\omega})$ si transformata Fourier a semnalului de intrare $F_i(j\vec{\omega})$, adica

$$W(j\vec{\omega}) = \frac{F_e(j\vec{\omega})}{F_i(j\vec{\omega})}, \quad (5.10)$$

reprezinta functia de transfer optic a sistemului/elementului analizat.

Relatia (5.10) scoate in evidenta avantajele pe care le are un sistem optic liniar si invariant spatial – in domeniul frecventelor spatiale raspunsul sistemului optic este rezultatul unui produs intre spectrul semnalului optic $F_i(j\omega_x, j\omega_y)$ aplicat la intrare si functia $W(j\omega_x, j\omega_y)$. Functia de transfer optica (FTO) a unui sistem (sau element) optic indica cum lucreaza sistemul/elementul optic la diferite frecvente spatiale, sau capacitatea acestora de a filtra frecventele spatiale.

5.1.4 Functia de convolutiei si functia de transfer optic (FTO)

Daca sistemul optic are o constructie complexa, cuprinzand mai multe elemente optice, fiecare element fiind caracterizat printr-o anumita functie de raspuns la impulsul δ , atunci este dificil sa se determine raspunsul final al sistemului, sau integrala de convolutie.

O simplificare considerabila a calculelor se obtine daca functia din domeniul spatial se trece in domeniul frecvential. Aceasta trecere este posibila datorita teoremei de convolutie, prin

care integrala de convolutie din domeniul spatial se transforma intr-un produs de functii in domeniul frecvential. Teorema convolutiei stabileste ca transformata Fourier a produsului de convolutie a doua functii este egal cu produsul transformatelor Fourier a acestor functii. In acest caz, integrala de convolutie (5.5) se scrie

$$E(x) = \int_{-\infty}^{+\infty} O(\xi)w(x - \xi)d\xi = O(x) * w(x),$$

sau daca se aplica transformata Fourier, rezulta

$$E(j\omega_x) = O(j\omega_x)W(j\omega_x) \quad (5.11)$$

Transformata Fourier a functiei $w(x)$ – raspunsul la un impuls δ sau functia pondere a sistemului/elementului optic, este *functie de transfer optic* (FTO).

Daca fiecare element care intra in compunerea sistemului optic analizat este liniar si independent de alte elemente, atunci raspunsul sistemului in ansamblu se exprima prin produsul

de convolutie $w_S = w_1 * w_2 * \dots * w_n$, sau in domeniul frecventelor $W_S(j\omega_x) = \prod_{i=1}^n W_i(j\omega_x)$. In

acest mod, integralele de convolutie aplicate fiecarui element se pot inlocui cu un produs de transformate Fourier, sau mai exact produsul FTO al fiecarui element optic.

De asemenea, operatia (5.11) permite sa se reprezinte procesul de formare a imaginii ca o selectie ponderata efectuata de sistemul optic asupra fiecarei componente spectrale a obiectului. De aici rezulta ca FTO a unui sistem optic poate fi privita si ca o masura a capacitatii sistemului de a reproduce frecventele spatiale ale obiectului.

In general, FTO este o functie complexa. Modulul acestei functii $|W(j\omega_x, j\omega_y)|$ reprezinta *caracteristica de frecventa* (contrast) a sistemului optic. Argumentul FTO se numeste *caracteristica de faza* si indica decalajul de faza produs de sistemul optic, pe fiecare componenta spectrala a semnalului aplicat la intrare. Expresia complexa a FTO este

$$W(j\omega_x, j\omega_y) = W(\omega_x, \omega_y)e^{i\phi(\omega_x, \omega_y)}.$$

Utilizarea FTO in cazul sistemelor IR de descoperire, cautare si localizare a obiectelor din teren este posibila numai daca sunt indeplinite urmatoarele conditii:

- radiatia captata de sistemul optic este necoerenta;
- prelucrarea semnalelor optice este liniara;
- reproducerea imaginii este un proces invariant spatial, adica transformarea realizata de

sistemul optic asupra fiecarui punct al obiectului este identica.

In realitate, pentru sistemele optice in IR conditia de invarianta spatiala este partial indeplinita (domeniul paraxial), deoarece raspunsul sistemului se modifica datorita aberatiilor sistemului optic, daca impulsul de intrare se deplaseaza de la centru catre marginile campului

optic analizat. Corectarea acestor neajunsuri se face prin filtrare, partial pe cale optica, partial prin metode electronice. Dupa cum a aratat O'Neil, filtrele temporale (electrice) au doua caracteristici esentiale fata de cele spatiale (optice):

- filtrele temporale sunt unilaterale, lucreaza numai la frecvente pozitive, deci trebuie sa satisfaca *principiul cauzalitatii* – efectul nu poate precede cauza. Filtrele optice sunt bilaterale, putand lucra atat la frecvente pozitive, cat si la cele negative;
- semnalele electrice pot fi atat pozitive, cat si negative, pe cand semnalale optice au numai valori pozitive.

5.2 Elementul optic liniar invariant spatial

5.2.1 Consideratii generale

Sistemele optice complexe pot fi reprezentate sub forma unei conexiuni de elemente optice liniare, care de obicei se termina cu un element neliniar – receptorul de radiatie. Conditia de liniaritate a elementului optic inseamna ca semnalul de la iesire este rezultatul superpozitiei semnalelor elementare (5.1.1).

O serie de elemente optice liniare indeplinesc si conditia de invarianta spatiala, adica forma semnalului optic de la iesire nu depinde de punctul in care se aplica semnalul de la intrare.

In acest caz, elementul optic liniar si invariant spatial satisface conditia $s_i(x + \Delta x, y + \Delta y) \rightarrow s_e(\xi + \Delta \xi, \eta + \Delta \eta)$, unde $s(x, y)$ este semnalul optic care se propaga prin sistemul optic. Pentru un astfel de element semnalul de iesire reprezinta o integrala de convolutie

$$s_e(\xi, \eta) = \iint_{XY} s_i(x, y) w(\xi - x, \eta - y) dx dy. \quad (5.12)$$

Intrucat in afara limitelor XY semnalul $s_i(x, y) = 0$, limitele de integrare se pot extinde pana la $\pm\infty$. In acest caz integrala (5.12) se poate scrie sub forma simbolica (pentru operatia de convolutie)

$$s_e(\xi, \eta) = s_i(x, y) * w(x, y).$$

Functia $w(x, y)$ este functia pondere a elementului optic si reprezinta raspunsul acestuia cand semnalul de la intrare este o functie impulsului $\delta(x, y)$ - functia Dirac. Astfel, functia pondere caracterizeaza distributia spatiala a amplitudinii semnalului de la iesirea elementului optic, atunci cand la intrarea acestuia se aplica un semnal cu densitatea de amplitudine $\delta(x, y)$,

sau cu amplitudinea $\int_{-\infty}^{+\infty} \delta(x, y) dx dy = 1$.

In optica, functia impuls $\delta(x, y)$ este rezultatul unei abstractizari a sursei de radiatie, devenita sursa punctiforma. Deoarece orice sursa de radiatie are o anumita dimensiune, aceasta se considera punctiforma daca dimensiunea ei este neglijabila in raport cu distanta de observare.

Radiatia emisa de sursa punctiforma se propaga in spatiu sub forma undelor sferice. Daca sursa se afla la infinit, atunci o mica portiune din frontul de unda se poate aproxima cu o suprafata plana, deci un fascicul de raze paralele, cu o distributie constanta a stralucirii.

Semnalul optic de la iesirea elementului optic $s_e(\xi, \eta)$, cand in originea sistemului de axe avem o sursa punctiforma, este

$$s_e(\xi, \eta) = \int_{-\infty}^{+\infty} \int_{-\infty}^{+\infty} \delta(x, y) w(x - \xi, y - \eta) dx dy = w(x, y). \quad (5.13)$$

Transformata Fourier a functiei pondere reprezinta caracteristica de frecventa a elementului analizat

$$W(j\omega_x, j\omega_y) = \int_{-\infty}^{+\infty} \int_{-\infty}^{+\infty} w(x, y) e^{-(j\omega_x x + j\omega_y y)} dx dy. \quad (5.14)$$

Trecerea semnalului optic prin element poate fi analizat ca un proces de *filtrare spatiala*, deoarece spectrul complex al semnalului de iesire este dat de produsul dintre spectrul semnalului aplicat la intrare si caracteristica de frecventa a elementului optic

$$S_e(j\omega_x, j\omega_y) = W(j\omega_x, j\omega_y) S_i(j\omega_x, j\omega_y)$$

si semnalul de iesire

$$s_e(\xi, \eta) = \frac{1}{4\pi^2} \int_{-\infty}^{+\infty} \int_{-\infty}^{+\infty} W(j\omega_x, j\omega_y) S_i(j\omega_x, j\omega_y) d\omega_x d\omega_y.$$

Intrucat elementul optic se comporta ca un filtru optic, caracteristica de transfer a filtrului poate fi stationara (un invariant spatial) sau nestationara. Clasificarea elementelor optice in stationare si nestationare se face functie de raspunsul filtrului la semnalul $\delta(x, y)$. Asadar, aplicand semnalul $\delta(x, y)$ in punctul (0,0), functia pondere a elementului este $w(x, y)$. Daca pentru acelasi semnal $\delta(x - \mu, y - \nu)$ aplicat in punctul (μ, ν) functia pondere a elementului este $w(x, y)$, elementul este stationar (un invariant spatial), iar daca functia pondere este $w(x - \mu, y - \nu)$, elementul este nestationar.

5.2.2 Functia indiciala a elementului optic

Functia indiciala $h(x,y)$ a unui element optic reprezinta raspunsul acestuia la un semnal optic de tip treapta unitara (fig. 5.4). Semnalul treapta unitara, notat $\sigma(x,y)$, are expresia analitica

$$\sigma(x,y) = \begin{cases} 0 & \text{pentru } x < x_0, y < y_0, \\ 1 & \text{pentru } x \geq x_0, y \geq y_0 \end{cases}$$

si reprezinta transmisia optica a deschiderii unui ecran. Raportand deschiderea ecranului la un sistem de axe carteziene, semnalul $\sigma(x,y)$ reprezinta transmisia semiplanului $(x,y) > 0$, sau a unei portiuni din acesta.

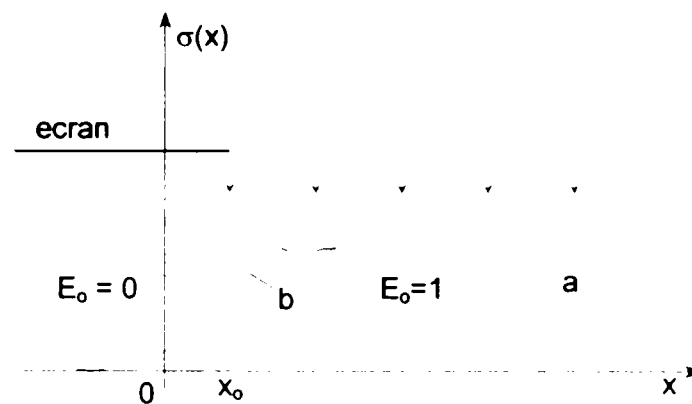


Fig. 5.4

a – semnal de intrare (semnal treapta unitara);
b – semnal de iesire (iluminarea in planul x,y, $E_0=1$).

Semnalul $\sigma(x,y)$ poate fi unidimensional sau bidimensional. Daca variatia transmisiei se produce numai in lungul axei x sau y, semnalul este unidimensional. Semnalul prezentat in fig. 5.5 este unidimensional, deoarece in punctul $x = x_0$, transmisia $\sigma(x)$ are un salt – semiplan transparent $x > x_0$. In directia y, in limitele de la $-\infty$ la $+\infty$, transmisia este aceeași și egala cu 1. Daca se limiteaza și coordonata y, semnalul obtinut va fi un semnal treapta bidimensional.

In cazul semnalelor treapta unidimensionale raspunsul elementului se studiaza numai dupa coordonata x. Pentru a determina acest raspunsul, trebuie cunoscuta functia pondera $w(x)$, dupa coordonata x sau y, egala cu

$$w(x) = \int_{-\infty}^{+\infty} w(x,y) dy, \tag{5.15}$$

care, de fapt, reprezinta distributia de amplitudine in sectiunea facuta de planul $x = x_0$ in functia $w(x,y)$. Considerand semnalul $\sigma(x)$ ca fiind format dintr-o infinitate de semnale $\delta(x)$, atunci integrala (5.15) va reprezenta raspunsul sau functia indiciala a elementului optic la un semnal treapta unitara aplicat la intrare.

$$h(x) = \int_{-\infty}^x w(x) dx. \tag{5.16}$$

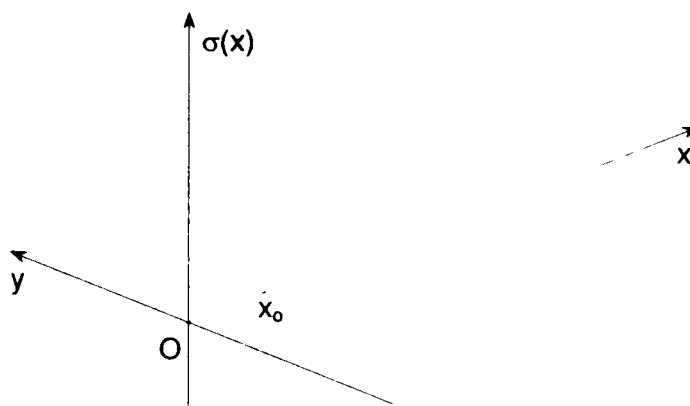


Fig.5.5

5.2.3 Elementul optic amplificator

Elementul optic amplificator are functia pondere de forma $w(x,y) = k\delta(x,y)$.

Elementul optic amplificator poate fi un sistem optic lipsit de fenomenul de difractie si corectat de aberatii (sistemul optic ideal)

Caracteristica de frecventa a elementului amplificator este

$$W(j\omega_x, j\omega_y) = \iint_{-\infty}^{+\infty} w(x,y) e^{-j(\omega_x x + \omega_y y)} dx dy = k. \quad (5.17)$$

Din relatia (5.17) rezulta ca elementul amplificator multiplica cu aceeasi marime k toate componentele spectrale ale semnalului de intrare.

Functia indiciala a elementului amplificator

$$h(x,y) = \iint_{-\infty}^{+\infty} w(x,y) dx dy = \begin{cases} k & \text{pentru } x \geq 0, y \geq 0, \\ 0 & \text{pentru } x < 0, y < 0. \end{cases} \quad (5.18)$$

Relatia (5.18) scoate in evidenta faptul ca elementul amplificator multiplica marimea semnalului de la intrare cu marimea k.

5.2.4 Elementul de deplasare

Acest element asigura deplasarea fasciculului de raze si are urmatoarea functie pondere $w(x,y) = \delta(x-x_0, y-y_0)$.

Functia caracteristica a elementului de deplasare

$$W(j\omega_x, j\omega_y) = \iint_{-\infty}^{+\infty} \delta(x-x_0, y-y_0) e^{-j(\omega_x x + \omega_y y)} dx dy = e^{-j(\omega_x x_0 + \omega_y y_0)}. \quad (5.19)$$

Caracteristica de amplitudine – frecventa a elementului este

$$W(\omega_x, \omega_y) = 1;$$

Caracteristica faza – frecventa

$$\Phi(\omega_x, \omega_y) = \omega_x x_0 + \omega_y y_0.$$

Functia indiciala este

$$h(x,y) = \iint_{-\infty}^{+\infty} \delta(x-x_0, y-y_0) dx dy = \begin{cases} 1 & \text{pentru } x \geq x_0, y \geq y_0, \\ 0 & \text{pentru } x < x_0, y < y_0. \end{cases} \quad (5.20)$$

5.2.5 Elementul (diafragma) cu deschidere circulara

Are urmatoarea functie pondere (fig. 5.6)

$$w(x, y) = \begin{cases} 1 & \text{pentru } x^2 + y^2 \leq r_o^2, \\ 0 & \text{pentru } x^2 + y^2 > r_o^2. \end{cases}$$

Pentru determinarea caracteristicii de frecventa a diafragmei se aplica transformata Hankel

$$W(\omega) = 2\pi \int_0^{r_o} \rho J_0(\rho\omega) d\rho = \pi r_o^2 \frac{J_1(\omega r_o)}{\omega r_o}.$$

Funcția pondere unidimensională

$$w(x) = \int_{-y}^y w(x, y) dy = 2\sqrt{r_o^2 - x^2}. \quad (5.21)$$

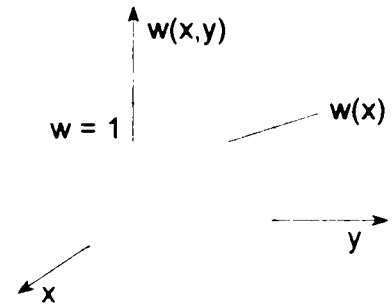


Fig.5.6

Funcția indicială

$$h(x) = \frac{2}{\pi r_o^2} \int_{-r_o}^x \sqrt{r_o^2 - x^2} = \frac{1}{2} - \frac{1}{\pi} \arcsin \frac{x}{r_o} - \frac{x}{r_o \pi} \sqrt{1 - \left(\frac{x}{r_o}\right)^2}. \quad (5.22)$$

5.2.6 Element cu funcția pondere de forma dreptunghiulară

Are urmatoarea expresie analitica (fig.5.7, a)

$$w(x, y) = \begin{cases} 1 & \text{pentru } |x| \leq a/2 \text{ si } |y| \leq b/2, \\ 0 & \text{pentru } |x| > a/2 \text{ si } |y| > b/2. \end{cases}$$

Se inlocuieste in (5.16) si rezulta funcția indicială (fig.5.7, b)

$$w(x) = \frac{1}{ab} \int_{-\frac{b}{2}}^{+\frac{b}{2}} w(x, y) dy = \frac{1}{a} \text{ si } h(x) = \int_{-\frac{a}{2}}^x w(x) dx = \frac{1}{2} + \frac{x}{a}$$

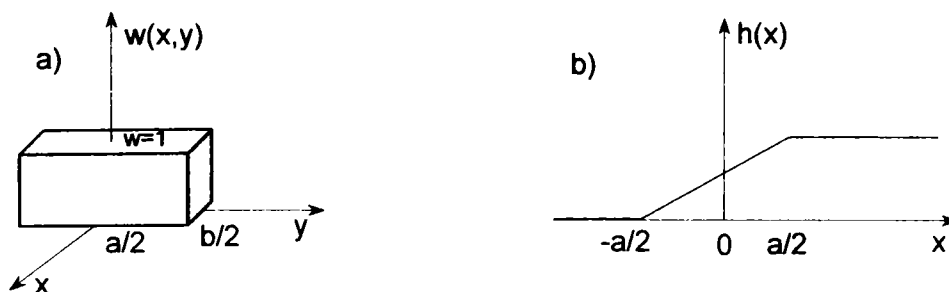


Fig.5.7

5.3 Difractia in sisteme optice liniare si invariante spatial

5.3.1 Notiuni generale

Se considera ca datorita unei surse de radiatie monocromatica nespecificata, o unda plana este incidenta la planul (x,y) al sistemului de axe cartezian $xyzO$. Distributia de amplitudine a campul de radiatie (perturbatia) produs de unda la suprafata planului (x,y) este $f_o(x,y,0) = Ae^{-j\omega t}$. Unda se propaga in directia axei Oz si trebuie determinata distributia de amplitudine $f(x,y,z)$ intr-un plan oarecare $z \neq 0$.

Transformata Fourier a functiei $f_o(x,y)$ in planul $z = 0$ este

$$F_o(u,v) = \int_{-\infty}^{+\infty} \int_{-\infty}^{+\infty} f_o(x_o, y_o) e^{-j(x_o u + y_o v)} dx_o dy_o. \quad (5.25)$$

Functia $f_o(x_o, y_o)$ prin intermediul integralei (5.25) este descompusa intr-o suma de functii exponentiale. Se considera o unda plana de ecuatie $f(\vec{r}) = Ae^{-j(\omega t - \vec{k}\vec{r})} = Ae^{j\vec{k}\vec{r}} e^{-j\omega t}$, unde $Ae^{j\vec{k}\vec{r}}$ este amplitudinea complexa a undei. In sistemul de axe carteziene ales amplitudinea complexa a undei are expresia $f(x,y,z) = Ae^{jk(xm+yn+zl)}$ si reprezinta ecuatie in complex a unei unde plane, care se propaga pe directia definita cu cosinusii directori $m = \cos\alpha$, $n = \cos\beta$ si $l = \cos\gamma$. Se observa ca directia de propagare a undei plane poate fi definita numai cu doi parametri directori, al treilea rezultand din relatia $l = \pm\sqrt{1-m^2-n^2}$. In acest caz, functia $f(x,y,z)$ in planul $z = 0$, este $f(x,y,0) = Ae^{j(xm+yn)}$ si reprezinta tot o unda plana, de amplitudine A ce se propaga dupa directia (m,n) si $l = \pm\sqrt{1-m^2-n^2}$.

De aici rezulta ca si transformata Fourier inversa

$$f_o(x_o, y_o) = \int_{-\infty}^{+\infty} \int_{-\infty}^{+\infty} F(u,v) e^{j(ux_o + vy_o)} du dv, \quad (5.26)$$

reprezinta o suma infinita de unde plane care au amplitudinea $F(u,v)dudv$, unde $u = m/\lambda$ si $v = n/\lambda$. Functia $F(u,v)$ are semnificatia unei densitati de amplitudine – distributia amplitudinilor dupa unghiurile $u = m/\lambda$ si $v = n/\lambda$ a directiei de propagare a undelor plane. Din aceste motive $F(u,v)$ se numeste *spectrul unghiular* al functiei $f_o(x_o, y_o)$. Din analiza ecuatiei (5.26) rezulta distributia de amplitudine in planul z

$$f(x,y,z) = \int_{-\infty}^{+\infty} \int_{-\infty}^{+\infty} F(u,v) e^{\pm jk\sqrt{1-m^2-n^2}z} e^{j2\pi(ux+vy)} du dv.$$

5.3.2 Efectul aperturii asupra functiei $F(u,v)$

Se considera o apertura cu functia de transmisie $t(x,y)$ definita astfel:

$$t(x,y) = \begin{cases} 1 & \text{pentru } (x,y) \in \Sigma, \\ 0 & \text{pentru } (x,y) \notin \Sigma \end{cases}$$

Daca $f_o(x,y)$ este distributia de amplitudine a campului de radiatie la intrare in apertura, atunci la iesirea acesteia distributia de amplitudine are expresia

$$f(x,y) = f_o(x,y)t(x,y). \quad (5.27)$$

Daca se aplica transformata Fourier asupra expresiei (5.27), rezulta

$$F(u,v) = F_o(u,v) * T(u,v), \quad (5.28)$$

deci, spectrul unghiular la iesire din deschidere este un produs de convolutie intre spectrul unghiular de la intrare si transmisia in frecventa a deschiderii.

Prin definitie, spectrul unghiular al aperturii este

$$T(u,v) = \int_{-\infty}^{+\infty} \int_{-\infty}^{+\infty} t(x,y) e^{-j2\pi(ux+vy)} dx dy. \quad (5.29)$$

In acest caz, rezulta ca spectrul unghiular la iesirea din apertura este un produs de convolutie intre spectrul unghiular neperturbat de la intrare si spectrul unghiular al aperturii.

Un caz particular este acela in care apertura este iluminata de o singura unda plana de amplitudine $A = 1$, deci $f(x,y,0) = e^{j2\pi(xu+yv)}$. Spectrul unghiular al acestei unde particulare este

$$F_o(u,v) = \int_{-\infty}^{+\infty} \int_{-\infty}^{+\infty} e^{j2\pi(ux+vy)} du dv = \delta(u,v)$$

si inlocuind in (5.28), se obtine

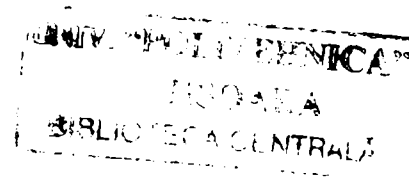
$$F(u,v) = \delta(u,v) * T(u,v) = T(u,v) \quad (5.30)$$

Din (5.30) rezulta ca spectrul transmis de o deschidere, cand la intrare se aplica o unda plana, de forma impuls Dirac: $F_o(u,v) = \delta(u,v)$, este $T(u,v)$, adica spectrul unghiular al functiei de transmisie a aperturii. Fenomenul de propagare a radiatiei de la planul $z = 0$, la planul z , poate fi considerat in termenii teoriei sistemelor, ca fiind

$$f(x,y,z) = S[f_o(x,y,z)],$$

unde S este un operator matematic, specific spatiului de propagare sau al sistemului optic.

Fenomenul de propagare este caracterizat prin functia de transfer



$$H(u, v) = \frac{F(u, v, z)}{F_o(u, v)} \tag{5.31}$$

In concluzie, fenomenul de propagare a radiatiei printr-o apertura trebuie privit ca o operatie de filtrare de frecvente spatiale. Rolul de filtrare spatiala este indeplinita de apertura.

Orice deschidere (apertura) se comporta ca un filtru trece jos. Se considera un obiect transparent, cu functia de transmisie $t_o(x,y)$, Iluminat de o unda plana monocromatica de amplitudine A, incidenta normal la acesta. Campul de radiatie incident la suprafata obiectului este $f_o(x, y) = Ae^{-j\omega t}$. Campul de radiatie emergent de la suprafata obiectului este $f(x, y) = At_o(x, y)e^{-j\omega t}$. Amplitudinea complexa a undei emergente este $At_o(x, y)$.

Dimensiunea finita a campului de vedere al sistemului optic (fig. 5.8) este evidentiata in calcul asociindu-i o functie de apertura

(functi. pupilara) cu urmatoarea expresie

$$P(x, y) = \begin{cases} 1 & \text{pentru } (x, y) \in \Sigma, \\ 0 & \text{pentru } (x, y) \notin \Sigma. \end{cases}$$

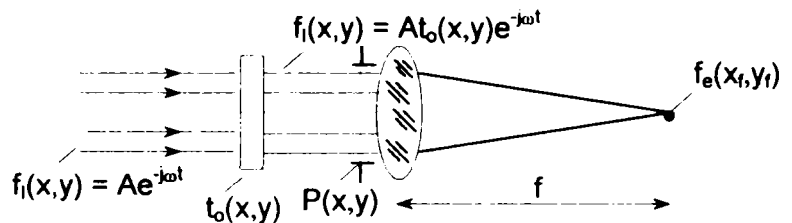


Fig. 5.8

unde Σ es e suprafata a aper urii len ilei.

Distributia campului de radiatie (amplitudinea complexa a campului de radiatie) in planul focal (x_f, y_f) este

$$f(x_f, y_f) = C \int \int_{-\infty}^{+\infty} f(x, y) P(x, y) e^{-j\frac{2\pi}{\lambda f}(xx_f + yy_f)} dx dy .$$

Distributia de amplitudine a campului de radiatie in planul focal (x_f, y_f) este proportionala cu transformarea Fourier bidimensionala a portiunii campului incident subanscris lentilei. Intensitatea in planul focal este

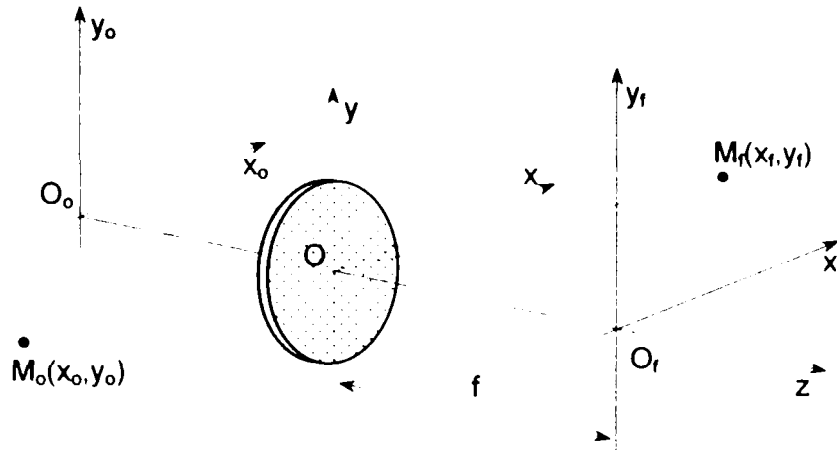
$$I(x_f, y_f) = C^2 \left| \int \int_{-\infty}^{+\infty} f(x, y) . P(x, y) e^{-j\frac{2\pi}{\lambda f}(xx_f + yy_f)} dx dy \right|^2 \tag{5.32}$$

Amplitudinea complexa produsa in planul imagine de toate razele plecate din spatiul obiect, pe directia $\alpha \approx x_f/f$ si $\beta \approx y_f/f$ si care se intalnesc in punctul M_f (cu M_oM_f – o raza care trece prin centrul lentilei, fig.5.9) este

$$f(x_f, y_f) = C \int \int_{-\infty}^{+\infty} f(x, y) P(x, y) e^{-j\frac{2\pi}{\lambda f}(xx_f + yy_f)} dx dy .$$

Din numarul foarte mare de raze plecate din spatiul obiect, pe directia (α, β) , datorita aperturii lentilei numai un anumit numar de raze va trece spre sistemul optic.

Fig.5.9



Lucrurile se petrec, ca si cum apertura lentilei ar fi proiectata in spatiul obiect, dupa raza M_oM_f care trece prin centrul lentilei. Intrucat raza M_oM_f nu este perpendiculara pe apertura lentilei, proiectia acesteia in planul obiect este o elipsa. In punctul M_f vor ajunge numai razele plecate din interiorul suprafetei proiectate si care se propaga dupa directia (α, β) .

Limitarea numarului de raze care traverseaza sistemul optic poarta numele de vignetaire. Acest efect este neglijabil daca obiectul are dimensiuni reduse si este dispus la o distanta mare fata de sistemul optic.

5.3.3 Transmisia radiatiei printr-o apertura de o forma oarecare

Perturbatia produsa de radiatie in punctul P este rezultatul unei suprapuneri de unde secundare emise de fiecare punct al suprafetei deschiderii interpusa intre sursa punctiforma care emite o radiatie monocromatica si punctul de observatie P. Fasciculul de raze paralele provenit de la sursa punctiforma are fata de normala la deschidere directia definita cu cosinusii directori (α_o, β_o, l_o) . Fenomenul de difractie apare ca o consecinta a suprapunerii undelor plane emise de fiecare punct al deschiderii, in directia (m, n, l) - variabila. Aceste unde plane, care sunt unde sferice, la distanta mare de sursa devin unde plane.

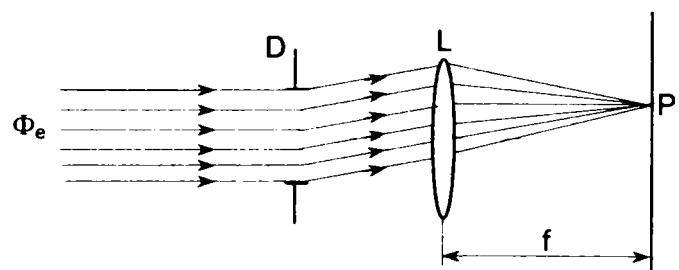


Fig. 5.10

Fenomenul de difractie poate fi observat in planul focal al unei lentile. In punctul P (fig.5.10) se formeaza imaginea fasciculului de raze care se propaga pe directia (m, n, l) . Perturbatia care apare pe ecran ca urmare a fenomenului de difractie este data de integrala

$$U(P) = C \int_A e^{-jk(p\xi + q\eta)} d\xi d\eta, \tag{5.33}$$

unde p și q sunt cosinusii directori ai direcției pe care se face observația, $p = \cos\alpha$, cu α unghiul format de raza cu axa ξ , $q = \cos\beta$, cu β unghiul format de raza cu axa η ; $U(P)$ – perturbatia sau amplitudinea complexă rezultantă a undelor suprapuse în punctul P variabil, A – suprafața deschiderii.

Integrala (5.33) se poate scrie sub forma unei integrale Fourier

$$U(p, q) = \int_{-\infty}^{+\infty} \int_{-\infty}^{+\infty} G(\xi, \eta) e^{-jk(p\xi + q\eta)} d\xi d\eta, \quad (5.34)$$

unde $G(\xi, \eta)$ este funcția pupilară, definită astfel

$$G(\xi, \eta) = \begin{cases} C & \text{pentru } (\xi, \eta) \in D, \\ 0 & \text{pentru } (\xi, \eta) \notin D. \end{cases} \quad (5.35)$$

Constanta C din fața integralei (5.33) se determină pe baza legii conservării energiei radiante incidente pe deschiderea A . Fie această energie egală cu E , care se distribuie pe fiecare direcție de propagare a radiației după deschidere. Figura de difracție se observă în planul (p, q) . Amplitudinea rezultantă în punctul P (fig. 5.8) este $U(p, q)$, unde p și q sunt cosinusii directori ai direcției de propagare. Densitatea de energie în punctul P este $|U(p, q)|^2$, iar energia care revine unui element de suprafață $dpdq$ este $dE = |U(p, q)|^2 dpdq$. Pe suprafața planului (p, q) se regăsește întreaga energie radiantă E , adică

$$\int_{-\infty}^{+\infty} \int_{-\infty}^{+\infty} |U(p, q)|^2 dpdq = E$$

Conform teoremei lui Parseval se poate scrie

$$\int_{-\infty}^{+\infty} \int_{-\infty}^{+\infty} |G(\xi, \eta)|^2 d\xi d\eta = \frac{1}{\lambda^2} \int_{-\infty}^{+\infty} \int_{-\infty}^{+\infty} |U(p, q)|^2 dpdq, \quad (5.36)$$

sau după efectuarea integralei, se obține $C^2 D = E/\lambda^2$, unde C este o constantă specifică funcției pupilare, de arie D .

Dacă funcția pupilară $G(\xi, \eta)$ este definită cu relația (5.34) atunci, pentru un fascicul de raze paralele monocromatice incident pe deschiderea de arie D , cu energia E din deschidere,

constantă C a funcției pupilare are valoarea $C = \frac{1}{\lambda} \sqrt{\frac{E}{D}}$, iar integrala (5.33) devine

$$U(p, q) = \frac{1}{\lambda} \sqrt{\frac{E}{D}} \int_{-\infty}^{+\infty} \int_{-\infty}^{+\infty} e^{-jk(p\xi + q\eta)} d\xi d\eta.$$

Intensitatea radiației în centrul figurii de difracție este

$$I(0,0) = |U(0,0)|^2 = \frac{1}{\lambda^2} \frac{E}{D} \left(\int_{-\infty}^{+\infty} \int_{-\infty}^{+\infty} d\xi d\eta \right)^2 = C^2 D^2$$

In continuare sunt analizate cateva deschideri avand forma geometrica de dreptunghi, cerc, elipsa si romb.

5.3.4. Transmisia radiatiei printr-o deschidere dreptunghiulară

Se alege originea sistemului de axe in centrul dreptunghiului, avand axele paralele cu laturile acestuia. Perturbatia produsa de un fascicul de raze paralele monocromatice, cu lungimea de unda λ , incident normal pe deschiderea dreptunghiulara (fig. 5.11), cu functia de transmisie

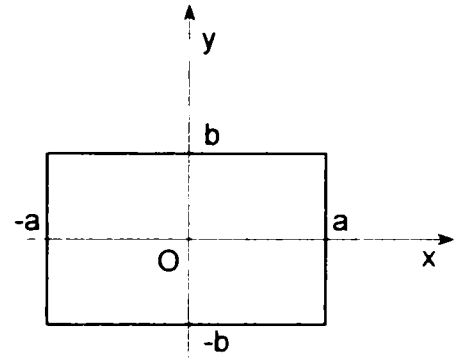


Fig.5.11

$$G(\xi, \eta) = \begin{cases} C & \text{pentru } |\xi| \leq a \text{ si } |\eta| \leq b; \\ 0 & \text{pentru } |\xi| > a \text{ si } |\eta| > b, \end{cases}$$

si cu distributia de amplitudine

$$U(p, q) = \int_{-\infty}^{+\infty} \int_{-\infty}^{+\infty} G(\xi, \eta) e^{-jk(p\xi + q\eta)} d\xi d\eta = \frac{4C}{k^2 pq} \sin kpa \cdot \sin kqb.$$

Intensitatea radiatiei in figura de difractie obtinuta este

$$I(p, q) = U(p, q)U^*(p, q) = 16C^2 a^2 b^2 \left(\frac{\sin kpa}{kpa} \right)^2 \left(\frac{\sin kqb}{kqb} \right)^2. \quad (5.37)$$

Daca E este energia radianta incidenta pe deschiderea de arie $D = 4ab$, atunci din relatia (5.36) rezulta intensitatea radiatiei in centrul figurii de difractie

$$I_o = I(0,0) = C^2 D^2 = 16a^2 b^2 C^2,$$

Deci

$$I(p, q) = I_o \left(\frac{\sin kpa}{kpa} \right)^2 \left(\frac{\sin kqb}{kqb} \right)^2$$

In tabelul alaturat s-au trecut primele 5 maxime ale functiei $(\sin x/x)^2$. Graficul acestei functii este prezentat in fig. 5.12. Maximul principal al functiei $I(p,q)/I_o$ este 1 si se obtine pentru $x = 0$. Functia ia valori minime pentru $x = \pm\pi; 2\pi, \pm3\pi, \dots$

Intre aceste minime sunt dispuse maximele functiei rezultate din ecuatia $\text{tg}x = x$.

x	$(\sin x/x)^2$
0	1
$1,43\pi = 4,493$	0,04718
$2,459\pi = 7,725$	0,01694
$3,47\pi = 10,90$	0,00834
$4,479\pi = 14,07$	0,00503

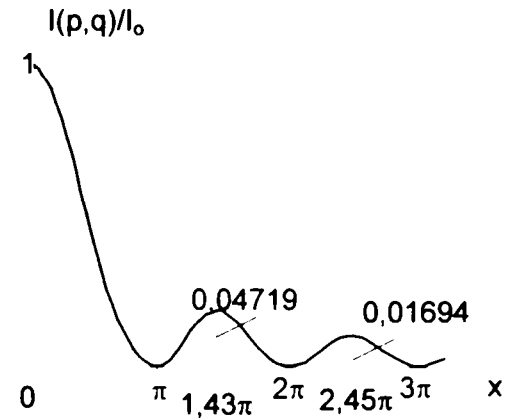


Fig.5.12

Se observa ca intensitatea $I(p,q)$ este nula dupa linii paralele cu laturile dreptunghiului. Pozitia acestor nuluri se determina din relatiile $kpa = \pm u\pi$ si $kqb = \pm v\pi$, cu $u,v = 1,2,3, \dots$. Trebuie remarcat ca cu cat este mai mare deschiderea dreptunghiului, cu atat mai mica va fi imaginea de difractie formata. Cazul analizat este specific unei radiatii monocromatice coerente. Trecerea de la imaginea de difractie formata de o sursa punctiforma coerenta la imaginea de difractie produsa de o sursa cu o anumita suprafata se face prin integrare. Trebuie subliniat ca in cazul surselor cu o anumita suprafata, dar coerente, se integreaza amplitudinea complexa, in schimb, in cazul surselor de suprafata necoerente se integreaza intensitatea.

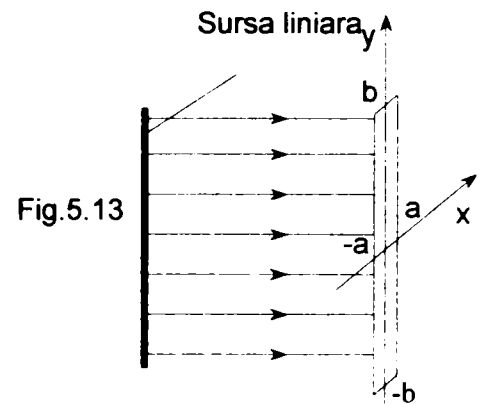


Fig.5.13

Un caz deosebit este acela al imaginii de difractie produsa de o sursa liniara necoerenta (fig. 5.13). Se presupune ca fanta are dimensiunea b foarte mare in comparatie cu dimensiunea a, deci este indeplinita conditia $a \ll b$. In acest caz fenomenul de difractie apare numai in directia axei x. Un punct oarecare al sursei liniare va produce in punctul P, situat dupa fanta, o figura de difractie cu intensitate

$$I(p, q) = I_o \left(\frac{\sin kpa}{kpa} \right)^2 \left(\frac{\sin kqb}{kqb} \right)^2.$$

Fenomenul de difractie apare numai dupa axa x, deci pentru a afla intensitatea radiatiei in figura de difractie produsa de intreaga sursa trebuie sa se integreze dupa coordonata q

$$I = \int_{-\infty}^{+\infty} I(P) dq = I_o \left(\frac{\sin kpa}{kpa} \right)^2 \frac{1}{kb} \int_{-\infty}^{+\infty} \frac{(\sin kqb)^2}{(kqb)^2} d(kqb) = \frac{\pi I_o}{kb} \left(\frac{\sin kpa}{kpa} \right)^2$$

5.3.5 Transmisia radiatiei printr-o deschidere circulară

Analog se poate studia difractia Fraunhofer pe un orificiu circular (fig. 5.14). In acest scop sunt folosite coordonatele polare. Fie (ρ, θ) coordonatele polare ale unui punct din deschiderea circulara si coordonatele carteziene $x = \rho \cos \theta$ si $y = \rho \sin \theta$. Fie P un punct din tabloul de difractie, de coordonate (w, φ) , cu $p = w \cos \varphi$ si $q = w \sin \varphi$. Se observa ca $w = \sqrt{p^2 + q^2}$, este unghiul format de directia considerata (p, q) si axa sistemului de axe (axa z). Perturbatia in punctul P este

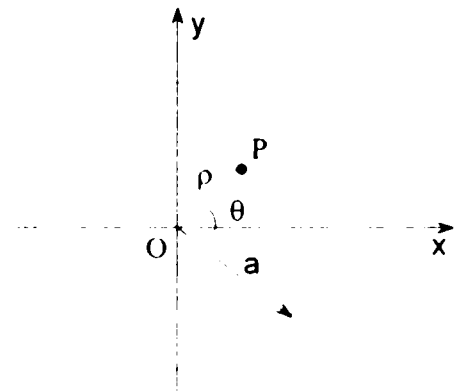


Fig.5.14

$$U(P) = C \int_0^a \int_0^{2\pi} e^{-jk\rho w \cos(\theta - \varphi)} \rho d\rho d\theta,$$

sau

$$U(P) = 2\pi C \int_0^a J_0(kw\rho) \rho d\rho.$$

Utilizand formula de recurenta $\frac{d}{dx}[x^{n+1}J_{n+1}(x)] = x^{n+1}J_n(x)$, pentru $n = 0$ se obtine $\frac{d}{dx}[xJ_1(x)] = xJ_0(x)$, formula care permite calculul amplitudinii perturbatiei in figura de difractie

$$U(P) = \pi a^2 C \left[\frac{2J_1(kaw)}{kaw} \right].$$

Intensitatea radiatiei in figura de difractie este

$$I(P) = |U(P)|^2 = I_0 \left[\frac{2J_1(kaw)}{kaw} \right]^2, \text{ unde } I_0 = \frac{ED}{\lambda^2} = \frac{\pi a^2 E}{\lambda}.$$

Distributia intensitatii in jurul imaginii geometrice a punctului este descrisa de functia

$$y = \left[\frac{2J_1(z)}{z} \right]^2.$$

Primul maxim al figurii de difractie se determina din relatia $\frac{dy}{dz} = 2 \frac{d}{dz} \left[\frac{J_1(z)}{z} \right]$

Energia radianta continuta in cercului central de difractie, de raza w_0 (corespunzatoare primului minim) este

$$L(w_o) = \frac{1}{E} \int_0^{2\pi w_o} \int_0^w I(w) w dw d\varphi = 2 \int_0^{kwa} \frac{j_1^2(z)}{z} dz.$$

Din relatia de recurenta prezentata, prin derivare in raport cu variabila x, apoi prin inmultire cu $J_1(x)$, rezulta

$$\frac{j_1^2(x)}{x} = -\frac{1}{2} \frac{d}{dx} [J_0^2(x) + J_1^2(x)].$$

In final, se obtine: $L(w_o) = 1 - J_0^2(kw_o a) - J_1^2(kw_o a)$

	$[J_0(-)]^2$	$[J_1(-)]^2$
0	1	
$1,22\pi = 3,832$	0	0,162
$1,635\pi = 5,136$	0,0175	
$2,233\pi = 7,016$	0	0,090
$2,679\pi = 8,417$	0,0042	
$3,238\pi = 10,174$	0	0,067
$3,799\pi = 11,921$	0,0011	

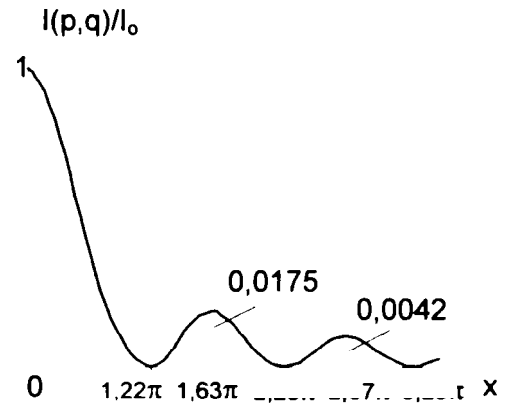


Fig.5.15

In tabelul alaturat s-au trecut primele 4 maxime ale functiei $y = [2J_1(z)/z]^2$. Graficul acestei functii este prezentat in fig. 5.15.

Daca E_0 este energia ce revine intregii figuri de difractie, atunci conform relatiei (2) energia continuta in primul cerc de difractie este: $kaw_o = 3,832$, sau $L_1 = 1 - 0,162 = 0,838$ sau 83,8% din E_0 . Energia continuta in primele doua cercuri de difractie este $L_2 = 1 - 0,09 = 0,91$ sau 91% din E_0 . Asemnator, se obtine $L_3 = 1 - 0,062 = 0,938$, sau 93,8% din E_0 .

5.4 Caracteristica de frecventa sau functia de transfer optic a unui sistem (element) optic

5.4.1 Consideratii generale

In cazul unui sistemul sau elementul optic, considerate liniare si invariante spatial, la determinarea semnalului de iesire sau a raspunsului se poate folosi metoda armonica. Aceasta metoda se bazeaza pe descompunerea semnalului optic aplicat la intrare $u_i(x_i, y_i)$ in componente armonice folosind integrala Fourier. Daca se determina raspunsul pentru fiecare componenta in parte, atunci semnalul la iesire va reprezenta suma raspunsurilor tuturor componentelor armonice.

Intre amplitudinile elementare $dU_i(j\omega_x, j\omega_y)$ si $dU_e(j\omega_x, j\omega_y)$ ale componentelor armonice de frecvente spatiale (ω_x, ω_y) ale semnalelor aplicate la intrare si a celor rezultate la iesire, exista relatia

$$dU_e(j\omega_x, j\omega_y) = F(j\omega_x, j\omega_y)dU_i(j\omega_x, j\omega_y)$$

unde $F(j\omega_x, j\omega_y)$ este functia de transfer a sistemului optic (FTO) si caracterizeaza comportarea acestuia fata de frecventele spatiale ale functiei obiect $u_i(x_i, y_i)$.

Se considera in spatiul obiect, raportat la un sistem de axe cartezian x_o, y_o , o sursa punctiforma dispusa in punctul (x_o, y_o) . Datorita fenomenului de difractie, in planul imagine se formeaza o figura de difractie, cu centrul in punctul (x_o, y_o) . Amplitudinea complexa a perturbatiei, in limitele figurii de difractie, se modifica dupa legea $a(x, y) = a_o h(x, y)$, unde a_o este amplitudinea perturbatiei in centrul figurii de difractie (x_o, y_o) , iar $h(x, y)$ - o functie a carei distributie arata de cate ori se micsoareaza valoarea amplitudinii perturbatiei in punctul (x, y) fata de punctul (x_o, y_o) .

In cazul sistemelor sau elementelor optice invariante spatial, valoarea functiei h in punctul (x, y) depinde numai de distanta de la centrul figurii de difractie (x_o, y_o) la punctul (x, y) , adica este functie de diferenta dintre coordonate $\Delta x = x_o - x$, $\Delta y = y_o - y$, deci $h(\Delta x, \Delta y) = h(x_o - x, y_o - y)$. Rezulta ca, densitatea de amplitudine in figura de difractie formata in planul imagine, in punctul (x, y) , este $a(x, y) = a(x_o, y_o)h(x_o - x, y_o - y)$.

Daca in planul obiect se considera o sursa cu o anumita suprafata, cu distributia de amplitudine a campului de radiatie $a(x_o, y_o)$, atunci amplitudinea vibratiei optice produsa de elementul de suprafata $dx_o dy_o$ al sursei, in punctul (x, y) din planul imagine, este

$$da(x, y) = a(x_o, y_o)h(x_o - x, y_o - y)dx_o dy_o.$$

In cazul iluminarii coerente a planului imagine, adunand toate amplitudinile complexe din jurul punctului (x_o, y_o) , se obtine distributia de amplitudine a semnalului de iesire

$$a(x, y) = \int_{-\infty}^{+\infty} \int_{-\infty}^{+\infty} a(x_o, y_o)h(x_o - x, y_o - y)dx_o dy_o. \quad (5.39)$$

In cazul unei iluminari cu radiatie necoerenta, distributia de intensitate in jurul punctului (x_o, y_o) din planul imagine este

$$I(x, y) = \int_{-\infty}^{+\infty} \int_{-\infty}^{+\infty} |a(x_o, y_o)|^2 H(x_o - x, y_o - y)dx_o dy_o. \quad (5.40)$$

Integralele (5.39) si (5.40) reprezinta integrale de convolutie. Daca asupra lor se aplica transformata Fourier, rezulta

$$a(\omega_x, \omega_y) = h(\omega_x, \omega_y) \cdot a_o(\omega_x, \omega_y) \quad (5.41)$$

si

$$I(\omega_x, \omega_y) = H(\omega_x, \omega_y) \cdot A_o(\omega_x, \omega_y), \quad (5.42)$$

unde $h(\omega_x, \omega_y)$ si $H(\omega_x, \omega_y)$ sunt functiile de transfer ale sistemului optic (elementului optic) in cazul iluminarii coerente, respectiv necoerente. Din cele prezentate mai sus rezulta ca un sistem optic care lucreaza cu radiatie coerenta este *liniar in amplitudine*, iar sistemul optic care lucreaza cu radiatie necoerenta este *liniar in intensitate*.

Un sistem optic sau un element optic poate fi descris cu ajutorul urmatoarelor functii:

- functia imaginea sursei punctiforme sau functia pondere a sistemului/elementului optic, notate cu $h(x,y)$ sau $H(x,y)$ – transmisia in amplitudine, respectiv in intensitate a sistemului/elementului optic;

- caracteristica de frecventa spatiala (functia optica de transfer) a sistemului/elementului, notate cu $h(\omega_x, \omega_y)$ sau $H(\omega_x, \omega_y)$ – FTO in amplitudine, respectiv in intensitate.

Semnificatia fizica a FTO rezulta imediat daca se considera ca in planul obiect exista o sursa de tip retea sinusoidala, cu amplitudinea 1, $a_o(x_o, y_o) = \sin(\omega_x x_o + \omega_y y_o)$ sau sub forma exponentiala $e^{j(\omega_x x_o + \omega_y y_o)}$.

Semnalul (in amplitudine) la iesirea din retea este

$$a(x, y) = \iint_{-\infty}^{+\infty} a(x_o, y_o) h(x_o - x, y_o - y) dx_o dy_o = \iint_{-\infty}^{+\infty} e^{j(\omega_x x_o + \omega_y y_o)} h(x_o - x, y_o - y) dx_o dy_o.$$

Se noteaza $x_o - x = u$ si $y_o - y = v$, deci

$$a(x, y) = e^{-j(\omega_x x + \omega_y y)} \iint_{-\infty}^{+\infty} h(u, v) e^{-j(u\omega_x + v\omega_y)} du dv = a_o(x, y) h(j\omega_x, j\omega_y).$$

sau

$$h(j\omega_x, j\omega_y) = h(\omega_x, \omega_y) \cdot e^{-j\varphi(\omega_x, \omega_y)} = \frac{a(x, y)}{a_o(x, y)}. \quad (5.43)$$

In cazul iluminarii coerente FTO caracterizeaza masura in care sistemul optic/elementul atenuaza contrastul $h(\omega_x, \omega_y) = |h(j\omega_x, j\omega_y)|$ si decalajul de faza $\varphi(\omega_x, \omega_y) = \arg(j\omega_x, j\omega_y)$ a imaginii reale a obiectului in raport cu imaginea geometrica (ideala). Daca iluminarea produsa de obiect este incoerenta, FTO reprezinta masura in care sistemul optic micsoreaza intensitatea imaginii reale in raport cu imaginea geometrica ideala.

Din relatia (5.41) sau (5.42) rezulta ca un sistem optic se comporta ca un filtru de frecvente spatiale, avand o banda limitata de transmisie a acestora. *Banda* este determinata de apertura sistemului sau elementului optic.

5.4.2 FTO a unui sistem optic

Distributia amplitudinii campului de unde in planul imagine $a(x_i, y_i)$, in cazul aproximatiilor opticii paraxiale, se poate exprima cu ajutorul functiei $f(x, y)$ care reprezinta distributia de amplitudine in pupila de iesire a sistemului optic

$$a(x_i, y_i) = C \int_{-\infty}^{+\infty} \int_{-\infty}^{+\infty} f(x, y) e^{-j(\omega_x x_i + \omega_y y_i)} dx dy ,$$

unde C este o constanta.

Coordonatele unui punct din pupila de iesire (x, y) sunt legate de coordonatele punctului corespunzator (x_i, y_i) din planul imagine prin relatiile $x = x_i \frac{k}{R}$, $y = y_i \frac{k}{R}$, unde $k = 2\pi/\lambda$ este numarul de unda si R – distanta dintre punctul analizat din planul imagine si centrul pupilei de iesire.

Fie $E(x_i, y_i)$ distributia amplitudinii complexe a imaginii unei surse punctiforme. Distributia de iluminare energetica produsa de sursa in planul imagine a sistemului optic este chiar functia pondere a acestuia: $w(x_i, y_i) = E(x_i, y_i) \cdot E^*(x_i, y_i)$, iar transformata Fourier a functii pondere reprezinta caracteristica de frecventa sau FTO a sistemului sau elementului optic analizat

$$H(\omega_x, \omega_y) = \int_{-\infty}^{+\infty} \int_{-\infty}^{+\infty} E(x_i, y_i) \cdot E^*(x_i, y_i) e^{-j(\omega_x x_i + \omega_y y_i)} dx_i dy_i . \quad (5.44)$$

Daca $F(x', y')$ este functia pupilara a sistemului optic, atunci distributia de amplitudine in planul imagine se poate scrie ca o transformata Fourier, de forma

$$E(x_i, y_i) = \int_{-\infty}^{+\infty} \int_{-\infty}^{+\infty} F(x', y') e^{-j \frac{k}{R} (x' x_i + y' y_i)} dx' dy' . \quad (5.45)$$

Inlocuind expresiile (5.45) in (5.44), se obtine

$$H(\omega_x, \omega_y) = \int_{-\infty}^{+\infty} \int_{-\infty}^{+\infty} E^*(x_i, y_i) e^{-j(\omega_x x_i + \omega_y y_i)} dx_i dy_i \int_{-\infty}^{+\infty} \int_{-\infty}^{+\infty} F(x', y') e^{-j \frac{k}{R} (x' x_i + y' y_i)} dx' dy' .$$

Dupa efectuarea calculelor, rezulta

$$H(\omega_x, \omega_y) = \int_{-\infty}^{+\infty} \int_{-\infty}^{+\infty} F(x', y') F^* \left[\left(x' + \frac{R}{k} \omega_x\right) x_i, \left(y' + \frac{R}{k} \omega_y\right) \right] dx' dy' \quad (5.46)$$

unde F^* reprezinta complex-conjugata functiei pupilare $F(x', y')$. Daca sistemul optic se considera lipsit de aberatii, atunci functia pupilara este constanta pe un cerc de raza $r' = \sqrt{x'^2 + y'^2}$ si nula in afara acestuia. Functia F^* este identica cu $F(x', y')$, dar este deplasata fata de aceasta cu distanta $d = \frac{R}{k} \sqrt{\omega_x^2 + \omega_y^2}$.

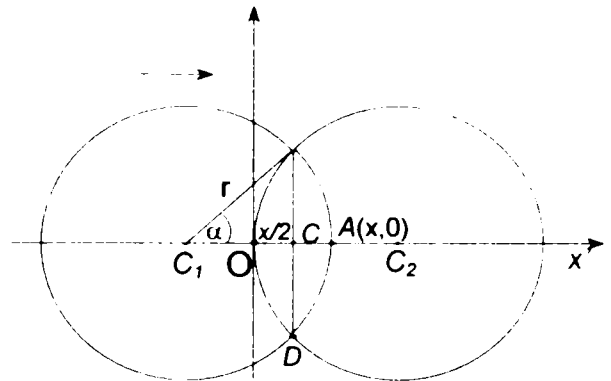


Fig. 5.16

Din integrala (5.46) rezulta ca $H(\omega_x, \omega_y)$ este suprafata comuna a celor doua functii F si F^*

Caracteristica de frecventa spatiala normata $H(\omega_x, \omega_y)$ a sistemului optic, cu pupila de iesire de raza r , este $\sigma(x) = \frac{S(x)}{S_{max}}$, unde $S(x)$ este suprafata comuna a cercurilor reprezentate in

fig.5.16 (suprafata celor doua segmente de cerc)

Suprafata unui segment de cerc este: $S_{ABC_1D} - S_{BC_1DC}$,

cu $S_{ABC_1D} = r^2 \arccos \frac{r - \frac{x}{2}}{r}$ si $S_{BC_1DC} = \left(r - \frac{x}{2}\right) \sqrt{r^2 - \left(r - \frac{x}{2}\right)^2}$, unde $\alpha = \arccos \frac{r - \frac{x}{2}}{r}$.

Suprafata comuna a celor doua cercuri este

$$S_C(x) = 2r^2 \arccos \frac{r - \frac{x}{2}}{r} - 2r \left(r - \frac{x}{2}\right) \sqrt{1 - \left(\frac{r - \frac{x}{2}}{r}\right)^2}$$

Se noteaza $y = \frac{r - \frac{x}{2}}{r}$, cu $0 < x < 2r$ sau $0 < y < 1$ si rezulta suprafata relativa comuna a celor doua cercuri

$$\sigma(y) = \frac{S_C(y)}{S_{max}} = \frac{2}{\pi} [\arccos y - y \sqrt{1 - y^2}]. \quad (5.47)$$

Repetand calculele pentru cazul $2r < x < 4r$ si

notand $y = \frac{\frac{x}{2} - r}{r}$ se obtine o formula identica cu

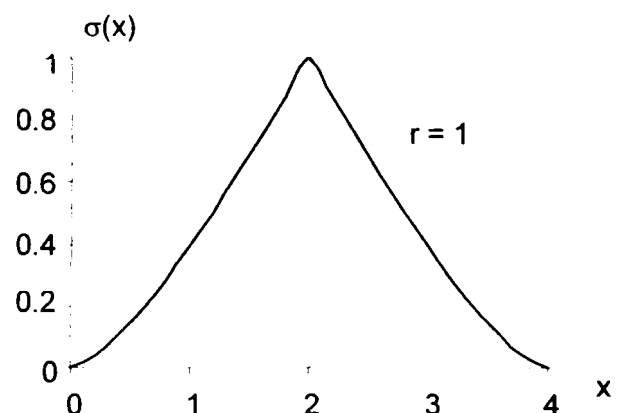


Fig. 5.17

(5.47) pentru suprafața $\sigma(y)$. În tabelul 5.1 sunt trecute valorile funcției $\sigma(x)$ pentru $0 < x < 4r$, iar în fig 5.17 este reprezentată curba FTO a sistemului optic analizat, construită pe baza formulei (5.47).

Tabelul nr. 5.1

x	$\sigma(x)$	x	$\sigma(x)$	x	$\sigma(x)$
0	0	1.4	0.6238	2.8	0.5046
0.2	0.0373	1.6	0.7470	3	0.3910
0.4	0.1040	1.8	0.8728	3.2	0.2847
0.6	0.1881	2	1	3.4	0.1881
0.8	0.2847	2.2	0.8728	3.6	0.1040
1	0.3910	2.4	0.7470	3.8	0.0373
1.2	0.5046	2.6	0.6238	4	0

5.4.3 Caracteristica de frecvență a diafragmei modulatorie

La determinarea funcției de transfer optic (FTO) a unei diafragme modulatorie, aceasta se consideră ca fiind un element optic liniar. Funcția de transfer optică este transformata Fourier directă a funcției de transmisie a diafragmei, care de fapt reprezintă o funcție treaptă unitate, cu următoarea expresie analitică

$$t(x, y) = \begin{cases} 1 & \text{pentru elementele transparente ale diafragmei,} \\ 0 & \text{pentru elementele opace ale diafragmei,} \end{cases}$$

Într-un sistem de coordonate carteziene FTO are expresia

$$T(\omega_x, \omega_y) = \int_{-\infty}^{+\infty} \int_{-\infty}^{+\infty} t(x, y) e^{-j(\omega_x x + \omega_y y)} dx dy,$$

sau într-un sistem de coordonate polare

$$T(\omega, \theta) = \int_0^{2\pi} \int_0^R t(\rho, \varphi) e^{-j[\omega \rho \cos(\theta - \varphi)]} \rho d\rho d\varphi.$$

Aplicarea directă a integralelor menționate pentru determinarea FTO la diafragmele modulatorie cu structură periodică nu este posibilă întrucât funcțiile de transmisie a acestor diafragme nu sunt absolut integrabile. În acest caz, metoda folosită pentru determinarea FTO este următoarea:

- se determină FTO pentru un singur element al diafragmei;
- se aplică teorema deplasării spectrului și principiul superpoziției;
- se consideră elementele transparente ale diafragmei ca fiind liniare din punct de vedere optic și se adună spectrele rezultate.

Astfel, daca FTO a unui elementul transparent al diafragmei dispus in originea sistemului de axe xOy si cu functia de transmisie $t_0(x,y)$ este $W_0(\omega_x, \omega_y)$, iar celelalte elemente se afla fata de elementul considerat "zero" la distantele nX , respectiv mY , cu $n = 1, 2, 3, \dots, N$ si $m = 1, 2, 3, \dots, M$, atunci FTO al elementului de ordinul nm este

$$W_{nm}(\omega_x, \omega_y) = W_0(\omega_x, \omega_y) e^{j(n\omega_x X + m\omega_y Y)},$$

unde ω_x respectiv ω_y sunt pulsatiile spatiale, cu X , respectiv Y – perioadele spatiale.

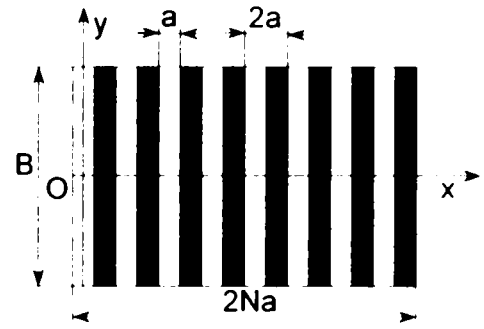


Fig.5.18

Conform principiului superpozitiei FTO a intregii diafragme se determina cu expresi

$$W(\omega_x, \omega_y) = W_0(\omega_x, \omega_y) \sum_{n=1}^{N-1} \sum_{m=1}^{M-1} e^{j(n\omega_x X + m\omega_y Y)}. \tag{5.38}$$

In fig. 5.18 se prezinta o diafragma modulatora formata din benzi transparente si opace dispuse la intervale egale intre ele. Functia de transmisie a elementului "zero"(dispus in originea sistemului de axe xOy) are expresia analitica

$$t(x, y) = \begin{cases} 1 & \text{pentru } |x| \leq \frac{a}{2}, |y| \leq \frac{b}{2}, \\ 0 & \text{pentru } |x| > \frac{a}{2}, |y| > \frac{b}{2}. \end{cases}$$

Transformata Fourier directa a functiei de transmisie $t_0(x,y)$ a elementului transparent, dispus in punctul de origine a sistemului de axe carteziene xOy, este

$$W_0(\omega_x, \omega_y) = \int_{-\infty}^{+\infty} \int t(x, y) e^{-j(\omega_x x + \omega_y y)} dx dy = ab \frac{\sin \omega_x \frac{a}{2}}{\omega_x \frac{a}{2}} \frac{\sin \omega_y \frac{b}{2}}{\omega_y \frac{b}{2}}.$$

Aplicand (5.38), rezulta

$$W(\omega_x, \omega_y) = W_0(\omega_x, \omega_y) \sum_{n=0}^{N-1} e^{j\omega_x n(2a)} = abN \frac{\sin \omega_x aN}{\omega_x aN} \frac{\sin \omega_y \frac{b}{2}}{\omega_y \frac{b}{2}} \frac{1}{\cos \omega_x \frac{a}{2}} e^{j\omega_x a(N-1)}.$$

Analizand expresia FTO a diafragmei din fig.5.18 se poate observa ca maximul functiei $W(\omega_x, \omega_y)$ se obtine pentru valorile $\omega_x = \omega_y = 0$ si $\omega_x = \pm \pi/a, \omega_y = 0$. Primul maxim este specific surselor de radiatie cu suprafata mare ($\omega_x = \omega_y = 0$), adica surselor care produc o iluminare uniforma pe intreaga suprafata a rasterului.

Al doilea maxim caracterizeaza transmisia maxima a semnalelor optice provenite de la surse, pentru care dimensiunile imaginii indeplineste conditia $x \leq 2a$. In fig. 5.19 se reprezita caracteristica normata $|W(\omega_x, \omega_y)|/abN$ functie de pulsatia spatiala ω_x . Curba prezinta doua maxime cu valoarea 1 pentru $\omega_x = \omega_y = 0$ si 0,637 pentru $\omega_x = \pm \pi/a, \omega_y = 0$.

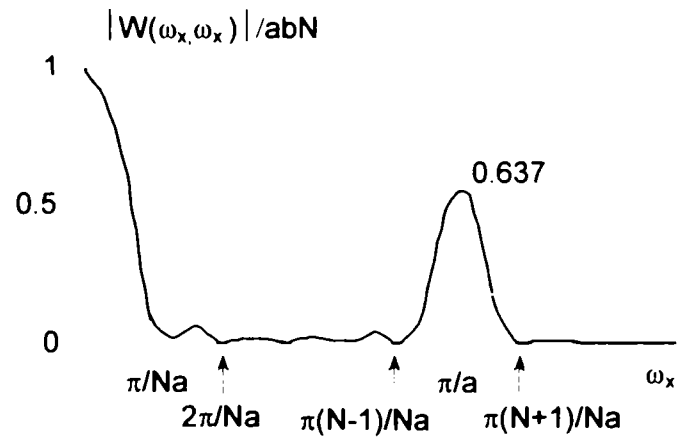


Fig.5.19

In vederea imbunatatirii selectiei spatiale a obiectelor cu suprafata mare (fondul), este necesar ca functia de transmisie a diafragmei modulatorie sa aiba punctele de maxim nu pe axele de pulsatie ω_x si ω_y , ci defazate fata de acestea cu un unghi oarecare. Aceasta cerinta este indeplinita de diafragma modulatorie cu elemente transparente si opace dispuse sub forma unei table de sah (fig. 5.20). Functia de transmisie a elementului transparent "zero", este

$$t(x, y) = \begin{cases} 1 & \text{pentru } |x| \leq \frac{a}{2}, |y| \leq \frac{b}{2}, \\ 0 & \text{pentru } |x| > \frac{a}{2}, |y| > \frac{b}{2}. \end{cases} \quad (5.39)$$

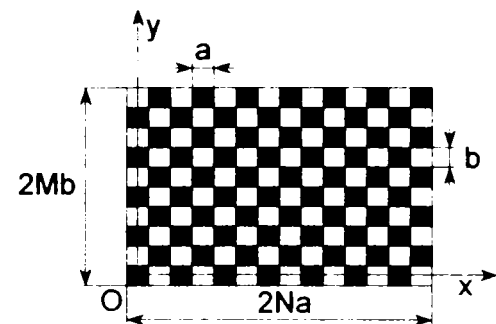


Fig. 5.20

FTO a unui element transparent este transformata Fourier a functiei pondere (5.39) a diafragmei modulatorie analizata.

$$W(\omega_x, \omega_y) = \int_{-\frac{a}{2}}^{\frac{a}{2}} \int_{-\frac{b}{2}}^{\frac{b}{2}} e^{-j(\omega_x x + \omega_y y)} dx dy = ab \frac{\sin \omega_x \frac{a}{2}}{\omega_x \frac{a}{2}} \frac{\sin \omega_y \frac{b}{2}}{\omega_y \frac{b}{2}}$$

Elementele transparente sunt deplasate pe axa ox, fata de elementul zero cu distanta 2na, cu $n = 1, 2, 3, \dots, N$. De aceea, pe baza teoremei translaticii, transformata Fourier a functiei de transmisie a unei serii de elemente transparente cu coordonatele centrelor in $y = 0$ si $x = 2ma$ va fi determinata cu (5.38)

$$W(\omega_x, \omega_y) = abN \frac{\sin \omega_x aN}{\omega_x aN} \frac{\sin \omega_y \frac{b}{2}}{\omega_y \frac{b}{2}} \frac{1}{\cos \omega_x \frac{a}{2}} e^{j\omega_x a(N-1)} \quad (5.60)$$

Elementele transparente din al doilea rand sunt deplasate fata de primul rand, pe axa Oy, cu distanta b , iar pe axa Ox cu distanta a .

Transformata Fourier a functiei de transmisie celor doua randuri ale diafragmei modulatorie

$$W_2(\omega_x, \omega_y) = W_1(\omega_x, \omega_y) \left[1 + e^{j(\omega_x a + \omega_y b)} \right]$$

Primele doua randuri de elemente transparente si opace ale diafragmei

modulatoare se repeta de-a lungul axei Ox cu perioada $2a$. Prin urmare FTO a intregii diafragme modulatorie este

$$W(\omega_x, \omega_y) = 2abMN \frac{\sin \omega_x a N}{\omega_x a N} \frac{\sin \omega_y b M}{\omega_y b M} \frac{\cos 0,5(\omega_x a + \omega_y b)}{\cos 0,5\omega_x a \cdot \cos \omega_y b} e^{j0,5[\omega_x(2N+1) + \omega_y(2M+1)]}$$

Caracteristica normata $|W(\omega_x, \omega_y)|/abMN$ a FTO este reprezentata in fig.5.21. Punctele de maxim ale caracteristicii corespund valorilor pulsatiilor spatiale $\omega_x = \omega_y = 0$ si pentru $\omega_x = \pm \pi/a$, $\omega_y = \pm \pi/b$. Amplitudinea caracteristicii in aceste puncte este $1 \cdot (2abMN)$ si $0,405 \cdot (2abMN)$, dispuse pe dreapta care face unghiul $\alpha = \arctg(a/b)$ fata de axa $O\omega_x$.

Ca si la diafragma modulatorie cu benzi paralele si aceasta diafragma asigura o transmisie maxima pentru fluxul luminos incident uniform pe intreaga suprafata a diafragmei.

Prezenta punctelor de maxim pentru $\omega_x = \pm \pi/a$, $\omega_y = \pm \pi/b$ indica o sensibilitate a FTO fata de marginile bine conturate ale imaginii fondului, dispuse sub unghiul $\alpha = \arctg(a/b)$ fata de axa $O\omega_x$ a planului imagine.

Cum s-a mentionat anterior filtrul multidimensional sau rasterul analizator de imagine reprezinta o diafragma cu o distributie a zonelor transparente si opace dupa o lege data si este elementul cel mai important al sistemului de detectie si localizare a surselor termice.

5.4.4. Evaluarea procesului de filtrare spatiala

Calitatea procesului de filtrare spatiala a semnalelor optice de catre o diafragma modulatorie se evalueaza prin raportul dintre *puterea semnalului util* provenit de la sursa termica si *valoarea medie patratica* a semnalului perturbator, la iesirea diafragmei modulatorie.

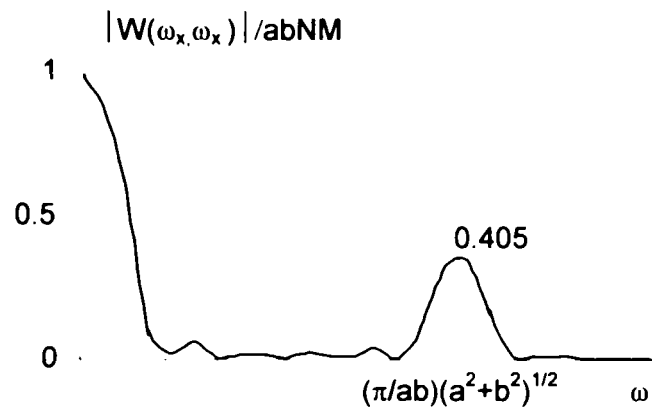


Fig. 5.21

Se considera o diafragma modulatorie cu caracteristica de frecventa $W(j\omega_x, j\omega_y)$. Asupra diafragmei se aplica semnalul util $E_{iu}(x, y)$ - iluminarea energetica produsa de sursa termica in spatiul imagine si semnalul aleator parazit, datorat radiatiei de fond $E_{ip}(x, y)$.

Semnalul optic de la intrarea diafragmei modulatorie este reprezentat de suma $E_i(x, y) = E_{iu}(x, y) + E_{ip}(x, y)$.

Spectrul semnalului util la intrarea diafragmei este

$$S_{iu}(j\omega_x, j\omega_y) = \int_{-\infty}^{+\infty} \int E_{iu}(x, y) e^{-j(\omega_x x + \omega_y y)} dx dy,$$

iar spectrul semnalului util de la iesirea diafragmei este

$$S_{eu}(j\omega_x, j\omega_y) = S_{iu}(j\omega_x, j\omega_y) W(j\omega_x, j\omega_y).$$

Semnalul optic util la iesirea diafragmei modulatorie se determina cu integrala

$$E_{eu}(x, y) = \frac{1}{4\pi^2} \int_{-\infty}^{+\infty} \int S_{eu}(j\omega_x, j\omega_y) e^{j(\omega_x x + \omega_y y)} d\omega_x d\omega_y.$$

Puterea semnalului util la iesirea din diafragma modulatorie este

$$P_u = |E_{eu}(x, y)|^2 = \frac{1}{(4\pi^2)^2} \left| \int_{-\infty}^{+\infty} \int S_{iu}(\omega_x, \omega_y) W(j\omega_x, j\omega_y) e^{j(\omega_x x + \omega_y y)} d\omega_x d\omega_y \right|^2.$$

Se noteaza cu $S_{ip}(\omega_x, \omega_y)$ spectrul de putere al semnalului parazit aplicat la intrarea diafragmei modulatorie. La iesirea din diafragma spectrul de putere al semnalului parazit este $S_{ep}(\omega_x, \omega_y) = S_{ip}(\omega_x, \omega_y) |W(j\omega_x, j\omega_y)|^2$, iar puterea semnalului parazit sau valoarea medie patratica la iesirea din diafragma modulatorie este

$$E_p^2(x, y) = \frac{1}{(4\pi^2)^2} \int_{-\infty}^{+\infty} \int S_{ip}(\omega_x, \omega_y) |W(j\omega_x, j\omega_y)|^2 d\omega_x d\omega_y.$$

Se scrie raportul semnal util/zgomot

$$\chi^2(x, y) = \frac{|E_{ep}(x, y)|^2}{E_{ep}^2(x, y)} = \frac{\left| \int_{-\infty}^{+\infty} \int S_{iu}(j\omega_x, j\omega_y) W(j\omega_x, j\omega_y) e^{-j(\omega_x x + \omega_y y)} d\omega_x d\omega_y \right|^2}{\int_{-\infty}^{+\infty} \int S_{ip}(\omega_x, \omega_y) |W(j\omega_x, j\omega_y)|^2 d\omega_x d\omega_y}$$

Daca $(\omega_{x0}, \omega_{y0})$ sunt coordonatele maximului functiei de transfer optic a diafragmei modulatorie, raportul semnal/zgomot se poate simplifica aplicand inegalitatea lui Schwartz

$$\chi^2(x, y) \leq \frac{\left| \int_{-\infty}^{+\infty} \int_{-\infty}^{+\infty} S_{iu}(j\omega_{x0}, j\omega_{y0}) d\omega_x d\omega_y \right|^2}{\int_{-\infty}^{+\infty} \int_{-\infty}^{+\infty} S_{ip}(\omega_{x0}, \omega_{y0}) |W(j\omega_{x0}, \omega_{y0})|^2 d\omega_x d\omega_y} = \frac{S_{iu}^2(\omega_{x0}, \omega_{y0})}{S_{ip}(\omega_{x0}, \omega_{y0})}$$

Se presupune ca spectrul fondului parazit are expresia

$$S_{ip}(\omega_x, \omega_y) = \frac{S_0}{(a\omega_x^2 + b\omega_y^2 + c^2)^q},$$

unde S_0 este valoarea medie a iluminarii fondului, a si b sunt doua constante care iau valori cuprinse in intervalul $(0,1)$ si q un parametru cu valoarea obisnuita $q = 3/2$. De asemenea se considera ca sursa termica se afla la infinit imaginea acesteia are o forma circulara, de tip disc, cu stralucirea

$$B(x, y) = \begin{cases} B_0 & \text{pentru } x^2 + y^2 \leq r_0^2, \\ 0 & \text{pentru } x^2 + y^2 > r_0^2. \end{cases}$$

cu spectrul imaginii sursei pentru o anumita lungime de unda λ ,

$$S_{iu}(\omega_x, \omega_y) = 2 \frac{\pi^2 B_0}{\lambda} \frac{J_1(r_0 \sqrt{\omega_x^2 + \omega_y^2})}{r_0 \sqrt{\omega_x^2 + \omega_y^2}},$$

cu B_0 – iluminarea energetica in centrul figurii de difractie si r_0 – primului cerc de difractie.

Se considera ca latimea diafragmei cu benzi este a si , de asemenea, latura unui patrat al diafragmei cu patrate este a . Se mai considera ca raza primului cerc de difractie este $r_0 = a/2$.

- Spectrul semnalului util, pentru diafragma cu benzi paralele este

$$S_{uparalel}\left(\frac{\pi}{a}, 0\right) = A \frac{J_1\left[\frac{a}{2} \sqrt{\left(\frac{\pi}{a}\right)^2}\right]}{2\pi \frac{a}{2} \sqrt{\left(\frac{\pi}{a}\right)^2}} = A \frac{J_1\left(\frac{\pi}{2}\right)}{\pi^2},$$

iar pentru diafragma cu patrate

$$S_{upatrat}\left(\frac{\pi}{a}, \frac{\pi}{a}\right) = A \frac{J_1\left[\frac{a}{2} \sqrt{\left(\frac{\pi}{a}\right)^2 + \left(\frac{\pi}{a}\right)^2}\right]}{2\pi \frac{a}{2} \sqrt{\left(\frac{\pi}{a}\right)^2 + \left(\frac{\pi}{a}\right)^2}} = A \frac{J_1\left(\frac{\sqrt{2}}{2} \pi\right)}{\sqrt{2} \pi^2}.$$

- Spectrul fondului parazit, pentru diafragma cu benzi paralele este

$$S_{pparalel}\left(\frac{\pi}{a}, 0\right) = \frac{S_{po}}{\left(\frac{\pi}{a}\right)^{2q}} = S_{po} \left(\frac{a}{\pi}\right)^{2q},$$

iar pentru diafragma cu patrate

$$S_{ppatrat}\left(\frac{\pi}{a}, \frac{\pi}{a}\right) = S_{po} \left(\frac{a}{\sqrt{2}\pi}\right)^{2q}$$

- Se calculeaza raportul χ_1 pentru diafragma cu benzi paralele

$$\chi_1 = \frac{S_{uparalel}\left(\frac{\pi}{a}, 0\right)}{\sqrt{S_{pparalel}\left(\frac{\pi}{a}, 0\right)}} = A \frac{J_1\left(\frac{\pi}{2}\right) \left(\frac{\pi}{a}\right)^q}{\pi^2 \sqrt{S_{po}}}$$

si pentru diafragma cu patrate

$$\chi_2 = \frac{S_{upatrat}\left(\frac{\pi}{a}, \frac{\pi}{a}\right)}{\sqrt{S_{ppatrat}\left(\frac{\pi}{a}, \frac{\pi}{a}\right)}} = A \frac{J_1\left(\frac{\sqrt{2}\pi}{2}\right) \left(\frac{\sqrt{2}\pi}{a}\right)^q}{\sqrt{2}\pi^2 \sqrt{S_{po}}}$$

- Se calculeaza raportul

$$\varepsilon = \frac{\chi_2}{\chi_1} = \frac{J_1\left(\frac{\sqrt{2}\pi}{2}\right)}{J_1\left(\frac{\pi}{2}\right)} (\sqrt{2})^{1/2} = \frac{0,55}{3,14} 1,189 = 0,208.$$

5.5 Filtrarea spectrala si electronica

5.5.1 Filtrarea spectrala

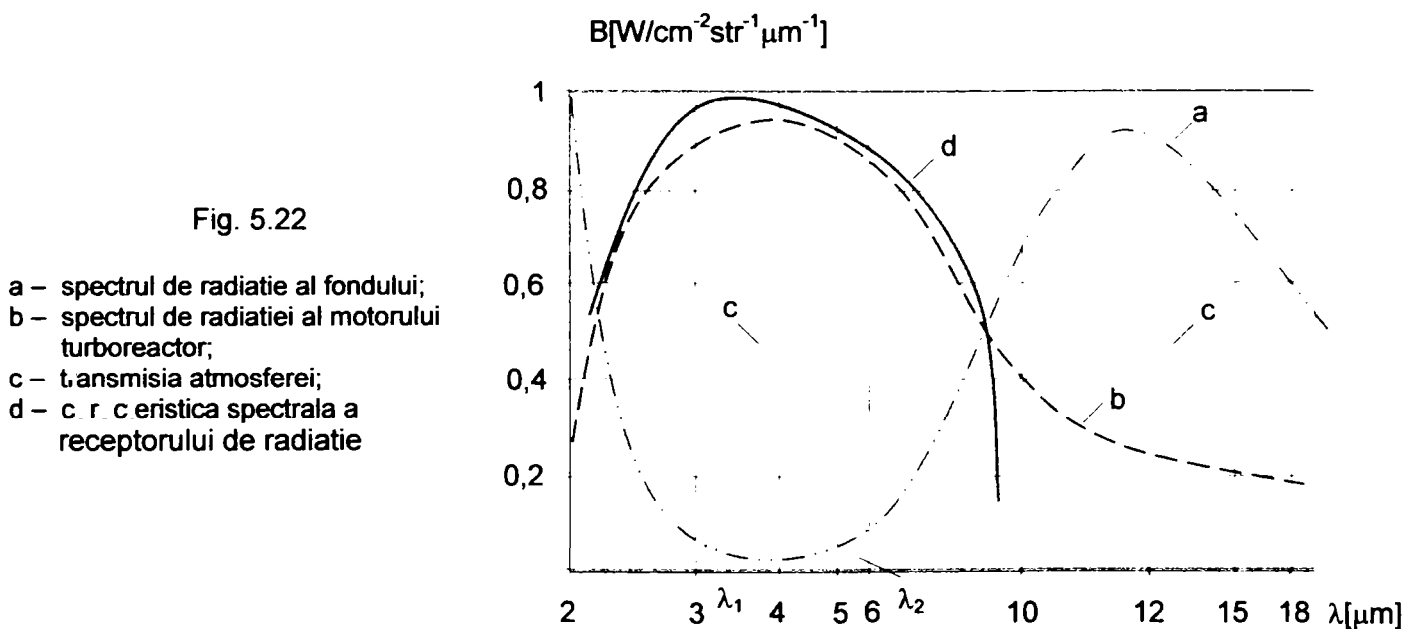
Daca sunt cunoscute densitatile spectrale ale radiatiei emise de tinta si de fond prin filtrare optica radiatia emisa de fond poate fi absorbita in conditiile unei atenuari neinsemnate a radiatiei emise de tinta. Rezulta ca, prin filtrarea spectrala pot fi atenuate sau eliminate complet componentele spectrale nedorite din spectrul radiatiei captate.

In cazul utilizarii sistemelor in infrarosiu pe timp de zi, se impune in primul rand atenuarea radiatiei solare reflectata sau dispersata de fond. In acest scop sunt folosite filtrele cu transmisia maxima in domeniul spectral al "undelor lungi", care permite trecerea radiatiilor infrarosii cu lungimile de unda mai mari decat o valoare de prag. Daca sistemul este folosit pe timp de noapte, radiatia perturbatoare este determinata de radiatia proprie a fondului, cu maximul de radiatie situat intr-o zona mai indepartata a spectrului. In acest caz sunt folosite filtrele optice

de "unde scurte" care lasa sa treaca razele infrarosii care au lungimile de unda mai mici decat o anumita valoare de prag.

Se pot folosi si filtrele de banda cu caracteristica de trecere limitata la intervalul spectral $\lambda_1 - \lambda_2$. Prin alegerea corespunzatoare a benzii de trecere $\lambda_1 - \lambda_2$ a filtrului optic se poate asigura ca la suprafata sensibila a receptorului de radiatie raportul dintre semnal emis de tinta si semnalul parazit (emis de la fond) sa fie maxim.

In fig.5.22 este prezentata caracteristica normata a radiatiei emise de fond. Aceasta prezinta doua maxime – un maxim in zona undelor infrarosii scurte, datorat radiatiei solare reflectate, si al doilea maxim in zona undelor infrarosii lungi, datorat radiatiei termice proprii a solului si fondului. Pe acelasi grafic, in unitati relative, este reprezentata caracteristica de radiatie a unui motor cu reactie, asemanatoare cu a corpului cenusiu, cu maximul corespunzator lungimii de unda $\lambda = 3,5\mu\text{m}$ ($T \approx 800\text{K}$). Aceasta coincide cu intervalele de transparenta optica ale atmosferei (ferestrele optice) reprezentate punctat. Analizand caracteristicile prezentate si tinand cont de caracteristica spectrala a receptorului (fig. 6.2d) rezulta ca radiatia fondului receptionata de receptor poate fi atenuata in mare masura cu ajutorul unui filtru optic cu banda de trecere $\lambda_1 - \lambda_2$ (fig.5.22). In acest caz si radiatia emisa de sursa termica si captata de receptor va fi atenuata



intr-o anumita masura.

Intervalul spectral optim de functionare a sistemului in infrarosu, pentru anumite conditii de functionare date, se determina cu ajutorul coeficientului de utilizare al receptorului de radiatie utilizat.

Prin conditii date se intelege:

- tipul tinte, caracterizata prin densitatea spectrala a radiatiei $r_\lambda = r(\lambda)$;
- fondul, specific tipului de tinta, caracterizat prin stralucirea spectrala $b_\lambda = b(\lambda)$;
- starea atmosferei, caracterizata prin coeficientul spectral de transmisie $\tau_\lambda = \tau(\lambda)$;
- coeficientul de transmisie al sistemului optic $\tau_{o\lambda}$;
- caracteristicile spectrale ale receptorului de radiatie s_λ si ale filtrului optic $s_{o\lambda}$;

Fluxul monocromatic $d\Phi_\lambda$ emis de o sursa termica (fig.5.23) se propaga prin atmosfera si sufera o atenuare astfel ca la suprafata sensibila a receptorului ajunge fluxul $\tau_\lambda d\Phi_\lambda$. Receptorul de radiatie prelucreaza numai acea parte din fluxul incident care corespunde caracteristicii spectrale s_λ . Receptorul va transforma in semnal electric numai fractiunea de flux $s_\lambda \tau_\lambda d\Phi_\lambda$. In intervalul spectral $\lambda_1 - \lambda_2$ sursa termica emite o radiatie a carei marime este

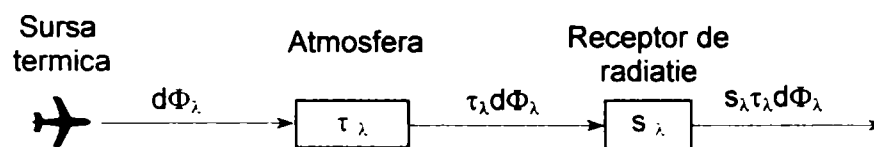


Fig. 5.23

$$\Phi_{\lambda_1-\lambda_2} = \int_{\lambda_1}^{\lambda_2} r_\lambda d\lambda,$$

Marimea radiatiei prelucrata de receptor este

$$\Phi_{r\lambda_1-\lambda_2} = \int_{\lambda_1}^{\lambda_2} s_\lambda \tau_\lambda r_\lambda d\lambda.$$

Coeficientul de utilizare a radiatiei de catre receptor se defineste ca raportul intre fluxul energetic receptat de receptor si fluxul energetic emis de obiect

$$\chi_R = \frac{\int_{\lambda_1}^{\lambda_2} r_\lambda \tau_\lambda \tau_{o\lambda} s_\lambda d\lambda}{\int_{\lambda_1}^{\lambda_2} r_\lambda d\lambda}.$$

Pentru fond, acest coeficient se exprima cu

$$\chi_\Phi = \frac{\int_{\lambda_1}^{\lambda_2} b_\lambda s_\lambda \tau_\lambda \tau_{o\lambda} d\lambda}{\int_{\lambda_1}^{\lambda_2} b_\lambda d\lambda}.$$

Limitele domeniului spectral al filtrului optic $\lambda_1 - \lambda_2$, in care transmisia este maxima, se aleg astfel, incat raportul χ_R/χ_Φ sa fie maxim. Calculele se executa de obicei prin metode grafo-analitice sau cu ajutorul calculatorului, pentru diferite conditii de functionare.

Estimarea calitatii filtrarii spectrale se realizeaza cu ajutorul largimii spectrale efective a benzii de trecere $\Delta\lambda_{ef} = \lambda_2^o - \lambda_1^o$, unde

$$\lambda_1^o = \lambda_{\max} - \int_0^{\lambda_{\max}} r_\lambda S_\lambda \tau_\lambda \tau_{o\lambda} d\lambda / (rS)_{\max}, \text{ si } \lambda_2^o = \lambda_{\max} - \int_{\lambda_{\max}}^{\infty} r_\lambda S_\lambda \tau_\lambda \tau_{o\lambda} d\lambda / (rS)_{\max},$$

unde λ_{\max} reprezinta lungimea de unda la care produsul $r_\lambda S_\lambda$ este maxim, iar $(rS)_{\max}$ este valoarea maxima a functiei $r_\lambda S_\lambda$.

In cazul in care temperatura sursei si a fondului pe care se observa sursa sunt apropiate ca valoare, filtrarea spectrala nu mai are efect. In celelalte cazuri, filtrarea spectrala este un mijloc eficient de atenuare a radiatiei parazite a fondului. Din aceste motive prin utilizarea metodei de filtrare spectrala se imbunatatesc caracteristicile tehnice ale sistemelor in infrarosu.

5.5.2 Filtrarea electronica

In functie de modul cum se realizeaza filtrarea electronica a semnalului obtinut la iesirea receptorului de radiatie, sistemele in infrarosu se impart in:

- sisteme care descopera si localizeaza o anumita sursa termica aflata in teren;
- sisteme care determina forma obiectului.

Sistemele in infrarosu din prima categorie sunt folosite pentru descoperirea (detectia) unui obiect (sursa de radiatie termica) aflata in campul vizual al aparatului. Aici intra sistemele de termogoniometrare, capurile termice de autodirijare etc., la care, in procesul de functionare sunt admise distorsiuni mari in forma semnalului, deoarece destinatia sistemului este de a furniza informatii ce privesc existenta sau nu a obiectului termic in zona cautata si nu a informatiilor ce privesc forma (imaginea) acestuia. Schema electronica de filtrare a acestor sisteme trebuie astfel calculata incat sa asigure un raport semnal util/zgomot de valoare maxima (optima).

Sistemele din a doua categorie trebuie sa asigure, pe langa stabilirea prezentei semnalului provenit de la obiect si posibilitati de a determina forma acestuia – spectrometrele cu explorare, vizoarele termice etc. Acestea trebuie sa reproduca cat mai fidel semnalul captat pentru a asigura imaginii de calitate buna in prezenta zgomotelor si distorsiunilor sistematice din atmosfera.

Aceasta clasificare a sistemelor in infrarosu determina si principalele cerinte impuse procesului de filtrare electronica si a schemelor de filtrare.

In continuare se analizeaza un filtru optimal destinat sa asigure un raport semnal util/zgomot maxim.

Se considera ca la intrarea unui linier si stationar, cu functia de transfer $W(\omega)$, se aplica un zgomot cu densitatea spectrala a puterii $N_i(\omega)$

Densitatea spectrala a puterii zgomotului la iesirea din filtru se determina conform relatiei

$$N_e(\omega) = N_i(\omega)|W(\omega)|^2. \quad (5.61)$$

Integrand (5.61) pentru toate frecventele, se obtine valoarea medie patratica a zgomotului la iesirea din filtru

$$\bar{U}_{zg}^2 = \frac{1}{2\pi} \int_{-\infty}^{+\infty} |W(\omega)|^2 N_i(\omega) d\omega. \quad (5.62)$$

Daca la intrarea filtrului se aplica si un semnal cunoscut $U_i(t)$, cu distributia spectrala $U_i(\omega)$ exprimata cu

$$U_i(\omega) = \int_{-\infty}^{+\infty} U_i(t) e^{-j\omega t} dt.$$

La iesirea acestuia se obtine o tensiune exprimata cu ajutorul transformatei Fourier inverse

$$U_e(t) = \frac{1}{2\pi} \int_{-\infty}^{+\infty} U_i(\omega) W(\omega) e^{j\omega t} d\omega.$$

Raportul dintre patratul tensiunii semnalului la iesirea filtrului si valoarea medie patratica a zgomotului \bar{U}_{zg}^2 , este

$$\chi^2 = \frac{[U_e(t)]}{\bar{U}_{zg}^2} = \frac{\left[\int_{-\infty}^{+\infty} U_i(\omega) W(\omega) e^{j\omega t} d\omega \right]^2}{\int_{-\infty}^{+\infty} |W(\omega)|^2 N_i(\omega) d\omega}. \quad (5.63)$$

Expresia (5.63) permite sa se calculeze raportul semnal/zgomot, daca se cunosc:

- forma semnalului $U_i(t)$ sau densitatea spectrala a acestuia $U_i(\omega)$;
- densitatea spectrala a puterii zgomotului $N_i(\omega)$ la intrarea filtrului electronic;
- functia de transfer $W(\omega)$ a filtrului electronic.

Pentru a obtine o valoare maxima a expresiei (3), singura marime asupra careia se poate interveni este functia de transfer $W(\omega)$.

Rezolvarea problemei de optim este posibila numai teoretic, deoarece practic este dificila realizarea unui filtru care sa asigure un $W_{opt}(\omega)$. In cazul sistemelor in infrarosu care transforma radiatia incidenta intr-o succesiune de impulsuri dreptunghiulare, se foloseste pentru filtrarea acestora a circuitelor rezonante paralele (fig 5.24).

Deoarece succesiunea de impulsuri este periodica, se dezvoltata in serie Fourier si se retin coeficientii armonicii fundamentale. Filtrul se acordeaza la rezonanta pe frecventa armonicii

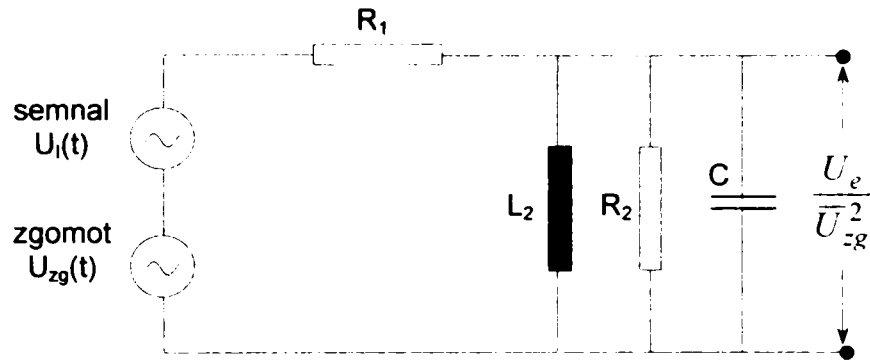
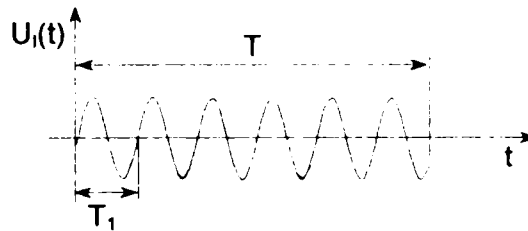


Fig. 5.24



fundamentale, iar factorul de calitate Q al filtrului se considera egal cu $1/T$, unde T reprezinta durata unui pachet de impulsuri (perioada de rotatie a rasterului modulator).

Pentru filtrul din fig. 5.24, functia de transmisie a filtrului este

$$W(\omega) = \frac{R_2}{R_1 + R_2} \frac{1}{1 + jQ \left(\frac{\omega}{\omega_o} - \frac{\omega_o}{\omega} \right)}, \tag{5.64}$$

unde $j = \sqrt{-1}$ este unitatea imaginara, $\omega_o = 1/LC$ - pulsatia de rezonanta egala cu pulsatia armonicii fundamentale si $Q = \omega_o C \frac{R_1 R_2}{R_1 + R_2}$, factorul de calitate al filtrului, egal cu $1/T$ (frecventa de rotatie a rasterului).

Functia de tranzitie $h(t)$ produsa de un impuls cu amplitudine unitara aplicat la intrarea filtrului, se calculeaza cu ajutorul transformatei Laplace inverse aplicate functiei de transmisie a filtrului $W(\omega)$

$$h(t) = \frac{e^{-\frac{\omega_0 t}{2Q}}}{R_1 C \left(1 - \frac{1}{4Q^2}\right)^2} \sin \left[\omega_0 t \left(1 - \frac{1}{4Q^2}\right)^{1/2} + \varphi \right], \text{ cu } -\varphi = \arctg \sqrt{1 - \frac{1}{4Q^2}}. \quad (5.65)$$

Ecuatia (5.65) descrie un pachet de impulsuri sinusoidale, cu pulsatia asemanatoare semnalului de la intrare, dar in locul unei amplitudini constante, amplitudinea functiei indiciale $h(t)$ este amortizata in timp cu constanta de timp $\tau = 2Q/\omega_0$. Totodata aceasta functie are un defazaj φ cuprins intre π si $\pi/2$, cand $Q \rightarrow \infty$.

Pentru obtinerea ecuatiei semnalului de la iesirea filtrului se reprezinta semnalul de la intrare $U_i(t)$ ca rezultatul suprapunerii a doua functii sinusoidale infinit de lungi, decalate in timp cu marimea T , a doua functie fiind negativa

$$U_i(t) = \begin{cases} 0, & \text{pentru } t < 0, \\ U \sin \omega_1 t, & \text{pentru } 0 \leq t \leq T = nT_1, \\ U \sin \omega_1 t - U \sin \omega_1 (t - T), & \text{pentru } t > T. \end{cases}$$

Semnalul la iesirea filtrului $U_e(t)$ se calculeaza cu ajutorul integralei de convolutie a functiilor $h(t)$ si $U_i(t)$

$$U_e(t) = \int_0^t \frac{U e^{-\frac{\omega_0 \tau}{2Q}}}{R_1 C \left(1 - \frac{1}{4Q^2}\right)^2} \sin(\omega_1 t + \varphi) U_i(t - \tau) d\tau. \quad (5.66)$$

In fig 5.25 sunt reprezentate semnalul de intrare $U_i(t)$, functia indiciala $h(t)$ a filtrului pentru un impuls cu amplitudinea unitara, semnalul $U_i(t - \tau)$ si graficul expresiei $U_e(t)$.

In intervalul de la $T = 0$ pana la $t = T$ amplitudinea U_e creste dupa legea $1 - e^{-\omega_0 t/2Q}$.

De la $t = T$, amplitudinea semnalului $U_e(t)$ scade dupa exponentiala $e^{-\omega_0 t/2Q}$. Valoarea maxima a semnalului $U_e(t)$ se determina cu formula

$$U_{em} = \frac{R_2}{R_1 + R_2} U_i M, \quad (5.67)$$

unde M este un parametru care se determina cu ajutorul graficului din fig. 5.26, functie de factorul de calitate Q al circuitului si de n – numarul de impulsuri formate de raster (numarul sectoarelor transparente ale discului modulator). Pentru determinarea dispersiei zgomotului (tensiunea medie patratica) \bar{U}_{zg}^2 la iesirea filtrului, conditionata de densitatea spectrala a puterii zgomotului

$N_i(\omega)$ la intrarea filtrului, care se considera ca fiind un zgomot alb $N_i(\omega) = N_o = const.$

Folosind relatiile (5.62) si (5.65), se obtine

$$\bar{U}_{zg}^2 = \frac{N_o^2}{2} \int_{-\infty}^{+\infty} \left(\frac{R_2}{R_1 + R_2} \right)^2 \frac{d\omega}{1 + Q^2 \left(\frac{\omega}{\omega_o} - \frac{\omega_o}{\omega} \right)^2} = N_o^2 \frac{\omega_o}{4Q} \left(\frac{R_2}{R_1 + R_2} \right)^2. \quad (5.68)$$

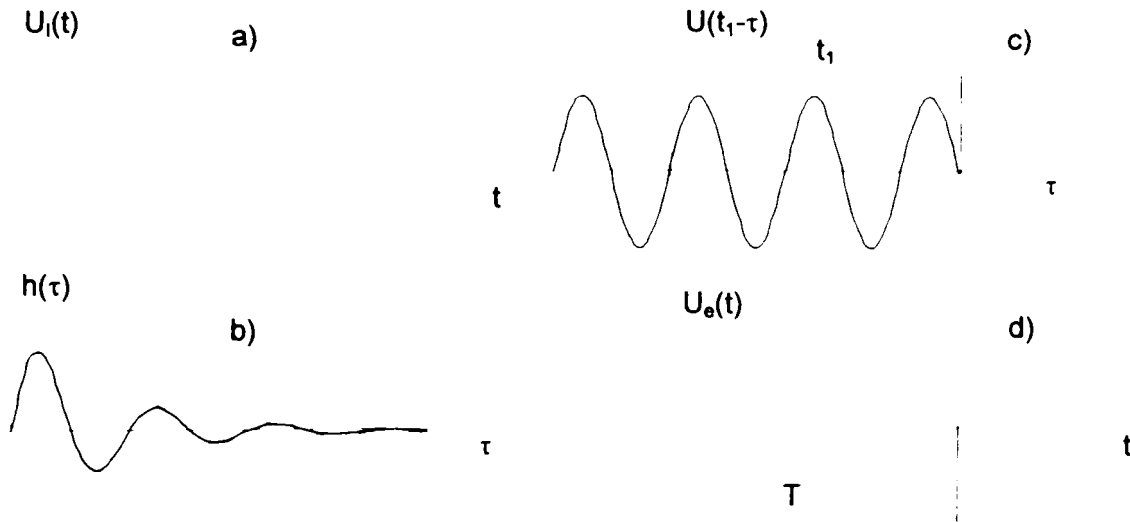


Fig. 5.25

- a) – semnalul de la intrare; b) – functia indiciala;
- c) – semnalul de la intrare decalat cu τ ; d) – semnalul de la iesire

Cu expresiile (5.67) si (5.68) se determina raportul semnal/zgomot

$$\chi = \frac{U_{em}}{\sqrt{\bar{U}_{zg}^2}} = 2 \frac{U_i M}{N_o} \sqrt{\frac{Q}{\omega_o}}. \quad (5.69)$$

Calculule arata ca pentru filtrul prezentat in fig. 5.24 raportul semnal/zgomot reprezinta aproape 90% din aceeasi valoare calculata pentru un filtru ideal.

Stabilirea benzii de trecere optime a unei scheme electronice are o mare insemnatate pentru sistemele in infrarosu utilizate la transmiterea imaginilor. Viteza de raspuns a unui filtru electronic la un impuls dreptunghiular este invers proportionala cu banda de trecere, iar puterea maxima a semnalului la iesire este proportionala cu patratul benzii de trecere. Deci, daca se largeste banda de trecere, timpul de raspuns al filtrului scade, iar puterea semnalului la iesire atinge rapid valoarea maxima. In schimb, puterea zgomotului la

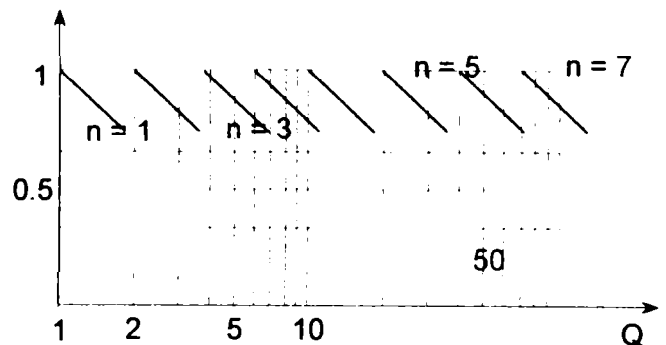


Fig. 5.26

iesirea filtrului creste liniar cu banda de trecere.

Este evident ca exista o banda de trecere optima pentru care raportul semnal/zgomot este maxim.

5.6 Concluzii si contributiile personale

În cap. 5 sunt prezentate și tratate într-o forma originala probleme ce privesc transmisia semnalelor optice prin sisteme/elemente optice. Este studiata transmisia semnalelor optice de intensitate mica, ceea ce a permis considerarea sistemelor (elementelor) optice ca liniare in raport cu aceste semnale. Studiul sistemului optic liniar s-a făcut cu ajutorul a două semnale optice tipice: - semnalul armonic $u(x, y) = e^{-j(\omega_x x + \omega_y y)}$; și semnalul impuls unitar $u(x, y) = \delta(x, y)$. Răspunsul sistemului optic la aceste semnale formează doua funcții specifice sistemului: - caracteristica de frecvență sau funcția de transfer optic a sistemului, reprezentând răspunsul sistemului la un semnal armonic; și, caracteristica la impuls, sau funcția pondere (funcția imaginea punctului), reprezentând răspunsul la semnalul optic $\delta(x, y)$. Semnalul $\delta(x, y)$ s-a definit ca un fascicul îngust de raze paralele, de strălucire b și secțiune dS , cu proprietatea că dacă $b \rightarrow \infty$ și $dS \rightarrow 0$, atunci $b \cdot dS = 1$.

Au fost analizate cazurile de liniaritate în amplitudine (sistemului optic lucrează cu radiație coerentă) și de liniaritate în intensitate (sistemului optic lucrează cu radiație incoerentă) și au fost evidențiate funcțiile care caracterizează sistemul/elementul optic: funcțiile pondere și indicială, respectiv caracteristica de frecvență. S-a arătat că aplicând transformata Fourier directă asupra funcției pondere se obține caracteristica de frecvență sau funcția de transfer optic (FTO) a sistemului. Pe baza acestor funcții au fost studiate și evidențiate cele mai importante caracteristicile ale câtorva elemente optice: - elementul amplificator (sistemul optic ideal); - elementul de deplasare (lama cu fețe plan-paralele); - elementele cu apertură dreptunghiulară și circulară etc. A fost studiat și efectul pe care îl are o apertură asupra spectrului semnalului optic aplicat la intrare și s-a determinat spectrul semnalului de la ieșire, ca un produs între spectrul semnalului de la intrare și spectrul funcției de transfer optic al aperturii (transformata Fourier aplicată funcției pondere a aperturii).

Pe baza condiției de liniaritate și invarianță spațială s-a studiat cum un sistem optic formează imaginea unui obiect punctiform, respectiv a unui obiect cu suprafața mare. Au fost analizate cazurile de iluminare coerentă, sau incoerentă a imaginii și s-a evidențiat funcția de transfer optic a sistemului, ca reprezentând amplitudinea complexă a perturbației din planul imagine produsă de un semnal cu amplitudinea unitară și faza nulă, provenit de la un obiect

punctiform din planul obiect. În cazul iluminării necoerente analiza s-a făcut cu ajutorul intensității energetice a radiației și s-a arătat ca funcția de transfer în intensitate a sistemului optic este reprezentată de pătratul modulului funcției de transfer în amplitudine. S-a stabilit că în cazul iluminării coerente FTO caracterizează măsura în care sistemul optic atenuează contrastul și decalajul de fază a imaginii reale a obiectului în raport cu imaginea geometrică (ideală). În cazul iluminării necoerente, FTO reprezintă măsura în care sistemul optic micșorează iluminarea imaginii reale în raport cu imaginea geometrică (ideală).

S-a mai arătat că funcția complexă a imaginii reprezintă o integrală de convoluție a funcției complexe din spațiul obiect și funcția de transmisie a sistemului optic. Trecând în domeniul frecvențelor spațiale (teorema convoluției), integrala de convoluție trece într-un produs al spectrelor celor două semnale. În acest caz, funcțiile complexe din spațiul obiect și imagine sunt scrise sub forma unei suprapoziții de armonici elementare, pentru toate frecvențele spațiale. Fiecare componentă armonică din planul imagine va depinde de componenta armonică corespunzătoare din planul obiect, ponderată cu mărimea caracteristicii de frecvență, ceea ce pune în evidență faptul că sistemul optic se comportă ca un filtru de frecvențe spațiale "trece jos", având o bandă limitată de transmisie a acestora.

În continuare, pe baza acestei proprietăți, s-a considerat și tratat sistemul sau elementul optic ca un filtru optic liniar și invariant spațial. S-a studiat și s-a determinat FTO și mărimea benzii de transmisie a semnalelor optice de către un sistem optic având pupila de ieșire de forma unui cerc.

Ca filtre optice liniare sunt analizate și diafragmele modulatoare cu o anumită structură periodică. Sunt evidențiate funcțiile îndeplinite de aceste diafragme: de analizor de imagine, de modulator optic și de filtru de frecvențe spațiale. Pentru diafragmele modulatoare cu structură periodică se prezintă o metodă de determinare a caracteristicii de frecvență spațială și a spectrului de putere. De asemenea, se prezintă o metodă de evaluare a eficacității de filtrare spațială a diafragmelor modulatoare. Această metodă permite realizarea unei comparații între mai multe tipuri de diafragme folosite la filtrarea semnalelor optice parazite, în condițiile în care semnalul util format în planul imagine este un cerc. Problematika filtrării semnalelor optice se încheie cu studiul eficacității filtrării spectrale și electronice. Sunt analizate condițiile de lucru ale ansamblului sursă de radiație – sistem SCOD pentru a se asigura o recepție optimă a semnalelor utile.

Contributii: Sunt tratate într-o formă unitară problemele ce privesc transmisia semnalului optic prin sistemul/elementul optic. În studiul făcut sistemul/elementul optic sunt considerate ca fiind liniare. Condiția de liniaritate admisă a permis determinarea semnalului optic

la iesirea elementului/sistemului optic ca o operatie de convolutie (integrala de convolutie) intre semnalul optic aplicat la intrare si functia pondere a sistemului/elementului.

Aplicand transformata Fourier asupra functiei pondere a sistemului/elementului optic s-a obtinut functia de transfer optic sau caracteristica de frecventa. Cu ajutorul FTO trecerea semnalului optic prin sistem/element este analizata ca un proces de filtrare spatia. Sunt analizate cazurile de liniaritate in amplitudine si liniaritate in intensitate.

S-a facut un studiu asupra unor elemente optice elementare: elementul optic amplificator; elementul optic de deplasare; elementul optic cu deschidere dreptunghiulara, circulara etc. S-a facut o comparatie intre mai multe tipuri de diafragme modulatorie folosite la filtrarea spatia a semnalelor optice necoerente. Criteriul dupa care s-a facut comparatia este raportul semnal util/zgomot, exprimat cu $\chi^2 = E_u^2 / E_p^2$, cu E_u^2 - puterea semnalului util si E_p^2 - puterea zgomotului, sau valoarea medie patratica a zgomotului la iesirea diafragmei modulatorie.

Bibliografie:

[A2],[A3],[B1],[B2],[B6],[B7],[C2],[C3],[C4],[C5],[C6],[C7],[C9],[C12],[C15],[D5],[D6],[D7],[D9],[D10],[D11],[D12],[D14],[D15],[D16],[D17],[D18],[D19],[D20],[G2],[G3],[G5],[G8],[G9],[G10],[G14],[G16],[H1],[H2],[H3],[H4],[H5],[I1],[J1],[J3],[K5],[K6],[K7],[K8],[L1],[L3],[L4],[N2],[P1],[P2],[P2],[P3],[S2],[S3],[S4],[T1],[R2],[T3],[T4],[Z2],[Z3],[Z4].

CAP.6**STUDIUL MODULAȚIEI
SEMNALELOR OPTICE****6.1 Destinatia si tipurile de modulatie optica****6.1.1 Consideratii generale**

Principiul de lucru al oricarui sistem de detectie si localizare a surselor (obiectelor) termice din teren consta in extragerea din ansamblul de radiatii electromagnetice provenite de la toate sursele, a radiatiei emise de o anumita sursa ale carei caracteristici trebuiesc determinate.

Radiatia emisa de o sursa termica se caracterizeaza prin intensitatea energetica a radiatiei, dependenta de temperatura acesteia si prin distributia energiei radiante in spectrul frecventelor spatiale, dependente de forma si dimensiunile acesteia.

Separarea radiatiei sursei cautate se bazeaza pe translatarea spectrului frecventelor spatiale ale acesteia intr-un domeniu de frecvente spatiale in care influenta celorlalte spectre este nesemnificativa.

Procedeul prin care se realizeaza modificarea caracteristicilor spectrale ale unui semnal optic, numit *purtator*, in conformitate cu legea de variatie a unui alt semnal, numit *modulator*, poarta numele de *modulatie*. Procesul invers de separare a semnalului modulator de cel purtator, se numeste *demodulatie* sau *detectie*.

Modulatia semnalelor optice se poate realiza atat la emisie cat si la receptia acestora. Prin modulatia semnalului purtator (fluxul energetic) la emisia acestuia de sursa cu un semnal dependent de unele caracteristici ale sursei ca: pozitia unghiulara sau distanta fata de receptor a sursei, se asigura protectia semnalului optic transmis fata de parazitii atmosferici si o simplificare a procedurii de separare a semnalului util din semnalul complex receptionat.

In sistemele optice care receptioneaza radiatia proprie emisa sau reflectata de obiectele din teren (metoda pasiva) modulatia semnalului se realizeaza in interiorul sistemului optoelectronic de receptie, dupa care urmeaza detectia. In acest caz, semnalul care contine informatii despre obiect este reprezentat de stralucirea energetica a imaginii obiectului si pozitia acesteia in planul focal al sistemului optic. Cu acest semnal se moduleaza o oscilatie de inalta frecventa – semnalul purtator, obtinut prin intreruperea periodica a fluxului energetic, care se propaga de la planul focal spre blocul de receptie al sistemului, in ritmul comandat de o sursa de referinta (de sincronizare). Blocul receptor converteste impulsurile de radiatie in infrarosu in impulsuri de tensiune care sunt amplificate, filtrate si demodate. Demodulatorul reconstruieste semnalul original, dar de o putere mult mai mare.

Din aceasta descriere succinta a procesului de modulatie – demodulatie rezulta doua observatii importante:

- prima se refera la functionarea sincrona a modulatorului si demodulatorului, deoarece numai in acest caz se poate conserva informatiile ce privesc marimea semnalului util (amplitudinea) si polaritatea (unghiul de faza);

- comanda sincrona a modulatorului si demodulatorului se realizeaza prin folosirea unei singure surse de referinta. Frecventa semnalului de referinta trebuie sa fie de cel putin doua ori mai mare decat frecventa semnalului lent variabil.

Inainte de a se analiza modulatia radiatiei necoerente, se vor prezenta principiile generale ale modulatiei.

6.1.2 Modulatia semnalelor optice

Modulatia optica este un proces necesar in sistemele de transmisie si detectie a semnalelor optice, deoarece semnalul care contine informatia de transmis are spectrul de frecventa plasat in domeniul frecventelor joase, unde se gaseste si spectrul de frecventa al surselor parazite. Folosind un semnal purtator de frecventa mare, ce are spectrul mult departat fata de spectrul parazit, semnalul la iesirea din modulator va fi lipsit de semnalele parazite. Daca semnalul purtator este un semnal de forma armonica, atunci caracteristicile sale ca amplitudine, frecventa sau faza sunt modificate in ritmul de oscilatie al semnalului ce reproduce informatia de transmis si care reprezinta semnalul modulator.

Procesul de modificare a caracteristicilor unei oscilatii armonice reprezinta *modulatie armonica*. In functie de caracteristica semnalului purtator armonic $x(t) = A \cos(\omega t + \varphi)$ modificata, rezulta trei tipuri de modulatie armonica: de amplitudine (MA), de frecventa (MF),

sau de faza (MP). Dacă semnalul purtător este reprezentat de o succesiune de impulsuri dreptunghiulare, de perioada bine definită, semnalul modulator acționează asupra caracteristicilor impulsurilor, obținându-se următoarele tipuri de modulație:

- modulația în amplitudine a impulsurilor optice (MAI), când amplitudinea impulsurilor urmărește variația semnalului modulator;
- modulația în durată a impulsurilor optice (MLI), când lățimea impulsurilor este funcție de amplitudinea semnalului modulator;
- modulația în fază a impulsului optic (MFI), când poziția impulsurilor se modifică față de repere fixe de timp;
- modulația în cod a impulsurilor optice (MCI), când semnalul de transmis se transformă în impulsuri al căror număr este funcție de mărimea semnalului modulator.

6.1.3 Modulația armonică de amplitudine MA

Se consideră ca semnalul modulator (semnalul ce conține informația de transmis) este o funcție armonică de forma $I = I_1 \cos \Omega t$, în care I_1 reprezintă amplitudinea semnalului, Ω - pulsția de modulație și $F = \Omega/2\pi$ - frecvența de modulație.

Semnalul purtător este un semnal armonic de înaltă frecvență $i = I_p \cos \omega t$, în care $I_p = \text{const.}$ este amplitudinea purtătoarei, ω - pulsția purtătoarei. Dacă se modifică amplitudinea purtătoarei I_p în același ritm cu variația semnalului modulator $I = I_1 \cos \Omega t$, expresia semnalului modulat este

$$i = (I + I_p) \cos \omega t = (I_p + I_1 \cos \Omega t) \cos \omega t$$

Se notează $m = I_1 / I_p$ și se obține

$$i = I_p (1 + m \cos \Omega t) \cos \omega t. \quad (6.1)$$

Indicele m reprezintă gradul de modulație și exprimă raportul dintre amplitudinea semnalului modulator și amplitudinea purtătoarei. Din expresia (6.1) se observă că procesul de modulație în amplitudine reprezintă din punct de vedere matematic un produs de două funcții de timp: $1 + mf(t) = x(t)$ și $y(t) = \cos \omega t$, sau

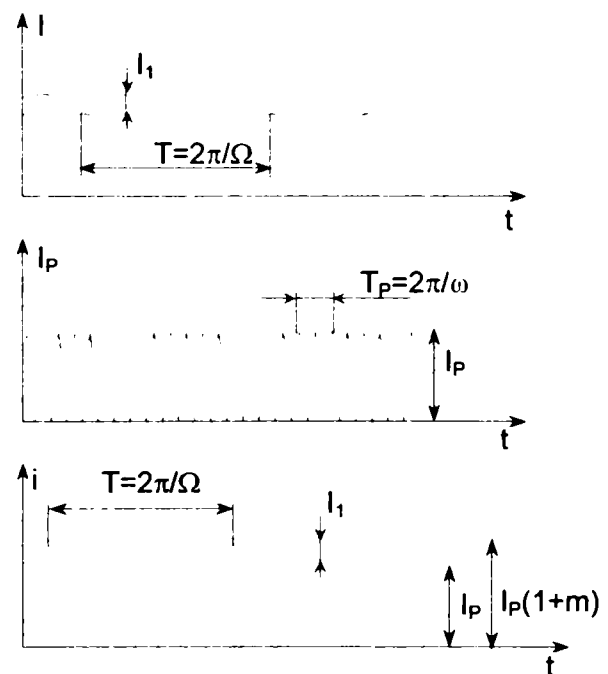


Fig.6.1

$i = I_p x(t) \cdot y(t)$. In fig. 6.1 sunt reprezentate grafic marimile $I = I_1 \cos \Omega t$, $i = I_p \cos \omega t$ si produsul lor $i = I_p x(t) \cdot y(t)$. Modulatorul in amplitudine reprezinta in principiu, un dispozitiv de inmultire, cu doua intrari si o singura iesire (fig.6.2a)

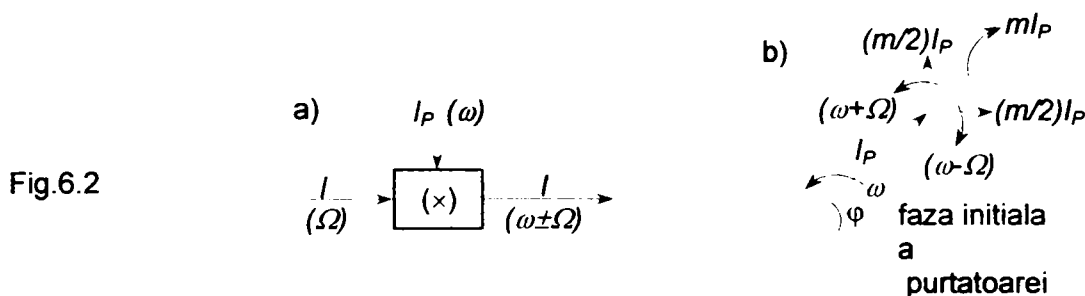
Expresia (6.1) se poate scrie si sub forma

$$i = I_p \cos \omega t + \frac{I_p}{2} [\cos(\omega + \Omega)t + \cos(\omega - \Omega)t].$$

Termenul $I_p \cos \omega t$ reprezinta semnalul purtator si in lipsa modulației se numeste purtatoare. Urmatorii termeni reprezinta doua marimi care apar numai cand purtatoarea este modulata. Ele reprezinta benzile laterale ale oscilației modulate in amplitudine.

Cele trei componente ale semnalului modulat se reprezinta sub forma a trei vectori (fig.7.2b).

Purtatoarea I_p se rotește cu viteza unghiulara ω si benzile laterale se rotesc cu vitezele $\omega - \Omega$ si $\omega + \Omega$. In raport cu vectorul purtator I_p , vectorii $\frac{m}{2} I_p$ se rotesc cu vitezele unghiulare Ω si $-\Omega$.



Daca se insumeaza cei trei vectori se obtine in orice moment de timp marimea modulata.

Valoarea maxima si minima a semnalului modulat este

$$I_{Pmax} = I_p + \frac{m}{2} I_p + \frac{m}{2} I_p = (1 + m) I_p,$$

$$I_{Pmin} = I_p - \frac{m}{2} I_p - \frac{m}{2} I_p = (1 - m) I_p. \tag{6.2}$$

Se noteaza cu ΔI_p variatia maxima a semnalului modulat fata de amplitudinea purtatoarei

fig. 6.3 $\Delta I_p = I_{Pmax} - I_p = m I_p,$

sau $m = \Delta I_p / I_p.$

Din relatiile (6.2) mai rezulta

$$m = \frac{I_{max} - I_{min}}{I_{max} + I_{min}}.$$

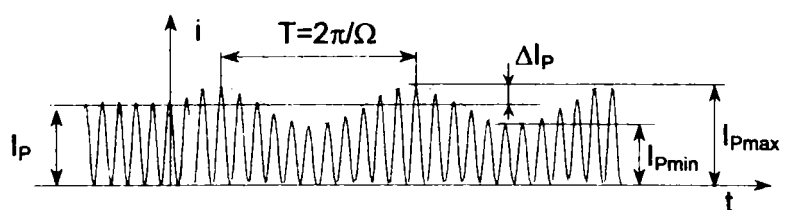


Fig. 6.3

O alta metoda de reprezentare a relatiei (6.3) este cea spectrala (fig. 6.4), in care pe axa orizontala sunt notate frecventele (sau pulsatiile), iar ordonatele sunt proportionale cu amplitudinile. Conform acestei reprezentari, modulația duce la formarea de frecvente (pulsatii)

laterale, a caror amplitudine depinde de gradul de modulație m . Dacă semnalul modulator are o formă complexă, el conține o multime de armonici și se obține două grupe de frecvențe laterale, numite *benzi laterale*. Pentru a transmite nedistorsionat semnalul benzile laterale trebuie utilizate în întregime. În acest caz mărimea $2F$ – dublul frecvenței maxime de modulație reprezintă *largimea benzii* necesare transmiterii semnalului modulat.

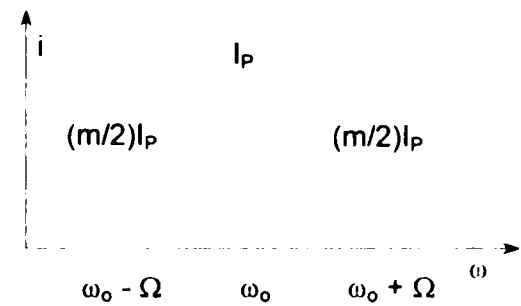


Fig.6.4

6.1.4 Modulația de fază sau de frecvență

În cazul modulației unghiulare se caută să se obțină un semnal cu o variație conform relației

$$i = I_p \cos[\theta(t)] = I_p \cos(\omega_o t + m \sin \Omega t), \quad (6.3)$$

în care m este proporțional cu mărimea semnalului modulator $I = I_1 \cos \Omega t$.

Ecuatia (6.3) se poate interpreta în două moduri:

- se poate presupune ca frecvența oscilațiilor rămâne constantă ($\omega_o = \text{const.}$) și prin modulație se modifică numai faza semnalului purtător $\varphi = m \sin \Omega t$, obținându-se *modulația de fază*;

- se poate lua în considerare valoarea instantanee a pulsației semnalului

$$\omega(t) = \frac{d\theta}{dt} = \omega_o + m\Omega \cos \Omega t = \omega_o \left(1 + \frac{m\Omega}{\omega_o} \cos \Omega t \right)$$

și se consideră influența procesului de modulație numai asupra pulsației ω_o , prin $1 + \frac{m\Omega}{\omega_o} \cos \Omega t$. În acest caz se obține *modulația de frecvență*.

Pentru obținerea celor două tipuri de modulație sunt utilizate dispozitive modulatorie identice constructiv, dar se deosebesc între ele numai prin caracteristicile de frecvență.

Mărimea care caracterizează deviația maximă de frecvență $(\Delta\omega)_{\max} = m\Omega$ sau $(\Delta f)_{\max} = mF$ se numește deviație de frecvență. Ea depinde atât de amplitudine, cât și de

frecvența semnalului modulator. Factorul $m = \frac{(\Delta f)_{\max}}{F} = \frac{(\Delta\omega)_{\max}}{\Omega}$ reprezintă indicele sau

gradul de modulație și are o interpretare asemănătoare cu gradul de modulație al oscilațiilor modulate în amplitudine.

Expresia (6.3) se dezvoltă și rezultă

$$i = I_p [\cos \omega_o t \cos(m \sin \Omega t) - \sin \omega_o t \sin(m \sin \Omega t)]. \quad (6.4)$$

Funcțiile de tipul $\cos(z \sin \zeta)$ și $\sin(z \sin \zeta)$ pot fi reprezentate ca sume infinite de funcții Bessel de speta I, de forma $J_n(z)$, care sunt soluțiile ecuației Bessel

$$\frac{d^2 y}{dz^2} + \frac{1}{z} \frac{dy}{dz} + \left(1 - \frac{a^2}{z^2}\right) y = 0.$$

Rezultă ca

$$\sin(z \sin \zeta) = 2 \sum_{k=0}^{+\infty} J_{2k+1}(z) \sin[(2k+1)\zeta],$$

$$\cos(z \sin \zeta) = J_0(z) + 2 \sum_{k=1}^{+\infty} J_{2k}(z) \cos 2k\zeta.$$

Folosind aceste relații, expresia (6.4) după efectuarea unor transformări simple, devine

$$i = I_p \left\{ J_0(m) \cos \omega_o t + \sum_{k=1}^{\infty} J_k(m) \left[\cos(\omega_o - k\Omega)t + (-1)^k \cos(\omega_o + k\Omega)t \right] \right\}. \quad (6.5)$$

În cazul modulației de frecvență se obține o infinitate de frecvențe laterale, spre deosebire de modulația în amplitudine, la care pentru o singură frecvență de modulație Ω , se obțin numai două frecvențe laterale $\omega - \Omega$ și $\omega + \Omega$, cu amplitudini mai mici decât amplitudinea purtătoarei. La modulația de frecvență numărul frecvențelor laterale este, teoretic, infinit, iar amplitudinile acestor frecvențe pot fi mai mare decât amplitudinea purtătoarei, care scade pe măsura ce crește gradul de modulație.

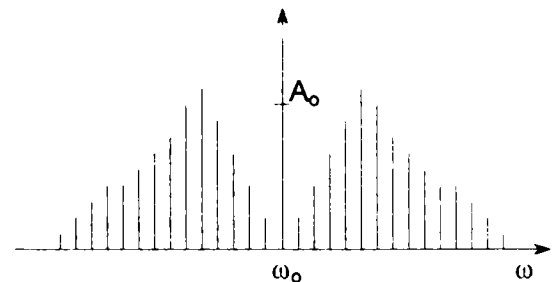


Fig.6.5

Din punct de vedere energetic modulația în frecvență este mai avantajoasă față de modulația în amplitudine. Acest lucru este explicat în fig.6.5 care reprezintă un spectru al modulației în frecvență. La scăderea frecvenței de modulație Ω , crește gradul de modulație $m = (\Delta\omega)_{\max} / \Omega$ și, în consecință, cresc și numărul frecvențelor laterale mari, deci crește energia care revine acestor componente.

6.1.5 Modulația în durată și frecvență a impulsurilor

În cazul modulației în durată, perioada de repetiție a impulsurilor se păstrează constantă, în schimb se modifică durata impulsului t_i (fig. 6.6).

Dacă t_i este o funcție cunoscută, se poate determina valoarea medie a semnalului modulat

$$\Phi_{med} = \frac{1}{T} \int_0^{t_i} \Phi(t) dt = \frac{t_i}{T} \Phi_o,$$

în care

$$\Phi(t) = \begin{cases} \Phi_o & \text{pentru } 0 < t < t_i, \\ 0 & \text{pentru } t_i < t < T. \end{cases}$$

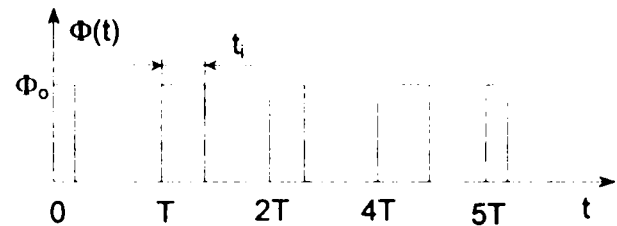


Fig 6.6

Se observă că la modulația în durată a impulsurilor, valoarea medie a semnalului modulat este proporțională cu raportul t_i/T . În cazul modulației în frecvență a impulsurilor, perioada de repetiție a impulsurilor T este variabilă, în schimb durata impulsurilor t_i se păstrează constantă (fig. 6.7). În acest caz, între amplitudinea semnalului modulator $\Phi(t)$ și durata impulsului există relația $\Phi_o \cdot t_i = k$. Valoarea medie a semnalului Φ_{med} este

$$\Phi_{med} = \frac{1}{T} \int_0^{t_i} \Phi_o dt = \frac{t_i}{T} \Phi_o = t_i f \Phi_o = kf,$$

unde f reprezintă frecvența de repetiție a impulsurilor, adică $f = 1/T$, cu T variabil.

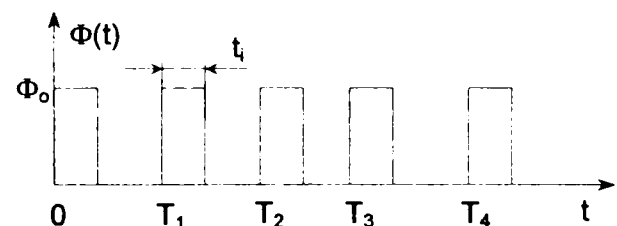


Fig.6.7

6.2 Modulația radiației optice necoerente

6.2.1 Considerații generale

Modulația radiației provenită de la obiectele termoradiante se realizează cu scopul de a obține informații care permit determinarea poziției acestor obiecte în raport cu un referențial ales. Modulatoarele sau dispozitivele care realizează modulația, numite discuri sau diafragme modulatorie, sunt plăci transparente subțiri amplasate în planul focal al obiectivului și asigură o transmisie variabilă a radiației. La deplasarea diafragmei modulatorie în raport cu imaginea în infraroșu a obiectului, în circuitul receptorului de radiație dispus după diafragma modulatorie, apare un semnal electric periodic, purtător de informații privind dispunerea obiectului în câmpul

de vedere al aparatului optic. Prin prelucrare electronica a acestui semnal se separa o tensiune proportională cu coordonatele unghiulare ale obiectului termoradiant. La receptorul de radiație ajung fluxuri de radiație de la obiect și de la fondul care înconjoară obiectul. Întrucât dimensiunile spațiale ale obiectului termoradiant și ale fondului sunt diferite, modulația fluxului de radiație incident la suprafața pupilei de intrare a sistemului optic permite separarea semnalelor provenite de la obiecte de dimensiuni reduse față de cele provenite de la fond, care reprezintă o sursă de dimensiuni mari. Astfel, prin modulația fluxului de radiație recepționat sunt rezolvate următoarele probleme:

- se transformă distribuția spațială a fluxului de radiație emis de obiect și fond în funcții de timp;
- se determină coordonatele unghiulare ale obiectelor termoradiante care au caracteristici diferite de cele ale fondului;
- se filtrează spațial semnale produse de obiectele cu dimensiuni mici de semnalul provenit de la fond.

Fluxurile de radiație captate se modulează cu ajutorul discurilor modulatorie. Acestea au o formă circulară și sunt puse în mișcare de rotație de motoare electrice de putere mică. În acest mod se formează o funcție $\chi(t)$ care de fapt reprezintă legea de modificare periodică, în timp, a funcției de transmisie (a transparenței) discului modulator. De asemenea, prin mișcarea de rotație a discului modulator se formează și funcția $\Phi(t)$, care reprezintă o funcție de timp a fluxului energetic incident. Funcția $\Phi(t)$ rezultă datorită scanării planului imagine – deplasarea diafragmei modulatorie în raport cu imaginea formată în acest plan.

Ecuația semnalului obținut după diafragma modulatorie va avea forma

$$\Phi_M(t) = \Phi(t) \cdot \chi(t). \quad (6.6)$$

În acest caz, modulația fluxului incident poate fi privit ca un proces care se desfășoară în două etape:

- fluxul incident este modulată în frecvența purtătoare;
- semnalul rezultat se modulează cu frecvența de sincronizare (semnalul de sincronizare folosit atât la modulație cât și la demodulație).

Dacă funcția $\chi(t)$ este pară, ceea ce totdeauna este posibil de realizat prin alegerea originii sistemului de axe la mijlocul procesului de închidere sau de deschidere a fluxului incident, se poate descompune în serie Fourier

$$\chi(t) = \chi_0 + \sum_{n=1}^{\infty} \chi_n \cos n\omega_0 t. \quad (6.7)$$

Se înlocuiește (6.7) în (6.6) și se obține spectrul semnalului la ieșirea din modulator

$$\Phi_M(\omega) = \int_{-\infty}^{+\infty} \Phi_M(t) e^{-j\omega t} dt = \int_{-\infty}^{+\infty} \Phi(t) \left[\chi_0 + \sum_{n=1}^{\infty} \chi_n \cos n\omega_0 t \right] e^{-j\omega t} dt.$$

Utilizând formulele lui Euler și efectuând calculele de sub integrală, rezultă

$$\Phi_M(t) = \chi_0 \Phi(\omega) + \frac{1}{2} \sum_{n=1}^{\infty} \chi_n [\Phi(\omega - n\omega_0) + \Phi(\omega + n\omega_0)].$$

Astfel, spectrul semnalului modulat cu frecvența ω reprezintă suma dintre spectrul semnalului până la modulare $\Phi(\omega)$ și totalitatea celor n armonici ale aceluiași spectru, dispuse după frecvența cu mărimea $n\omega_0$ – multiplu al frecvenței de modulație. Spectrul obținut în cazul modulației armonice este format din frecvența purtătoare ω și două frecvențe simetrice, decalate cu ω_M – frecvența de sincronizare. Puterea semnalului este maximă la un grad de modulație $m = 1$. Un neajuns al acestui tip de modulație constă în aceea că, o parte importantă a energiei este conținută în frecvența purtătoare ω , care nu conține informația utilă.

Semnalul variabil $\Phi_M(\omega)$, sub forma unui flux de radiație în receptorul de radiație se convertește în curent sau tensiune electrică. În cazul dependenței liniare între flux și curent coeficienții descompunerii în serie Fourier își păstrează valoarea pentru amplitudinile armonicilor semnalului. Puterea semnalului se obține prin ridicare la pătrat al coeficienților seriei Fourier. Cel mai răspândit tip de modulație întâlnită în sistemele optoelectronice în infraroșu este modulația în impuls. Prin acest tip de modulație se asigură o succesiune de impulsuri (fig.6.8) ale fluxului incident, cu o formă ce depinde de relațiile geometrice existente între secțiunea fasciculului de raze infraroșii și forma elementului transparent al modulatorului. Frecvența de repetiție a acestor impulsuri reprezintă frecvența purtătoare. Dacă succesiunea de impulsuri îndeplinește condiția $T_r \leq 2t_i$, modulația se consideră cu suficientă precizie ca fiind o modulație în amplitudine descrisă de ecuația (6.1), cu $I_p = \Phi_0/2$ și $\chi(t)$ semnalul modulator. Se obține

$$\Phi_M(t) = \frac{1}{2} \Phi_0 [1 + m \cdot \chi(t)] \cos \omega t.$$

Spre deosebire de sistemele radiotehnice, puterea medie a semnalului modulat este mai mică decât puterea semnalului dinaintea de modulație, deoarece procesul de modulație optică se reduce la micșorarea fluxului de radiație conform

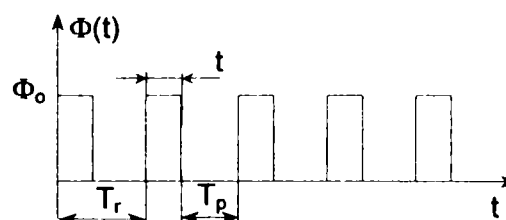


Fig.6.8

T_p – durata pauzei; T_r – perioada de repetiție;
 t_i – durata impulsului; f_r – frecvența de repetiție;
 $\gamma = t_i/T_r$ – coeficient de umplere.

funcției modulatorie. Raportul dintre puterea medie a radiației modulate și puterea radiației înainte de modulație reprezintă *randamentul modulației*, notat cu litera k

$$k = \frac{1}{T_r} \int_0^{T_r} \Phi_M(t) dt \cdot \Phi_o$$

Pentru o succesiune de impulsuri (fig.6.8) cu $\gamma = t_i/T_p$ și amplitudinea Φ_o , se obține

$$\Phi(t) = \gamma\Phi_o + 2\Phi_o \sum_{n=1}^{\infty} \frac{\sin \pi n \gamma}{\pi n} \cos n\omega_o t.$$

Pentru $\gamma = 0,5$ și $n = 1$ descompunerea se reduce la $\Phi(t) = \frac{\Phi_o}{2} + \frac{2}{\pi} \Phi_o \cos \omega t$.

În acest caz valoarea medie a mărimii modulate $\Phi(t)$ este $\Phi_{med} = \Phi_o/2$, iar randamentul modulației primei armonici din dezvoltare este $k_1 = \Phi_{med}/\Phi_o = 1/2$.

În funcție de procedeul utilizat la detectia semnalului electric obținut, din puterea aplicată la intrarea receptorului de radiație ($\Phi_{med} = k_1\Phi_o$), la ieșirea din blocul de detectie apare numai o parte din această putere, notată cu k_2 . Coeficientul k_2 reprezintă valoarea medie pătratică a tensiunii sau curentului la ieșirea din blocul detector. Produsul $k_M = k_1k_2$ reprezintă un coeficient ce caracterizează puterea pierdută în procesul de modulație – demodulație, sau exprimă fracțiunea de putere utilă folosită de aparat, raportată la puterea de la intrare modulatorului.

Cerințele impuse modulatorilor utilizați în sistemele optoelectronice sunt:

- transmisie optimă a radiației infraroșii în domeniul spectral de lucru al aparatului;
- pierderi mici de putere radiantă (flux energetic) în procesul de modulație – demodulație;
- consum redus de energie electrică, construcție simplă și fiabilă.

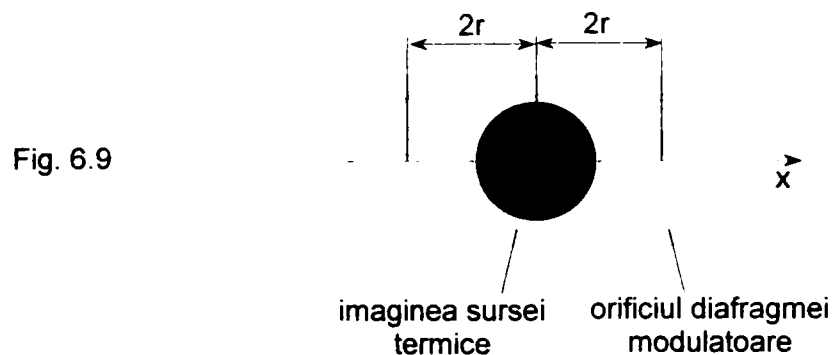
Foarte răspândit este procedeul de modulație mecanică, bazată pe întreruperea periodică a fluxului radiant incident cu ajutorul diafragmei sau a rasterului modulator. La utilizarea acestor diafragme modulatorie se pot obține frecvențe de modulație de ordinul a sute de kHz, în condițiile în care motorul electric de antrenare asigură un turaj mare și sistemul optic formează fascicule optice cu secțiune foarte mică în planul imaginii.

După cum s-a mai menționat modulația radiației optice necoerente reprezintă modulația fluxului energetic sau a intensității energetice a radiației optice incidente, iar semnalul modulat este întotdeauna un semnal optic pozitiv. Din aceste motive puterea componentei variabile a fluxului modulat nu poate depăși jumătate din puterea fluxului incident. O altă particularitate a sistemelor de modulație a radiației necoerente o reprezintă faptul că modulatorul mecanic asigură simultan modulația fluxului incident, filtrarea spațială și scanarea imaginii.

6.2.2 Modulația în amplitudine a fluxului energetic

Modulația în amplitudine a fluxului energetic incident la pupila de intrare a unui sistem optic, se poate realiza cel mai simplu cu ajutorul *diafragmei modulatorie* dispusă în planul focal al sistemului optic. Pe suprafața diafragmei modulatorie sunt dispuse în mod echidistant o succesiune de elemente transparente și opace. Imaginea sursei de radiație îndepărtată este proiectată de către sistemul optic pe suprafața diafragmei modulatorie și, la rotirea acesteia, radiația se întrerupe periodic cu o frecvență egală cu produsul dintre numărul de elemente modulatorie și frecvența de rotație a diafragmei. La deplasarea imaginii sursei în raport cu diafragma modulatorie, sau la deplasarea diafragmei în raport cu imaginea sursei de radiație, fluxul energetic transmis spre receptorul de radiație își modifică mărimea funcție de suprafața comună a imaginii sursei și a elementului transparent al diafragmei modulatorie.

O caracteristică importantă a diafragmei modulatorie este curba modulatorie. Aceasta permite determinarea formei impulsurilor rezultate în urma modulației fluxului energetic incident și a spectrului impulsului, care indică cum este repartizată puterea pe armonicile componente. Forma curbei de modulație depinde de dimensiunile imaginii sursei de radiație proiectată pe diafragma și de configurația geometrică a elementelor transparente ale acesteia. Pentru simplificarea calculelor se presupune că distribuția iluminării energetice în imaginea sursei termice (fig. 6.9) este uniformă și că această imagine are forma unui cerc de rază r .



Dacă imaginea sursei termice corespunde unei radiații cvasicromatice, obținută în urma filtrării spectrale a radiației incidente, atunci iluminarea energetică în cercul de difracție se exprimă cu relația

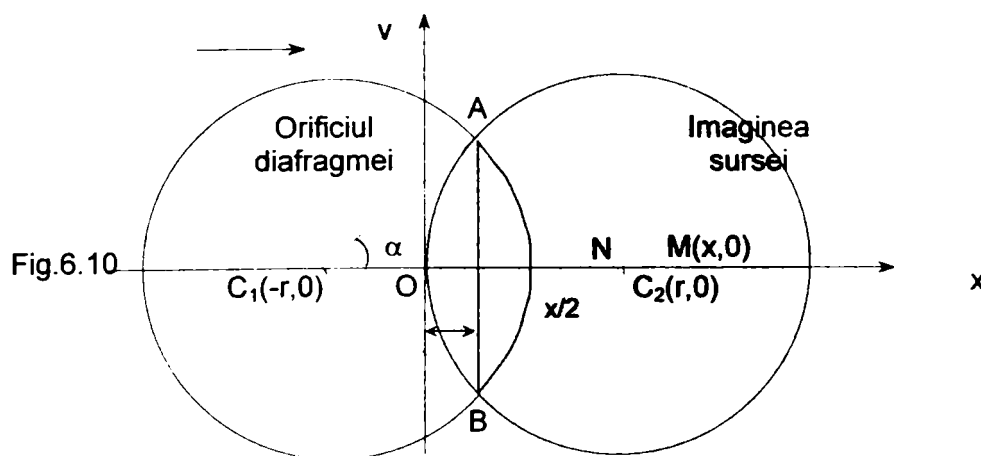
$$E(z) = E_0 \left[\frac{2J_1(z)}{z} \right],$$

unde E_0 este iluminarea în centrul cercului de difracție; $J_1(z)$ - funcția Bessel de ord.1 pentru argumentul $z = \rho\pi \frac{D}{\lambda f}$, cu ρ - distanța de la centrul cercului de difracție la punctul analizat; λ -

lungimea de unda a radiației monocromatice corespunzătoare mijlocului intervalului de lungimi de unda cvasimonocromatic analizat; D și f – diametrul, respectiv distanța focală a sistemului optic. Raza r a cercului de difracție (imaginea sursei termice) este $r = 1,22\lambda \frac{f}{D}$ și corespunde argumentului $z = 3,82$. De asemenea, se considera ca orificiul diafragmei modulatorie are forma circulară de rază r . Caracteristica de modulație a diafragmei modulatorie este definită de relația: $f(x) = \sigma(x) / \sigma_{\max}$, unde $\sigma(x)$ este mărimea ariei suprafeței care se vede din spatele diafragmei modulatorie sau aria suprafeței comune a celor două cercuri, iar $\sigma_{\max} = \pi r^2$, valoarea maximă a ariei suprafeței pe care o are elementul transparent (cercul de rază r). Suprafața $\sigma(x)$ este egală cu suma suprafețelor celor două segmente de cerc $AMBN$ și $AONB$ (fig. 6.10). Suprafața unui segment de cerc este determinată de diferența dintre suprafața sectorului de cerc S_{AMBC_2} și suprafața triunghiului S_{ANBC_2} . După efectuarea calculelor rezultă suprafața comună a celor două cercuri

$$\sigma(x) = 2 \left[r^2 \arccos \frac{2r-x}{2r} - r \left(\frac{2r-x}{2r} \right) \sqrt{1 - \left(\frac{2r-x}{2r} \right)^2} \right]$$

Caracteristica de modulație a diafragmei modulatorie de tip cu orificiu circular, pentru cazurile când fluxul energetic care trece spre receptor crește de la $\Phi = 0$ la $\Phi = \Phi_{\max}$ și invers când acesta scade de la Φ_{\max} la 0, este



$$f(x) = \begin{cases} \frac{2}{\pi} \left[\arccos \frac{2r-x}{2r} - \frac{2r-x}{2r} \sqrt{1 - \left(\frac{2r-x}{2r} \right)^2} \right], & \text{pentru } 0 \leq x \leq 2r; \\ \frac{2}{\pi} \left[\arccos \frac{x-2r}{2r} - \frac{x-2r}{2r} \sqrt{1 - \left(\frac{x-2r}{2r} \right)^2} \right], & \text{pentru } 2r \leq x \leq 4r. \end{cases} \quad (6.8)$$

Se noteaza $y = \frac{r - \frac{x}{2}}{r}$, cu $0 < x < 2r$ sau $0 < y < 1$ si

rezulta suprafata relativa comuna a celor doua cercuri este

$$\sigma(y) = \frac{S_C(y)}{S_{max}} = \frac{2}{\pi} [\arccos y - y\sqrt{1 - y^2}]. \quad (6.9)$$

Repetand calculele pentru cazul $2r < x < 4r$ si notand

$$y = \frac{\frac{x}{2} - r}{r}$$

se obtine pentru $\sigma(y)$ o formula identica cu

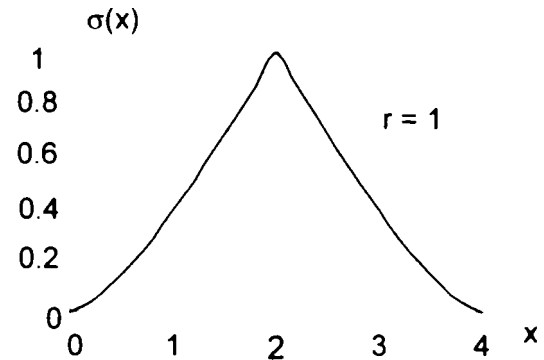


Fig. 6.11

formula (6.9). In fig. 6.11 este reprezentata caracteristica de modulație a fluxului energetic incident, construita pe baza formulei (6.8) cu datele calculate si trecute in tabelul nr. 6.1

Tabel nr. 6.1

x	0	0,2	0,4	0,6	0,8	1	1,2
$\sigma(y)$	0	0,03738	0,10408	0,18812	0,28475	0,39100	0,50463
x	1,4	1,6	1,8	2	2,2	2,4	2,6
$\sigma(y)$	0,62383	0,74706	0,87288	1	0,87288	0,74706	0,62383
x	2,8	3	3,2	3,4	3,6	3,8	4
$\sigma(y)$	0,50463	0,39100	0,28475	0,18812	0,10408	0,03738	0

Daca difragma se deplaseaza cu viteza v in sensul axei x , atunci coordonata x devine $x = vt$ si $r = v\tau$, cu τ - timpul in care se parcurge distanta r . In acest caz, variatia in timp a fluxului incident are o reprezentare asemanatoare cu cea din (fig. 6.11) daca se inlocuieste x cu t . Se aproximeaza variatia fluxului incident prin diafragma cu o variatie liniara, de forma triunghiulara, dispusa simetric in raport cu axa $\sigma(x)$, cu urmatoarea expresie analitica

$$\Phi(t) = \begin{cases} \left(1 + \frac{t}{\tau}\right) \Phi_o & \text{pentru } -\tau \leq t < 0; \\ \Phi_o & \text{pentru } t = 0; \\ \left(1 - \frac{t}{\tau}\right) \Phi_o & \text{pentru } 0 < t \leq \tau. \end{cases}$$

Spectrul de frecventa al functiei $\Phi(t)$ se calculeaza cu integrala Fourier

$$\Phi(\omega) = \int_{-\infty}^{+\infty} \Phi(t) e^{-j\omega t} dt = \int_{-\tau}^0 \left(1 + \frac{t}{\tau}\right) \Phi_o e^{-j\omega t} dt + \int_0^{\tau} \left(1 - \frac{t}{\tau}\right) \Phi_o e^{j\omega t} dt = \Phi_o \tau \frac{\sin^2 \frac{\omega\tau}{2}}{\left(\frac{\omega\tau}{2}\right)^2}. \quad (6.10)$$

Functia $\Phi(\omega)$ se anuleaza pentru $\omega = m \frac{2\pi}{\tau}$, cu $m = \pm 1, \pm 2, \pm 3, \dots$. Pentru $m = 0$, se

obține $\Phi(0) = \lim_{\omega \rightarrow 0} \Phi(\omega) = \Phi_o \tau$.

Functiei $\Phi(\omega)$, rezinta maxime in punctele in

care functia $\left(\frac{\sin \omega \frac{\tau}{2}}{\omega \frac{\tau}{2}} \right)_{\max}$ ia valori maxime. Se

noteaza $\omega \frac{\tau}{2} = z$ si se calculeaza

$$\frac{\partial}{\partial x} \left(\frac{\sin z}{z} \right) = \frac{z \cos z - \sin z}{z^2} = 0, \text{ sau } z = \text{tg } z.$$

Radacinile acestei ecuatii pot fi approximate cu valorile $z = \pm(2n+1) \frac{\pi}{2}$. (fig. 6.12)

Se obtine $\omega_{\max} \cong (2n+1) \frac{\pi}{\tau}$, cu $n = 1, 2, 3, \dots$

In fig. 6.13 este reprezentat spectrul de frecventa al functiei $\Phi(t)$. Se observa ca $\Phi(\omega)$ se anuleaza in punctele $\omega = \pm \frac{2\pi}{\tau}, \pm \frac{4\pi}{\tau}, \dots$. De asemenea, $\Phi(\omega)$ ia valori maxime pentru $\omega = \pm \frac{3\pi}{\tau}, \pm \frac{5\pi}{\tau}, \dots$ care inlocuite in relatia (6.10), rezulta:

$$\Phi(0) = \Phi_o \tau; \quad \Phi\left(3 \frac{\pi}{2}\right) = \Phi_o \tau \frac{\sin^2(3\pi/2)}{(3\pi/2)^2} = 0,045 \Phi_o \tau \text{ si } \Phi\left(5 \frac{\pi}{2}\right) = 0,0162 \Phi_o \tau.$$

Din fig. 6.13 se observa ca amplitudinea armonicilor din spectrul de frecventa al impulsului scade sub 4,5% din $\Phi(0)$ - amplitudinea componentei armonice pentru $\omega = 0$, incepand cu frecventa $\frac{\omega\tau}{2} \geq 3 \frac{\pi}{2}$ sau $\omega = \frac{3\pi}{\tau}$. Rezulta si frecventa de taiere $f_t = \frac{3}{2\tau}$ cu $\tau = \frac{r}{v}$.

In concluzie, preamplificatorul impulsurilor generate de receptorul de radiatie trebuie sa aiba frecventa de taiere $f_t \geq 3v/2\tau$. Daca aceasta conditie nu este indeplinita, impulsul la amplificare va fi distorsionat. Desigur forma impulsului nu intereseaza in procesul de urmarire, insa prin distorsionare amplitudinea impulsului poate scadea nepermis de mult.

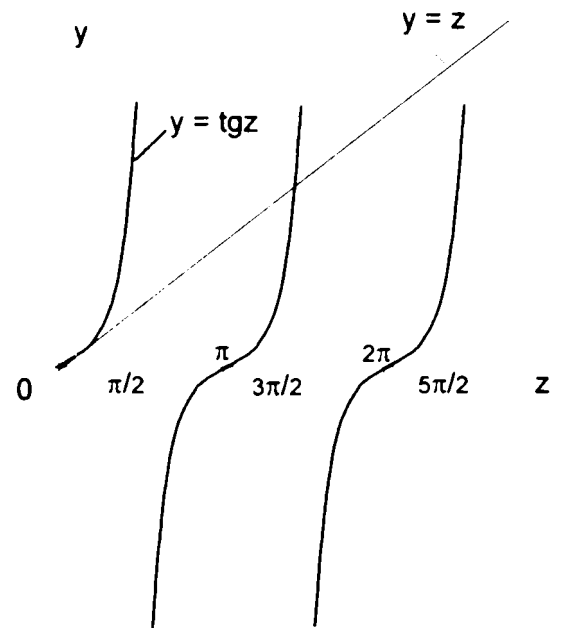


Fig.6.12

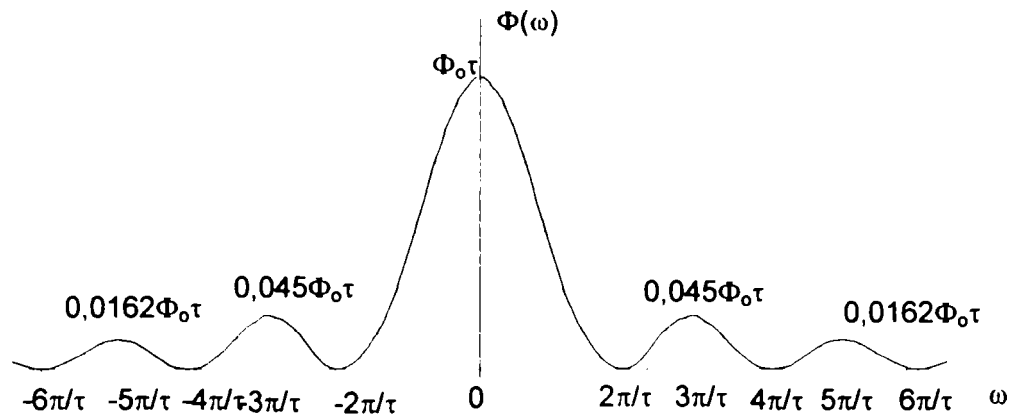


Fig.6.13

Din caracteristica de modulație reprezentată în fig.6.11 se observă că, dacă $x = v \cdot t$, cu $v = \text{const.}$ (viteza de deplasare a rasterului modulator în raport cu imaginea sursei), atunci semnalul modulat reprezintă o succesiune de impulsuri cu perioada de repetiție $4 \cdot r = v \cdot T_R$ sau $T_R = 4r/v$.

Pentru a asigura o adaptare optimă între receptorul de radiație și canalul electronic este necesar ca banda de trecere a acestuia să fie cel puțin egală cu dublul frecvenței maxime de tăiere.

6.2.3 Determinarea grafică a armonicilor curbei de modulație

Determinarea frecvenței de tăiere a succesiunii de impulsuri rezultate în procesul de modulație optică și convertite de receptorul de radiație în semnal electric variabil în timp, presupune descompunerea în armonici a caracteristicii de modulație (fig. 6.11) care, datorită formei complexe a curbei de modulație conduce la calcule matematice greoaie sau chiar imposibile de efectuat. Această problemă se rezolvă utilizând metode grafice.

O metodă grafică simplă și rapidă este metoda propusă de Krug – Roth. Această metodă constă în următoarele (fig.6.14):

- se împarte segmentul de dreaptă de pe axa absciselor, corespunzător unei perioade, într-un număr de n părți egale (fig.6.14 a);
- se trasează prin punctele obținute ordonatele y_1, y_2, \dots, Y_n ;
- pentru a obține amplitudinea și decalajul primei armonici (A_{m1}, φ_1), se trasează un cerc cu rază egală cu amplitudinea curbei periodice. Se împarte cercul în n părți și se construiesc cele n raze, corespunzătoare punctelor de diviziune (fig. 6.14 b). Pe razele cercului se dispun vectori cu

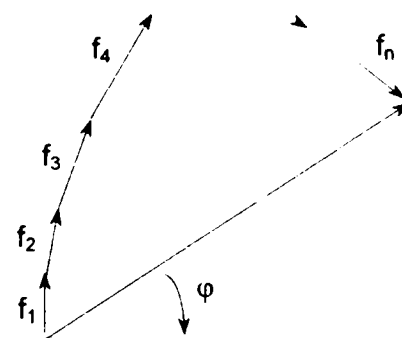


Fig. 6.14

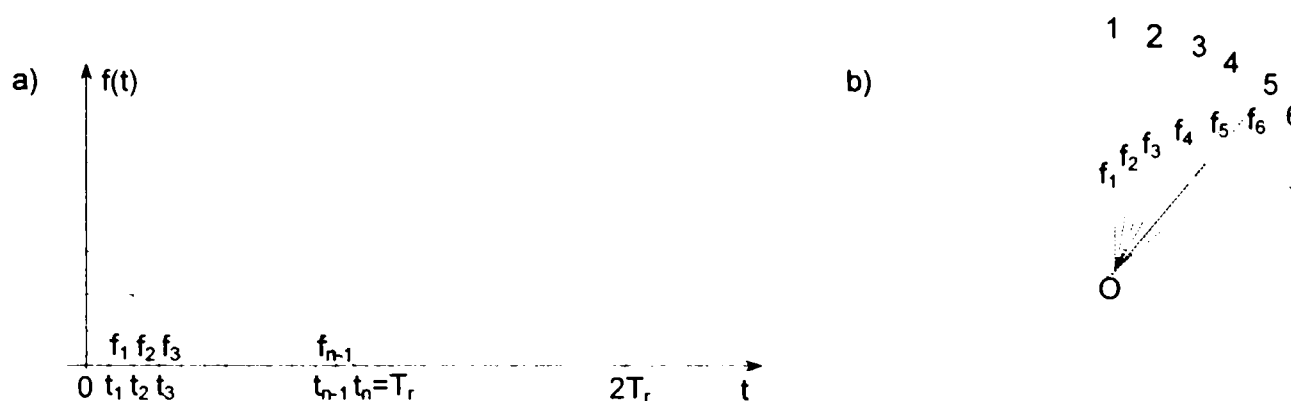


Fig. 6.15

originea in centrul cercului si cu lungimea egala cu ordonata corespunzatoare numarului de ordine al razei;

– vectorii astfel construiti sunt insumati geometric (fig.6.15). Lungimea vectorului rezultat se imparte la $n/2$ si se obtine amplitudinea A_{m1} a armonicii fundamentale. Faza φ_1 a acestei armonici este data de unghiul pe care vectorul rezultat A_{m1} il formeaza fata de o directie perpendiculara pe raza $O1$. Faza φ_1 reprezinta decalajul dintre armonica fundamentala si curba periodica. Daca $\varphi_1 > 0$, armonica fundamentala A_{m1} este decalata in avans (se produce mai repede) fata de curba periodica;

– pentru determinarea armonicii a doua, adica componenta $A_{m2}\sin(2\omega_0 t + \varphi_2)$, se foloseste aceeaasi constructie, numai ca vectorii egali in marime cu ordonatele curbei periodice sunt asezati pe raze ale caror numere de ordine sunt de doua ori mai mari decat acelea ale ordonatelor respective. Vectorul rezultat al insumarii geometrice ale celor n componente impartit prin $n/2$ determina marimea si faza armonicii a doua.

In aceeași maniera se determina și celelalte componente armonice. Banda de frecvență ocupată de semnalul periodic considerat, se obține considerând că se pot neglija componentele spectrale ale căror amplitudine sunt mai mici decât o amplitudine impusă δA_{m1} , cu $\delta < 1$ (fig.6.16). Largimea de bandă ocupată de primele “i” componente este $B = i\omega_0$. Literatura de specialitate prezintă o multime de dispozitive modulatorie cu elemente transparente de formă triunghiulară, dreptunghiulară, rombică, etc. De asemenea forma geometrică a imaginii poate fi un cerc, un pătrat, ori un dreptunghi. În toate cazurile, caracteristica de modulație reprezintă o relație matematică care definește suprafața

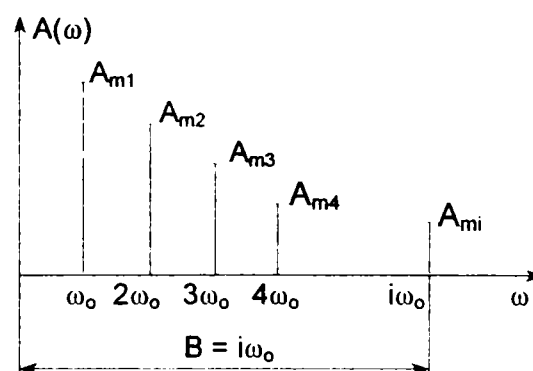


Fig.6.16

comuna existentă, în fiecare moment, între elementul transparent și pată luminoasă a imaginii. Mai trebuie menționat că, determinarea caracteristicii de modulație a discului modulator permite calculul benzii de frecvență ocupată de semnalul periodic modulat, mărime necesară la determinarea parametrilor canalului electronic.

Dacă caracteristica de modulație are forma rectangulară sau trapezoidală (dimensiunea sursei de radiație este mult mai mică în comparație cu lățimea orificiului modulator), iar banda de trecere a amplificatorului conectat la ieșirea receptorului de radiație este îngustă, valoarea curentului amplificat scade foarte mult, deoarece amplificatorul selectează prima și cel mult a doua armonică. Din acest punct de vedere, forma cea mai potrivită a curbei de modulație este cea sinusoidală. Ea se poate obține în cazul în care imaginea sursei de radiație execută o mișcare circulară pe suprafața unei diafragme modulatoare, confecționată dintr-un material opac al cărui coeficient de transmisie are o variație liniară după direcția unui diametru A-A.

6.2.4 Modulația de amplitudine cu discuri sectoriale

Frecvent, la determinarea coordonatelor unghiulare ale surselor termoradiante din teren se utilizează modulația optică a câmpului de radiație necoerent observat în planul imagine, cu un sistem optic. Prin modulația optică realizată sunt modificate unele caracteristici ale unui fascicul de raze optice în conformitate cu un semnal care conține informația dorită. Transpunerea informației pe o purtătoare optică se realizează cu ajutorul unui dispozitivului modulator. Există o mare varietate de dispozitive optice modulatoare, dar funcționarea lor se reduce la schema clasică de modulație cu diafragmă (mască) cu transmisie variabilă. Un fascicul optic necoerent ce se propagă după direcția z , perpendiculară pe planul (x,y) al diafragmei produce la suprafața de ieșire a acesteia o distribuție bidimensională de intensitate energetică

$$I_e(x,y) = A(x,y)t(x,y), \quad (6.11)$$

unde $A(x,y)$ este distribuția intensității câmpului de radiație aplicat la intrarea diafragmei și $t(x,y)$ – coeficientul de transmisie sau funcția de transmisie a diafragmei în parametrii căreia este codificată informația de transmis.

Întrucât purtătoarea este un fascicul optic necoerent, operația de modulație se reduce la înmulțirea în fiecare punct (x,y) a deschiderii diafragmei, a două funcții: $A(x,y)$ produsă de sursa de radiație și $t(x,y)$ – transmisia diafragmei rezultând la ieșire un semnal optic modulat spațial în amplitudine. Pentru determinarea coordonatelor unghiulare ale sursei în raport cu axa optică a sistemului, semnalul optic modulat spațial în amplitudine trebuie "citit" cu ajutorul unui receptor de tip matrice cu sensibilitate după axele x și y .

Aceleași informații pot fi obținute și dacă se folosește numai un singur receptor de radiație, cu condiția ca în purtătoarea optică să se codifice două mărimi: - distanța ρ a imaginii sursei față de axa optică și unghiul de fază ϕ format de imagine cu o axă de referință. În acest caz, modulatorul optic trebuie să creeze o nouă purtătoare optică (subpurtătoare), dependentă de timp, în parametrii căreia se codifică mărimile ρ și ϕ prin procedee de modulație combinată.

Subpurtătoarea optica de joasă frecvență se poate obține foarte simplu cu ajutorul discului modulator rotativ. Acesta are dispuse echidistant pe suprafața sa o succesiune de zone transparente și opace, cu funcția de transmisie

$$t(x, y) = \begin{cases} 1, & \text{zona transparenta,} \\ 0, & \text{zona opaca,} \end{cases}$$

Imaginea sursei de radiație este proiectată obiectiv pe suprafața discului și prin rotirea acestuia în raport cu imaginea punctiformă, cu viteza unghiulară ω , se realizează o întrerupere periodică a fasciculului de radiație cu frecvența $f_\theta = N\omega/2\pi$, unde N reprezintă numărul de elemente transparente (sau opace). La ieșirea discului

modulator, pentru $A(x, y) = \Phi_0$ (fluxul energetic captat de la sursă) și se obține o succesiune de impulsuri cu amplitudinea Φ_0 , traslate pe axa timpului și cu perioada de repetiție $\theta = 2\pi/N\omega$. Această succesiune nemodulată formează subpurtătoarea, exprimabilă printr-o serie Fourier. Impulsurile de formă dreptunghiulară obținute cu un disc cu elemente transparente de tip sectorial (fig 6.17 a), cu o reprezentare analitică de forma

$$\Phi(t) = \begin{cases} \Phi_0, & 0 \leq t \leq \theta/2; \\ 0, & \theta/2 < t < \theta, \end{cases}$$

admite o dezvoltare în serie Fourier

$$\Phi(t) = \frac{\Phi_0}{2} + \frac{2\Phi_0}{\pi} \sum_{k=0}^{\infty} \frac{\sin[(2k+1)N\omega t]}{2k+1} \tag{6.12}$$

Se observă că spectrul de putere al subpurtătoarei conține o componentă continuă și o infinitate de componente sinusoidale cu frecvențe impare: $2\pi/\theta$; $3(2\pi/\theta)$; $5(2\pi/\theta)$;...și cu amplitudini descrescătoare: $0,5\Phi_0$; $0,63\Phi_0$; $0,23\Phi_0$; $0,12\Phi_0$;....

Din relația (6.11) mai rezultă că, forma impulsului optic obținut pentru surse îndepărtate depinde de configurația geometrică a elementului transparent, deci discului modulator are și rolul

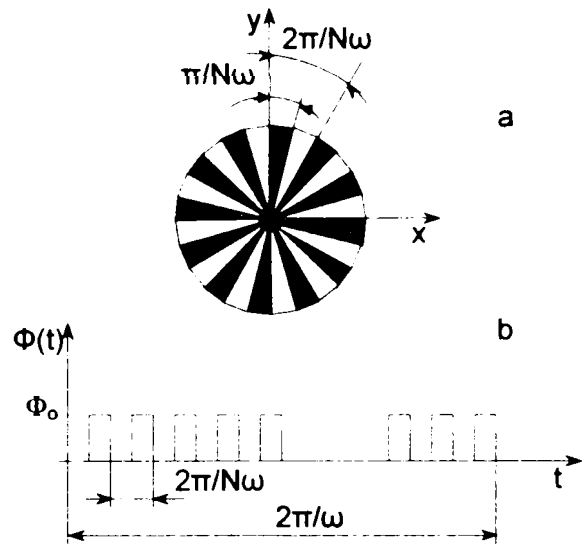


Fig.6.17 a. – disc modulator; b. – funcția de transmisie.

de filtru optic. Astfel, pentru surse care formează imagini cu dimensiuni geometrice comparabile cu dimensiunile elementului transparent discul prezintă o transmisie maximă față de radiația provenită de la acestea. În schimb, radiația provenită de la surse cu dimensiuni mari este puternic atenuată.

6.2.5 Modulația combinată amplitudine - fază.

Codificarea distanței ρ a imaginii sursei față de axa optică a sistemului și a unghiului de fază φ în parametrii subpurtătoarei (fig.6.18) se realizează cu un disc modulator tip pană cu transmisie variabilă. Coeficientul de transmisie al materialului optic se modifică liniar în lungul diametrului AB, de la valoarea maximă τ_{max} în punctul A, la valoarea minimă τ_{min} în punctul B. Pentru alte puncte ale discului dispuse pe drepte perpendiculare pe diametrul AB, coeficientul de transmisie este egal cu valoarea acestuia corespunzător punctului de pe diametrul AB.

Coeficientul de transmisie al unui punct oarecare de pe diametrul AB, aflat la distanța y față de origine este

$$\tau(y) = \tau_o + \frac{\Delta\tau}{2R} y,$$

unde $\tau_o = (\tau_{max} + \tau_{min})/2$ reprezintă transmisia medie a discului (transmisia discului în centru) și $\Delta\tau = (\tau_{max} - \tau_{min})/2$ – variația transmisiei pentru o rotație completă a discului.

Dacă imaginea sursei se formează pe suprafața discului în punctul de coordonate polare (ρ, φ) , pentru un disc aflat în mișcare de rotație cu viteza unghiulară ω rezultă o transmisie variabilă

$$\tau(\rho, \varphi) = \tau_o + \frac{\Delta\tau}{2R} \rho \sin(\omega t + \varphi),$$

sau

$$\tau(\rho, \varphi) = \tau_o [1 + m \sin(\omega t + \varphi)], \quad (6.13)$$

unde $m = \frac{\Delta\tau \rho}{2R}$ reprezintă gradul de modulație în

amplitudine al discului modulator. Semnificația fizică a mărimii m se obține din fig.6.19:

$$m = \frac{\tau_M - \tau_m}{\tau_M + \tau_m}, \text{ unde } \tau_M \text{ și } \tau_m \text{ reprezintă transmisia maximă, respectiv minimă a discului}$$

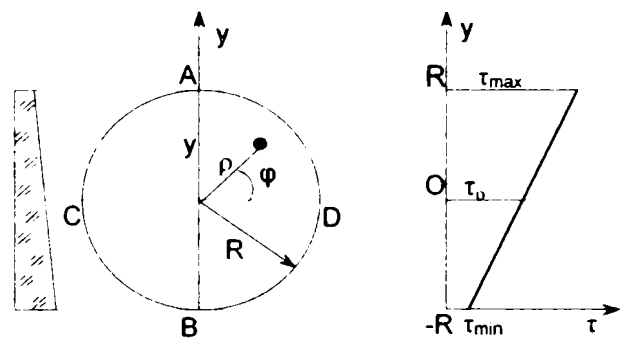


Fig.6.18.

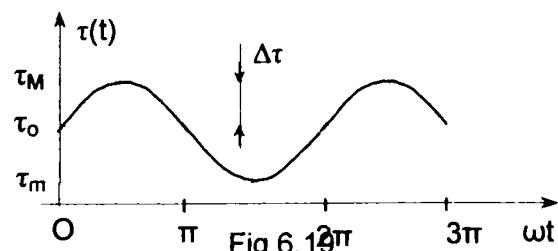


Fig.6.19.

modulator, în punctul unde s-a format imaginea sursei. Considerînd că discul tip pană analizat are dispuse pe o suprafață a sa zone transparente și opace care formează impulsuri optice dreptunghiulare, din relația (6.12) rezultă semnalul optic modulat

$$\Phi_e(t) = \frac{\Phi_o \tau_o}{2} [1 + m \sin(\omega t + \varphi)] \left\{ 1 + \frac{4}{\pi} \sum_{k=0}^{\infty} \frac{\sin[(2k+1)N\omega t]}{2k+1} \right\} \quad (6.14)$$

Se observă că spectrul semnalului modulat conține o componentă continuă $\frac{\Phi_o \tau_o}{2}$, o componentă $\frac{\Phi_o \tau_o m}{2} \sin(\omega t + \varphi)$ ce reproduce oscilația modulatorie, precum și o infinitate de componente armonice dispuse simetric față de frecvențele $N\omega$; $3N\omega$; $5N\omega$,... (fig.6.20).

Dacă se trece semnalul obținut după detecție printr-un circuit electric de filtrare, care lasă să treacă numai armonicile de frecvență egală sau mai mică decît $N\omega$, se obține la ieșirea filtrului o oscilație modulată de forma

$$\Phi_e(t) = \frac{\Phi_o \tau_o}{2} [1 + m \sin(\omega t + \varphi)] \sin N\omega t \quad (6.21)$$

ce reprezintă un semnal modulată în amplitudine, cu gradul de modulație m și simultan, o modulație în fază cu indicele de modulație 1. Spectrul semnalului modulată în amplitudine conține o componentă continuă $\frac{\Phi_o \tau_o}{2}$ centrată pe frecvența $N\omega$ și două benzi laterale, cu amplitudinea $m \frac{\Phi_o \tau_o}{2}$ dispuse simetric față de frecvența $N\omega$ în punctele $(N-1)\omega$ și $(N+1)\omega$.

Banda de trecere a semnalului este $\Delta\omega = 2\omega$, adică dublă față de viteza unghiulară de rotație a discului modulator.

6.2.6 Determinarea coordonatelor unghiulare ale sursei termice

Decodificarea informației purtate de semnalul modulată optic se realizează cu ajutorul circuitelor electronice, după ce semnalul optic a fost convertit în semnal electric. Conversia semnalului optic (6.13) în semnal electric se produce în receptorul de radiație – cel mai important element al sistemului,

deoarece performanțele sale determină performanțele sistemului în ansamblu. Principala caracteristică a receptorului de radiație este caracteristica fotoelectrică sau de sensibilitate și

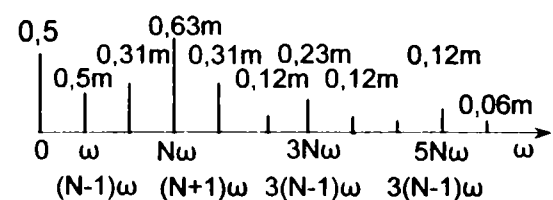


Fig.6.20

exprimă dependența curentului fotoelectric de fluxul energetic incident $i_f = f(\Phi_e)$. Pentru fluxuri incidente de valoare mică caracteristica este liniară și curentul fonic obținut are același spectru ca și fluxul energetic incident Φ_e . După detecția liniară a semnalului optic, componentele continuă și de înaltă frecvență sunt filtrate astfel că, la ieșirea filtrului se obține anvelopa semnalului (6.21) cu amplitudinea proporțională cu gradul de modulație $u_\rho = Km = K \frac{\Delta\tau}{2R} \rho$, adică proporțională cu abaterea sursei de la axa optică a sistemului.

Unghiului de fază φ din semnalul modulat (6.21) reprezintă unghiul pe care imaginea sursei îl formează cu axa de referință a sistemului. Pentru obținerea lui este necesar ca tensiunea obținută la ieșirea filtrului electric să fie aplicată la intrarea unui redresor sensibil la fază. La ieșirea acestuia se obține o tensiune proporțională cu unghiul φ . Obținerea tensiunii $k\varphi$ este condiționată de existența unei tensiuni de referință, care realizează sincronismul între procesul de modulație (întreruperea periodică a fluxului incident cu ajutorul discului modulator) și procesul de demodulație (obținerea unghiului de fază φ).

Tensiunea de referință se obține prin mai multe metode, din care se amintesc:

- cuplarea directă a rotorului unui microgenerator de curent alternativ cu discul

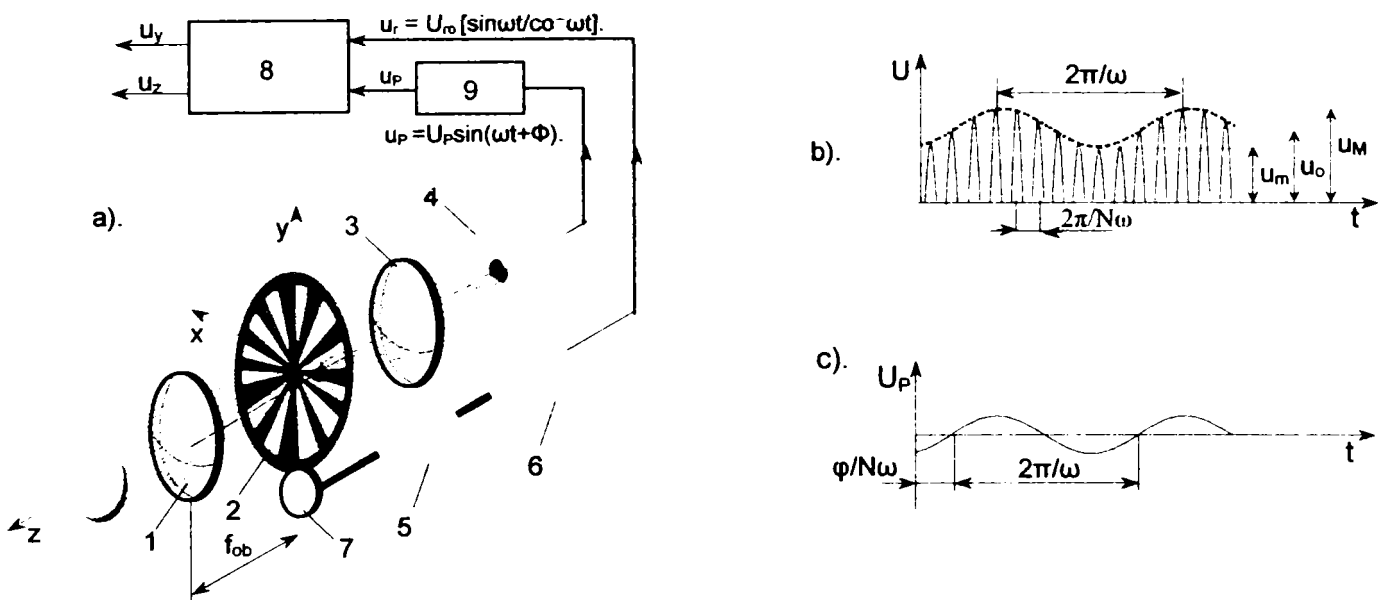


Fig. 6.21.

1 – obiectiv; 2 – disc modulator; 3 – colector; 4 – detector de radiație; 5 – motor electric; 6 – generator tensiune referință; 7 – reductor; 8 – redresor sensibil la fază; 9 – amplificator.

modulator, rotit sincron (fig.6.21a). La bornele generatorului se obține o tensiune $u = U\sin\omega t$, cu pulsație egală cu viteza unghiulară de rotație a discului. Trecerea prin zero și creșterea tensiunii generatorului coincide cu trecerea prin “referință” a discului modulator;

fixarea pe periferia discului modulator a unui magnet permanent. La trecerea prin "zero" a discului modulator, magnetul permanent induce o t.e.m. într-o bobină fixată pe axa de referință. La bornele acesteia apare un impuls de durată foarte mică care declanșază procesul de formare a unei tensiunii sinusoidale cu pulsația ω (condiția de sincronism). Prin compararea în redresorul sensibil de fază a celor două tensiuni, la ieșirea acestuia se obține o tensiune proporțională cu defazajul dintre cele două tensiuni $u_e = k\varphi$.

După cum se observă, filtrul electric permite trecerea spre redresorul sensibil la fază numai a primei armonici din spectrul semnalului optic (fig.21b) obținut în urma procesului de modulație. Din aceste motive, analiza spectrală a semnalelor optice reprezintă o etapă foarte importantă în calculul sistemelor optoelectronice de determinare a coordonatelor unghiulare a surselor termice.

Folosirea discului modulator la modulația cîmpului de radiație din planul imagine conduce la pierderi de cel puțin 50% din fluxul radiant incident. Dar, prin această pierdere de flux se asigură o reducere cu cel puțin de două ori a nivelului de zgomote (radiații parazite) provenite de la sursele cu dimensiuni mari. În aceste condiții nivelul raportului semnal/zgomot crește cu toate că este folosită numai 50% din fluxul incident.

Întrucît secțiunea fluxului întrerupt are o formă circulară (cercului de difracție) pentru surse îndepărtate, impulsurile formate nu pot fi descrise printr-o funcție sinusoidală sau dreptunghiulară. O asemenea funcție trebuie studiată atent și determinat spectrul de putere al ei în vederea asigurării transferului maxim de putere de la receptor la preamplificator.

O altă caracteristică importantă a sistemelor de localizare este banda de trecere. Întrucît tensiunea semnalului obținut este aproape dreptunghiulară, importante părți din puterea semnalului sunt conținute în armonicile superioare. În aceste condiții alegerea benzii de trecere trebuie să aibă în vedere spectrul zgomotului de fond și al receptorului. Zgomotul receptorului poate fi diminuat foarte mult prin modulație, întrucît acestea se reduc la funcționarea receptorului în regim de comutație. De asemenea, zgomotul de fond este puternic atenuat prin folosirea discului modulator cu sectoare.

6.3 Detectia și localizarea surselor termoradiante

6.3.1 Contrastul termic absolut și relativ

Scopul descoperirii în infraroșu este de a pune în evidență prezența unei surse termoradiante caracterizată printr-o strălucire energetică, un anumit spectru de emisie sau un contrast termic diferit de valoarea medie a strălucirii sau a contrastului radiației de fond.

Localizarea surse termice presupune determinarea poziției sursei, în raport cu un sistem de referință ales convenabil, în câmpul optic al sistemului optoelectronic.

La analiza sistemelor optoelectronice de detecție în infraroșu prezintă interes două cazuri întâlnite în practică:

- există o radiație de fond cu o strălucire redusă (sau cu temperatura mică), peste care se suprapune radiația unei surse cu strălucirea sau temperatura mare, dar se află la o distanță foarte mare față de sistemul de detecție. În acest caz, mărimea unghiulară a sursei, văzută dinspre detector, este foarte mică, deci poate fi considerată o sursă punctiformă. Cazul prezentat poate fi un avion care zboară la o înălțime mare, pe un cer senin. Sensibilitatea sistemului în infraroșu se exprimă prin cantitatea minimă de energie radiantă care trece prin pupila de intrare a sistemului optic. Cantitatea de energie radiantă minimă detectabilă depinde de zgomotul intern al detectorului. În acest caz, prin proiectare trebuie realizat un sistem optic care să lucreze într-un domeniu spectral unde radiația sursei este maximă. În această etapă de proiectare nu se ține cont de radiația fondului;

- un alt caz frecvent întâlnit este acela în care se dorește detectarea unei surse termice care prezintă un contrast termic foarte mic în raport cu fondul. Acest caz apare la observarea obiectelor termice din teren, când acestea sunt învecinate cu alte obiecte cu temperaturi foarte apropiate. În acest caz, sensibilitatea sistemului în infraroșu nu se măsoară prin cea mai mică cantitate de energie radiantă pusă în evidență, ci se măsoară prin cel mai mic contrast termic pus în evidență și existent între obiectul observat și obiectele învecinate.

La descoperirea surselor termice aflate în teren o importanță deosebită o are alegerea domeniului spectral optim de recepție, astfel încât să se pună în evidență un contrast termic cât mai mic.

Dacă se admite că radiația emisă de sursa termică aflată la temperatura T corespunde radiației unui corp negru, atunci strălucirea radiației emise este

$$B_{\lambda}^{CN} = C_1 \lambda^{-5} \left[e^{\frac{C_2}{\lambda T}} - 1 \right]^{-1}. \quad (6.22)$$

Fie ΔB_{λ} diferența de strălucire monocromatică existentă între cele două obiecte cu temperaturile T și $T + \Delta T$, egal cu

$$\Delta B_{\lambda} = \frac{dB_{\lambda}^{CN}}{dT} \Delta T, \quad (6.23)$$

sau după ce se înlocuiește (6.22) în relația (6.23), rezulta

$$\Delta B_{\lambda} = \frac{C_1 C_2}{\lambda^6 T^6} \frac{e^{C_2/\lambda T}}{(e^{C_2/\lambda T} - 1)^2} \Delta T. \quad (6.24)$$

Se derivează ΔB_{λ} în raport cu λ și se determină valoarea lungimii de undă λ'_m pentru care contrastul ΔB_{λ} este maxim $\lambda'_m = \frac{C_2}{\sigma T} = \frac{2400}{T}$. Pentru $T = 300\text{K}$, se obține $\lambda'_m = 8\mu\text{m}$.

Se mai poate defini și un contrast relativ $\Delta B_{\lambda}/B_{\lambda}$. Cu un calcul asemănător cu cel prezentat se obține lungimea de undă λ''_m pentru care $\Delta B_{\lambda}/B_{\lambda}$ are valoare maximă. Pentru $T = 300\text{K}$ se obține $\lambda''_m = 1,8\mu\text{m}$. Domeniul spectral optim pentru recepție se alege între λ'_m și λ''_m . Pentru $T = 300\text{K}$, se obține $\lambda_{\text{op}} = (\lambda'_m \dots \lambda''_m)/2 = 4 \dots 5\mu\text{m}$.

Cel mai mic contrast de temperatură care poate fi pus în evidență de aparatele moderne este de ordinul $1/50 \dots 1/100$ °C.

6.3.2 Distanța maximă de descoperire a sursei termoradiante

Un parametru important al sistemului SCOD este și *distanța maximă* de descoperire a surselor termice. Acest parametru permite evaluarea atât a performanțelor sistemului, cât și efectuarea comparației cu alte sisteme asemănătoare. Cunoașterea distanței maxime de acțiune la care poate fi descoperit un obiect termic, sau la care pot fi măsurate unele caracteristici termice ale acestuia, reprezintă un obiectiv esențial în etapa de proiectare a sistemului SCOD.

Distanța maximă de acțiune a sistemului SCOD depinde de caracteristicile geometrice și radiante (energetice și spectrale) ale obiectului termic căutat, de caracteristicile mediului în care se produce transmisia neștirată a radiației infraroșii, de radiația parazită a fondului radiant și de sensibilitatea de prag a receptorului de radiație.

La determinarea distanței maxime de acțiune apar două cazuri:

- descoperirea obiectului termic pe un fond neradiant, când sensibilitatea de prag a sistemului este limitată numai de zgomotul intern al receptorului de radiație;
- descoperirea obiectului termic pe un fond radiant, când sensibilitatea de prag a sistemului este limitată numai de zgomotul extern al fondului radiant, sau combinat, de zgomotul fondului radiant și al receptorului de radiație.

Descoperirea sursei termice se poate face fie pe baza radiației termice emise de aceasta, fie pe baza radiației emise de surse artificiale și reflectată de suprafața sursei termice. Întrucât distanța la care se realizează descoperirea este determinată de dimensiunile geometrice ale sursei, acestea se împart în:

- punctiforme, când dimensiunile sursei nu sunt “rezolvate” de ansamblul optic;

- de dimensiuni reduse, cand numai dimensiunile sursei intereseaza, detaliile acesteia fiind ne semnificative;
- de suprafata extinsa, cand sunt importante detaliile suprafetei sursei.

Schema de principiu a sistemului optoelectronic utilizat la descoperirea surselor punctiforme este prezentata in fig. 6.20. Imaginea sursei termice indepartate se formeaza in planul focal al obiectivului 1 si reprezinta o figura de difractie (cercului de difractie). Aproape de planului focal este dispus receptorul de radiatie 2, care transforma radiatia termica incidenta Φ_i in semnal electric V_s . Functionarea sistemului este asigurata daca este indeplinita conditia $V_s \geq mV_{zg}$, adica atunci cand semnalul util V_s obtinut la iesirea receptorului este de m ori mai mare decat zgomotul intern si extern al receptorului V_{zg} . In fig. 6.20 aceasta conditie se reprezinta intuitiv cu ajutorul releului cu prag, care face diferenta $V_s - mV_{zg}$ si actioneaza cand $\Delta V = V_s - mV_{zg} > 0$.

Punctul de plecare in calculul distantei maxime de detectie in infrarosu este reprezentat de evaluarea energiei radiante minime pe care o emite sursa termica si poate fi detectata de sistemul SCOD. Pentru a realiza aceasta evaluare se au in vedere doua cazuri: a) – sursa termica are dimensiuni reduse; b) – sursa termica este punctiforma.

a) se considera sursa termica de dimensiuni reduse ca fiind un corp gri, cu temperatura T_s si cu un factor de emisie $\epsilon_\lambda = f(\lambda)$ cunoscut si independent de T . In acest caz, expresia stralucirii spectrale B_λ a radiatiei emise, este

$$B_\lambda d\lambda = \frac{R_\lambda^{CN}}{\pi} \epsilon_\lambda d\lambda,$$

unde R_λ^{CN} este radianta spectrala a corpului negru aflat la temperatura T_s . Curba $R_\lambda^{CN} = f(\lambda)$ reprezinta o anvelopa in interiorul careia se afla functia $R_\lambda = f(\lambda)$, deoarece $\epsilon_\lambda < 1$. In cazurile in care sursa termica nu are aceeasi temperatura T_s pe suprafata sa, se poate determina o

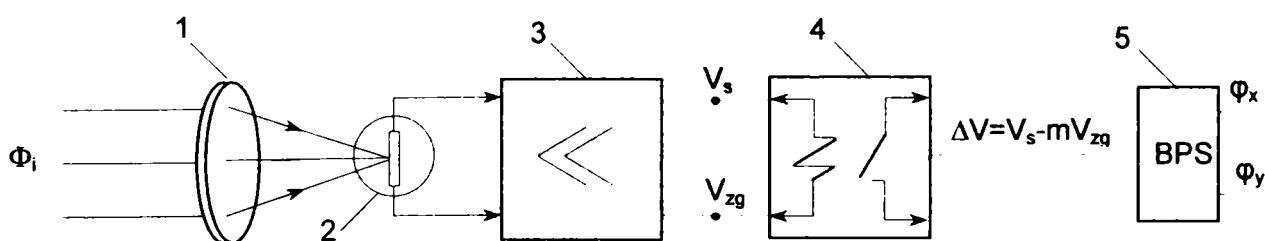


Fig. 6.20 1- obiectiv; 2 – receptor de radiatie;
3 – preamplificator; 4 – amplificator de putere
cu caracteristica tip releu; 5 – bloc prelucrare
semnale

temperatura medie T_{sm} a sursei (deci si o stralucire $B_{\lambda m}$) si se pot ridica caracteristicile de emisie

pentru diferite temperaturi T_{sm} și lungimii de unda λ . De asemenea, se poate stabili o *suprafata echivalenta* Σ a sursei care asigura o emisie identica cu sursa data.

Daca radiatia emisa de suprafata Σ se propaga prin atmosfera pe o distanta d , ea sufera o atenuare, caracterizata prin factorul de absorbtie al atmosferei $\tau_\lambda(d)$.

Iluminarea energetica produsa de sursa termica in planul focal al sistemului optic, unde este dispus și receptorul de radiatie, este

$$E_\lambda = \frac{R_\lambda^{CN} \varepsilon_\lambda \tau_\lambda(d) \Sigma}{\pi d^2}.$$

Daca Σ' este aria suprafetei sensibile a receptorului de radiatie, sau suprafata redusa a pupilei de intrare și neglijand pierderile de flux prin absorbtie și reflexie in componentele optice, se poate calcula energia radianta captata prin pupila de intrare a sistemului optic și transmisa la receptor, adica $\Phi_\lambda = E_\lambda \Sigma'$, cu Φ_λ fluxul energetic spectral incident la suprafata receptorului.

Semnalul electric obtinut de la receptorul de radiatie este

$$V_{S\lambda} = S_\lambda \Phi_\lambda = S_\lambda E_\lambda \Sigma',$$

unde S_λ este sensibilitatea spectrala a receptorului de radiatie.

Integrand dupa toate lungimile de unda λ se obtine semnalul integral

$$V_S = \int_0^\infty V_{S\lambda} d\lambda = \frac{\Sigma \Sigma'}{\pi d^2} \int_0^\infty S_\lambda R_\lambda^{CN} \varepsilon_\lambda \tau_\lambda(d) d\lambda.$$

Raportul semnal/zgomot este

$$\frac{V_S}{V_n^2} = \frac{\Sigma \Sigma'}{\pi d^2} \int_0^\infty \frac{S_\lambda}{V_n^2} \varepsilon_\lambda \tau_\lambda R_\lambda^{CN} d\lambda, \quad (6.25)$$

unde V_n^2 este tensiunea medie patratica produsa de stralucirea radiatiei de fond B_f , considerata constanta (zgomotul alb).

Se noteaza

$$\frac{S_\lambda}{V_n^2} = D_\lambda = \frac{D_\lambda^*}{\sqrt{A \Delta f}},$$

cu D_λ – capacitatea spectrala de descoperire a receptorului de radiatie și D_λ^* – capacitatea specifica spectrala, parametrii care depind de tipul receptorului folosit, de temperatura de racire a acestuia etc..

Inlocuind in relatia (6.25), se obtine

$$\frac{V_S}{V_n^2} = \frac{\Sigma \Sigma'}{\pi d^2 \sqrt{A \Delta f}} \int_0^\infty R_\lambda^{CN} D_\lambda^* \varepsilon_\lambda \tau_\lambda d\lambda.$$

Cunoscând raportul semnal util/zgomot se poate determina distanța d_{\max} la care poate fi detectată și descoperită sursa termoradiantă. Trebuie avut în vedere că acest calcul este valabil pentru cazul în care τ_λ este independent de mărimea d (distanța sursă – receptor).

Dacă sursa este un corp negru, se poate scrie

$$\int R_\lambda^{\text{CN}} D_\lambda^* d\lambda = D^* R^{\text{CN}},$$

unde R^{CN} este radianta totală a corpului negru exprimată prin $R^{\text{CN}} = \sigma T^4$.

b) Întrucât în cazul sursei punctiforme dimensiunile unghiulare sunt mult mai mici decât unghiul de câmp al sistemului optic, se poate scrie

$$E_\lambda = \frac{I_\lambda \tau_\lambda(d)}{d^2},$$

cu I_λ - intensitatea energetică spectrală a radiației emise de sursă; E_λ - iluminarea energetică spectrală a pupilei de intrare a sistemului optic; $\tau_\lambda(d)$ - transmisia spectrală a mediului (atmosfera) prin care se propagă neșchidat radiația și d - distanța sursă termoradiantă - receptor de radiație.

Fluxul energetic spectral incident la suprafața sensibilă a receptorului de radiație este

$$\Phi_\lambda = E_\lambda A_o \tau_{o\lambda},$$

unde A_o este aria suprafeței pupilei de intrare a sistemului optic; $\tau_{o\lambda}$ - transmisia optică spectrală a sistemului optic (sunt incluse filtrele spectrale, lentilele și prismele obiectivului, precum și diafragma modulatorie).

Mărimea semnalului la ieșirea receptorului de radiație este $V_S = \Phi_\lambda S_\lambda$, cu S_λ - sensibilitatea spectrală a receptorului.

Ecuatiile obținute sunt valabile numai în domeniul spectral $\lambda_1 - \lambda_2$, interval în care lucrează receptorul de radiație. Tensiunea la ieșirea acestuia este

$$V_S = \frac{A_o}{d^2} \int_{\lambda_1}^{\lambda_2} I_\lambda \tau_\lambda(d) \tau_{o\lambda} R_\lambda d\lambda,$$

sau funcție de raportul semnal util/zgomot

$$\frac{V_S}{V_n^2} = \frac{A_o}{V_n^2 d^2} \int_{\lambda_1}^{\lambda_2} I_\lambda \tau_\lambda(d) \tau_{o\lambda} R_\lambda d\lambda. \quad (6.26)$$

Integrala (6.26) nu poate fi calculată direct, deoarece $\tau_\lambda(d)$ este funcție atât de λ cât și de distanța d . Pentru a putea efectua integrala se fac următoarele ipoteze simplificatoare:

- transmisia spectrală a atmosferei în domeniul spectral $\lambda_1 - \lambda_2$ este constantă și egală cu τ_a (o valoare medie în intervalul analizat, iar în rest $\tau_a = 0$);

- produsul $I_\lambda d\lambda$ se aproximeaza cu o intensitate medie I_{med} in domeniul spectral $\lambda_1 - \lambda_2$. Aceasta aproximatie se face simplu daca se considera obiectul termoradiant un corp negru sau un corp cenusiu cu $\varepsilon = const.$ pentru orice λ .

- sensibilitatea spectrala a receptorului de radiatie S_λ , care este o functie de λ , se aproximeaza cu o valoare medie S_{med} in intervalul spectral $\lambda_1 - \lambda_2$,

Aproximatiile facute vor conduce la rezultate cu erori minime, daca marimile analizate nu se modifica rapid in domeniul spectral, $\lambda_1 - \lambda_2$.

In acest caz, relatia (6.26) devine

$$\frac{V_S}{V_n^2} = \frac{A_o}{V_n d^2} I_m \tau_a \tau_o R_m,$$

cu distanta maxima de descoperire $d_{max} = \sqrt{\frac{A_o I_m \tau_a \tau_o R_m}{V_n (V_S / V_n^2)}}$.

Daca campul de vedere al sistemului optic este $\omega[str]$ si distanta focala f , atunci suprafata sensibila a receptorului de radiatie trebuie sa fie: $A_d = \omega f^2$. De obicei, sistemul optic este caracterizat de numarul de apertura, $NA = D_o/2f$, unde D_o – diametrul pupilei de intrare.

6.3.3 Ecuatia distantei de descoperire

Ecuatia distantei se scrie pe baza urmatoarelor ipoteze simplificatoare:

- sursa termoradianta se afla la o distanta mare fata de sistemul optic, deci imaginea acesteia se va forma in planul focal anterior unde este dispus si receptorul de radiatie;
- suprafata radianta a sursei se comporta ca un corp cenusiu, emitand o radiatie care respecta legea lui Lambert.

In acest caz, fractiunea fluxul energetic spectral emis de sursa termica, de suprafata radianta A_S si de temperatura absoluta T , in intervalul spectral $(\lambda, \lambda + d\lambda)$ si care strabate pupila de intrare a sistemului optic de arie A_o , este

$$d\Phi_\lambda = I_{\alpha,\lambda} \omega d\lambda = \varepsilon \frac{r_\lambda}{\pi} A_S \cos \alpha \frac{A_o}{D^2} d\lambda, \quad (6.27)$$

unde $I_{\alpha,\lambda}$ este intensitatea energetica a radiatiei, $\omega = \frac{A_o}{D^2} \cos \alpha$ - unghiul solid sub care se propaga fasciculul de raze de la sursa spre pupila de intrare a sistemului optic; α - unghiul de incidenta al fasciculului de raze la suprafata A_o ; D – distanta sursa – receptor; ε_λ si r_λ -

coeficientul de emisie spectrală, respectiv radianta energetică spectrală a suprafeței sursei termoradiante.

Fluxul energetic utilizat de receptorul de radiație este

$$\Phi_{\lambda_1-\lambda_2} = \xi \cdot \Phi_s,$$

unde Φ_s este fluxul energetic emis de sursă în intervalul spectral $\lambda = 0 \dots \infty$, $\Phi_{\lambda_1-\lambda_2}$ - fluxul energetic spectral corespunzător intervalului de lungimi de undă $\lambda_1 - \lambda_2$, unde este definită caracteristica spectrală a receptorului de radiație și ξ - coeficientul de utilizare a fluxului energetic Φ_s de către receptor (indica fracțiunea din Φ_s transformată de receptor în semnal electric).

Dacă $d\Phi_s$ este flux emis de sursă în intervalul spectral $(\lambda, \lambda + d\lambda)$ și Φ_{λ_s} - densitatea spectrală a acestui flux, se poate scrie

$$\Phi_s = \int_0^{\infty} \Phi_{\lambda_s} d\lambda. \quad (6.28)$$

Intrucât suprafața radiantă este considerată un corp cenusiu, fluxul Φ_s va avea o anumită distribuție spectrală funcție de T , cu un singur maxim $\Phi_{s_{\max}}$, corespunzător lungimii de undă $\lambda_{\max} = 2889/T$ (legea lui Wien).

Raportul $\varphi_{\lambda} = \frac{\Phi_{\lambda_s}}{\Phi_{\lambda_{\max}}}$ reprezintă *distribuția spectrală relativă* a sursei, adică fluxul energetic emis de sursă și exprimat în unități relative.

În mod asemănător, se definește *sensibilitatea spectrală relativă* a receptorului de radiație $s_{\lambda} = \frac{S_{\lambda}}{S_{\lambda_{\max}}}$, unde $S_{\lambda} = \frac{dU}{d\Phi_s} = \frac{dU}{\Phi_{\lambda_s} d\lambda}$ este *sensibilitatea spectrală* a receptorului.

Pe baza relațiilor de mai sus se calculează tensiunea V_S la bornele receptorului de radiație

$$V_S = S_{\lambda_{\max}} \Phi_e = S_{\lambda_{\max}} \Phi_{\lambda_{\max}} \int_{\lambda_1}^{\lambda_2} s_{\lambda} \varphi_{\lambda} d\lambda. \quad (6.29)$$

Fluxul energetic emis de sursă termică în intervalul spectral $\lambda_1 - \lambda_2$ (domeniul spectral în care lucrează receptorul de radiație) este

$$\Phi_{\lambda_1-\lambda_2} = \frac{\varepsilon A_S A_o \cos \alpha}{\pi D^2} \int_{\lambda_1}^{\lambda_2} r_{\lambda} d\lambda. \quad (6.30)$$

Integrala $R_{\lambda_1-\lambda_2} = \int_{\lambda_1}^{\lambda_2} r_{\lambda} d\lambda$ reprezintă radianta energetică corespunzătoare intervalului spectral $\lambda_1 - \lambda_2$ și se poate scrie sub forma unei diferențe de radianțe energetice

$$R_{\lambda_1-\lambda_2} = \int_{\lambda_1}^{\lambda_2} r_{\lambda} d\lambda = \int_0^{\lambda_2} r_{\lambda} d\lambda - \int_0^{\lambda_1} r_{\lambda} d\lambda = R_{0-\lambda_2} - R_{0-\lambda_1}. \quad (6.31)$$

Se introduc coordonatele relative $x_\lambda = \lambda/\lambda_{\max}$ și $y_\lambda = r_\lambda / r_{\lambda_{\max}}$, cu $\lambda_{\max} = 2886/T$ (legea lui Wien) și se formează raportul

$$z(x_\lambda) = \frac{\int_0^{x_\lambda} y_\lambda dx_\lambda}{\int_0^1 y_\lambda dx_\lambda} = \frac{\int_0^{x_\lambda} y_\lambda dx_\lambda}{\sigma T^4}, \quad (6.32)$$

Marimea $z(x_\lambda)$ este o funcție de $x_\lambda = \lambda/\lambda_{\max}$ cu valori tabelate [34,53]. Din relațiile (6.31) și (6.32) se obține radianta energetică a sursei în intervalul spectral $\lambda_1 - \lambda_2$

$$R_{\lambda_1-\lambda_2} = \sigma T^4 [z(x_{\lambda_2}) - z(x_{\lambda_1})]. \quad (6.33)$$

Dacă se are în vedere transmisia nehidată a radiației termice de către atmosferă, mărimea fluxului energetic incident la suprafața pupilei de intrare, în intervalul spectral $\lambda_1 - \lambda_2$ (domeniul spectral în care lucrează receptorul de radiație) este

$$\Phi_{r,\lambda_1-\lambda_2} = \frac{\varepsilon \cdot A_S A_o \cos \alpha}{\pi D^2} \int_{\lambda_1}^{\lambda_2} r_\lambda \tau_\lambda d\lambda, \quad (6.34)$$

unde τ_λ este transmisia spectrală a atmosferei față de radiația infraroșie care se propaga nehidat pe direcția sursă termică – receptor de radiație.

La propagarea prin sistemul optic, radiația cuprinsă în pupila de intrare este supusă fenomenelor de reflexie și absorbție în elementele optice, astfel ca la suprafața receptorului ajunge numai fracțiunea de flux $\Phi_r = \tau_o \Phi_{\lambda_1-\lambda_2}$, unde τ_o este coeficientul de transmisie al sistemului optic.

Semnalul util V_S , care se obține la ieșirea receptorului de radiație, este

$$V_S = S \Phi_r = \tau_o S \Phi_{\lambda_1-\lambda_2}, \quad (6.35)$$

unde S este sensibilitatea integrală a receptorului. Pentru calculul mării S se pleacă de la relația (6.29). Se obține

$$S = S_{\lambda_{\max}} \frac{\int_{\lambda_1}^{\lambda_2} \tau_\lambda s_\lambda r_\lambda d\lambda}{\int_{\lambda_1}^{\lambda_2} r_\lambda d\lambda},$$

unde s_λ este sensibilitatea spectrală relativă a receptorului și τ_λ - transmisia spectrală a atmosferei. Înlocuind valoarea obținută pentru S în (6.28), rezultă

$$V_S = \tau_o \Phi_{\lambda_1 - \lambda_2} \frac{\int_{\lambda_1}^{\lambda_2} \tau_{\lambda} s_{\lambda} r_{\lambda} d\lambda}{\int_{\lambda_1}^{\lambda_2} r_{\lambda} d\lambda},$$

sau exprimand pe $\Phi_{\lambda_1 - \lambda_2}$ cu relatiile (6.30), (6.32) si (6.33), se obtine

$$V_S = \frac{(\varepsilon \sigma T^4 A_s)(\tau_o A_o \cos \alpha)}{\pi D^2} S_{\lambda \max} [z(x_{\lambda_2}) - z(x_{\lambda_1})] \frac{\int_{\lambda_1}^{\lambda_2} \tau_{\lambda} s_{\lambda} r_{\lambda} d\lambda}{\int_{\lambda_1}^{\lambda_2} r_{\lambda} d\lambda}.$$

Conditia ca sursa termoradianta sa fie descoperita este ca fluxul incident pe suprafata receptorului Φ_R sa fie de m ori mai mare decat sensibilitatea de prag Φ_{prag} , sau

$$\Phi_r \geq m \Phi_{\text{prag}} = m \sqrt{a_r \Delta f_{\text{zg}}} \chi \Phi_{\text{prag}}^*, \quad (6.36)$$

unde a_r este aria suprafetei receptorului, Δf_{zg} – banda de trecere a amplificatorului de semnal, Φ_{prag}^* [WcmHz^{-1/2}] - *sensibilitatea specifica de prag* a receptorului, χ - coeficientul de corectie a caracteristicii spectrale a receptorului, obtinuta in conditii de laborator, folosind o sursa de tipul corpului negru, aflata la temperatura absoluta T si m raportul semnal util/zgomot, care se exprima cu raportul V_S / V_{zg}^2 .

Inlocuind V_S si $V_{\text{zg}} = \sqrt{a_r \Delta f} \cdot \Phi_{\text{prag}}^*$ in expresia (6.36) rezulta distanta de descoperire a sistemului optoelectronic

$$D^2 = \frac{(\varepsilon \sigma T^4 A_s)(\tau_o A_o \cos \alpha)}{m \pi \sqrt{a_r \Delta f} \Phi_{\text{prag}}^* \chi} [z(x_{\lambda_2}) - z(x_{\lambda_1})] K, \quad (6.37)$$

unde K este fractiunea din radiatia emisa de sursa pe care receptorul o transforma in semnal electric, exprimata cu

$$K = \frac{\int_{\lambda_1}^{\lambda_2} \left(\frac{r_{\lambda}}{r_{\lambda \max}} \right) s_{\lambda} \tau_{a\lambda} d\lambda}{\int_{\lambda_1}^{\lambda_2} \left(\frac{r_{\lambda}}{r_{\lambda \max}} \right) d\lambda} = \frac{\int_{\lambda_1}^{\lambda_2} y_{\lambda} s_{\lambda} \tau_{a\lambda} d\lambda}{\int_{\lambda_1}^{\lambda_2} y_{\lambda} d\lambda}$$

și χ - coeficientul de utilizare sau randamentul spectral al receptorului de radiație, în intervalul spectral $\lambda_1 - \lambda_2$, la temperatura reală de lucru

$$\chi = \frac{\int_{\lambda_1}^{\lambda_2} r_{\lambda} s_{\lambda} d\lambda}{\int_{\lambda_1}^{\lambda_2} r_{\lambda} d\lambda}.$$

Trebuie menționat că, în condiții de laborator caracteristica spectrală a receptorului de radiație se obține cu ajutorul radiației emise de un corp negru aflat la o anumită temperatură. În condiții reale de lucru fluxul energetic primit de receptorul de radiație diferă mult de fluxul energetic folosit la calibrarea acestuia. În acest caz, caracteristica spectrală a receptorului se corectează după noile condiții de lucru ale receptorului.

6.4 Rezolvarea ecuației distanței de descoperire

6.4.1 Considerații generale

Din analiza ecuației (6.37) rezultă că pentru calculul distanței D trebuie cunoscute date concrete despre sursa termică, mediul în care se propaga radiația și receptorul de radiație. Rezolvarea ecuației distanței se face pe următorul caz:

a) Parametrii sursa termoradiantă: - coeficientul de emisie $\varepsilon = 0,9$; - temperatura sursei $T = 800\text{K}$; - suprafața radiantă $A_S = 1\text{m}^2$;

b) transmisia mediului, exprimată prin coeficientul $K(D)$, se calculează pentru următoarele distanțe $D = 1\text{Km}, 5\text{Km}, 10\text{Km}, 20\text{Km}$ și 50Km ;

c) parametrii sistemul optic și receptorul de radiație:

- coeficientul de transmisie al sistemului optic $\tau_o = 0,8$;
- aria suprafeței pupilei de intrare $A_o = 200\text{cm}^2$;
- unghiul α format de axa optică a sistemului optic și direcția spre sursa termică, $\alpha \approx 20^\circ$;
- aria suprafeței sensibile a fotorezistentei SbIn , $a_r = 5\text{mm}^2$, cu caracteristica spectrală prezentată în fig. sau în tabelul nr.
- raportul semnal/zgomot $m = 5$;
- fluxul energetic specific de prag al receptorului $\Phi_{\text{prag}}^* = 5 \cdot 10^{-9} \text{W} \cdot \text{cm}^{-1} \cdot \text{Hz}^{-1/2}$;
- banda de trecere a amplificatorului $\Delta f = 1000\text{Hz}$.

Pe baza datelor prezentate mai sus, ecuația distanței se rezolvă prin metoda grafică. În acest scop, pe același grafic și la aceeași scară, se reprezintă curbele:

$$\varphi_1(D) = (\varepsilon\sigma T^4 A_S)(\tau_o A_o \cos\alpha)[z(x_{\lambda_2}) - z(x_{\lambda_1})]K(D) \tag{6.38}$$

și
$$\varphi_2(D) = \pi m \sqrt{a_r \Delta f} \Phi_{\text{prag}}^* \chi D^2. \tag{6.39}$$

Punctul (abscisa) de intersecție a celor două curbe este soluția căutăată D_{max} . Pentru determinarea ecuațiilor (6.38) și (6.39) se parcurg etapele prezentate în continuare.

6.4.2 Caracteristica de radiație a sursei termoradiante, $f(\lambda) = r_\lambda/r_{\lambda_{\text{max}}}$.

Pentru a exprima în unități relative caracteristica de radiație a sursei termoradiante, se utilizează coordonatele relative $x_\lambda = \lambda/\lambda_{\text{max}}$ și $y_\lambda = r_\lambda/r_{\lambda_{\text{max}}}$, la temperatura sursei $T = 527^\circ\text{C} + 273^\circ\text{C} = 800\text{K}$. Lungimea de undă λ_{max} , corespunzătoare maximului de radiație emis de sursă se calculează cu formula lui Wien, pentru $T = 800\text{K}$

$$\lambda_{\text{max}} = \frac{2898}{T} = \frac{2898}{800} = 3,62\mu\text{m},$$

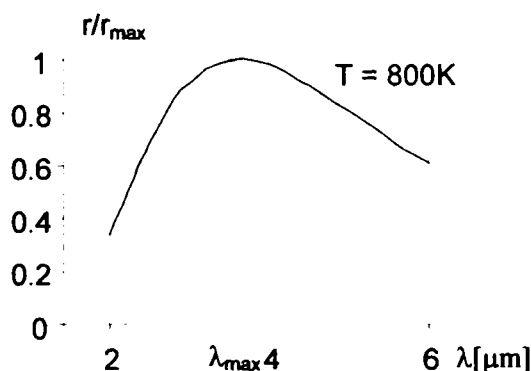
Valorile coordonatelor relative $x_\lambda = \lambda/\lambda_{\text{max}}$ și $y_\lambda = r_\lambda/r_{\lambda_{\text{max}}}$, calculate în intervalul spectral $\lambda = 2 \dots 6\mu\text{m}$, cu mărimea pasului $\Delta\lambda = 0,2\mu\text{m}$, sunt trecute în tabelul nr.6.2.

În fig. 6.21 este reprezentată grafic funcția $y_\lambda = r_\lambda/r_{\lambda_{\text{max}}}$ funcție de λ , pentru $T = 800\text{K}$.

Tabelul nr. 6.2

λ [μm]	x_λ ($\lambda/\lambda_{\text{max}}$)	y_λ ($r_\lambda/r_{\lambda_{\text{max}}}$)	λ [μm]	x_λ ($\lambda/\lambda_{\text{max}}$)	y_λ ($r_\lambda/r_{\lambda_{\text{max}}}$)	λ [μm]	x_λ ($\lambda/\lambda_{\text{max}}$)	y_λ ($r_\lambda/r_{\lambda_{\text{max}}}$)
2	0.55	0.3396	3.4	0.94	0.9906	4.8	1.33	0.8380
2.2	0.61	0.5518	3.6	1	1	5	1.38	0.8006
2.4	0.66	0.6264	3.8	1.05	0.9944	5.2	1.43	0.7628
2.6	0.72	0.7450	4	1.10	0.9791	5.4	1.49	0.7177
2.8	0.74	0.8529	4.2	1.16	0.9509	5.6	1.55	0.6737
3	0.83	0.9141	4.4	1.22	0.9151	5.8	1.60	0.6382
3.2	0.88	0.9595	4.6	1.27	0.8814	6	1.66	0.6039

Fig.6.21



6.4.3 Sensibilitatea spectrală a receptorului de radiație, în unități relative $s_\lambda = s'_\lambda/s_{\lambda_{max}}$

Caracteristica spectrală s_λ a receptorului de radiație (în cazul analizat receptorul de radiație este o fotorezistență InSb), în unități relative, reprezintă relația $s_\lambda = s'_\lambda/s_{\lambda_{max}}$ funcție de coordonata λ , cu s'_λ sensibilitatea spectrală absolută. Aceasta caracteristică se obține în condiții de laborator, folosindu-se radiația emisă de un corp negru, aflat la o anumită temperatură.

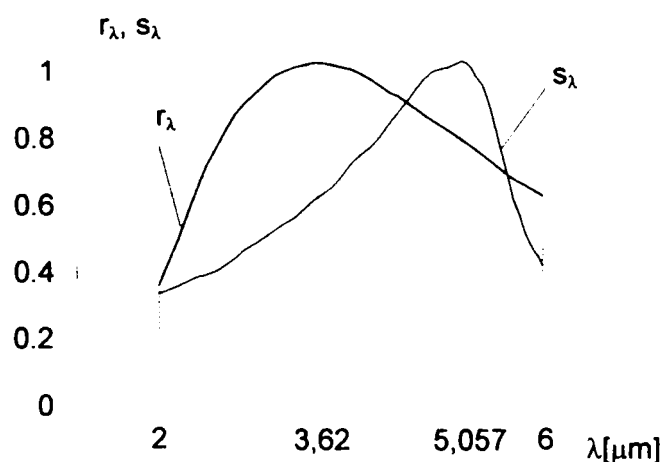
În alte condiții de lucru, caracteristica spectrală a receptorului se corectează cu un factor - coeficientul de utilizare al receptorului de radiație. În tabelul nr.6.3 sunt trecute valorile caracteristicii s_λ , obținută în condiții de laborator, la temperatura corpului negru de 573K, în domeniul spectral $\lambda = 2 \dots 6 \mu\text{m}$.

În fig. 6.22 sunt prezentate caracteristica spectrală de radiație a sursei termoradiante, aflată la temperatura $T_s = 800\text{K}$ și caracteristica spectrală a receptorului de radiație, etalonat la temperatura $T_r = 573\text{K}$.

Tabelul nr. 6.3

λ [μm]	s_λ [$s'_\lambda/s_{\lambda_{max}}$]	λ [μm]	s_λ [$s'_\lambda/s_{\lambda_{max}}$]	λ [μm]	s_λ [$s'_\lambda/s_{\lambda_{max}}$]
2	0.31	3.4	0.54	4.8	0.96
2.2	0.34	3.6	0.59	5	0.99
2.4	0.36	3.8	0.63	5.2	1
2.6	0.38	4	0.7	5.4	0.9
2.8	0.42	4.2	0.75	5.6	0.7
3	0.46	4.4	0.82	5.8	0.5
3.2	0.5	4.6	0.89	6	0.4

Fig. 6.22
 r_λ - caracteristica spectrală de radiație a sursei termoradiante, $T = 800\text{K}$, în unități relative;
 s_λ - caracteristica spectrală a receptorului de radiație, $T = 573\text{K}$, în unități relative.



6.4.4 Coeficientului de utilizare a receptorului de radiație

Coeficientul de utilizare a receptorului de radiație χ reprezintă raportul

$$\chi = \frac{\int_{\lambda_1}^{\lambda_2} r_\lambda s_\lambda d\lambda}{\int_{\lambda_1}^{\lambda_2} r_\lambda d\lambda} = \frac{\int_{\lambda_1}^{\lambda_2} y_\lambda s_\lambda d\lambda}{\int_{\lambda_1}^{\lambda_2} y_\lambda d\lambda} \quad (6.40)$$

și se calculează cu o metodă grafică. În acest scop, pe același grafic, la aceeași scară, se trasează curbele y_λ și s_λ funcție de λ . Întrucât fiecare integrală din relația (6.40) reprezintă o suprafață, valoarea coeficientului χ se determină din raportul ariilor suprafețelor $\chi = \frac{\sigma_2}{\sigma_1}$, unde σ_2 este aria suprafeței limitată de dreptele $\lambda = \lambda_1 = 2\mu\text{m}$, $\lambda = \lambda_2 = 6\mu\text{m}$, axa λ și curba $f_1 = y_\lambda \cdot s_\lambda$, σ_1 - aria suprafeței limitată de $\lambda = \lambda_1 = 2\mu\text{m}$, $\lambda = \lambda_2 = 6\mu\text{m}$, axa λ și curba y_λ .

Calculul fiecărei suprafețe se face numeric, cu ajutorul formulei

$$\int_{\lambda_1}^{\lambda_2} f(\lambda) d\lambda = \sum_{i=1}^n f(\xi_i) (\lambda_i - \lambda_{i-1}). \quad (6.41)$$

Se împarte intervalul $\lambda_1 - \lambda_2$ în n părți egale, de lungime $\Delta\lambda$, astfel încât $n\Delta\lambda = \lambda_2 - \lambda_1$, cu $\lambda_i = \lambda_1 + i \cdot \Delta\lambda$. Pentru $i = 0$, $\lambda_0 = \lambda_1$ și pentru $i = n$, $\lambda_n = \lambda_1 + n\Delta\lambda = \lambda_2$.

Se notează cu f_i valoarea funcției $f(\lambda)$ în punctul λ_i : $f_i = f(\lambda_i) = f(\lambda_1 + i \cdot \Delta\lambda)$. Se presupun cunoscute valorile f_i cu $i = 1, 2, 3, \dots, n$, (acestea se pot obține prin calcul direct). Înlocuindu-le în formula (6.39) rezultă două formule aproximative de calcul

$$\int_{\lambda_1}^{\lambda_2} f(\lambda) d\lambda = \sum_{i=1}^n f(\lambda_i) \Delta\lambda = \frac{\lambda_2 - \lambda_1}{n} [f_0 + f_1 + \dots + f_{n-1}] \quad (6.42)$$

și

$$\int_{\lambda_1}^{\lambda_2} f(\lambda) d\lambda = \sum_{i=1}^n f(\lambda_i) \Delta\lambda = \frac{\lambda_2 - \lambda_1}{n} [f_1 + f_2 + \dots + f_n]. \quad (6.43)$$

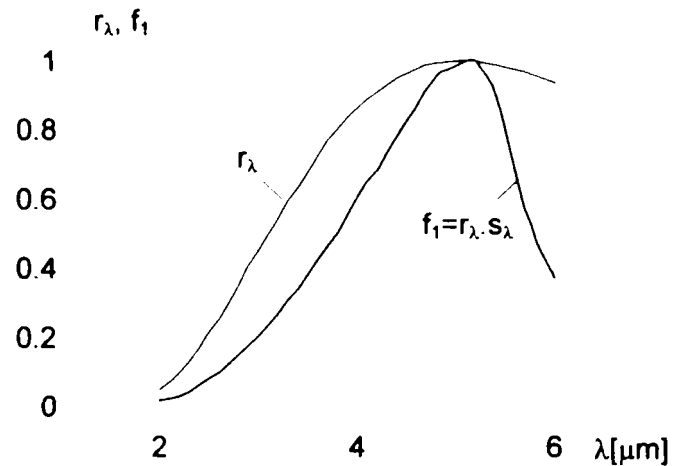
Cu cât pasul $\Delta\lambda$ este mai mic formulele (6.42) și (6.43) sunt mai exacte, iar dacă $n \rightarrow \infty$, ele vor da valoarea exactă a integralei (6.41). Trebuie observat că relațiile (6.42) și (6.43) descriu următoarele suprafețe

$$S_m = \int_{\lambda_1}^{\lambda_2} f(\lambda) d\lambda - \Delta\lambda [f_0 + f_1 + \dots + f_{n-1}]$$

Fig. 6.23

r_λ - caracteristica spectrala a corpului negru la $T = 573K$, in unitati relative;

f_1 - radiatia utilizata de receptor pentru a forma semnalul electric.



$$S_M = \Delta\lambda[f_1 + f_2 + \dots + f_n] - \int_{\lambda_1}^{\lambda_2} f(\lambda)d\lambda,$$

unde S_M si S_m reprezinta erorile de calcul ale integralei (6.39). Prin adunarea lor, se obtine $S_M + S_m = \Delta\lambda[f_n - f_0]$, deci suma erorilor este egala cu aria dreptunghiului a carei baza este $\Delta\lambda$ si inaltimea egala cu $[f_n - f_0]$. Erorile de calcul S_M si S_m nu vor depasi ca marime aria dreptunghiului $\Delta\lambda[f_n - f_0]$. In tabelul nr.6.4 sunt trecute valorile radiantei relative y_λ si ale produsului $f_i = r_\lambda \cdot s_\lambda$ calculate pentru $\lambda_i = \lambda_1 + i \cdot \Delta\lambda$, cu $i = 0 \dots 19$, $\lambda_0 = 2\mu m$ si $\lambda_{19} = 5,8\mu m$ si $i = 1 \dots 20$, $\lambda_0 = 2,2\mu m$ si $\lambda_{20} = 6\mu m$

Tabelul nr. 6.4

λ [μm]	$f_\lambda = s_\lambda \cdot r_\lambda$	y_λ ($r_\lambda / r_{\lambda_{max}}$)	λ [μm]	$f_\lambda = s_\lambda \cdot r_\lambda$	y_λ ($r_\lambda / r_{\lambda_{max}}$)	λ [μm]	$f_\lambda = s_\lambda \cdot r_\lambda$	y_λ ($r_\lambda / r_{\lambda_{max}}$)
2	0.0159	0.0514	3.4	0.3445	0.6379	4.8	0.9542	0.9939
2.2	0.0343	0.1009	3.6	0.4277	0.7250	5	0.9899	0.9999
2.4	0.0612	0.1699	3.8	0.5084	0.8070	5.2	0.9979	0.9979
2.6	0.0971	0.2554	4	0.6046	0.8638	5.4	0.8910	0.9900
2.8	0.1478	0.3521	4.2	0.6855	0.9141	5.6	0.6839	0.9770
3	0.2087	0.4537	4.4	0.7805	0.9519	5.8	0.4790	0.9580
3.2	0.2710	0.5420	4.6	0.8655	0.9725	6	0.3748	0.9370

Valorile radiantei relative y_λ din tabelul 6.4 s-au calculat pentru radiatia unui corp negru aflat la temperatura $T = 573K$. In acest scop s-a determinat cu relatia lui Wien λ_{max} pentru $T = 573K$, adica $\lambda_{max} = 2898/573 = 5,057\mu m$. Cu valoarea obtinuta pentru λ_{max} s-a calculat coordonata relativa $x_{\lambda i} = \lambda_i / \lambda_{max}$, cu $i = 1, 2, 3 \dots 20$, dupa care au fost determinate valorile $y_{\lambda i}$. Pe baza acestor valori, in fig.6.23 s-a trasat caracteristica y_λ , pentru $T = 573K$.

Cu ajutorul relatiilor (6.40) si (6.41) s-au determinat marimile ariilor suprafetelor $\sigma_2 = (\lambda_2 - \lambda_1) / n [f_0 + f_1 + f_2 + \dots + f_{19}]$ si $\sigma_1 = (\lambda_2 - \lambda_1) / n [y_0 + y_1 + y_2 + \dots + y_{19}]$ (formula dreptunghiurilor

prin lipsa), sau $\sigma_2 = (\lambda_2 - \lambda_1)/n[f_1 + f_2 + f_2 + \dots + f_{20}]$ și $\sigma_1 = (\lambda_2 - \lambda_1)/n[y_1 + y_2 + y_3 + \dots + y_{20}]$ (formula dreptunghiurilor prin adaos). Se face raportul $\chi = \sigma_2/\sigma_1$ pentru cele doua cazuri și se calculează media $\chi_m = (\chi_1 + \chi_2)/2$. Valorile obținute s-au trecut în tabelul nr. 6.5

Tabelul nr. 6.5

Formula dreptunghiurilor	σ_2	σ_1	Coeficientul de utilizare a radiației χ	Coeficientul mediu de utilizare a radiației χ_m
prin lipsa	10,0486	13,7143	0,7327	0,72275
prin adaos	10,4075	14,5999	0,7128	

Dacă sursa de radiație se află într-un mediu caracterizat de o radiație de fond omogenă Φ_f , atunci se poate considera că aceasta este emisă de un corp cenușiu, cu coeficientul de emisie ε_f , aflat la temperatura T_f

$$\Phi_f = B_{ef} A_s \cos \alpha \frac{A_o}{D^2} = \frac{R_{ef}}{\pi} A_s \cos \alpha \frac{A_o}{D^2},$$

sau, explicitând radianta efectivă a fondului R_{ef}

$$R_{ef} = \varepsilon_f \sigma T_f^4 k_f(\lambda) [z(x_{\lambda 2f}) - z(x_{\lambda 1f})] = \varepsilon_f \sigma T_f^4 k_f(\lambda) z(x_{\lambda 2f}),$$

unde $k_f(\lambda)$ este coeficientul de utilizare a radiației de fond

$$k_f(\lambda) = \frac{\int_{\lambda_1}^{\lambda_2} s_\lambda r_{\lambda f} \tau_{\lambda a} d\lambda}{\int_{\lambda_1}^{\lambda_2} r_{\lambda f} d\lambda},$$

cu $r_{\lambda f}$ - radianta spectrală relativă a fondului; $\tau_{\lambda a}$ - coeficientul de transmisie a radiației de fond de către atmosferă și s_λ - sensibilitatea spectrală relativă a receptorului de radiație.

Condiția ca sursa termoradiantă să fie descoperită este

$$\Delta\Phi = \Phi_r - \Phi_f = m\Phi_{\text{prag}},$$

sau

$$m\pi D^2 \sqrt{a_r \Delta f_{z_g}} x \cdot \chi \cdot \Phi_{\text{prag}}^* = \tau_o A_o A_s \sigma \cos \alpha \left\{ \varepsilon T_f^4 k(\lambda) [z(x_{\lambda_2}) - z(x_{\lambda_1})] - \varepsilon_f T_f^4 k_f(\lambda) z(x_{\lambda_2}) \right\},$$

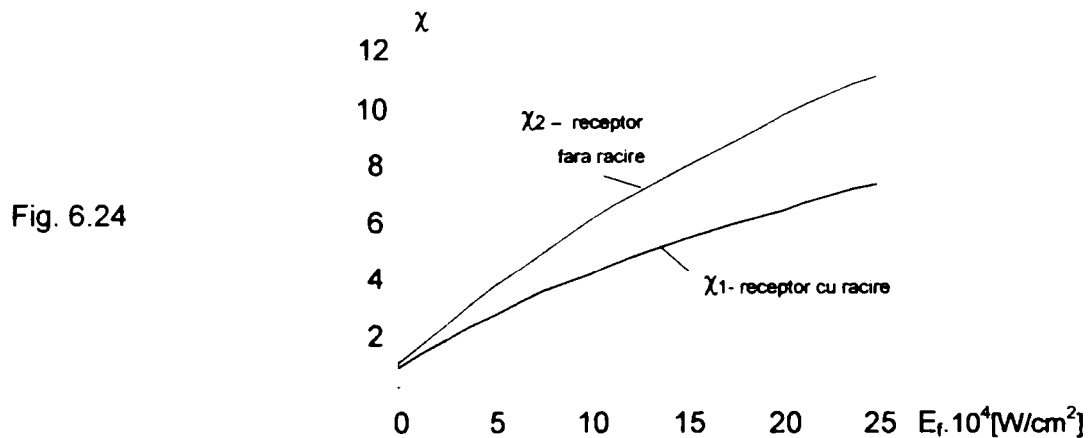
unde $1 \leq \chi \leq 10$ este coeficientul de "umbrire" a sursei termoradiante, sau iluminarea energetică suplimentară realizată de radiația de fond asupra suprafeței sensibile a receptorului de radiație. Coeficientul χ ține cont dacă receptorul de radiație este racit sau nu. În tabelul nr. 6.6 sunt trecute valorile coeficientului χ funcție de iluminarea energetică produsă de radiația de fond E_f

asupra suprafeței sensibile a receptorului de radiație în două cazuri: - receptorul de radiație este răcit la $T = 77\text{K}$, sau este la temperatura de 300K .

Tabel nr. 6.6

$E_f \cdot 10^4 [\text{W} \cdot \text{cm}^{-2}]$	0	2.5	5	7.5	10	12.5	15	17.5	20	22.5	25
$\chi_1 (T=77\text{K})$	0.8	1.6	2.8	3.4	4	4.8	5.4	5.8	6.2	6.8	7.2
$\chi_2 (t=300\text{K})$	0.8	2	3.6	4.4	5.6	6.8	7.6	8.4	9.2	10.4	10.8

Pe baza datelor din tabelul 6.6 s-a trasat graficul din fig. 6.24



6.5 Transmisia radiației infraroșii în atmosferă

6.5.1 Considerații generale

Propagarea radiației infraroșii în atmosferă este însoțită de fenomenul de absorbție produsă de moleculele diferitelor gaze, de particulele solide și lichide, precum și de impuritățile aflate în suspensie. Concentrația acestora în atmosferă se modifică în funcție de înălțime, de temperatură și de poziție geografică.

Cea mai mare parte a radiației infraroșii aflată în propagare este absorbită de ozon, de dioxidul de carbon și de vaporii de apă.

Absorbția de radiație infraroșie de către ozonul atmosferic se face simțită numai în straturile superioare ale atmosferei ($H > 8000\text{m}$). În acest caz se poate considera că la înălțimi mici, principalii constituenți atmosferici care produc absorbția radiației infraroșii sunt vaporii de apă și dioxidul de carbon.

Cantitatea vaporilor de apă din atmosferă se apreciază cu ajutorul următoarelor mărimi:

- *umiditatea absolută*, reprezintă masa vaporilor de apă conținuți într-un volum de aer egal cu unitatea. Cantitatea vaporilor de apă conținută în aer este funcție de temperatură.

- *umiditatea relativa*, reprezinta raportul intre cantitatea vaporilor de apa continuta in aer si cantitatea maxima de vapori continuta de aerul saturat, aflat la aceeași temperatura. Umiditatea relativa se definește cu relația

$$u = \frac{p_e}{p_m} 100\%,$$

unde p_e este presiunea vaporilor existenți în volumul V și p_m – presiunea vaporilor saturați din volumul V , aflați la aceeași temperatura.

Spectrul de absorbție al vaporilor de apa este foarte complex. Benzile de absorbție sunt dispuse atât în domeniul vizibil cât și în cel infraroșu al spectrului.

6.5.2 Absorbția radiației infraroșii de către vaporii de apa

Pentru determinarea absorbției produse de vaporii de apa asupra radiației infraroșii se introduce mărimea numită *cantitatea de apa precipitata*, notată cu w_0 , care măsoară în milimetrii grosimea stratului de apa ce s-ar obține într-un cilindru de secțiune egală cu unitatea, dacă s-ar condensa vaporii de apa din atmosfera continută într-un cilindru cu aceeași secțiune și cu lungimea de 1Km. Semnificația fizică a mării w_0 este aceea că absorbția produsă de vaporii de apa asupra radiației infraroșii este echivalentă cu absorbția pe care o produc acești vapori aflați în stare condensată. Mărimea w_0 [mm/Km] este o funcție de temperatura și umiditatea relativă a aerului. În tabelul nr.6.7 sunt trecute valorile mării w_0 pentru cele mai uzuale mări ale umidității și temperaturii mediului.

Tabelul nr.6.7

u[%]	-5°C	0°C	5°C	10°C	15°C	20°C	25°C	30°C
40	0	0	0	3	5,5	7	9	12
60	0	2	4	4,5	8	11	14	17
70	0	3	5	6	11	13	16	21
80	0	4	6	8	14	15	18	25

Pentru un parcurs al radiației mai mare de 1Km, cantitatea de apa precipitata se calculează cu formula $w = w_0 L$, unde L reprezintă grosimea stratului absorbant, în [Km]. În lucrările de specialitate sunt prezentate o serie de grafice, nomograme și tabele care permit calculul coeficientului spectral de transmisie a radiației infraroșii prin atmosfera care conține vapori de apa. Pentru calculul coeficientului τ_{H_2O} s-a folosit metoda prezentată în lucrarea [30], unde sunt tabelate valorile τ_{H_2O} pentru o radiație infraroșie care se propaga orizontal, la nivelul mării ($H = 0$), cu $\lambda = 0,5 \dots 14 \mu\text{m}$ și $w_0 = 0,1 \dots 1000 \text{mm/Km}$.

In tabelul nr.6.8 sunt trecute valorile coeficientului de transmise a radiatiei infrarosii

Tabelul nr.6.8 (H₂O)

$\lambda[\mu\text{m}]$	$\tau_a(\lambda)$	$\tau_a(\lambda)$	$\tau_a(\lambda)$	$\tau_a(\lambda)$	$\tau_a(\lambda)$
	L = 1km	L = 5km	L = 10km	L = 20km	L = 50km
2	0.953	0.894	0.851	0.79	0.874
2.2	0.994	0.986	0.980	0.972	0.956
2.4	0.937	0.860	0.802	0.723	0.574
2.6	0.11	0	0	0	0
2.8	0.017	0	0	0	0
3	0.552	0.184	0.06	0.008	0
3.2	0.766	0.506	0.347	0.184	0.035
3.4	0.914	0.811	0.735	0.633	0.448
3.6	0.982	0.958	0.947	0.916	0.866
3.8	0.994	0.986	0.98	0.972	0.956
4	0.99	0.977	0.97	0.96	0.93
4.2	0.982	0.958	0.947	0.916	0.866
4.4	0.937	0.800	0.802	0.723	0.574
4.6	0.814	0.723	0.617	0.478	0.262
4.8	0.812	0.595	0.452	0.289	0.117
5	0.736	0.451	0.266	0.132	0.017
5.2	0.539	0.189	0.052	0	0
5.4	0.268	0.013	0	0	0
5.6	0.029	0	0	0	0
5.8	0	0	0	0	0
6	0	0	0	0	0

intr-un mediu format numai din vapori de apa, calculate in intervalul spectral $\lambda = 2...6\mu\text{m}$ si pentru distantele de 1Km, 5Km, 10Km, 20Km si 50Km parcurse de radiatie.

Pe baza datelor din tabelul nr. 6.8, in fig. 6.25 s-a reprezentata grafic transmisia spectrala a radiatiei infrarosii $\tau(\lambda)$, pentru distantele de: 1Km; 5Km; 10Km; 20Km si 50 Km.

Din fig.6.25 rezulta ca $\tau(\lambda)$ prezinta doua zone spectrale $\lambda = 2,8...3,2\mu\text{m}$ si $\lambda = 5,8...5,6\mu\text{m}$ in care transmisia este aproape egala cu zero.

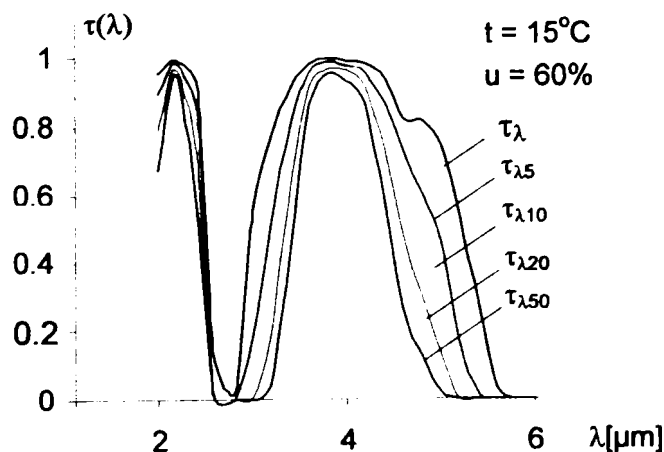


Fig.6.25

Transmisia spectrala a radiatiei infrarosii intr-un mediu constituit numai din vapori de apa, pe distante de: 1Km; 5Km; 10Km; 20Km si 50 Km

6.5.3 Absortia radiatiei infrarosii de catre dioxidul de carbon

Dioxidul de carbon (CO_2) este continut in atmosfera in cantitati reduse. Concentratia de CO_2 se mentine in limitele de 0,03% pana la inaltimea de 20km. La sol, in zona centrelor industriale, concentratia de dioxid de carbon este mai mare fata de medie.

Spectrul de absorbtie al CO_2 este dispus in zona infrarosie a radiatiei si cuprinde benzi de absorbtie centrate pe urmatoarele lungimi de unda $\lambda = 4,4$ si $14,7\mu\text{m}$. In mod asemanator si pentru dioxidul de carbon exista tabele si grafice pentru calculul coeficientului spectral de transmisie a radiatiei τ_{CO_2} prin atmosfera [30].

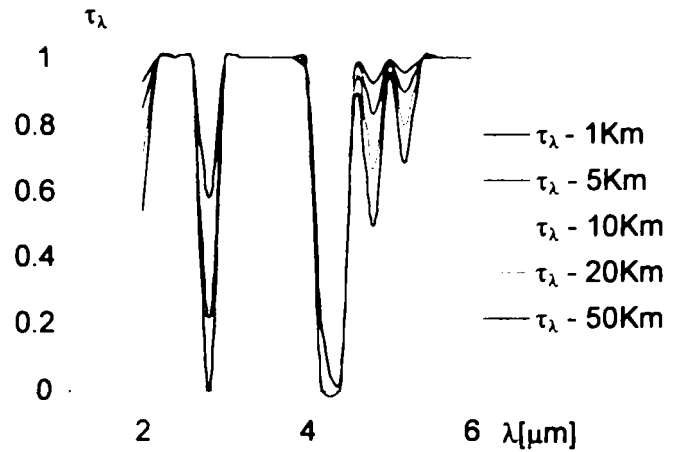
Valorile coeficientul de transmisie τ_{CO_2} a radiatiei infrarosii de catre un mediu format numai din molecule de dioxid de carbon CO_2 , in domeniul spectral $\lambda = (2...6)\mu\text{m}$ sunt trecute in tabelul nr 6.9.

Tabelul nr. 6.9 (CO_2)

$\lambda[\mu\text{m}]$	$\tau_{\lambda\text{CO}_2}$	$\tau_{\lambda\text{CO}_2}$	$\tau_{\lambda\text{CO}_2}$	$\tau_{\lambda\text{CO}_2}$	$\tau_{\lambda\text{CO}_2}$
	L = 1km	L = 5km	L = 10km	L = 20km	L = 50km
2	0.931	0.847	0.785	0.699	0.541
2.2	1	1	1	1	1
2.4	1	1	1	1	1
2.6	1	1	1	1	1
2.8	0.578	0.215	0.079	0.013	0
3	1	1	1	1	1
3.2	1	1	1	1	1
3.4	1	1	1	1	1
3.6	1	1	1	1	1
3.8	1	1	1	1	1
4	0.994	0.986	0.980	0.971	0.955
4.2	0.182	0.003	0	0	0
4.4	0.026	0	0	0	0
4.6	0.985	0.966	0.951	0.931	0.891
4.8	0.922	0.828	0.759	0.664	0.492
5	0.995	0.990	0.986	0.979	0.954
5.2	0.955	0.899	0.857	0.799	0.687
5.4	1	1	1	1	1
5.6	1	1	1	1	1
5.8	1	1	1	1	1
6	1	1	1	1	1

In fig. 6.26, pe baza datelor din tabelul nr. 6.8 este prezentata variatia τ_{CO_2} cu lungimea de unda λ , pentru diferite parcursuri ale radiatiei infrarosii, aceleasi ca si pentru mediul format din vapori de apa.

Fig. 6.26
 Coeficientul de transmisie $\tau(\lambda)_{CO_2}$ a radiatiei infrarosii cu $\lambda = 2...6\mu m$, pentru diferite distanțe de propagare, în care se propaga în aer, în direcție spre un mediu format din molecule de CO_2



Din fig.6.26 se observa ca $\tau(\lambda)_{CO_2}$ prezinta doua minime, pentru $\lambda = 2,8\mu m$ si $\lambda = 4,2...4,4\mu m$ unde absorbtia de radiatie infrarosie este maxima.

Dupa ce s-au determinat coeficientii spectrali de transmisie pentru vaporii de apa si dioxid de carbon, se calculeaza coeficientul spectral de transmisie al atmosferei.

Pentru aceasta se separa vaporii de apa din atmosfera intr-o parte a coloanei, iar moleculele de dioxid de carbon in cealalta parte (fig.6.27). Cu formulele cunoscute se calculeaza coeficientii spectrali de transmisie ai vaporilor de apa si ai dioxidului de carbon

$$\tau_{H_2O} = \frac{\Phi_{\lambda}}{\Phi_{o\lambda}} \text{ si } \tau_{CO_2} = \frac{\Phi_{\lambda}}{\Phi_{\lambda}}$$

Coeficientul spectral de transmisie a radiatiei infrarosii in coloana de aer considerata este

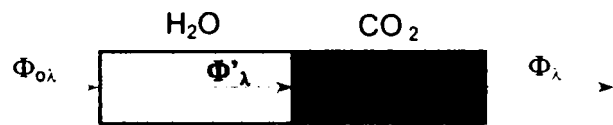


Fig.6.27

$$\tau_{\lambda} = \frac{\Phi_{\lambda}}{\Phi_{o\lambda}} = \tau_{H_2O} \tau_{CO_2} \quad (6.44)$$

Transmisia prin atmosfera a radiatiei infrarosii policromatice este descrisa de catre coeficientul integral de transmisie al atmosferei

$$\tau = \frac{\Phi_e}{\Phi_{oe}} = \frac{\int_{\lambda_1}^{\lambda_2} \tau_{\lambda} r_{\lambda} d\lambda}{\int_0^{\infty} r_{\lambda} d\lambda}$$

Pentru calculul coeficientului de transmisie, la diferite inaltimi H sau presiuni atmosferice p_a corespunzatoare acestor inaltimi, se determina un parcurs echivalent al radiatiei, pentru inaltimea H, functie de parcursul corespunzator al radiatiei la nivelul mării, dupa formula

$$L_{ech} = \frac{p_a}{1,3.760.10^{-6}} \left(\frac{273}{t_a} \right) L,$$

unde L reprezintă grosimea stratului atmosferic străbatut de radiație, la nivelul mării, în [Km]; p_a – presiunea atmosferică la înălțimea H [pa]; t_a – temperatura aerului [$^{\circ}$ C]. Cu valoarea L_{ech} - grosimea stratului atmosferic străbatut de radiația infraroșie la înălțimea H , se determină coeficientul spectral de transmisie al atmosferei la înălțimea H .

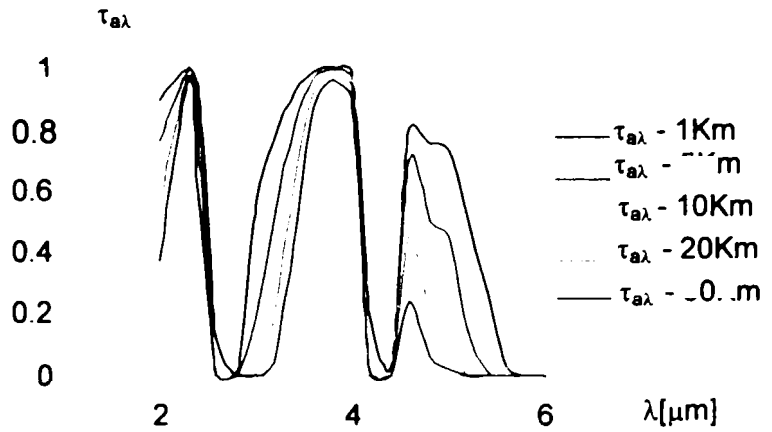
În tabelul nr. 6.10 sunt trecute valorile coeficientului spectral al atmosferei calculate pe baza formulei (6.44), utilizându-se datele din tabelele nr. 6.8 pentru H_2O și 6.9 pentru CO_2 .

În fig. 6.28 sunt prezentate curbele transmisiei spectrale ale atmosferei. Se observă că, pe măsură ce crește parcursul radiației în atmosferă, coeficientul spectral de transmisie al atmosferei se micșorează accentuat în domeniul spectral $\lambda = 4,2 \dots 6 \mu m$.

Tabelul nr.6.10

λ [μm]	$\tau_a(\lambda)$	$\tau_a(\lambda)$	$\tau_a(\lambda)$	$\tau_a(\lambda)$	$\tau_a(\lambda)$
	L = 1km	L = 5km	L = 10km	L = 20km	L = 50km
0	1	2	3	4	5
2	0.887	0.757	0.668	0.552	0.365
2.2	0.994	0.986	0.980	0.972	0.956
2.4	0.937	0.860	0.802	0.723	0.574
2.6	0.110	0	0	0	0
2.8	0.009	0	0	0	0
3	0.552	0.184	0.060	0.008	0
3.2	0.766	0.506	0.374	0.184	0.035
0	1	2	3	4	5
3.4	0.914	0.811	0.735	0.633	0.448
3.6	0.982	0.958	0.947	0.916	0.866
3.8	0.994	0.986	0.980	0.972	0.956
4	0.984	0.963	0.951	0.932	0.888
4.2	0.178	0.003	0	0	0
4.4	0.024	0	0	0	0
4.6	0.802	0.698	0.587	0.445	0.233
4.8	0.748	0.493	0.343	0.192	0.057
5	0.732	0.447	0.282	0.129	0.016
5.2	0.515	0.152	0.045	0	0
5.4	0.268	0.013	0	0	0
5.6	0.029	0	0	0	0
5.8	0	0	0	0	0
6	0	0	0	0	0

Fig. 6.28
 Coeficientul spectral de transmisie a radiației infraroșii de către atmosfera
 $\tau_{a\lambda} = \tau_{\lambda H_2O} \cdot \tau_{\lambda CO_2}$, pentru parcursul
 $L = 1\text{km}, 5\text{km}, 10\text{km}, 20\text{km}, 50\text{km}$,
 la $H = 0\text{m}$, cu $t = 15^\circ\text{C}$ și $u = 60\%$



6.5.4 Radianta energetica efectiva

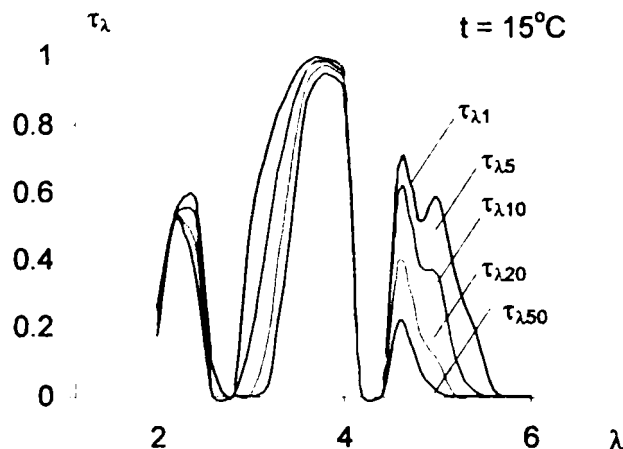
Fluxul energetic spectral efectiv, care strabate pupila de intrare a sistemului optic este

$$d\Phi'_e = \tau_{\lambda a} I_\lambda \Delta\omega d\lambda = \tau_{\lambda a} \frac{r_\lambda}{\pi} A_s \cos\alpha \frac{A_o}{D^2} d\lambda, \tag{6.45}$$

unde r_λ este radianta spectrala, in unitati relative, a sursei termice de temperatura T ; A_s – suprafata aparenta a sursei (suprafata sursei vazuta dinspre receptor) și $\tau_{a\lambda}$ - coeficientul de transmisie spectrala a atmosferei.

Din relatia (6.45) rezulta ca fluxul energetic spectral depinde de produsul $\tau_{a\lambda} r_\lambda$. In tabelul nr. 6.11 sunt trecute valorile acestui produs, calculate pe baza datelor din tabellele nr.6.4 și nr. 6.10, in intervalul spectral $\lambda = 2 \dots 6 \mu\text{m}$, folosind pasul $\Delta\lambda = 0,2 \mu\text{m}$. Produsele $\tau_{a\lambda} r_\lambda$ sunt calculate pentru cinci distante de propagare a radiatiei infrarosii. Cu datele calculate și trecute in tabelul 6.11 s-au ridicat curbele de variatie ale produsului $\tau_{a\lambda} r_\lambda$, pentru cinci distante de propagare a radiatiei infrarosii (fig. 6.29)

Fig.6.29



Tabelul nr.6.11

$\lambda[\mu\text{m}]$	$\tau_{\lambda}r_{\lambda}$	$\tau_{\lambda}r_{\lambda}$	$\tau_{\lambda}r_{\lambda}$	$\tau_{\lambda}r_{\lambda}$	$\tau_{\lambda}r_{\lambda}$
	L = 1km	L = 5km	L = 10km	L = 20km	L = 50km
2	0.2541	0.2383	0.2269	0.2106	0.1707
2.2	0.5385	0.5343	0.5310	0.5267	0.5180
2.4	0.5869	0.5387	0.5024	0.4529	0.3596
2.6	0.0820	0	0	0	0
2.8	0.0011	0	0	0	0
3	0.5046	0.1682	0.0548	0.0073	0
3.2	0.7350	0.4855	0.3329	0.1765	0.0336
3.4	0.9054	0.8034	0.7281	0.6270	0.4438
3.6	0.9820	0.9580	0.9470	0.9160	0.8660
3.8	0.9884	0.9805	0.9745	0.9666	0.9506
4	0.9499	0.9374	0.9307	0.9211	0.8924
4.2	0	0	0	0	0
4.4	0	0	0	0	0
4.6	0.6823	0.6060	0.5173	0.4007	0.2196
4.8	0.5165	0.3784	0.2875	0.1838	0.0744
5	0.5810	0.3560	0.2258	0.1042	0.0134
5.2	0.3524	0.1105	0.0340	0	0
5.4	0.1923	0.0093	0	0	0
5.6	0.0195	0	0	0	0
5.8	0	0	0	0	0
6	0	0	0	0	0

6.5.5. Coeficientului de utilizare a radiatiei infrarosii

Fluxul energetic incident la suprafata sensibila a receptorului $\Phi_r = \tau_o \Phi_e$ este transformat in semnal electric, $dU = s_{\lambda} \tau_{\lambda a} r_{\lambda} d\lambda$. Conform relatiei (6.36) fluxul Φ_r depinde de coeficientul de utilizare a radiatiei

$$\xi(\lambda) = \frac{\int_{\lambda_1}^{\lambda_2} r_{\lambda} s_{\lambda} \tau_{\lambda a} d\lambda}{\int_{\lambda_1}^{\lambda_2} r_{\lambda} d\lambda} \quad (6.46)$$

Calculul coeficientului $\xi(\lambda)$ se face folosind metoda grafica prezentata la paragraful 6.4.4 Intrucat fiecare integrala din relatia (5.31) reprezinta o suprafata, se noteaza cu σ_1 suprafata delimitata de curba $f_1 = r_{\lambda} \cdot s_{\lambda} \tau_{\lambda a}$ si dreptele $\lambda = \lambda_1$, $\lambda = \lambda_2$, precum si cu σ_2 suprafata delimitata de

curba $f_2 = r_\lambda$ și dreptele $\lambda = \lambda_1$, $\lambda = \lambda_2$. Calculul fiecărei suprafețe se face numeric, cu ajutorul formulei

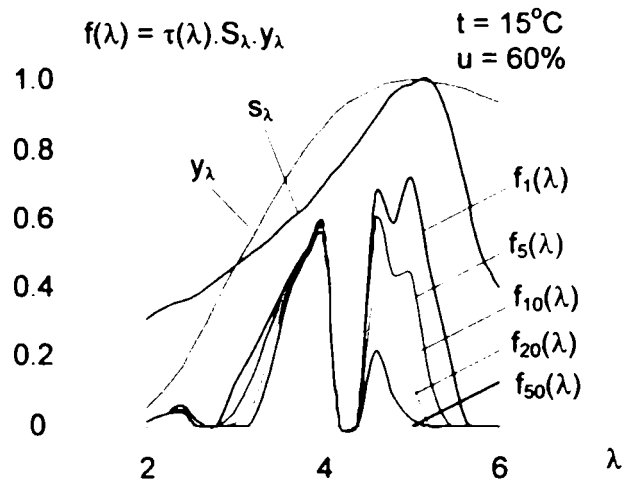
$$\int_{\lambda_1}^{\lambda_2} f(\lambda) d\lambda = \sum_{i=1}^n f(\xi_i) (\lambda_i - \lambda_{i-1}).$$

În tabelul nr.6.12 sunt trecute valorile produsului $f_1 = r_\lambda \cdot S_\lambda \tau_{\lambda a}$ pentru distanțele de propagare ale radiației infraroșii de 1Km, 5Km, 10Km, 20Km și 50Km, calculate pe baza datelor din tabelele nr. 6.4, 6.5 și 6.6, în intervalul spectral $\lambda = 2 \dots 6 \mu\text{m}$, folosind pasul $\Delta\lambda = 0,2 \mu\text{m}$. Pe rândul notat cu Σ sunt calculate marimile σ_2 - aria suprafeței $f_1 = s_\lambda \cdot \tau_{a\lambda} \cdot r_\lambda$ pentru cele cinci distanțe și cu σ_1 - aria suprafeței $f_2 = r_\lambda$ ultimul rând al tabelului cuprinde valorile $K = \sigma_2/\sigma_1$ calculate pentru distanțele de 1, 5, 10, 20 și 50 Km. În fig. 6.29 sunt reprezentate grafic produsele $f_1 = r_\lambda \cdot S_\lambda \tau_{\lambda a}$, pentru condițiile atmosferice $t = 15^\circ\text{C}$ și $u = 60\%$, caracteristica spectrală a receptorului S_λ și radianța energetică a sursei termice r_λ în domeniul spectral $\lambda = 2 \dots 6 \mu\text{m}$.

Tabelul nr. 6.12

$\lambda[\mu\text{m}]$	$s_\lambda \tau_{\lambda a} r_\lambda$	$s_\lambda \tau_{\lambda a} r_\lambda$	$s_\lambda \tau_{\lambda a} r_\lambda$	$s_\lambda \tau_{\lambda a} r_\lambda$	$s_\lambda \tau_{\lambda a} r_\lambda$	r_λ
	D = 1km	D = 5km	D = 10km	D = 20km	D = 50km	T = 800K
2	0.0141	0.0121	0.0107	0.0088	0.0058	0.5114
2.2	0.0341	0.0338	0.0336	0.0333	0.0328	0.1009
2.4	0.0573	0.0526	0.0491	0.0442	0.0351	0.1699
2.6	0.0107	0	0	0	0	0.2554
2.8	0.0015	0	0	0	0	0.3521
3	0.1152	0.0384	0.0125	0.0017	0	0.4537
3.2	0.2076	0.1371	0.0940	0.0499	0.0095	0.5420
3.4	0.3148	0.2794	0.2532	0.2180	0.1543	0.6379
3.6	0.4201	0.4098	0.4051	0.3918	0.3704	0.7250
3.8	0.5054	0.5013	0.4982	0.4942	0.4860	0.8070
4	0.5950	0.5825	0.5748	0.5636	0.5370	0.8638
4.2	0.1225	0.0020	0	0	0	0.9141
4.4	0.0190	0	0	0	0	0.9519
4.6	0.6940	0.6045	0.5079	0.3852	0.2020	0.9725
4.8	0.7143	0.4701	0.3273	0.1831	0.0549	0.9939
5	0.7249	0.4402	0.2791	0.1279	0.0161	0.9999
5.2	0.5137	0.1516	0.0445	0	0	0.9979
5.4	0.2388	0.0116	0	0	0	0.9900
5.6	0.0198	0	0	0	0	0.9770
5.8	0	0	0	0	0	0.9580
6	0	0	0	0	0	0.9370
Σ	5.3228	3.7287	3.0900	2.5018	1.9041	14.6513
$K(D)=\sigma_2/\sigma_1$	0.3633	0.2545	0.2109	0.1707	0.1299	1

Fig.6.30



6.5.6 Particularități privind calculul distanței maxime de descoperire D_{\max}

Pentru determinarea distanței maxime de acțiune a sistemului D_{\max} este necesar să se rezolve sistemul de ecuații (6.38) și (6.39). În acest scop, se scriu ecuațiile $\varphi_1(D)$ și $\varphi_2(D)$ pentru cazul analizat, cu următoarele mărimi:

- Sistemul optic: $\tau_o = 0,8$, $A_o = 200\text{cm}^2$ ($d = 16\text{cm}$);
- Sursa termoradiantă: $A_s = 1\text{m}^2$, $\varepsilon_s = 0,9$, $\alpha = 20^\circ$ și $T = 800\text{K}$.

a) Se determină ecuația $\varphi_1(D)$

$$\varphi_1(D) = (\varepsilon\sigma T^4)(\tau_o A_o \cos\alpha)[z(x_{\lambda_2}) - z(x_{\lambda_1})]K_\lambda(D).$$

- Conform cu datele din [30], rezulta

$z(x_{\lambda_2}) - z(x_{\lambda_1}) = 0,610 - 0,02 = 0,59$, cu $x_{\lambda_2} = 1,66$, $z(1,66) = 0,61$ și $x_{\lambda_1} = 0,55$, $z(0,55) = 0,02$;

- Transmisiamediei este descrisă de coeficientul $K_\lambda(D)$ care funcție de distanța parcursă D are valorile prezentate în tabelul nr. 6.12.

1) Înlocuind datele prezentate în formula (6.38), se obține

$$\varphi_1(D) = 1.85 \cdot 10^6 K_\lambda(D) [W \cdot \text{cm}^2],$$

cu valorile trecute în tabelul nr.6.13.

2) se determină coeficientul ecuației $\varphi_2(D)$

$$\varphi_2(D) = m\pi\sqrt{a_r\Delta f}\chi\Phi_{\text{prag}}^* D^2.$$

Pentru cazul analizat se impune $m = 5$, un coeficient care arată de câte ori semnalul util depășește nivelul zgomotului parazit. Calculul se face pentru două cazuri:

- receptorul de radiație este răcit la temperatura de 77K ;

– receptorul lucreaza la temperatura mediului ambiant, $T = 300K$.

Din catalog [30], pentru un fotorezistor InSb se selecteaza urmatoarele caracteristici:

– suprafata sensibila a receptorului $a_r = 1...10mm^2$, se alege $a_r = 5mm^2$;

– banda de frecventa a zgomotului echivalent $\Delta f = 1000Hz$;

– pentru $T = 77K$, $\Phi_{prag}^* = 0,125 \cdot 10^{-10} [W/cm \cdot Hz^{1/2}]$, iar pentru $T = 300K$, $\Phi_{prag}^* = 0,5 \cdot 10^{-9} [W/cm \cdot Hz^{1/2}]$, cu $\Phi_{prag}^* = \Phi_{min} / (a_r \Delta f)^{-1/2}$ - fluxul energetic specific de prag.

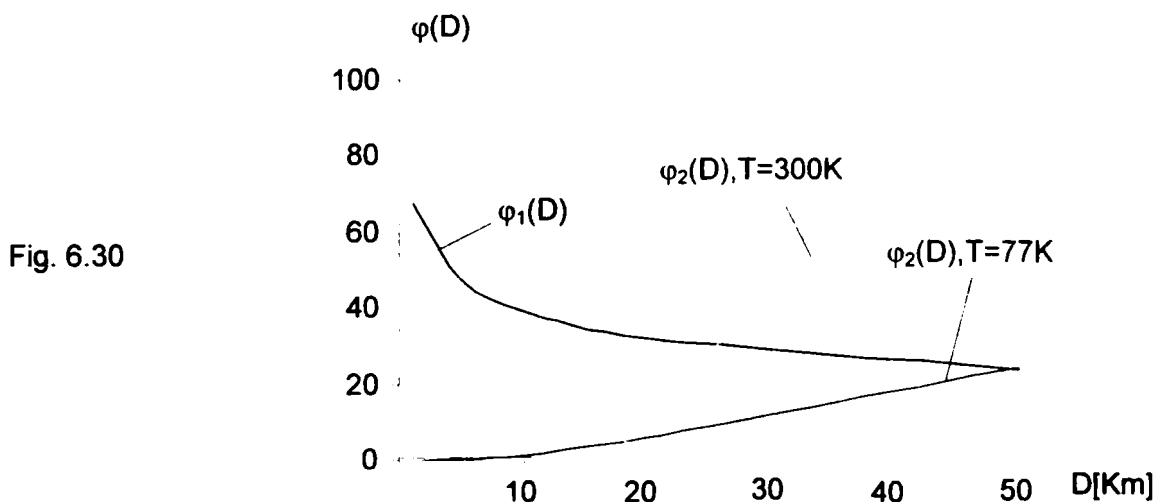
– Maximul sensibilitatii spectrale pentru fotoreceptorul de radiatie ales este $\lambda_{max} = 5,3\mu m$. Cu datele prezentate se obtine

$$\varphi_2(D) = \begin{cases} 9,712 \cdot 10^{-9} D^2 [Wcm^2] & \text{pentru } T = 77K, \\ 38,849 \cdot 10^{-8} D^2 [Wcm^2] & \text{pentru } T = 300K. \end{cases}$$

Valorile functiei $\varphi_2(D)$ pentru $D = 1km, 5km, 10km, 20km$ si $50km$ sunt trecute in tabelul nr. 6.13

Tabelul nr. 6.13

D[km]		1	5	10	20	50
$K_\lambda(D)$		0,3633	0,2545	0,2109	0,1707	0,1299
χ		0,72	0,72	0,72	0,72	0,72
$\varphi_1(D)$		67,21	47,08	39,01	31,58	24,03
$\varphi_2(D)$	T=77K	0,0097	0,243	0,971	3,88	24,275
	T=300K	0,0388	0,97	3,88	15,52	97



Pe baza datelor din tabelul nr. 6.13 s-au trasat curbele din fig.6.30. Din grafic rezulta ca pentru $T = 300\text{K}$ distanta maxima de descoperire este $D_{\max} \cong 26\text{Km}$, iar in cazul receptorului racit la $T = 77\text{K}$, $D_{\max} \cong 50\text{Km}$.

6.6 Concluzii si contributiile originale

În cap.6 este tratată problematica modulației semnalelor optice necoerente cu ajutorul discurilor modulator. Se evidentiaza necesitatea modulației fluxurilor de valoare mica cu ajutorul discului modulator si sunt analizate functiunile realizate de acesta:

- modulația fluxului energetic incident (fluxul energetic emis de sursa termoradianta si captat de sistemul optic), adica transformarea acestuia in semnal optic purtator si codificarea in parametrii lui a informatiei referitoare la pozitia (coordonatele unghiulare sau directia) sursei termoradiante;

- filtrarea optica spatiala a semnalului optic format pentru a imbunatatii raportul P_u/P_{zg} , unde P_u este semnalul util (fluxul energetic provenit de la sursa termoradianta) si P_{zg} – puterea semnalului parazit (fluxul energetic provenit de la obiectele din teren, care formeaza fondul parazit). În acest context este analizata problema receptiei optime a semnalelor optice slabe, subliniindu-se necesitatea existentei unei anumite corelatii intre dimensiunile orificiilor discului modulator si dimensiunile imaginii sursei termice.

Sunt analizate tipurile de modulație optica: modulația armonica de amplitudine, frecventa si faza; modulația in impuls (in amplitudine, frecventa, faza, durata si in cod), precum si combinatii ale acestor tipuri de modulație. În continuare se face o analiza spectrala a semnalului optic rezultat in urma modulației optice, sunt evidentiate pierderile de energie radianta pe tipuri de modulație, folosindu-se in acest scop parametrul numit randamentul modulației – demodulației.

De asemenea este tratata problema modulației in amplitudine a unui fascicul de raze paralele incidente normal pe suprafata discului modulator, considerat cu orificii de forma circulara. În mod concret s-a analizat cazul cand orificiile discului modulator au un diametru egal cu diametrul imaginii sursei termice (diametrul primului cerc de difracție). Se determina caracteristica de modulație a diafragmei modulator analizate si pe baza acesteia se calculeaza spectrul de putere al semnalului modulat si banda de frecventa a preamplificatorului de impulsuri. Se prezinta si o metoda grafica pentru determinarea armonicilor care compun curba de modulație.

Sunt tratate probleme care privesc modulatia in amplitudine cu ajutorul discurilor sectoriale, modulatia combinata amplitudine – faza, precum si metoda de obtinere a coordonatelor unghiulare ale unei surse termoradiante prin procedeul de modulatie – demodulatie a fluxului radiant incident.

Este analizata si problema detectiei si localizarii surselor termoradiante. Sunt analizate conditiile in care se asigura o distanta maxima pentru descoperirea unei surse termoradiante si se determina ecuatia distantei functie de semnalul util si semnalul parazit (V_u si V_{zg}). Analiza se continua cu un caz concret, considerandu-se o sursa termoradianta de o anumita suprafata, cu o anumita orientare, aflata la distanta foarte mare fata de sistemul SCOD. Se determina radiatia emisa de sursa, se urmareste traseul parcurs de radiatie de la sursa la receptor, sunt calculate pierderile de radiatie in propagare prin atmosfera (canalul neghidat al radiatiei) si este evidentiata comportarea selectiva a receptorului de radiatie fata de radiatia incidenta la suprafata sa sensibila

Lucrarea se incheie cu determinarea distantei de descoperire, utilizandu-se o metoda grafica pentru rezolvarea ecuatiei distantei.

Bibliografie:

[A1],[A2],[A3],[B1],[B2],[B6],[B7],[C2],[C3],[C4],[C5],[C6],[C7],[C9],[C12],[C15],[D5],[D6],[D7],[D9],[D10],[D11],[D12],[D14],[D15],[D16],[D17],[D18],[D19],[D20],[G2],[G3],[G5],[G8],[G9],[G10],[G14],[G16],[H1],[H2],[H3],[H4],[H5],[I1],[I2],[J1],[J2],[J3],[K5],[K6],[K7],[K8],[L1],[L3],[L4],[N2],[P1],[P1],[P2],[P3],[S1],[S2],[S3],[S4],[S5],[T1],[R2],[T3],[T4],[Z2],[Z3],[Z4].

Cap. 7

Concluzii finale și contribuții

În lucrare sunt tratate particularitățile ale procesului de emisie, de propagare în spațiu și de recepție a radiației termice, precum și diferite aspecte ale teoriei semnalului optic necoerent și, în mod deosebit, prelucrarea optoelectronică a lui pentru obținerea informațiilor utile ce privesc sursa termică de semnal.

Pentru a răspunde problematicii enunțate în teză sunt aprofundate și dezvoltate subiecte referitoare la:

- Obiectele termoradiante din teren – surse de semnal optic necoerent;
- Filtrarea și modulația optică a semnalelor 2D cu diafragme modulatorie;
- Recepția semnalelor 2D cu nivel energetic comparabil cu al zgomotului de fond.

Condițiile de recepție optimă a semnalelor optice slabe și banda de trecere a filtrului optic pentru a asigura un raport semnal util/zgomot maxim, în cazul în care zgomotul de fond este considerat zgomot alb;

- Stabilirea unui criteriu de performanță utilizat la comparația discurilor modulatorie pentru a determina condițiile de transmisie maximă a semnalului util și atenuarea zgomotului de fond;

- Prelucrarea optoelectronică a semnalului 2D. Obținerea unui raport semnal util/zgomot optim, prin alegerea intervalului spectral de transmisie a radiației incidente de către filtrul optic (filtrarea spectrală);

- Modelul matematic al distanței de descoperire a sistemului SCOD. Distanța maximă de descoperire a sursei termoradiante. Evaluarea influenței coeficienților din ecuația distanței asupra distanței maxime de descoperire, pe baza noțiunii de distanță ideală de descoperire

Teoretic, problema determinării poziției sursei termoradiante din teren este rezolvată cel puțin din două considerente:

1. radiația emisă de sursă se propagă în linie dreaptă;
2. în aproximație paraxială a sistemului optic, între coordonatele punctului obiect și

coordonatele punctului imagine există o relație liniară.

Practic, determinarea poziției sursei termoradiante este un proces complex, bazat pe interferența unor discipline fundamentale respectiv aplicative: optica fizică și tehnică, optoelectronică, automatică, analiză numerică, tehnologii neconvenționale, teoria comunicațiilor, prelucrarea optică și electronică a informației.

Tema tratată apelează la realizările tehnico-științifice din domeniile amintite și propune abordarea unor aspecte de mare actualitate, din care se menționează:

- teoria generală a sistemelor;
- particularitățile radiației electromagnetice în domeniul infraroșu;
- descoperirea obiectelor termoradiante din teren folosind modulația radiației infraroșii emise;
- calculul mărimilor energetice specifice radiației emise de surse termoradiante de suprafață finită;
- calculul și sinteza optimală a sistemelor optice care lucrează în infraroșu;
- determinarea distanței maxime de acțiune a sistemului optoelectronic de localizare a surselor termoradiante;
- studiul canalului de transmisie neghidată a semnalului optic pentru evaluarea raportului semnal util/zgomot;
- studiul procedeeleor de modulație a fluxului radiant incident în vederea diminuării zgomotului de fond și creșterea preciziei sistemului SCOD în determinarea coordonatelor sursei termoradiante;
- studiul influenței nebulozității atmosferei asupra purtătoarei optice de informații.

Rezolvarea acestor probleme a presupus dezvoltarea unor metode de cunoaștere a fenomenelor fizice asociate radiației termice a obiectelor, a particularităților transmisiei acestora prin canale neghidate, precum și a procedeeleor de prelucrare optică și electronică a radiației captate și afișarea rezultatelor obținute.

În lucrare, sunt tratate unele particularități ale procesului de emisie a radiației termice de către o structură materială, particularități studiate cu ajutorul teoriei clasice a fenomenelor electromagnetice, pe baza modelului dipolului electric oscilant. Se menționează că, un studiu complet și riguros al procesului de emisie a radiației termice se face numai cu ajutorul modelelor cuantice și semicuantice.

Sunt puse în evidență proprietățile câmpului de radiație produs de un dipolul armonic, sunt studiate energia radiantă emisă de dipol, propagarea energiei radiante în spațiu și semnificația fizică a fluxului vectorului \vec{S} (vectorul Poynting) printr-o suprafață închisă.

Folosind ecuațiile lui Maxwell, se rezolvă în mod original ecuația undelor electromagnetice și pe baza relațiilor obținute sunt evidențiate proprietățile undei asociate câmpului de radiație produs de un dipol armonic oscilant respectiv transportul de energie radiantă prin intermediul undei.

De asemenea, cu ajutorul teoriei electromagnetismului s-au stabilit relații importante între caracteristicile sursei de suprafață finită și structura câmpului de radiație. În această tratare s-a păstrat aspectul ondulatoriu al radiației și, mai mult, sunt explicate atât calitativ cât și cantitativ cele mai importante proprietăți ale câmpului de radiație și ale undei electromagnetice asociate.

În continuare sunt abordate și rezolvate o parte din problemele specifice pe care le ridică studiul procesului de emisie a radiației termice de către o structură macroscopică, de propagare în spațiu și de interacțiune a acesteia cu o suprafață receptoare. S-a utilizat un model al câmpului de radiație în care se face abstracție de natura radiației și de purtătoarea ei – unda electromagnetică. Construcția modelului se bazează pe noțiunile de sursă punctiformă și de rază optică.

În lucrare se face o analiză a surselor radiante de tipul corpului negru, corpului cenușiu și a corpului selectiv, toate materializate prin suprafețe radiante de forme geometrice diferite.

De asemenea, este tratată problematica caracteristicii polare a surselor termice anizotrope și este prezentată o metodă de calcul analitic a acesteia. Sunt analizate surse termoradiante cu diferite forme geometrice spațiale și sunt determinate cele mai importante caracteristici energetice ale radiației emise acestea.

În teză se prezintă sub o formă concisă și accesibilă probleme referitoare la prelucrarea semnalelor optice, și nu în ultimul rând, prelucrarea optimă a lor, utilizând un aparat matematic corespunzător și insistând asupra aplicațiilor și a interpretării rezultatelor obținute.

Un loc important în cadrul acestui studiu îl reprezintă integralele Fourier și Hankel, a căror utilizare sub diferite forme, ilustrează eficiența metodei de analiză folosite – analiza armonică. Ideea principală care reiese din teză constă în recunoașterea importanței relației dintre spectrul semnalului optic și caracteristica de frecvență a sistemului. De fapt, tehnica filtrării spațiale permite realizarea unei filtrări optimale, ceea ce în final duce la îmbunătățirea procesului de prelucrare optică a semnalelor de nivel energetic redus.

La tratarea semnalelor optice s-a avut în vedere numai partea spațială a semnalului, care de fapt reprezintă o distribuție bidimensională (2D) de amplitudine sau intensitate. Un element care merită subliniat constă în aceea că domeniul frecvențelor spațiale (domeniul Fourier) este un spațiu fizic real (planul focal al unei lentile) izomorf cu domeniul coordonatelor spațiale. De aici rezultă o proprietate importantă a semnalelor optice 2D, și anume, faptul că modulația lor se

poate face cu ajutorul măștilor cu transmisie complexă – discul modulator reprezentând un caz particular.

O atenție deosebită s-a acordat semnalelor optice formate cu ajutorul deschiderilor de formă dreptunghiulară și circulară. În acest context, rezultatele obținute coincid cu cele cunoscute din teoria difracției luminii printr-o apertură dreptunghiulară, sau circulară. De fapt, tocmai folosind unele consecințe rezultate din teoria difracției s-a putut da o interpretare fizică noțiunilor de spectru și frecvență spațială a semnalului optic. Problematika semnalelor optice determinate se încheie cu prezentarea unor metode originale de calcul a caracteristicilor spectrale a acestora, obținute cu aperturi de diferite forme geometrice sau succesiuni periodice de linii, impulsuri δ etc.

În teză sunt prezentate: o metodă originală care permite obținerea unui semnal optic aleator, modul de prelucrare a datelor obținute în vederea estimării caracteristicilor statistice ale semnalului și, în final, determinarea funcției de corelație.

Sunt propuse două funcții analitice care aproximează curba funcției de corelație obținută experimental și cu ajutorul lor se determină densitatea spectrală a puterii semnalului optic aleator format în condiții de laborator.

De asemenea, sunt tratate probleme ce privesc transmisia semnalelor optice prin sisteme/elemente optice. Este studiată transmisia semnalelor optice 2D de amplitudine (intensitate) mică, ceea ce permite considerarea sistemelor (elementelor) optice ca liniare în raport cu aceste semnale. Studiul sistemului optic liniar s-a făcut cu ajutorul a două semnale optice tipice: - semnalul armonic $u(x, y) = e^{-j(\omega_x x + \omega_y y)}$; și semnalul impuls unitar $u(x, y) = \delta(x, y)$. Răspunsul sistemului optic la aceste semnale formează două funcții specifice sistemului: - caracteristica de frecvență sau funcția de transfer optic a sistemului, reprezentând răspunsul sistemului la un semnal armonic; și, caracteristica la impuls, sau funcția pondere (funcția imaginea punctului), reprezentând răspunsul la semnalul optic $\delta(x, y)$. Semnalul $\delta(x, y)$ s-a definit ca un fascicul îngust de raze paralele, de strălucire b și secțiune dS , cu proprietatea că dacă $b \rightarrow \infty$ și $dS \rightarrow 0$, atunci $b \cdot dS = 1$.

Pe baza condiției de liniaritate și invarianță spațială s-a studiat cum un sistem optic formează imaginea unui obiect punctiform, respectiv a unui obiect cu suprafață finită. Au fost analizate cazurile de iluminare coerentă, sau necoerentă a imaginii și s-a evidențiat funcția de transfer optic a sistemului, ca reprezentând amplitudinea complexă a perturbației din planul imagine produsă de un semnal cu amplitudinea unitară și faza nulă, provenit de la un obiect punctiform din planul obiect. În cazul iluminării necoerente analiza s-a făcut cu ajutorul

intensității energetice a radiației și s-a arătat ca funcția de transfer în intensitate a sistemului optic este reprezentată de pătratul modulului funcției de transfer în amplitudine. S-a stabilit că în cazul iluminării coerente FTO caracterizează măsura în care sistemul optic atenuază contrastul și decalajul de fază a imaginii reale a obiectului în raport cu imaginea geometrică (ideală). În cazul iluminării necoerente, FTO reprezintă măsura în care sistemul optic micșorează iluminarea imaginii reale în raport cu imaginea geometrică (ideală).

S-a mai arătat că funcția complexă a imaginii reprezintă o integrală de convoluție a funcției complexe din spațiul obiect și funcția de transmisie a sistemului optic. Trecând în domeniul frecvențelor spațiale (teorema convoluției), integrala de convoluție trece într-un produs al spectrelor celor două semnale. Se pune în evidență faptul că sistemul optic se comportă ca un filtru de frecvențe spațiale ”trece jos”, având o bandă limitată de transmisie a acestora. Pe baza acestei proprietăți, s-a considerat sistemul sau elementul optic ca un filtru optic liniar și invariant spațial, s-a studiat și s-a determinat FTO și mărimea benzii de transmisie a semnalelor optice de către un sistem optic cu pupila de ieșire de forma unui cerc.

Ca filtre optice liniare sunt analizate și diafragmele modulatorie cu o anumită structură periodică. Sunt evidențiate funcțiile îndeplinite de aceste diafragme: de analizor de imagine, de modulator optic și de filtru de frecvențe spațiale. Pentru diafragmele modulatorie cu structură periodică se prezintă o metodă de determinare a caracteristicii de frecvență spațială și a spectrului de putere. De asemenea, se prezintă o metodă de evaluare a eficacității de filtrare spațială a diafragmelor modulatorie. Această metodă permite realizarea unei comparații între mai multe tipuri de diafragme folosite la filtrarea semnalelor optice parazite, în condițiile în care semnalul util format în planul imagine este un cerc. Problematika filtrării semnalelor optice se încheie cu studiul eficacității filtrării spectrale și electronice. Sunt analizate condițiile de lucru ale ansamblului sursă de radiație – sistem SCOD pentru a se asigura o recepție optimă a semnalelor utile.

În teză este tratată problema modulației semnalelor optice necoerente cu ajutorul discurilor modulatorie. Se evidențiază necesitatea modulației fluxurilor de valoare mică cu ajutorul discului modulator și sunt analizate funcțiunile realizate de acesta:

- formarea prin modulația fluxului energetic captat de sistemul optic a subpurtătoarei optice și codificarea în parametrii acesteia a informației referitoare la poziția (coordonatele unghiulare sau direcția) sursei termoradiante;

- filtrarea optica spațială a semnalului optic format pentru a îmbunătăți raportul P_u/P_{zg} , unde P_u este semnalul util (fluxul energetic provenit de la sursa termoradianta) și P_{zg} – puterea semnalului parazit (fluxul energetic provenit de la obiectele din teren, care formeaza fondul

parazit). În acest context este analizată problema recepției optime a semnalelor optice slabe, subliniindu-se necesitatea existenței unei anumite corelații între dimensiunile orificiilor discului modulator și dimensiunile imaginii sursei termice.

Sunt analizate tipurile de modulație optică și se face un studiu asupra spectrelor semnalelor optice rezultat în urma modulației optice, sunt evidențiate pierderile de energie radiantă pe tipuri de modulație, folosindu-se în acest scop parametrul numit *randamentul modulației – demodulației*.

De asemenea, este tratată problema modulației în amplitudine a unui fascicul de raze paralele incidente normal pe suprafața discului modulator, considerat cu orificii de formă circulară. În mod concret s-a analizat cazul când orificiile discului modulator au un diametru egal cu diametrul imaginii sursei termice (diametrul primului cerc de difracție). Se determină caracteristica de modulație a diafragmei modulatorului și pe baza acesteia se calculează spectrul de putere al semnalului modulat și banda de frecvență a preamplificatorului de impulsuri. Se prezintă și o metodă grafică pentru determinarea armonicilor care compun curba de modulație.

Este analizată și problema detecției și localizării surselor termoradiante. Sunt analizate condițiile în care se asigură o distanță maximă pentru descoperirea unei surse termoradiante și se determină ecuația distanței funcție de semnalul util și semnalul parazit (V_u și V_{zg}). Analiza se continuă cu un caz concret, considerându-se o sursă termoradiantă de o anumită suprafață, cu o anumită orientare, aflată la distanța foarte mare față de sistemul SCOD. Se determină radiația emisă de sursă, se urmărește traseul parcurs de radiație de la sursă la receptor, sunt calculate pierderile de radiație în propagare prin atmosferă (transmisia neștirată a radiației) și este evidențiată comportarea selectivă a receptorului de radiație față de radiația incidentă la suprafața sa sensibilă.

Conceptele de filtru optim adaptat, autocorelație, intercorelație, convoluție și deconvoluție exprimate cu ajutorul transformărilor Fourier, ca și filtrarea spectrală și electronică conduc la formarea unei idei de mare eficiență teoretică și practică în prelucrarea semnalelor optice.

Recepția semnalelor optice slabe în prezența zgomotului de fond și a zgomotului propriu receptorului este o problemă complexă și presupune pentru sistemul SCOD mai multe etape.

În primul rând, sistemul SCOD trebuie să detecteze un semnal optic, adică să ia decizia că semnalul detectat aparține clasei de semnale căutate. În acest caz SCOD îndeplinește rolul de element de decizie (problema este rezolvată cu ajutorul discului modulator).

Semnalul optic recepționat este utilizat în măsura în care se reușește estimarea parametrilor lui. În această etapă sistemul SCOD devine o instalație de măsurare.

Zgomotele afectează atât corectitudinea deciziei cât și estimarea parametrilor semnalului optic. Decizia și estimarea parametrilor semnalului se realizează în condiții cu atât mai bune cu cât energia semnalului optic este mai mare, în raport cu energia zgomotului, în banda de frecvență a sistemului SCOD

Contribuții:

□ Au fost stabilite și sistematizate probleme specifice descoperirii și localizării surselor termice, condițiile în care se realizează descoperirea, precum și procedeele tehnice utilizate – scanarea spațiului obiect și analiza spațiului imagine;

□ S-a prezentat un sistem SCOD (soluție originală), elementele care influențează funcționarea acestuia, sensul interacțiunii între elementele sistemului pentru a se asigura transmisia semnalului purtător de informații;

□ S-a stabilit modelul matematic care asigură determinarea poziției unei surse termoradiante în raport cu un sistem de axe carteziane (fix sau mobil);

□ S-au tratat într-o manieră originală, pe baza modelului dipolului electric oscilant, particularitățile procesului de emisie a radiației termice. Cu ajutorul ecuațiilor lui Maxwell se determină structura câmpului de radiație, se studiază proprietățile unde asociate câmpului și se evidențiază transportul de energie radiantă prin intermediul unde;

□ S-a demonstrat că sursele termice de suprafață finită formează câmpuri de radiație asemănătoare câmpului de radiație produs de o microsursă. Folosind teoria fluxurilor radiante se demonstrează că legea lui Lambert este o consecință a acestei teorii;

□ Este efectuat un studiu asupra proprietăților radiației emise de structuri macroscopice și, pe baza unor metode originale, sunt rezolvate o serie de probleme specifice stării radiante la emisie, în propagare și la recepția radiației;

□ Este prezentat un model al câmpului de radiație, se definește sursa termică punctiformă, sunt analizate principalele sale proprietăți și se constuește modelul sursei termice de suprafață finită. Pe baza acestui model sunt determinate o serie de mărimi radiometrice specifice surselor termice cu suprafețe de anumite configurații geometrice;

□ Sunt tratate probleme specifice formării semnalului optic necoerent, se propune o clasificare a acestui tip de semnal și se evidențiază importanța părții spațiale a semnalului ca purtător de informații;

□ Sunt folosite seriile Fourier pentru reprezentarea frecvențială a semnalelor optice periodice, sunt analizate câteva tipuri de semnale periodice și se determină spectrul de transmisie al discului modulator, cu elemente transparente și opace dispuse în diferite configurații

geometrice. Pentru reprezentarea frecvențială a semnalelor optice neperiodice sunt folosite transformatele Fourier și Hankel.

□ Sunt analizate caracteristicile spațiale și spectrale ale semnalului optic determinist și se prezintă o metodă originală de calcul a caracteristicii spectrale a unui semnalului optic necoerent obținut cu o apertură de formă circulară și dreptunghiulară;

□ Este efectuat un studiu asupra semnalului optic aleator staționar și ergodic, sunt evidențiate caracteristicile statistice și sunt determinate pentru câteva semnale optice aleatoare tipice;

□ Se prezintă o metodă originală de formare a unui semnal optic aleator. Sunt efectuate o serie de măsurări și sunt determinate caracteristicile statistice, funcția de corelație și spectrul de putere al semnalului aleator analizat;

□ Sunt abordate într-un mod original probleme ce privesc transmisia semnalului optic prin sisteme/elemente optice, considerate liniare în intensitate sau în amplitudine, se determină răspunsul la ieșire pentru diferite tipuri de semnale optice aplicate la intrare. Folosind metoda armonică se face un studiu asupra răspunsurilor elementelor optice cu apertură circulară sau dreptunghiulară;

□ Se demonstrează comportarea sistemului/elementului optic ca filtru optic de frecvențe spațiale, cu caracteristica de filtrare „trece jos”. Tot ca filtru optic liniar sunt tratate și diafragmele modulatoare la care se analizează eficacitatea de filtrare spațială și temporală;

□ Se evidențiază necesitatea modulației fluxurilor energetice de valoare mică, sunt clasificate tipurile de modulație optică și sunt determinate spectrele semnalelor optice modulate. În lucrare se face un studiu asupra pierderilor de energie radiantă, pe tipuri de modulație, folosindu-se parametrul numit randamentul modulației-demodulației;

□ Este tratată problema modulației unui fascicul de raze paralele, incidente normal pe suprafața unui disc modulator cu orificii circulare. Se determină caracteristica de modulație a discului, spectrul de putere al semnalului optic modulată și banda de trecere a preamplificatorului;

□ Este studiată problema detecției și a localizării unei surse termoradiante. Sunt analizate condițiile care asigură o distanță maximă de descoperire și se determină ecuația distanței funcție de semnalul util și zgomotul parazit. Sunt determinate pierderile de energie radiantă la propagarea radiației prin atmosferă – canalul neghidat de transmisie a radiației - și este evidențiată comportarea selectivă a receptorului de radiație. Pentru sistemul SCOD se determină distanța de acțiune, utilizând pentru rezolvarea ecuației distanței o metodă grafo-analitică. Sunt analizate două cazuri: receptorul de radiație răcit la temperatura 77K și receptorul de radiație aflat la temperatura de 300K.

Bibliografie

- 1 [A1] Aron, I., ș.a., *Sisteme de navigație aerospațială*, Editura Scrisul Românesc, Craiova, 1989
- 2 [A2] Asavinei, I., *Măsurarea temperaturilor înalte. Metode pirotehnice*. Editura Tehnică, București 1989
- 3 [A3] Ațițoaiei, V., Nicoară, I., ș.a., *Optoelectronică. Materiale. Componente. Aplicații*, Editura Eurostampa, Timișoara, 1999
- 4 [A4] Ațițoaiei, V., Nicoară, I., ș.a., *Aspecte privind utilizarea tehnicii interferometrice SAR pentru monitorizarea deplasărilor în teren*, Analele Universității Oradea, 1999
- 5 [B1] Băcescu, D., *Construcția și perfecționarea obiectivelor sistemelor optice de măsurare*, Teză de doctorat, UP București, 1996
- 6 [B2] Bîrsan, R., *Fizica și tehnologia circuitelor MOS integrate pe scară largă*. Editura Academiei Române, București, 1992
- 7 [B3] Bârnă, O., Spînulescu, I., *Electronica*. Editura Didactică și Pedagogică, București 1983
- 8 [B4] Bodea, R., Gruescu, C., Strănuți – Negru, G., *Resolution, contrast and Image Quality of Endoscopes Using Optical Fibers*, Part II, Annals of the Oradea University, Fascicle of Management and Technological Engineering, CD – ROM Edition, vol. III(XIII), 2004
- 9 [B5] Boreman, G.D., *Transfer Function Techniques*, in Handbook of Optics, vol.II,ch.32, McGraw Hill Inc, NY, 1995
- 10 [B6] Brenneke, R., Schuster, G., *Fizica*. Editura Didactică și Pedagogică, București 1973
- 11 [B7] Bulea, M., *Prelucrarea imaginilor și recunoașterea formelor*, Editura Academiei Române, București, 1994
- 12 [C1] Cătuneanu, V. *Tehnologie electronică*, Editura Didactică și Pedagogică, București 1984
- 13 [C2] Crawford, F.S., *Unde*. Editura Didactică și Pedagogică, București, 1983
- 14 [C3] Crețu, E., ș.a *Optica ondulatorie și Fourier*. Academia Tehnică Militară, Bucureștii, 1996.
- 15 [C4] Crețu, E., ș.a *Optica tehnică*, Academia Tehnică Militară, București, 1993.
- 16 [C5] Crețu, E., ș.a *Optica tehnică. Teorie și calcul*, Academia Tehnică Militară, Bucureștii, 1994.

- 17 [C6] Crețu, E.,
Nicoară, I., ș. a.,
Calculul și proiectarea sistemelor optoelectronice pentru vedere pe timp de noapte, Editura Academiei Tehnice Militare, București, 2001
- 18 [C7] Crețu, E.,
Nicoară, I., ș. a.,
Calculul și construcția aparatului optoelectronice, Editura Academia Militară Tehnică, București, 2001
- 19 [C8] Crețu, E.,
Nicoară, I., ș. a.,
Aplicații în calculul și proiectarea sistemelor optice, Editura Academiei Tehnice Militare, București, 1996
- 20 [C9] Crețu, E.,
Iftinia, N.,
Optica laserilor, Editura Academia Militară Tehnică, București, 1997
- 21 [C10] Crețu, E.,
Tomiuc, L.,
Optica Tehnică, Tipografia Academiei de Inalte Studii Militare, București, 1993
- 22 [C11] Crețu, E.,
Câmpeanu, M.,
Tehnici de laborator în optica tehnică și construcția aparatului artileristice, Tipografia Academiei de Inalte Studii Militare, București, 1994
- 23 [C12] Crețu, E.,
Spulber, C.,
Aparatura optoelectronică de amplificare și conversie a radiației infraroșii, Editura Academia Militară Tehnică, București, 2002
- 24 [C13] Creangă, I.,
Metode în procesarea digitală a imaginilor, Editura Academia Tehnică Militară, București, 1994
- 25 [C14] Constantin, P.,
Electronica industrială. Editura Didactică și Pedagogică, București 1982
- 26 [C15] Curatu, E.,
Calitatea sistemelor optice. Funcția optică de transfer. Ed. Academiei Române, București, 1992
- 27 [D1] Davidescu, A.,
Gruescu, C.,
Diagrama spot – criteriu de calitate a imaginii, A XXVIII-a Sesiune de Comunicări Științifice cu participare internațională, Academia Tehnică Militară, București, 1999
- 28 [D2] Dauguet, A.,
Detecția radiației infraroșii și aplicațiile sale, Editura DUNOD, Paris, 1974
- 29 [D3] Dascălu, D.,
Circuite electronice, Editura Didactică și Pedagogică, București, 1981
- 30 [D4] Dănilă, Th., ș.a.,
Dispozitive și circuite electronice, Editura Didactică și Pedagogică, București, 1982
- 31 [D5] Demidovici, P.,
Elemente de calcul numeric, Editura Mir, Moscova 1973
- 32 [D6] Dodoc, P.,
Metode și mijloace de măsurare în mecanica fină și construcția de mașini, Editura Tehnică, București, 1978
- 33 [D7] Duffieux, P. M.,
L'integrale de Fourier et ses applications a l'optique, Editura Rennes, Paris, 1976
- 34 [D8] Dumache, C.,
Metode și echipamente optoelectronice utilizate la descoperirea și localizarea surselor de radiație în infraroșu, Referat la teza de doctorat, 1999
- 35 [D9] Dumache, C.,
Sisteme automate de urmărire a surselor radiante în infraroșu,
Referat la teza de doctorat, 2000
- 36 [D10] Dumache, C.,
Prelucrarea, stocarea și afișarea informației privind deplasările unghiulare,
Referat la teza de doctorat, 2000

- 37 [D11] Dumache,C.,
Nicoară, I., *Utilizarea transformatelor Fourier la determinarea caracteristicii statice a traductorului optic de poziție destinat măsurării mărimilor reglate*, Sesiunea de Comunicări cu participare internațională, Agenția de Cercetare pentru Tehnologii Militare, București, 2001
- 38 [D12] Dumache,C.,
Nicoară, I., *Calculul funcției de transfer optic a unui traductor optic incremental cu fantă dreptunghiulară*, a XXIX - a Sesiune de comunicării științifice cu participare internațională, Academia Tehnică Militară, Bucureștii, nov. 2001
- 39 [D13] Dumache,C.,
Nicoară, I., *Studiu privind comportarea lentilelor electrono-optice în infraroșu*, Simpozion național MTM, Reșița, 1996
- 40 [D14] Dumache,C.,
Nicoară, I., *Elemente de sinteză și construcție a sistemelor catadioptrice pentru domeniul infraroșu*, The Romanian Review of Precision Mechanics, Supplement 2/98
- 41 [D15] Dumache,C.,
Nicoară, I., *Utilizarea sistemelor catoptrice în detecția radiației infraroșii*, The Romanian Review of Precision Mechanics, Supplement 2/98
- 42 [D16] Dumache,C.,
Nicoară, I., *The Calculus of Energetic Illumination Produced by an Infrared Radiation Source in a SpacePoint*, Proceedings of the International Conference, University of the West Timișoara, European Office of Aerospace Research and Development of US Air-Force, Timișoara, 1997
- 43 [D17] Dumache,C.,
Nicoară, I., *Studiu privind influența atmosferei asupra propagării radiației infraroșii*, a XXVII Sesiune de comunicări științifice cu participare internațională, Academia Tehnică Militară, București 1997
- 44 [D18] Dumache,C.,
Nicoară, I., *Studiu privind emisia de radiație în infraroșu a suprafețelor metalice*, a XXVIII-a Sesiune de comunicării științifice cu participare internațională, Academia Tehnică Militară, Bucureștii, nov. 1999
- 45 [D19] Dumache,C.,
Nicoară, I., *Absorbția radiației infraroșii pe suprafețe metalice*, a XXVIII-a Sesiune de comunicării științifice cu participare internațională, Academia Tehnică Militară, Bucureștii, nov. 1999
- 46 [D20] Dumache,C.,
Nicoară, I., *Study on Imaging of a Measuring Grating on the Phot Detector Sensing Face*, pag. 125-130, the 8- Th Symposion on Mecanism and Mechanical Transmission with international participation, 19-22 oct. 2000, Universitatea Politehnica Timișoara
- 47 [D21] Dumache,C.,
Nicoară, I., *Studiu privind modulația în amplitudine fază a unui semnal optic folosind o subpurtătoare de joasă frecvență*, Sesiunea de Comunicări cu participare internațională, Agenția de Cercetare pentru Tehnologii Militare, București, 2001

- 48 [D22] Dumache, C.,
Nicoară, I., *Utilizarea transformatelor Fourier la determinarea caracteristicii statice a traductorului optic utilizat în măsurarea mărimilor reglate*, a XXIX - a Sesiune de comunicării științifice cu participare internațională, Academia Tehnică Militară, Bucureștii, nov. 2001
- 49 [D23] Dumitru, F., *Probabilități geometrice și aplicații*, Editura Dacia, Cluj-Napoca, 1981
- 50 [D24] Duma, V. F., *Contribuții la analiza și sinteza sistemelor de scanare*, Teze de doctorat, UP Timișoara, 2001
- 51 [F1] Francon, M., *Themes actuels en optique*, Editura DUNOD, Paris, 1976
- 52 [G1] Govind, P.A., *Fiber-Optic Communication Systems*, A Wiley-Interscience Publication, Inc. New York, 1997
- 53 [G2] Goodman, D., *General Principles of Geometric Optics*, in Handbook of Optics, vol. II, ch1, McGraw Hill Inc., N.Y., 1995
- 54 [G3] Gruescu, C., *Elemente de optică tehnică și aparate optice*, Editura Orizonturi Universitare, Timișoara, 2000
- 55 [G4] Gruescu, C.,
Balaban, G., *Analyse of transverse spherical aberration of a tilted lens*, The 8.th Symposium on Mechanisms and Mechanical Transmission with international participation, Timișoara, 2000, p.143-148
- 56 [G5] Gruescu, C.,
Pommersheim, A., *Optica Tehnică*, Editura Orizonturi Universitare, Timișoara, 1999
- 57 [G6] Gruescu, C.,
Zsivanov, D., *Aparate spectrale și fotometrice*, Lito, UP Timișoara, 1997
- 58 [G7] Gruescu, C.,
Nicoară, I., *Analiza și sinteza sistemelor optice lenticulare*, Editura Politehnica Timișoara, 2005
- 59 [G8] Gruescu, C.,
Nicoară, I., *The comented achromat – a critical view*, Buletinul științific al Universității “Politehnica” din Timișoara, Tom 45(59), seria Mecanică, 1999
- 60 [G9] Gruescu, C.,
Nicoară, I., *Study on image quality in respect with the lens position errors*, Sesiunea de Comunicări cu participare internațională, Agenția de Cercetare pentru Tehnologii Militare, București, 2001
- 61 [G10] Gruescu, C.,
Nicoară, I., *Aspects Concerning the Influence of Execution Errors of Optical Components upon the Image Quality*, The VIth International Conference on Precison Mechanics and Mechatronics COMEFIM-6, Brașov, 2002
- 62 [G12] Gruescu, C.,
Nicoară, I., *Program for the Automated Desing of Aphocal Optical Systems*, The VIth International Conference on Precison Mechanics and Mechatronics COMEFIM-6, Brașov, 2002
- 63 [G13] Gruescu, C.,
Nicoară, I., *Considerations on eyeglasses image quality*, Proceedings of the VII th Symposium, Academia Română, Filiala Timișoara, 2003

- 64 [G14] Gruescu, C.,
Nicoară, I., *Desing of an IR-Ojective for Night Vision Binoculars*, Romanian Journal of Optoelectronics, Romanian Society of Optoelectronics, vol.XI, nr.3/2003
- 65 [G15] Gruescu, C.,
Nicoară, I., *Image Quality Optimization of an Achromatic Triplet Using Defocusing and Methods Based on OPD*, Romanian Journal of Optoelectronics, Romanian Society of Optoelectronics, vol.XII, nr.1/2004
- 66 [G16] Gruescu, C.,
Nicoară, I., *Method for increasing the aperture of apochromatic triplet using an aspherical surface*, SIOEL 2004, Romanian Journal of Optoelectronics, Romanian Society of Optoelectronics, vol.XII, nr.4/2004
- 67 [G17] Gruescu, C.,
Nicoară, I., *Method for synthesis of apochromatic triplet using minimum primary spherical aberration*, SIOEL 2004, Romanian Journal of Optoelectronics, Romanian Society of Optoelectronics, vol.XII, nr.4/2004
- 68 [G18] Gruescu, C.,
Nicoară, I., ș.a., *Aparate optice*, Editura Orizonturi Universitare, Timișoara, 2001
- 69 [H1] Hackforth, H., *Infrared Radiation*, McGraw-Hill Book Company, Inc., New York, 1970
- 70 [H2] Halliday, D.,
Resnick, R., *Fizica*, Editura Didactică și Pedagogică, București, 1975
- 71 [H3] Hecht, E., *Optics 3rd ed.*, Eddison Wesley Longman, Inc., NY, 1998
- 72 [H4] Homei, D., *Contribuții la optimizarea unor parametrii specifici aparatului artileristice, optomecanice și optoelectronice*, Teza de doctorat, Academia Tehnică Militară, 2003
- 73 [H5] Hudson, R.D., *Infrared System engineering*, McGraw-Hill Book Company, Inc, New York, 1969
- 74 [I1] Iakușenco, G., *Teoria și calculul aparatelor optoelectronice în infraroșu*. Mașinostroenie, Moscova, 1980
- 75 [I2] Iliescu, L., *Elemente constructive și ansambluri optice*. Editura Tehnică, București, 1977
- 76 [I3] Iliescu, C., ș.a., *Măsurări electrice și electronice*, Editura Didactică și Pedagogică, București, 1982
- 77 [I4] Ința, I., *Complemente de fizică*. Editura Tehnică, București 1984
- 78 [J1] Jamieson, J., *Fizica și tehnica radiației infraroșii*. New York, 1965
- 79 [J2] Johnson, B., *Lenses*, in Hanbook of Optics, vol. II, ch.1, McGraw Hill Inc., NY, 1995
- 80 [J3] Jones, R. V., *Instruments and Experiences*, John Wiley, New York, 1988
- 81 [K1] Kireev, P., S., *Fizica semiconductorilor*. Editura Științifică și Enciclopedică, București 1977
- 82 [K2] Kleimenov, G. N., *Electroabarudovanie letatelnih aparatov*, Editura Transport, Moskova, 1982

- 83 [K3] Kondratencov, G. S., *Obrabotka informacii cogheretnîm opticeskim sistem*, Editura Sovetscoe radio, Moscova, 1972
- 84 [K4] Kruse, P., ș.a., *Osnovi infracrasnii tehniki*, (trad. lb. engleză), Editura Voenizdat, Moscova, 1974
- 85 [K5] Kriksunov, Z.L., *Spravocinic po osnovom ifracrasnoi tehniki*, Editura Sovetscoe radio, Moscova, 1978
- 86 [K6] Kravțov, V.N., *Elementi optoelectronih informaționih sistem*, Editura Nauka, Moscova, 1980
- 87 [K7] Kravțov, V.N., Strelnikov, V. I., *Poziționociusvitelnie datcic opticeskih sledașcih sistem*, Editura Nauka, Moscova 1979
- 88 [K8] Kulghin, V.V., *Osnovi kostructirovania opticeskih priborov*, Masinostroenie, Leningrad, 1982
- 89 [L1] Levitin, I., *Infrakrasnaia tehnica*, Editura Energhia, Leningrad, 1973
- 90 [L2] Levșin, V., *Prostransvenaia filtratia v opticeskih sistemah pelengatii*, Editura Sovetscoe radio, Moscova, 1981
- 91 [L3] Llody J.M., *Sisteme de termoviziune*. New York, 1975
- 92 [L4] Luca, E., ș.a., *Fizica generală*, Editura Didactică și Pedagogică, București, 1981
- 93 [L5] Lytle, J. D., *Polymeric Optics*, in Handbook of Optics, vol. II, ch.33, McGraw Hill Inc., N.Y., 1995
- 94 [M1] Mirică, M.R., ș.a., *Optic system for transmission withnchaoyic signal*, Romanian Journal of Optoelectronics, vol.XI, nr.1/2003
- 95 [M2] Miroșnikov, V.I., *Teoreticeskie osnovi opticoelectronih priborov*, Editura Mașinostroenie, Leningrad, 1977
- 96 [M3] Moisil, G.C., Curatu, E., *Optică. Teorie și aplicații*. Editura Tehnică, București 1988
- 97 [M4] Mîrzu, M., Necșoiu, T., *Metode moderne ale opticii pentru calculul sistemelor optoelectronice de vedere pe timp de noapte*, Editura Academia Militară Tehnică, București, 1998
- 98 [N1] Naumann, A., Schroder, G., *Bauelemente der Optik*, Taschenbuch der technischen Optik, Carl Hauser Verlag, München Wien, 1992
- 99 [N2] Nicoară, I., *Calculul și construcția aparatelor optice*. Universitatea Politehnica Timișoara, Timișoara 1986
- 100 [N3] Nicoară, I., *Calculul și construcția aparatelor optice*, vol. I și II, Lito IP Timișoara, 1987
- 101 [N4] Nicoară, I., *Calculul și construcția aparatelor optice. Indrumător de proiectare*, Lito IP Timișoara, 1984
- 102 [N5] Nicoară, I., ș. a., *Aparate optice, Tehnici de laborator*, Editura Mirton, Timișoara, 1996
- 103 [N6] Nicoară, I., Ațițoaiei, V., *Tehnici de lucru și performanșe ale sistemelor telemetrice laser*, a XXVIII-a sesiune de comunicării științifice cu participare internațională, Academia Tehnică Militară, Bucureștii, nov., 1999
- 104 [N7] Nicoară, I., Gruescu, C., ș.a., *Aparate optice*, vol. I. Editura Orizonturi Universitare, Timișoara 2000

- 105 [N8] Nicolau, E., *Măsurări electrice și electronice*, Editura Didactică și Pedagogică, București, 1984
- 106 [N9] Nicolau, E., Beliș, M., *Măsurări electrice și electronice*, Editura Didactică și Pedagogică, București, 1984
- 107 [P1] Piskunov, N., *Calculul diferențial și integral*. Editura Mir, Moscova, 1973
- 108 [P2] Pommersheim, A., *Optica Tehnică*, Curs pentru subingineri, vol.I, Lito UP Timișoara, 1989
- 109 [P3] Pommersheim, A., *Optica Tehnică*, Lucrări de laborator, Lito UP Timișoara, 1995
- 110 [P4] Poglarv, G. V., *Iustirovka opticeskih priborov*, Masinostroenie, Leningrad, 1982
- 111 [P5] Pop, E., Stoica, V., *Tehnici moderne de măsurare*, Editura Facla, Timișoara, 1983
- 112 [P6] Popescu, I., Toader, E., *Optica*. Editura Științifică și Enciclopedică, București, 1989
- 113 [P7] Popescu, I. M., *Teoria electromagnetică a luminii*, Editura Științifică și Enciclopedică, București 1986
- 114 [P8] Popescu, E., Toma, V., Homei, D., *Instrucțiuni de cunoaștere și exploatare a sistemului de rachete antiblindate "KONKURS"*, Editura Militară, București, 2002
- 115 [P9] Popovici, V., Nicoară, I., *Sisteme optice laser*, Editura Mirton, Timișoara, 1998
- 116 [P10] Prahoveanu, I., *Sisteme de comunicații optice*, Editura Academia Militară Tehnică, București, 1997
- 117 [R1] Rulea, G., *Prelucrarea optimă a semnalelor radio*, Editura Tehnică, București, 1980
- 118 [S1] Stepanov, S., *Prikladnaia radiooptica*, Editura Nauca, Moscova, 1979
- 119 [S2] Sterian, P.E., *Transmisia optică a informației*, vol.1 și 2, Editura Tehnică, București, 1981
- 120 [S3] Sterian, P.E., *Prelucrarea optoelectronică a informației*, vol I (Fizica sistemelor optoelectronice), Editura Tehnică, București, 1984
- 121 [S4] Sterian, P.E., Stan, M., *Fizica*. Editura Didactică și Pedagogică, București, 1985
- 122 [S5] Sterian, A.R., *Laseri în ingineria electrică*, Editura Printech, București, 2003
- 123 [S6] Sterian, A.R., *Contribuții la studiul amplificării radiației coerente în sisteme optoelectronice*, Teză de doctorat, Academia Tehnică Militară, București, 2005
- 124 [S7] Săvescu, M., *Metode de aproximare în analiza circuitelor electronice*. Editura Tehnică, București, 1984
- 125 [S8] Săvescu, M., *Semnale, circuite și sisteme*. Editura Didactică și Pedagogică, București, 1981
- 126 [S9] Spîulescu, I., Pîrvan, R., *Principiile fizice ale microelectronicii*. Editura Științifică și Enciclopedică, București 1981
- 127 [S10] Spătaru, Al., *Teoria transmiției informației*, Editura Didactică și Pedagogică, București 1983

- 128 [S10] Sora, C., *Bazele electrotehnicii*, Editura Didactică și Pedagogică, București, 1982
- 129 [S11] Sporea, D., Gălățeanu, S., *Optoelectronică, Dispozitive și aplicații*. Editura Militară, București, 1983
- 130 [S12] Smith, W. J., *Modern Optical Engineering*, 3rded, McGraw Hill, N.Y, 2000
- 131 [S13] Spulber, C., ș.a., *Sisteme optoelectronice de vedere pe timp de noapte*, Editura Tehnică, București, 1999
- 132 [T1] Toader, E., Spulber, V., *Optica pentru tehnicieni*, Editura Tehnică, București, 1985
- 133 [T2] Toma, C., Foniciu, A., *Sisteme de televiziune în circuit închis*, Editura Facla, Timișoara, 1982
- 134 [T3] Timotin, A., Hortopan, V., *Bazele electrotehnicii*, Editura Didactică și Pedagogică, București, 1970
- 135 [T4] Tarasov, L. V., *Laseri. realitate și speranță*, Editura Tehnică, București, 1990
- 136 [T5] Tudose, C., Cucurezeanu, I., *Fizica*, Editura Didactică și Pedagogică, București, 1981
- 137 [T6] Teodorescu, D., *Introducere în microelectronică*, Editura Facla, Timișoara, 1985
- 138 [V1] Verdinaș, I., Spulber, C., Crețu, E., *Aparatura optoelectronică de amplificare și conversie a radiației infraroșii*, Editura Academia Militară Tehnică, București, 2002
- 139 [V2] Vladimirov, V.S., *Ecuațiile fizicii matematice*. Editura Științifică și Enciclopedică, București, 1980
- 140 [V3] Vasilescu, P., *Laseri și aplicații*, Editura Tehnică, București, 1992
- 141 [V4] Vlad, I. V., ș.a., *Prelucrarea optică a informației*, Editura Academiei RSR, București, 1976
- 142 [Z1] Zuev, V., *Perenoe opticeskih signalov v zemnoi atmosfere*, Editura Sovetcoe radio, Moscova, 1977
- 143 [Z2] Zeldovici, I., *Elements de mathematiques appliquees*, Editura Mir, Moscova 1974
- 144 [Z3] Zverev, V.A., *Radiooptica (preobrazovanie signalov v radio i optike)*, Editura Sovetscoe radio, Moscova, 1975
- 145 [Z4] Zegheru, N., Albotă, M., *Introducere în teledetecție*, Editura Științifică și Enciclopedică, București, 1979
- 146 [N10] Nicoară, I., Dumache, C., *Cercetări privind detecția și localizarea surselor de radiații în infraroșu*, contract nr. 36/98, tema 27, cod CNCSU 301